ARCHAEOLOGICAL SURVEY OF THE KANGIQSUALUJJUAQ REGION, 2023.

FINAL REPORT PRESENTED TO THE CENTER FOR NOTHERN STUDIES

May 2024

ᐱᐅᓯᒋᔭᖅᓯᒪᔪᖅ
Institut culturel Avataq
Avataq Cultural Institute

SUMMARY

In the summer of 2023, Avataq Cultural Institute collaborated with the Center for Northern Studies on a project assessing the impact of climate change on Nunavik's cultural heritage, aiming to enhance understanding of the broader implications of climate change in the region of Kangiqsualujjuaq. The archaeological component consisted of remapping selected sites, conducting surface collections, test pitting, and collecting datable material. This multidisciplinary endeavor also considered geomorphology, soil chemistry, plant biology, entomology, dendrochronology, in addition to the ground and air temperature of each site visited. Furthermore, unmanned aerial vehicles equipped with LIDAR, GPR, and a 4k cameras were employed for precise mapping and subsurface analysis. Nine sites were explored, and promising data was obtained from six of them, while the remaining two sites were found to be completely destroyed.

RÉSUMÉ

À l'été 2023, l'Institut culturel Avataq a collaboré avec le Centre d'études nordiques dans le cadre d'un projet d'évaluation de l'impact des changements climatiques sur le patrimoine culturel du Nunavik, dans le but d'améliorer la compréhension des implications plus larges des changements climatiques dans la région de Kangiqsualujjuaq. Le volet archéologique a consisté à recartographier des sites sélectionnés, effectuer des sondages archéologiques en vue d'obtenir du matériel datable et collecter les artéfacts en surface. Ce projet multidisciplinaire a également pris en compte la géomorphologie, la chimie des sols, la biologie végétale, l'entomologie, la dendrochronologie, en plus de la température du sol et de l'air de chaque site visité. De plus, des drones équipés de LIDAR, de géo-radar et de caméras 4k ont été utilisés pour une cartographie précise et une analyse du sous-sol. Neuf sites ont été explorés et des données prometteuses ont été obtenues à partir de six d'entre eux, tandis que les deux autres sites se sont avérés complètement détruits.

ACKNOWLEDGEMENTS

We would like to thank Dr. Najat Bhiry and Laval University's Center for Northern Studies for their collaboration on the project. We also want to express our gratitude to the welcoming community of Kangiqsualujjuaq. Further thanks are given to Dr. Dominique Marguerie, Dr. Alex Corbeau, Dr. Julien Pétillon, Dr. Alexandre Roy, Dr. Amedeo Sghinolfi, Laura Brassard, Laurence Coté and Laurence Machabée for their continued help during fieldwork and for creating such a stimulating work environment.

TEAM

AVATAQ CULTURAL INSTITUTE

Fieldwork	François P. Levasseur
Writing	François P. Levasseur Elsa Cencig
Editing	Elsa Cencig
Maps and layout	Elsa Cencig
Project Management	Elsa Cencig

UNIVERSITÉ LAVAL / CENTRE D'ÉTUDES NORDIQUES

Fieldwork	Najat Bhiry Dominique Marguerie Alex Corbeau Julien Pétillon Alexandre Roy Amedeo Sghinolfi Laura Brassard Laurence Coté Laurence Machabée
Project Coordinator	Najat Bhiry

TABLE OF CONTENTS

Summary 1

Résumé 1

Acknowledgements 1

Team 2

Avataq Cultural Institute 2

Université Laval / Centre d'Études Nordiques 2

List of Figures 4

Introduction 5

1. Kangiqsualujjuaq: Regional Context and Theoretical Framework 7

1.1 General Cultural Timeline 7

1.2 History of Research 8

1.3 Project Background 9

1.3 Calendar, Permits, Methodology and Laboratory 11

2. Archaeological Fieldwork 12

2.1 George River Sector 12

IeDm-2 14

IeDm-3 14

IeDm-4 16

2.2 Koroc River Sector 17

IfDk-1 18

IfDk-2 20

2.3 Gregson Inlet Sector 22

IhDj-2 23

2.4 Keglo Bay Sector 26

IgDj-1 27

2.5 Kangiqsualujjuaq Sector 29

Conclusion 31

Bibliography 32

Appendix 34

Appendix 1: Sites catalogue (2023) 34

Appendix 2: Structures catalogue (2023) 35

Appendix 3: Artifacts 36

Appendix 4: Photographs catalogue 37

Appendix 5: Test-pits and stratigraphies 38

Appendix 6: Fieldnotes 42

LIST OF FIGURES

Figure 1 View southwards towards Keglo Bay from IhDj-2. 5
Figure 2 Map of Kangiqsualujjuaq and Eastern Ungava Bay with study area indicated. 6
Figure 3 General view of IgDj-7, with archaeologist Tommy Weetaluktuk at work (Photo: Daniel Gendron, Avataq Cultural Institute, 2016). 9
Figure 4 Dr. Dominique Marguerie taking in the view near Kangiqsualujjuaq. 10
Figure 5 Map of George River sector, localizing archaeological sites documented in 2023. 12
Figure 6 Site plans of IeDm-2, IeDm-3 and IeDm-4 13
Figure 7 Ramah Chert Tool Base *in-situ*, IeDm-2 (Find Spot 1). 14
Figure 8 Inuit tent ring (Structure 3), IeDm-3, view to the west. 15
Figure 9 Tent ring (Structure 1), IeDm-4 (view to the west). 16
Figure 10 Map of the Koroc River sector, localizing archaeological sites documented in 2023. 17
Figure 11 1986 map of IfDk-1 (Avataq Cultural Institute, 1992). 18
Figure 12 Test Pit 4 Level 2 within structure 4, prior to removal of wooden support beam, IfDk-1 (2023). 19
Figure 13 Stratigraphy of Test Pit 2, IfDk-1 (2023). 19
Figure 14 Qarmaq (semi-subterranean house; Structure 4), IfDk-1 (view to west). 20
Figure 15 Stratigraphy for Test Pit 21, IfDk-2 (2023). 21
Figure 16 1986 map of IfDk-2 (Avataq Cultural Institute, 1992). 21
Figure 17 Test Pit 21, level 3, within structure 13, paved floor, IfDk-2 (2023). 21
Figure 18 Qarmaq (semi-subterranean house; Structure 13), IfDk-2 (view to the west). 22
Figure 19 Map of the Gregson Inlet sector, localizing IhDj-2. 23
Figure 20 Stratigraphy of Test Pit 3, IhDj-2 (2023). 24
Figure 21 Test Pit 3, hearth in the southwest quadrant, IhDj-2 (2023). 24
Figure 22 Top view of the IhDj-2 Qarmait complex. 25
Figure 23 Plan of IhDj-2 Qarmait complex. 26
Figure 24 Map of the Keglo Bay sector, localizing IgDj-1 27
Figure 25 1986 map of IgDj-1 (Avataq Cultural Institute, 1992 28
Figure 26 Map of the Kangiqsualujjuaq sector 29
Figure 27 Location of IeDl-1 Structure 3, in 1999 (ACI). 30
Figure 28 Location of IeDl-1 Structure 3, in 2023. 30

INTRODUCTION

Teaming up with the Avataq Cultural Institute, Dr. Najat Bhiry, associated with Laval University's Center for Northern Studies, spearheaded an investigation aimed at unraveling the repercussions of climate change on the cultural heritage of Nunavik. The primary objective was to enhance our understanding of the broader implications resonating across the region. This was achieved by visiting previously recorded sites to evaluate erosion, permafrost degradation, and variations in faunal and floral types and densities for comparison with available data and creating a new baseline for future studies.

The archaeological aspect of this project involved remapping, conducting surface collections, test pitting, and collecting datable material at these sites. This multidisciplinary initiative considered factors such as geomorphology, soil chemistry, plant biology, entomology, dendrochronology, and ground and air temperature at each site. In addition, unmanned aerial vehicles (UAV) equipped with LIDAR, GPR, and 4k cameras were utilized for precise mapping and subsurface analysis.

Nine archaeological sites were explored along the Ungava coast north of Kangiqsualujjuaq; seven yielded promising data, while the remaining two were found to be completely destroyed. Other than the sites located within the community, a combination of ATV, boat, and helicopter were used to reach sites.

In the following sections we present the results of this archaeological assessment. The first section outlines the regional context and theoretical framework. In the second section, the results of the archaeological work are presented alongside the history of research for each site, followed by the conclusion.



Figure 1 View southwards towards Keglo Bay from IhDj-2.



Figure 2 Map of Kangiqsualujjuaq and Eastern Ungava Bay with study area indicated.

1. KANGIQSUALUJJUAQ: REGIONAL CONTEXT AND THEORETICAL FRAMEWORK

Kangiqsualujjuaq – "Very large bay" – is situated on the south-eastern coast of Ungava Bay in Nunavik. It is the easternmost village of Nunavik. The community is located on the northern bank of the George River, on the shore of a place traditionally known as Akilasakallak. About 100 km to the east of Kangiqsualujjuaq are the Torngat Mountains, a 300 km long range that stretch along Quebec-Labrador border (Avataq Cultural Institute, 2021; Makivvik Corporation, 2024).

Situated 20 km north of the community and stretching eastward to the Quebec-Labrador border across 4,460 square kilometers, lies Kuururjuaq National Park. Established in 2009, the park is jointly managed by the local community and Nunavik Parks. Flowing from the Torngat Mountains, the Koroc River traverses the park, spanning 160 km before meeting Ungava Bay. Additionally, Kuururjuaq boasts the tallest peak in eastern continental Canada, Mount D'Iberville, at an elevation of 1,646 m (Nunavik Parks, 2024; Sepaq, 2024).

The study area is in the southeastern part of the Churchill geological province of the Canadian Shield. The bedrock consists mainly of Precambrian volcanic and metamorphic sedimentary rocks of Archean age (2 billion years). It primarily includes extensive areas of granite and granitic gneiss characterized by the presence of graywacke, quartzite, shale, and dolomite (Goulet and Ciesielski, 1990).

According to Jansson and Kleman (2004), the stretch of the Ungava coast from Kuujjuaq to Kangiqsualujjuaq became ice-free approximately 7 to 6 thousand years ago. In contrast, Occhietti et al. (2004) indicate that the northeastern coast of Ungava, as well as the eastern Hudson Strait and northern Labrador areas, commenced deglaciation around as soon as 9 thousand years ago and became ice-free by 7 thousand years ago.

Kangiqsualujjuaq is located in a zone of abundant discontinuous permafrost and is at the edge of the continuous permafrost zone. It comprises three sectors of varied topography, including bedrock outcrops, marine deposits, and glacial till (Allard *et al.*, 2012).

Kangiqsualujjuaq is characterized as the forest-shrub tundra transition zone (Tremblay *et al.*, 2012), an ecological area where the characteristics of both forest and tundra ecosystems converge and intermingle (Sirois 1992). In this zone, the vegetation typically consists of a mixture of stunted trees, shrubs, and tundra plants.

1.1 GENERAL CULTURAL TIMELINE

Pre-Inuit traditions (5,000 – 900 BP)

The human occupation of the Eastern Canadian Arctic is quite recent, as the region was overlain by Wisconsinan glaciers or affected by postglacial processes until ca. 6,000 years BP (Gray and Lauriol, 1985; Trenhaile, 2004). The first inhabitants to reach this broad region were the Pre-Inuit (formerly named Paleoeskimo). In Nunavik, the Early Pre-Inuit variant is called Predorset by archaeologists, and the Late Pre-Inuit known as Dorset.

Inuit Traditions (750 BP – Historic)

Inuit culture originally developed in the Bering Strait region before migrating eastward through the Arctic less than 1,000 years ago, supplanting any remaining Pre-Inuit groups. In Nunavik, the latest dates from Dorset sites show them disappearing around 850-900 BP, while the earliest dated occupation by Inuit (Thule-Inuit) is around 750 BP. Inuit were the first whalers in the Eastern Arctic. Originating in Alaska, they developed a specialization for hunting large whales, particularly bowhead whales. Technologically, they had the advantage of a wide range of tools and had very efficient transportation technologies (Maxwell, 1985). The oldest Inuit site known in Nunavik is located on Qikirtajuaq (Smith Island, Akulivik) and is dated as early as 1270 AD (725 ± 20 BP).

Contact and Historic Periods (17-18th Century – 1950s)

The historic period is defined by the beginning of Inuit-European contact. The first documented contact with Inuit of Nunavik took place in 1610-11, when Henry Hudson disembarked on Digges Island near modern Ivujivik and traded with Inuit. The first trading post to directly target Inuit trade was established at Richmond Gulf near modern Umiujaq in 1750. A post was later built at Fort Chimo in 1830, near modern Kuujjuaq. But it was not until the late 19th and 20th centuries that trading posts spread along the coastline of Nunavik and permanently changed the lives of Nunavimmiut, eventually leading to the forced settlement of Inuit (Saladin d'Anglure, 2001).

1.2 HISTORY OF RESEARCH

Research in an area bounded by Kangiqsualujjuaq to the south and Keglo Bay to the north, the area pertinent to this project, began in 1967 with Patrick Plumet from Université du Québec à Montréal (UQAM). A single site, located at the mouth of the George River, was recorded during this season (Plumet, 1980; Plumet *et al.*, 1991). Plumet's efforts eventually led to creation of the Tuvaaluk project which carried out intensive archaeological exploration between 1975 and 1981. Thus, four more sites were identified by Plumet and his team in 1977 (Plumet *et al.*, 1978, 1991; Plumet, 1980), including IhDj-2. Plumet was known to conduct survey by helicopter, and as such covered large areas, but did not always land.

Research continued in 1978 as part of the Torngat Archaeology Project overseen by William Fitzhugh of the Smithsonian Institution. Stephen Loring and his team undertook an expedition by canoe from Labrador. Departing from the Tallek Arm of Nachvak Fjord, they then ascended the Palmer River, portaged for 10 kilometers, and subsequently descended the Koroc River before reaching Kangiqsualujjuaq. During a stop they briefly recorded three sites near Kangiqsualujjuaq: IeDm-2, IeDm-3, and IeDm-4 (Loring and Fitzhugh, 1979).

Extensive archaeological work was conducted by Avataq Cultural Institute in 1986. In June and July, a team led by Luc Litwinionek spent three weeks surveying the eastern coast of Ungava with the goal of identifying new archaeological sites. During this time, 21 new sites were recorded within and near the study area identified for this current project, including IfDk-1, IfDk-2, and IgDj-1 (Avataq Cultural Institute, 1992).

Furthermore, in July of 1986, Luc Litwinionek created an inventory of sites located in the vicinity of the Kangiqsualujjuaq in anticipation of renovations being undertaken at the community's airport. Three sites were identified, including IeDl-1 and IeDl-2. The study concluded that IeDl-2 was threatened by future

development and recommendations regarding archaeological monitoring were made to a community council (Avataq Cultural Institute, 1988).

In 1999, the Avataq Cultural Institute revisited Kangiqsualujjuaq to conduct salvage excavations at IeDl-1. This was prompted by the imminent development of new harbor infrastructure in the area. Claude Pinard and his team excavated two structures and one cache, but no cultural material was recovered (Avataq Cultural Institute, 1999).

In 2016, the Avataq Cultural Institute conducted additional work in the region in preparation for an expansion project of the Kuururjuaq National Park. Over the course of eight days, 23 new sites were recorded and 12 previously recorded sites were revisited. Among these were IhDj-2, initially investigated by Plumet in 1977, and IgDj-1, first recorded by Avataq Cultural Institute in 1986.



Figure 3 General view of IgDj-7, with archaeologist Tommy Weetaluktuk at work (Photo: Daniel Gendron, Avataq Cultural Institute, 2016).

1.3 PROJECT BACKGROUND

Avataq Cultural Institute's archaeology department was invited to participate in a collaborative multidisciplinary project led by Dr. Najat Bhiry of Laval University's Centre for Northern Studies (CEN) studying the impact of climate change on Nunavik's cultural heritage. Climate change, including threats like sea level rise, permafrost degradation, coastal erosion, and vegetation growth, have become a significant threat to inhabitants of Nunavik and all known and unknown archaeological resources.

The objective of this project is to evaluate the effects of climate change on archaeological sites in close proximity to Kangiqsualujjuaq (Nunavik), beginning with survey, mapping, and re-recording known sites using conventional archaeological methods, followed by multidisciplinary efforts to better understand the

processes archaeological sites are undergoing within the context of climate change and advanced mapping methods utilizing UAVs.

Archaeological efforts were led by Avataq Cultural Institute archaeologist Francois P. Levasseur, who conducted background research on all previous archaeological investigations in the region, but more specifically on the sites which the group intended on investigating. Photographs from previous work were of particular interest to evaluate vegetation growth over the past few decades. On the field, sites were found using coordinates previously recorded on 1:50,000 maps and older GPS technology. The sites were recorded using conventional note-taking, photography, and measuring, and using drones for basic aerial photography and photogrammetry. Surface collection was conducted when applicable, and test pits were dug in structures of interest.

Experts in other fields were present to collect data to produce a comprehensive image of the natural environment at and around each archaeological site visited. Dr. Najat Bhiry collected data to perform soil chemistry analysis, and conducted geomorphological analysis alongside her graduate student Laura Brassard. Another graduate student, Laurence Coté, created an inventory of plants present in and around each site and structure. Dr. Dominique Marguerie of the French National Centre for Scientific Research (CNRS) collected meteorological data within structures and throughout each site in addition to collecting samples of driftwood from nearby shores. Dr. Alex Corbeau (CNRS) created an ornithological inventory of the area while Dr. Julien Pétillon of Université de Rennes (UR1) created an entomological inventory, focusing on arachnids. Data using drones equipped with LIDAR, GPR, 4k cameras for the purpose of surficial and subsurficial analysis was collected by Dr. Alexandre Roy of Université du Québec à Trois Rivières (UQTR), Post-Doctoral researcher Dr. Amedeo Sghinolfi (UQTR), and undergraduate field assistant Laurence Machabée (UQTR).

This project aimed to assess how climate change affects the cultural heritage of Nunavik's Inuit people and, on a broader scale, aims to contribute to the literature on culture loss induced by climate change in Arctic regions. The project's results, including 3-D models and field reports, will be disseminated to the local community and may serve as educational resources, incorporating findings from other researchers in this field.



Figure 4 Dr. Dominique Marguerie taking in the view near Kangiqsualujjuaq.

1.3 CALENDAR, PERMITS, METHODOLOGY AND LABORATORY

Avataq Cultural Institute archaeologist Francois P. Levasseur arrived in Kangiqsualujjuaq on July 24th 2023 from Montreal. Fieldwork began the next day on the 25th; sites near the mouth of the George River were visited by way of 'side-by-side' ATV and on foot. On July 26th and 27th, sites were visited in the bay leading to Koroc River by way of speed boat. On the 28th, an attempt was made to return to the latter area by canoe, but the journey proved impossible due to rough sea conditions. An attempt was made to visit sites further up the coast by helicopter on the 29th of July, but low visibility forced the helicopter to return within minutes of departure. Instead, the day was spent revisiting sites within the community. On the 30th the helicopter brought the team to visit sites in Gregson Inlet and Keglo Bay. July 31st marked the return from Kangiqsualujjuaq to Montreal. An archaeological permit was delivered by the Ministère de la culture et des communication du Québec: 23-AVTQ-04 and a land access permit was delivered by the Ministère des Ressources naturelles et des Forêts: 3399 23 910.

Archaeological field methodology followed the North American prehistoric methodology, which is usually preferred by Avataq's Archaeology Department. Generally, in an Arctic context, the identification of an archaeological site is based on key observations: type of archaeological features, presence of artefacts, location and elevation (meters above sea level – m.a.s.l.). Archaeological survey was done by foot (hiking) and the recognition of archaeological remains was performed visually. Archaeological features (i.e., structures) were geo-referenced by the use of a GPS (Garmin GPSMAP 66i), measured, described and photographed. Previously recorded sites were re-identified using site descriptions, maps, drawings, and photographs produced from prior archaeological fieldwork.

After fieldwork, GPS data was uploaded and transferred into Excel sheets to build catalogues. Maps were generated with ArcMap 10.8.2 and edited using Adobe Illustrator. The traditional Inuit place names used in the report are from the Nunatop Database, ACI's place names project. Since 1983, ACI has compiled Inuit place names from throughout Nunavik in order to safeguard this traditional knowledge. The traditional Inuit place names referenced here are strictly for the purpose of archaeological research within the context of this specific project; they cannot be compiled or re-used in for any other project or in any other form, without a formal consent from Avataq Cultural Institute.

Artefacts collected on the surface during survey were and during excavation are placed in labeled bags. After fieldwork, artefacts are flown to Montreal to be treated and catalogued at Avataq Cultural Institute's archaeology laboratory. Once at the laboratory, they were dry brushed and properly catalogued. This collection of artefacts is now stored at the Qarmaq: Avataq Cultural Institute's Museum storage. The Qarmak is at the Centre de Conservation De Montréal (CDCM) on Peel Street, a climate-controlled secured building. Unlike the other museum storage depots in the building, the Qarmak is open to the public (Inuit and researchers) by appointment.

Once the data gathered and analyzed, they are presented to the necessary stakeholders in the form of a written report.

2. ARCHAEOLOGICAL FIELDWORK

The study area consisted of previously identified sites along a 65 km stretch of the eastern Ungava coast, north of Kangiqsualujjuaq. Background research revealed that each site had a diverse history of research and frequency of visits. As a result, the amount and nature of existing information for each site varied greatly, which in turn affected the amount of work necessary during these revisits. Additionally, time and access to each site during the 2023 field also varied significantly and had to be balanced with the need to collect data pertinent to the project. Overall, nine sites were revisited in 4 sectors: George River (sector 1), Koroc River (sector 2), Keglo Bay (sector 3), Gregson Inlet (sector 4) and in the community of Kangiqsualujjuaq (sector 5) (Figure 2).



Figure 5 Map of George River sector, localizing archaeological sites documented in 2023.

2.1 GEORGE RIVER SECTOR

The first area visited, on the 25th of July, was a large northwest-facing bay at the mouth of the George River. A well-maintained gravel road allowed the team to get within a few kilometers of the area using a 'side-by-side' ATV. The rest of the journey was undertaken by hiking through a mix of marsh and bedrock.

The bay and the subsequent valley are composed of raised beach terraces of moss and sphagnum covered cobble, gravel, and sand, and bordered by mountains to the south and to the north. Sites in the area were first recorded by a team of four led by Stephen Loring as part of the Torngat Archaeology Project which was directed by William Fitzhugh of the Smithsonian Institute (Loring and Fitzhugh, 1979). The team began their journey in Labrador, departing from the Tallek Arm of Nachvak Fjord, ascended the Palmer River, portaged 10km to then descend the Koroc River, finally making their way to Kangiqsualujjuaq. As they made their way past Elson Point towards the mouth of George River, deteriorating weather forced them to stop and make camp. There they recorded three sites: IeDm-2, IeDm-3, IeDm-4 (Loring and Fitzhugh, 1979).

As a condition of the permits and permissions received from the Quebec Provincial Government and the Community of Kangiqsualujjuaq, their work was limited to the simple observation of sites located in Category 1 lands. Additionally, their dwindling food supplies, and the tidal nature of the George River estuary, and the lateness of the season discouraged the group from conducting intensive survey in this area. As a result, the information reported on the three aforementioned sites is extremely minimal (Loring and Fitzhugh, 1979).

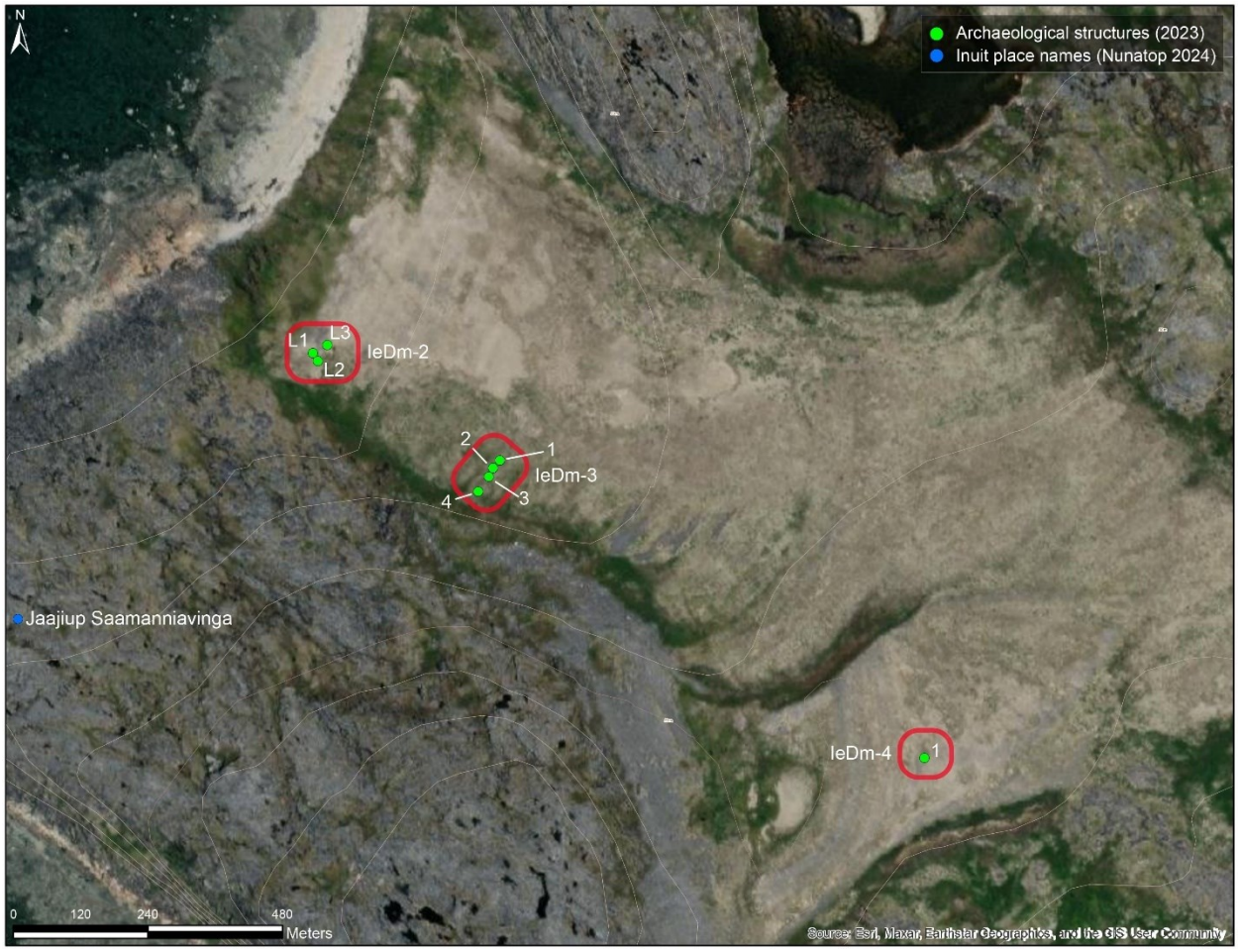


Figure 6 Site plans of IeDm-2, IeDm-3 and IeDm-4.

IeDm-2

Loring's team originally identifies this site as they were setting up camp on a low beach terrace. The only information they provide is the presence of a small Middle Dorset camp at about 16 m.a.s.l (Loring and Fitzhugh, 1979).



Figure 7 Ramah Chert Tool Base *in-situ*, IeDm-2 (Find Spot 1).

During a revisit of the site, a Ramah chert tool fragment and Ramah lithic debitage were collected in addition to a piece of worked nephrite and a wire nail. The two latter were found inside the remains of a contemporary tent structure located on gravel; it is round and has guy rope boulders. A second tent ring was located a few meters to the southeast on atop sod near an eroding bank. Both of these structures are interpreted as being the Loring's camp during the stop in 1978. No diagnostic cultural material was recovered (Loring and Fitzhugh, 1979).

IeDm-3

During their short stay they also identified two side-by-side tent rings at around 27 m.a.s.l. No artifacts were observed and no affiliation was determined[2].

A revisit of the site revealed four tent structures atop an exposed cobble ridge running northeast by southwest in a largely vegetated area. The high density of black lichen covering the structural boulders may suggest great age.

Structure 1 is a small circular tent ring at the northeast end of the exposed cobble patch; it measures 2.3 m north to south and 2 m east to west. Encroaching vegetation covers the immediate exterior of the structure in all directions other than to the southwest, while the interior remains exposed cobble. The structural boulders are almost completely covered in black lichen and are well imbedded in the ground, suggesting that they are relatively old in age. No internal features were observed.

Structure 2 is an oval tent ring atop exposed cobble, with S1 directly to the northwest; it measures 6m northwest by southeast and 5.3 m northeast by southwest. The perimeter of the structure is composed of medium sized boulders that are atop the cobbles, and embedded in the ground where there is vegetation cover. The interior is composed of cobble for the majority, with the odd patch of moss. The structure is delimited to the northwest and southeast by varied vegetation. A possible interior hearth is located near the southwest wall, additionally, a fragmented line of boulders crossing the structures northwest to southeast may indicate a sleeping platform on the northeast side of the structure. These internal features are quite ephemeral, however.

Structure 3 is a mostly semi-circular tent ring atop exposed cobble directly southwest of S2; it measures 6.7 m northeast by southwest and 4m northwest by southeast. The structure is composed of small to medium boulders imbedded in the vegetations towards the outside of the structure, and visibly above the

cobbles towards the interior. What appears to be the flat side of the semi-circle faces the northwest; at its center is an entrance passage oriented in the same direction. The passage measures 2.7 m northwest by southeast and has a width of 1.2 m. The entrance is delimited by an opening in the structure's wall and a boulder at each corner of the external extremity. Additionally, the passage stands out due to the thick moss and yellow sphagnum mix which appears solely within its limits and for about half a meter inside the structure. Otherwise, the exterior of the passage is composed of arctic willow and the interior of the structure is lichen covered cobble. A possible storage area appears in the southwest corner of the structure, some of the boulders are haphazardly placed and the small area is vegetated as opposed to being exposed cobble; the area measures 2.8 m northwest by southeast and 1.3 m northeast by southwest. It is equally likely to be the result of boulder dispersion from dismantling the tent and in addition to standing out due to the encroaching vegetation. A more apparent storage area or alcove appears directly northeast of the entrance, taking the shape of small rectangular area opened to the southeast, measuring 40 cm northwest by southeast and 95 cm northeast by southwest. This area appears to be mirrored in the exterior of the structure, using the passages northeast wall and a small line of boulders extending 95 cm to the northeast. There are no other apparent internal features, other than a large flat slab in the center of the northeast half of the structure.

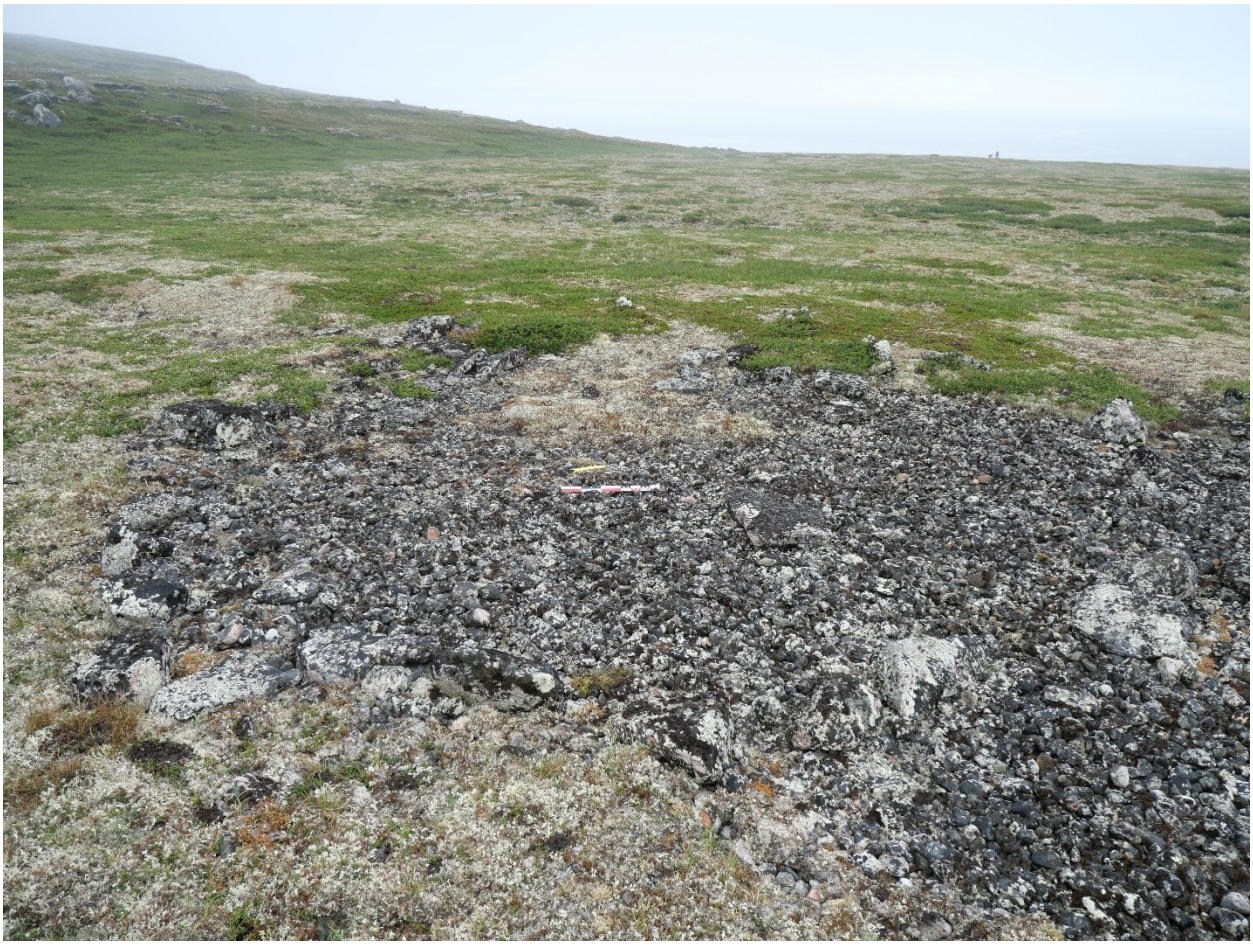


Figure 8 Inuit tent ring (Structure 3), IeDm-3, view to the west.

Structure 4 is another tent ring, possibly the double tent ring observed by Loring in 1978. It is located directly to the southwest west of the other structures on heavily overgrown patch of exposed cobble with significant willow bushes. As such, the structure is difficult to completely make out due to the nature of the vegetation. It appears to be a nearly circular tent ring measuring 5.15 m north to south and 4.9 m east to west, however, an internal feature of two centrally placed back-to-back semi-circles give it the appearance of double-tent ring.

IeDm-4

This site occurs beyond the peak of the of the terrace system where IeDm-2 and IeDm-3 are located at about 49 m.a.s.l; as such it is facing south/southeast towards the interior of the river. It is the third site reported by Loring and his team in the area during their brief stop. There they observed and recorded a small structure which they interpreted as being Pre-Inuit with a mid-passage and not unlike those they had identified in Labrador. Additionally, they found a piece of Ramah chert in the vicinity (Loring and Fitzhugh, 1979).

After a lengthy search using Loring's photographs of the general landscape, the 2023 team was able to relocated the feature. The sole structure is a bilobate tent ring with a possible mid-passage/axial feature. It is oriented northwest by southeast with a total length of 7.5 m, with a width of 3.6m on the northwest end and 4.1 m on the southeast end. The southwest side of the structure shows two distinct rings with an open passage, while the northeast side of the structure shows a line of boulders closing off the possible passage. Both rings have an internal line of small boulder crossing northwest to southeast, about 50 cm from the northeastern edge. These features are restricted to the rings and do not continue across the area between the two features.

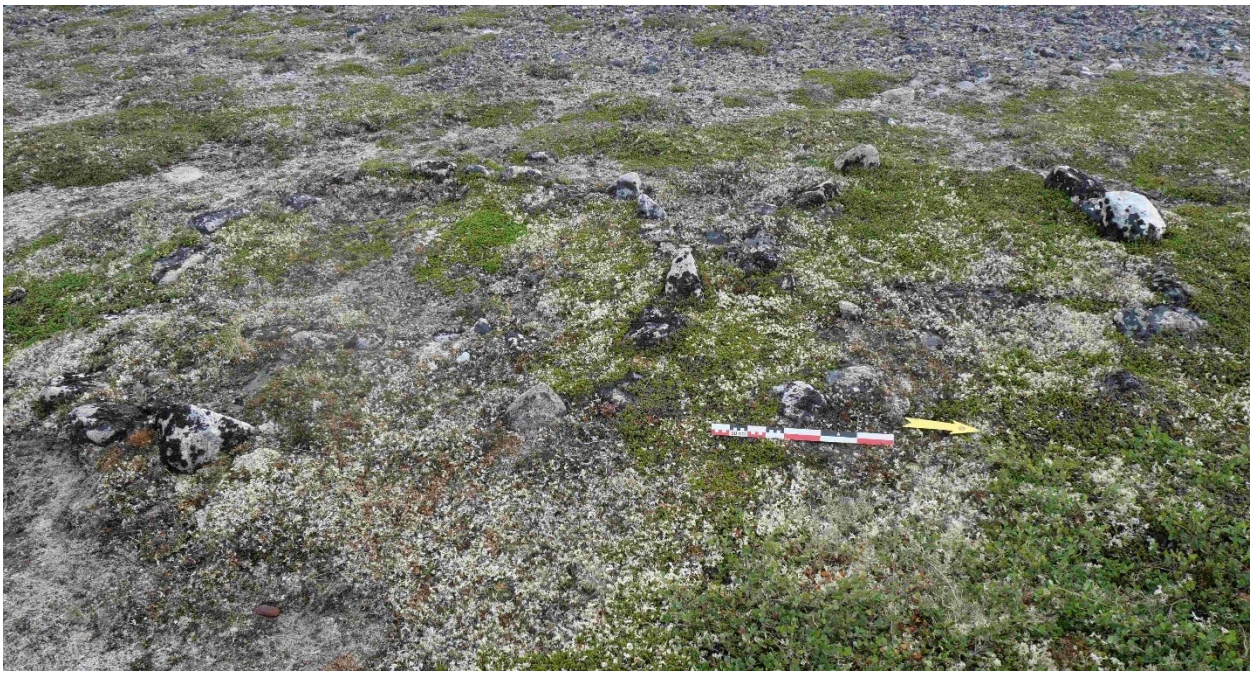


Figure 9 Tent ring (Structure 1), IeDm-4 (view to the west).

Officially, the site is recorded as being of undetermined affiliation. The elements which point towards a Pre-Inuit affiliation are the high elevation, the undiagnostic fragment of Ramah chert, the small size of the individual lobes, and the possibility of there being a mid-passage. The evidence available, however, may indicate that it was Inuit rather than Pre-Inuit. The whole territory was available following post-glacial uplift due to their late arrival in the Eastern Arctic; Inuit are known to camp at any elevation. The mid-passage/axial feature may artificially be created by the space between two small tent rings, and the line of boulders connecting the two on one side may be the result of dismantling the two tents or a small storage area using both tents. Furthermore, chert is commonly found at Inuit sites and thus cannot conclusively indicate Pre-Inuit chert processing or lithic manufacturing activities. Finally, the internal features do not resemble any currently on record for Pre-Inuit architecture but rather reflect sleeping platforms commonly found in Inuit tent rings. The evidence leans in favor of the structure being Inuit. However, without further evidence collected through test pitting or excavation, the affiliation should remain as indeterminate.

2.2 KOROC RIVER SECTOR

This second area was visited on July 26 and 27, 2023 by speed boat from the Kangiqsualujjuaq. The sites are located north and south of Tasiujakuluk Cove (Avataq Cultural Institute, 2021), which is directly east of Nuvukallak Point (Avataq Cultural Institute, 2021) and is the easternmost area of the Koroc River estuary before it narrows. Sites in this area were thoroughly recorded by an Avataq Cultural Institute team led by Luc Litwinionek in 1986 as part of a larger project surveying the Ungava and Hudson Bay coasts (Avataq Cultural Institute, 1992). The 2023 revisit did not lead to a full re-recording of the sites in this area, but rather concentrated on studying the semi-subterranean dwellings which had previously been identified.



Figure 10 Map of the Koroc River sector, localizing archaeological sites documented in 2023.

IfDk-1

IfDk-1 is located on the eastern shore of Nuvukallak Point, near the mouth of the Koroc River [Kuururjjuaq]. The site occupies three areas on a small point of vegetation-covered bedrock. For the sake of convenience, the site will be divided into 3 areas representing discrete groupings of structures. Area A is the easternmost section and is nearest to the point itself and includes structures 1, 10, 11, 12, 13, 14, and 15. Area B is directly to the west of area A and includes structures 2, 3, 4 as well as caches I, II, and III. Area C is located southwest of both areas A and B; it includes structures 5, 6, 7, 8, 9. The site constitutes 15 structures and 3 caches, and was previously subject to three test pits which availed no cultural material. It was previously interpreted as having both Dorset and Inuit components (Avataq Cultural Institute, 1992).

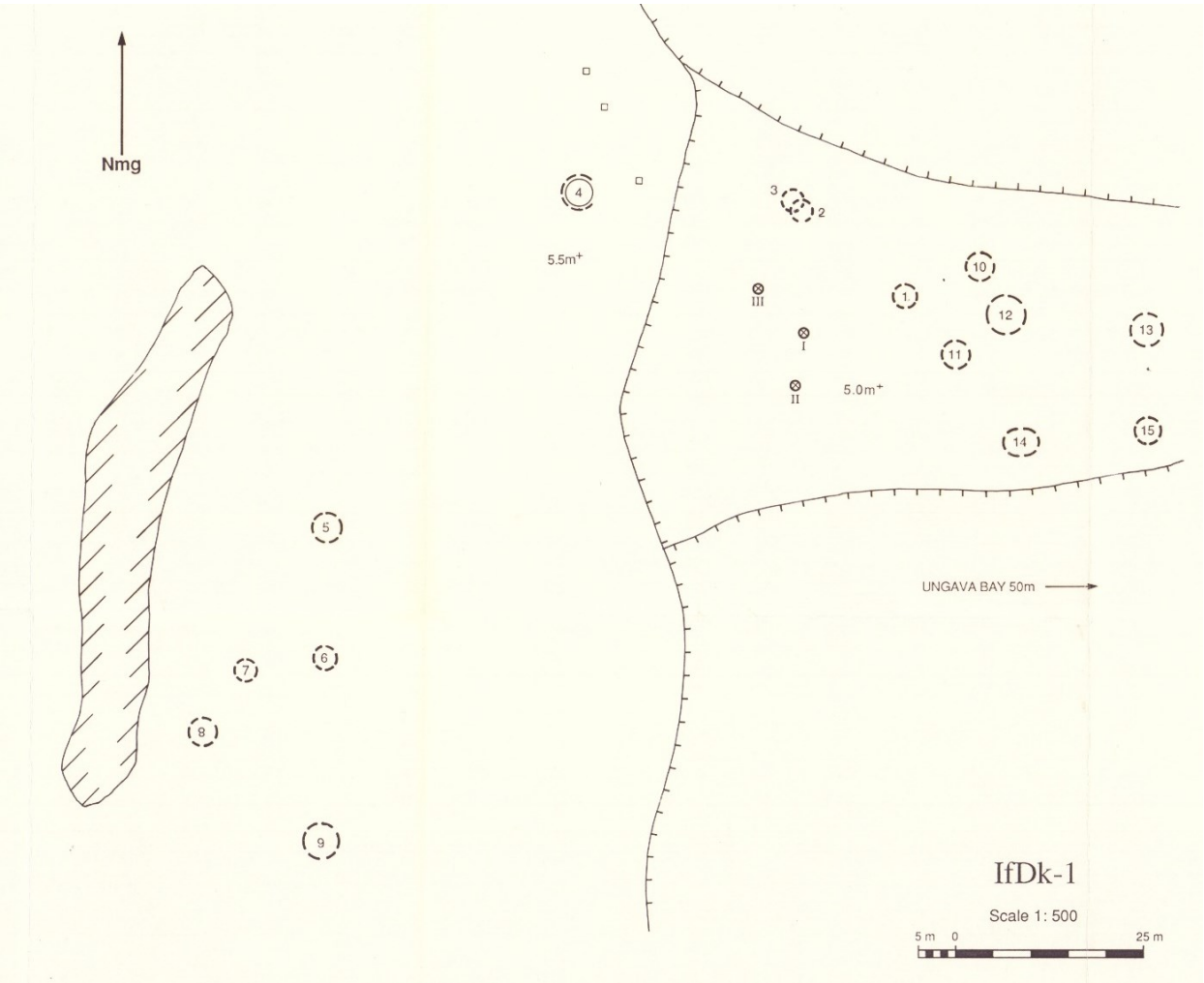


Figure 11 1986 map of IfDk-1 (Avataq Cultural Institute, 1992).

Area A was the location of the 1986 expedition's camp; the team had two large canvas tents (Avataq Cultural Institute, 1992). Today, two cabins occupy roughly the same locations. As a result of recent activities, the structures previously identified in this area have for the most part been destroyed and the boulders have been displaced or reused for fire pits and modern tents. Some structural boulders may still be in-situ, evidenced by their embeddedness in the ground, while others lay sporadically on the surface

creating shapeless clusters. Only one possible structure remains intact, S14, but the boulders appear surficial and it is impossible to verify using the 1986 map due to lack of contextual reference with any other structure. As a result, area A should be considered completely destroyed.

Work in 2023 was concentrated in area B, particularly on structure 4, the sole semi-subterranean structure identified at the site. The feature does not stand out prominently, it is 5.2 m north to south and 4.8 m east to west with a rim height of roughly 40 cm. The entrance is a large opening of nearly 2 m on the eastern side, and does not have a tunnel. The rim is covered in thick bushes while the insides well covered in dense but shorter vegetation. Only two structural boulders are visible, one near the entrance and the other as part of the northeastern end of the rim.

Four features were identified near S4. The first one is the previously recorded cache II, which was recognizable from the 1986 photograph. A rectangular tent ring was also located 2 m southeast of S4. Considering that no feature had previously been identified in this direction near S4, it was recorded as a new structure (structure 17). Nearly square, its dimensions are 3.45 m north by south and 3.55 m east to west. It is bordered to the west by a birch bush and by low-lying moss and sphagnum in all other directions, including the interior. The partial embeddedness of the perimeter boulders and the lack of guy rope boulders indicate an older age.



Figure 12 Test Pit 4 Level 2 within structure 4, prior to removal of wooden support beam, IfDk-1 (2023).

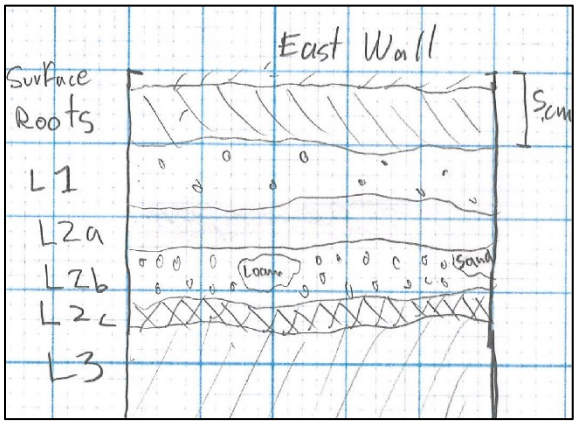


Figure 13 Stratigraphy of Test Pit 2, IfDk-1 (2023).

A 50x50 cm test pit was placed in the center of the structure 4 (Appendix 5). The surface layer was composed of moss and its roots and L1 was sandy loam matrix. L2 had 3 sublayers; 2a was a layer of fine yellow sand, 2b included pockets of rich loam, pockets of sand, and pockets of sandy loam, and finally 2c was fine yellow sand again. L3 is a layer of sterile fine orange sand. A large wooden support beam was found running across the eastern side of the test pit from north to south. It was first discovered at a depth of 10 cm and had a diameter of 10 cm. The beam was extracted for further dendrochronological analysis and radiocarbon dating. No cultural material was recovered.

Two historic or contemporary tent structures, both with guy rope boulders, were identified near S4 to the east and to the northeast. The 1986 map indicates two structures in the vicinity, S2 and S3, which apparently overlap. However, it is impossible to know whether those structures recorded during the 2023 visit are the same as S2 and S3. Additionally, their recent nature, and the fact that investigations at IfDk-1 were very much limited to work on S4, does not warrant any conclusive changes to the record.

Area C was also briefly revisited however of the five previously recorded tent structures only one was slightly visible, barely peaking from the edge of dense bush and tall willowherbs. The remainder of this area

proved to be completely overgrown in dense bushes, and thus did not permit easy re-recording of in the short time spent there. However, a single feature did not appear in the original investigation of the area; a possible grave or cache was recorded east of the overgrown cluster of structures. S16 has built up boulder walls in a rectangular shape, with a large boulder or slab laying down the center. The dimensions are 1.75 m north to south by 75 cm east to west.



Figure 14 Qarmaq (semi-subterranean house; Structure 4), IfDk-1 (view to west).

IfDk-2

The site is located at Sirmialuk and occupies a mix of gravel deposits, exposed bedrock, and has thick sod and vegetated areas. A total of 20 structures were recorded in 1986, including 17 tent rings and 3 semi-subterranean structures, and was interpreted as being both Dorset and Inuit. 47 test pits were dug throughout the site, but only 20 were positive for cultural material (Avataq Cultural Institute, 1992).

Archaeological work was concentrated on structure 13, an Inuit semi-subterranean sod house (Qarmaq) and the only one of three which was not completely overgrown with thick birch bushes. It is sub-rectangular in shape and its dimensions are 6.4 m north to south by 4.6 m east to west with an entrance passage measuring 1.7 m by 90 cm. The structure has an elevated rim which contrasts with the outside of the structure, while the semi-subterranean interior and entrance passage of the structure are level with a natural depression running nearly north-south, directly east of the structure. Though the structure is not fully overgrown, it is covered in a mix of mosses, sphagnum, and willowherbs. Some structural boulders are visible, but are well imbedded or partially covered. A possible sleeping platform was located at the back of the structure, on the western side, as there was a slight elevation difference compared with the front of the structure.



Figure 16 1986 map of IfDk-2 (Avataq Cultural Institute, 1992).



Figure 17 Test Pit 21, level 3, within structure 13, paved floor, IfDk-2 (2023).

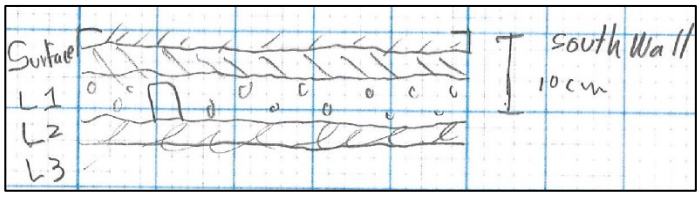


Figure 15 Stratigraphy for Test Pit 21, IfDk-2 (2023).

A 50x50 cm test pit was centrally placed at the foot of sleeping platform, in the area just below (Appendix 5). 4 layers were identified. The surface layer was composed of moss roots, L1 was a sandy loam matrix, L2 was a much denser greasy loam matrix with little to no sand, while L3 was a flagstone floor. 41 seal and caribou bone fragments were found throughout L1 and L2, including a total of four Ramah chert flakes. A Dorset notched blade of Ramah chert was also uncovered in L2. These are most likely intrusive, as it is common for Inuit to reuse Dorset feature or use blocks of sod for house construction from Dorset activity areas. A nearly exact notched blade was recovered from the Tanfield site, located in the south of Baffin Island, and was associated with the Early Dorset and has an legacy radiocarbon date of about 2360 BP (Maxwell, 1985).



Figure 18 Qarmaq (semi-subterranean house; Structure 13), IfDk-2 (view to the west).

2.3 GREGSON INLET SECTOR

The third area visited is in small river estuary on the eastern coast of Gregson Inlet [Napaartuliup Kangisunga]. Water flowing into the estuary originates from the elevated Sanirarsiq lake [Sannirarsiq] directly to the east.

IhDj-2 is the only site visited in the area. It was first identified by a Northern Studies Center team and reported to the archaeology laboratory run by Université du Québec à Montreal (UQAM). The first archaeological assessment of the area dates to Patrick Plumet of UQAM and the Tuvaaluk project in 1977 (Plumet *et al.*, 1991). More recent work was conducted in 2016 by Avataq Cultural Institute archaeologists Tommy Weetaluktuk and Daniel Gendron as part of a study for the potential expansion of Kuururjuaq National Park (Avataq Cultural Institute, 2017). Finally, the area was only briefly revisited by helicopter in 2023; only a few hours were spent at IhDj-2.



Figure 19 Map of the Gregson Inlet sector, localizing IhDj-2.

IhDj-2

IhDj-2 is located directly at the edge of an elevated terrace on the south side of the river estuary. To the west and south of the site are large mountainous formations while to the east are the delta-like wetlands and streams flowing from lake Sanirarsiq [Sannirarsiq].

The site is a complex of Qarmait, semi-subterranean sod structures, composed of one bilobate structure and two single structures all connected by the same tunnel. The opening of the tunnel gives way directly into the slope to the north, suggesting that the terrace has experienced erosion since the structure was last occupied. Beginning at the entrance, structure 2 is found directly to the east. The exact extent of the structure is difficult to observe as it is home to a tree-sized birch bush which obscures the whole structure and extends to the edge of the terrace and towards the entrance of the complex. As a result, the bush is likely contributing to the survival of the structure and mitigating further or accelerated erosion. The dimensions of the structure are 7.7 m east to west by 6 m north to south. Additionally, a rectangular stone likely serving as a lintel can be found at the entrance of the structure.

Structure 3 is roughly 3 m south along the tunnel, on the left – or western – side. Unlike S2, S3 is fully visible, only obscured by sparse tall grasses and willowherb flowers, while the rim is population by moss. The

dimensions of the structure are 4.6 m east to west and 3.9 m north to south with an entrance tunnel, leading to the main tunnel, with a width of 80 cm and length of 1.2 m. An elevated sleeping platform takes up the western half of the structure, measuring 1.7 m east to west. Another lintel can be found on the ground at the entrance of the structure.

Structure 1 is located at the end of the tunnel, about 5 m from S2. Additionally, the direction of the tunnel shifts southeast and S1 is oriented nearly northeast to southwest. About 1 m from the S1 lintel, prior to the shift in direction, a 2 m stretch of the tunnel is deeper and likely constitutes a cold trap. S1 is bilobate, with two circular sections extending to the east and west of the centrally placed tunnel entrance. Much like S2, this structure is free of any vegetation which would hinder proper observation, and is limited to sparse tall grasses and willowherb flowers in the interior and moss on the elevated rims. Directly in front of the entrance is a rectangular arrangement of small boulders which resembles internal hearth/cooking platform arrangements found in Inuit tent structure, but bigger and perhaps capable of accommodating multiple lamps and pots. Alternatively, it may be an internal storage area. The western lobe, S1a, is 7.3 m northwest by southeast and 5 m northeast by southwest. An elevated sleeping platform, delimited by a row of medium boulders, takes up takes up the northeastern portion of S1a; it is nearly 2 m northeast by southwest.

Structure 1b, to the east of S1a, has a less straightforward internal configuration. The north wall, directly east of the entrance, has a shelf or platform that is visibly elevated compared to the floor of the structure. It may be another sleeping platform, but also may be associated with the hearth as a kitchen area. The northwest end of the house has a stacked wall of slabs and boulders which delimits the extent of the house followed by a slight depression before leading to what appears to be the original sod rim of the structure. The rim tapers out west towards the center where S1b meets S1a. The deteriorating section of the sod wall and the stone wall further inside suggest that the configuration and size of the structure may have changed over time. In 2016, an extra sleeping platform adjacent to the stone wall was identified (Avataq Cultural Institute, 2017). While it could not be made out from direct observation nor the photogrammetry model, the lidar data does indicate the presence of a sleeping platform in the southwest section of S1b.



Figure 20 Test Pit 3, hearth in the southwest quadrant, IhDj-2 (2023).

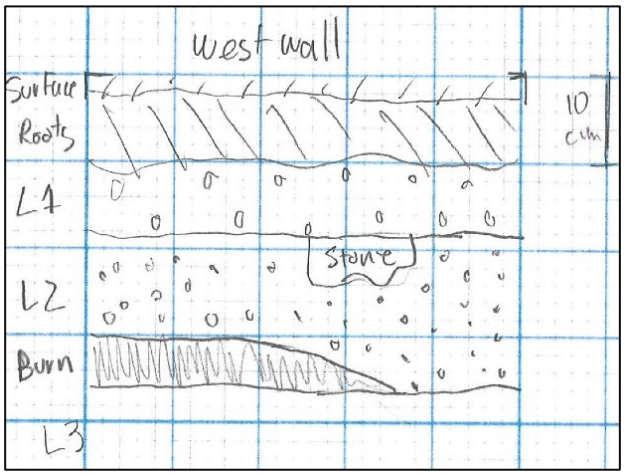


Figure 21 Stratigraphy of Test Pit 3, IhDj-2 (2023).

A 50x50cm test pit was placed in the main tunnel at the entrance of S3 (Appendix 5). No cultural material was found but it revealed the presence of hearth. The surface layer was composed of moss, and deep and dense roots. L1 was a loamy root matrix which became slightly sandier with a mix of pebbles and small cobbles at the bottom. Pieces of charcoal were already present in this layer. L2 was a sandy matrix with some loam, with patches of greasy loam and charcoal, and pieces of calcined bone. Ash and charcoal

dominated the matrix on the south side of the test pit and revealed two boulders delimited the hearth. The bottom of the test pit in on the northern side revealed a sterile organic matrix at about 40cm while the bottom of L2 had large slab at a depth of 47cm, revealing the bottom limit of the hearth. Numerous charcoal samples were retrieved at different levels for radiocarbon dating.

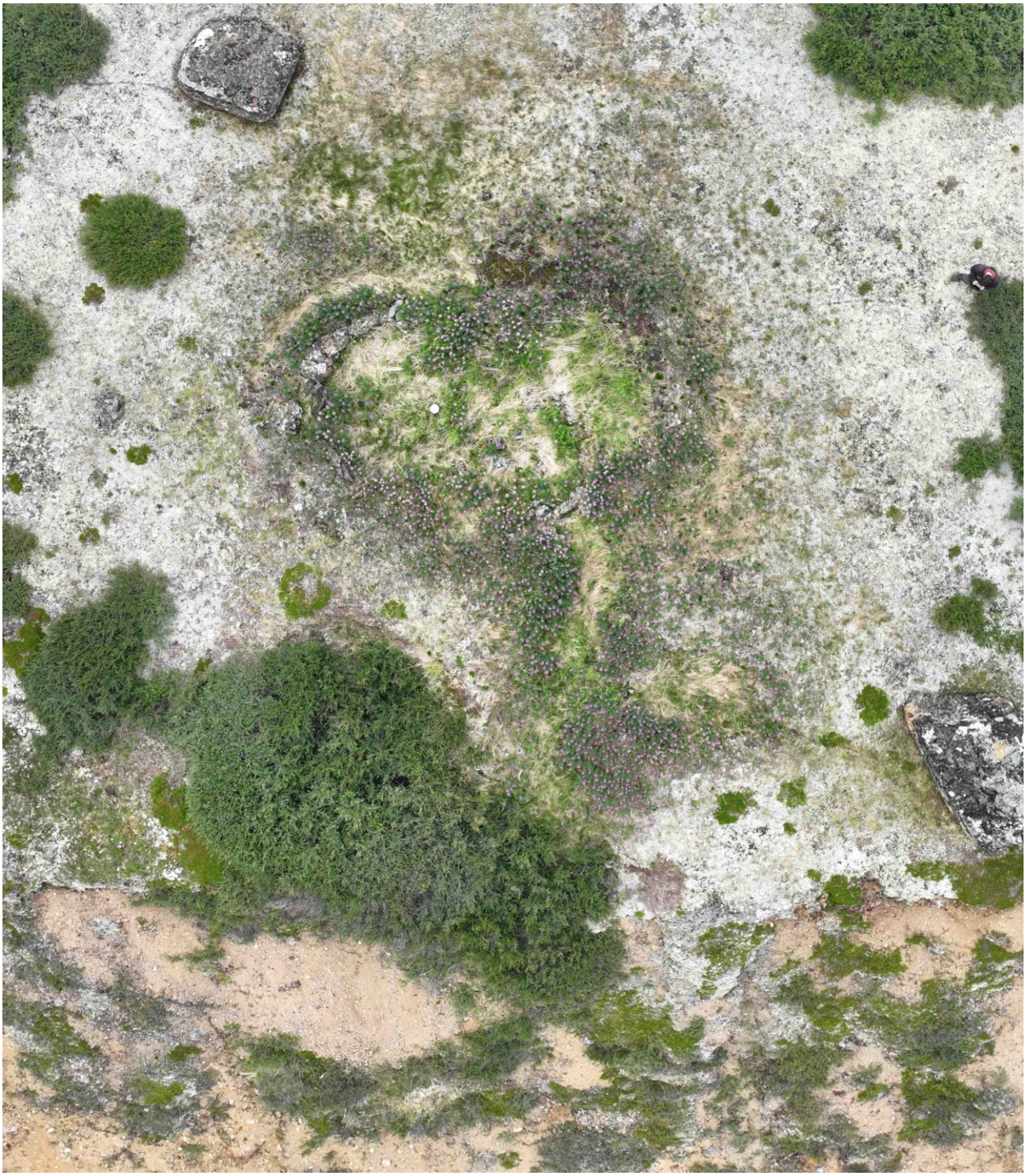


Figure 22 Top view of the IhDj-2 Qarmait complex.

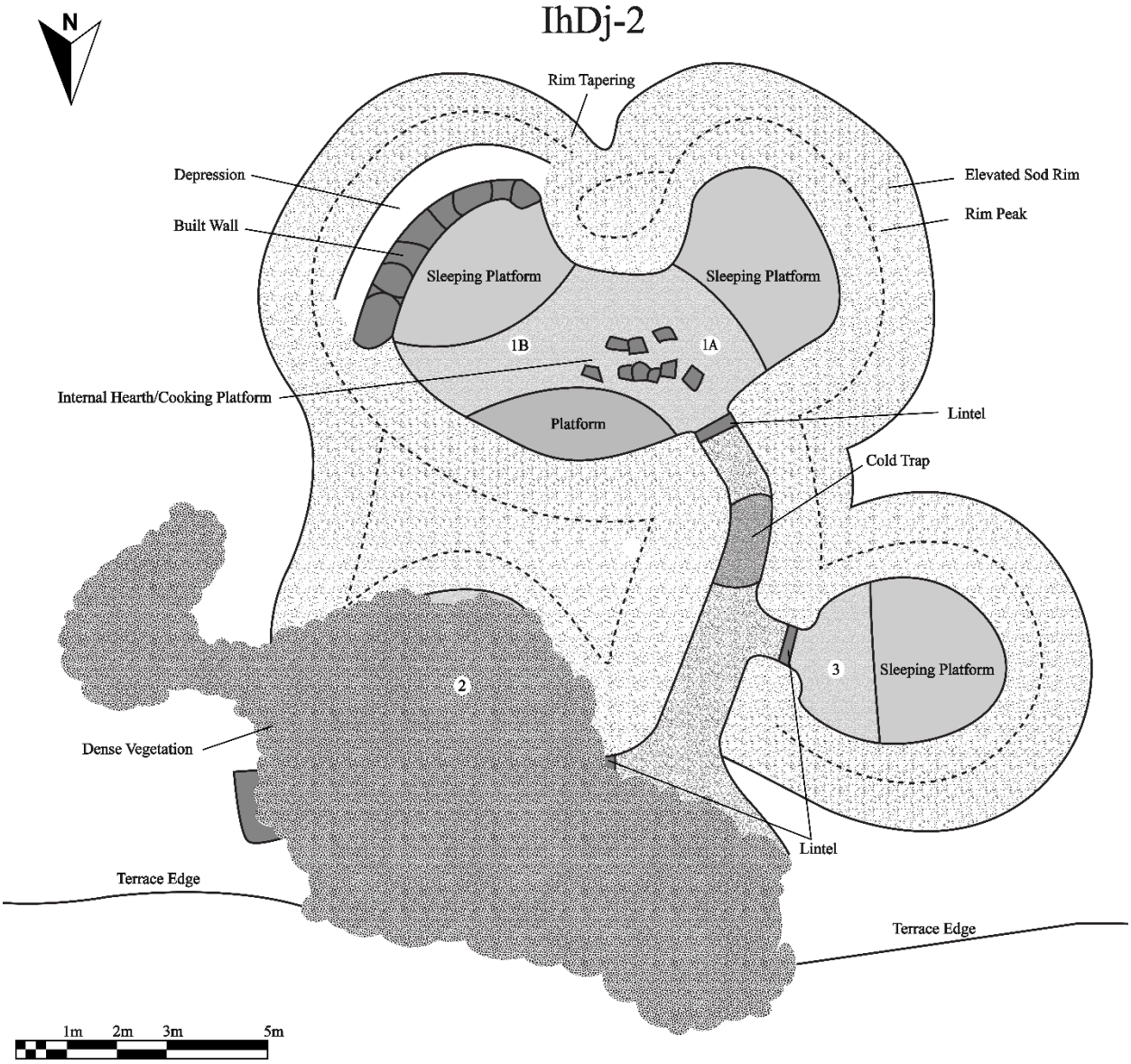


Figure 23 Plan of IhDj-2 Qarmait complex.

2.4 KEGLO BAY SECTOR

The fifth area visited was on the north shore of Keglo Bay at the confluence of the rivers Baudoncourt and Baudan, 1.5 km southwest of Alilatalik Point (Avataq Cultural Institute, 2021). A single site was extremely briefly visited in this area: IhDj-1. The site is located in a miniscule bay on the north shore and occupies a sand-gravel deposit. A small offshore outcrop is connected by way of a tombolo.

The site was initially recorded in the 1986 surveys undertaken by Avataq Cultural Institute (1992). A second visit was made in 2016 by Avataq (2017), and again during the 2023 fieldwork for about an hour.



Figure 24 Map of the Keglo Bay sector, localizing IgDj-1.

IgDj-1

The site is located upon a low slope quite near the shore; driftwood was observed having washed up all the way to the edge of structures 6 and 7. The slope rises northeastward and then become sheer cliffs and relatively large mountains. A small stream running east to west splits the site into two sections. A total of 16 structures were recorded in 1986, including 10 tent rings, 4 semi-subterranean dwellings, 1 cache, and 1 cache pit (Avataq Cultural Institute, 1992). Work undertaken in 2016 added 2 caches and 1 rock shelter for a new total of 19 structures. The 2016 team had difficulty locating those structures previously recorded as the vegetation had expanded to cover the majority of the site (Avataq Cultural Institute, 2017).

The visit by helicopter was so brief that only the task to relocate the semi-subterranean structures was undertaken. While the vegetation was just as dense as reported in 2016, if not more, the slight difference in timing meant that the willowherb flowers were in full bloom, which allowed us to relocate the semi-subterranean structures 6 and 7 quite easily. Structures 5 and 11 were found after traversing waist-deep willow and birch bushes. New coordinates were taken for these structures but time did not permit any more.



Figure 25 1986 map of IgDj-1 (Avataq Cultural Institute, 1992

2.5 KANGIQSUALUJJUAQ SECTOR

A short revisit was made at sites located inside the community, namely IeDl-1 and IeDl-2, which had been recorded in 1986 (Avataq Cultural Institute, 1988). The majority of IeDl-1 had been excavated in 1999 as it was threatened by development (Avataq Cultural Institute, 1999). The revisit of IeDl-1 determined that the remaining component had now been completely destroyed. Additionally, IeDl-2 proved impossible to relocate but our best estimations determined it had been destroyed by the expanding community.



Figure 26 Map of the Kangiqsualujjuaq sector.

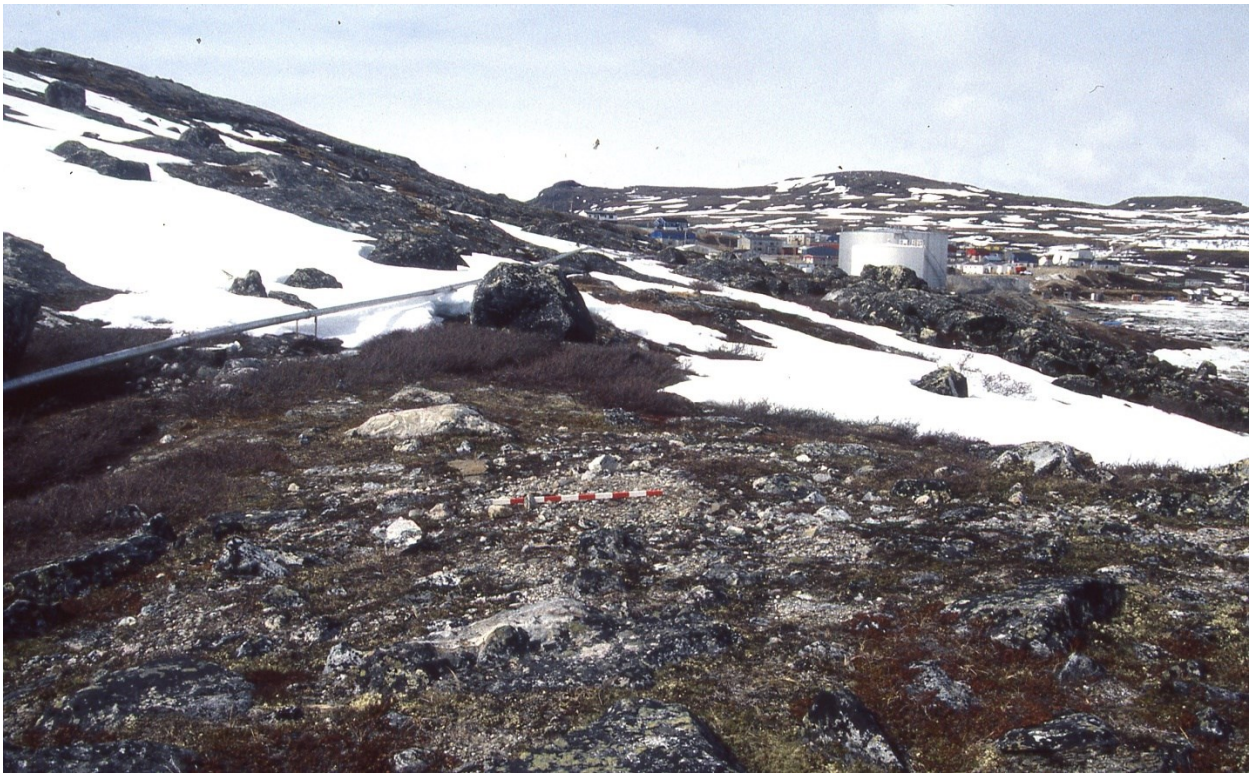


Figure 27 Location of IeDl-1 Structure 3, in 1999 (ACI).



Figure 28 Location of IeDl-1 Structure 3, in 2023.

CONCLUSION

Over the course of one week, a total of nine previously recorded sites were revisited. IeDm-2, IeDm-3, and IeDm-4 benefitted from being fully recorded for the first time and yielded more structures than had initially been observed by Loring and his team. The visit to IfDk-1 revealed that a large part of the site had been destroyed due to contemporaneous activity and that another large portion of the site was completely overgrown. Two of the three Qarmait previously identified at IfDk-2 were also fully overgrown, but structure 13 was clear of vegetation and proved useful for study. IhDj-2, which had been visited many times and finally fully recorded in 2016, was fully recorded by UAV equipped with LIDAR and 4k cameras, adding a wealth of data to better understand the geomorphological processes taking place. IgDj-1, though briefly visited, stood out as remarkable example of encroaching vegetation obscuring archaeological sites. Finally, the investigation of IeDl-1 and IeDl-2, contained within the community, revealed that they are no longer intact due to development and expansion of community infrastructure.

The site revisits proved fruitful; new data was collected and plenty of datable material was retrieved from test pits dug at IfDk-1, IfDk-2, and IgDj-2. Combining this data with that gathered by the multidisciplinary team is expected to provide valuable insights into Inuit occupations in Nunavik, and how these occupations leave traces at different scales, from the chemical traces in the soil to the plants which feed upon them. Furthermore, the collaborative efforts will enhance comprehension of the present condition of the natural environment, establishing a foundational framework for forthcoming climate change assessments and examining its impact on Nunavik's cultural heritage. Therefore, it is advisable to continue conducting diverse and high-quality research across Nunavik to elucidate the extent and ramifications of natural processes on both the Nunavimmiut territory and their cultural heritage.

BIBLIOGRAPHY

Allard, M. *et al.* (2012) 'Permafrost and climate change in Nunavik and Nunatsiavut: Importance for municipal and transportation infrastructures', in *Nunavik to Nunatsiabvut: From science to policy. An Integrated Regional Impact Study (IRIS) of climate change and modernization.* ArcticNet Inc, pp. 171–197.

Avataq Cultural Institute (1988) *Inventaire archéologique de l'aire d'étude du village de Kangiqsualujjuaq, Nouveau-Québec, réfection des infrastructures aéroportuaires.* Research S01560. MTQ: Avataq Cultural Institute, p. 47 p.

Avataq Cultural Institute (1992) *Archaeological survey of the eastern coasts of Hudson and Ungava bays, Nunavik*. Research S01998. Montréal, Québec: MAC, p. 27 p.

Avataq Cultural Institute (1999) *La fouille de sauvetage du site IeDl-1, Kangiqsualujjuaq, Nunavik*. Research S02730. Nontréal, Québec: MCCQ, p. 29.

Avataq Cultural Institute (2017) *Keglo Bay 2016 Archaeological Survey*.

Avataq Cultural Institute (2021) 'Nunatop Database'.

Goulet, N. and Ciesielski, A. (1990) 'The Abloviak shear zone and the NW Torngat Orogen, eastern Ungava Bay, Québec.', *Geoscience Canada* [Preprint].

Gray, J.T. and Lauriol, B. (1985) 'Dynamics of the Late Wisconsin Ice Sheet in the Ungava Peninsula Interpreted from Geomorphological Evidence.', *Arctic and Alpine Research*, 17(3), pp. 237–263.

Jansson, K.N. and Kleman, J. (2004) 'Early Holocene glacial lake meltwater injections into the Labrador Sea and Ungava Bay', *Paleoceanography*, 19(1). Available at: https://doi.org/10.1029/2003PA000943.

Loring, S. and Fitzhugh, W. (1979) *An Archaeological Survey of the Korok River Valley, Québec: A Summary.* S00185. National Museum of Natural History, Smithsonian Institute.

Makivvik Corporation (2024) *Kangiqsualujjuaq*, *Makivvik Corporation*. Available at: https://www.makivvik.ca/kangiqsualujjuaq/ (Accessed: 1 March 2024).

Maxwell, M.S. (1985) *Prehistory of the Eastern Arctic*. Orlando, Florida: Academic Press Inc. (New World archaeological record).

Nunavik Parks (2024) *Kuururjuaq*, *Kuururjuaq*. Available at: https://www.nunavikparks.ca/en/parks/kuururjuaq.

Occhietti, S. *et al.* (2004) 'Late Wisconsinan—Early holocene deglaciation of Québec-Labrador', in J. Ehlers and P.L. Gibbard (eds) *Developments in Quaternary Sciences*. Elsevier, pp. 243–273. Available at: https://doi.org/10.1016/S1571-0866(04)80202-1.

Plumet, P. *et al.* (1978) *Rapport Provisoire de la Mission Tuvaaluk 1977*. Research S0458. Montréal, Québec: Laboratoire d'archéologie de l'UQAM, p. 196 p.

Plumet, P. (1980) *Liste des sites archéologiques du Nouveau-Québec-Labrador enregistrés au Laboratoire d'archéologie de l'UQAM, programme Tuvaaluk, 1967-1979.* Montréal, Québec: Laboratoire d'archéologie de l'UQAM, p. 16 p.

Plumet, P. *et al.* (1991) 'Contribution à l'Archéologie et l'Ethnohistoire de l'Ungava Oriental. Côte Est, Killiniq îles Button, Labrador Septentrional', *Paleo-Quebec* [Preprint], (19).

Saladin d'Anglure, B. (2001) 'Chapitre VI : Les Inuit du Nunavik.', in G. Duhaime (ed.) *Le Nord. Habitants et mutations.* Sainte-Foy: Les Presses de l'Université Laval (Atlas historique du Québec), pp. 85–102.

Sepaq (2024) *Parc national Kuururjuaq*, *Parc national Kuururjuaq*. Available at: https://www.sepaq.com/pq/kur/index.dot?language_id=1.

Trenhaile, A.S. (2004) *Geomorphology: A Canadian Perspective*. Second Edition. Donmills, Ontario: Oxford University Press.

APPENDIX

APPENDIX 1: SITES CATALOGUE (2023)

Borden	Field Code	Cultural Affiliation	Site Name	Location	Description	Archaeological work	Analysis	Site Status	Latitude (WGS84)	Longitude (WGS84)	Elevation (m.a.s.l.)	Size	Map	Date Recorded	Value of Exception	Actual State of the Site	Comments	Portion résiduelle	Land Management Regime	MRC	Permit Number	Years Visited	Reports
IeDl-1	T7	Historic Inuit	n/a	100m south of Nagiqsualujjuaq on the western shore of the bay of the same name. Located on a flat area surrounded by rocky escarpments part a mountain ridge extending west for 3km forming the north shore of the George River, at the "Narrows". The site is composed of rock outcrops and sporadic boulders.	3 tent rings 3 caches 1 storage pit	Visual Inspection, Mapping, Test Pitting	Architecture	Last visited in 1999	58.68799009	-65.95009506	5-12	n/a	24I12	07-1986	Undetermined	Disturbed (1999) Excavated (1999) Destroyed (2023)	Excavated S1 and 2, caches, and storage pit. Test pitted S3 (1999). Destroyed (2023).	0 / 10	Category I	Kativik	23-AVTQ-04	1986, 1999, 2023	ACI 1988; ACI 1999; ACI 2024
IeDl-2	T8	Dorset	n	75m northeast of Kangiqsualujjuaq, on an ancient fluvial terrace extending east to west for about 500m. There is another lower terrace to to the south, a stream to the east flowing north to south, and outcrops to the west. Flat, with sporadic boulders.	7 tent rings	Visual Inspection, Mapping, Test Pitting	Architecture	Last visited in 1999	58.6946421	-65.95193661	12	n/a	24I12	07-1986	Undetermined	Intact (1988) Destroyed (2023)	Destroyed through community expansion (2023).	0 / 10	Category I	Kativik	23-AVTQ-04	1986, 1999, 2023	ACI 1988; ACI 1999; ACI 2024
IeDm-2	n/a	Pre-Inuit	Korok-12	Located in a large northwest-facing bay at the mouth of the George River (Kangirsualujjuap Paanga) about 9.85km northwest of the Kangisualujjuaq airport, near the bottom of a prominent system of raised beach terraces.	Find spots	Visual Inspection, Mapping	Architecture	Last visited in 2023	58.7768904	-66.0941121	15-16	40x30	24J16	08-1978	Undetermined	Intact	Intact.	10 / 10	Category I	Kativik	23-AVTQ-04	1978, 2023	Loring and Fitzhugh 1979; ACI 2024
IeDm-3	T2	Inuit	Korok-13	Located in a large northwest-facing bay at the mouth of the George River (Kangirsualujjuap Paanga) about 9.7km northwest of the Kangisualujjuaq airport, near the bottom of a prominent system of raised beach terraces.	4 tent rings	Visual Inspection, Mapping	Architecture	Last visited in 2023	58.775853	-66.091426	26-29	45x12	24J16	08-1978	Undetermined	Intact	Intact.	10 / 10	Category I	Kativik	23-AVTQ-04	1978, 2023	Loring and Fitzhugh 1979; ACI 2024
IeDm-4	T4	Undetermined	Korok-14	Located in on the southwest side of a a prominent system of raised beach terraces, facing the inside of George River towards Kangiqsualujjuaq about 9.25km northwest of the community airport.	1 double tent ring	Visual Inspection, Mapping	Architecture, Raw Material	Last visited in 2023	58.773521	-66.08445	49	10x10	24J16	08-1978	Undetermined	Intact	Intact.	10 / 10	Category I	Kativik	23-AVTQ-04	1978, 2023	Loring and Fitzhugh 1979; ACI 2024
IfDk-1	T6	Inuit, Historic	n/a	Located on the western shore of Nuvukallak Point in the Koroc River estuary. It is directly west of the Kuugaaluk rapids which form Kuurujjuaq Quinngua, the mouth of the Koroc River.	15 tent rings 1 semi-sub 3 caches 1 grave	Visual Inspection, Mapping, Test Pitting	Architecture	Last visited in 2023	58.8351065	-65.7915812	1-8	84x175	24I13	1986	Undetermined	Partially destroyed.	Most of the features are destroyed, the majority of the rest are overgrown.	5 / 10	Category I	Kativik	23-AVTQ-04	1986, 2023	ACI 1992; ACI 2023
IfDk-2	T5	Dorset, Inuit	n/a	Gravel deposit on the north shore of Koroc River estuary and is divided in 4 areas.	17 tent rings 3 semi-sub 2 caches 1 cache pit	Visual Inspection, Mapping, Test Pitting	Architecture, Lithic	Last visited in 2023	58.8709233	-65.7863234	3-6	100x200	24I13	1986	Undetermined	Intact	Intact.	10 / 10	Category II	Kativik	23-AVTQ-04	1986, 2023	ACI 1992; ACI 2023
IgDj-1	T10	Dorset, Inuit	n/a	The fifth area visited was on the north shore of Keglo Bay at the confluence of the rivers Baudoncourt and Baudan, 1.5km southwest of Alilatalik Point. The site is located in a miniscule bay on the north shore and occupies sand-gravel deposit. A small offshore outcrop is connected by way of a tombolo.	10 tent rings 4 semi-subs 3 cache 1 cache pit 1 rock shelter	Visual Inspection, Mapping, Test Pitting	Architecture, Lithic	Last visited in 2023	59.0728694	-65.6315194	10-15	100x150	24P4	1986	Undetermined	Intact	Intact.	10 / 10	Category II	Kativik	23-AVTQ-04	1986, 2016, 2023	ACI 1992; ACI 2016; ACI 2023
IhDj-2	T9	Inuit	Ung. 94	Located in the middle of Napaartuliup Kangisunga (Gregson Inlet) on the eastern shore. It is located directly at the edge of an elevated terrace on the south side of the river estuary. To the west and south of the site are large mountainous formations while to the east are the delta-like wetlands and streams flowing from lake Sanirarsiq.	3 semi-subs	Visual inspection, Mapping, Test Pitting	Architecture	Last visited in 2023	59.2050199	-65.5112896	21	20x20	24P4	1977	Undetermined	Eroding (2016) Eroding (2023)	Erosion appears slow, slightly mitigated by vegetation at the entrance of the structure.	8 / 10	Category II	Kativik	23-AVTQ-04	1977, 2016, 2023	Plumet 1980, 1991; ACI 2016; ACI 2023

APPENDIX 2: STRUCTURES CATALOGUE (2023)

Borden	Field Code	Feature Number	Feature Type	Cultural Affiliation	Description	Size (cm)	Photo	Latitude	Longitude	Elevation (m.a.s.l.)	Date
IeDm-2	T3-FS1	Locus 1	Find Spot	Pre-Inuit	Ramah flakes.	10x10	16	58.776812	-66.094163	15	7/25/2023
IeDm-2	T3-FS2	Locus 2	Find Spot	Pre-Inuit	Tool fragment.	50x50	17-18	58.776876	-66.094245	16	7/25/2023
IeDm-2	T3-FS3	Locus 3	Find Spot	Pre-Inuit	Worked nephrite and wire nail.	10x10	n/a	58.776945	-66.094013	16	7/25/2023
IeDm-3	T2-S2	Structure 1	Tent Ring	Inuit	Ovoid. Antler inside.	230x200	7-8	58.775987	-66.091251	26	7/25/2023
IeDm-3	T2-S1	Structure 2	Tent Ring	Inuit	Ovoid. Possible internal hearth. Possible sleeping platform.	600x535	4-6	58.775925	-66.09136	27	7/25/2023
IeDm-3	T2-S3	Structure 3	Tent Ring	Inuit	Half-Circle. Possible storage areas. Entrance passage.	670x400 (270x120)	9-12, 1-704	58.775853	-66.091426	27	7/25/2023
IeDm-3	T2-S4	Structure 4	Tent Ring	Inuit	Ovoid. Internal separation.	515x490	14-15	58.775728	-66.091594	29	7/25/2023
IeDm-4	T4-S1	Structure 1	Tent Ring	Undetermined	Double tent ring. Likely Inuit, previously interpreted as Pre-Inuit structure with mid-passage.	360x300, 410x390	20-22, 1-341	58.773521	-66.08445	49	7/25/2023
IkDf-2	T5-S13	Structure 13	Qarmaq	Inuit	Rectangular. Entrance Passage.	640x460 (170x90)	37-38	58.870919	-65.785489	4	7/26/2023
IkDf-2	T5-S14	Structure 14	Qarmaq	Inuit	Rectangular. Entrance Passage.	720x590 (140x80)	35	58.870952	-65.785424	6	7/26/2023
IkDf-2	T5-S15	Structure 15	Qarmaq	Inuit	Rectangular. Entrance Passage.	610x590 (120x110)	34	58.87094	-65.785533	4	7/26/2023
IfDk-1	n/a	Structure 1	Tent Ring	Inuit	Destroyed.	n/a	n/a	n/a	n/a	n/a	7/27/2023
IfDk-1	n/a	Structure 2	Tent Ring	Inuit	Destroyed.	n/a	n/a	n/a	n/a	n/a	7/27/2023
IfDk-1	n/a	Structure 3	Tent Ring	Inuit	Destroyed.	n/a	n/a	n/a	n/a	n/a	7/27/2023
IfDk-1	T6-S4	Structure 4	Qarmaq	Inuit	Open side, no entrance passage.	520x480	40-42	58.835216	-65.792055	7	7/27/2023
IfDk-1	n/a	Structure 5	Tent Ring	Inuit	Could not be located due to overgrowth.	n/a	n/a	n/a	n/a	n/a	7/27/2023
IfDk-1	n/a	Structure 6	Tent Ring	Inuit	Could not be located due to overgrowth.	n/a	n/a	n/a	n/a	n/a	7/27/2023
IfDk-1	n/a	Structure 7	Tent Ring	Inuit	Could not be located due to overgrowth.	n/a	n/a	n/a	n/a	n/a	7/27/2023
IfDk-1	n/a	Structure 8	Tent Ring	Inuit	Could not be located due to overgrowth.	n/a	n/a	n/a	n/a	n/a	7/27/2023
IfDk-1	n/a	Structure 9	Tent Ring	Inuit	Destroyed.	n/a	n/a	n/a	n/a	n/a	7/27/2023
IfDk-1	n/a	Structure 10	Tent Ring	Inuit	Destroyed.	n/a	n/a	n/a	n/a	n/a	7/27/2023
IfDk-1	n/a	Structure 11	Tent Ring	Inuit	Destroyed.	n/a	n/a	n/a	n/a	n/a	7/27/2023
IfDk-1	n/a	Structure 12	Tent Ring	Inuit	Destroyed.	n/a	n/a	n/a	n/a	n/a	7/27/2023
IfDk-1	n/a	Structure 13	Tent Ring	Inuit	Destroyed.	n/a	n/a	n/a	n/a	n/a	7/27/2023
IfDk-1	n/a	Structure 14	Tent Ring	Inuit	Destroyed.	n/a	n/a	n/a	n/a	n/a	7/27/2023
IfDk-1	n/a	Structure 15	Tent Ring	Inuit	Destroyed.	n/a	n/a	n/a	n/a	n/a	7/27/2023
IfDk-1	T6-S16	Structure 16	Grave	Inuit	Stacked walls. Large boulder in center.	175x75	48-51	58.834475	-65.791745	1	7/27/2023
IfDk-1	T6-S17	Structure 17	Tent Ring	Inuit	Rectangular.	355x345	52-54	58.835137	-65.79212	7	7/27/2023
IfDk-1	T6-CII	Structure 18	Cache	Inuit	Heavy boulder cache.	90x90	39	58.835081	-65.791869	8	7/27/2023
IeDl-1	T7-S1	Structure 1	Tent Ring	Inuit	Previously excavated. Destroyed.	n/a	n/a	n/a	n/a	n/a	7/29/2023
IeDl-1	T7-S2	Structure 2	Tent Ring	Inuit	Previously excavated. Destroyed.	n/a	Phone 2-3	n/a	n/a	n/a	7/29/2023
IeDl-1	T7-S3	Structure 3	Tent Ring	Inuit	Destroyed.	n/a	Phone 1	n/a	n/a	n/a	7/29/2023
IeDl-2	T8	Structures 1-7	Tent Ring	Inuit	Could not be relocated. Likely destroyed by town expansion/housing developments.	n/a	n/a	n/a	n/a	n/a	7/29/2023
IhDj-2	T9-S1	Structure 1	Qarmaq	Inuit	Bilobate. Leading to 2 other structures along long tunnel. Sleeping platform in 1A. Stone wall in 1B for possible reconfiguration. Lintel at entrance.	1230x570	Drone 582-889	59.20497128	-65.51132933	21	7/30/2023
IhDj-2	T9-S2	Structure 2	Qarmaq	Inuit	Covered in birch trees. Lintel at entrance.	770x600	Drone 582-890	59.20505078	-65.51126144	21	7/30/2023
IhDj-2	T9-S3	Structure 3	Qarmaq	Inuit	Sleeping platform. Lintel at entrance.	460x390	Drone 582-891	59.20502867	-65.51140335	21	7/30/2023
IgDj-1	T10-S5	Structure 5	Qarmaq	Inuit	Rectangular. Completley overgrown. Entrance Passage.	460x340 (170x80)	n/a	59.072718	-65.631121	15	7/30/2023
IgDj-1	T10-S6	Structure 6	Qarmaq	Inuit	Rectangular. Entrance Passage.	790x540 (460x120)	n/a	59.072797	-65.631243	13	7/30/2023
IgDj-1	T10-S7	Structure 7	Qarmaq	Inuit	Rectangular. Entrance Passage.	740x520 (480x130)	n/a	59.07288	-65.631262	15	7/30/2023
IgDj-1	T10-S11	Structure 11	Qarmaq	Inuit	Rectangular. Entrance Passage.	780x480 (330x100)	n/a	59.073217	-65.631642	12	7/30/2023

APPENDIX 3: ARTIFACTS

# Catalogue	Artefact	Material	Nb	Location	Field-Code	Level	N (cm)	E (cm)	D (cm)	Quad	Staff	Date	Comments
IeDm-2:1	Tool Fragment/Base	Ramah Chert	1	Locus 2	T3-L2	Surface					FPL	2023/07/25	
IeDm-2:2	Worked Nephrite	Nephrite	1	Locus 3	T3-L3	Surface					FPL	2023/07/25	
IeDm-2:3	Wire Nail	Iron	1	Locus 3	T3-L3	Surface					FPL	2023/07/25	
IeDm-2:4	Flakes	Ramah Chert	4	Locus 1	T3-L2	Surface					FPL	2023/07/25	
IeDm-2:5	Flakes	Ramah Chert	2	Locus 1	T3-L1	Surface					FPL	2023/07/25	
IfDk-2:53	Notched Point	Ramah Chert	1	TP21	T5-S13	2	34	14	15		FPL	2023/07/26	
IfDk-2:54	Flakes	Ramah Chert	2	TP21	T5-S13	1					FPL	2023/07/26	
IfDk-2:55	Flakes	Ramah Chert	1	TP21	T5-S13	2					FPL	2023/07/26	
IfDk-2:56	Seal Calcaneus	Bone	1	TP21	T5-S13	1					FPL	2023/07/26	Small Seal,Left, Complete, Gnawed
IfDk-2:57	Caribou Calcaneus	Bone	1	TP21	T5-S13	1					FPL	2023/07/26	Right, Proximal, 3/5 Complete
IfDk-2:58	Caribou Metatersal	Bone	1	TP21	T5-S13	1					FPL	2023/07/26	Left, Proximal, 1/5 Complete
IfDk-2:59	Caribou Tibia	Bone	1	TP21	T5-S13	1					FPL	2023/07/26	Left, Distal, 2/5 Complete, Curvilinear Fracture
IfDk-2:60	Caribou Calcaneus	Bone	1	TP21	T5-S13	1					FPL	2023/07/26	Left, Proximal, 2/5 Complete
IfDk-2:61	Wolf Unlna	Bone	1	TP21	T5-S13	1	27	36	8		FPL	2023/07/26	Complete, Gnawed
IfDk-2:62	Wolf Radius	Bone	1	TP21	T5-S13	1	27	36	8		FPL	2023/07/26	Proximal, 3/5
IfDk-2:63	Unidentified Bone Fragments	Bone	5	TP21	T5-S13	1					FPL	2023/07/26	
IfDk-2:64	Seal Rib	Bone	1	TP21	T5-S13	2					FPL	2023/07/26	Intermediate, 2/5 Complete,
IfDk-2:65	Caribou Tibia	Bone	1	TP21	T5-S13	2					FPL	2023/07/26	Right, Distal, 2/5 Complete, Curvlinear Fracture
IfDk-2:66	Caribou Radio-Ulna	Bone	1	TP21	T5-S13	2					FPL	2023/07/26	Intermediate, 1/5 Complete
IfDk-2:67	Caribou Scapula	Bone	1	TP21	T5-S13	2					FPL	2023/07/26	Left, Proximal, 1/5
IfDk-2:68	Caribou Tarsal	Bone	1	TP21	T5-S13	2					FPL	2023/07/26	4th and Central, Right, Complete
IfDk-2:69	Caribou Tarsal	Bone	1	TP21	T5-S13	2					FPL	2023/07/26	4th and Central, Right, 4/5Complete
IfDk-2:70	Caribou Astragulus	Bone	1	TP21	T5-S13	2					FPL	2023/07/26	Right, Complete, Complete
IfDk-2:71	Caribou Scapula	Bone	1	TP21	T5-S13	2					FPL	2023/07/26	Right, Proximal, 1/5 Complete
IfDk-2:72	Caribou Metapodial	Bone	1	TP21	T5-S13	2					FPL	2023/07/26	Distal, 1/5 Complete
IfDk-2:73	Caribou Phalange	Bone	1	TP21	T5-S13	2					FPL	2023/07/26	Intermediate, Complete
IfDk-2:74	Unidentified Large Mammal Shaft Fragment	Bone	4	TP21	T5-S13	2					FPL	2023/07/26	Likely Caribou
IfDk-2:75	Unidentified Bone Fragments	Bone	16	TP21	T5-S13	2					FPL	2023/07/26	
IhDj-2:1	Unidentified Bone	Bone	2	TP3	T7-S3	1					FPL	2023/07/30	
IhDj-2:2	Charcoal	Charcoal	1	TP3	T7-S3	1	75	78			FPL	2023/07/30	
IhDj-2:3	Charcoal	Charcoal	1	TP3	T7-S3	1	85	30	14		FPL	2023/07/30	
IhDj-2:4	Charcoal	Charcoal	1	TP3	T7-S3	2			15		FPL	2023/07/30	
IhDj-2:5	Charcoal	Charcoal	1	TP3	T7-S3	2	60	24			FPL	2023/07/30	
IhDj-2:6	Charcoal	Charcoal	1	TP3	T7-S3	2			20	Center	FPL	2023/07/30	
IhDj-2:7	Fat	Animal Fat	1	TP3	T7-S3	2			38	SE	FPL	2023/07/30	
IhDj-2:8	Charcoal	Charcoal	1	TP3	T7-S3	1	15	17			FPL	2023/07/30	
IhDj-2:9	Charcoal	Charcoal	1	TP3	T7-S3	2			10	SE	FPL	2023/07/30	Hearth

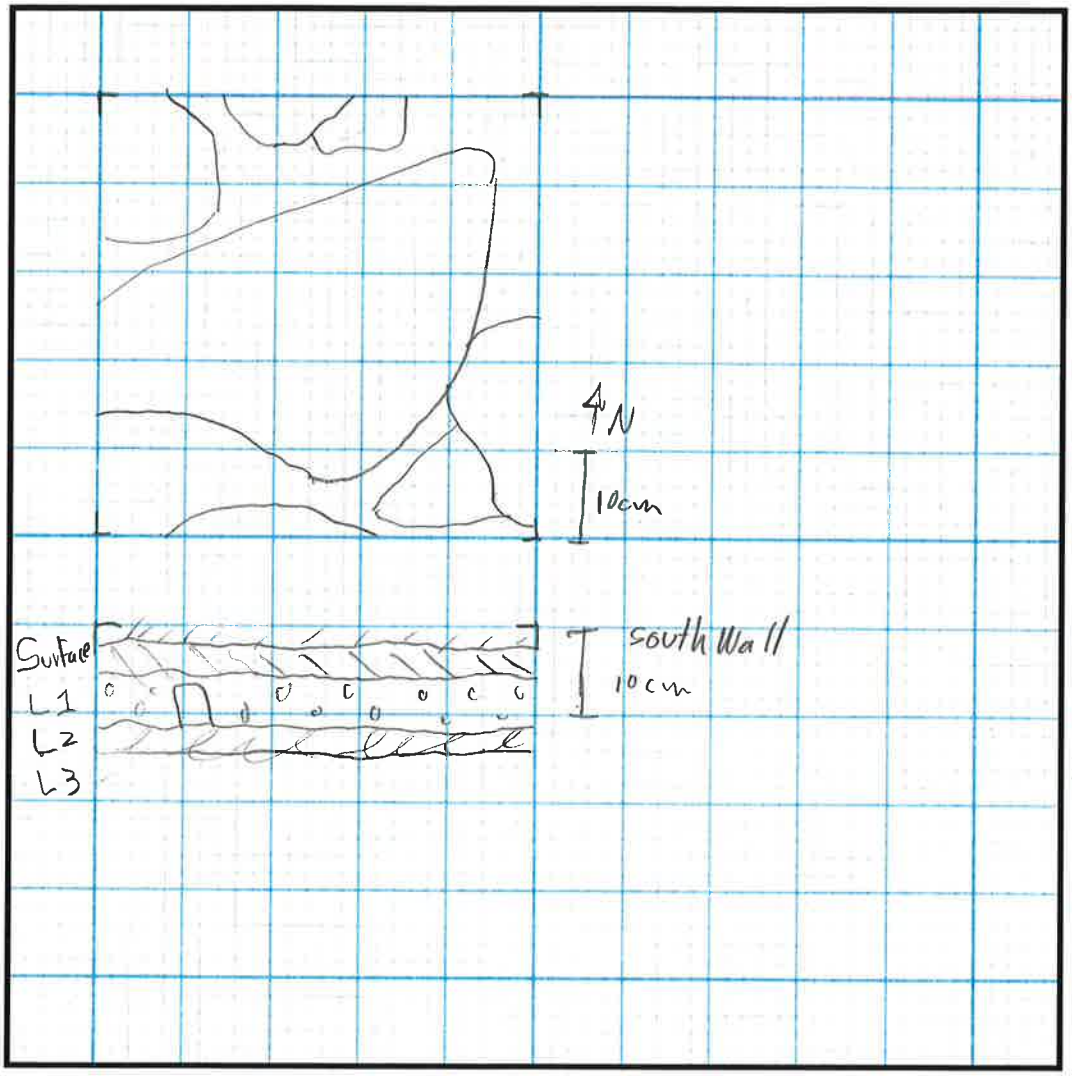
APPENDIX 4: PHOTOGRAPHS CATALOGUE

Borden	Field Designation	Feature	Camera	Orientation	Photo	Test Pit	Level	Staff	Date
IeDm-3	T2-S2	S2	Handheld	NW	4	n/a	n/a	FPL	2023/07/25
IeDm-3	T2-S2	S2	Handheld	NE	5	n/a	n/a	FPL	2023/07/25
IeDm-3	T2-S2	S2	Handheld	NE	6	n/a	n/a	FPL	2023/07/25
IeDm-3	T2-S1	S1	Handheld	N	7	n/a	n/a	FPL	2023/07/25
IeDm-3	T2-S1	S1	Handheld	NW	8	n/a	n/a	FPL	2023/07/25
IeDm-3	T2-S3	S3	Handheld	N	9	n/a	n/a	FPL	2023/07/25
IeDm-3	T2-S3	S3	Handheld	W	10	n/a	n/a	FPL	2023/07/25
IeDm-3	T2-S3	S3	Handheld	NW	11	n/a	n/a	FPL	2023/07/25
IeDm-3	T2-S3	S3	Handheld	W	12	n/a	n/a	FPL	2023/07/25
IeDm-3	T2-S3	S3	Handheld	NE	13	n/a	n/a	FPL	2023/07/25
IeDm-3	T2-S4	S4	Handheld	N	14	n/a	n/a	FPL	2023/07/25
IeDm-3	T2-S4	S4	Handheld	W	15	n/a	n/a	FPL	2023/07/25
IeDm-2	T3-F1	F1	Handheld	Top Down	16	n/a	n/a	FPL	2023/07/25
IeDm-2	T3-F2	F2	Handheld	Top Down	17	n/a	n/a	FPL	2023/07/25
IeDm-2	T3-F2	F2	Handheld	Top Down	18	n/a	n/a	FPL	2023/07/25
IeDm-2	T3-F3	F3	Handheld	Top Down	19	n/a	n/a	FPL	2023/07/25
IeDm-4	T4-S1	S1	Handheld	NW	20	n/a	n/a	FPL	2023/07/25
IeDm-4	T4-S1	S1	Handheld	W	21	n/a	n/a	FPL	2023/07/25
IeDm-4	T4-S1	S1	Handheld	NW	22	n/a	n/a	FPL	2023/07/25
IfDk-2	T5-S13	S13	Handheld	Top Down	24	T21	Surface	FPL	2023/07/26
IfDk-2	T5-S13	S13	Handheld	E	25	T21	Surface	FPL	2023/07/26
IfDk-2	T5-S13	S13	Handheld	Top Down	26	T21	L1	FPL	2023/07/26
IfDk-2	T5-S13	S13	Handheld	Top Down	27	T21	L2	FPL	2023/07/26
IfDk-2	T5-S13	S13	Handheld	Top Down	29	T21	L2 Find	FPL	2023/07/26
IfDk-2	T5-S13	S13	Handheld	Top Down	33	T21	L3	FPL	2023/07/26
IfDk-2	T5-S15	S15	Handheld	N	34	n/a	n/a	FPL	2023/07/26
IfDk-2	T5-S14	S14	Handheld	W	35	n/a	n/a	FPL	2023/07/26
IfDk-2	T5-S13	S13	Handheld	Top Down	36	T21	Backfill	FPL	2023/07/26
IfDk-2	T5-S13	S13	Handheld	W	37	n/a	n/a	FPL	2023/07/26
IfDk-2	T5-S13	S13	Handheld	N	38	n/a	n/a	FPL	2023/07/26
IfDk-1	T6-CII	CII	Handheld	SE	39	n/a	n/a	FPL	2023/07/27
IfDk-1	T6-S4	S4	Handheld	W	40	n/a	n/a	FPL	2023/07/27
IfDk-1	T6-S4	S4	Handheld	W	41	n/a	n/a	FPL	2023/07/27
IfDk-1	T6-S4	S4	Handheld	S	42	n/a	n/a	FPL	2023/07/27
IfDk-1	T6	Area A	Handheld	N	43	n/a	n/a	FPL	2023/07/27
IfDk-1	T6	Area A	Handheld	NE	44	n/a	n/a	FPL	2023/07/27
IfDk-1	T6	Area B	Handheld	NW	45	n/a	n/a	FPL	2023/07/27
IfDk-1	T6-S16	S16	Handheld	E	48	n/a	n/a	FPL	2023/07/27
IfDk-1	T6-S16	S16	Handheld	S	49	n/a	n/a	FPL	2023/07/27
IfDk-1	T6-S16	S16	Handheld	SW	50	n/a	n/a	FPL	2023/07/27
IfDk-1	T6-S16	S16	Handheld	W	51	n/a	n/a	FPL	2023/07/27
IfDk-1	T6-S17	S17	Handheld	W	52	n/a	n/a	FPL	2023/07/27
IfDk-1	T6-S17	S17	Handheld	W	53	n/a	n/a	FPL	2023/07/27
IfDk-1	T6-S4	S4	Handheld	Top Down	57	TP4	Surface	FPL	2023/07/27
IfDk-1	T6-S4	S4	Handheld	Top Down	59	TP4	L1	FPL	2023/07/27
IfDk-1	T6-S4	S4	Handheld	Top Down	60	TP4	L2	FPL	2023/07/27
IfDk-1	T6-S4	S4	Handheld	Top Down	61	TP4	L2	FPL	2023/07/27
IfDk-1	T6-S4	S4	Handheld	Top Down	62	TP4	L3	NB	2023/07/27
IeDl-1	T7-S3	S3	Handheld	NW	63	n/a	n/a	FPL	2022/07/29
IeDl-1	T7-S1	S1	Handheld	NW	64	n/a	n/a	FPL	2022/07/29
IeDl-1	T7-S1	S1	Handheld	NW	65	n/a	n/a	FPL	2022/07/29
IhDj-2	T8-S2	S2	Handheld	Top Down	66	TP3	Surface	FPL	2022/07/30
IhDj-2	T8-S2	S2	Handheld	Top Down	67	TP3	L1	FPL	2022/07/30
IhDj-2	T8-S2	S2	Handheld	Top Down	68	TP3	L2	FPL	2022/07/30
IhDj-2	T8-S2	S2	Handheld	Top Down	69	TP3	Hearth	FPL	2022/07/30
IhDj-2	T8-S2	S2	Handheld	Top Down	70	TP3	L3	FPL	2022/07/30
IhDj-2	T8-S2	S2	Handheld	Top Down	71	TP3	Backfill	FPL	2022/07/30
IhDj-2	T8	n/a	Drone	S	72	n/a	n/a	FPL	2022/07/30
IhDj-2	T8	n/a	Drone	Top Down	73	n/a	n/a	FPL	2022/07/30
IhDj-2	T8	n/a	Drone	Top Down	74	n/a	n/a	FPL	2022/07/30

APPENDIX 5: TEST-PITS AND STRATIGRAPHIE

TEST-PIT SITE IFDK-2:513 TEST PIT # 21 Name Francois P.L. Date 26/07/2023

GPS 12 Lat 58.8708970 Long 65.7854730 Datum _____ ☑ Sun ☐ Grey ☐ Rain ☐ Wind



Legend

Surface : ////

Moss Roots: \\\\\

L1 Sandy Loam : ° ° °

L2 Loam : ////

Photos

FPL

P 24 : Surface
P 26 : Top of L1
P 27 : Top of L2
P 28 : Notched point
P 30-33 : L3
38 : Backfill

ARTEFACTS (Y) / N

BONES (Y) / N

CHARCOAL Y / (N)

VEGETATION

☒ grass ☐ lichen
☒ moss ☐ shrub

SOIL, LEVELS

Surface : Moss with grasses and flowers. The roots is deeply rooted

L1 : Sandy loam matrix ; caribou, seal, wolf bones Recovered with ramah flakes

L2 : thick greasy loam with little to no sand ; seal and caribou bones: Dorset notched point

L3 : Bottom is well paved with flagstones

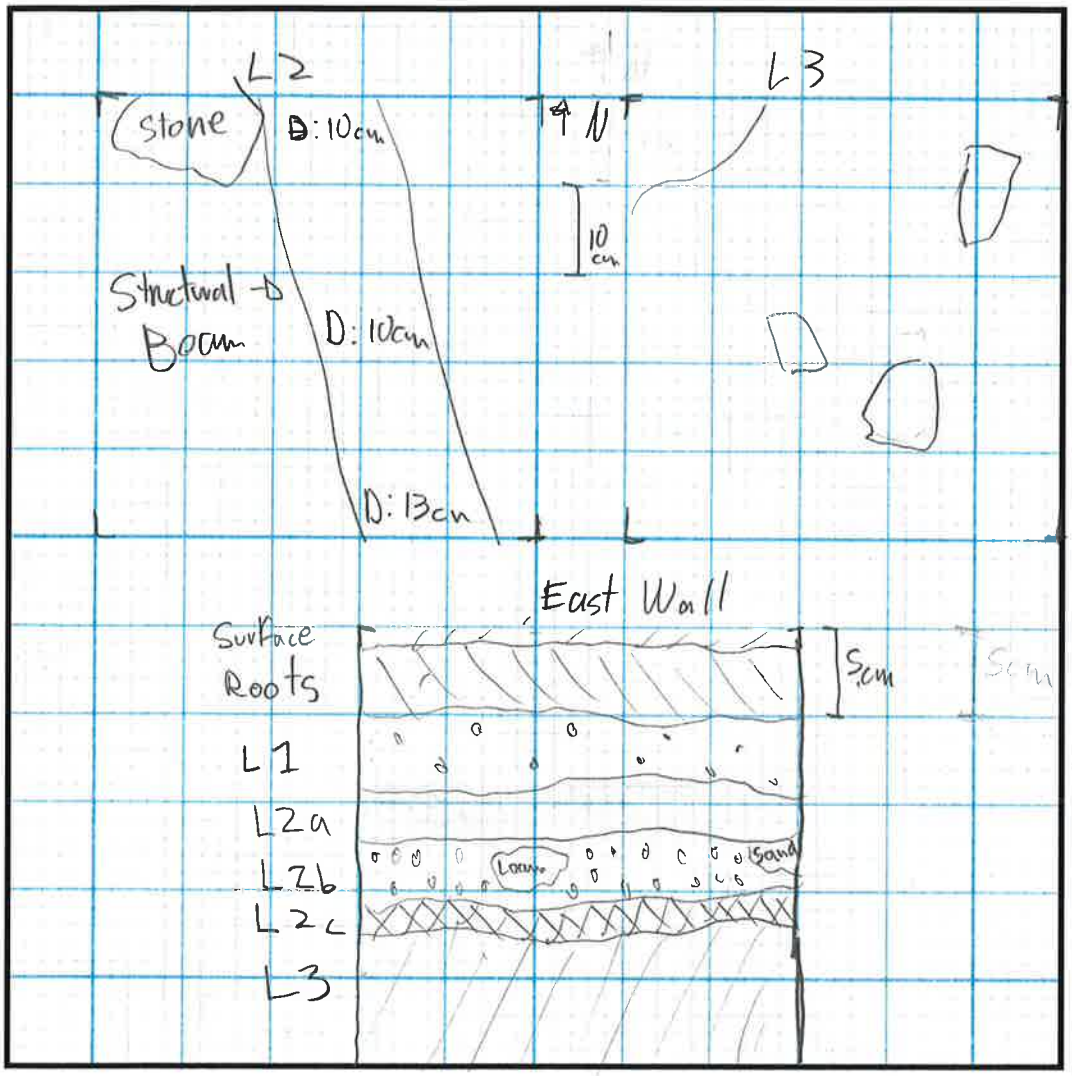
DESCRIPTION, COMMENTS

L1 Bottom : N 8cm, E 7cm, S 3.5cm

L2 Bottom - L3 : NW 13cm, NE 15cm, SW 14cm, SE 9cm

TEST-PIT SITE IFDk-1 TEST PIT # 4 Name Francois P.C. Date 27 / 07 / 2023

GPS 24 Lat 58.8352160 Long 65.7920550 Datum _____ ☐ Sun ☑ Grey ☑ Rain ☐ Wind



Legend

Surface: ////

Roots: \\\

L1 Sandy Loam: . . .

L2a Fine Yellow Sand:

L2b Sandy Loam, Pockets of Loam/Sand

L2c Fine Grey Sand: XXX

L3 sterile orange sand: ////

Photos

FPL_NB

P Surface: 57

P L1 : 59

P L2 : 60

P L2 : 61

L3 62

ARTEFACTS	Y / (N)
BONES	Y / (N)
CHARCOAL	Y / (N)

VEGETATION

☐ grass ☐ lichen ☒ moss ☐ shrub

SOIL, LEVELS

Surface-Roots : The surface was composed almost exclusively of moss with deep moss roots.

L1 : Mix of sandy loam

L2 : L2a is fine yellow sand L2b was sandy loam with pockets of sand and of loam, L2c was fine grey sand.

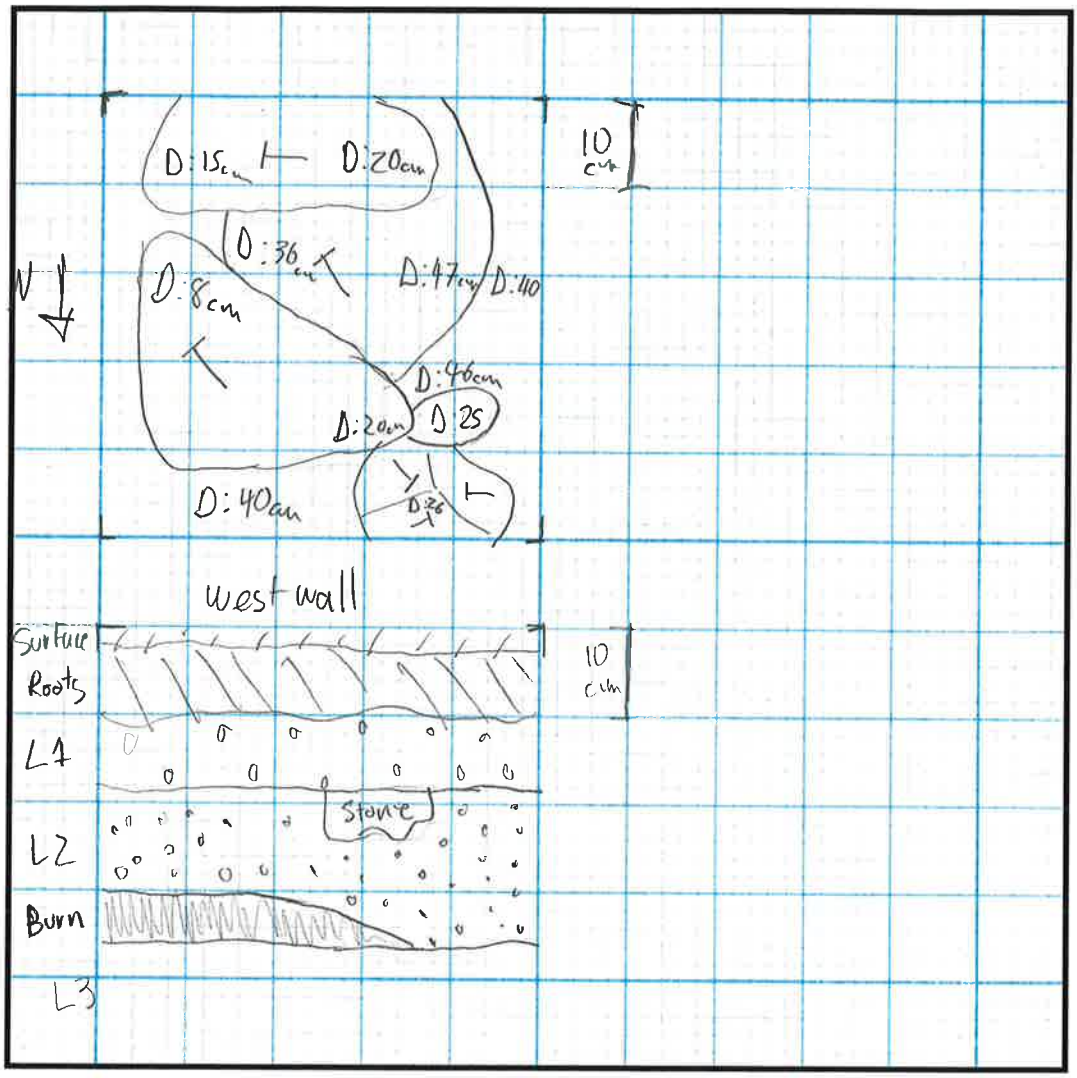
L3 : The bottom of this test pit, L3, is composed of sterile fine orange sand

DESCRIPTION, COMMENTS

A wooden structural beam was found in L2 running north to south. It was extracted for dendrochronological and radiocarbon analysis.

TEST-PIT SITE IhDj-2 TEST PIT # 3 Name Francois P.L. Date 30/07/2023

GPS 29 Lat 59.20580160 Long 65.5114190 Datum _____ ☒ Sun ☐ Grey ☐ Rain ☐ Wind



Legend

Surface : ////

Roots : \\\\\\

L1 Sandy Loam : ° ° °

L2 Very Sandy Loam : ° ° °

APPENDIX 6: FIELDNOTES

Location _____ Date _____

Project / Client _____

Location Montreal / Kuujjuaq + GR Date 24/07/23

Project / Client _____

Scale _____

9:00 Flight Montreal → Kuujjuaq

18:30 Flight Kuujjuaq → GR

01:10 Arrived at GR

Rite in the Rain.

Location G-R Area Date 25/07/23

Project / Client CEN

We left the Cen station around 11.30 by Side-by-Side ATV and followed a road north, eventually we parked and hiked to site

In search of IcDm-2 to 4 a historic structure / tent ring was found

T1 S1 Historic tent ring

Added to IcDm-4 [illegible]

GPS 0007

Photo 1 Wholetent

2 Tent missing N

3 Log with tape

Ridge

log with man peg, Moderne Cut

N

670cm

6

Tent

12m

Tent line boulders

710cm

The tent is built at the edge of a ridge on a small terrace. Boulders at edge of ridge, max 150 diagonal terrace. More boulder ridges upslope. Below towards N and W is a Valley to the N-NE is a mountain

7918

Location Date

Project / Client

Scale S2

T2 S1 - IcDm-3? Doorway? Entrance?

Tent Ring with mid passage or Sleeping platform

Sleeping Platform line

Mid passage

GPS 0008

605cm Photo 4 long side

5 Short side

6 Cooking Platform

N

1260cm

Possible cooking Platform

The Structure is one of 4 S structures on a cobble ridge within the valley. To the South is a mountain, and to the NE is steep. The valley runs N-NW by S-SE. The structure looks incredibly old due to the black lichen completely covering every boulder, which leads one to think Dorset. However, the size and internal configuration may suggest Iron Age. The possible mid passage may actually be the line of boulders separating

Rite in the Rain

Location _____ Date _____

Project / Client _____

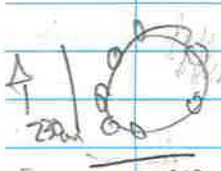
No sleeping platform from the living area of the tent. In the western portion of the tent are a few boulders which may have held the lamps and cooking pot in thule-tent style

T2 S2 S1 Tent ring

GPS: 03

F: 7 W

8 N



Small tent ring on cobble ridge, to NE of S1, D. to geo. Complete lichen coverage. Antler frag in interior, extremely old, but is it contemporaneous? Interior is cobble and sphagnum + willow on N-NE end

Location _____ Date _____

Project / Client _____

Scale _____

Early Thule ?

T2 S3 Tent Ring

GPS: 0004

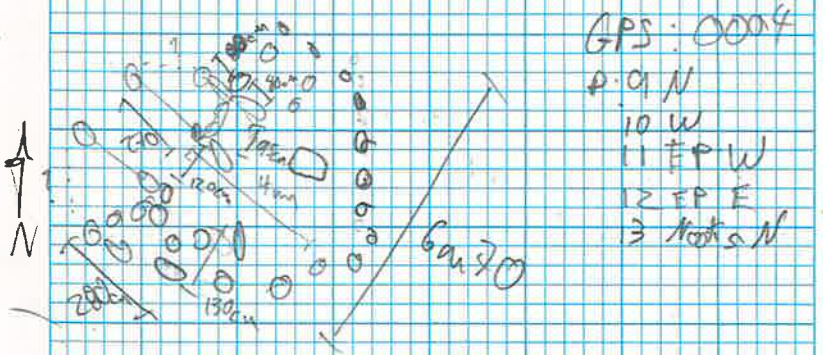
0 N

10 W

11 FP W

12 FP E

3 knots N



Very large and complex tent ring. It has an elongated entrance passage which may have also been connected to the semi-circle east-ish and to create something much more circular. To the SW below the entrance may be a large storage area, and there are multiple rocks to the north of the passage. A large flat slab in the interior. This strikes me as very early Thule from its complexity and the intense lichen growth!

Photogrammetry

P: IeDm-3

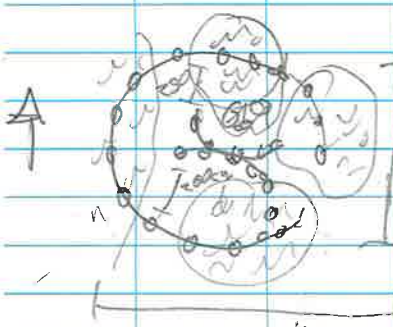
Ditto geo as S1+2

Location _____ Date _____

Project / Client _____

T254 Double Tent Ring

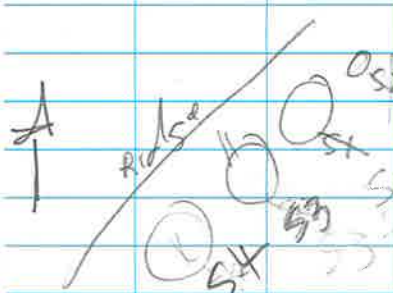
GPS 0005



+14 N
15 W

Site Photos 576-577W
578 Top Down
579 S3

This structure is mostly overgrown and it is difficult to properly see the full shape. It appears as a single large circle on the western edge but the center anomaly may suggest either a double tent ring or a internal separation. Ditto geo



This is likely TeDm-3 as they had suggested a double tent ring which may be S4 and had calculated 28cm ASL, and the GPS currently indicates 33m

The lack of Material also suggests Thule-Inuit

Location _____ Date _____

Project / Client _____

Scale _____

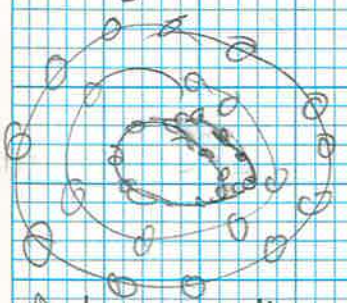
T3 TeDm-2

This site was recorded at 16m ASL by Fitzhugh/Loring (F1). They made their camp nearby and mention several tent rings AND a small middle Dorset camp. So far the evidence suggests 2 historic Inuit tent rings and an scattered Dorset deposits which are eroding or have eroded from sandy deposits on this ridge.

S1 Historic Tent Ring

GPS 0007

P: Drone 570-572

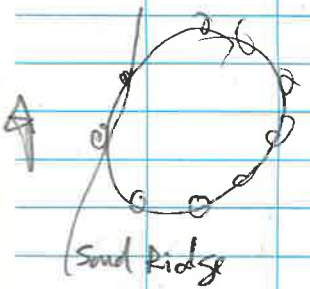


Redraw and Measure From Drone Pic.
On top of Cobble ridge at 22m ASL.
Eroding Sand Ridge to the East, Sea to W.
Complex circle of boulders for Caribou tent liners. Nail + Nephrite Frag

Location _____ Date _____

Project / Client _____

SZ Historic tent ring



GPS 0006
P: Drone 573

Atop Eroding Sand Ridge E of SZ
Full, vegetated other than eroding
E edge

Site Photos 574-575 S

FS1 GPS 0008
P16
Size: 10cm x 10cm

FS2 GPS 0009 at Tool Frag
P17 Tool Frag
P18 FS2
Size: 50cm x 50cm

~~FS3~~

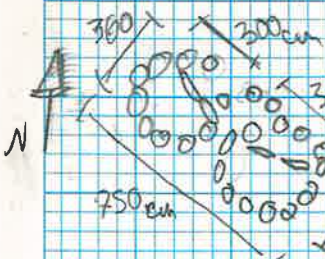
~~S1~~ GPS 10
P19 Nephrite + Nail

Location _____ Date _____

Project / Client _____

Scale _____

T4 S1 IeDm-4
Pre-Dorset Tent ring



GPS 0011
P: Z0
Z1
Z2

Photogrammetry P: IeDm 4S1 1-341

Probable Predorset tent ring with mid passage. Double rings with interior divisions. On a bench terrace with a steep drop 40m to the east. Highest point of ridge to the west. Site is on other side/slope of the valley from T1-3. Terrace is exposed cobble, pebble, gravel, sand with large coverage of dwarf vegetation above and sporadic below. Interior mostly vegetated. Blueberry Lichen. Tool a prehistoric in the Dorset position as Fitzhugh

Rite in the Rain

Location GR Area Date 26/03/23

Project / Client CEN

11:30 departure from the community by speed boat. Headed towards IFDK-2, and then potentially IFDK-1, 3, 4. Planned test pitting and semi-sub sod features for the collection of soil samples for geochemical analysis.

Arrived At cabin near IFDK-2 at around 13:30. Ate lunch.

Considering the site was properly recorded in 1986 by Avatag, no more monitoring will be done. Photo and GPS and surface collection

IFDK-2 S14-15 GPS 14 0014 TS-S14
GPS15 0015 TS-S15
S13 GPS13 0013 TS-13

Both structures are completely covered in thick high birch bushes. The elevated sod rims appear intact underneath the vegetation.

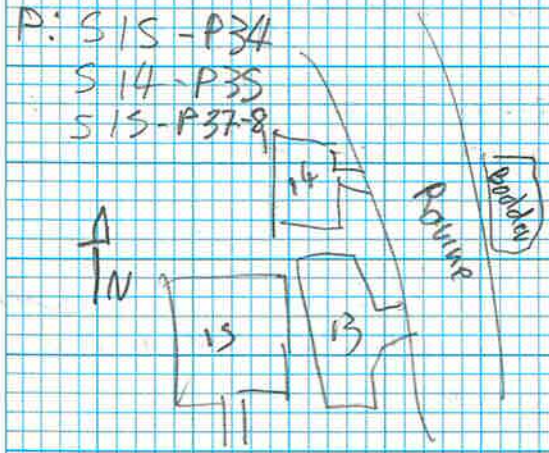
Location Date

Project / Client

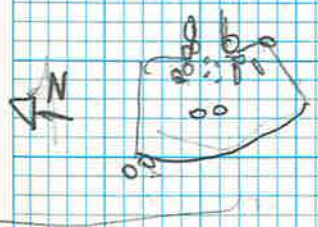
Scale

The walls of 14, 15, 13 are all shared. 13 and 14 have East facing entrances, while 15 has a South facing entrance.

P: S15-P34
S14-P35
S15-P37-8



S13



The only structures not covered in thick birch, matter is a mix of moss, sphagnum, and purple flowers. Some structural and natural boulders are visible

Rite in the Rain

Location _____ Date _____

Project / Client _____

IfOk-2 S13 TP 21

Photo: 24 Surface GPS 00012
25 E top of Rim
26 Top of L1

Surface: Moss and Flowers, moss is deeply rooted

L1: Bone in top of L1 SW Quad, seal
Caribou bone recovered
Sandy loam Matrix

L2: Top of L2 is a much thicker, greasy loam with little to no sand.

D: Bottom N 8cm
E 7cm
S 3.5cm

Photo 27: Top of L2
28: Dorset Notched Point
29:
30-33: L2 bottom - L3 Top

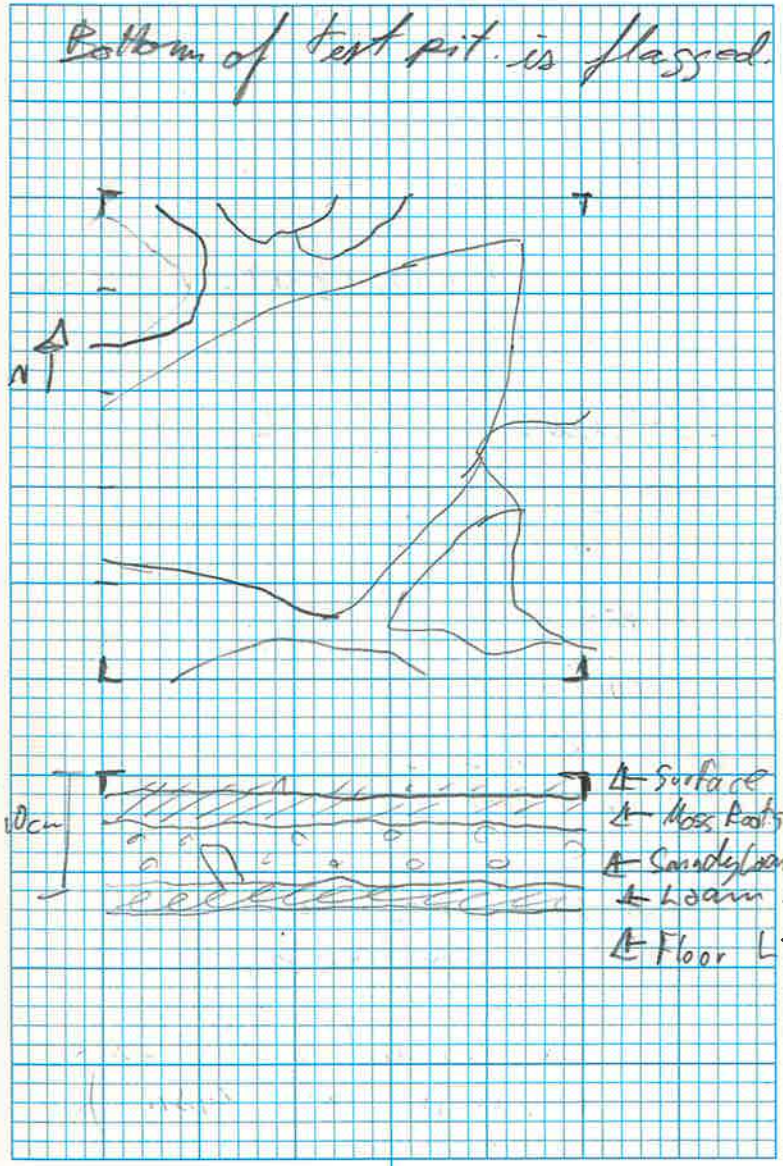
D: NW 13 P: 38 Backfill
NE 15
SW 14
SE 1

Location _____ Date _____

Project / Client _____

Scale _____

Bottom of test pit is flagged.



Rite in the Rain

Location GR Area Date 27/07/23

Project / Client

12:30 left by speedboat to go towards the mouth of the Korac river and then to IFDK-1

2:30 Arrival at IFDK-1

Site hard to recognise from 1986 Image

FII cache GPS: 16
P: 39 SE

on a sloping cobble and boulder field

46-54

H4 Semi-Sub GPS 17
P: 40, 41, 42

Almost fully overgrown, visible rims towards the E, the E entrance has no passage but is open as wide at the base. Whatever boulders were visible on 1986 are no longer visible. high mosses and B prob buds interior.

Location Date

Project / Client

Scale

Area containing H 1, 2, 3, 10, 11, 12, 13, 14, 15 is disturbed and likely destroyed. Two cabins were constructed directly north of this cluster, and boulders have been moved and/or reused for fire pits and modern tents. Some feature boulders appear still in place, (almost buried en mass, while the maps are superficial and appear recently moved to the point of completely obscuring and tent rings structure

P: 43N, 44 NE, 45 NW (3 people near S4)

possible S14 GPS 16
P #6

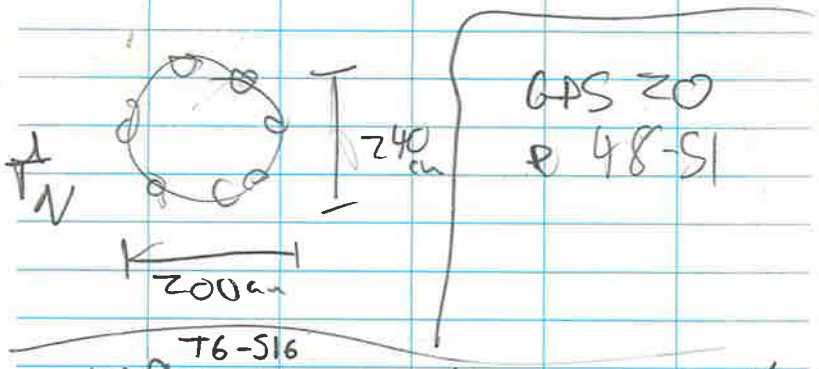
Rite in the Rain

Location _____ Date _____

Project / Client _____

Possible Sq GPS 19
P 47

This is the only possible structure still visible. The rest of the corresponding cluster is completely overgrown with thick brush of significant height. While still possibly intact, it is impossible to relocate.



INDK-156 Possible bravo in the SW of cluster of tent rings buried by vegetation stacked walls, but large boulder in middle

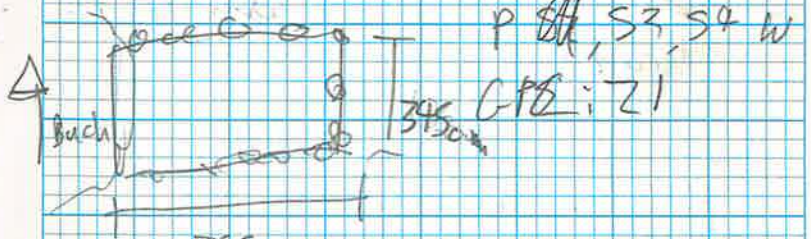


Location _____ Date _____

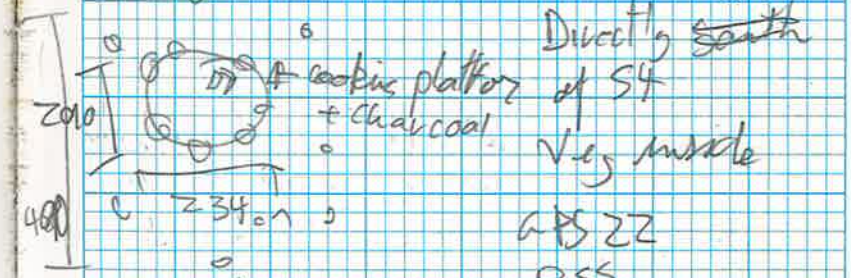
Project / Client _____

Scale T6-S17

S17 Rectangular, 0.4 quad Tent Ring for some reason it was never recorded in GPS 16 even though it is just 2m SE of S4. It does not look too recent due to the partial burial of the boulders and the black lichen



T6-518 S1 Historic Extensive



Rite in the Rain

Location _____ Date _____

Project / Client _____

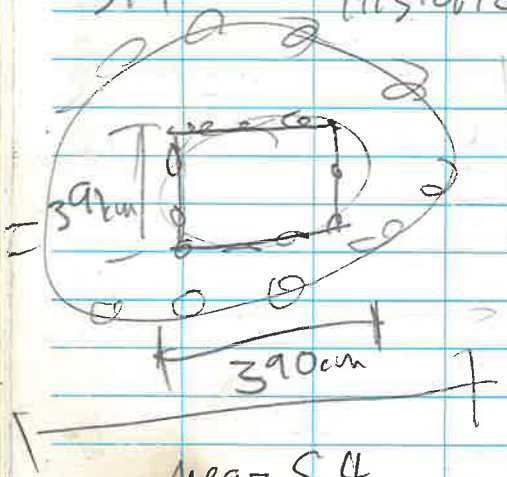
T6-S19

S19 Historic tent Ring

Round or Square

GPS 23

P56



Near S4

T P54 in S4 P57 surface GPS 24

Thick layer of moss starting at surface. Top of layer 1: photos 58-59

L1 is a mix of sandy loam.

Photo 60: Top of layer 2.

L2 has packets of sand, and packets of Loam as well as what looks like a structural Wooden Beam running N-S

Location _____ Date _____

Project / Client _____

Scale _____

Within L2

(stone)

D: 10 Structural Beam

D: 10

D: 13

N

L2 has 3 sub layers

L2a is fine sand

L2b is Loamy

L2c is fine sand again

L3 is Sterile orange Sand

P61 Top of L3

G23E wall

G4 W Wall

Rite in the Rain

Location GR Area Date 28/07/23

Project / Client CEN

An attempt was made to return to IAUK-1 by boat around 13:30, but once we reached the mouth of the bay, the water became too dangerous to continue to site.

Location GR Area Date 29/07/23

Project / Client CEN

Scale

The day proved to be extremely foggy, delaying the arrival of the helicopter from Kuujjuaq. Upon his arrival at 12:30, we attempted to head to Iudy-2 but we returned within a few minutes due to the fog. We returned to the station and then Nayat and I went out to find Iedl-land 2.

Rite in the Rain

Location _____ Date _____

Project / Client _____

T7-53

IeD1-1 Revisit *Destroyed*

S3 GPS: 24
Phone: 63

This structure was not excavated and was completely destroyed by an access road near the pipeline.

S2 was looked for extensively along the bedrock and boulder field between the current road to the harbor and the pipeline. Using original photos from 1986, looking towards the fuel silos, and the alignment of the mountains in the background, it was determined that the feature was on the area destroyed to build the road

Phone: 64 - 85

S1 was also destroyed by the road and the boulder and gravel wall supporting the road from below.

Location _____ Date _____

Project / Client _____

Scale _____

IeD1-2 Revisit *Destroyed*

We rode around on the ATV looking for the exact angle in the mountains in the background of the photos from 1986. While hard to find the site in the foreground of the images all possible spots and angles had buildings and/or leveled ground, suggesting the site is currently under the community and is completely destroyed.

Rite in the Rain

Location GR Area Date 30/07/81

Project / Client C&N

IhDj-2 Revisit

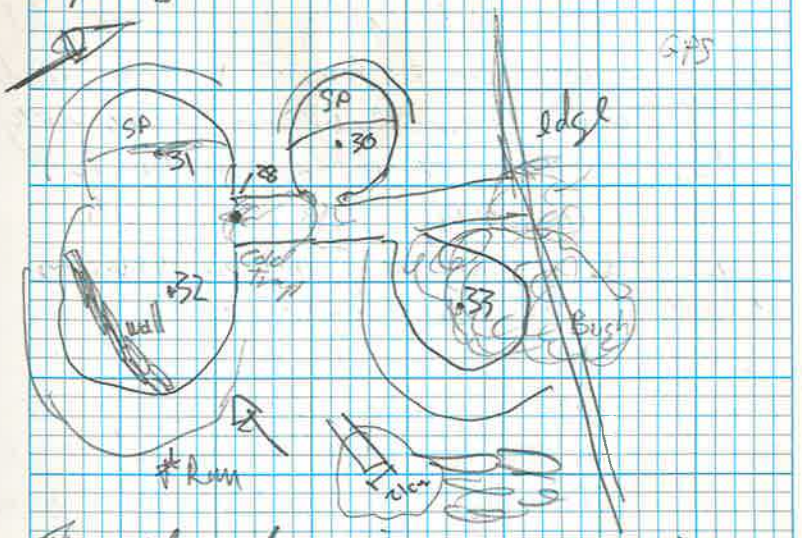
7:30 we left by helicopter to the site and arrived around 8:00 am. The site is on a beautifully flat terrace about 30m wide and 100m across. To the S and W is a large mountainous outcrop (back of site) whereas to the front, or N and E, is a sharp, actively eroding ravine. The exposed edge has a thin vegetal layer at the top with the rest being a sand and cobble matrix. Some 40% of the slope is covered in vegetation, notably birch bushes likely aiding and mitigating erosion to an extent. Below, to the N and E still is small bay giving way to Rivière Boudonsourt? to the west and the outlet of a small river to the E. A large eroded indentation in the terrace is situated directly East of the structure. The terrace is covered by low Birch shrubs

Location Date

Project / Client

Scale

with open patches of moss and Epilobium.



The structure is an impressive multimodal cairn of Pre-Contact Innu design. The complexity and the important use of stone walls is a testament to that. The condition of the structure is remarkably intact. The three southern modules are devoid of dense vegetation, but remain populated by flowers (Epilobe à feuille étroite) and tall ish grasses

Rite in the Rain

Location _____ Date _____

Project / Client _____

Meanwhile the northern mast module is nearly completely covevered in tall Birch Bushes (to the point of be trees according to Najat). Additionally the entrance tunnel which gives way to the ravine is also populated by such bushes and is seriously keeping the structure from the depths of archaeological oblivion.

The drone team is recording the site and surrounding area using a Matrice 300 with lidar and Photogrammetry at 60m elevations. I will do a flight solely on the structure at about 5-7m elevation for photogrammetry with my Mavic 3. The drone team will do another flight with their Mavic 3E for photogrammetry at 40m and 120m.

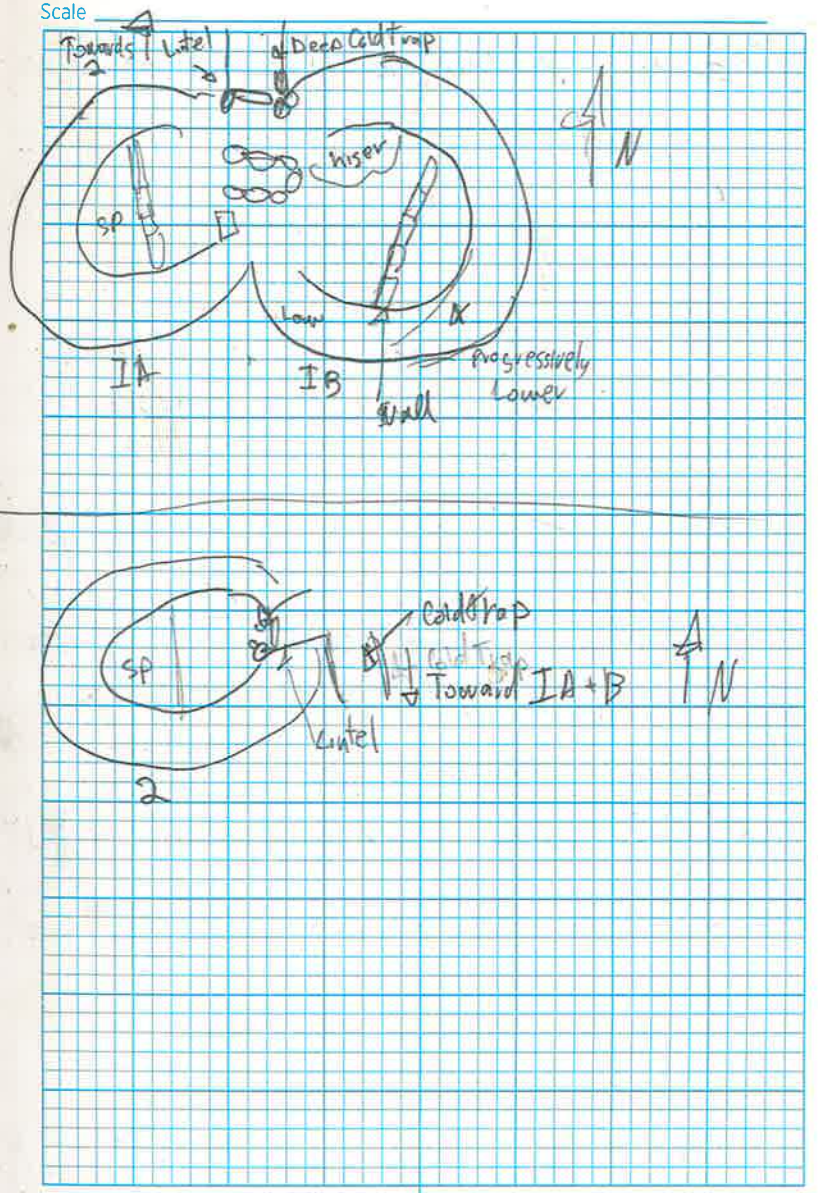
P: Drone Far Photogrammetry

P: Ground Photogrammetry

Location _____ Date _____

Project / Client _____

Scale _____



Rite in the Rain

Location _____ Date _____

Project / Client _____

TP3 in Tunnel at entrance of S2.

GPS 0029

P: 199 Surface = P66
200 Top of L1 = P67
201 Top of L2 = P68

Surface level was mostly moss and it's deep roots. The root matrix was extremely dense and hard to get through

Bottom of Surface

L1 Starts off with a loamy root matrix but becomes slightly sandy with pebbles and small cobbles

Charcoal Samples taken in L1
Two bone specimens found in L2

L2 is starting off with a 60% sand, 40 loam matrix

L2 Top D: NE 17cm NW 16cm
SE 15cm SW 19cm

L2 continues to be very sandy with a touch of loam. Charcoal continues

Location _____ Date _____

Project / Client _____

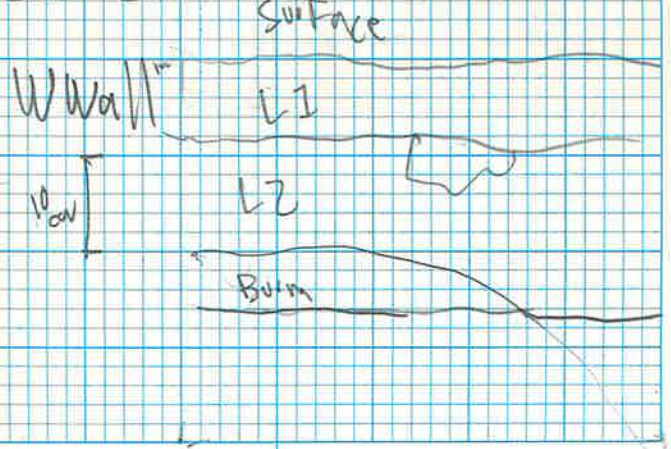
Scale _____

to pop out and there are pockets of more dark and slightly greasy loam, maybe dark from charcoal

possible hearth between the two boulders in the SE Quad at a depth of 26cm, complete with charcoal and burned grease, and calcined bone

Bottom of the hearth was found and is delimited by a stone at the bottom that is completely black

P: 207 - 208



Rite in the Rain

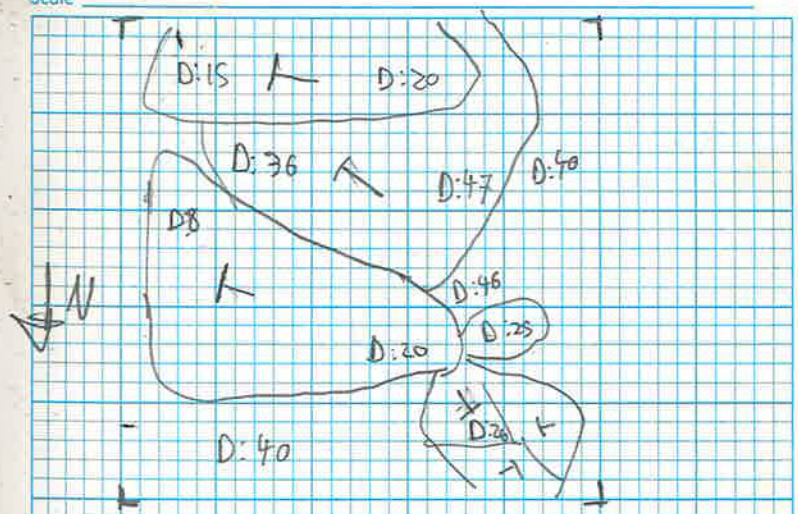
Location _____ Date _____

Project / Client _____

Location _____ Date _____

Project / Client _____

Scale _____



Rite in the Rain

Location _____ Date _____

Project / Client _____

IS Dj-1 Revisit

* Short revisit was done, but only the semi-subs were prominent enough to relocate with what little time we had.

S7 GPS0035
S6 GPS0034
S5 GPS0036
S11 GPS0037

While S7 and 6 were easy to relocate due to both the relatively clear interior but also the immense amount of epilabes surrounding them and upon their rims

S5 and S11 were much harder to locate due to their complete coverage by W. Alaw and sparse birch.

Location _____ Date _____

Project / Client _____

Scale _____

The site is on a low slope quite near the current shoreline. The amount of driftwood washed up all the way to the foot of S6 and 7 suggest high natural tides or storm waves.

Rite in the Rain

Travaux de l'émissaire pluvial de la rue Monty et de la conduite de refoulement du boulevard Lévesque Est, Laval

Supervisions archéologiques 2023-2024



Arkéos inc.
Société d'expertise en recherches anthropologiques

Août 2024

Travaux de l’émissaire pluvial de la rue Monty et de la conduite de refoulement du boulevard Lévesque Est, Laval

Supervisions archéologiques 2023-2024

Arkéos inc.
Société d'expertise en recherches anthropologiques
433, rue Chabanel O., bur. 516, Montréal (Qc) H2N 2J4

850-1021-24

RÉSUMÉ

La Ville de Laval a récemment entrepris la mise en place d'un nouvel émissaire pluvial afin de mieux desservir les résidents du secteur de Saint-François. L'emplacement des travaux recoupe les secteurs d'intérêt archéologique d'un paléorivage (SIA-58), de la berge de l'Harmonie (SIA-19) et du tracé fondateur de la côte du Sud (SIA-110). De plus, trois sites archéologiques se trouvent à proximité, à savoir les sites BjFj-24, BjFj-30 et BkFj-18, dont deux comportent des composantes d'occupation autochtone ancienne. En ce sens, la Ville de Laval a mandaté Arkéos afin de réaliser une intervention archéologique dans le cadre de ces travaux.

La première phase des travaux, réalisée à l'automne 2023, avait pour objectif de remplacer les infrastructures enfouies dans l'emprise et à l'extrémité de la rue Monty. Arkéos avait alors le mandat de procéder à des sondages manuels dans les sols d'intérêt et d'effectuer une surveillance archéologique des excavations mécaniques de masse. Au printemps 2024, Arkéos a procédé à la supervision archéologique des travaux d'excavation liés à l'implantation d'une conduite de refoulement temporaire le long du boulevard Lévesque, entre la rue Denis et la place Stella.

L'exercice a permis de relever la séquence stratigraphique de ce secteur de Saint-François et d'identifier les sols d'intérêt archéologique près de l'ancienne rive de la rivière des Prairies et le long des voies publiques, confirmant le potentiel du secteur. Bien qu'aucune trace d'occupation autochtone ait été mise au jour, il est à noter que des vestiges associés à une ancienne dépendance agricole ont été découverts en bordure du boulevard Lévesque, près de l'intersection avec la place Stella.

TABLE DES MATIÈRES

Page

RÉSUMÉ i
TABLE DES MATIÈRES ii
LISTE DES FIGURES iii
LISTE DES PHOTOS iv
LISTE DES PARTICIPANTS v

1 INTRODUCTION 1

2 MÉTHODOLOGIE 5
2.1 Approche et stratégie d'intervention 5
2.2 Procédures d'enregistrement 5
2.3 Traitement de la culture matérielle 6
2.4 Traitement des données et rédaction du rapport 6

3 ÉTAT DES CONNAISSANCES 13
3.1 Cadre environnemental 13
3.2 Occupations autochtones 16
3.2.1 Période de l'Archaïque (11 350-3 000 ans AA) 17
3.2.2 Période du Sylvicole (3 000-450 ans AA) 20
3.2.3 Présence autochtone en contexte colonial 22
3.3 Occupations eurocanadiennes 24
3.4 Interventions archéologiques à proximité 36
3.5 Potentiel archéologique 39

4 RÉSULTATS 43
4.1 Intervention 2023 – Rue Monty (LVL-2023-16) 43

5 CONCLUSION ET RECOMMANDATIONS 51

OUVRAGES CONSULTÉS 52
PLANS ANCIENS 58
SITES INTERNET 59

ANNEXE 1 - Culture matérielle
ANNEXE 2 - Coupes stratigraphiques

LISTE DES FIGURES

Page

Figure 1 - Localisation de l'aire d'intervention 3

Figure 2 - LVL-2023-16 — Synthèse des activités sur la rue Monty 7
Feuillet 1 - LVL-2023-16 — Synthèse des activités sur la rue Monty 9

Figure 3 - LVL-2024-1 — Synthèse des activités sur le boulevard Lévesque et la place Stella 11

Figure 4 - Courbe d'émersion des terres dans la grande région de Montréal 14

Figure 5 - Sites archéologiques, période de l'Archaïque (11 350–3 000 ans AA) 18

Figure 6 - Sites archéologiques, période du Sylvicole (3 000–450 ans AA) 21

Figure 7 - Plan du père Dalmas effectué lors de son voyage de 1674 26

Figure 8 - Emplacement des domaines seigneuriaux du Séminaire de Québec sur l'île Jésus 27

Figure 9 - Plan de Vachon de Belmont, 1702 28

Figure 10 - Plan cadastral de l'île Jésus (1860-1872) montrant le découpage de tout le territoire en côtes..... 30

Figure 11 - Détail du plan de James Murray de 1761 31

Figure 12 - Extrait d'un plan de la paroisse Saint-Joseph en 1837 33

Figure 13 - Extrait d'un plan topographique de 1909 34

Figure 14 - Extrait d'un plan topographique de 1934 35

Figure 15 - Extrait d'un plan topographique de 1971 35

Figure 16 - Localisation des sites archéologiques et des immeubles patrimoniaux connus autour de l'aire d'intervention 37

Figure 17 - Secteurs d'intérêt archéologique recoupant l'aire d'intervention 40

LISTE DES PHOTOS

Page

Photo 1 - Sous-opération 1D — Niveau d'argile gris-bleuté d'origine marine dans l'excavation profonde — Vue vers l'ouest (LVL-2023-16-N1-81) 43

Photo 2 - Sous-opération 1C — Niveau de déposition fluvio-glaciaire composé majoritairement de galets — Vue vers le sud (LVL-2023-16-N1-16) 44

Photo 3 - Sous-opération 1A — Niveau de déposition fluviatile composé argile limoneux beige-jaunâtre — Vue vers le nord (LVL-2023-16-N1-13) 44

Photo 4 - Sous-opération 1M — Niveau de surface humique — Vue vers le sud (LVL-2023-16-N1-61) 44

Photo 5 - Sous-opération 2D — Niveau de déposition alluvial — Vue vers l'est (LVL-2023-16-N1-55). 45

Photo 6 - Sous-opération 1D — Vue de la tranchée grise avec le poteau de téléphone enfoui — Vue vers l'ouest (LVL-2023-16-N1-82) 45

Photo 7 - Sous-opération 2A — Vue en plan du négatif de poteau à profil carré — Vue vers le sud (LVL-2023-16-N1-45) 46

Photo 8 - Sous-opération 1M — Rupture de pente marquant la limite naturelle de la berge — Vue vers l'ouest (LVL-2023-16-N1-8)..... 46

Photo 9 - Sous-opération 1G — Paroi sud de la tranchée d'implantation du refoulement temporaire — Vue vers le sud (LVL-2024-01-N1-26) 47

Photo 10 - Sous-opération 1H — Horizon supérieur du sol naturel remanié (brun foncé) en paroi sud — Emprise de l'oléoduc d'Enbridge — Vue vers le sud (LVL-2024-01-N1-56) 47

Photo 11 - Sous-opération 1M — Horizon supérieur du sol naturel remanié sous les remblais d'un stationnement — Trou de piquet à la base de la couche, axe de la place Stella — Vue vers l'ouest (LVL-2024-01-N1-105)..... 48

Photo 12 - Sous-opération 1H — Niveau de circulation (flèches) recouvrant l'horizon supérieur du sol naturel remanié — Vue vers le nord (LVL-2024-01-N1-35)..... 48

Photo 13 - Sous-opération 1L — Portion ouest du vestige de pierres ST-1 — Maçonnerie sèche d'orientation est-ouest — Vue vers le sud-ouest (LVL-2024-01-N1-69)..... 49

Photo 14 - Sous-opération 1L — Vue du vestige de pierres ST-1 en paroi sud de la tranchée du refoulement temporaire — Vue vers le sud-ouest (LVL-2024-01-N1-85) 49

LISTE DES PARTICIPANTS

VILLE DE LAVAL

Theresa Gabos	Coordonnatrice – Archéologie, Division art et patrimoine du Service de la culture, des loisirs, du sport et du développement social

ARKÉOS INC.

Marie-Claude Brien	Archéologue, coordonnatrice
Luis Trudel-Lopez	Archéologue, chargé de projet (rue Monty) et rédaction du rapport
Alain Chénier	Archéologue chargé de projet (conduite de refoulement) et rédaction du rapport
Justine Rioux	Archéologue spécialiste en culture matérielle
Maxime Vaillancourt	Archéologue de terrain et de laboratoire
Jonas Leclerc	Archéologue de terrain
Maxime Jolivel	Géomorphologue
Mauricio Palacios	Cartographe
Louise Beaudouin	Adjointe administrative
Marie-Michelle Beauregard	Chargée d'édition

1 INTRODUCTION

La rue Monty, le boulevard Lévesque Est et la place Stella, localisés dans le district Saint-François à Laval, ont fait l'objet de travaux dans le cadre de l'amélioration des infrastructures et des services aux citoyens. Les travaux envisagés prévoyaient l'ouverture complète de la rue Monty jusqu'à grande profondeur et l'atteinte du roc (5 à 8 m) afin de remplacer et déplacer certains services publics ainsi que pour installer un nouvel émissaire pluvial. Une conduite de refoulement a également été implantée le long du boulevard Lévesque et en bordure de la place Stella en prévision des travaux d'excavation à venir ultérieurement dans cette voie publique (figure 1). L'emplacement des travaux recoupe trois secteurs d'intérêt archéologique, à savoir : un paléorivage (SIA-58), la berge de l'Harmonie (SIA-19) et le tracé fondateur de la côte du Sud (SIA-110). De plus, trois sites archéologiques, dont deux présentent des indices d'occupation autochtone, sont situés à proximité (BjFj-24, BjFj-30 et BkFj-18).

En ce sens, la Ville de Laval a mandaté Arkéos afin d'effectuer une surveillance archéologique avec sondages manuels sous la chaussée de la rue Monty depuis la rive jusqu'à l'intersection avec le boulevard Lévesque Est. Ces travaux ont été réalisés du 30 octobre au 1er novembre 2023 par une équipe composée d'un archéologue chargé de projet accompagné de deux archéologues de terrain. La supervision archéologique des excavations de masse a, pour sa part, eu lieu de façon ponctuelle les 2, 15 et 22 novembre 2023.

À cela s'est ajoutée, du 26 mars au 10 avril 2024, une seconde phase de surveillance archéologique pour l'excavation de la tranchée d'implantation d'une conduite de refoulement temporaire dans l'emprise des terrain riverains au sud du boulevard Lévesque Est, entre la rue Denis et la place Stella. Afin de permettre le raccordement aux services existants, la tranchée longeait le sud de la place Stella jusqu'à atteindre la station de pompage de l'égout principal sur la rue Stella. Il en a été de même pour permettre le raccordement du refoulement temporaire au réseau existant à l'intersection de la rue Mirelle et du boulevard Lévesque Est. Toutes ces excavations ont été réalisées sous supervision archéologique, à l'exception des terrains dont les propriétaires n'ont pas signé le formulaire de consentement.

L'objectif des interventions archéologiques était de vérifier le potentiel autochtone du secteur ainsi que la possible présence de vestiges d'anciens bâtiments le long de l'ancien chemin du Roy. Le permis de recherche archéologique associé à cette intervention, émis par le ministère de la Culture et des Communications, est identifié par le code 23-ARKE-16. Les codes temporaires LVL-2023-16 (pour la rue Monty) et LVL-2024-01 (pour le boulevard Lévesque et la place Stella) ont été attribués afin de différencier les deux interventions et de faciliter les enregistrements au terrain.

Le présent rapport fait état des résultats de ces interventions archéologiques. Le prochain chapitre présente la méthodologie privilégiée au terrain et dans le traitement des données, tandis que le chapitre 3 présente l'état général des connaissances sur le secteur tant au niveau environnemental, culturel et archéologique. Les résultats et découvertes sont présentés au chapitre 4, alors que le chapitre 5 propose une évaluation générale du secteur suite à l'intervention et énonce diverses recommandations.



Figure 1 - Localisation de l'aire d'intervention

Légende

Aire d'intervention

Segments de tranchées supervisés

Source: © 2024 Google Maps

ÉCHELLE = 1 : 1 600

8 0 16 32 m

Date Juin 2024

Numéro de projet 850-1021-24-300

Arkéos inc.
Société d'expertise en recherches anthropologiques

2 MÉTHODOLOGIE

2.1 Approche et stratégie d'intervention

Tel que mentionné en introduction, les interventions archéologiques ont été réalisées sous le permis de recherche archéologique 23-ARKE-16. En ce qui concerne la rue Monty, l'intervention archéologique préalable à l'excavation de masse de la rue a été réalisée sur trois jours combinant une supervision des excavations mécaniques accompagnées d'un nettoyage manuel pour vérifier l'intégrité des niveaux d'intérêt archéologique (sous-opérations 1A à 1M) avec des sondages manuels dans ces niveaux (sous-opérations 2A à 2N). La phase de surveillance des excavations profondes a aussi été réalisée sur une période de trois jours espacés pour confirmer la séquence stratigraphique de la rue (sous-opération 1D, 1M et 1N) (figure 2). Au total, les superficies suivantes ont été excavées : 5,5 m^2 de façon manuelle, 19 m^2 lors du décapage mécanique archéologique et 1 125 m^2 lors de la surveillance des excavations jusqu'au roc. En ce qui a trait à la phase d'intervention de 2024 liée à la pose de la conduite de refoulement temporaire, 15 sous-opérations (1A à 1Q), suivant la séquence d'ouverture des tranchées de chaque tronçon de rue, ont été supervisées couvrant quelque 500 mètres linéaires d'excavation de 1 m de largeur par 1 m de profondeur (figure 3).

2.2 Procédures d'enregistrement

Les enregistrements au terrain ont été faits selon le mode de désignation Tikal, un système d'enregistrement alphanumérique d'usage commun en archéologie. En bref, ce système comporte une séquence constituée d'un chiffre, suivie d'une lettre et d'un second chiffre. Le premier chiffre correspond au numéro d'opération et est attribué en commençant par le 1 et selon l'ordre chronologique de réalisation. Les unités (sous-opérations) sont identifiées sur une base alphabétique commençant par la lettre A et leur attribution correspond également à l'ordre dans lequel elles ont été réalisées. Les lots constituent enfin l'unité minimale d'enregistrement et sont identifiés de façon séquentielle au moyen d'un chiffre en commençant par le 1.

À noter que chacune des sous-opérations a fait l'objet d'un relevé archéologique complet selon les standards et les normes actuels, donnant lieu à l'enregistrement des vestiges mis au jour et au prélèvement des objets-témoins. Les enregistrements ont été réalisés en utilisant le nord géographique et ont pris la forme de prise de notes, de croquis en plan, de croquis des parois stratigraphiques représentatives avec description des sols (matrice, couleur, compacité, inclusions) ainsi que d'un relevé photographique complet.

Une procédure d'enregistrement séquentielle a été utilisée pour l'identification des différents supports d'enregistrement, le tout précédé de l'identifiant du site temporaire et de l'année :

LVL-2023-16 ou LVL-2024-01-C(n) pour les coupes stratigraphiques ; LVL-2023-16 ou LVL-2024-01P(n) pour les relevés planimétriques ; LVL-2023-16 ou LVL-2024-01-N1-(n) pour les photos et LVL-2024-01-ST-(n) pour les vestiges architecturaux. Au terme de la surveillance, deux plans et vingt-cinq coupes stratigraphiques ont été réalisés et sont intégrés dans le corps du rapport.

2.3 Traitement de la culture matérielle

Les quelques objets-témoins recueillis dans le cadre de cette intervention ont été ensachés selon leur lot de provenance et ont ensuite été acheminés au laboratoire à la fin de l'intervention. Ils ont ensuite fait l'objet d'un traitement préliminaire (nettoyage, lavage et classement) et ont été classés selon des catégories générales d'appartenance (verre, céramique, métal, écofacts, etc.) et leur unité de provenance (lot). L'inventaire des objets-témoins a été réalisé selon le cadre de classification adopté en archéologie (matériaux/fonction), le tout sur des fiches informatisées à l'aide des logiciels FileMaker Pro et Excel (annexe 1).

L'inventaire de la collection consiste à enregistrer chacun des éléments de l'assemblage archéologique dans un tableau ou un système de gestion de base de données conçu de façon à contenir toutes les données pertinentes à la description et à l'identification des artéfacts et écofacts, mais également à permettre leur analyse. L'inventaire comprend l'identification de la provenance (code temporaire ou code Borden, nom du site, numéros d'opération/sous-opération et de lot), de l'objet, du matériau, de la fonction, ainsi que le constat d'intégrité de l'objet, le nombre de fragment(s) et le nombre d'objet(s). À cela s'ajoutent la transcription des inscriptions et la description des marques observables, la description typologique de l'objet, des décors et des altérations, la datation lorsque possible et, enfin, le numéro de la boite dans laquelle se trouve l'objet et le numéro de catalogue, le cas échéant. Il est à noter que la collection sera déposée à la Réserve des collections archéologiques de Laval.

2.4 Traitement des données et rédaction du rapport

Le traitement des données correspond à l'ensemble des activités de mise en forme, d'intégration et d'analyse des corpus recueillis. Il implique notamment la mise en forme du dossier technique des enregistrements, l'inventaire des objets-témoins, la production des plans, des relevés et des tableaux de compilation, des démarches nécessaires à l'analyse et à l'interprétation des données recueillies, menant, en bout de piste, à la production du présent rapport. Des documents synthèses, sous forme de plans et de tableaux, ont été produits afin de faciliter l'accès aux principales données des interventions : activités archéologiques, relevés stratigraphiques, relevés planimétriques, vestiges architecturaux. La mise en forme des plans, incluant l'emplacement des profils stratigraphiques et des vestiges, a été réalisée au moyen du logiciel AutoCAD.



Figure 2 - LVL-2023-16 — Synthèse des activités sur la rue Monty

Légende

Sondages

C2 Coupe Stratigraphique

Source: © 2024 Google Maps

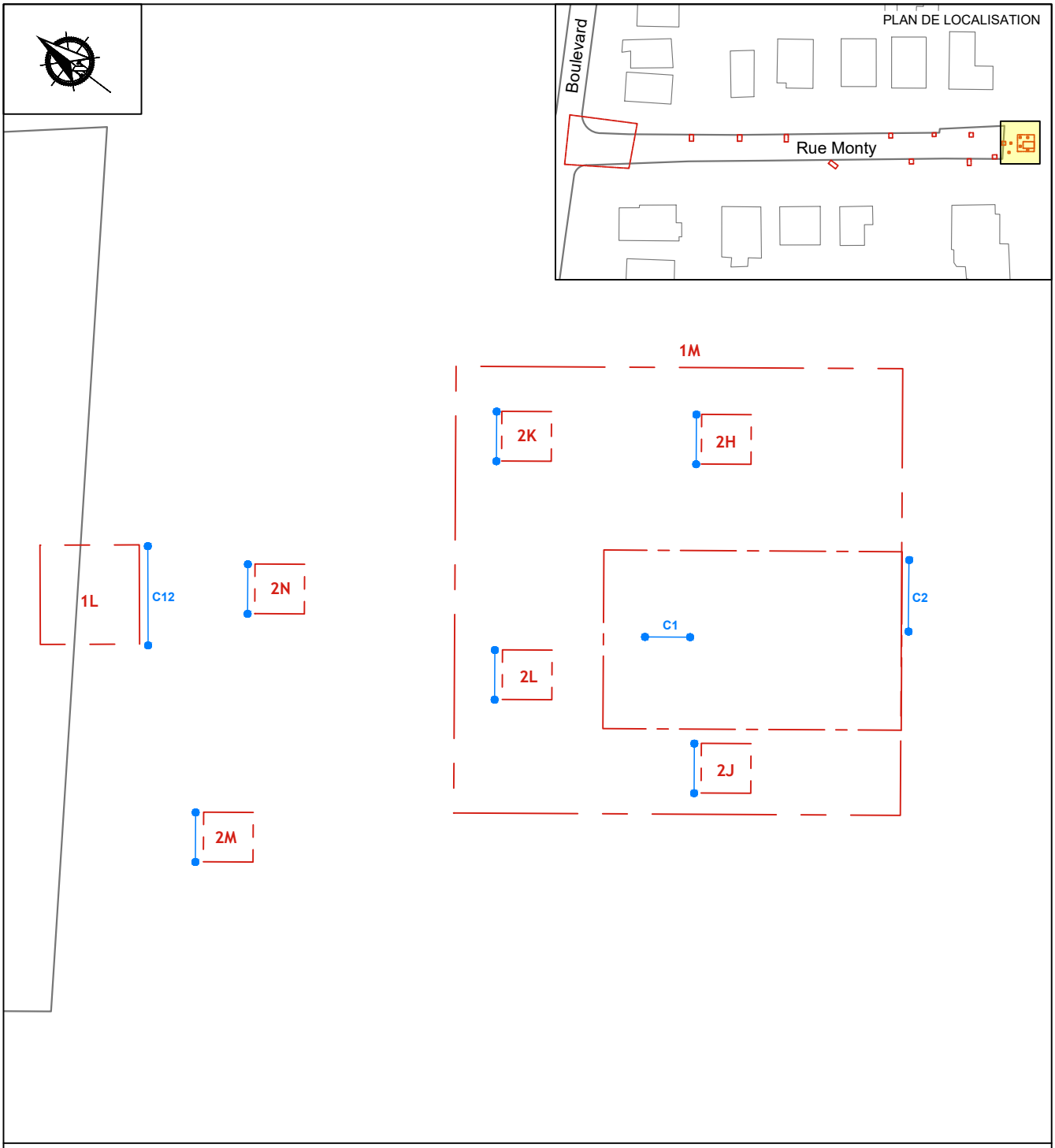
ÉCHELLE = 1 : 350

1,25 0 2,5 5 m

Date Février 2024

Numéro de projet 850-1021-24-300

Arkéos inc.
Société d'expertise en recherches anthropologiques



Légende

Sondages

C2 Coupe Stratigraphique

Figure 2, feuillet 1 - LVL-2023-16 — Synthèse des activités sur la rue Monty

Arkéos inc.
Société d'expertise en recherches anthropologiques

ÉCHELLE = 1 : 60

0,3 0 0,6 1,2 m

Date
Février 2024

Numéro de proje 850-1021-24-300

Les diverses composantes du tissu archéologique ont été regroupées à l'intérieur de séquences chronologiques incorporant les données provenant des fouilles manuelles (lots) et des relevés stratigraphiques (couches). Chacun des éléments de cette séquence correspond à autant d'évènements stratigraphiques qui regroupent l'essentiel des lots et des couches, considérés comme synchrones et dont la formation (déposition, accumulation, altération, etc.) témoigne d'un même évènement ou groupe d'évènements associés aux différentes phases de l'occupation humaine du secteur ciblé. Ce procédé permet d'organiser l'ensemble des dépôts identifiés sur une base chronologique.

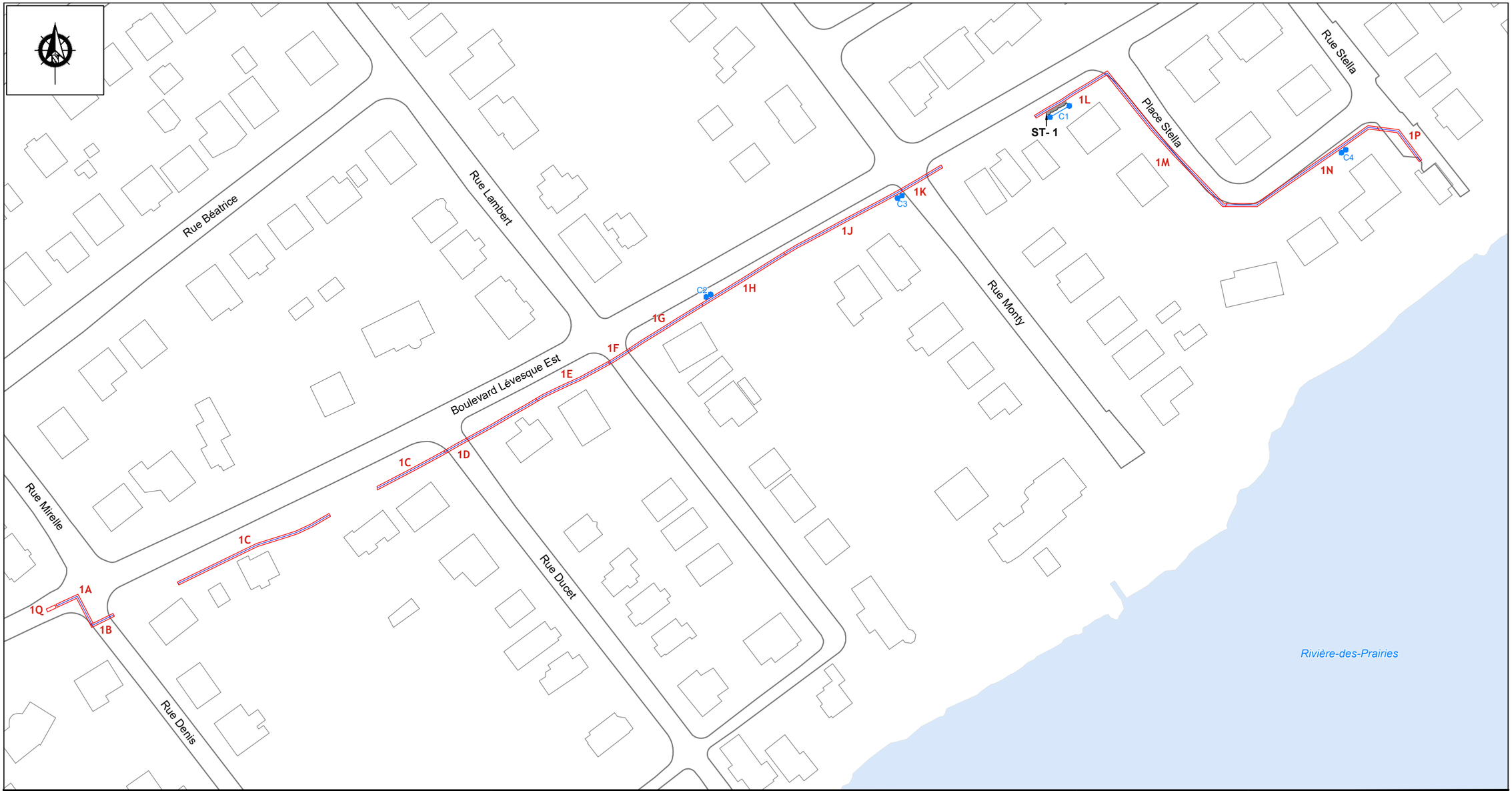


Figure 3 - LVL-2024-1 — Synthèse des activités sur le boulevard Lévesque et la place Stella

Légende

Segments de tranchées supervisés

C1 Coupe Stratigraphique

Maçonnerie de pierre (sèche) ST- 1

Source: © 2024 Google Maps

ÉCHELLE = 1 : 1 250

6,25 0 12,5 25 m

Date Juin 2024

Numéro de projet 850-1021-24-300

Arkéos inc.
Société d'expertise en recherches anthropologiques

3 ÉTAT DES CONNAISSANCES

Les données présentées dans ce chapitre proviennent essentiellement de l'étude de potentiel archéologique de la berge du Vieux-Moulin, située à 500 m à l'est de la zone d'intervention, réalisée par Arkéos en 2022 et de l'étude des secteurs d'intérêt archéologique de l'ensemble du territoire lavallois produite par Arkéos en 2023. Elles ont été synthétisées pour les besoins de la présente intervention.

Le secteur à l'étude se situe sur la rive gauche de la rivière des Prairies, à environ 5,5 km de sa confluence avec la rivière des Mille-Îles, puis 4 km plus au nord, avec le fleuve Saint-Laurent. La rue Monty, le boulevard Lévesque et la place Stella sont des voies de circulation toutes situées à proximité de la rive. Le développement urbain du secteur est récent (seconde moitié du XX^{e} siècle), le territoire ayant essentiellement été utilisé à des fins agricoles depuis le développement colonial de l'île Jésus.

3.1 Cadre environnemental

L'inlandsis laurentidien, dont le règne débute il y a 80 000 ans, commence à libérer de sa gangue de glace le sud du Québec il y a 13 500 ans avant aujourd'hui (AA) (Dalton *et al.*, 2020). Il abandonne au passage des sédiments de toute taille qui drapent le territoire sous plusieurs mètres de till. Pendant quelques siècles, un immense lac proglaciaire, le lac à *Candona*, recouvre les terres déglacées. Il est limité au nord et dans la vallée du Saint-Laurent par le mur de glace de l'inlandsis et s'insère au sud et à l'ouest dans les vallées du lac Champlain et du Saint-Laurent vers les Grands Lacs (Dionne, 1977 ; Parent et Occhietti, 1999).

La vallée laurentienne est finalement libérée des glaces vers 13 100 ans AA. Les eaux salées de la mer de Goldthwait, qui recouvrent les bas-reliefs de l'estuaire du Saint-Laurent jusqu'à Québec, envahissent les basses-terres du Saint-Laurent au relief déprimé par le récent passage de l'inlandsis, se mêlant aux eaux du lac à *Candona*. Ce dernier n'est déjà plus, il laisse place à la mer de Champlain qui s'étend de Québec jusqu'aux Grands Lacs, recouvrant au passage le territoire à l'étude sous 180 m d'eau.

Dans la grande région de Montréal, le niveau maximal atteint par les eaux de la mer de Champlain est fixé à 190 m (Richard et Girard, 2018). Le relèvement isostatique postglaciaire engendre néanmoins une remontée rapide des terres et par extension, une baisse tout aussi abrupte du niveau des eaux : un peu plus d'un millénaire plus tard, il y a 11 800 ans AA, le niveau des eaux s'est déjà abaissé d'une centaine de mètres (Richard et Poirier, 2016) (figure 4). Des îlots puis des îles, prémisses de l'archipel d'Hochelaga, émergent et sont progressivement colonisés par une faune et une flore de toundra. Parallèlement, un peu plus au sud, des groupes humains découvrent la future région de l'Estrie, ce sont les premiers habitants du Québec (Chapdelaine, 2004).

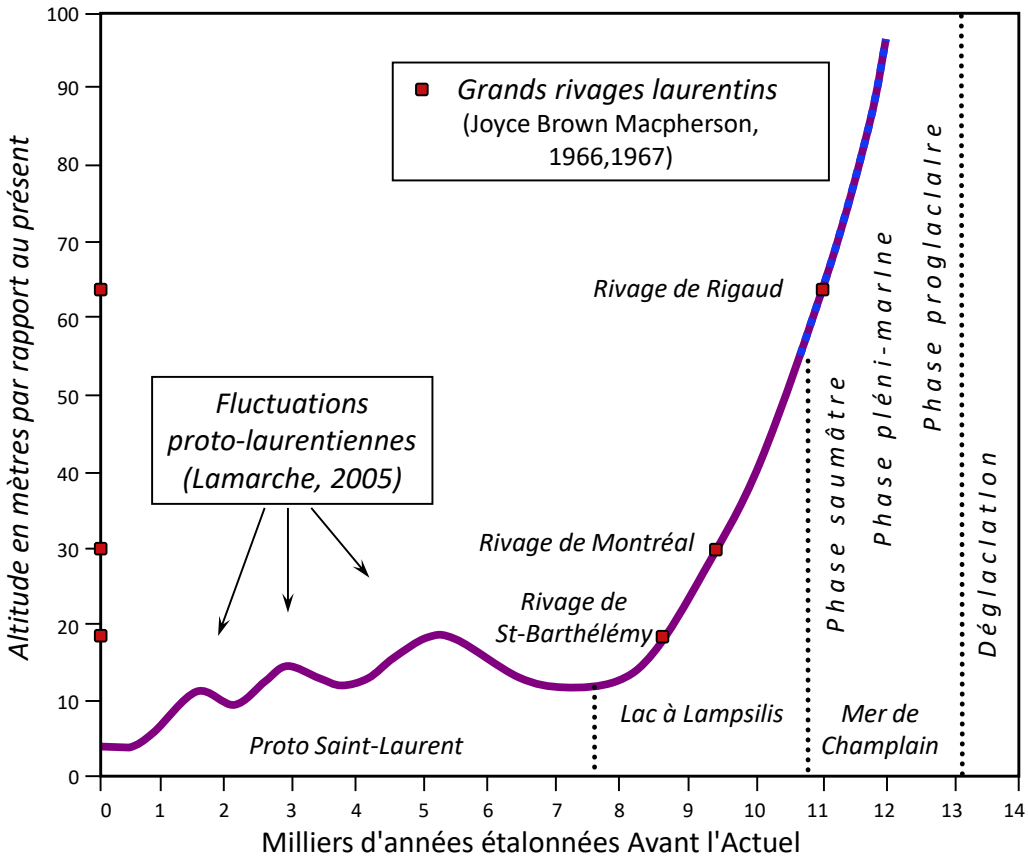


Figure 4 - Courbe d'émersion des terres dans la grande région de Montréal (Richard, comm. pers. 2017)

Il y a 10 600 ans AA, la remontée continue du niveau des terres (niveau des eaux : 55 m) repousse les eaux saumâtres jusqu'en aval de l'île d'Orléans, mettant un terme à l'épisode de la mer de Champlain qui aura laissé dans les paysages de nombreux indices de ses deux millénaires et demi d'existence (Richard et Poirier, 2016 ; Richard et Girard, 2018). C'est notamment le cas des argiles marines présentes sous la strate alluvionnaire qui compose le sol du secteur à l'étude.

Pour autant, la faible altitude des basses-terres favorise toujours la rétention des eaux de fonte du glacier s'écoulant via la vallée des Outaouais et participant au refroidissement du climat régional. Les eaux saumâtres de la mer de Champlain sont progressivement remplacées par les eaux douces d'un lac fluvial, le lac à *Lampsilis*. Sa surface est bien moindre que celle de la mer de Champlain à son maximum d'extension, mais le volume d'eau qui y transite reste cinq fois supérieur à celui du fleuve Saint-Laurent actuel (Richard, 2017). À cette époque, il y a 10 600 ans, l'île du mont Royal s'étend sur un peu plus de 40 km2. L'île Jésus, quant à elle, débute tout juste son exondation. Seuls les plus hauts reliefs, dans le secteur du bois Duvernay, s'efforcent de percer les flots glacials. À cette époque, les terres sont colonisées par une végétation boréale de forêt mixte et le castor est déjà présent au Lac-aux-Castors sur le mont Royal (Richard, 2014).

Le relèvement isostatique poursuit son œuvre : il y a 8 000 ans, alors que toute l'extrémité orientale de l'île Jésus à l'est du village de Saint-François-de-Sales était jusque-là sous les eaux, la section nord-ouest du secteur à l'étude commence à émerger (voir figure 4). L'émersion se poursuit jusqu'à 7 500 ans AA lorsque le niveau des eaux se stabilise à la cote de 12 m. À partir de 6 500 ans AA, le niveau de l'eau remonte, submergeant à nouveau le secteur à l'étude. Le boulevard Lévesque matérialise la cote de 12 m. Par conséquent, seule la partie située au nord-ouest de ce boulevard est émergée pendant environ un millénaire. Il s'agit là d'une fenêtre d'occupation ancienne potentielle pour des groupes humains de l'Archaïque. La section sud-est émerge quant à elle beaucoup plus tardivement.

Pendant cette période (7 500-6 500 ans AA) et lorsque le niveau des eaux est supérieur à 13 m, le secteur à l'étude est localisé sur une île séparée de l'île principale (l'île Jésus) par un chenal peu profond qui deviendra la vallée du ruisseau sans nom qui se jette vis-à-vis de l'île Migneron. Ce chenal, d'une largeur maximale de 400 m, est actif lorsque le niveau des eaux de la rivière des Prairies se maintient entre 15 et 13 m. Il apparaît et disparaît à plusieurs reprises durant l'Holocène. La section émergée s'apparente alors à une plage en pente douce, rapidement colonisée par une végétation de forêt mixte. Le secteur est exposé et le point de vue s'élargit sur la confluence des vallées des futures rivières des Mille-Îles et des Prairies. À cet endroit, cette dernière atteint 900 m de large (contre 600 m actuellement) et la confluence des deux masses d'eau s'opère à moins de 2,5 km au nord-est.

Parallèlement, à partir de 7 500 ans, les eaux de fonte de l'inlandsis n'alimentent plus le système du Saint-Laurent, mais s'écoulent vers la baie d'Hudson. L'inlandsis s'est éloigné à plus de 300 km au nord du lac Mistassini. C'est la fin de l'épisode du lac à *Lampsilis* et la naissance du proto-Saint-Laurent et de ses affluents (Richard et Poirier, 2016). Contrairement à son prédécesseur lacustre qui était soumis à un régime glaciaire et à des crues estivales, ce dernier possède un régime nival : ses plus hauts débits/niveaux d'eau annuels ont lieu au printemps lors de la fonte des neiges. Son débit annuel moyen reste toutefois deux fois supérieur à l'actuel (Richard et Poirier, 2016).

Les apports d'eau de fonte du glacier maintiennent jusque-là un climat relativement froid, même si la tendance au réchauffement s'affirme à mesure du retrait glaciaire. L'impact de l'inlandsis sur le climat régional diminue largement et un système anticyclonique doux et humide s'installe. La sapinière qui avait succédé à la toundra laisse progressivement place à une forêt dominée par les feuillus (érables, mélèzes, peupliers faux-trembles et bouleaux blancs), parsemée de conifères (épinettes, pins, mélèzes) et arpentée par une faune déjà riche (Richard et Grondin, 2009 ; Richard et Girard, 2018). C'est durant cette période que l'apparition des premiers arbres à glands favorise l'établissement du cerf de Virginie (Burke et Richard, 2010).

À partir de 6 500 ans AA, le niveau des eaux remonte et atteint 18-20 m il y a 5 000 ans AA. Les vestiges potentiels abandonnés entre 7 500 et 6 500 ans sont recouverts d'alluvions comme ce sera le cas après chaque période d'émersion. Le climat poursuit son réchauffement et devient plus sec à partir de 6 000 ans AA (Lavoie et Richard, 2000). La portion nord-ouest du secteur à l'étude émerge à nouveau entre 4 100 à 3 200 ans AA à une cote similaire, de l'ordre de 12 à 13 m, offrant une nouvelle fenêtre d'occupation potentielle aux populations autochtones dans un environnement possiblement insulaire. À compter de 3 500 ans AA, une baisse du taux d'insolation refroidit considérablement le climat dans l'hémisphère nord (Renssen *et al.*, 2005). La végétation ne semble pas en pâtir et l'érablière caractérise toujours le paysage végétal du secteur à l'étude (Muller et Richard, 2001).

Il y a 3 000 ans, les eaux remontent à nouveau, égalant, voire dépassant légèrement, la cote des 15 m, le secteur est donc à nouveau immergé en grande partie pendant quelques siècles (3 100 à 2 800 ans AA). Par la suite, les eaux s'abaissent en enregistrant une dernière fluctuation : alors qu'il s'était retiré à la cote de 10 m, il y a 2 100 ans, découvrant enfin la partie sud du secteur à l'étude, le niveau de la rivière des Prairies remonte à 12 m il y a 1 800 ans, le submergeant une dernière fois. À partir de cette période, les eaux s'abaissent de manière continue jusqu'à il y a environ 500 ans AA où elles se stabilisent au niveau actuel et dévoilent les rapides aujourd'hui présents à la hauteur de l'île du Moulin Saint-François. Parallèlement, le climat se réchauffe avec un maximum atteint lors de l'optimum climatique médiéval entre 1 050 et 650 ans AA. Cette tendance sera interrompue par une détérioration majeure du climat, entre 650 et 100 ans AA, le Petit Âge Glaciaire (Pratte *et al.*, 2017), entraînant possiblement une recrudescence éphémère des résineux (Richard et Grondin, 2009).

Le secteur à l'étude s'étend donc sur une basse terrasse inclinée dont le boulevard Lévesque suit la crête et entrecoupée de quelques ruptures de pente de faible amplitude. L'altitude y varie particulièrement dans l'axe entre le boulevard Lévesque et la rive entre 9 et 13 m NMM. Les dépôts qui s'y retrouvent en surface sont de nature alluvionnaire argilo-limoneux entrecoupés de couches de sable et de limon. Cette unité s'est déposée pendant la régression des eaux de la rivière des Prairies durant les 10 000 dernières années et plus récemment pendant les périodes d'inondation. Elle recouvre les argiles grises non calcaires déposées dans les eaux profondes de la mer de Champlain (Lajoie et Baril, 1956).

3.2 Occupations autochtones

Traditionnellement, les archéologues subdivisent l'occupation autochtone précoloniale du Québec méridional en trois grandes périodes : le Paléoindien (12 500-8 800 ans AA), l'Archaïque (11 350-3 000 ans AA) et le Sylvicole (3 000-450 ans AA). Chacune de ces périodes, elles-mêmes redivisées en sous-périodes, traditions ou phases, se distingue les unes des autres par une diversité des traits matériels, comme la présence d'un type particulier d'outils, ou encore par des activités socioéconomiques, telles

que les modes d'établissement, de subsistance et de mobilité. Suivant les périodes d'exondation du secteur à l'étude, une présence autochtone était possible dès l'Archaïque moyen.

3.2.1 Période de l'Archaïque (11 350-3 000 ans AA)

Au cours de l'Archaïque, le climat général se stabilise. La végétation se densifie davantage et favorise alors l'établissement d'habitats d'une faune plus sédentaire. Les basses-terres du Saint-Laurent émergent graduellement des eaux de moins en moins salées de la mer de Champlain. Les rives deviennent alors de longues étendues planes, constituées de sédiments fins. Ces terres nouvellement exondées sont couvertes de milieux humides, un peu à l'image des rives actuelles du lac Saint-Pierre entre les villes de Sorel et de Trois-Rivières. Ce sont principalement aux confluences des rivières, là où s'accumulent les sédiments sableux qu'elles ont charriés, que se trouvent les meilleurs emplacements pour y établir un campement. Évidemment, c'est à ces endroits que le drainage est le plus efficace, contrairement aux endroits recouverts d'argile marine.

Les groupes de l'Archaïque se démarquent de leurs prédécesseurs par une occupation du territoire qui semble plus intensive. Rapidement, les grandes vallées seront explorées sur l'ensemble du territoire québécois. Les axes de circulation sont mieux définis et servent plus efficacement aux déplacements des groupes humains et à leurs idées. Les rencontres annuelles entre différentes bandes sont mieux organisées, favorisant l'échange des récits et de l'information. Aussi, ces groupes utilisent de plus en plus des matériaux régionaux. Les principales sources de matières premières lithiques du Québec ont été découvertes au cours de cette période. Ces groupes deviennent progressivement des chasseurs-pêcheurs-cueilleurs avec une alimentation plus variée (cervidé, ours, castor, anguille, esturgeon, noix et petits fruits). La diversification de l'exploitation des ressources entrevue à la fin de la période paléoindienne se concrétise ainsi davantage durant cette période pour devenir une exploitation saisonnière en fonction des disponibilités (Arkéos, 2018 : 45).

Les embouchures de rivières, vers où convergent plusieurs ressources, sont prisées par les groupes humains. L'exploitation de frayères comme celle de Pointe-du-Buisson (Clermont et Chapdelaine, 1982) est un exemple des connaissances acquises lors de l'exploration de la portion haute de la vallée laurentienne. De plus, les rives quasi lacustres et celles des rivières à faible courant devaient être favorables à la présence de plantes comestibles comme le riz sauvage (graminée du genre Zizania). La récolte de certains végétaux s'intensifiait parallèlement à une exploitation de plus en plus intensive des ressources du territoire.

D'importants lieux d'occupations humaines utilisés durant la période de l'Archaïque moyen et de l'Archaïque supérieur ont fait l'objet d'études assidues et soutenues (figure 5). Par exemple, des emplacements comme sur la station 1/Hector-Trudel, la station 4 et le camp McKenzie de la

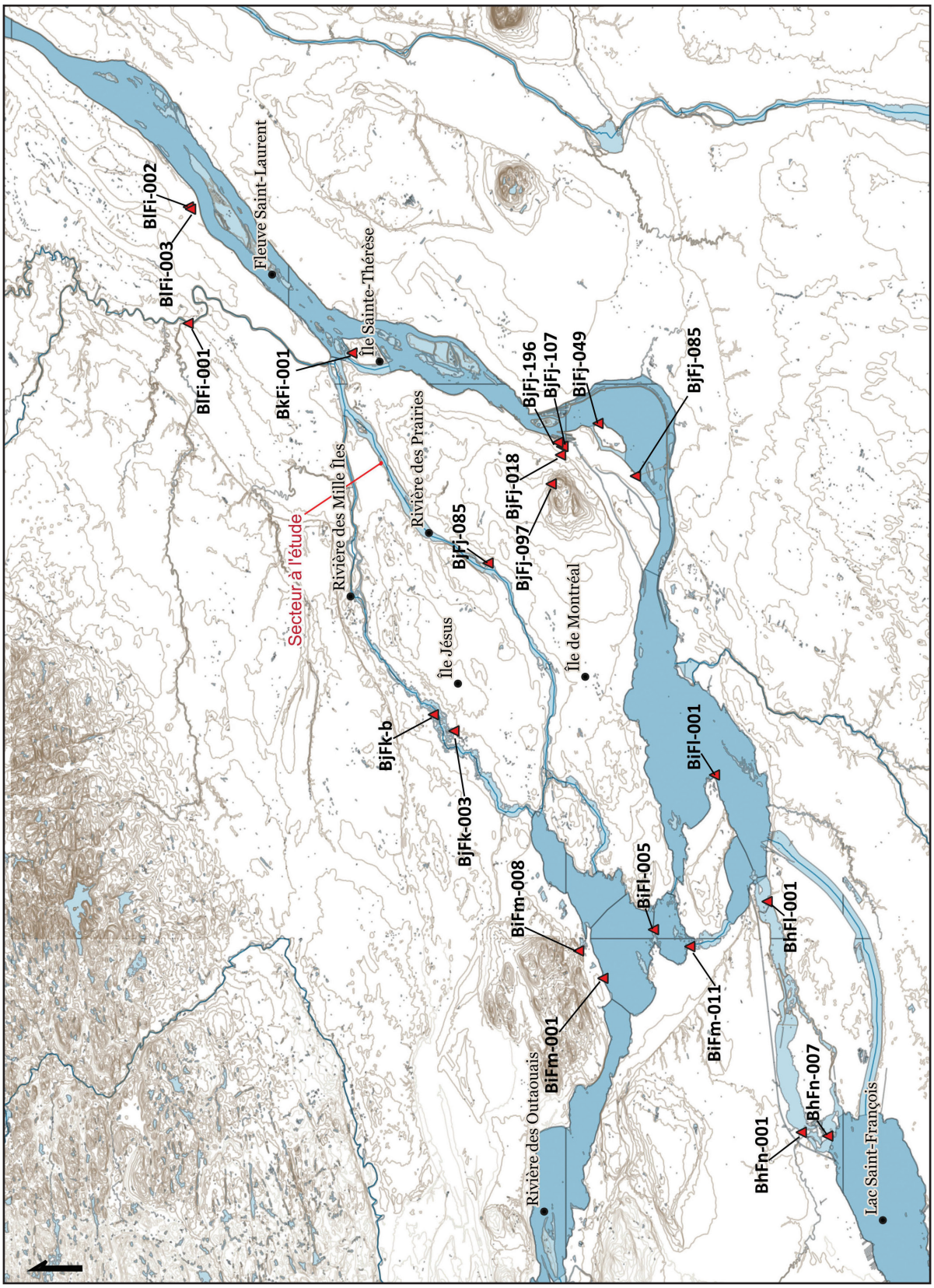


Figure 5 - Sites archéologiques, période de l'Archaïque (11 350-3 000 ans AA)

Pointe-du-Buisson (BhFl-1) à Beauharnois (Corbeil, 2004; Clermont et Chapdelaine, 1982), l'île Beaujeu (BhFn-7) située dans la portion aval du lac Saint-François (Pinel et Côté, 1988), l'île Morrison (BkGg12) (Clermont et Chapdelaine, 1998), l'île aux Allumettes (BkGg-11) dans le cours moyen de la rivière des Outaouais (Clermont et Chapdelaine, 2003), et celui du Fort Coteau-du-Lac (BhFn-1) près des rapides de Soulanges (Marois, 1987; Piérard *et al.*, 1987; Archéotec, 1984), ont été fortement fréquentés durant cette période. D'autres sites comme ceux de la maison Nivard-De-Saint-Dizier (BiFj85) près des rapides de Lachine (Bélanger *et al.*, 2018; SACL, 2013), de la Pointe-du-Moulin de l'île Perrot (BiFl-1) (Archéotec, 2012a), de la maison Trestler (BiFm-11) dans la baie de Vaudreuil (Artefactuel, 2018), de l'île aux Tourtes (BiFl5) (Archéotec, 2004), de la plage du Parc national d'Oka (BiFm-1) sur le lac des Deux-Montagnes (Chapdelaine, 1990a) et le site BiFw-172 à l'embouchure de la rivière Gatineau (Ouellet, 2017; Archéotec, 2016) témoignent de l'importance qu'accordaient ces groupes à la confluence de la rivière des Outaouais et du Haut Saint-Laurent, à proximité des lacs Saint-Louis, Saint-François et Deux-Montagnes.

Très peu d'interventions archéologiques ont été menées sur les rives de la rivière des Prairies. Le développement accéléré du tissu urbain depuis le milieu du XX^{e} siècle s'est réalisé durant l'éveil de l'archéologie moderne au Québec. Tant sur la rive gauche (nord) de la rivière que sur sa rive droite (sud), les espaces préurbains ont rapidement disparu. D'autres espaces ont été préservés par la force de leur héritage, de leur souvenir ou celle des récits que l'on se raconte.

À ce jour, le site le plus ancien (BjFk-3) découvert dans les environs du secteur à l'étude se trouve sur la rive nord de l'île Jésus, face à un resserrement des rives avec celle de l'île Lacroix, dans la portion sud-ouest de l'archipel Sainte-Rose. Une pointe de projectile à encoches qui a été trouvée à cet endroit présenterait des caractéristiques morphologiques similaires à celles associées à des groupes de l'ensemble culturel de l'Archaïque laurentien récent (5 500-4 200 ans AA) (Archéobec, 1996). Cette ancienneté proposée pourrait être secondée par l'emplacement même du site, soit une occupation humaine faite dans le fond sud-est de la baie qui était alors plus imposante. Une autre occupation humaine ancienne a été vraisemblablement identifiée sous le parvis de l'église de La Visitation de la Bienheureuse-Vierge-Marie, située sur la rive nord de l'île de Montréal, à une douzaine de kilomètres du secteur à l'étude. La pointe de projectile, possiblement associée à une production datant de l'Archaïque récent post-laurentien (4 200-3 000 ans AA), aurait alors occupé la portion amont de la rive droite du paléochenal séparant l'île de la Visitation et l'île de Montréal (Grondin et Gates St-Pierre, 2009 : 7). Notons que c'est vers la fin de l'Archaïque moyen, autour de 7 500 ans AA, que le secteur à l'étude commence son émersion. Il est donc possible d'y retrouver des traces d'occupation semblables à celles trouvées sur les sites devant l'île Lacroix et sous le parvis de l'église de la Visitation.

3.2.2 Période du Sylvicole (3 000-450 ans AA)

Par rapport à la période qui la précède, la période du Sylvicole verra une exploitation de plus en plus intense de diverses sources alimentaires dans un territoire de moins en moins étendu. Les groupes auront donc tendance à adopter un mode de vie plus sédentaire, à mieux définir les limites de leur territoire et à développer des réseaux d'échanges avec les groupes limitrophes. Le développement de la récolte opportuniste et éventuellement de la culture de plantes indigènes et exotiques bouleversera davantage les modes de vie ancestraux. Les structures sociales seront alors complexifiées, surtout en réponse à l'augmentation importante des populations vivant dans des territoires plus circonscrits géographiquement et socialement. La période culturelle du Sylvicole se divise entre Sylvicole inférieur (3 000-2 400 ans AA), Sylvicole moyen (2 400-1 000 ans AA), et Sylvicole supérieur (1 000-450 ans AA).

Pour l'archéologie, cette période se démarque de l'Archaïque principalement par la présence soudaine de récipients en terre cuite (la poterie), par la construction de tertres, par la modification des habitations et des schèmes d'établissement (Chapdelaine, 1990 : 2). Cependant, ce ne sont pas tous les sites de cette période qui possèdent des tessons de poterie dans leur assemblage archéologique. Ceci ne signifie pas que les occupants de ces sites n'utilisent pas de poterie. Cela pourrait plutôt illustrer la persistance d'une grande mobilité, obligée par de nombreuses contraintes comme celle d'obtenir certaines matières premières immobiles.

Dans la portion méridionale de la vallée laurentienne, les groupes rattachés à la sous-période du Sylvicole inférieur (3 000 à 2 400 ans AA) ont notamment laissé des traces de leur passage au parc d'Oka, dans les îles de Coteau-du-Lac, à Pointe-des-Cascades, à Pointe-du-Buisson (Clermont et Chapdelaine, 1982 ; Chapdelaine, 1990b) et au site de la maison Nivard-De Saint-Dizier (Balac *et al.*, 2019 : 32) (figure 6).

En périphérie du secteur à l'étude, des vestiges céramiques associés à la période du Sylvicole moyen, ainsi que des pièces lithiques résultant de produits de débitage et des outils taillés tels que des grattoirs et une pointe de projectile à encoche, ont été découverts au sud-ouest de l'archipel de Sainte-Rose (sur la rive nord de l'île Jésus) sur le site BjFk-3. D'autres témoins de cette période de l'occupation autochtone ancienne ont été mis au jour sur le site BjFk4 localisé sur l'île Darling, dans la rivière des Mille-Îles (Archéobec, 1997).

Il y a environ 1 000 ans, l'agriculture deviendra une activité importante pour les groupes de la vallée du Saint-Laurent. C'est donc dans les régions méridionales du Québec, là où les conditions sont maximales pour l'agriculture, que se situe le Sylvicole. S'ajoutent également tous les lieux où ces groupes ont séjourné lors de leurs déplacements sur le territoire. On sait que des groupes plus sédentaires parcouraient tout de même de grandes distances à l'intérieur de la péninsule du Québec

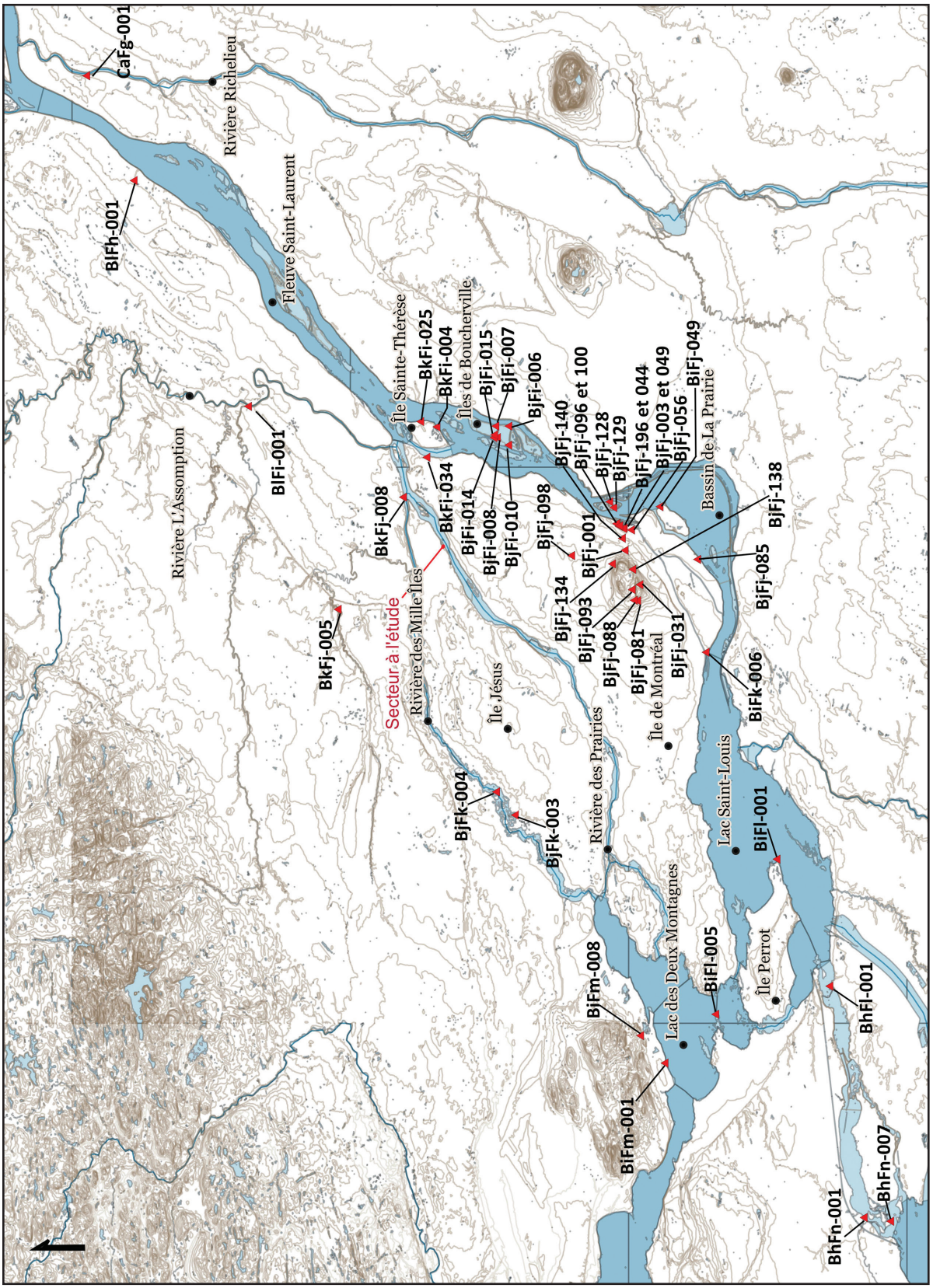


Figure 6 - Sites archéologiques, période du Sylvicole (3 000-450 ans AA)

– Labrador pour diverses raisons (approvisionnement, maintien des relations avec d'autres groupes de l'hinterland, raids, etc.). Des alliances se créaient dans le but d'obtenir certaines ressources essentielles et qui se raréfiaient aux alentours des hameaux et villages.

Les modes d'occupation du territoire changent considérablement avec l'adoption du village sédentaire (Arkéos, 2016 : 31). Les hameaux semi-permanents (déplacés tous les 15 à 20 ans) sont surtout installés dans des environnements bien drainés (sable, tills, moraines) et en retrait des abords du fleuve, tels qu'aux sites Mandeville (à Tracy), Lanoraie, Saint-Anicet (Clermont et Gagné, 2004 ; Pendergast, 1966, 1969, 1974, 1981) ou Dawson, ce dernier étant situé au pied du mont Royal (Ethnoscop, 2018 ; Pendergast et Trigger, 1972 ; Trigger, 1969). Toutefois, malgré cette sédentarité, de nombreux petits établissements sont toujours fréquentés dans des environnements très diversifiés. Deux huttes ont ainsi été découvertes à la Pointe-du-Buisson. Celles-ci servaient de camp de pêche et on y fabriquait également de la poterie (Girouard, 1975). Le mont Royal compte également de nombreux sites contenant des traces de sa fréquentation (lieux de passage et de brèves haltes) et de son utilisation comme site funéraire et lieu d'extraction de la matière lithique à la fin de la période du Sylvicole (Ethnoscop, 1998 ; Arkéos, 2012).

Progressivement, les populations ancestrales iroquoiennes du Saint-Laurent s'implantent et se développent dans la région laurentienne pour devenir les Iroquoiens d'Hochelaga que rencontrera Jacques Cartier en 1535 (Cartier, 1977). Ces derniers, à l'image de leurs prédécesseurs, cultivent le sol de façon intensive, pêchent durant les pics d'abondance et chassent sporadiquement. Les récits de Cartier rapportent que les villages pouvaient contenir jusqu'à 1 500 personnes et qu'ils étaient, tout comme les camps de pêche estivaux, principalement dispersés sur la rive nord du fleuve. Cependant, les populations iroquoiennes de la vallée du Saint-Laurent désertent[1] l'ensemble de leurs terres peu de temps après le passage de Cartier entre 1541 et 1603, et d'autres populations, de traditions culturelles différentes, utilisent la région à des fins d'exploitation plus ponctuelle lors de brefs passages. Dans la région, quelques sites archéologiques témoignent des occupations faites sur les rives des voies navigables. Ces découvertes ne sont que le pâle reflet de l'intense occupation qui s'est produite dans les siècles et millénaires précédant l'arrivée des Européens.

3.2.3 Présence autochtone en contexte colonial

L'information contenue dans les écritures coloniales et missionnaires permet d'observer les évènements du passé selon une perspective particulière. Ces écritures doivent néanmoins être comprises dans le contexte général auquel elles appartiennent et appréhendées selon les biais culturels de l'époque. Les témoignages écrits qui se sont rendus jusqu'à aujourd'hui demeurent toutefois un corpus de données fondamentales pour l'étude de la présence autochtone au cours des cinq derniers siècles.

1 Les motifs de cette désertion sont encore largement débattus et sont probablement multiples.

L'arrivée des premiers explorateurs européens ne s'est pas immédiatement déclinée en une prise de possession ferme du territoire et les changements aux schèmes d'occupation autochtones se sont d'abord faits de manière graduelle. Cette première période d'occupations concomitantes s'est soldée par la dispersion des populations iroquoiennes du Saint-Laurent et à compter de cette date, l'île de Montréal et le territoire environnant ne semblent plus être un lieu quotidien d'habitation pour les populations autochtones. Leur présence, dans les écrits comme dans le registre archéologique, prend l'allure de passages transitoires vers d'autres lieux de vie.

Avec l'implantation d'un établissement colonial en 1642, l'île de Montréal, et par ricochet le reste de l'archipel, redevient un lieu fortement fréquenté et habité par divers groupes autochtones qui profitent des avantages que leur offre notamment la proximité aux centres coloniaux et aux missions. Dès le début du XVIII^{e} siècle, on remarque toutefois une érosion du lien entre le territoire ancestral et les descendants des groupes autochtones l'ayant autrefois fréquenté avec la concentration des occupations dans les missions et réductions.

La rivière des Prairies reste longtemps une voie de circulation privilégiée par les Autochtones. Aussi, la fondation de la mission du fort Lorette à la fin du XVIII^{e} siècle poussera plusieurs centaines d'Autochtones de différentes nations à s'y établir de façon semi-permanente. Il s'agissait essentiellement d'Iroquois, de Hurons et d'Algonquins. Force est de constater que nous ne disposons que de très peu d'informations concernant l'occupation de la mission par ces Nations. En effet, les textes anciens mettent l'emphase sur la conversion des Autochtones, sur la piété exemplaire de certains d'entre eux ou sur leurs problèmes de consommation d'alcool, des considérations teintées des biais culturels de l'époque (Faillon, 1853 ; Rousseau, s.d. ; Beaubien, 1898).

Il existait cependant des Autochtones vivant à l'extérieur des missions (Dépatie et Dechêne, 1998 ; Renault, 2012). Toutefois, les données les concernant semblent quasi inexistantes dans les sources coloniales en raison de la position marginale qu'ils occupaient au sein de la colonie (Dépatie et Dechêne, 1998 ; Fiset, 2008). Ces « errants » devaient fréquenter les zones libres de toute concession sur le territoire de l'archipel montréalais (Loewen, 2009 ; Renault, 2012). Ces zones excentrées tardent en effet à se peupler jusqu'à la Grande Paix en 1701 ; c'est le cas pour l'île Jésus qui se trouve délaissée suite au massacre des colons et l'incendie de l'établissement de la pointe est en 1689. Par la suite, la colonisation des terres par leur mise en culture s'accélère drastiquement.

La présence autochtone dans les décennies qui suivent relève dans les sources coloniales de rencontres fortuites faites lors d'expéditions, de récits de conflits ou de mentions légales. Assiniwi (1974 : 154) souligne que « pendant quatre cents et quelques années, la culture de l'Amérindien a été ridiculisée, sauf lorsqu'elle servait l'Européen dans ses desseins ou besoins ». Les Autochtones ont servi de soldats face aux diverses invasions, ont été employés dans les réseaux de contrebande,

ont été contraints à l'esclavage, ont été engagés comme canotiers ou voyageurs (Assiniwi, 1974 : 48). Une économie coloniale basée sur le commerce des fourrures a eu comme conséquence une moins bonne gestion des ressources animales qui a entraîné une diminution notable de la faune. Les Autochtones, qui dépendaient auparavant de cette ressource, n'ont souvent d'autres choix que de se tourner vers des métiers non traditionnels. L'instauration au XIX^{e} siècle du système des réserves renforce ce changement de paradigme. Ainsi, vers 1885, les Autochtones de Kahnawake s'initient aux travaux de construction de ponts. D'autres, au début du XX^{e} siècle, deviennent pilotes d'embarcations, draveurs et bûcherons, etc.

Très peu de données sont connues pour l'occupation autochtone de l'île Jésus suite à l'implantation eurocanadienne. Il est évident que ses rives étaient encore fréquentées par les groupes qui naviguaient entre le lac des Deux-Montagnes et la confluence des rivières des Mille-Îles, des Prairies et l'Assomption avec le cours du fleuve Saint-Laurent. Il devait encore s'y trouver de nombreux espaces, comme celui à l'étude, demeurés non développés jusqu'au début du XVIII^{e} siècle. Le père Dalmas, lors de son voyage remontant le cours de la rivière des Prairies en 1674, note la présence sur la rive de l'île Jésus de « cabanages algonquins » ; sont-ils en utilisations ou abandonnés ? Il n'en fait pas mention. En lisant entre les lignes de certains actes notariés et comptes-rendus de voyage, il appert qu'un certain degré de commerce illicite se déroulait sur l'île, surtout près des berges, faciles d'accès et bordant des voies de navigation très fréquentées. Mentionnons finalement que des orphelines Kanien'kehá:ka seront placées au début de XX^{e} siècle chez les sœurs du Bon-Pasteur sur la rive sud de l'île Jésus à quelque 16 km à l'ouest du secteur à l'étude, soulignant l'importance de prendre en considération cette présence autochtone historique dans le contexte d'occupations eurocanadiennes (Arkéos, 2021). La présence d'un moulin, haut lieu d'échanges et de socialisation, près du secteur à l'étude du début du XVIII^{e} siècle au début du XX^{e} siècle en fait un endroit de convergence pour les individus en quête de commerce, qu'ils soient Eurocanadiens ou Autochtones.

3.3 Occupations eurocanadiennes

Bien que Jacques Cartier et son équipage aient visité l'île de Montréal en 1535 et qu'ils y ont rencontré les membres d'une communauté occupant un village, aucun document connu à ce jour ne mentionne qu'il ait aussi visité à cette occasion l'île Jésus. Il en est de même pour Champlain, qui visite également Montréal à quelques reprises au début du XVII^{e} siècle. Il est vrai qu'à cette époque, la rivière des Prairies, au courant capricieux et aux nombreux rapides, n'est pas aisément navigable. Les Européens ne peuvent s'y engager avec leurs navires, et n'ont pas encore maîtrisé l'usage du canot. Si la rivière des Mille-Îles (appelée à l'époque la rivière Saint-Jean ou rivière Jésus) est plus facilement navigable que la rivière des Prairies, elle comporte tout de même un rapide de trois lieues de long, sans compter les nombreux hauts fonds et les îles qui parsèment son cours.

La première description formelle de l'île Jésus se trouve dans les Relations des Jésuites de 1637, alors qu'elle est connue sous le nom d'île de Montmagny, en référence au gouverneur de l'époque, Charles Jacques Huault de Montmagny, qui avait un an plus tôt succédé à Champlain. Le père Paul Le Jeune décrit alors la région de l'archipel montréalais, qu'il visite en compagnie du gouverneur, comme parsemée de nombreuses îles desquelles il « n'y en a que deux ou trois remarquables ». L'une de ces îles est l'île Jésus, qu'il qualifie de « belle et grande ». Il y aborde la dénivellation importante entre les extrémités ouest et est de l'île, occasionnant de nombreux « saults », ou rapides, qui entravent la navigation. Ils mettent pied à terre à cette occasion à la pointe est de l'île et Le Jeune trouve l'île de Montmagny fort bonne et bien agréable (Relations, t.1 : 75). Il célèbre également ce jour-là la première messe catholique à l'île Jésus. Si la visite du père Le Jeune est la première incursion eurocanadienne documentée sur l'île, ce dernier mentionne tout de même que des traiteurs et interprètes empruntaient déjà la rivière Saint-Jean (des Mille-Îles) et des Prairies pour rejoindre l'Outaouais, dans le sillage des Autochtones qui leur servaient souvent de guides. Il est fort probable que ces coureurs de bois aient fait halte sur l'île, ne serait-ce que pour portager entre les rapides, quoiqu'ils aient pu également y pratiquer la traite et y dresser leur bivouac.

Le développement colonial de l'île Jésus connaît des débuts hésitants et difficiles : avant même que ne s'amorce son véritable peuplement s'y succèdent trois grands seigneurs pour qui la mise en valeur du territoire reste secondaire, la région de l'archipel montréalais étant alors rongée par les conflits avec les Iroquois qui persistent jusqu'au début du XVIII^{e} siècle. L'île Jésus est concédée en seigneurie le 15 janvier 1636 par le gouverneur de Montmagny aux révérends pères Jésuites, qui ont donné à l'île Jésus le nom qu'on lui connaît encore aujourd'hui ; ils possèderont la seigneurie de 1636 à 1672. Bien que le territoire leur soit octroyé en 1636, le procureur des révérends pères Jésuites en prend officiellement possession en 1638 et enfouit à cette occasion, à la pointe nord-est de l'île, quatre plaques de plomb gravées au nom de Jésus. Les Jésuites, premiers seigneurs de l'île, n'y entreprennent toutefois aucun développement et ne tentent pas d'en coloniser le territoire. Si bien qu'en 1672, Jean-Talon reprend puis octroie de nouveau la seigneurie. C'est François Berthelot, riche conseiller et secrétaire du roi, cherchant à affirmer son influence et favoriser son ascension sociale, qui en devient propriétaire. Berthelot ne met jamais les pieds en Nouvelle-France, bien qu'il soit le premier à tenter une colonisation de l'île en fournissant les moyens financiers d'ériger un manoir sur la pointe est et d'y amorcer une exploitation agricole.

En 1674, les Jésuites, qui désirent déménager leur mission de La Prairie, mandatent le père Dalmas d'aller explorer l'île Jésus et d'y choisir un emplacement approprié. Selon les documents qu'il a produits suite à son exploration, le père Dalmas effectue son voyage en septembre 1674. Il semble que ce dernier ne trouve aucun endroit convenable et la mission sera finalement déménagée au Sault-Saint-Louis. Cependant, Berthelot avait déjà concédé en mars de la même année une terre à la pointe ouest de l'île aux Jésuites, dans le dessein que ces derniers y établissent une mission pour

les Iroquois et les Outaouais (Fortin, 2008 : 55). Ce terrain demeure inexploité et est rétrocédé à la seigneurie en 1739. Le plan du père Dalmas, qu'il produit de mémoire suite à son exploration de 1674, présente des éléments intéressants ; il y note la présence de cabanages algonquins, dans les environs de l'île Paton, et montre sur la pointe est de l'île un établissement avec une terre en culture, correspondant à l'établissement financé par Berthelot (figure 7). Il y inscrit également ses impressions concernant la topographie générale de la côte de l'île Jésus du côté de la rivière des Prairies. Selon le récit accompagnant son esquisse, il n'a trouvé le long de cette côte que des berges stériles et difficiles d'accès, autant de bonnes terres que de mauvaises (Fortin, 2008 : 32). Il note surtout que la région semble déjà en proie au commerce illicite d'alcool et s'inquiète de la venue des traiteurs si la mission s'installait dans l'île Jésus (Thwaites, 1901 vol. 58 : 110). C'est ce dernier élément qui semble teinter de pessimisme sa description du territoire, diamétralement opposée à celle qu'en fait Le Jeune en 1637.

Malgré un premier effort de colonisation prometteur, Berthelot préfère échanger sa seigneurie trois ans plus tard pour une autre, celle de l'île d'Orléans, dont le développement est déjà bien établi et les revenus plus substantiels. Ainsi, en 1675, Mgr François Montmorency de Laval, premier archevêque catholique de Québec et fondateur du Séminaire de Québec, devient seigneur de l'ÎleJésus. C'est sous Mgr de Laval que la première concession est octroyée et, en 1677, Guillaume Labelle devient le premier censitaire de l'île. Mgr de Laval tente d'ériger l'île Jésus en paroisse un an plus tard, les habitants continuant cependant d'être desservis par le curé de Repentigny jusqu'en 1685, date à laquelle la chapelle de l'Enfant-Jésus est érigée à la pointe est de l'île, à l'endroit du domaine seigneurial d'origine (Lacombe, 1978 : 5). En 1680, malade et vieillissant, Mgr de Laval fait don de

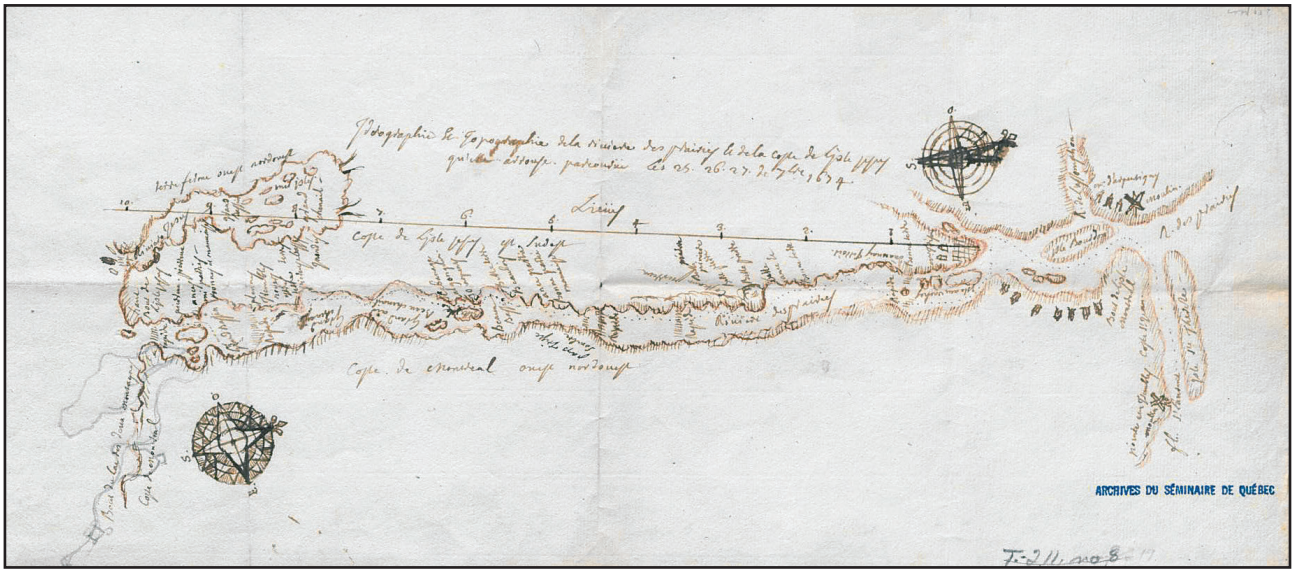


Figure 7 - Plan du père Dalmas effectué lors de son voyage de 1674. On voit l'établissement financé par Berthelot sur la pointe est

la seigneurie au Séminaire de Québec, qui en conserve la propriété jusqu'à l'abolition du régime seigneurial en 1854. À titre de seigneur de l'île, le Séminaire de Québec jouit de droits et privilèges dont celui de se réserver l'usage exclusif de certaines parties du territoire et le droit de banalité qui assure au seigneur le monopole des moulins en obligeant les censitaires à les utiliser. Au fil du temps, le Séminaire se réservera six domaines sur l'île Jésus, dont le plus ancien et le plus important (550 arpents environ) occupait toute la pointe nord-est de l'île (Ethnoscop, 1988 : 11). Le secteur à l'étude faisait par ailleurs partie du domaine seigneurial désigné comme le Petit Domaine, ayant trois arpents de front sur la rivière des Prairies et s'étirant vers l'intérieur de l'île sur 28 arpents (figure 8).

En 1689, dans la foulée des évènements du massacre de Lachine, la jeune colonie de l'île Jésus est ravagée ; le 13 novembre, des Iroquois brûlent les installations puis prennent ou tuent tous les colons. Le relèvement est difficile et si on dénombre une cinquantaine de personnes sur l'île en 1692, ce sont quasiment tous des hommes employés à la reconstruction. En 1695, on ne compte que dix-sept hommes et cinq femmes sur l'île Jésus, les terres y étant délaissées au profit de Ville-Marie et de Québec, qui offrent plus de sécurité. Pourtant, selon Dépatie, la seigneurie de l'Île-Jésus correspond à l'un des territoires agricoles les plus favorisés du Québec, tant au point de vue climatique qu'au point de vue de la qualité des sols (Dépatie, 1986 : 59). Bien que certains plans montrent un fort à la pointe est de l'île, et qu'on réfère vaguement à un fort dans le récit de l'attaque de 1689, cette construction n'est pas mentionnée dans l'inventaire du bâti de 1675 effectué à l'occasion du transfert de la propriété (Lacombe, 1978 : 6).



Figure 8 - Emplacement des domaines seigneuriaux du Séminaire de Québec sur l'île Jésus : Le Petit Domaine, dans lequel s'inscrit le secteur à l'étude, est en bleu, tandis que les autres domaines seigneuriaux sont en rouge (extrait du plan de la seigneurie de l'Île-Jésus en 1749)



Figure 9 - Plan de Vachon de Belmont, 1702. Le cercle rouge marque l'emplacement de la paroisse Saint-François-de-Sales fondée en 1702 (BAnQ : 0002664057)

La signature de la Grande Paix de Montréal en 1701 offre l'accalmie et la stabilité sociale nécessaires pour que la seigneurie de l'Île-Jésus puisse réellement prendre son envol. La première paroisse de la seigneurie, celle de Saint-François-de-Sales, est fondée dès 1702. Cette dernière englobe toute la pointe est de l'île et comprend le secteur à l'étude. Le petit établissement colonial est d'ailleurs visible sur la carte de Vachon de Belmont de 1702 (figure 9). En 1706, la première église est inaugurée et s'ensuivent plusieurs concessions de terres à des colons. Ce nouveau noyau paroissial se trouve à 4,2 km à l'est du secteur à l'étude alors que l'occupation se limitait toujours à la pointe est de l'île. Bien que l'endroit ne soit pas jugé idéal pour l'implantation d'une église, il s'agit du seul endroit propice à la construction d'un fort advenant un échec de la Grande Paix et la reprise des hostilités avec certains groupes autochtones (Bassil *et al.*, 2017 : 66).

L'an 1721 marque l'érection officielle de la paroisse Saint-François-de-Sales, qui n'était auparavant qu'une desserte pour les paroisses voisines. Saint-François hérite donc de sa propre cure. Le plan de Baudry de 1721 montre divers bâtiments, dont ce qui semble être une église, situés du côté sud de la pointe de l'île, à l'ouest du premier établissement de Berthelot qui avait été détruit en 1689. Le petit établissement seigneurial est alors en développement. Malheureusement, le manoir seigneurial ainsi que l'église sont complètement détruits lors d'un incendie la même année. L'église est reconstruite dès 1723 au même endroit, probablement sur les fondations de la précédente (Bassil *et al.*, 2017 : 71).

L'aveu et dénombrement de 1732 offre une description détaillée des bâtiments seigneuriaux présents sur l'île (Mathieu et Laberge, 1991 : 309-313). Ce document consiste en une liste de censives dressée par côte (subdivision agricole des terres) et spécifiant le nom du censitaire, la superficie du lot, le nombre d'arpents en labours et en prairie, l'état du bâti et le taux de redevances aux seigneurs (Dépatie, 1986 : 60). Cet inventaire montre également l'étalement naissant de la colonie insulaire ; les lots exploités à cette date se limitent toujours à la portion nord-est de l'île et quoique des terres soient cédées plus à l'ouest, les nombreuses rétrocessions qui suivent quelques années plus tard laissent entendre que les censitaires n'avaient pas rempli leur obligation d'y tenir feu et lieu et n'en occupaient pas physiquement le terrain.

Les terres concédées s'étalent alors, dans la Côte du Nord, jusque devant Terrebonne. On constate également, en 1732, que l'occupation humaine de la Côte du Sud, du côté de la rivière des Prairies, se développe plus rapidement qu'au nord : 45 des 48 terres concédées dans la Côte du Sud sont occupées, tandis que seulement 37 des 59 terres concédées de la Côte du Nord le sont (Ethnoscop, 2004 : 10). La distribution du sol de la seigneurie en censives n'est complétée qu'en 1791, soit plus d'un siècle après l'attribution de la première terre (Dépatie, 1986 : 59). L'île est alors entièrement découpée en Côtes, le long desquelles se succèdent les longues et étroites parcelles en censive mises en culture ou gardées en réserve de bois (figure 10).

Dès les débuts du développement de la seigneurie, ce sont donc les terres de la pointe est, à proximité des installations seigneuriales, qui sont offertes en censives aux colons. Le paysage humain de l'île Jésus au XVIII^{e} siècle est dominé par le paysan (ou habitant) ; les membres du clergé, militaires, officiers civils, artisans, marchands et journaliers sont en nette minorité en ce qui concerne la propriété des terres (Dépatie, 1986 : 67). Le caractère agricole de la seigneurie se confirme à cette période. Éventuellement, durant le second quart du XVIII^{e} siècle, avec le nombre croissant d'habitants, de nouvelles terres sont défrichées, poussant le peuplement vers l'ouest, loin du cœur de la paroisse Saint-François-de-Sales et de son église.

En 1733, le premier chemin du Roy est tracé par le grand voyer ; il ceinture la pointe est de l'île depuis ce qui deviendra Saint-Vincent-de-Paul jusqu'aux environs du premier noyau paroissial de Sainte-Rose, du côté de la rivière des Mille-Îles. Deux ans plus tard, on ouvre un chemin de montée, qui est non loin à l'est du secteur à l'étude, pour faciliter l'accès au moulin banal pour les habitants de la Côte du Nord de Saint-François-de-Sales ; c'est la montée du Moulin, un axe routier toujours en usage (Fortin *et al.*, 2008 : 68). Ainsi, le secteur à l'étude se retrouve à l'ouest du croisement de deux tracés fondateurs de la seigneurie, implantés dès le second quart du XVIII^{e} siècle.

La carte de Murray de 1761 offre un portrait, quoique sommaire, du schème d'occupation de l'île Jésus au moment du changement de régime (figure 11). Le bâti suit le chemin du Roy longeant les berges tandis que l'intérieur de l'île demeure inoccupé. Les paroisses, présentant peu d'éléments

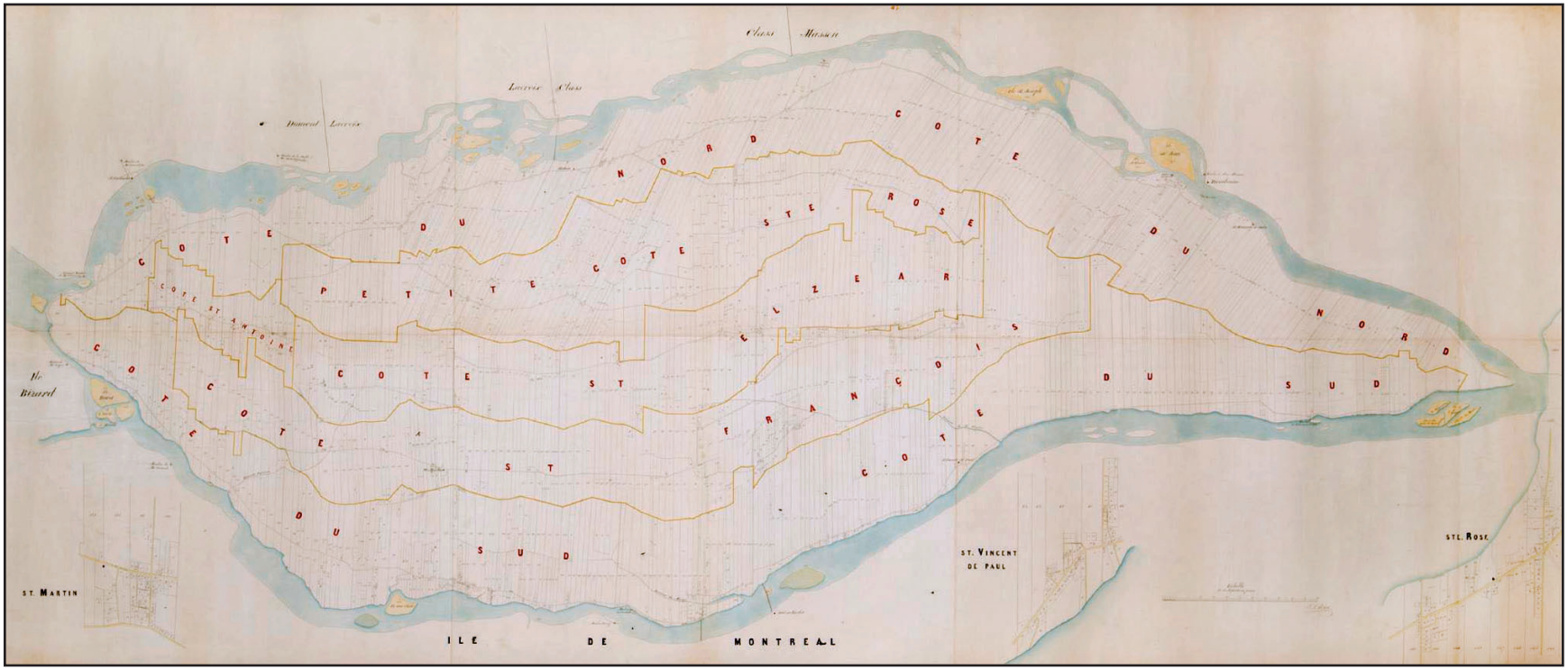


Figure 10 - Plan cadastral de l'île Jésus (1860-1872) montrant le découpage de tout le territoire en côtes. Ce découpage est toujours perceptible dans le cadastre actuel, plusieurs routes modernes suivant l'axe des anciens chemins de côte et de montée



Figure 11 - Détail du plan de James Murray de 1761 ; le secteur à l'étude est encerclé en rouge

bâtis, des terres en culture, mais également des espaces non défrichés, ne font pas encore l'objet d'une occupation villageoise, mais plutôt d'occupations agricoles clairsemées. Toutefois, on peut lire sur le plan de Murray que la paroisse Saint-Vincent-de-Paul, à l'ouest du secteur à l'étude, est de loin la plus populeuse avec 207 familles, contre 50 seulement pour la paroisse Saint-François-de-Sales et 85 pour la paroisse Sainte-Rose. Cette situation est annonciatrice du délaissement de la paroisse Saint-François qui s'installe lentement à la fin du XVIII^{e} siècle. La population en plein essor dans le dernier quart du XVIII^{e} siècle repousse la colonisation vers l'ouest, formant l'ébauche de nouveaux noyaux villageois. Au niveau du secteur à l'étude, le plan de Murray montre des terres en majeure partie défrichées, avec quelques réserves de bois et une occupation dispersée le long du chemin du Roy qui longe la berge.

Les hameaux se développent réellement à partir du début du XIX^{e} siècle avec l'augmentation démographique entraînant l'accroissement du commerce local et un besoin grandissant en biens

et services (Dumais & Rousseau, 2002 : 13). Ces petits noyaux de peuplement sont tournés surtout vers une autosuffisance locale sans réelle relation d'échange ou de commerce avec les centres de peuplement plus dynamiques comme Montréal, Terrebonne ou même Saint-Eustache. Les hameaux et les villages s'organisent autour des églises paroissiales, à la croisée de chemins plus fréquentés ou à l'abord des traverses puis des ponts qui relient l'île Jésus à Montréal et à la rive nord. Saint-François-de-Sales, bien qu'elle soit la paroisse mère de la seigneurie, se retrouve isolée par l'absence de traverses et de ponts dans le secteur de la pointe est. Il faut attendre la seconde moitié du XIX^{e} siècle pour que de réels hameaux s'y développent du côté de la rivière des Mille-Îles.

Le XIX^{e} siècle s'amorce sous le signe du délaissement à Saint-François. La mort du curé Marchand qui y officiait depuis près de 50 ans laisse un grand vide dans la petite communauté et les paroissiens, trop peu nombreux, n'ont pas les moyens financiers pour rénover l'église, celle de 1706, reconstruite vers 1723, et qui tombe en ruine. Cette dernière est abandonnée et la paroisse est supprimée en 1807 à la demande des paroissiens. Le territoire de Saint-François-de-Sales est alors rattaché à trois paroisses limitrophes, qui s'en partageront, avec le Séminaire de Québec, les trésors religieux. Le secteur à l'étude se retrouve alors desservi par la paroisse Saint-Joseph de Rivière-des-Prairies ; un plan de 1837 montre ce qui pourrait être un trajet de traverse reliant l'église Saint-Joseph à la berge du moulin de Saint-François, ainsi que l'emplacement de l'église abandonnée (figure 12).

Cette suppression durera 37 ans, mais, en 1844, la paroisse renaît grâce à une reprise du développement, attribuable entre autres à la construction d'un pont reliant Terrebonne à l'île Jésus, offrant une meilleure accessibilité à la pointe est. La nouvelle église est construite 7 km à l'ouest de l'ancienne, en suivant le chemin du Roy du côté nord de la pointe, ce qui concentre le petit noyau paroissial sur les berges de la rivière des Mille-Îles. Malgré ce renouveau, Saint-François de-Sales demeure, au milieu du XIX^{e} siècle, une paroisse principalement rurale, avec seulement une dizaine de boutiques d'artisans et de magasins (Fortin *et al.*, 2008 : 83). C'est également la seule paroisse qui n'a toujours pas de médecin en 1851 et la dernière des paroisses d'origine à avoir un bureau de poste, en 1865. Ce soubresaut de développement villageois et démographique provoqué par la reprise de la paroisse n'atteindra pas la Côte du Sud, la portion de Saint-François qui se trouve du côté de la rivière des Prairies, comme le noyau paroissial qui se trouvait sur la pointe s'est déplacé du côté de la rivière des Mille-Îles.

La dynamique villageoise et agricole qui s'est tranquillement installée au début du XIX^{e} siècle sur l'île Jésus domine la structuration du paysage social vers la fin de ce siècle. De nouveaux villages se greffent aux paroisses d'origine, dont le développement est stimulé entre autres, au milieu du XIX^{e} siècle, par l'abolition du régime seigneurial qui permet l'implantation de moulins hors des anciens domaines seigneuriaux et l'opération des anciens moulins banaux par des intérêts privés. On assiste également durant cette période à l'épanouissement de municipalités de paroisse ou de

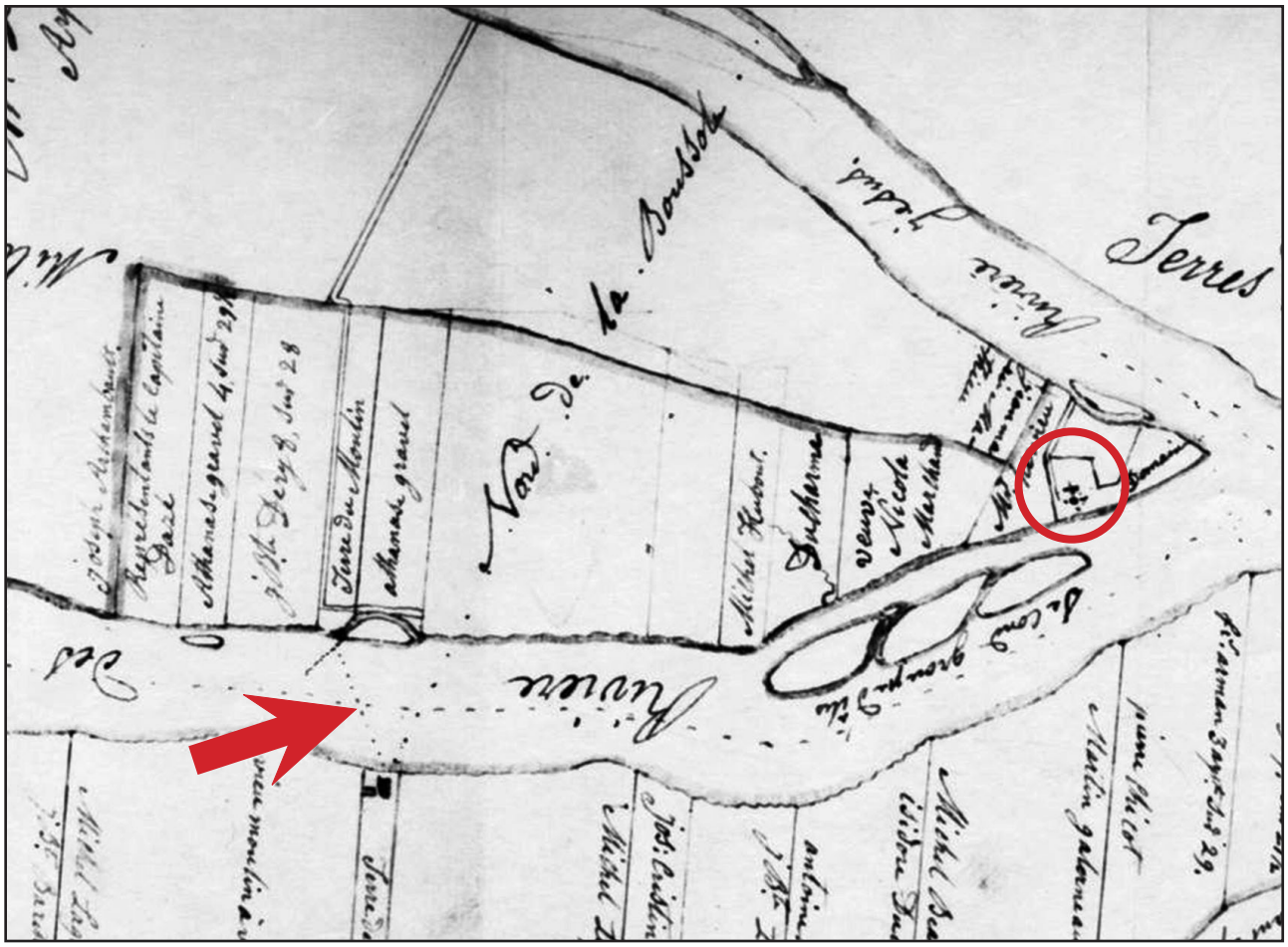


Figure 12 - Extrait d'un plan de la paroisse Saint-Joseph en 1837, dont fait alors partie le secteur à l'étude. La flèche indique ce qui pourrait être une traverse reliant le moulin à l'église. Encerclé en rouge, l'emplacement de l'église de Saint-François-de-Sales, abandonnée depuis le début du XIX^{e} siècle

village qui voient à leur propre développement et infrastructures, définissant le visage de la ville en devenir. C'est aussi à cette époque que la superficie du territoire mis en culture sur l'île atteint son extension maximale et que les secteurs boisés n'en couvrent qu'environ 10 % (Fortin *et al.*, 2008 : 44).

Dans le cas de Saint-François, et plus spécifiquement de la portion en marge de la rivière des Prairies, où se trouve le secteur à l'étude, on ne peut pas parler d'une réelle densification démographique avant le troisième quart du XX^{e} siècle. En 1855, le territoire de la première paroisse de l'île Jésus devient la municipalité de paroisse Saint-François-de-Sales. Tandis que du côté nord du territoire de la municipalité de paroisse on assiste à la formation de petits hameaux le long du chemin du Roy, l'occupation du côté sud de la pointe de l'île se trouvait toujours clairsemée au tournant du XX^{e} siècle, comme en témoignent les plans topographiques de l'époque (figure 13). La population de



Figure 13 - Extrait d'un plan topographique de 1909

Saint-François-de-Sales ne montre aucune augmentation substantielle durant la première moitié du XX^{e} siècle et se maintient sous la barre des 1000 habitants. On note même durant cet intervalle une baisse de la population entre 1918 et 1925.

Il existe toutefois, parallèlement à la population permanente peu nombreuse, une population saisonnière d'estivants, comme c'est le cas pour plusieurs municipalités riveraines de l'île Jésus au début du XX^{e} siècle. Ainsi, on retrouve à Saint-François de nombreux chalets d'été à proximité des rives et en 1964, tandis que la population permanente de la ville de Saint-François environnait les 6 000 habitants, on rapporte que quelque 3 500 estivants venaient gonfler ce nombre durant l'été. La seconde moitié du XX^{e} siècle dans Saint-François est marquée par une augmentation importante de la démographie, avec l'avènement des projets résidentiels dans le cadre desquels sont construits des bungalows groupés en secteurs denses pour loger les gens qui travaillent à Montréal et veulent devenir propriétaires. Entre 1950 et 1966, la population permanente de Saint-François se multiplie par huit. Le secteur à l'étude s'inscrit dans un tel développement résidentiel et le changement dans le paysage est drastique (figures 14 et 15). Malgré le développement de quartiers résidentiels, le territoire de Saint-François demeure jusqu'à nos jours largement agricole.



Figure 14 - Extrait d'un plan topographique de 1934

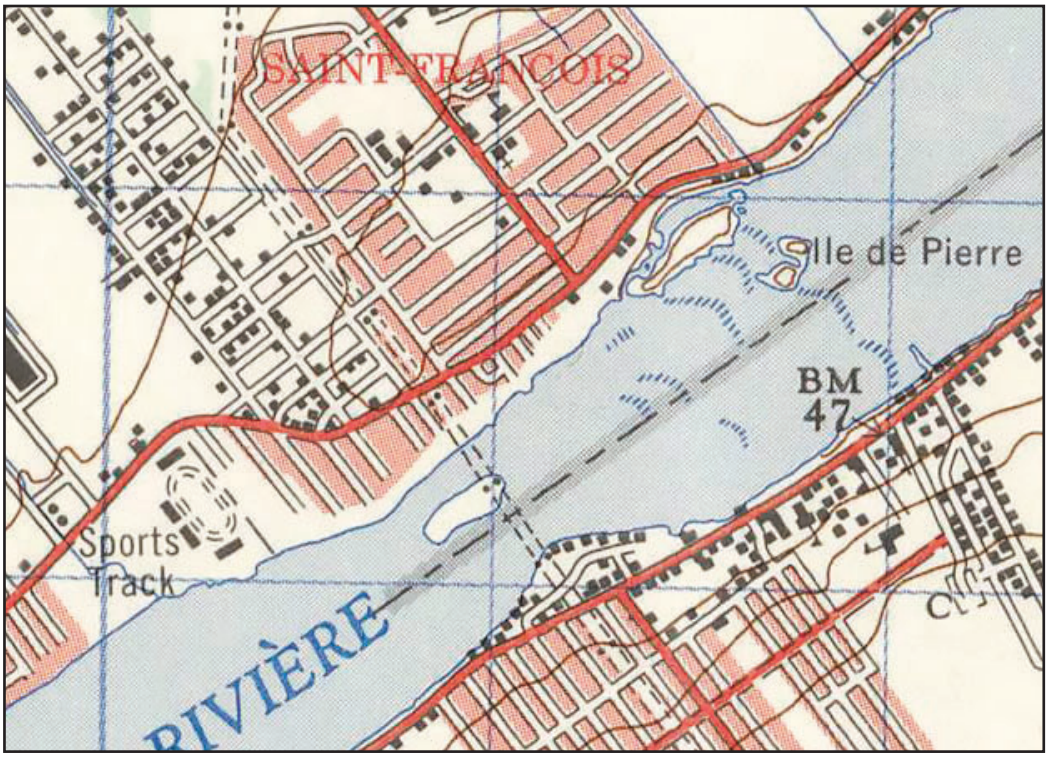


Figure 15 - Extrait d'un plan topographique de 1971

3.4 Interventions archéologiques à proximité

Le secteur d'intervention n'a fait l'objet d'aucune intervention archéologique jusqu'à présent, mais trois sites connus sont présents dans un rayon de moins de 600 m, à savoir les sites BkFj-18, BjFj-24 et BjFj-30 (figure 16).

Le site BkFj-18 est une nouvelle addition sur le territoire lavallois suite à la réalisation d'un inventaire archéologique sur un terrain situé à l'angle de la montée du Moulin et du boulevard Lévesque à Saint-François-de-Sales (Arkéos, 2024). Réalisé à l'été 2023, l'inventaire archéologique a permis d'identifier un site archéologique à composantes autochtones à 170 m de la berge. Ces occupations, remontant à l'archaïque récent post-laurentien et s'échelonnant jusqu'à la période de contact, sont représentées par la présence de deux vestiges (un foyer et une fosse de grande dimension) datés par analyses radiocarbones sur des fragments de charbon ainsi que par la présence d'une pointe de projectile en chert, d'un éclat retouché, de plusieurs débris lithiques et de quelques tessons de poterie autochtone. La réoccupation de l'emplacement au fil des siècles confirme que son environnement était particulièrement favorable et qu'il l'est demeuré malgré sa distance croissante avec la rivière des Prairies.

Le site BjFj-24, situé sur l'île du Moulin tout près du site BkFj-18, correspond à l'emplacement du moulin Saint-François dont les vestiges structurels hors-sol sont toujours partiellement visibles, quoiqu'en très mauvais état de conservation. Le site a fait l'objet de deux interventions archéologiques, un inventaire et une fouille, en 1986 et 1987 (Lebel, 1986 ; Ethnoscop, 1988). Trois moulins différents se sont succédé sur le site entre 1716 et 1902 ; des vestiges de maçonnerie enfouis pourraient correspondre aux fondations des deux premiers moulins, tandis que le matériel recueilli lors de la fouille témoigne surtout de la fin du XVIII^{e} et du XIX^{e} siècle, donc de l'exploitation du troisième moulin, qui servait également de cadre domestique pour le meunier et sa famille qui y faisaient leur logement. La stratigraphie est complexe et présente des couches liées aux évènements de construction, d'occupation, de réfection, et d'incendies qui ont marqué le site (Ethnoscop, 1988 : 53). Les archéologues ont recommandé à cette occasion la poursuite de la recherche et des fouilles, recommandation qui a été réitérée en 2000 (Ethnoscop, 1988 ; Balac, 2001). Aucune intervention archéologique supplémentaire n'a été effectuée sur le site après 1988 et les vestiges qui demeurent en place poursuivent leur lente dégradation.

Le site BjFj-30 correspond à la découverte fortuite effectuée en 1976 par un citoyen d'un couteau de pierre taillée ayant été rapportée à Bernard Hébert, archéologue, lors de l'inventaire archéologique sur le site BjFj-24 en 1986. Le couteau mesure 5,5 cm de longueur sur 3,5 cm de largeur et a été taillé bifacialement dans un matériau semblable, selon Hébert, au quartzite de Ramah provenant du Labrador. L'objet a été découvert à moins de 700 m à l'ouest du secteur à l'étude, à environ 90 m

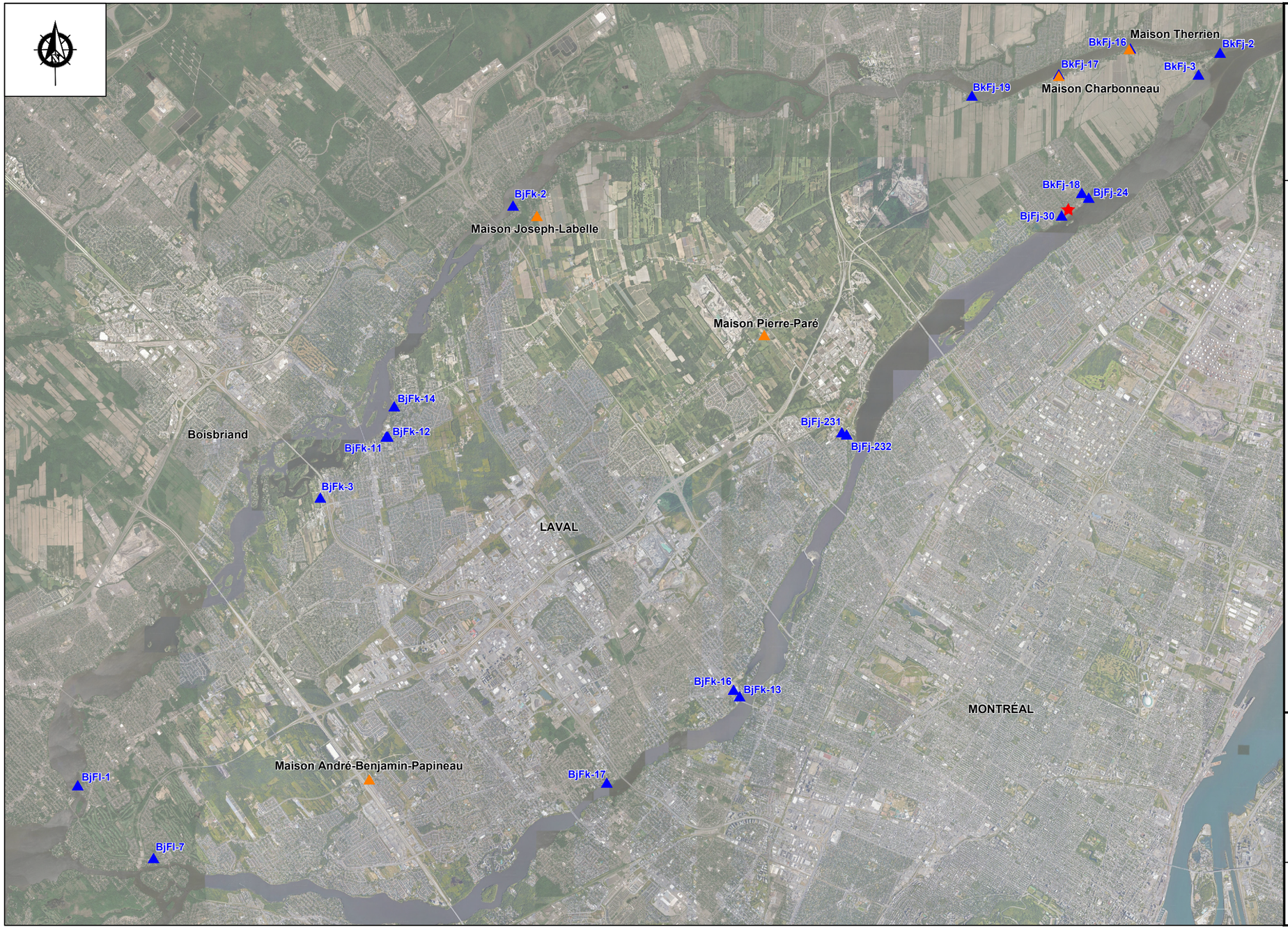


Figure 16

Localisation des sites archéologiques et des immeubles patrimoniaux connus autour de l'aire d'intervention

Légende

- Aire d'intervention
- Sites connus
- Immeubles patrimoniaux classés

Arkéos inc.
Société d'expertise en recherches anthropologiques

ÉCHELLE = 1 : 100 000
50 0 100 200 km

Sources : © 2024 Google Maps

Date
Août 2024

Numéro de projet
850-1021-24-300

de la berge de la rivière des Prairies. Le couteau de pierre se trouvait quelque 45 cm sous la surface du terrain dans une couche constituée de sable et de galets arrondis qui pourrait correspondre à une ancienne grève de la rivière (Hébert 1987 : 13).

Il est intéressant de noter qu'un inventaire effectué en 2006 par SACL dans le secteur de l'autoroute 25 et du boulevard Lévesque a mené à la découverte de sites qui ont été jugés à l'époque de faible intérêt et n'ont pas été retenus à l'ISAQ (ces sites ne sont donc pas désignés par un code Borden). Des fondations maçonnées avaient alors été découvertes, en bordure du boulevard Lévesque, l'ancien chemin du Roy, conjointement à des sols d'occupation et de la culture matérielle associée, le tout témoignant d'occupation aux XIX^{e} et XX^{e} siècles. Ces découvertes présentent un intérêt dans le cadre de la présente étude, puisque dans un premier temps, l'environnement naturel et culturel est semblable à celui du secteur à l'étude. Les sites découverts à cette occasion peuvent également fournir des informations quant aux modalités d'implantation des habitations en bordure de l'ancien chemin du Roy. Les fondations se trouvaient en partie tronquées par un léger élargissement du boulevard Lévesque à cet endroit, ce qui signifie que le front bâti se trouvait très près de l'abord du chemin, de l'ordre de quelques mètres seulement. Aussi, les fondations ont été laissées en place lors de la démolition.

3.5 Potentiel archéologique

Trois secteurs d'intérêt archéologiques (figure 17) recoupent le secteur de la présente intervention (SIA-19, SIA-58 et SIA-110). La présence de l'île de Pierre devant le secteur dans sa portion crée un resserrement avec la berge pouvant offrir un environnement favorable à la pêche ou l'accostage. En outre, la présence de rapides en aval du secteur rend l'endroit propice aux haltes et à l'établissement de campements ou encore au portage. Ces activités ont pu laisser des traces sous la forme de structures (foyers, fosses, trous de piquets) ou encore d'artéfacts (céramique, débitage lithique, outillage) et d'écofacts (graines, ossements) témoignant du type d'activités pratiquées lors d'occupations transitoires ou temporaires. La zone près de la rive correspondait à une période d'émersion, qui s'étend de 1 500 ans AA à aujourd'hui, rendant ce secteur riverain disponible à l'occupation depuis plus d'un millénaire. La présence d'alluvions est à prévoir dues aux fluctuations du niveau de l'eau qui pourraient avoir contribué à conserver les potentiels artéfacts laissés sur place. Les autres niveaux d'émersion entre la rive (9 m NMM) et le boulevard Lévesque (13 m NMM) sont aussi propices à contenir des traces et niveaux d'occupations anciens. De plus, un forage de caractérisation de sol effectué en 1998 dans l'emprise du boulevard Lévesque un peu à l'ouest de la montée du Moulin a démontré que le sol naturel se trouvait en place juste sous la surface aménagée du boulevard. Bien que l'implantation de services dans l'emprise du boulevard ait pu perturber les sols par endroits, il est probable qu'une portion considérable de ceux-ci demeurent intacts, le boulevard n'ayant, de toute évidence, pas fait l'objet de travaux d'aménagement majeurs à l'époque moderne.



Légende

- Aire d'intervention
- Segments de tranchées supervisés

Secteurs d'intérêt archéologique

- Tracés fondateurs
- Paléo-Berges-Delta-Iles-attributs

Figure 17 - Secteurs d'intérêt archéologique recoupant l'aire d'intervention

Source: © 2024 Google Maps

Arkéos inc.
Société d'expertise en recherches anthropologiques

ÉCHELLE = 1 : 4 000
20 0 40 80 m

Date
Août 2024

Numéro de projet 850-1021-24-300

Le secteur pourrait également recéler des traces des occupations plus récentes en lien avec des activités agricoles ou de villégiature. Le boulevard Lévesque correspondant à l'ancien chemin du Roy qui ceinturait l'île Jésus, a été aménagé officiellement en 1733, mais il était probablement déjà utilisé avant cette date pour accéder au moulin, construit dès 1716 à quelque 500 m plus à l'est du secteur à l'étude. L'emprise du chemin a pu se déplacer légèrement au cours de son histoire et certains éléments qui le bordaient (trottoirs, clôtures, bâtiments en bordure du chemin) pourraient se trouver conservés sous la chaussée ou aux abords immédiats de celle-ci. Le secteur n'était toujours pas bâti en 1949 et présentait certaines parcelles en culture et des arbres matures.

Le secteur est aujourd'hui occupé par des bâtiments résidentiels assez densément regroupés dans sa portion ouest et légèrement plus espacés dans sa portion est. Ces occupations modernes ainsi que l'implantation d'infrastructures d'utilité publique sous la chaussée ont pu perturber en partie la trame des sols, mais des portions intactes pourraient demeurer en place sur les terrains, avec les aménagements se faisant moins substantiels en bordure de la rive.

4 RÉSULTATS

Les interventions archéologiques réalisées à l'automne 2023 et au printemps 2024 ont permis de documenter la séquence stratigraphique de ce secteur du district de Saint-François et d'identifier les sols d'intérêt archéologique lorsque présents. Les sous-sections suivantes présentent les résultats des deux phases de supervision. Le lecteur peut référer aux figures 2 et 3, ainsi qu'à l'ensemble des coupes stratigraphiques, toutes réunies à l'annexe 2.

4.1 Intervention 2023 – Rue Monty (LVL-2023-16)

L'emprise des travaux pour l'intervention s'est principalement limitée à la rue en elle-même. À son extrémité sud, une voie d'accès à la rivière était aménagée pour l'utilisation par les services d'incendie. Dans la rue, une couche d'asphalte d'une dizaine de centimètres reposait sur un lit de pose en gravier lui-même parfois déposé sur un remblai de sable grossier comprenant beaucoup de petits galets et des pierres subarrondies de moins de 0,12 m de côté (couches C9-1 à 3). Pour ce qui est de la sous-opération 1D, le niveau de surface correspondait à un niveau de tourbe (couche C6-1). Sous ces niveaux d'aménagements récents, la séquence naturelle de dépositions est plutôt simple et correspond à ce qui suit.



Photo 1 - Sous-opération 1D — Niveau d'argile gris-bleuté d'origine marine dans l'excavation profonde — Vue vers l'ouest (LVL-2023-16-N1-81)

Lors des excavations profondes pour l'installation du nouvel émissaire pluvial, le roc a été observé à 8 m de profondeur dans la sous-opération 1N. Sa surface en décomposition formait une croûte de limon argileux brun-noirâtre. Au-dessus du roc, un niveau d'argile gris-bleuté d'origine marine a été identifié à environ 3,5 m de profondeur sous la surface actuelle sur l'ensemble du secteur (photo 1).

Des dépôts lités fluvio-glaciaires sur plus de 2 m d'épaisseur en moyenne continuaient la séquence de déposition naturelle (couches C6-2 à 4). Ceux-ci étaient composés soit de limon soit de sable grossier et composés majoritairement de pierres et cailloux subarrondis, de galets parfois en décomposition, de gravillons et cailloutis (photo 2).

Surplombant ces niveaux, des dépositions plus fines limoneuses associées à la mise en place du système hydrique actuel de la rivière des Prairies étaient présentes,



Photo 2 - Sous-opération 1C — Niveau de déposition fluvio-glaciaire composé majoritairement de galets — Vue vers le sud (LVL-2023-16-N1-16)



Photo 3 - Sous-opération 1A — Niveau de déposition fluviatile composé argile limoneux beige-jaunâtre — Vue vers le nord (LVL-2023-16-N1-13)



Photo 4 - Sous-opération 1M — Niveau de surface humique — Vue vers le sud (LVL-2023-16-N1-61)

ayant une tendance d'horizon brunisolique. Un premier niveau d'argile limoneux beige-jaunâtre (couche C12-6) composait le substrat stérile (photo 3). Au-dessus (couche C12-5) se trouvait un limon légèrement argileux et organique, de couleur brun-gris, dont la couleur et la texture transitionnaient graduellement vers la couche sous-jacente (photo 4). Le dépôt comprenait de rares inclusions de gravillons et quelques traces de charbon de bois ainsi que des racines. C'est aussi à ce niveau que la totalité des artéfacts de l'intervention a été retrouvée. Ceux-ci étaient tous associés au XX^{e} siècle, probablement lors de l'urbanisation du secteur : quelques objets en métal ferreux, des fragments de bouteille en verre, un fragment de pied de coupe en verre et de la vitre (voir annexe 2). Ce niveau n'était présent que dans la moitié sud de la rue Monty, soit entre les sous-opérations 1E et 1M.



Photo 5 - Sous-opération 2D — Niveau de déposition alluvial — Vue vers l'est (LVL-2023-16-N1-55)

ainsi qu'aplanir certains terrains. De ce fait, dans la portion nord de la rue (sous-opérations 1A à 1D), directement sous l'infrastructure de la rue, les sols rencontrés étaient stériles et composés soit d'argile limoneuse beige d'origine fluviatile, soit de dépôts graveleux d'origine fluvio-glaciaire. Il est à noter que la sous-opération 1N, située à l'intersection de la rue Monty et du boulevard Lévesque, suivait cette même tendance de décapage, mais que plus près des terrains, la séquence pourrait encore s'avérer intacte. Ceci sera discuté plus en détail dans la section 4.2 concernant l'intervention LVL-2024-01.

Trois anomalies ont été observées au fil de cette séquence. La première, localisée dans la sous-opération 1D, correspond à une tranchée de sol naturel fluvio-glaciaire remanié de couleur plus grise. Elle a été observée jusqu'à 2,5 m de profondeur là où un poteau de téléphone abandonné a été mis au jour (photo 6).

Des alluvions plus récentes ont recouvert ce niveau de surface organique qui se remarque particulièrement du côté est de la rue plus près de la petite anse de la rive (sous-opérations 1E, 1F, 1G, 1H/2D, 1L, 1M et 2N). Il s'agissait d'un limon argileux gris-bleuté marbré d'oxydation (photo 5, couche C12-4). Cet apport fluviatile a aussi déposé des éclisses et morceaux de bois de moins de 0,04 m ainsi que des fibres végétales dans ce niveau.

Pour autant, la séquence naturelle se ressemblait tout au long de la rue Monty. Certains niveaux avaient été dérasés ou complètement retirés lors de l'aménagement de la rue, probablement pour adoucir la pente



Photo 6 - Sous-opération 1D — Vue de la tranchée grise avec le poteau de téléphone enfoui — Vue vers l'ouest (LVL-2023-16-N1-82)

La seconde anomalie a été retrouvée tronquant une fois de plus les sols stériles à partir du niveau d'occupation. Il s'agissait d'un négatif de trou de poteau carré de 14 cm de côté et 12 cm de profondeur dans le sondage 2A (photo 7 et couche C9-6). Il est difficile de dire à quoi cela pouvait correspondre (clôture ou autre poteau), mais le vestige correspond assurément à un aménagement mis en place au XIX^{e} ou XX^{e} siècle.



Photo 7 - Sous-opération 2A — Vue en plan du négatif de poteau à profil carré — Vue vers le sud (LVL-2023-16-N1-45)

La troisième et dernière anomalie stratigraphique se trouvait au niveau de l'accès à la berge pour les pompiers. Plutôt que d'être d'origine anthropique, cette anomalie marquait l'ancienne limite naturelle de la berge avant que le débit d'eau de la rivière des Prairies ne soit contrôlé par les barrages en amont et avant que le rivage soit progressivement remblayé (photo 8). La rupture de pente est notée entre le niveau de limon argileux brun clair-beige oxydé et stérile et un sol limoneux et légèrement argileux gris foncé à gris-brun homogène comprenant de gros cailloux et des fibres végétales en décomposition ainsi que des déchets métalliques. Cette rupture a été observée à environ 1 m de profondeur. Du côté nord de cette rupture de pente, les sols organiques sont présents sur une trentaine de centimètres et ont été moins dérasés que dans l'emprise de la rue. Du côté sud de la limite de berge, les remblais de surface vont en s'épaississant vers la rivière et les sols stériles et non brassés sont situés beaucoup plus en profondeur. De plus, les dépôts fluvio-glaciaires très caillouteux sont moins lités et mélangés avec les sols sus-jacents.



Photo 8 - Sous-opération 1M — Rupture de pente marquant la limite naturelle de la berge — Vue vers l'ouest (LVL-2023-16-N1-8)

4.2 Intervention 2024 - Boulevard Lévesque et place Stella (LVL-2024-01)

La tranchée nécessaire à la mise en place de la conduite de raccordement temporaire, localisée sur des terrains résidentiels au sud du boulevard Lévesque Est, a permis d'observer une



Photo 9 - Sous-opération 1G — Paroi sud de la tranchée d'implantation du refoulement temporaire — Vue vers le sud (LVL-2024-01-N1-26)



Photo 10 - Sous-opération 1H — Horizon supérieur du sol naturel remanié (brun foncé) en paroi sud — Emprise de l'oléoduc d'Enbridge — Vue vers le sud (LVL-2024-01-N1-56)

séquence stratigraphique continue comportant un rehaussement général de la zone d'étude (photos 9 et 10). Hormis les perturbations du tissu archéologique occasionnées par les raccordements de services d'eau et d'égout, l'horizon supérieur du sol naturel était présent presque partout et avait été recouvert par les remblais associés au lotissement du cadre bâti actuel. De manière générale, on a pu observer une stratification simple en paroi, comportant un niveau supérieur de terre végétale, un remblai de rehaussement, et le sol naturel sous-jacent (voir coupe C2, C3 et C4). Le sol naturel comportait un horizon remanié (ancien brunisol altéré par les labours et l'occupation du sol) dans sa portion supérieure ainsi que l'horizon stérile dans la portion inférieure (épisode postglaciaire, sable argileux et argile sableuse homogène, épisode glaciaire sous forme de till d'ablation).

L'horizon supérieur du sol naturel remanié est présent sur de longs segments continus en paroi sud de la tranchée. En fonction de la distance différentielle entre la tranchée et la chaussée, la paroi nord du creusement présentait également de larges horizons de sol en place, mais de manière plus intermittente. La matrice était composée d'un limon sableux à argileux, de brun à brun grisâtre, plutôt homogène et compact (photo 11). Des inclusions anthropiques, sous forme de particules de charbon de bois, de fibres de bois et de petits fragments de brique commune pouvaient être présentes dans la couche, selon la position de la stratification dans l'espace à l'étude. D'une manière générale, l'horizon supérieur du sol naturel présente une pente descendante de l'ouest vers l'est. Ainsi, ce dépôt a été repéré à une altitude de 12,75 m NMM dans la sous-opération 1E,



Photo 11 - Sous-opération 1M — Horizon supérieur du sol naturel remanié sous les remblais d'un stationnement — Trou de piquet à la base de la couche, axe de la place Stella — Vue vers l'ouest (LVL-2024-01-N1-105)

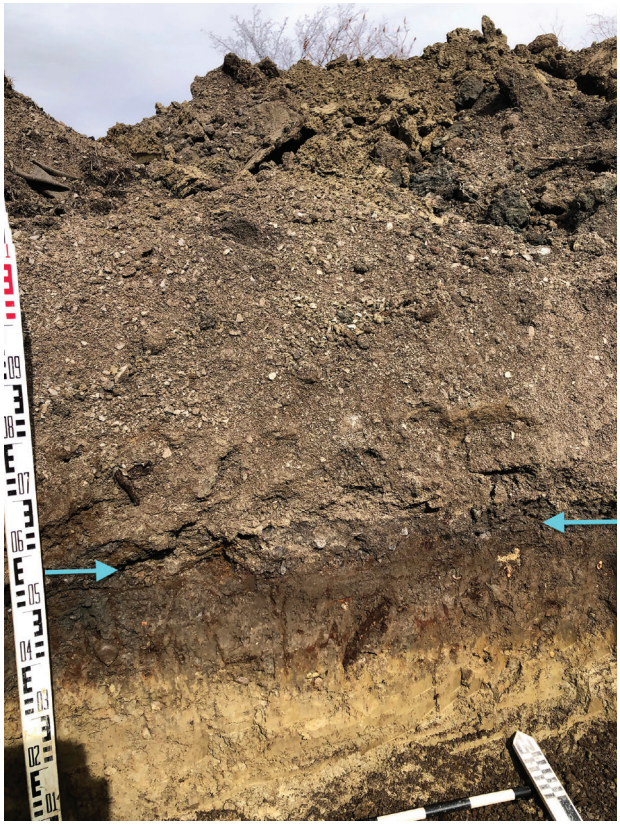


Photo 12 - Sous-opération 1H — Niveau de circulation (flèches) recouvrant l'horizon supérieur du sol naturel remanié — Vue vers le nord (LVL-2024-01-N1-35)

à 12,40 m NMM dans la sous-opération 1H, à 12,20 m NMM dans la sous-opération 1J et à 9,70 m NMM dans la sous-opération 1N de la place Stella. Concernant la dernière mesure altimétrique, il s'agit de la première terrasse de la rive nord de la rivière des Prairies dans ce secteur du quartier Saint-François. Ainsi, on note un dénivelé d'environ 3,00 m entre les sous-opérations 1E et 1N.

Dans la sous-opération 1H (servitude du pipeline d'*Enbridge*), on note la présence d'un niveau caillouteux sous les remblais de rehaussement et qui pourrait constituer un ancien niveau de circulation d'orientation est-ouest (photo 12). Son altitude approximative est de 12,30 m NMM. Il pourrait s'agir de l'emprise de l'ancienne Côte du Sud. L'axe nord-sud de la place Stella (1M) présente un faciès analogue à celui du boulevard Lévesque (1A à 1L), hormis le caractère moins homogène de la matrice de la couche d'occupation d'origine.

Un vestige de maçonnerie de pierres (LVL-2024-01-1L-ST-1) a été découvert en façade du terrain à l'angle du boulevard Lévesque Est et de la place Stella (voir figure 4, photos 13 et 14). Il s'agit d'une maçonnerie sèche dont l'appareil est composé de blocs bruts (coupe C1). D'orientation est-ouest, le vestige de pierres est situé sous l'aire gazonnée de la propriété au coin de place Stella et Lévesque. Sa longueur totale est d'environ 7,00 m et sa largeur d'environ 0,50 m. Sa hauteur résiduelle est d'environ 1,00 m. L'intérieur du bâtiment auquel il est rattaché devait être situé derrière le parement sud qui se trouve au-delà de la tranchée de la canalisation temporaire. Il se pourrait que d'autres structures soient présentes au sud du vestige dégagé dans la tranchée. Il s'agirait



Photo 13 - Sous-opération 1L — Portion ouest du vestige de pierres ST-1 — Maçonnerie sèche d'orientation est-ouest — Vue vers le sud-ouest (LVL-2024-01-N1-69)



Photo 14 - Sous-opération 1L — Vue du vestige de pierres ST-1 en paroi sud de la tranchée du refoulement temporaire — Vue vers le sud-ouest (LVL-2024-01-N1-85)

de la fondation d'un bâtiment de ferme. Les photographies aériennes d'avant 1950 sont peu loquaces à cet effet. En paroi sud, on a identifié un sol d'occupation qui pourrait être associé à la découverte (couche C1-2). Un clou forgé a été retrouvé en paroi, puis élagué.

Au sud de la sous-opération 1M, avant la courbe à 90 degrés de la place Stella, les dépôts postglaciaires sont remplacés par un till comportant de nombreux cailloux arrondis et blocs. L'axe est-ouest (sous-opération 1N) de la place Stella présente une ligne continue de l'horizon supérieur du sol naturel remanié, sauf pour ce qui est d'une petite diagonale sur la propriété la plus à l'ouest de la rue où la trame du sous-sol est complètement perturbée.

Le profil de l'emprise des sondages exploratoires aux deux extrémités de la tranchée (sous-opérations 1P et 1Q), visant à localiser la canalisation de refoulement actuelle, ne comportait que des remblais de comblement associés à l'implantation de services d'utilité publique et à l'aménagement de la chaussée.

5 CONCLUSION ET RECOMMANDATIONS

Dans le cadre de l'amélioration des infrastructures et des services aux citoyens, la rue Monty, le boulevard Lévesque Est et la place Stella, localisés dans le district Saint-François à Laval, faisaient l'objet de travaux de réfection et d'excavations majeurs. C'est dans ce contexte que la Ville de Laval a confié à Arkéos le mandat de supervision archéologique préalablement et en parallèle aux travaux.

Les différentes phases de l'expertise archéologique au terrain entre le 31 octobre 2023 et le 10 avril 2024 ont mené à l'identification de plusieurs niveaux d'occupation et de sols naturels en place. C'est le cas dans le bas de la rue Monty (LVL-2023-16) près de la rive de la rivière des Prairies. Ces sols n'ont pas livré de témoins archéologiques de la période autochtone malgré le potentiel théorique du secteur. Seulement une quinzaine d'artéfacts du XX^{e} siècle ont été mis au jour dans ce secteur. La séquence de déposition naturelle a aussi été caractérisée, permettant une meilleure compréhension de l'évolution de la topographie et du contexte environnemental et géologique du secteur.

En ce qui a trait à l'intervention le long du boulevard Lévesque Est et de la place Stella (LVL-2024-01), un rehaussement général de la zone d'étude a été observé recouvrant l'horizon supérieur du sol naturel présent presque partout dans les tranchées à l'exception des perturbations occasionnées par les raccordements de services d'eau et d'égout. Ce niveau de sol naturel pourrait être contemporain de l'occupation ancienne du secteur à l'étude (autochtone et agricole). La découverte d'une maçonnerie sèche en pierres des champs (LVL-2024-01-1L-ST-1) pourrait également être associée à cette même phase agraire.

À la lumière des résultats de la présente intervention, nous recommandons de poursuivre la supervision avec sondages manuels préalables à toute excavation le long de la rivière des Prairies ainsi que de l'ancien chemin du Roy, suivant les zones d'informations archéologiques et le potentiel identifié dans le secteur. De plus, la supervision de l'excavation de masse des rues Stella et Mirelle ainsi que du boulevard Lévesque (projet à venir LVL-2024-02), permettra de mieux estimer et qualifier l'étendue des couches d'intérêt archéologique, au-delà des étroites tranchées linéaires de la présente intervention. La présence nombreuse de services publics souterrains risque d'avoir perturbé une bonne part du tissu archéologique ancien, sauf à proximité du front bâti, dans le périmètre des entrées d'eau et d'égout qui seront dégagées pour l'occasion.

OUVRAGES CONSULTÉS

ARCHÉOBEC (1997) *Volume 2 : inventaire archéologique exploratoire à la résidence Darling (1890-1945) avec la participation du public, août 1996 vestige de la maison Darling, île Darling, site BjFk-4* — Ville de Laval.

ARCHÉOBEC (1996) *Exploitation et mise en valeur des ressources archéologiques de l'archipel Sainte-Rose, rivière des Mille-Îles, Laval* — Ville de Laval et ministère de la Culture et des Communications du Québec.

ARCHÉOTEC (2016) *Travaux de réaménagement de la rue Jacques-Cartier, ville de Gatineau Site BiFw-172, interventions archéologiques 2015* — Ville de Gatineau.

ARCHÉOTEC (2012a) *Parc national de la Pointe-du-Moulin, Notre-Dame de l›Île Perrot, site BiFl-01. Nouveau pavillon multifonctionnel. Interventions archéologiques 2012* — SODEC.

ARCHÉOTEC (2004) *Île aux Tourtes. Site BiFl-5. Fouilles archéologiques. Rapport de la campagne 2003* — Société archéologique et historique de l'Île aux Tourtes.

ARCHÉOTEC (1984) *Présence amérindienne sur le site de Coteau-du-Lac pendant la préhistoire. Rapport de recherche archéologique* [document inédit] — Parcs Canada.

ARKÉOS (2023) *Étude des secteurs d'intérêt archéologique de l'ensemble du territoire lavallois* — Ville de Laval.

ARKÉOS (2022) *Secteur de la berge du Vieux-Moulin - Étude de potentiel archéologique* — Ville de Laval.

ARKÉOS (2021) *Parc Bernard-Landry - Étude de potentiel archéologique* — Ville de Laval.

ARKÉOS (2021a) *Maison Charbonneau – Site BkFj-17, 8740, boulevard des Mille-Îles, Laval – Supervision archéologique. Rapport d'intervention* — MCC.

ARKÉOS (2020) *Secteur du projet urbain structurant Cartier - Étude de potentiel archéologique* — Ville de Laval.

ARKÉOS (2020a) *Inventaire archéologique à la Maison Therrien BkFj-16, Rapport d'intervention.*

ARKÉOS (2018) *Aménagement des Escales Découvertes du mont Royal – Étude de potentiel archéologique* — Ville de Montréal.

ARKÉOS (2016) *Nouveau poste Le Corbusier à 315-25 kV - Potentiel archéologique* — Hydro-Québec Équipement et services partagés.

ARKÉOS (2015) *Oléoduc Énergie Est. Inventaire archéologique - rapport final* — Groupe Conseil UDA Inc.

ARKÉOS (2013) *Aménagement faunique du Ruisseau du Faubourg, Rivière-des-Prairies. Inventaire archéologique (MTL10-19-1 et BkFj-15)* — Ville de Montréal.

ARKÉOS (2012) *Aménagement du chemin de ceinture du parc du mont Royal (tronçon 3). Inventaire et fouille archéologiques aux sites BiFj-92, BiFj-93, BiFj-94 et MTL09-04-01, 2009* — Montréal.

ARTEFACTUEL (2018) *BiFm-11. Le site de la Maison Trestler. Inventaire archéologique 2017 dans le cadre des travaux de stabilisation des berges* — Fondation de la Maison Trestler.

ARTEFACTUEL (2017) *Travaux d'aménagement de la place du 375e aux parcs Saint-Joseph et du Cheval-Blanc. Inventaire archéologique* — Ville de Montréal.

ASSINIWI, B. (1974) *Histoire des Indiens du Haut et du Bas-Canada – Tome 3 – De l'épopée à l'intégration, 1685 à nos jours. Collection Ni-T'Chawama Mon Ami Mon Frère* — Les Éditions Leméac Inc.

BALAC, A.-M., C. ROY et R. TREMBLAY (2019) *TERRE – L'empreinte humaine – Archéologie du Québec*. Les Éditions de l'Homme.

BALAC, A.-M. (2001) *Correspondance sur le site BkFj-3 à Laval* — MCCQ.

BASSIL, S. et I. LORTIE (2017) *Synthèse historique et patrimoniale du quartier Saint-François* — Ville de Laval.

BEAUBIEN, C.-P. (1898) *Le Sault-au-Récollet : ses rapports avec les premiers temps de la colonie : mission-paroisse* — C.O. Beauchemin & fils, libraires imprimeurs.

BÉLANGER, C., J. BRACEWELL, G. CHMURA, C. GATES ST-PIERRE, I.F. PENDEA et É. RAGUIN (2018) *Fouilles archéologiques sur le site de la Maison Nivard de Saint-Dizier (BiFj-85). Parc de l'Honorable Georges O'Reilly, arrondissement de Verdun* — Ville de Montréal.

BURKE, A. et P.J.H. RICHARD (2010) « L'occupation du Témiscouata pendant l'Archaïque : la comparaison du registre archéologique et du registre paléoenvironnemental », dans *De l'archéologie analytique à l'archéologie sociale*, sous la direction de B. Loewen, C. Chapdelaine et A. Burke, Recherches amérindiennes au Québec, Collection Paléo-Québec 34 : 103-127.

CARTIER, J. (1977) *Voyage en Nouvelle-France* — Montréal : HMH.

CHAPDELAINE, C. (2004) « Des chasseurs de la fin de l'âge glaciaire dans la région du lac Mégantic : Découverte des premières pointes à cannelure au Québec », dans *Recherches amérindiennes au Québec* — Vol. 34 (1) : 3.

CHAPDELAINE, C. (1990a) « Un site du Sylvicole moyen ancien sur la plage d'Oka (BiFm-1) », dans *Recherches amérindiennes au Québec* —Vol. 20 (1) : 19-35.

CHAPDELAINE, C. (1990b) « Le concept de Sylvicole ou l'hégémonie de la poterie », dans *Recherches amérindiennes au Québec* — Vol. XX (1) : 2-4.

CLERMONT, N. et C. CHAPDELAINE (2003) « La place de l'Archaïque supérieur de l'Outaouais dans le Nord-Est de l'Amérique de Nord : taxonomie, adaptation, continuité et changement », dans N. CLERMONT, C. CHAPDELAINE et J. CINQ-MARS (dir.), *Île aux Allumettes : L'Archaïque supérieur dans l'Outaouais*, Recherches amérindiennes au Québec, Collection Paléo-Québec 30 : 309 – 334.

CLERMONT, N. et C. CHAPDELAINE (1998) *Île Morrison : lieu sacré et atelier de l'Archaïque dans l'Outaouais* — Paléo-Québec nº 28. Recherches amérindiennes au Québec – Musée canadien des civilisations, Montréal et Hull.

CLERMONT, N. et C. CHAPDELAINE (1982) *Pointe-du-Buisson 4 : quarante siècles d'archives oubliées* — Recherches amérindiennes au Québec.

CLERMONT, N. et M. GAGNÉ (2004) « People of the Drumlins », dans J. V. Wright et J.-L. Pilon (éd.), *A Passion for the Past: Papers in Honour of James F. Pendergast* — Hull, Musée canadien des civilisations, Collection Mercure, Archéologie 164.

CORBEIL, P. (2004) « Pointe-du-Buisson 1977-2000 – Les vingt-deux saisons de l'École de fouilles », dans *Un traducteur du passé - Mélanges en hommage à Norman Clermont* — Sous la direction de Claude Chapdelaine et Pierre Corbeil. Paléo-Québec 31. Recherches amérindiennes au Québec : 47-86.

DALTON , A. S., M. MARGOLD, C.R. STOKES , L. TARASOV , A.S. DYKE, R.S. ADAMS et P.J. BARNETT (2020) « An updated radiocarbon-based ice margin chronology for the last deglaciation of the North American Ice Sheet Complex », dans *Quaternary Science Reviews* — (234) : 106223.

DÉPATIE, S. et L. DECHÊNE (1998) *Habitants et marchands, vingt ans après : lectures de l'histoire des XVII^e et XVIII^e siècles canadiens* — McGill-Queen's University Press.

DÉPATIE , S. (1986) « La structure agraire au Canada : Le cas de l'Île Jésus au XVIII^e siècle », dans *Historical Papers/Communications historiques* — Vol. 21 (1) : 56-85.

DIONNE, J. C. (1977) « La mer de Goldthwait au Québec », dans *Géographie physique et Quaternaire* — Vol. 31(1-2) : 61-80.

DUMAIS, P. et G. ROUSSEAU (2002) *Prolongement de l'autoroute A-25 à Laval et à Montréal, étude de potentiel archéologique* — Direction générale de Montréal et de l'Ouest, Direction de Laval-Mille-Îles, Service des Inventaires et du Plan, MTQ.

ETHNOSCOP (2018) *Interventions archéologiques sous la rue Sherbrooke – Supervision archéologique, inventaire et fouille, BjFj-01 – Projet Promenades Urbaines* — Ville de Montréal.

ETHNOSCOP (2004) *Vieux-Terrebonne. Programme d'enfouissement des réseaux câblés en milieu patrimonial. Interventions archéologiques* — Hydro-Québec.

ETHNOSCOP (1988) *Moulin de Saint-François de Sales, sondages archéologiques* — Ville de Laval.

FISET, M.-E. (2008) *Histoire de l'occupation amérindienne de l'île de Montréal et de sa région entre 1534 et 1763* — Rapport de recherche présenté comme exigence partielle de la maîtrise en histoire appliquée, Université du Québec à Montréal.

FAILLON, E.-M. (1853) *Vie de la soeur Marguerite Bourgeoys fondatrice de la Congrégation de Notre-Dame de Villemarie en Canada, suivie de l'histoire de cet institut jusqu'à ce jour* — Montréal : Chez les soeurs de la Congrégation de Notre- Dame.

FORTIN, J.-C., J. SAINT-PIERRE et N. PERRON (2008) *Histoire de Laval, Collection les Régions du Québec* — Les Presses de l'Université Laval.

GAUMOND, M. (1963) *Rapport sur les recherches effectuées sur la pointe est de l'île Jésus, les 26, 27 et 28 août 1963, BkFj-2.*

GIROUARD, L. (1975) *Une station de pêche iroquoienne à Pointe-aux-Buissons (comté de Beauharnois, Québec)* — Mémoire de maîtrise (anthropologie), Montréal, Université de Montréal.

GRONDIN, F. et C. GATES ST-PIERRE (2009) *Église de la Visitation de la Bienheureuse-Vierge-Marie du Sault-au-Récollet, à Montréal. Projet de restauration des contreforts et fondations. Inventaire archéologique 2008 (site BjFj-85)* — Fabrique de la paroisse de la Visitation de la Bienheureuse-Vierge-Marie. Ministère de la Culture, des Communications et de la Condition Féminine. Fondation du patrimoine religieux.

HÉBERT , B. (1987) *Berge du parc Couvrette, du parc Sainte-Rose, berge des Goélands, berge aux Quatre-Vents et du Grand Brochet* — Ville de Laval.

LACOMBE, M. (1978) *Archéologie historique, inventaire des sites de la pointe est de l'île Jésus* — MAC.

LAJOIE, P. et R. BARIL (1956) *Les sols de l'île de Montréal, de l'île Jésus et de l'île Bizard dans la province de Québec* — Ministère de l'Agriculture du Canada et Québec, ministère de l'Agriculture de Québec.

LAVOIE, M. et P. J. RICHARD (2000) « Postglacial water-level changes of a small lake in southern Quebec, Canada », dans *The Holocene* — Vol. 10 (5) : 621-634.

LEBEL, Y. (1986) *Moulin de Saint-François-de-Sales, étude historique et archéologique* — Ville de Laval.

LOEWEN, B. (2009) « Le paysage boisé et les modes d'occupation de l'île de Montréal, du Sylvicole supérieur récent au XIX[e] siècle », dans *Recherches amérindiennes au Québec* — Vol. 39 (1-2) : 5-21.

MATHIEU , J. et A. LABERGE (dir.) (1991) *L'occupation des terres dans la vallées du Saint-Laurent : Les aveux et dénombrements, 1725-1743* — Septentrion.

MAROIS, R. (1987) « Souvenirs d'antan : les sépultures archaïques de Coteau-du-Lac, Québec », dans *Recherches amérindiennes au Québec* — Vol. XVII (1-2) : 7-35.

MULLER, S. D. et P. J. RICHARD (2001) « Post-glacial vegetation migration in conterminous Montréal Lowlands, southern Québec », dans *Journal of Biogeography* — Vol. 28 (10) : 1169-1193.

OUELLET, J.-C. (2017) « Les occupations de la période Archaïque à l'embouchure de la rivière Gatineau. Le site BiFw-172 », dans *Paléo-Québec 36*, Recherches amérindiennes au Québec : 115-149.

PARENT, M. et S. OCCHIETTI (1999) « Late Wisconsinan deglaciation and glacial lake development in the Appalachians of Southeastern Quebec », dans *Géographie physique et Quaternaire* — Vol. 53 (1) : 117-135.

PENDERGAST, J. F. (1981) *The Glenbrook Village Site: A Late Saint-Lawrence Component in Glengarry County, Ontario* — Collection Mercure, dossier n[o] 100, Musée national de l'Homme, Ottawa.

PENDERGAST, J. F. (1974) « The Sugarbush Site: A Possible Iroquoian Maple Sugar Camp », dans *Ontario Archaeology* — (23) : 31-61

PENDERGAST, J. F. (1969) « The MacDougald Site », dans *Ontario Archaeology* — (13) : 29-51.

PENDERGAST, J. F. (1966) « Three Prehistoric Iroquois Components in Eastern Ontario; the Salem, Grays Creek, and Beckstead Sites », dans *Anthropological Series*, n[o] 73, Bulletin n[o] 208, National Museum of Canada, Ottawa.

PENDERGAST, J. F. et B. G. TRIGGER (1972) *Cartier's Hochelaga and the Dawson site* — Montréal, McGill Queen's University Press.

PIÉRARD, J., M. CÔTÉ et L. PINEL (1987) « Le chien de l'occupation archaïque du site Cadieux », dans *Recherches amérindiennes au Québec* — Vol. XVII (1-2) : 47-62.

PINEL, L. et M. CÔTÉ (1988) *Analyse des ossements du site Cadieux, BhFn-7, municipalité de Coteau-du-Lac* — Municipalité de Coteau-du-Lac.

PRATTE , S., M. GARNEAU et F. De VLEESCHOUWER (2017) « Late-Holocene atmospheric dust deposition in eastern Canada (St. Lawrence North Shore) », dans *The Holocene* — Vol. 27(1) : 12-25.

RENSSEN, H., H. GOOSSE, T. FICHEFET, V. BROVKIN, E. DRIESSCHAERT et F. WOLK (2005) « Simulating the Holocene climate evolution at northern high latitudes using a coupled atmosphere-sea ice-ocean-vegetation model », dans *Climate Dynamics* — Vol. 24 (1) : 23-43.

RELATIONS DES JÉSUITES (1858) *Relations des Jésuites : contenant ce qui s'est passé de plus remarquable dans les missions des pères de la Compagnie de Jésus dans la Nouvelle-France* — Québec : Augustin Côté, éditeur imprimeur, 1858. 3 vol. (BAnQ : 0000195694)

RENAULT, L. (2012) *Un aspect méconnu de l'île de Montréal : Les occupations amérindiennes du Sylvicole supérieur à la fin du XVII^e siècle* — Mémoire présenté à la Faculté des Arts et des Sciences en vue de l'obtention du grade de M.Sc. en anthropologie — Université de Montréal.

RICHARD, P. J. H. (2017) *La genèse du paysage laurentien. Géographie et environnements tardiglaciaires et postglaciaires* — Colloque de l'AAQ, Pointe-à-Callière, Montréal, du 27 au 30 avril 2017.

RICHARD, P. J. H. (2014) *Travaux paléoécologiques au lac aux Castor. Parc du Mont Royal, Montréal, Qc. Rapport des travaux de 2012-2013* — Direction des grands parcs et du verdissement de la Ville de Montréal.

RICHARD, P. J. H. et F. GIRARD (2018) *Le Grand Témoin ou les paysages montérégiens au fil du temps* — Montréal, Qc.

RICHARD, P. J. H. et J. POIRIER (2016) *Séquence chronologique des évènements tardi- et postglaciaires dans la région de la plaine de Montréal* — Tableau conçu par Jean Poirier d'Ethnoscop et révisé par P. J. H. Richard.

RICHARD, P. J. et P. GRONDIN (2009) « Histoire postglaciaire de la végétation », extrait du *Manuel de foresterie, 2009* — © Ordre des ingénieurs forestiers du Québec.

ROUSSEAU, P. (s.d.) *Mémoire sur la Mission du Sault-au-Récollet (Petite Lorette et fort Nazareth), de 1696 à 1721* — Archives de Saint-Sulpice, document P1:36-9.

SACL (2013) *Interventions archéologiques réalisées dans le cadre des travaux pour l'implantation de réseaux d'utilité publique divers, d'un bâtiment de services, et de l'aménagement paysagé du site, Centre d'interprétation de la Maison Nivard-de-Saint-Dizier, site archéologique BiFj-85* — Ville de Montréal.

SACL (2006) *Inventaire archéologique complémentaire (automne 2006) Direction de Laval-Mille-Iles* — Direction générale de Montréal et de l'Ouest, MTQ.

TRAHAN, P. (1979) *À la recherche des vestiges de l'île Jésus* — MAC.

THWAITES , R.G., ed. (1901) *The Jesuit Relations and Allied Documents 1610-1791, The Burrows Brothers Co.* — The Imperial Press, Cleveland.

PLANS ANCIENS

1674 Dalmas, A. Idrographie et topographie de la rivière des prairies et de la coste de l'ysle jesus qu'elle arrouse parcourue les 25, 26, 27 de septembre 1674. Musée de la civilisation, fonds d'archives du Séminaire de Québec, X-136. (https://collections.mcq.org/objets/315079)

1702 Belmont, Vachon De. Description généralle de l'isle de Montreal divisée par costes où sont exactement marquées toutes les distances de place en place avec le meilleur ordre que l'on a pu observer. (BAnQ : 0002664057)

1749 Jacrau, J. A. M. Plan cadastral de l'île Jésus. Musée de la civilisation, fonds d'archives du Séminaire de Québec, X-137. (https://collections.mcq.org/objets/313638)

1761 Murray, J. [General James Murray's map of the St. Lawrence] [cartographic material] Plan of Canada or the Province of Quebec from the uppermost settlements to the Island of Coudre as surve yed by order of his excellency governor Murray in the year 1760, 61, & 62, by the following gentlemen vizt. [1761-1763] (https://www.collectionscanada.gc.ca)

1872 Morin, P.-L. 1860-1872. Plan cadastral de l'île Jésus. Musée de la civilisation, fonds d'archives du Séminaire de Québec, X-144.(https://collections.mcq.org/objets/313619)

1909 [Carte topographique du Canada à l›échelle de 1:63 360]. 31-H-12, Laval (BAnQ : 0002684185)

1944 [Carte topographique du Canada à l›échelle de 1:63 360]. 31-H-12, Laval (BAnQ : 0002676914)

1971 [Carte topographique du Canada à l›échelle de 1:50 000]. 31-H-12, Laval (BAnQ : 0002672747)

SITES INTERNET

Bibliothèque et Archives nationales du Québec
https://numerique.banq.qc.ca/

Bibliothèque numérique en archéologie
https://biblioisaq.mcc.gouv.qc.ca/

Collections numériques du Musée de la Civilisation du Québec
https://collections.mcq.org/

Collections numériques du Musée McCord
http://collections.musee-mccord.qc.ca/fr/clefs/collections/

Commission de Toponymie du Québec
https://toponymie.gouv.qc.ca/ct/accueil.aspx

GéoPortail du ministère de la Sécurité publique
https://portail.msp.gouv.qc.ca/

Greffe de l'arpenteur général du Québec
https://appli.mern.gouv.qc.ca/gagq/

Registre foncier du Québec en ligne
https://www.registrefoncier.gouv.qc.ca/Sirf/

Société d'histoire et de généalogie de l'Île Jésus et du Centre d'archives de Laval
https://archives-histoire-laval.org/

Ville de Laval, page histoire et patrimoine
https://www.laval.ca/histoire-et-patrimoine/Pages/Fr/accueil.aspx

1
Annexe

Culture matérielle

Inventaire des artéfacts et écofacts

Site : Rue Monty
Code : LVL23-16

Archéologue : Luis Trudel-Lopez
Analyste : Justine Rioux

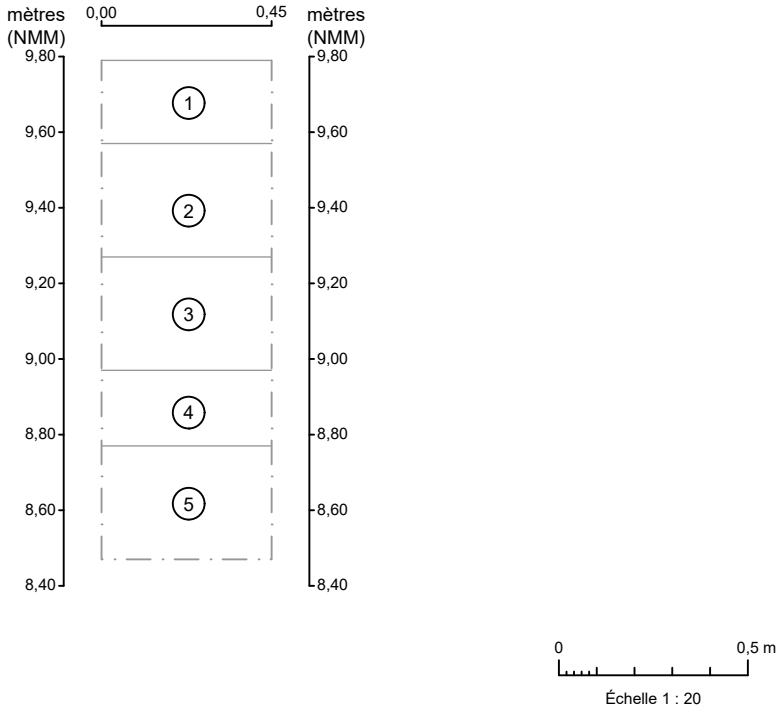
Date : 9 mai 2024
Collection :

Lot	Code mat.	Matériau	Objet	No. frag.	No. obj.	Code fonction	Fonction	Inté-grité	Commentaires	No. Bte	No. Cat.
1M03	5.5.7	Cuir	Chaussure - semelle	2	1	4.4.3	Chaussures	Frag	Fragment de semelle longue ou 3/4 longue cousue et cloutée avec grands trous pour clous de fer au niveau du talon	Élagué	
1M03	5.5.7	Cuir	Chaussure - semelle ?	1	0	4.4.3	Chaussures	Frag	Fragment de trépointe (?), pouvant appartenir à l'objet déjà décrit	Élagué	
1M03	3.1.2.1	Cuivre ind	Charnière ?	1	1	4.7.2.2	Ferrures de rotation	Frag	Aile de charnière à cadre rectangulaire arrondi pourvu de 3 perforations circulaire, à 2 charnons et comportant une broche tubulaire creuse, partiellement recouverte de peinture chamois, présentant une altération moyenne (++)	Élagué	
2F01	2.1.1.9	V Inc sans plomb non-id.	Indéterminé	1	1	7.1	Indéterminé	Frag	Fragment indéterminé	Élagué	
2F01	2.2.1.1	V Teinté régulier vert	Indéterminé	2	1	7.1	Indéterminé	Frag	Fragments indéterminés	Élagué	
2F01	2.3.1.1	V Coul transp vert foncé	Bouteille à gin ?	1	1	4.2.1.2	Boissons, conservation/entreposage	Frag	Fragment de paroi	Élagué	
2F01	3.1.1.1	Fer ind	Clou ?	1	1	4.7.2.3	Fixations - clous	Frag	Présentant une concrétion importante (+++) ne permettant pas une bonne lecture de l'objet	Élagué	
2M01	2.1.4.7	V Inc au plomb non-id	Verre à tige	1	1	4.2.1.1	Boissons, absorption	Frag	Fragment de pied conique simple	Élagué	
2M01	3.1.1.1	Fer ind	Indéterminé	1	1	7.1	Indéterminé	Frag	Fragment indéterminé, présentant une concrétion importante (+++) ne permettant pas la lecture de l'objet	Élagué	

2
Annexe

Coupes stratigraphiques

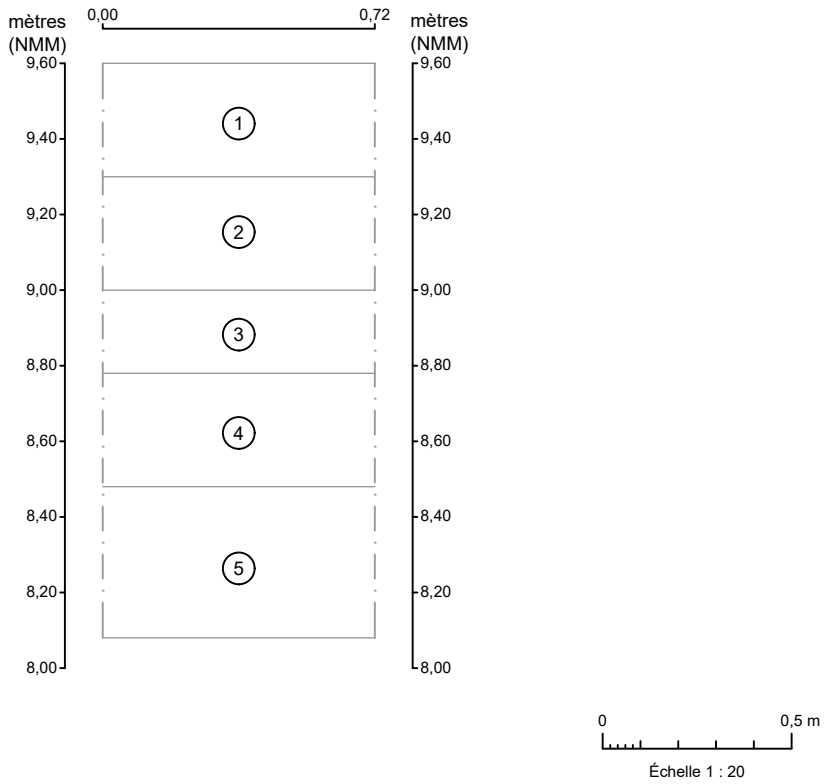
LVL-2023-16 — Sous-opération 1M — Coupe C1, paroi ouest



Description

1. Gravier 0-¾’’, homogène, gris, moyennement compact.
2. Sable grossier graveleux, homogène, brun clair, compact comprenant de nombreux galets.
3. Limon organique, homogène, brun-noir, moyennement compact comprenant de la matière organique et des charbons de bois surtout près de la surface.
4. Limon légèrement argileux, homogène, gris moyen, compact.
5. Limon, homogène, brun clair-grisâtre et orangé par l’oxydation, compact comprenant des cailloutis et gravillons.

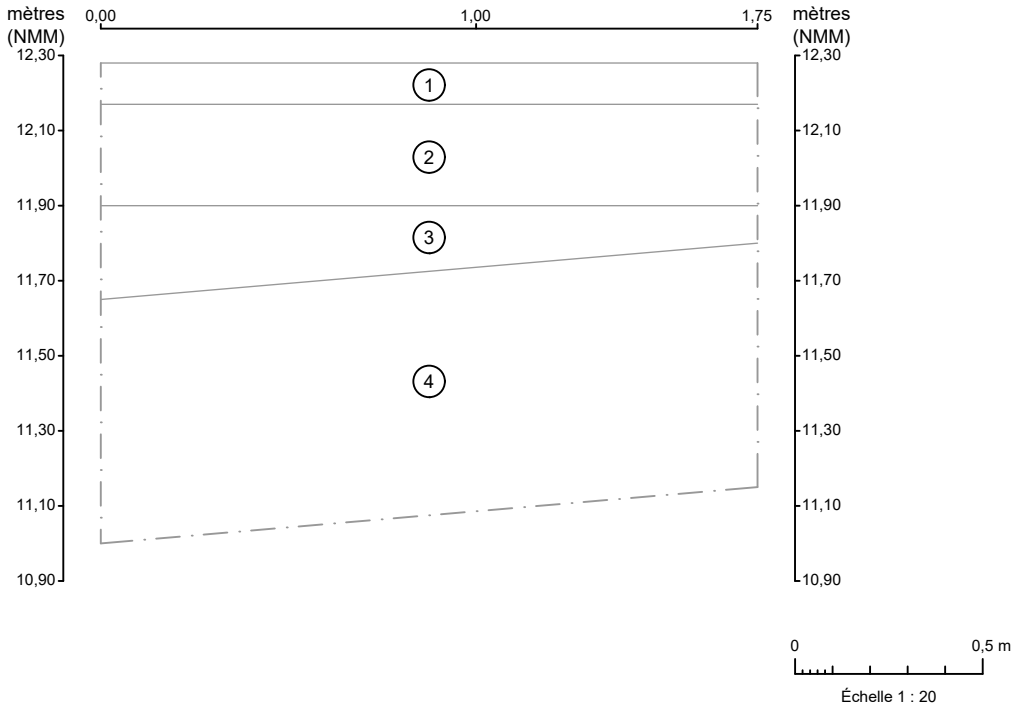
LVL-2023-16 — Sous-opération 1M — Coupe C2, paroi sud



Description

1. Gravier 0-¾’’, homogène, gris, moyennement compact.
2. Sable grossier graveleux, homogène, brun clair, compact comprenant de nombreux galets.
3. Limon légèrement argileux et caillouteux, homogène, gris-brun, moyennement compact.
4. Limon organique, homogène, brun-noir, moyennement compact comprenant de la matière organique et des charbons de bois surtout près de la surface et de gros galets vers la base ainsi que du cuir et du métal ferreux.
5. Limon légèrement argileux, homogène, gris moyen, compact.

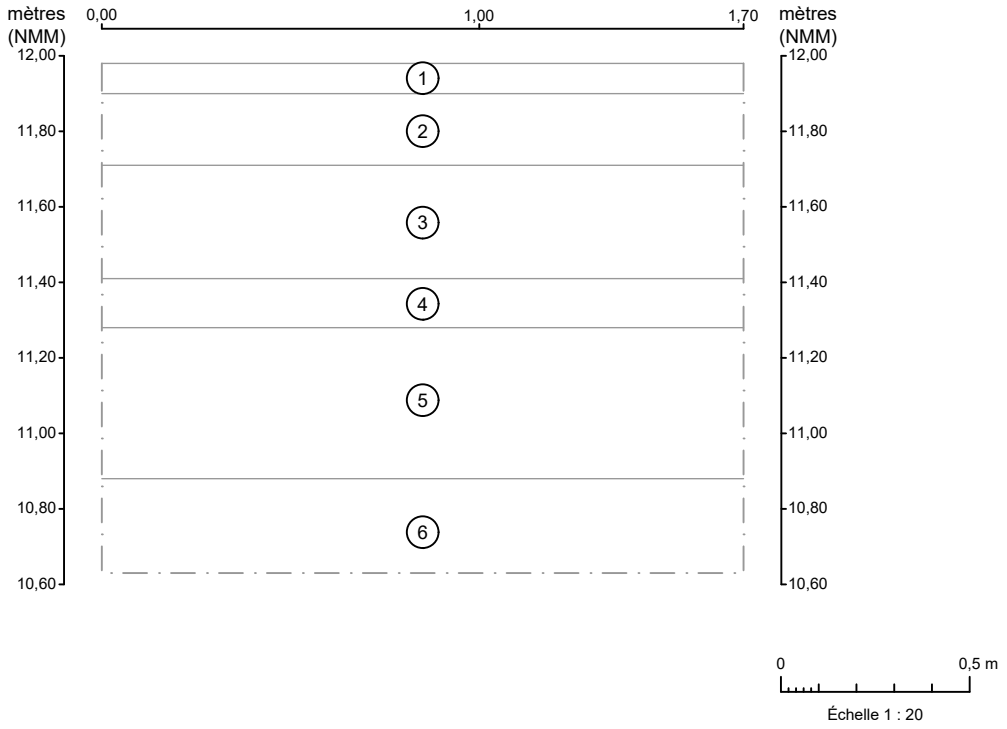
LVL-2023-16 — Sous-opération 1A — Coupe C3, paroi sud



Description

1. Asphalte.
2. Gravier 0-¾’’, homogène, brun-bourgogne, très compact.
3. Limon argileux, homogène, gris foncé bleuté qui pâli vers la base, très compact, comprenant des graviers, cailloux et galets.
4. Argile, hétérogène, gris, beige, verdâtre, avec des traces d’oxydation, comprenant de rares cailloux en décomposition.

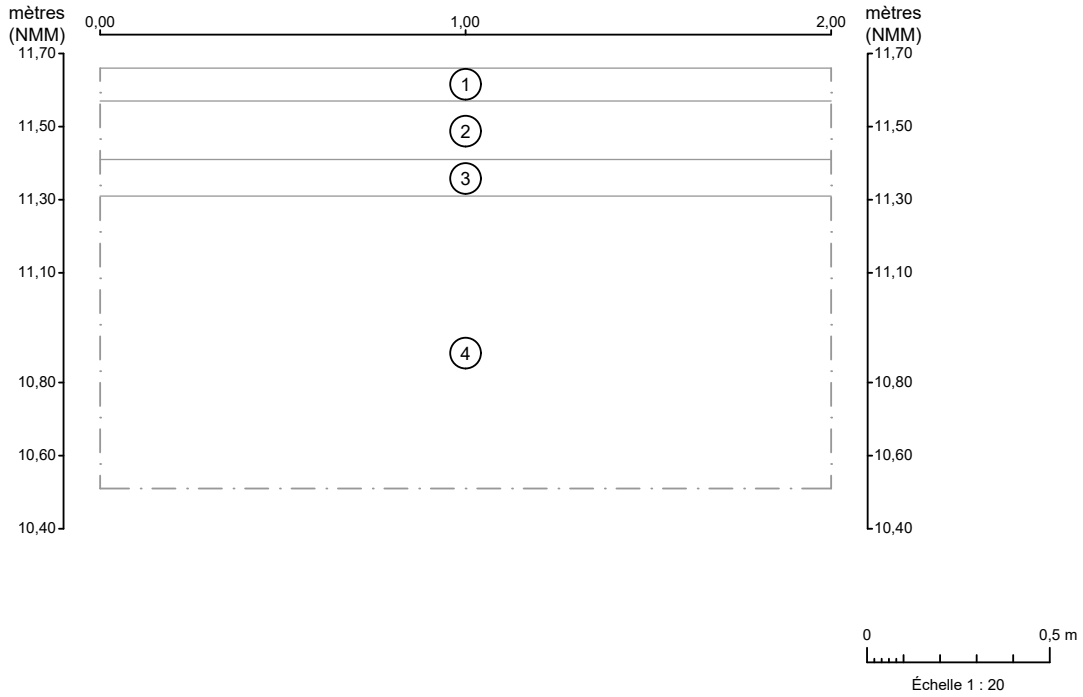
LVL-2023-16 — Sous-opération 1B — Coupe C4, paroi sud



Description

1. Asphalte.
2. Gravier 0-¾’’, homogène, brun-bourgogne, très compact.
3. Sable très fin limoneux, hétérogène, brun-gris foncé, gris pâle, beige-jaunâtre, très compact comprenant quelques galets et beaucoup de pierres et cailloux calcaire anguleux, couche s’amincissant légèrement vers l’est.
4. Sable fin légèrement limoneux, homogène, beige-jaunâtre, moyennement compact comprenant des cailloutis.
5. Sable moyen légèrement limoneux, homogène, gris très foncé, très compact et très graveleux comprenant des galets, des pierres subanguleuses et en décomposition.
6. Sable grossier, homogène, beige-brun clair, compact mais friable, comprenant beaucoup de galets et pierres arrondies.

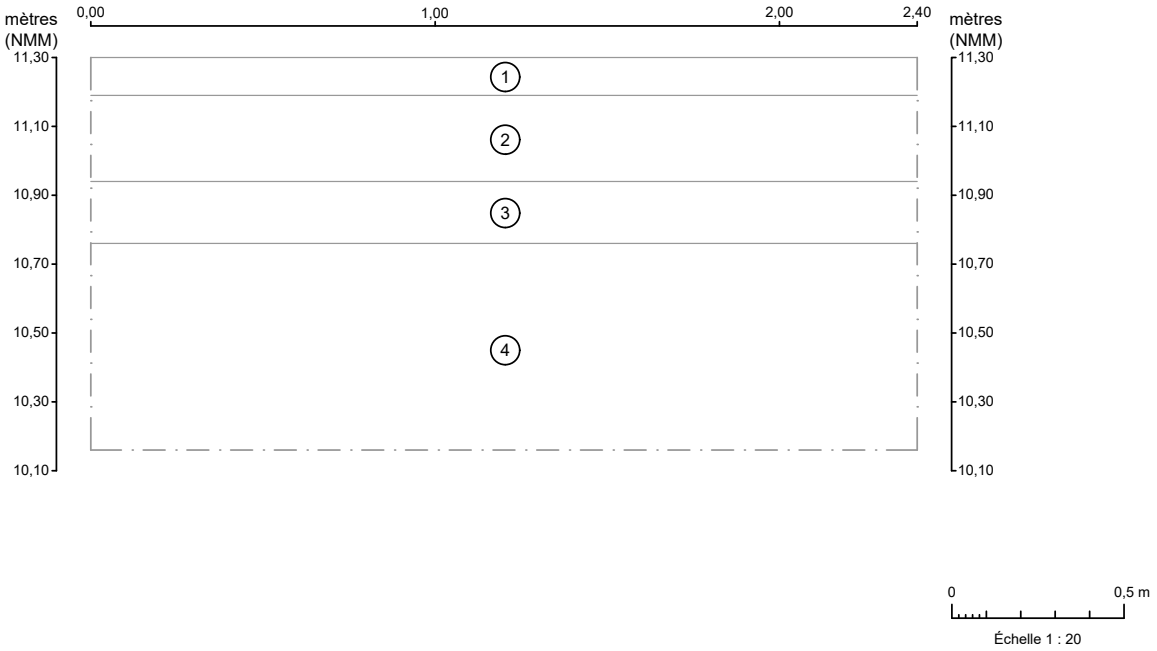
LVL-2023-16 — Sous-opération 1C — Coupe C5, paroi sud



Description

1. Asphalte.
2. Gravier 0-¾’’, homogène, gris-bourgogne, très compact.
3. Sable légèrement limoneux, hétérogène, gris très foncé marbré brunâtre, compact comprenant des pierres subanguleuses à arrondies et des cailloux arrondis.
4. Niveaux lités de sable grossier très graveleux, homogène, beige-brunâtre oxydé, compact mais friable, comprenant beaucoup de galets et pierres arrondies.

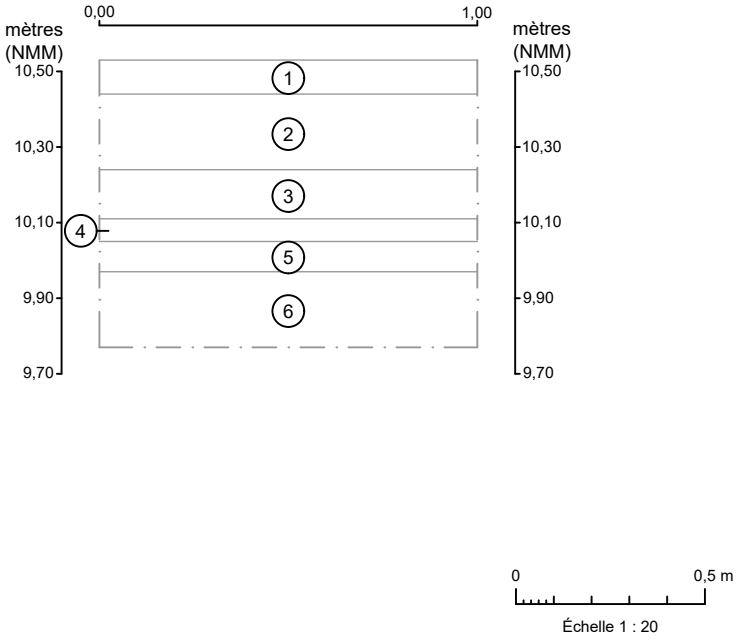
LVL-2023-16 — Sous-opération 1D — Coupe C6, paroi est



Description

1. Limon organique, homogène, brun foncé, meuble, comprenant des racines et radicelles.
2. Limon légèrement sableux, homogène, gris-brun, peu compact, comprenant du gravier et des cailloux anguleux, des pierres anguleuses et subarrondies.
3. Mélange hétérogène de limon argileux gris, de limon beige et de sable brun-orangé, compact comprenant des galets et cailloux subarrondis parfois en décomposition.
4. Niveaux lités de sable grossier légèrement limoneux graveleux, homogène, brun-gris, compact mais friable comprenant beaucoup de gravillons et cailloutis, quelques galets et des pierres arrondies.

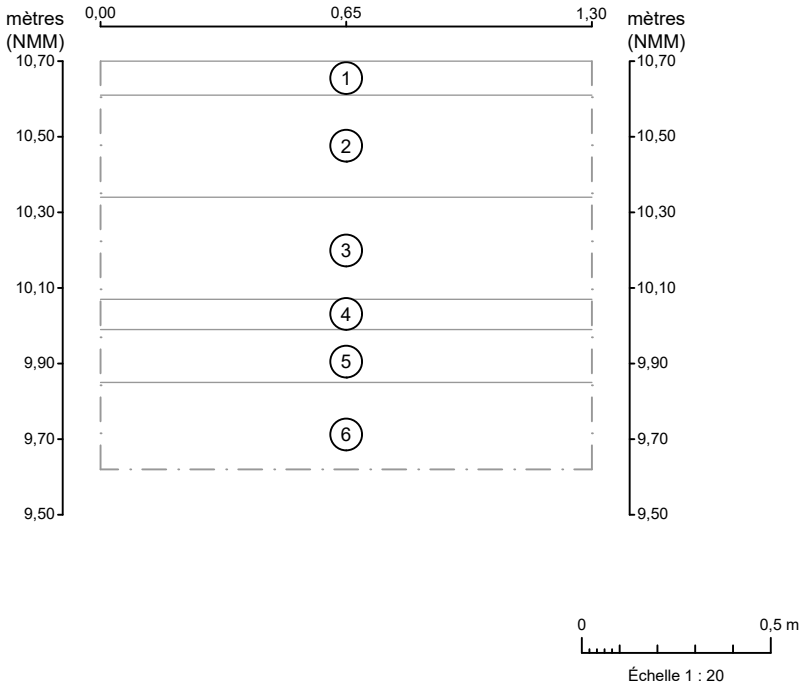
LVL-2023-16 — Sous-opérations 1D/2C — Coupe C7, paroi sud



Description

1. Asphalte.
2. Gravier 0-¾’’, homogène, gris, compact.
3. Sable grossier graveleux, homogène, gris-brunâtre, compact, comprenant des petits galets et des pierres subarrondies <12 cm.
4. Limon argileux, homogène, gris-bleuté marbré d’oxydation, moyennement compact.
5. Limon légèrement argileux, homogène, brun-gris, compact, qui transitionne graduellement vers la couche sous-jacente, comprenant de rares gravillons et traces de charbon de bois.
6. Argile limoneuse, homogène, beige-jaunâtre oxydée et compacte.

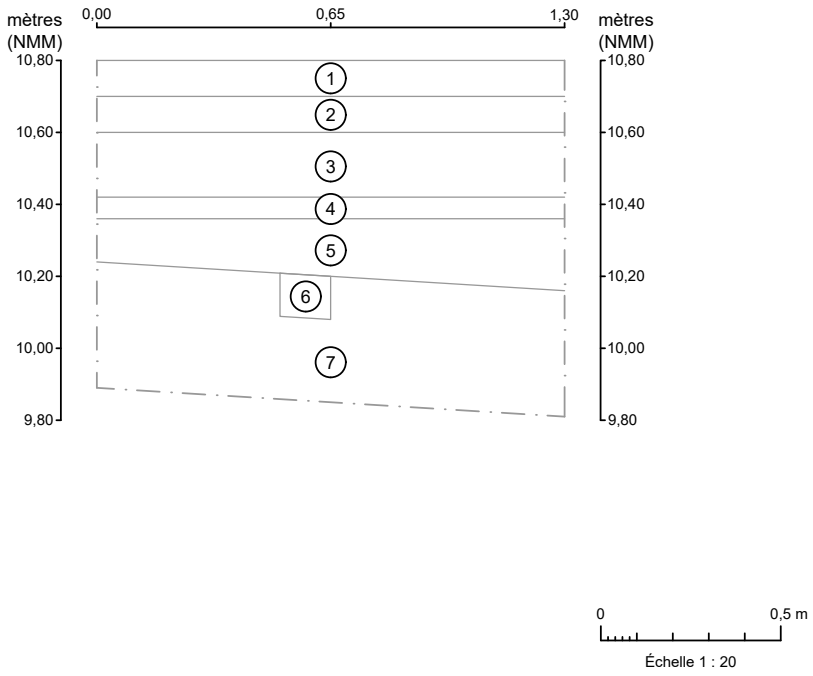
LVL-2023-16 — Sous-opérations 1F/2B — Coupe C8, paroi nord



Description

1. Asphalte.
2. Gravier 0-¾’’, homogène, gris, très compact.
3. Sable grossier graveleux, homogène, gris-brunâtre, compact, comprenant des petits galets et des pierres subarrondies <12 cm.
4. Limon argileux, homogène, gris-bleuté marbré d’oxydation, moyennement compact comprenant des radicelles.
5. Limon légèrement argileux et organique, homogène, brun-gris, compact, qui transitionne graduellement vers la couche sous-jacente, comprenant de rares gravillons et traces de charbon de bois, des racines ainsi qu’un fragment de bouteille de « 7UP ».
6. Argile limoneuse, homogène, beige-jaunâtre oxydée et compacte.

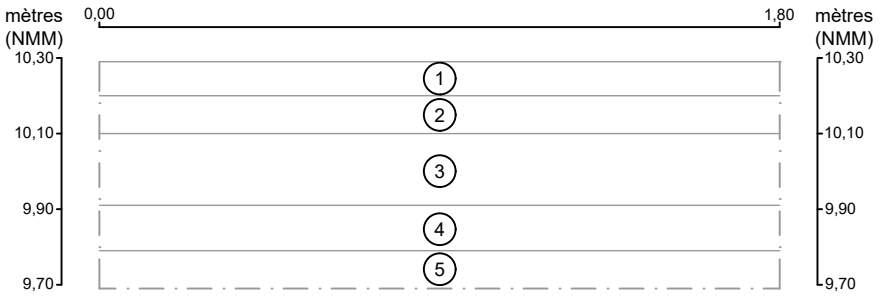
LVL-2023-16 — Sous-opérations 1E/2A — Coupe C9, paroi sud

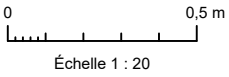


Description

1. Asphalte.
2. Gravier 0-¾’’, homogène, gris, très compact.
3. Sable grossier graveleux, homogène, gris-brunâtre, compact, comprenant des petits galets et des pierres subarrondies <12 cm.
4. Limon argileux, homogène, gris-bleuté marbré d’oxydation, moyennement compact comprenant des radicelles.
5. Limon légèrement argileux et organique, homogène, brun-gris, compact, qui transitionne graduellement vers la couche sous-jacente, comprenant de rares gravillons et traces de charbon de bois, des racines.
6. Limon légèrement argileux organique, homogène, brun, moyennement compact comprenant des nodules de 2 cm de charbon de bois. Consiste au remplissage d’un négatif de trou de poteau de 14 cm de côté et de 12 cm de hauteur.
7. Argile limoneuse, homogène, beige-jaunâtre oxydée et compacte.

LVL-2023-16 — Sous-opérations 1J/2E — Coupe C10, paroi nord

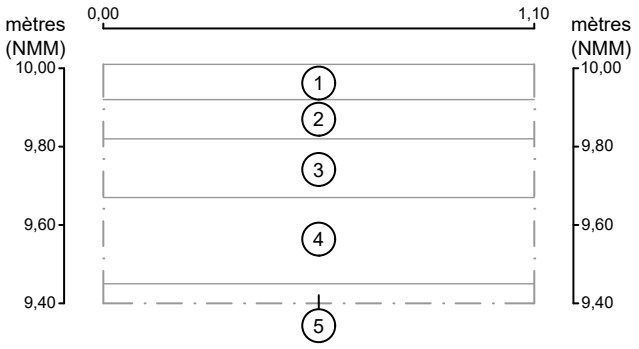


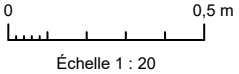


Description

1. Asphalte.
2. Gravier 0-¾’’, homogène, gris, très compact.
3. Sable grossier graveleux, homogène, gris-brunâtre, compact, comprenant des petits galets et des pierres subarrondies <12 cm.
4. Limon légèrement argileux et organique, homogène, brun-gris, compact, qui transitionne graduellement vers la couche sous-jacente, comprenant de rares gravillons et traces de charbon de bois, des racines.
5. Argile limoneuse, homogène, beige-jaunâtre oxydée et compacte.

LVL-2023-16 — Sous-opérations 1K/2F — Coupe C11, paroi nord

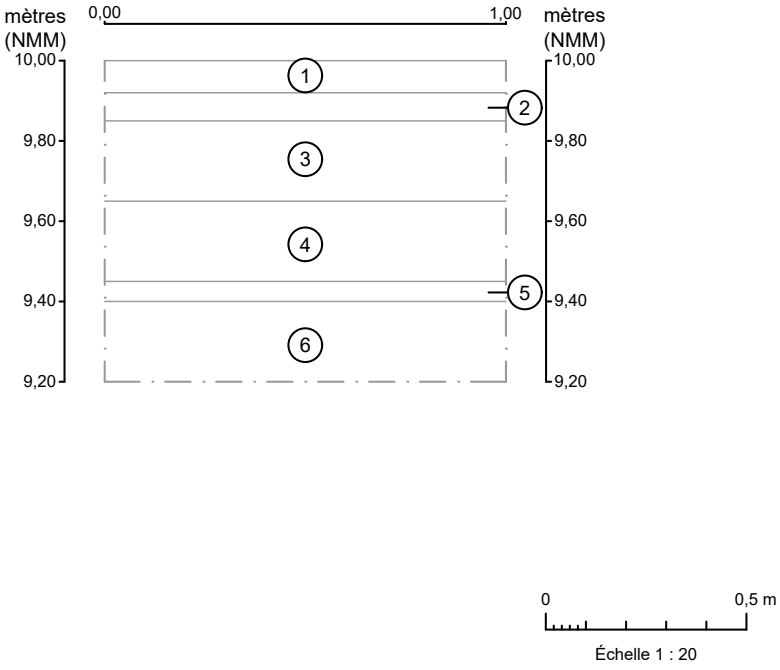




Description

1. Asphalte.
2. Gravier 0-¾’’, homogène, gris, très compact.
3. Sable grossier graveleux, homogène, gris-brunâtre, compact, comprenant des petits galets et des pierres subarrondies <12 cm.
4. Limon légèrement argileux et organique, homogène, brun-gris, compact, qui transitionne graduellement vers la couche sous-jacente, comprenant de rares gravillons et traces de charbon de bois, des racines, ainsi que de la vitre, des fragments d’une bouteille et un clou.
5. Argile limoneuse, homogène, beige-jaunâtre oxydée et compacte.

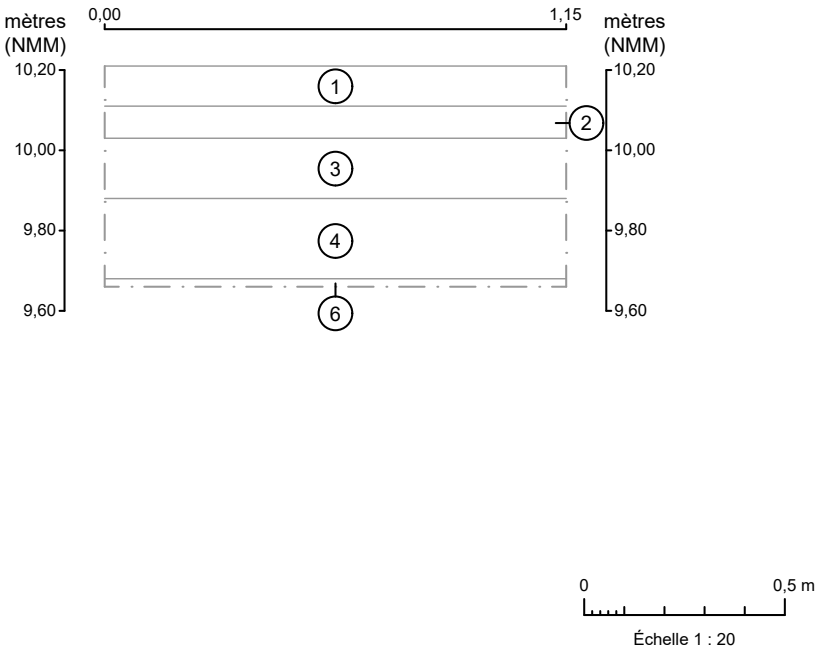
LVL-2023-16 — Sous-opérations 1L/2G — Coupe C12, paroi sud



Description

1. Asphalte.
2. Gravier 0-¾’’, homogène, gris, très compact.
3. Sable grossier graveleux, homogène, gris-brunâtre, compact, comprenant des petits galets et des pierres subarrondies <12 cm.
4. Limon argileux, homogène, gris-bleuté marbré d’oxydation, moyennement compact comprenant des radicelles.
5. Limon légèrement argileux et organique, homogène, brun-gris, compact, qui transitionne graduellement vers la couche sous-jacente, comprenant de rares gravillons et traces de charbon de bois, des racines.
6. Argile limoneuse, homogène, beige-jaunâtre oxydée et compacte.

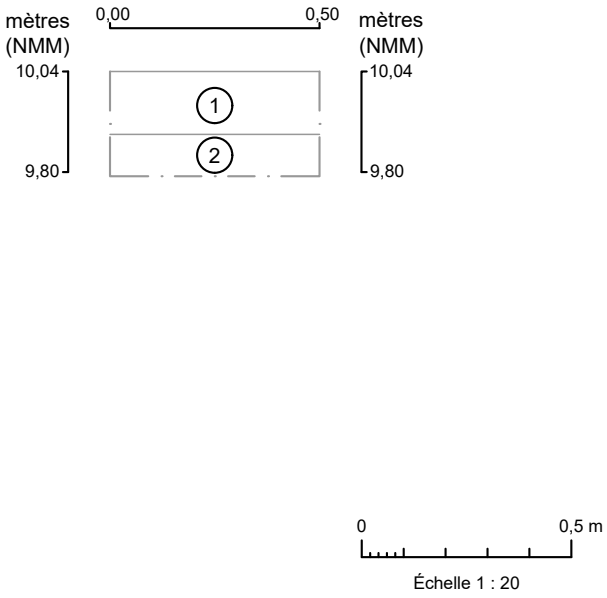
LVL-2023-16 — Sous-opérations 1H/2D — Coupe C13, paroi sud



Description

1. Asphalte.
2. Gravier 0-¾’’, homogène, gris, très compact.
3. Sable grossier graveleux, homogène, gris-brunâtre, compact, comprenant des petits galets et des pierres subarrondies <12 cm.
4. Limon argileux, homogène, gris-bleuté marbré d’oxydation, moyennement compact comprenant des radicelles.
5. Argile limoneuse, homogène, beige-jaunâtre oxydée et compacte.

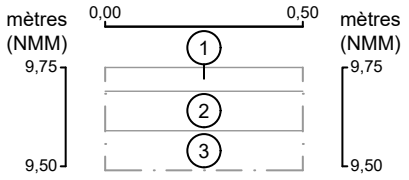
LVL-2023-16 — Sous-opération 2M — Coupe C14, paroi nord

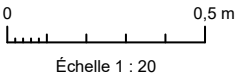


Description

1. Limon légèrement argileux et organique, homogène, brun-gris, compact, qui transitionne graduellement vers la couche sous-jacente, comprenant de rares gravillons et traces de charbon de bois, des racines ainsi qu'un fragment de pied de coupe en verre et du métal ferreux.
2. Argile limoneuse, homogène, beige-jaunâtre oxydée et compacte.

LVL-2023-16 — Sous-opération 2J — Coupe C15, paroi nord

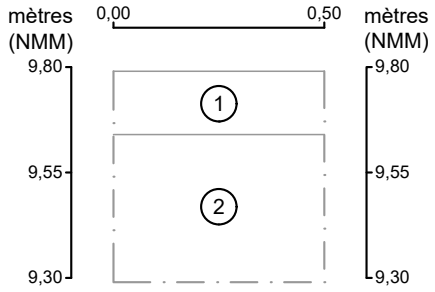


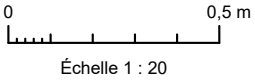


Description

1. Limon légèrement organique, homogène, gris-bleuté, compact comprenant des éclisses et fibres et morceaux de bois <4 cm.
2. Limon légèrement argileux et organique, homogène, gris-brunâtre, très compact, qui transitionne graduellement vers la couche sous-jacente, comprenant de rares gravillons et traces de charbon de bois ainsi que de la vitre.
3. Argile limoneuse, homogène, beige-jaunâtre teintée de gris oxydée et très compacte.

LVL-2023-16 — Sous-opération 2H — Coupe C16, paroi nord



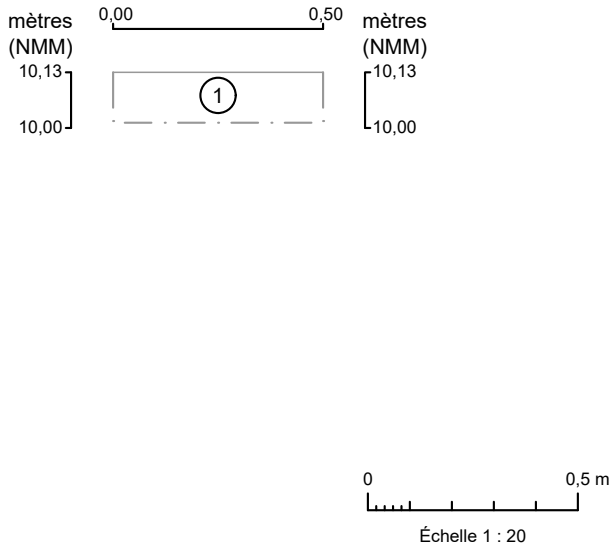


Échelle 1 : 20

Description

1. Limon, homogène, gris-bleuté marbré d’oxydation, compact comprenant des radicelles, de rares charbons de bois ainsi que du métal ferreux.
2. Argile limoneuse, homogène, beige, très compacte comprenant de rares charbons de bois et quelques pierres arrondies et subarrondies <10 cm.

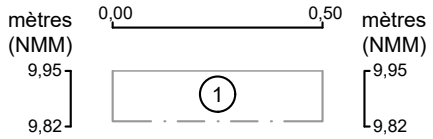
LVL-2023-16 — Sous-opération 2K — Coupe C17, paroi nord

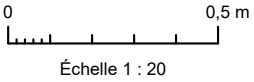


Description

1. Argile limoneuse, homogène, beige, très compacte.

LVL-2023-16 — Sous-opération 2L — Coupe C18, paroi nord



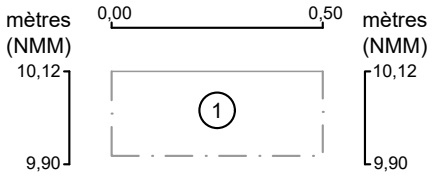


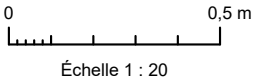
Échelle 1 : 20

Description

1. Argile limoneuse, homogène, beige-jaunâtre teintée de gris oxydée et très compacte.

LVL-2023-16 — Sous-opération 2N — Coupe C19, paroi nord



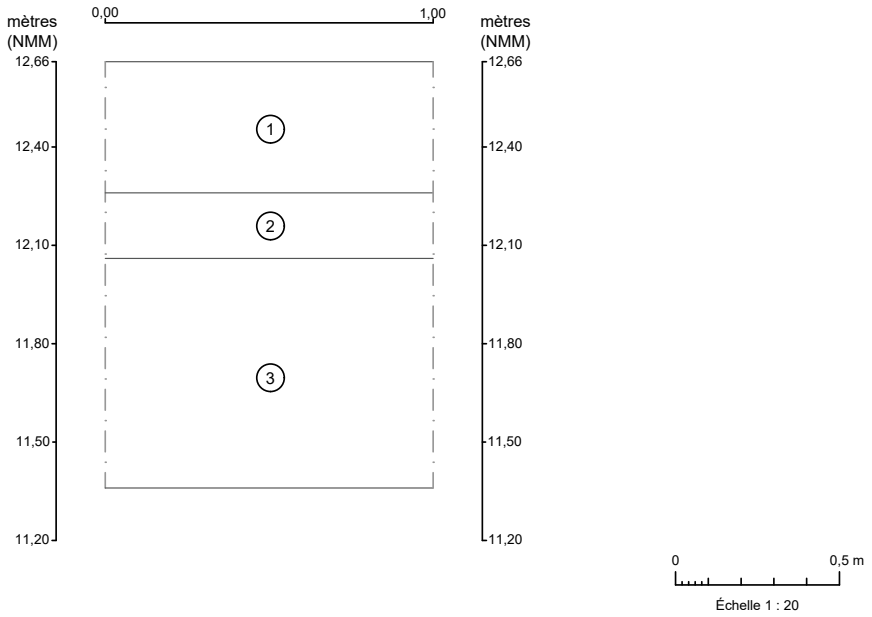


Échelle 1 : 20

Description

1. Limon, homogène, gris-bleuté marbré d’oxydation, compact comprenant de rares granules de briques.

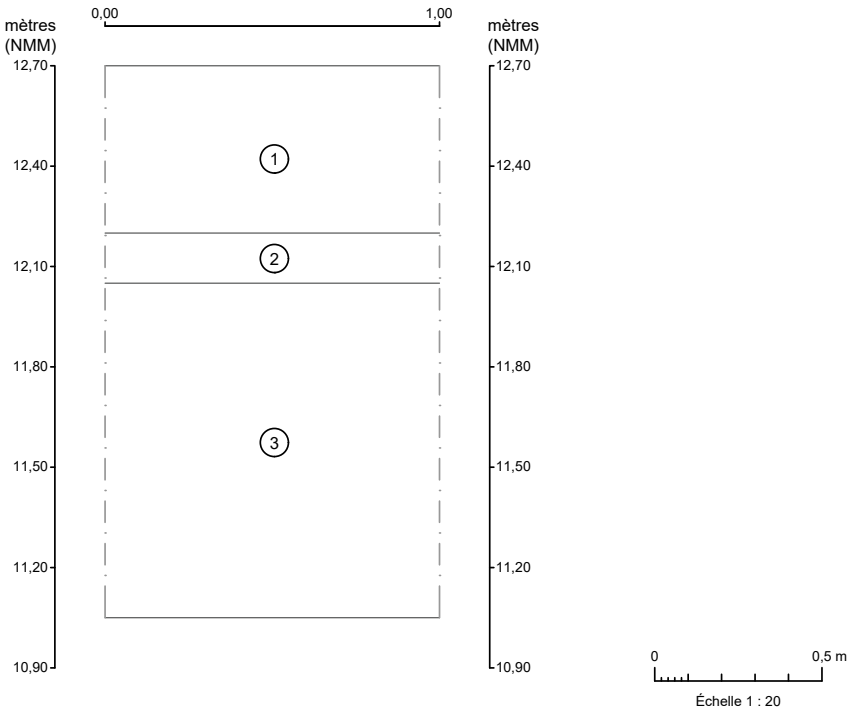
LVL-2023-16 — Sous-opération 1N — Coupe C20, paroi est



Description

1. Gravier 0-¾’’, homogène, gris, très compact.
2. Argile, homogène, gris-bleutée, compacte, comprenant du métal ferreux.
3. Argile limoneuse, homogène, beige-jaunâtre oxydée et compacte.

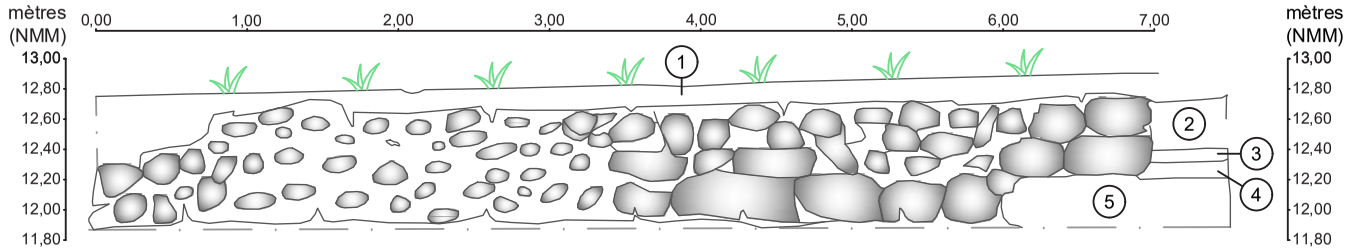
LVL-2023-16 — Sous-opération 1N — Coupe C21, paroi ouest



Description

1. Sable limoneux caillouteux, homogène, brun, compact.
2. Gravier 0-¾’’, homogène, gris, très compact.
3. Argile limoneuse, homogène, beige-jaunâtre oxydée et compacte.

LVL-2024-01 — Sous-opération 1L — Coupe C1, paroi sud de la tranchée entre la rue Monty et Place Stella, emplacement du vestige de pierres ST-1



8029

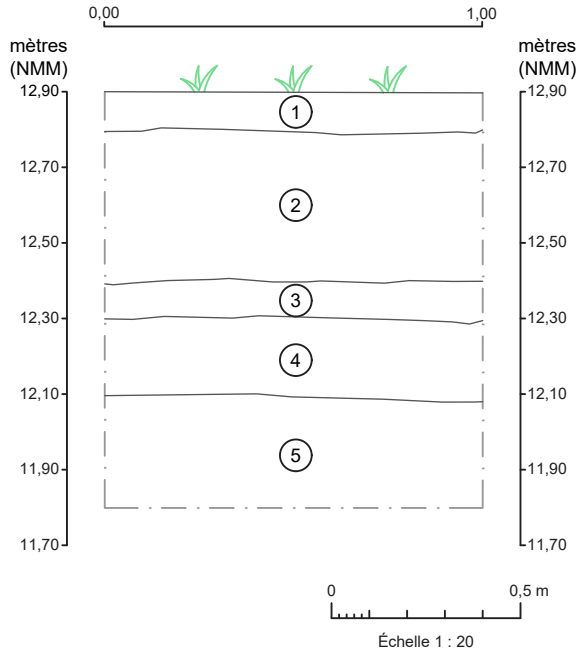
Légende

Pierre

Description

1. Terre végétale.
2. Limon sableux, brun foncé, compact, plutôt homogène. Couche d'occupation associée au bâtiment supporté par la fondation ST-1.
3. Niveau de charbon de bois.
4. Sable grossier, brun clair, compact, hétérogène, nombreux cailloux subarrondis. Assainissement et nivellement.
5. Argile sableuse, comportant de nombreux cailloux arrondis. Sol naturel.

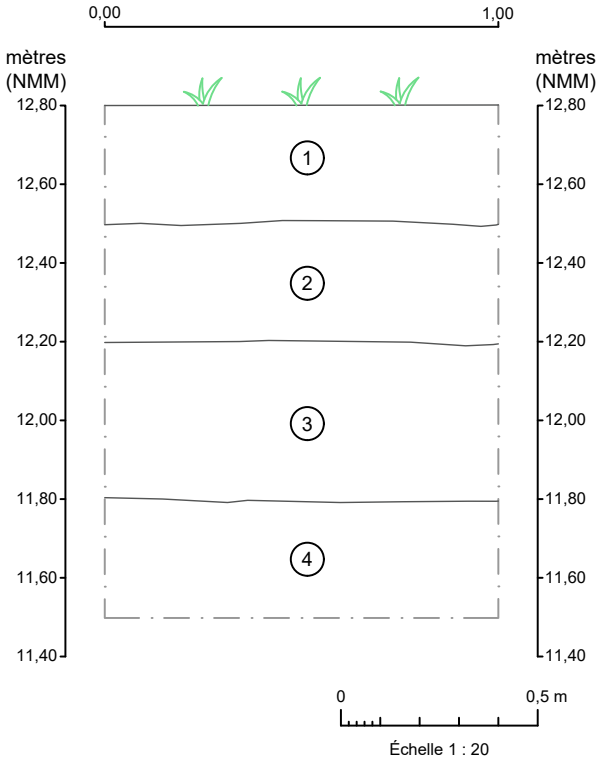
LVL-2024-01 — Sous-opération 1H — Coupe C2, paroi nord de la tranchée dans l'emprise de l'oléoduc d'Enbridge



Description

1. Terre végétale et gazon en bordure du boulevard Lévesque Est. Il n'y a pas de construction en fronts sud et nord de la chaussée à cet endroit.
2. Remblai argileux hétérogène, cailloux et pierraille divers. Rehaussement associé à l'aire de circulation actuelle.
3. Cailloux anguleux (de 0,01 à 0,05 m de diamètre) noyés dans un sable argileux, comportant également de petits galets, graviers, gravillons, anthracite éparse. Ancien niveau de circulation probablement associé au tracé originel de la Côte du Sud.
4. Limon sableux, brun-gris, plutôt hétérogène, compact, niveau ligneux au sommet de la couche, nombreuses fibres de bois disséminées dans la masse de la couche, cailloux arrondis épars, graviers roulés. Interface inférieure graduelle, s'appuie sur une argile remaniée.
5. Argile beige, remaniée dans le premier 0,10 m, et comportant quelques cailloux ronds. La couche est homogène et sans inclusion par la suite. Sol naturel, base non atteinte.

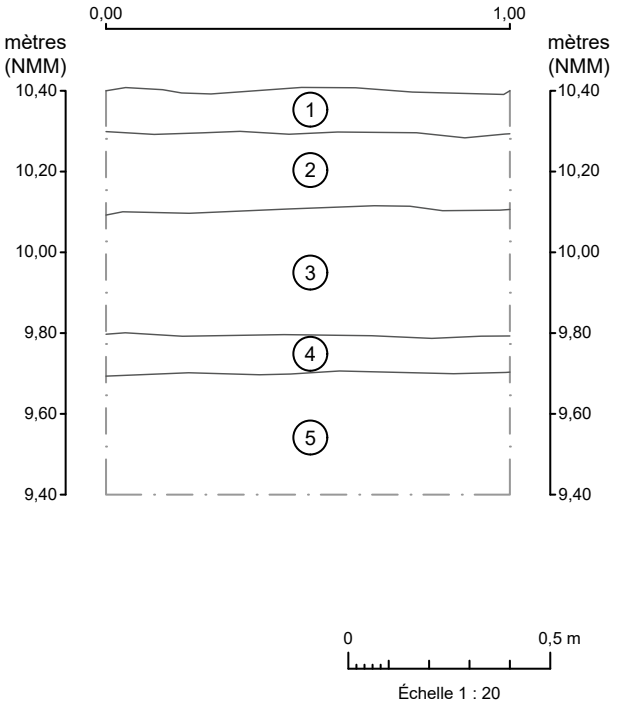
LVL-2024-01 — Sous-opération 1J — Coupe C3, paroi sud de la tranchée entre la limite est de l'emprise de l'oléoduc d'Enbridge et la rue Monty



Description

1. Terre végétale et gazon.
2. Remblai argileux hétérogène, cailloux subarrondis.
3. Limon sableux, brun-grisâtre, homogène et compact. Horizon supérieur du sol naturel remanié.
4. Argile beige grisâtre, compacte et homogène. Sol naturel, base non atteinte.

LVL-2024-01 — Sous-opération 1N — Coupe C4, paroi sud de la tranchée de la place Stella dans sa portion est-ouest, face au numéro civique 340



Description

1. Terre végétale et gazon.
2. Pierre concassée MG20 (0-¾).
3. Remblai argileux hétérogène, comportant des cailloux hétérométriques. Rehaussement associé à la chaussée actuelle.
4. Argile gris-bleu. Remblai indéterminé.
5. Limon argileux, légèrement sableux, brun moyen, compact et homogène. Horizon supérieur du sol naturel remanié.

Transports et Mobilité durable Québec

Inventaire archéologique (2023)
Projet d'agrandissement de la carrière 7410-10-01-8505
dans le village nordique de Kuujjuarapik-Whapmagoostui, Québec

Ministère des Transports et de la Mobilité durable
Direction de l'environnement



Août 2024

Illustration de la page couverture : carrière 7410-10-01-8505 (154-60-1115_071).

Rapport d'inventaire archéologique

Réalisé dans le cadre du projet d'agrandissement de la carrière existante 7410-10-01-8505 dans le village nordique de Kuujjuarapik-Whapmagoostui, Québec

présenté à :

Ministère des Transports et de la Mobilité Durable
Direction de la planification des projets aéroportuaires

préparé par :

Ministère des Transports et de la Mobilité Durable
Direction de l'Environnement
N^{o} de permis de recherche archéologique au Québec : 23-MINT-03
(Mandataire : Catherine Dupont)

Ministère des Transports et de la Mobilité durable
Direction de l'environnement
Direction générale de la gestion des projets routiers et de l'encadrement en exploitation
800, place D'Youville, 11e étage
Québec (Québec) G1R 3P4

Août 2024

Résumé

Dans le cadre du projet de projet d'agrandissement de la carrière 7410-10-01-8505 dans le village nordique de Kuujjuarapik-Whapmagoostui, la Direction de la planification des projets aéroportuaires du ministère des Transports et de la Mobilité durable (MTMD) a mandaté la Direction de l'environnement du MTMD afin de réaliser un inventaire archéologique en amont des travaux d'exploitation de la carrière.

L'expertise archéologique a été réalisée dans le cadre de l'application d'une démarche préventive qui vise à atténuer les impacts possibles sur le patrimoine archéologique dans le cadre de projet de développement conformément à l'article 6 de la Loi sur le développement durable (LDD). De plus, le projet étant situé dans les limites du territoire conventionné dans le cadre de l'accord de la Convention de la Baie-James et du Nord québécois (CBJNQ), les dispositions prévues chapitre II de la Loi sur la qualité de l'environnement (LQE) s'appliquent. L'évaluation des impacts sur le patrimoine archéologique a donc également été réalisée en prévision du dépôt de l'avis d'intention et les renseignements préliminaires par le MTMD dans le cadre de l'évaluation de l'assujettissement du projet à une procédure d'étude d'impact.

L'intervention sur le terrain fut réalisée entre le 28 août et le 2 septembre 2023. L'équipe était composée d'une responsable d'intervention ainsi que d'une technicienne de fouille. La zone d'intervention se limitait à l'aire d'agrandissement prévue du futur bail d'exploitation de la carrière couvrant une superficie d'environ 26 770 m^2 de terre de catégorie I.

L'inventaire archéologique fut complété conformément à la méthodologie en vigueur présentée dans le cadre du document «*Exigences du Ministère des Transports et de la Mobilité durable en matière d'expertises archéologiques*». Plus spécifiquement, la zone d'intervention fut expertisée par le biais d'une inspection visuelle couvrant toute la zone d'inventaire en plus de la réalisation de sondages manuels de 30 cm ou 50 cm à intervalles de 15 m dans les limites des aires jugées propices à creuser des sondages archéologiques.

L'inspection visuelle à conduit à l'identification de nombreuses zones jugées non propices à la réalisation de sondage telles que des zones de roc affleurant présentant une topographie plate et une aire de champ de blocs, mais qui furent tout de même jugées à fort potentiel considérant le type de vestiges recherchés. Celles-ci furent donc inspectées visuellement minutieusement. L'inspection a également permis d'observer plusieurs zones de perturbations anthropiques telles que des secteurs où les sols furent arasés et des chemins d'accès en plus de zone présentant un faible potentiel archéologique tels que des secteurs où le terrain était très accidenté ou en pente.

Au total, seulement 4 sondages furent réalisés. La stratigraphie relevée présentait une séquence d'horizon podzolique. Aucun témoin archéologique ni signe d'occupation ne fut observé.

L'inventaire archéologique n'a pas permis la mise à jour de biens archéologiques. Conséquemment, la poursuite des travaux sans contraintes ni préoccupations associées au patrimoine archéologique est recommandée.

Équipe de réalisation

Ministère des Transports et de la Mobilité durable
Direction de l'environnement

Catherine Dupont Archéologue	Responsable de l'intervention Recherche documentaire Rédaction Cartographie
Anne-Julie Bilodeau Étudiante en archéologie	Technicienne-archéologue Recherche documentaire Rédaction
Julie de Bellefeuille Spécialiste en géomatique	Cartographie
Frank Rochefort Archéologue	Révision

Table des matières

Liste des figures ..... **vi**

Liste des tableaux ..... **viii**

1 Introduction **1**

2 Localisation générale **2**

3 Méthodologie **4**

4 État des connaissances en archéologie **6**
4.1 Historique des recherches archéologiques antérieures 6
4.2 Bref survol du cadre environnemental 17
4.3 Synthèse du cadre culturel 17
4.3.1 Cadre paléo-historique 18
4.3.2 Cadre historique 20

5 Résultats **32**
5.1 Description de la zone d'inventaire 32
5.2 Résultats 34
5.3 Interprétation 40

6 Conclusion et recommandations **42**

7 Bibliographie **43**

ANNEXE 1 – Catalogue photographique

ANNEXE 2 – Notes de terrain

Liste des figures

Figure 1 : Localisation générale de la zone d'inventaire 3
Figure 2 : Localisation générale des interventions archéologiques antérieures et des sites archéologiques connus dans les limites de la zone d'étude. 15
Figure 3 : Localisation générale des sites archéologiques connus dans un rayon de 1 km de la zone d'inventaire. 16
Figure 4 : Extrait de la carte de l'Amirauté britannique de 1884; *Hudson Bay and Strait,* (BANQ numérique). La zone expertisée se situe approximativement dans l'encadré rouge. 21
Figure 5 : Extrait du plan de Donald Gillies de 1895; *Plan Great Whale River Post. Eastmain District on scale of 16 yards to the inch.* (Archives de la CBH) 22
Figure 6 : Similigravure vers 1910; *Poste de la Compagnie de la Baie d'Hudson sur la Grande rivière de la Baleine, QC* (MNCS collection en ligne). 23
Figure 7 : Photographie de 1922 ; *Establishing preliminary camp at Great Whale River, Revillon Frères, QC, 1922* (MNCS collection en ligne). 24
Figure 8 : Photographie de 1921; *Temporary camp, Revillon Frères, Great Whale River, QC, 1921* (MNCS collection en ligne). 24
Figure 9 : Photographie de 1920; *Hudson's Bay Company post at Great Whale River, Quebec, 1920* (MNCS collection en ligne). 25
Figure 10 : Photographie aérienne de 1949; *Aerial view of Kuujjuarapik (formerly Great Whale River), Quebec* (BAC) 25
Figure 11 : Extrait de la photographie aérienne de 1954; *A14176_085* (PNA). La zone expertisée se situe approximativement dans l'encadré rouge. 26
Figure 12 : Extrait de la photographie de 1957; *Inuit housing near RCAF Station Great Whale River at Nunavik, Quebec* (R4399-12-3-E) (BAC). 27
Figure 13 : Extrait de la photographie de 1956; *Inuit women and child at RCAF Station Great Whale River, Nunavik, Quebec* (R4399-12-3-E,) (BAC). 27
Figure 14 : Extrait de la photographie aérienne de 1959; *R1231_078* (MTMD BDPA). La zone expertisée se situe approximativement dans l'encadré rouge. 28
Figure 15 : Extrait de la photographie aérienne de 1977; *Q75123_50* (MTMD BDPA). La zone expertisée se situe approximativement dans l'encadré rouge. 29
Figure 16 : Extrait de la photographie aérienne de 1993; *A31631_104* (PNA). La zone expertisée se situe approximativement dans l'encadré rouge. 30
Figure 17 : Extrait de la photographie aérienne de 2003; *Q03200_166* (MTMD BDPA). La zone expertisée se situe approximativement dans l'encadré rouge. 31
Figure 18 : Vue générale de la zone d'inventaire archéologique avec de la localisation de chaque sondage (Le sondage S-004 se situe au même emplacement que le sondage S-003). 33
Figure 19 : Vue générale du terrain accidenté avec présence de blocs angulaires dans les limites de la ZIA. (cliché 154-60-1115_173) 34
Figure 20 : Secteur d'arasement des sols (cliché 154-60-1115_038) 35
Figure 21 : Secteur d'arasement des sols pour création de chemin d'accès (cliché 154-60-1115_035) .. 35
Figure 22 : Zone de dynamitage récent dans les limites de la ZIA (cliché 154-60-1115_080) 36
Figure 23 : Chemin d'accès en bordure de la carrière (cliché 154-60-1115_218). 36
Figure 24 : Champ de blocs situé dans le quadrant nord-est (cliché 154-60-1115_059). 37
Figure 25 : Zone de terrasse (cliché 154-60-1115_029). 37
Figure 26 : Vue du profil sud du sondage test ST-001 (cliché 154-60-1115_198). 38
Figure 27 : Relevé stratigraphique du sondage test St-001, profil sud. 39

Figure 28 : Vue en plan du sondage test S-002 (cliché 154-60-1115_171). 39
Figure 29 : Vue générale de la dépression circulaire située dans le champ de blocs (cliché 154-60-1115_209). 40

Liste des tableaux

Tableau 1 : Interventions archéologiques et autres études pertinantes réalisées dans la zone d'étude selon les données disponibles dans le Géoportail du MSP..... 10
Tableau 2 : Sites archéologiques connus dans les limites de la zone d'étude 14

1 Introduction

La Direction de la planification des projets aéroportuaires (DPPA) du ministère des Transports et de la Mobilité durable (MTMD) planifie un projet d'agrandissement d'une carrière exploitée par le MTMD située dans le village nordique de Kuujjuarapik-Whapmagoostui dans la région administrative du Nord-du-Québec sur des terres conventionnées selon les accords de la CBJNQ de catégorie I. Le projet comprend en premier lieu une demande de renouvellement et d'agrandissement des limites du bail d'exploitation en cours (le bail BEX-1667). Dans un deuxième temps, le MTMD prévoit exploiter la carrière 7410-10-01-8505 au-delà des limites actuelles dans la zone d'agrandissement proposée.

C'est dans un contexte préventif d'atténuation des impacts potentiels sur le patrimoine archéologique lors de l'exploitation projetée de la carrière que la DPPA a mandaté la Direction de l'environnement pour la réalisation d'un inventaire archéologique en amont des travaux d'exploitation.

L'approche préventive du MTMD est appliquée conformément à l'article 6 (alinéas *i* et *k*) de la *Loi sur le développement durable.* Elle est également implémentée dans le cadre de l'application du chapitre II de la LQE qui vise l'évaluation des impacts sur l'environnement et le milieu social dans le cadre de projet de développement en milieu nordique. Le projet proposé étant situé sur le territoire conventionné dans le cadre de la CBJNQ et considéré comme en zone grise, le processus d'analyse des projets prévoit le dépôt d'un avis d'intention et les renseignements préliminaires à la commission de la qualité de l'environnement Kativik (CQEK) chargée d'évaluer les impacts anticipés du projet sur son territoire dans le cadre d'une demande de non-assujettissement à une étude d'impact. L'analyse des impacts anticipés sur le patrimoine archéologique doit être présentée dans le cadre du document de renseignements préliminaires.

Comme l'analyse des risques en archéologie réalisée en 2022 avait déjà permis de confirmer que la zone d'agrandissement de la carrière recelait un potentiel archéologique, le but de l'intervention était donc de confirmer la présence ou l'absence de biens archéologiques dans les limites de la zone d'intervention afin de connaître et d'anticiper les impacts sur le patrimoine archéologique que pourraient engendrer les travaux d'exploitation.

Cette approche permet également de prévenir des arrêts de travaux relatifs aux dispositions prévues par les articles 74 et 76 de la *Loi sur le patrimoine culturel* (Ch. P-9.002).

L'intervention archéologique sur le terrain s'est déroulée entre le 28 août et le 2 septembre 2023. L'équipe de terrain était composée d'une responsable d'intervention et d'une technicienne de fouilles. La zone d'intervention archéologique se limitait à la zone d'agrandissement de la carrière et du bail en cours. Au total, la superficie expertisée lors de l'inventaire était estimée à 26 770 m^2. Considérant que l'intervention était planifiée sur les terres de la communauté de Kuujjuarapik, une demande avait été faite à la corporation foncière Sakkuk de Kuujjuarapik afin de s'assurer de leur support et de leur accord vis-à-vis l'inventaire archéologique. La corporation foncière Sakkuk, au nom de la communauté, avait consenti à la réalisation de l'intervention sur son terrain.

2 Localisation générale

Le projet d'agrandissement de la carrière est situé sur les terres de la communauté inuite de Kuujjuarapik à un peu moins d'un kilomètre au nord-est du village nordique de Kuujjuarapik-Whapmagoostui. L'étendue des terres est située sur le territoire conventionné d'après les accords de la CBJNQ, sur le territoire de l'administration régionale Kativik, au sein de la circonscription électorale provinciale d'Ungava et dans la région administrative du Nord-du-Québec (10) (Figure 1).

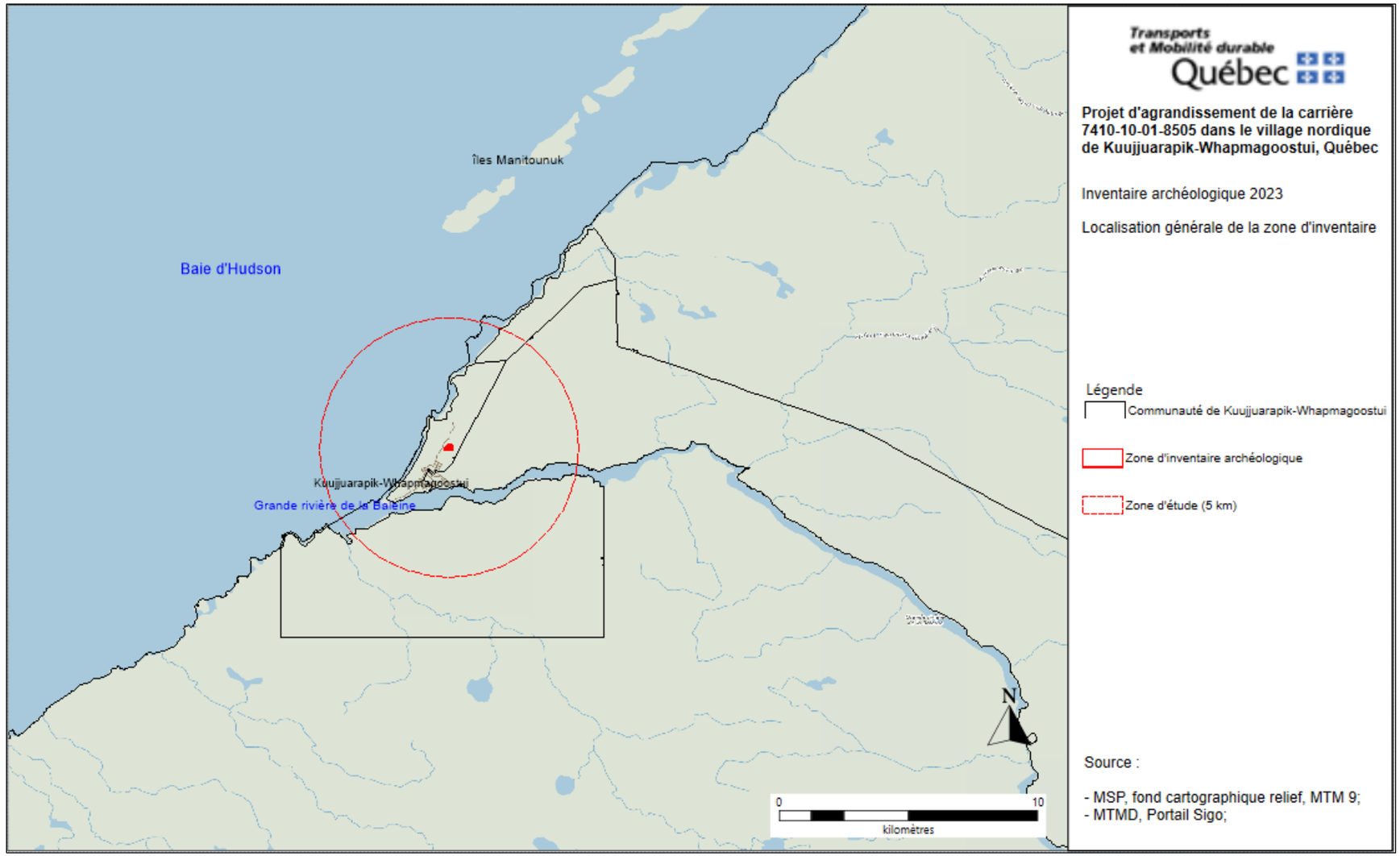


Figure 1 : Localisation générale de la zone d'inventaire

3 Méthodologie

L'intervention archéologique a été complétée en conformité avec les normes exigées lors de la réalisation d'expertises archéologiques présentées dans le cadre du document intitulé : « *Exigences du Ministère des Transports et de la Mobilité durable en matière d'expertises archéologiques* ».

Plus spécifiquement, la zone d'intervention archéologique (ZIA) fut expertisée par le biais d'une inspection visuelle ainsi que par la réalisation de sondages manuels à intervalles réguliers de 15 mètres dans les zones qui furent jugées propices à creuser des sondages archéologiques.

En premier lieu, la zone à inventorier fut délimitée à l'aide d'un appareil de système de positionnement global (GPS) de type Garmin GPSMAP64. Le niveau de précision de l'appareil était bon lors de la délimitation de la zone (± 3-4m). Les limites de la zone d'inventaire furent par la suite marquées à l'aide de ruban de signalisation. Cependant, comme le couvert forestier étant très dense à certains endroits, il fut difficile de marquer avec précision les limites de la ZIA sur certains segments.

L'inspection visuelle fut réalisée dans un premier temps. Toute la zone sujette à l'intervention archéologique fut systématiquement inspectée dans le but de vérifier la présence d'indices d'occupation au sol en plus d'identifier des secteurs qui ne seraient pas propices à la réalisation de sondages tels que des zones de pente abrupte, des affleurements rocheux, des zones humides, et des zones qui ont fait l'objet de perturbations des sols. Toutes les zones à exclure de la campagne de sondage furent documentées à l'aide de photographies. Toutefois, bien que certaines de ces zones n'étaient pas appropriées pour effectuer des sondages, elles étaient toutefois considérées comme à fort potentiel dans le cadre de découverte de témoins archéologiques en lien avec la culture pré-dorsétienne, dorsétienne et thuléenne de l'Arctique.

Pour cette raison, dans un deuxième temps, les zones de terrasses et d'affleurement rocheux plat, en plus d'un champ de blocs localisé dans le quadrant nord-ouest, furent inspectées visuellement une seconde fois avec beaucoup plus de minutie afin de localiser de potentiels signes d'activités anthropiques ou de témoins archéologiques au sol.

Finalement, une seule zone jugée propice à la réalisation de sondages fut expertisée à l'aide de cette technique à intervalles de 15 mètres. Bien que la répartition des sondages se voulait être le plus régulier possible, le couvert forestier extrêmement dense, composé principalement d'aulnes, eut un impact majeur sur la répartition des sondages. Conséquemment, ceux-ci furent creusés là où le couvert forestier le permettait, mais toujours à une distance qui permettait de s'assurer de couvrir la zone de manière assez systématique.

Les sondages réguliers avaient une dimension minimale de 30 cm x 30 cm et une profondeur minimale de 50 cm sauf lorsqu'un obstacle physique tel que le socle rocheux empêchait d'atteindre cette profondeur. Tous les sondages furent excavés manuellement par le biais de pelles et de truelles. Afin de faciliter la recherche d'artéfacts, les sols excavés furent inspectés à la truelle dans un tamis.

Suivant la collecte des données, tous les sondages furent remblayés afin de s'assurer de la remise des lieux en bon état.

Un sondage test de 50 cm x 50 cm fur également réalisé. Ce sondage avait pour but de servir de référence stratigraphique. Le profil stratigraphique du sondage test fut relevé. Celui-ci se voulait avoir

une profondeur minimale de 75 cm.

L'enregistrement des données fut effectué par le biais de photographies, de prise de notes et de relevés stratigraphiques. De plus, la localisation de tous les sondages fut enregistrée à l'aide d'un GPS. Le niveau de précision de l'appareil était de ± 3-4 m lors de l'enregistrement.

4 État des connaissances en archéologie

4.1 Historique des recherches archéologiques antérieures

Afin de faciliter le recensement des connaissances en lien avec la recherche archéologique à proximité de la zone à inventorier, une zone d'étude théorique d'un rayon de 5 km à partir du point central de la zone d'inventaire fut délimitée (Figure 1 et Figure 2).

De manière générale, de nombreuses expertises archéologiques incluant des recherches universitaires, des études de potentiel, des inventaires archéologiques, des inspections visuelles et des fouilles, ont été menées dans les environs de la Grande rivière de la Baleine.

En effet, depuis les années 1960, les environs immédiats de la communauté de Kuujjuarapik-Whapmagoostui ont fait l'objet de nombreuses recherches archéologiques qui ont mené à l'identification de plusieurs sites archéologiques.

Entre 1967 et 1976, les multiples expéditions des chercheurs Elmer J. Harp, du Darmouth College, Patrick Plumet et Jean-Paul Salaün, associés à l'Université du Québec à Montréal ont mené à la découverte des sites GhGk-1 à GhGk-12 et à la fouille des sites GhGk-4 et GhGk-6 (Gosselin *et al.* 1974; Harp 1967; Harp 1972; McKenzie 1971a; Plumet 1976). Toutefois, les rapports documentant ses interventions ne sont pas exhaustifs et les données cartographiques ainsi que la localisation des sites sont assez floues. Concernant la fouille partielle des sites GhGk-4 (Harp 1972 : 2) et GhGk-6 (Gosselin *et al.* 1974 : 3), les rapports ne comprennent pas de données exhaustives concernant les résultats des interventions. Ces travaux ont toutefois permis de localiser plusieurs sites archéologiques et d'établir une bonne base de connaissances dans la région de la Grande rivière de la Baleine.

Les années fin 1970 et les années 1980 ont vu la multiplication des interventions archéologiques dans le cadre du projet du complexe hydro-électrique Grande-Baleine qui prévoyait la construction de trois centrales hydro-électriques, de routes, d'installation aéroportuaire et l'immersion de plus de 1667 km^2 de terres (Dufous 1996). Toutefois, le projet Grande-Baleine ne s'est jamais concrétisé.

De plus, quelques projets d'infrastructures locales ont généré des interventions plus récentes, mais celles-ci sont toutes localisées dans les environs du village de Kuujjuarapik-Whapmagoostui (Avataq 1987; Avataq 1988e; Laforte *et al*. 1993; Patrimoine Experts 2000f).

Selon les données disponibles et présentées dans Géoportail du MSP (interface Société, culture et patrimoine), au total, 8 interventions archéologiques ont été menées à l'intérieur de la zone d'étude (Tableau 1) (Figure 2).

De celles-ci, deux inventaires, un réalisé en 1978 ainsi qu'un second en 1980, auraient été menés en partie dans les limites de la zone d'inventaire archéologique actuelle (Archéotec 1978b, 1980d).

Tout d'abord, l'intervention archéologique réalisée en 1978 par Archéotec fut complétée dans le cadre du projet du complexe de Grande-Baleine (Archéotec 1978b). L'entreprise avait reçu comme mandat d'évaluer le potentiel archéologique afin de « *déterminer l'ampleur des impacts de la construction d'un complexe hydro-électrique sur les bassins de la Grande et de la Petite Rivières de la Baleine* » (Archéotec 1978b : 1). Considérant l'ampleur du mandat, le territoire à l'étude fut divisé en plusieurs zones. La zone 1

correspondait aux environs de l'embouchure de la rivière à la Baleine. De cette zone 1, seuls les secteurs avoisinant les rives nord et sud de la Grande rivière de la Baleine ainsi que les rives de la baie d'Hudson et le village furent inventoriées. L'inventaire sur le terrain se voulait être de nature préliminaire (Archéotec 1978b : 12). Une inspection visuelle des secteurs d'inventaires aurait été pratiquée et des sondages furent réalisés dans les limites des secteurs d'intérêt archéologique seulement. L'intervention permit de relocaliser 8 sites identifiés par Harp et Gosselin (GhGk-2 à GhGk-12) ainsi que de localiser 7 sites catégorisés comme « préhistorique» ainsi que dans les limites de la zone d'étude (GhGk-13 à GhGk-19). Parmi ceux-ci, trois sites furent associés à une occupation dorsétienne (GhGk-13; GhGk-14; GhGk-15). De nombreux sites catégorisés comme « modernes » furent également localisés. Ils ne furent pas tous assignés à un code borden. Le site « moderne » GhGk-47 est situé au sud de la Grande rivière de la Baleine à son embouchure et comprend 4 structures qui pourraient être centenaires. Bien que le rapport fasse état de la découverte de sites archéologiques à proximité de notre zone d'inventaire archéologique, il est difficile de confirmer que cette dernière fut expertisée par le biais d'une prospection pédestre ou autre méthode reconnue dans le cadre de l'inventaire de 1978. Le rapport ne fait aucunement mention de ce secteur en particulier et l'étendue de la zone inventoriée en 1978 laisse présumer que seules quelques aires considérées à fort potentiel furent inspectées. Pour cette raison, la zone d'inventaire actuelle n'est pas considérée comme expertisée dans le cadre des interventions de 1978.

Un second inventaire fut réalisé en 1980 par la firme Archéotec dans le cadre d'un projet de construction de route qui devait relier une centrale hydroélectrique (GB1) à la communauté de Kuujjuarapik-Whapmagoostui (Archéotec 1980d). Un corridor de plus 50 km de long de fut établie en fonction du tracé proposé pour la route. Ce dernier fut expertisé par le biais de différentes méthodes basées sur le potentiel de la zone. Seuls les secteurs considérés à fort potentiel furent l'objet d'une campagne de sondages systématiques. Les autres secteurs furent expertisés par le biais d'une inspection visuelle. Cet inventaire permit de relocaliser trois sites archéologiques catégorisés comme « préhistorique » dans les limites de la zone d'étude (GhGk-23, GhGk-24 et GhGk-20). Le quadrant sud-est de notre zone d'inventaire aurait été couvert par l'extrémité sud du corridor expertisé en 1980. Toutefois, comme le rapport de 1980 ne présente pas de données cartographiques qui pourraient confirmer que la zone d'inventaire fut l'objet d'une quelconque méthode d'expertise sur le terrain, elle ne fut pas considérée comme partiellement expertisée lors de l'inventaire de 1980.

Cinq autres inventaires auraient eu lieu dans les limites de la zone d'étude.

Un inventaire archéologique fut réalisé en 1981 par la firme Archéotec dans le cadre du projet de construction de la route Kuujjuarapik-Whapmagoostui / GB1 dans le but de complémenter les interventions réalisées en 1980 (Archéotec 1981b). En effet, des modifications au tracé de la route et de la ligne de transport d'énergie en plus de sites proposés pour des infrastructures aéroportuaires et des bancs d'emprunts générèrent le besoin d'expertises additionnelles. Considérant l'envergure du mandat, l'aire d'étude fut divisée en 50 zones distinctes. Dans les limites de la zone d'étude, les secteurs visés par les interventions de 1981 se limitaient à plusieurs sites de faible envergure visés comme futurs bancs d'emprunts à proximité du village et un secteur sujet à des installations aéroportuaires inclus dans les zones 40, 41 et 42 (Archéotec 1981 b : 127, 150, et 155). Des sites archéologiques connus furent observés en bordure de la baie d'Hudson dans les limites du secteur visé par l'installation d'infrastructures aéroportuaires dont les sites GhGk-35, GhGk-36, et GhGk-44 (Archéotec 1981 b : 127). Deux nouveaux sites furent observés, toutefois, il s'agissait de sites modernes. Ils sont donc considérés comme un témoignage de l'occupation actuel des lieux, mais pas comme un indice d'occupation d'ancienne du territoire.

Dans le cadre d'un projet de construction résidentiel, un inventaire archéologique fut réalisé en 1988 par l'institut Avataq (Avataq 1988e). Les secteurs expertisés comprenaient 4 zones à proximité du cimetière toutes situées entre 1 et 2 km au sud-ouest de la zone d'inventaire actuelle. Toutes les zones furent l'objet d'une inspection visuelle et un total de 32 puits de sondages furent excavés. Aucun vestige archéologique ne fut observé.

En 1990, des interventions additionnelles en lien avec la construction de la future route Kuujjuarapik-Whapmagoostui / GB1 furent réalisées par la firme Avataq dans le but de donner suite à des préoccupations de la communauté inuite de Kuujjuarapik (Avataq 1990). Une fois de plus, le mandat était assez large. L'intervention avait pour but d'effectuer une reconnaissance archéologique dans les secteurs considérés à moyen et faible potentiel archéologique sur le tracé de la future route Kuujjuarapik-Whapmagoostui / GB1 et des sites visés pour la construction d'installations aéroportuaires, de carrières et de bancs d'emprunts et d'évaluer les sites archéologiques connus dans le but d'éventuelles activités de mise en valeur. Un total de 9 secteurs à inventorier furent circonscrits. Le secteur intitulé « zone 1 » est le seul compris dans la zone d'étude actuelle. Ce dernier est situé à environ 3 km au nord-est de la zone d'inventaire actuelle. On rapporte que toute l'étendue de la zone 1 aurait été expertisée par le biais d'une inspection visuelle systématique et que des puits de sondages auraient été réalisés dans certains secteurs clés comme des dépôts morainiques considérés comme à fort potentiel. L'intervention a permit la découverte de deux vestiges de piège à renard qui n'ont pas été assignés à un code borden et plus de la découverte de 4 sites d'occupation moderne et donc qui ne sont pas considérés comme un indice d'occupation d'ancien du territoire.

À moins de 100 mètres au nord de la zone d'inventaire, une expertise archéologique fut réalisée par la firme Arkéos en 1992 dans le cadre de modifications additionnelles du tracé de la route proposée entre la future centrale hydroélectrique (GB1) à la communauté de Kuujjuarapik-Whapmagoostui (Arkéos 1992c). Le tracé initial à l'étude avait fait l'objet d'expertise archéologique en 1980 (Archéotec 1980d). Plusieurs tronçons du tracé initial, dont un segment d'environ 3 km à partir de la limite nord du village de Kuujjuarapik-Whapmagoostui, furent modifiés. Ce segment de 3 km se situe dans les limites de la zone d'étude. L'expertise avait comme but de réaliser les inventaires complémentaires associés à la modification de tracé, d'effectuer des relevés sur des sites connus à risque et finalement de procéder à la fouille de deux structures archéologiques connues et menacées. Dans les limites du tronçon situées dans la zone d'étude, et qui comprenaient les unités d'inventaire 1 et 2, des interventions complémentaires étaient requises en plus de la réalisation de relevés sur les sites GhGk-44 et GhGk-95, toutes les deux situées à 2,6 km et à 3,7 km au nord-ouest de la zone d'inventaire actuel. Les inventaires complémentaires ont mené à la découverte des sites GhGk-89, GhGk-90, GhGk-91, GhGk-92 et GhGk-93, tous situés dans les limites de la zone d'étude (Arkéos 1992c : 22). Toutefois, d'après les informations contenues dans le rapport, il s'agirait de sites modernes (Arkéos 1992c : 22-37). Concernant les relevés sur les sites GhGk-44 et GhGk-95, les sites auraient été revisités et quelques structures auraient été fouillées. Toutefois, il s'agissait de sites modernes également (Arkéos 1992c : 41-50).

En 1990, un inventaire archéologique fut réalisé par une équipe d'archéologue du ministère des Transports dans le cadre du projet de réaménagement de l'aéroport du village de Kuujjuarapik-Whapmagoostui (Laforte *et al.* 1993). La zone qui fut l'objet de l'inventaire couvrait un secteur assez irrégulier au nord de la piste d'atterrissage actuelle (Laforte *et al.* 1993 : 4-5). Elle est située à 500 m au nord-ouest de la zone d'inventaire actuelle. On rapporte que l'entièreté du secteur sujet à l'inventaire aurait fait l'objet d'une inspection visuelle et que les zones propices à la réalisation de sondages systématiques furent expertisées par le biais de cette méthode (Laforte *et al*. 1993 : 4-5). L'inventaire permit de relocaliser les sites archéologiques connus GhGk-66, GhGk-78, et de localiser les sites GhGk-81, GhGk-82, GhGk-84 et GhGk-

88 (Laforte *et al.* 1993 : 50). Le site GhGk-66 correspond à une sépulture d'enfant. Une fois de plus, on rapporte que seul le site GhGk-82 serait vraisemblablement un témoin d'une occupation assez ancienne alors que les sites GhGk-84 et GhGk-88 seraient plutôt associés à une occupation historique amérindienne. De plus, de nombreuses autres structures considérées comme contemporaines furent observées (Laforte *et al.* 1993 : 50). De manière générale, on rapporte de nombreux témoins d'occupation contemporains, mais très peu de vestiges associés à la période qui précède la fondation du village.

En 1999, un inventaire archéologique fut réalisé par la firme Patrimoine Experts à environ 1 km au sud-ouest de la zone d'inventaire actuelle (Patrimoine Experts 2000f). L'intervention fut complétée dans le cadre d'un projet de construction d'installations aéroportuaires. La zone sujette à l'intervention était située à proximité de l'aéroport dans un contexte plus urbain. Les méthodes d'inventaires utilisées comprenaient une inspection visuelle et la réalisation de sondages dans la zone inventoriée. Aucun témoin archéologique ne fut observé lors de l'intervention.

En plus de ses interventions cartographiées dans le Geoprtail du MSP, d'autres interventions auraient eu lieu dans les limites de la zone d'étude (voir Tableau 2 : Références supplémentaires). De manière générale, il s'agit d'activités de reconnaissance de terrain, de synthèse des connaissances, de fouille archéologique ponctuelle sur des structures précises et d'études de potentiel. Toutefois, les résultats de ces expertises ne sont pas toujours d'intérêts dans le cadre de l'inventaire actuel. En effet, la plupart n'apportent pas de nouvelles données ou d'information qui permettraient une meilleure compréhension du potentiel archéologique de notre zone d'intervention.

Par contre, les expertises qui ont mené à la découverte et à la fouille du site GhGk-63 situé à moins de 400 mètres au nord de la zone d'inventaire archéologique méritent qu'on s'y attarde (Avataq 1987; Avataq 1991a et Avataq 1992c). Le site fut découvert en 1986 dans le cadre d'un inventaire archéologique réalisé par l'institut Avataq en amont de travaux d'infrastructure municipale. L'inventaire fut complété par le biais d'une inspection visuelle et la réalisation de sondages. Le site GhGk-63 fut localisé à une distance de 800 m du littoral de la baie d'Hudson dans une zone de terrasse sur un éperon rocheux ainsi que dans un champ de blocs. Un total de 6 structures ainsi qu'une collection de 40 artefacts furent observés (Avataq 1987 : 13-17). Le site fut associé à une occupation pré-dorsétienne et possiblement une réoccupation dorsétienne en se basant sur les témoins observés (Avataq 1987 : 18). La fouille archéologique du site GhGk-63 fut réalisée en 1990 et en 1991 par l'Institut Avataq (Avataq 1991a et Avataq 1992c). La fouille du site permit la mise à jour de plus de 10 000 outils et éclats lithiques (Avataq 1991a : 8; et Avataq 1992c : 8-9). Une dizaine de structures furent fouillées (Avataq 1992c : 7-8). À la lumière des résultats des deux campagnes de fouille, le site témoigne d'une occupation saisonnière et récurrente des lieux à la période du dorsétien moyen. Il importe de souligner que la plupart des vestiges du site GhGk-63 étaient situés dans les limites de secteurs où la topographie et l'altitude sont très similaires à celle de la zone d'inventaire actuelle, ce qui témoigne du potentiel archéologique sur le site proposé pour l'agrandissement de la carrière.

Un second site situé à seulement 300 m à l'ouest de la zone d'inventaire actuelle fut également l'objet d'une fouille archéologique en 1981 par la firme Archéotec (Archéotec 1982). Le site GhGk-20 fut localisé en 1980 sur une ancienne terrasse marine (Archéotec 1982 : 75 et 86). Bien que le site fût partiellement perturbé par des activités humaines, l'intervention avait permis la mise au jour d'un ancien foyer ainsi qu'une collection de plus de 6 000 éclats lithiques, 150 fragments d'ossement carbonisé et plus de 20 outils lithiques (Archéotec 1982 : 117 et 126-127). Le site fut interprété comme le lieu d'une occupation temporaire, mais aucune datation précise n'a pu être établie. Le site est donc toujours considéré comme un témoin d'une occupation paléo-historique autochtone indéterminée (Archéotec 1982 : 152-156).

Référence ISAQ	Expertise	Distance du projet	Résultat	Recommandation
Archéotec inc. 1978b **S00097**	Inspection visuelle et inventaire préliminaire dans les limites de 9 zones ciblés dont la zone 1 qui correspond à l'embouchure de la Grande rivière de la Baleine.	Couvre en totalité la zone d'inventaire archéologique	Positif dans les limites de la zone 1	De manière générale, éviter les impacts sur la plupart des sites localisés.
Archéotec inc. 1980d **S00103**	Inspection visuelle et inventaire dans les limites d'un corridor d'environ 500 m de large et 50 km de long correspondant au tracé d'une route proposée.	Couvre en partie le quadrant sud-est de la zone d'inventaire archéologique	Positif	De manière générale, éviter les impacts sur la plupart des sites localisés.
Archéotec inc. 1981b **S00087**	Inspection visuelle et inventaire de plusieurs secteurs visés pour l'établissement de banc d'emprunt ou d'infrastructure aéroportuaire.	Variable en fonction des secteurs expertisés; en moyenne en l'intérieur d'un rayon de 500 m à 2 km au nord et à l'ouest de la ZIA	Positif	De manière générale, la protection des sites en amont des travaux.
Institut Culturel Avataq 1988e **S01609**	Inventaire dans les limites de 4 secteurs visés par un développement résidentiel situés à proximité du cimetière de la communauté.	Variable en fonction des secteurs expertisés; en moyenne en l'intérieur d'un rayon 1 à 2 km au sud-est de la ZIA	Négatif	Procéder aux travaux prévus.
Institut Culturel Avataq 1990 **S01727**	Inventaire dans les limites d'un corridor de 500 m de large et de 48 km de long longeant la baie d'Hudson entre Kuujjuarapik et la rivière Domanchin en plus de plusieurs zones visées pour l'établissement de banc d'emprunt/ou carrière et d'infrastructure aéroportuaire.	Variable en fonction des secteurs expertisés; inventaire dans les limites du corridor est situé à 3 km au nord-est de la ZIA	Négatif dans la zone d'étude	Procéder à la fouille de sauvetage du site GjGi-5 et réaliser un inventaire archéologique dans les limites de la zone 6
Arkéos 1992c **S01953**	Inventaire, fouilles et relevés archéologiques dans les limites d'un corridor de 100 m de large et de 5 km de long situé le long de la Baie d'Hudson correspondant aux modifications du tracé d'une route proposée.	Variable en fonction des secteurs expertisés; inventaire dans les limites du corridor est situé à 100 m au nord de la ZIA	Positif	Réaliser des inventaires archéologiques complémentaires sur certains segments du tracé, compléter la fouille archéologique du site GhGk-63 et procéder àa la fouille archéologique des sites GiGj-6 et GiGj-12.
Laforte E. *et al.* 1993 **S02070**	Inventaire dans les limites d'un secteur d'environ 450 m de large et 950 m de long, situé entre le littoral de la baie d'Hudson à l'ouest et l'intérieur des terres à l'est visé pour la modification d'infrastructure aéroportuaire.	500 m au nord-ouest de la ZIA	Positif	De manière générale, procéder aux travaux prévus.
Patrimoine Experts 2000f **S02852**	Inventaire archéologique dans les limites d'un secteur situé approximativement à 460 m de la rive est de la baie d'Hudson visé pour des travaux sur des installations aéroportuaires.	1 km au sud-ouest de la ZIA	Negatif	Procéder aux travaux prévus sans conséquence pour le patrimoine archéologique.

Tableau 1 : Interventions archéologiques et autres études pertinantes réalisées dans la zone d'étude selon les données disponibles dans le Géoportail du MSP

Un total de 43 sites archéologiques sont connus dans les limites de la zone d'étude (Tableau 2) (Figure 2).

La majorité de ces sites témoignent d'une occupation paléo-historique autochtone ou paléo-inuit. On compte néanmoins 7 sites considérés comme moderne et donc qui ne reflètent pas directement l'occupation ancienne du territoire.

La plupart de ses sites furent localisés dans le cadre d'inventaire archéologique et très peu d'entre eux furent l'objet de recherches exhaustives qui permettraient de confirmer leur affiliation culturelle ou de clarifier la période d'occupation. On peut qualifier la plupart de ces interprétations de préliminaires.

Un total de 14 sites archéologiques connus (GhGk-82, GhGk-78, GhGk-84, GhGk-88, GhGk-81, GhGk-91, GhGk-63, GhGk-20, GhGk-9, GhGk-8, GhGk-87, GhGk-23, GhGk-4, et, GhGk-5) sont localisés dans un rayon 1 km de la zone d'inventaire démontrant ainsi le potentiel de découverte archéologique des environs du site de la carrière (Figure 3).

Selon le Répertoire du patrimoine culturel du Québec (RPCQ) du MCC, aucun bien patrimonial ne se situe à l'intérieur des limites de la zone d'étude

Code Borden	Période culturelle selon le rapport original	Références	Références supplémentaires	Distance du projet
GhGk-1	Historique	Harp 1967	Denton 1993, 1995, Harp 1972	3,7 km
GhGk-2	Moderne, possibilité de remonter à la période paléohistorique * *Coordonnées géographiques des sites GhGk-2 et GhGk-3 interchangées dans le rapport original*	Harp 1967	Archéotec 1978b Aménatech 1984 b,k Harp 1972	3,3 km
GhGk-3	Archaïque	Harp 1967	Harp 1972	1,4 km
GhGk-4	Prédorsétien	(Plumet 1969 publié en 1976; Harp 1972)	Aménatech 1984k Avataq 1992d, 1992e Gendron et Pinard 2000 Gosselin *et al.* 1974 McKenzie 1971a Plumet 1980b	0,6 km
GhGk-5	Indéterminée (Prédorsétien ?)	(Plumet 1969 publié en 1976; Harp 1972)	Aménatech 1984k Archéotec 1980d Gosselin *et al.* 1974	0,8 km
GhGk-6	Indéterminée (Prédorsétien ?)	(Plumet 1969 publié en 1976; Harp 1972)	Aménatech 1984k Gosselin *et al.* 1974	1,1 km
GhGk-7	Dorsétien ** Désigné GW-7 dans le rapport original*	Harp 1972	Aménatech 1984b,k Archéotec 1978b Gosselin *et al.* 1974 McKenzie 1971a Rocheleau 1982	1,7 km
GhGk-8	Dorsétien	Harp 1972	Rocheleau 1982	0,9 km
GhGk-9	Dorsétien	Harp 1972	Rocheleau 1982	0,4 km
GhGk-10	Prédorsétien ?	Gosselin *et al.* 1974	Aménatech 1984k Plumet 1976	4 km
GhGk-11	Dorsétien	Gosselin *et al.* 1974	Adams 1976 Aménatech 1984k Archéotec 1980d Rocheleau 1982	1,1 km

GhGk-12	Dorsétien	Gosselin *et al.* 1974	Aménatech 1984k Rocheleau 1982	2,3 km
GhGk-13	Dorsétien	Archéotec 1978b	Aménatech 1984b	4,9 km
GhGk-14	Dorsétien ?	Archéotec 1978b	Aménatech 1984b	4,4 km
GhGk-15	Dorsétien ?	Archéotec 1978b	Aménatech 1984b	3,8 km
GhGk-16	Paléohistorique indéterminé	Archéotec 1978b	Aménatech 1984b	3,9 km
GhGk-17	Paléohistorique indéterminé	Archéotec 1978b	Aménatech 1984b	1,6 km
GhGk-18	Paléohistorique indéterminé	Archéotec 1978b	Aménatech 1984b	4,6 km
GhGk-19	Paléohistorique indéterminé	Archéotec 1978b	Aménatech 1984b	3,5 km
GhGk-20	Paléohistorique indéterminé	Archéotec 1980d	Aménatech 1984b Archéotec 1980d, 1982 Arkéos 1991b	0,4 km
GhGk-23	Paléohistorique indéterminé	Archéotec 1980d	Aménatech 1984b,k Arkéos 1991b	0,9 km
GhGk-24	Paléohistorique indéterminé	Archéotec 1980d	Aménatech 1984b,k Arkéos 1991b	1,2 km
GhGk-44	Historique	Archéotec 1981b	Arkéos 1992c	3,7 km
GhGk-45	Paléohistorique indéterminé	Archéotec 1981b	Aménatech 1984b	1,5 km
GhGk-47	Historique	Archéotec 1978b	-	4,7 km
GhGk-63	Prédorset Possible réoccupation dorsétienne	Avataq 1987	Avataq 1987,1991a; 1992c Arkéos 1992c	0,4 km

			Desrosiers et Gendron (2000, 2004) Desrosiers et Rahmani (2003)	
GhGk-66	Inuit (sépulture historique) **Le rapport original n'a pu être consulté*	A.R.C. *et al.* 1991	Laforte *et al*. 1993	1,1 km
GhGk-78	Inconnue ** Le rapport original n'a pu être consulté*	MTQ 1989	Laforte *et al*. 1993	1 km
GhGk-81	Indéterminée	Laforte *et al*. 1993	-	0,7 km
GhGk-82	Indéterminée	Laforte *et al*. 1993	-	1 km
GhGk-84	Inconnue ** Le rapport original n'a pu être consulté*	MTQ 1989	Laforte *et al*. 1993	0,9 km
GhGk-87	Indéterminée	Arkéos 1991b	-	0,9 km
GhGk-88	Contemporaine ** Structure très récente selon le rapport de 1993*	Laforte *et al*. 1993	-	0,8 km
GhGk-89	Contemporaine ** Structures datant de moins de 50 ans*	Arkéos 1992c	-	2,7 km
GhGk-90	Contemporaine ** Structures datant de moins de 50 ans*	Arkéos 1992c	-	2,9 km
GhGk-91	Contemporaine ** Structures datant de moins de 50 ans*	Arkéos 1992c	-	0,9 km
GhGk-92	Contemporaine ** Structures datant de moins de 50 ans*	Arkéos 1992c	-	1,3 km
GhGk-93	Contemporaine ** Structures datant de moins de 50 ans*	Arkéos 1992c	-	1,4 km
GhGk-94	Indéterminée	Arkéos 1992c	Arkéos 1993a	1,1 km
GhGk-95	Moderne ou contemporaine ** Désigné « site 8 » dans le rapport original*	Arkéos 1991b	Arkéos 1992c	2,6 km
GhGk-96	Historique cri, 18^{e} s. ou avant	Denton 1993	Denton 1995	4,1 km

Tableau 2 : Sites archéologiques connus dans les limites de la zone d'étude

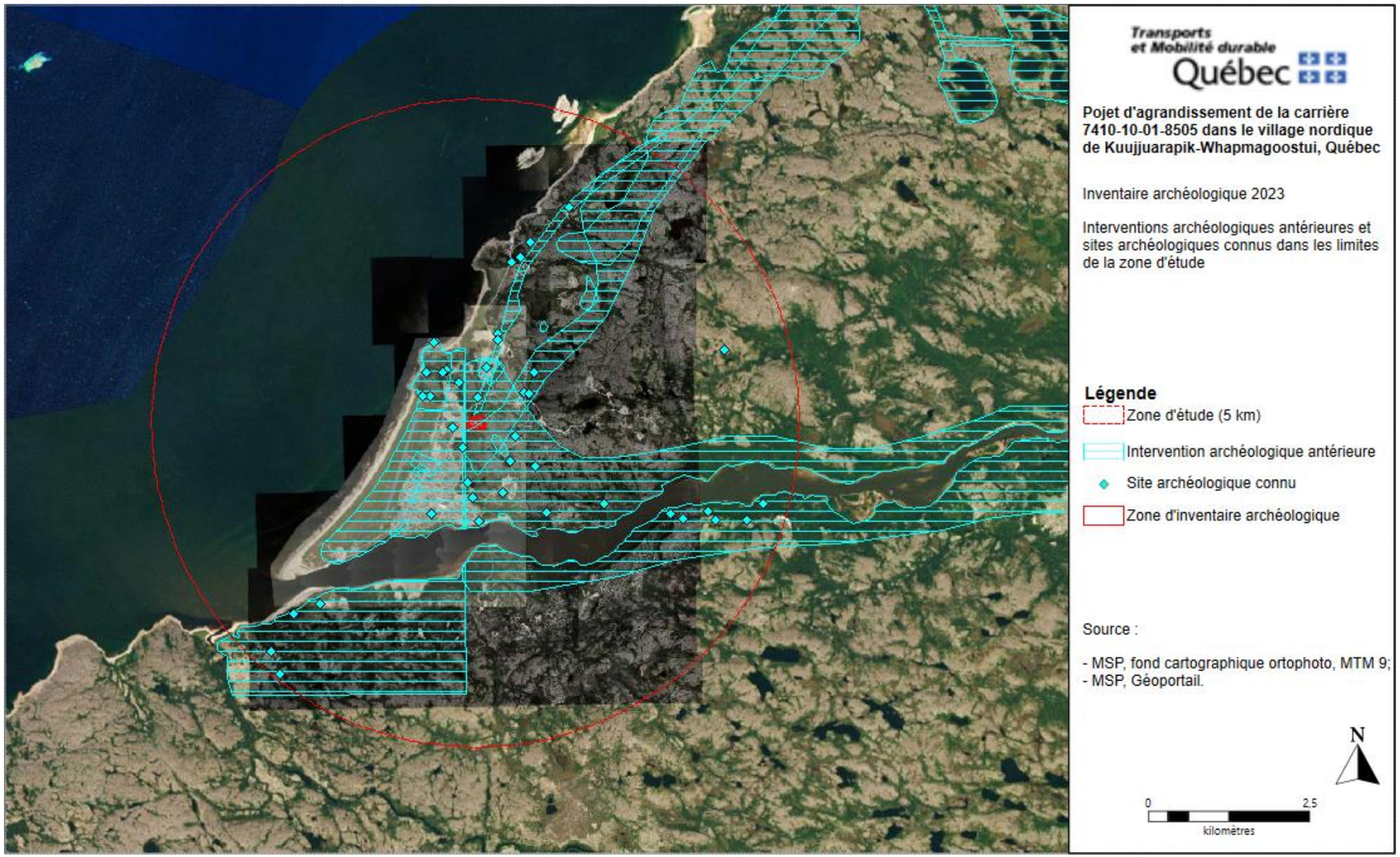


Figure 2 : Localisation générale des interventions archéologiques antérieures et des sites archéologiques connus dans les limites de la zone d'étude.

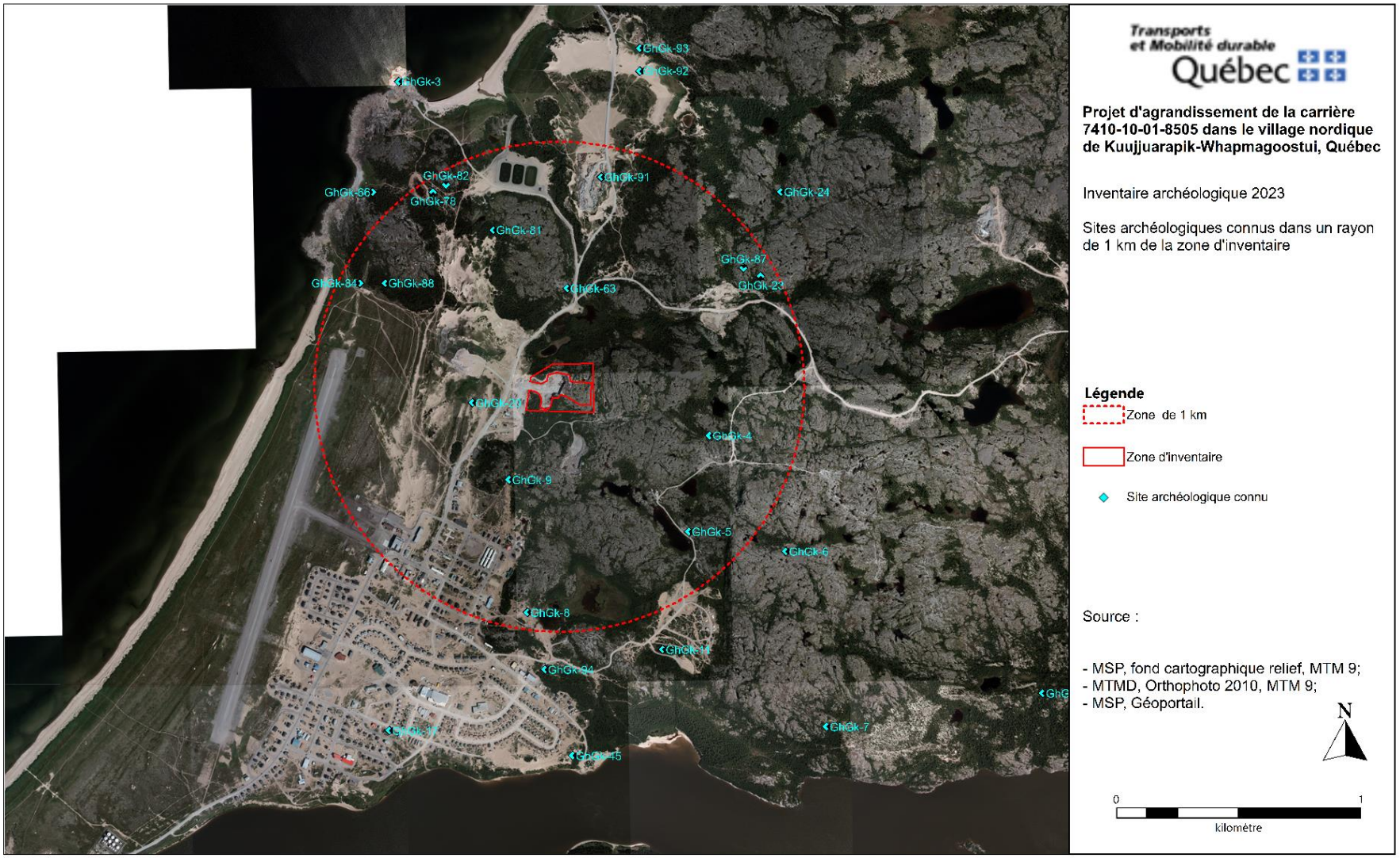


Figure 3 : Localisation générale des sites archéologiques connus dans un rayon de 1 km de la zone d'inventaire.

4.2 Bref survol du cadre environnemental

Concernant l'histoire post-glaciaire des environs de la communauté Kuujjuarapik-Whapmagoostui, le retrait progressif du glacier l'inlandsis laurentien et la déglaciation dans la région de la Grande rivière de la Baleine s'opéra vers 8000 ans AA (Laframboise 2001 :19). L'affaissement de la croûte terrestre qui s'en découla ainsi que la fonte des glaces submergea les zones côtières de la baie d'Hudson par les eaux de la mer de Tyrrell. La limite marine de la mer de Tyrell est variable dans la région. Néanmoins, les recherches récentes soutiennent que les eaux auraient submergé les terres jusqu'à une élévation moyenne de 200 m du niveau actuel de la baie d'Hudson dans la région de Kuujjuarapik-Whapmagoostui (Brouard *et al.* : 2023 : 49). Par la suite, le relèvement isostatique permit l'émersion des terres et l'implantation d'un écosystème adapté aux conditions climatiques rigoureuses. On estime que les environs de la région de Kuujjuarapik-Whapmagoostui auraient été aptes à l'occupation humaine vers 7 000 AA (Avataq 2007 : 11).

La zone d'étude se trouve dans la région subarctique dans une zone de pergélisol discontinu. Le site de la carrière se situe à une distance d'environ 1,08 km du littoral. Les données recueillies sur le portail *Forêt ouverte* du MRNF démontrent que la zone d'intervention se situe sur le Bouclier canadien et plus précisément dans la province du Supérieur. Le substrat rocheux est principalement composé de granite. Le site de la carrière et de son agrandissement proposé est situé majoritairement dans une zone où le roc affleure et présente un relief accidenté à flanc de colline. Un petit secteur situé à la limite sud-ouest présente, quant à lui, un sous-sol constitué de dépôt sablonneux qui est un reliquat de la présence d'ancien delta et littoral associée à la mer de Tyrell.

La communauté de Kuujjuarapik-Whapmagoostui est située dans une zone de forêt boréale et plus précisément dans la sous-zone de la toundra forestière (Laframboise 2001 :20). Cette sous-zone se définit comme une zone de transition où la forêt subalpine ainsi que la toundra se rencontre (Payette *et al.* 2001 : 709). De manière générale, on y retrouve un couvert forestier qualifié de discontinu composé principalement d'épinette et de mélèze dans les secteurs un peu plus protégés des rigueurs du climat alors que les zones situées en altitude présentent un couvert de lichen.

En termes d'occupation humaine, la région de la Grande rivière de la Baleine inclut la limite méridionale de l'occupation inuite et la limite septentrionale de l'occupation liée à l'établissement des Premières Nations, et regroupe donc les traditions archéologiques de l'Arctique ainsi que celles de la région du Québec subarctique (Laforte et Denton 1990 : 29).

4.3 Synthèse du cadre culturel

La séquence culturelle du Nunavik présentée dans ce rapport suit celle établie par Friesen et Mason suivant la conférence du Conseil circumpolaire inuit de 2010 (Friesen 2015 : IV). Cette séquence représente le résultat d'une succession de migrations initialement venues du nord sibérien. La tradition archéologique issue de la première grande migration vers l'est de l'Arctique entamée vers 3200 cal. B.C. se nomme Paléo-Inuit et se divise en deux phases : le prédorsétien (3200-800 cal. B.C.), et le dorsétien (800 cal. B.C. -1300 cal. A.D.) (Friesen et Mason 2016 : 14). Cette dernière se termine peu après 1300 cal. A.D., laissant la place à la culture archéologique issue de la seconde grande vague de migration venue de l'ouest vers 1 200 cal. A.D. et connue sous le Néo-Inuit (Friesen et Mason 2016 : 14). Cette migration, plus récente, représente les ancêtres directs des Inuit.

4.3.1 Cadre paléo-historique

Le peuplement de l'Arctique de l'Est

La première vague de migration dans l'Arctique de l'Est, qu'on associe à la période Paleo-Inuit, a entraîné la colonisation de la plupart des régions du Bas-Arctique incluant le Nunavik. Des populations associées à la culture Denbigh de l'Alaska auraient migré vers l'est dans l'Arctique canadien (Friesen 2016 : 674). L'établissement de ces populations a été associé à la culture pré-dorsétienne. On estime que ces populations auraient subsisté dans l'Arctique de l'Est à partir de 4 500 A.A. (Milne et Park 2016 : 694), jusqu'à environ 2 700 A.A. (Milne et Park 2016 : 694). Toutefois, il est important de souligner que ces dates sont régulièrement soumises à la critique considérant les difficultés de datation des vestiges mise au jours sur les sites pré-dorsétiens (Milne et Park 2016 : 694). De manière générale, les données archéologiques indiquent une occupation préférentielle des zones côtières et plus particulièrement les crêtes d'anciennes paléo-plages et terrasses présentent un relief très plat et des dépôts de gravier (Milne et Park 2016 : 694). Certains sites furent également localisés à l'intérieur des terres dans à proximité de lac de grande envergure démontrant un certain potentiel de découverte pour des secteurs comparables (Milne et Park 2016 : 694). La technologie retrouvée sur les sites comprend généralement des petits outils lithiques incluant des burins, des couteaux en pierre polie, des lames et des microlames, des pointes et des couteaux bifaciaux, des pointes de projectile triangulaires à base droite ainsi que des grattoirs, mais également plusieurs outils en os tels que des têtes de harpon et des aiguilles à chas forés (Laforte et Denton 1990 : 32). Très peu de sites associés à la culture pré-dorsétienne furent localisés dans les environs de la Grande rivière de la Baleine. À l'intérieur de la zone d'étude, seul le site GhGk-4 a livré des artefacts diagnostics de la période pré-dorsétienne (Laforte et Denton 1990 : 31; Plumet 1980). Bien qu'associés à la période prédorsétienne, les sites GhGk-5, 6 et 10 n'ont livré aucune structure ni matériel diagnostic ne permettant pas une association chronologique sans ambiguïté.

Par la suite, la culture dorsétienne se serait développée durant une phase de changements climatiques importants qui auraient notamment entraîné la modification des modes de subsistance et des schèmes d'établissement dans l'Arctique oriental (Laforte et Denton 1990 : 32; Ryan 2016 : 764). De manière générale, les premiers indices de manifestation de la culture dorsétienne apparaissent lors d'une période de refroidissement climatique vers 2 500 ans A.A. tout dépendant des régions de l'Arctique (Ryan 2016 : 770). On estime que plusieurs polynies auraient gelé et que l'étendue de la banquise aurait augmenté de manière significative (Ryan 2016 : 770). La période dorsétienne est généralement divisée en trois phases, soit ancienne, moyenne et récente, et se termine autour de 1300 cal. A.D. Les sites dorsétiens sont généralement localisés près des rives actuelles de la baie et des rivières, sur des plages de sable et de gravier bien drainées, comme en témoignent plusieurs sites découverts à Kujjuarapik-Whapmagoostui, au lac Tasiujaq et sur l'île Bélanger (Laforte et Denton 1990 : 32; Hydro-Québec, 1982 : 104). La localisation fréquente des sites dorsétiens sur les rives et près du niveau de la mer indique que l'économie de subsistance se concentrait principalement sur la chasse aux mammifères marins, en particulier le phoque et le morse (Appelt *et al.* 2016 : 788; Ryan 2016 : 770). La technologie dorsétienne est caractérisée par un assemblage de petits outils diversifiés, adaptés pour une stratégie de chasse sur glace et fabriqués dans divers matériaux incluant le chert, le silex, la calcédoine, la néphrite, l'ardoise et la stéatite (Appelt *et al.* 2016 : 785). Des pseudo-burins en pierre taillée et polie, divers types de pointes, des microlames, des grattoirs, des herminettes, des couteaux semi-circulaires ainsi que des couteaux d'ardoise polie sont parfois découverts (Appelt *et al.* 2016 : 785; Laforte et Denton 1990 : 33). Cette technologie se démarque surtout par les têtes de harpons à bascule très variées qui indiquent une utilisation spécialisée de chaque type, mais aussi par l'absence de forets à archet, de l'arc et de la flèche, qui étaient vraisemblablement présents au Prédorset (Appelt *et al.* 2016 : 785; Ryan 2016 : 769). Au sein de la zone

d'étude, 11 sites ont été associés à la période dorsétienne, mais seulement cinq (GhGk-2, 11, 12, 14, 63) ont été confirmés avec certitude par l'analyse des artefacts lithiques mis au jour sur les sites. Quant aux sites GhGk-7, 8, 9, 13, 15, leur attribution à la période dorsétienne repose principalement sur une analyse partielle de quelques objets lithiques trouvés, mais les collections ne contiennent aucun artefact diagnostic (Aménatech 1984b; Laforte et Denton 1990 : 33).

Vers 1200-1300 ans A.A., une deuxième vague de migration en provenance de l'Alaska apporta l'arrivée d'une population associée à la culture thuléenne dans l'Arctique de l'Est (Friesen 2016 : 680). Cette nouvelle vague d'occupation est associée à la période Neo-Inuit. Pour ce qui est des vestiges thuléens, comme leurs activités de subsistance sont plus variées que les peuples affiliés aux cultures plus anciennes, les aires propices à une occupation thuléenne sont donc plus nombreuses et plus variées. À cette époque, le niveau des eaux de la baie d'Hudson était assez semblable à celui d'aujourd'hui. Le développement de technologies particulièrement efficaces assurant une grande mobilité, parmi lesquelles se trouvent le traîneau tiré par des chiens et l'umiak, a grandement facilité les déplacements des populations associés à la culture thuléenne (Laforte et Denton 1990 : 35; Frisen 2016 : 681; Whitridge 2016 : 836). L'assemblage technologique thuléen comprend de nombreux outils en pierre polie, quelques-uns en pierre taillée, des têtes de harpons et des pointes de lance en ardoise polie, des arcs et des flèches ainsi que des forets à arc, en plus d'outils en cuivre natif, en os, en ivoire et en bois de cervidés (Laforte et Denton 1990 : 35; Whitridge 2016 : 834-838). Les Thuléens ont exploité une grande gamme de matières premières, incluant la néphrite, l'ardoise, le cuivre natif, le fer de météorite, mais également diverses matières animales, notamment la peau, les tendons et les bois de cervidés (Whitridge 2016 : 835). La diversité de l'outillage thuléen permet une typologie précise et l'identification culturelle d'un site à l'aide d'artefacts diagnostics, tels que des têtes de harpon de type « Sicco » et « Natchuk » (Whitridge 2016 : 837). Les Thuléens se sont aussi servis de pots en céramique, rapidement remplacée par la stéatite, et ont produit du matériel rituel et artistique comme des amulettes et des têtes de flèche décorée (Whitridge 2016 : 835-838). Malgré la présence thuléenne attestée dans le Nunavik, aucun site archéologique appartenant à cette culture n'a été dûment identifié jusqu'à maintenant dans les environs de Kuujjuarapik-Whapmagoostui et seulement quelques sites ont été inventoriés à l'île Bélanger et dans les environs du lac Guillaume Delisle (Avataq 2005). Cependant, l'incertitude et la confusion dans les données archéologiques récoltées et présentées peuvent aussi expliquer cette apparente absence de sites datant de cette période dans la région.

L'occupation paléohistorique liée aux Premières Nations

En plus des sites liés à la paléohistoire de l'Arctique, la région présente aussi quelques sites archéologiques attribués à la séquence paléohistorique du Québec méridional. Toutefois, il est rare qu'une identification chronologique précise soit attribuée à ces sites, qui s'insèrent difficilement dans la séquence paléohistorique traditionnelle composée du Paléoindien, de l'Archaïque et du Sylvicole, en raison du manque d'éléments archéologiques distinctifs (Laforte et Denton 1990 : 36). Les nombreux sites archéologiques classés comme « paléohistorique indéterminé » en témoignent bien (voir tableau 2). Malgré tout, les données environnementales de la région indiquent que le seuil d'occupabilité du territoire remonte aux alentours de 6500 AA, ce qui correspond à la phase moyenne de l'Archaïque (Laforte et Denton 1990 : 29). Dans la région à l'étude, un seul site (GhGk-3) a été attribué à la période archaïque, mais l'identification ne repose sur aucun artefact diagnostic et l'auteur stipule simplement que les « trouvailles suggéraient la phase archaïque » (Harp 1967 : 3). L'attribution chronologique du site demeure donc incertaine.

D'autres indices archéologiques suggèrent tout de même que l'occupation du bassin de la Grande rivière de la Baleine pourrait remonter à la phase récente de l'Archaïque. Le site GfFo-1, sur la rive sud de la

rivière, mais à plus de 220 km de la zone d'étude, a livré en surface plusieurs outils en pierre polie de forme identique à des outils de pierre polie associés à la période archaïque (Archéotec 1978b). Certains archéologues estiment que cette phase d'occupation était peu intense et centrée sur l'exploitation du caribou, dans un mode de vie reposant sur la chasse aux gros mammifères terrestres, la pêche et la cueillette (Laforte et Denton 1990 : 37; Arkéos 1991b : 9). Les outils en pierre taillée retrouvés comportent des pointes, des couteaux, des racloirs, des haches, des grattoirs, des lissoirs et des graveurs (Archéotec 1977 : 24; Arkéos 1991b : 9).

Vers 1500 AA, l'occupation du Québec subarctique septentrional s'intensifie. Plusieurs archéologues suggèrent que ce serait plutôt durant cette phase plus récente que l'occupation de certaines régions du Québec subarctique occidental aurait commencé (Aménatech 1984b; Cérane 1984; Séguin 1985). Quelques données archéologiques suggèrent des mouvements de populations originaires du sud et de la côte du Labrador il y a environ 1400 ans, date qui marquerait l'arrivée des groupes dans le territoire de le baie James (Fitzhugh 1972; Séguin 1985).

Les débuts et l'évolution de l'occupation paléohistorique liée aux ancêtres des Premières Nations dans la région de la Grande rivière de la Baleine sont des phénomènes encore mal compris, puisque les données archéologiques sont insuffisantes pour être en mesure de mieux définir ces manifestations dans l'espace et dans le temps. Malgré la difficulté de caractériser les variations dans les schèmes d'établissement et d'exploitation des groupes au fil du temps, les données archéologiques des régions spécifiques indiquent une « prédilection évidente des utilisateurs pour certaines matières premières » (Laforte et Denton 1990 : 40). Par exemple, le chert est la matière la plus utilisée dans les bassins moyen et inférieur de la Grande rivière de la Baleine, bien que quelques sites aient livré plus de quartz (Laforte et Denton 1990 : 40). Plusieurs sites localisés sur la côte ont livré des artefacts en chert gris-bleu ou bleu-noir qui semblent provenir de la région côtière de la baie d'Hudson (Aménatech 1984b: 260, Laforte et Denton 1990 : 40). Les gros et petits gibiers, l'avifaune et l'itchtyofaune étaient exploités toute l'année et l'occupation du bassin de la Grande rivière de la Baleine, à la fois côtière et à l'intérieur des terres, semble avoir été continue à la suite de l'établissement des groupes dans ce territoire (Aménatech 1984 : 260).

De façon générale, les données archéologiques disponibles de la région suggèrent une occupation paléohistorique plus récente, malgré un potentiel d'utilisation déjà présent il y a environ 4 000 ans (Laforte et Denton 1990 : 41-42). La présence autochtone est cependant attestée depuis au moins 1000 ans par la présence de sites archéologiques, qui, couplés à des données ethnohistoriques, suggèrent que la chasse estivale au béluga constituait un trait caractéristique de l'utilisation du secteur de l'embouchure de la Grande rivière de la Baleine (Laforte et Denton 1990 : 42).

4.3.2 Cadre historique

La période historique de la région est étroitement liée aux activités d'exploitation de la Compagnie de la Baie d'Hudson (CBH) et à l'arrivée des missionnaires et aux relations entre ces différents groupes (Aménatech 1984b : 58; Laforte et Denton 1990 : 35).

Les premiers établissements coloniaux documentés dans les environs de la Grande rivière de la Baleine sont en lien avec l'arrivée des négociants de la Compagnie de la Baie d'Hudson et de la Compagnie du Nord-Ouest dans la région.

Un poste de traite, le « Great Whale River House ,» fut établi en 1756 par la Compagnie de la Baie d'Hudson à l'embouchure de la rivière suivant la fermeture du poste de Fort Richmond situé plus au nord au lac Tasiujaq (Voorhis 1930 : 30). Il aurait été abandonné quelques années plus tard, soit en 1780 et fut rebâtit en 1793 (Voorhis 1930 : 30). Toutefois, d'après les informations disponibles aux Archives de la Compagnie de la Baie D'hudson, ce poste aurait été ouvert à partir de 1813. Par la suite, il aurait été actif avec quelques périodes de fermetures intermittentes jusque dans les années 1960 lorsque les opérations de la Compagnie de la Baie d'Hudson furent transférées au Département des «Northern Stores». (Archives de la Compagnie de la Baie D'hudson : HBC Fur Trade Post Map | Hudson's Bay Company Archives | Archives of Manitoba (gov.mb.ca). Les installations de la Compagnie de la Baie d'hudson auraient été situées à l'embouchure de la Grande rivière de la Baleine sur la berge nord. La localisation approximative de ce poste est illustrée sur un extrait d'une carte hydrographique de l'Amirauté britannique de 1884 intitulée *Hudson Bay and Strait.*

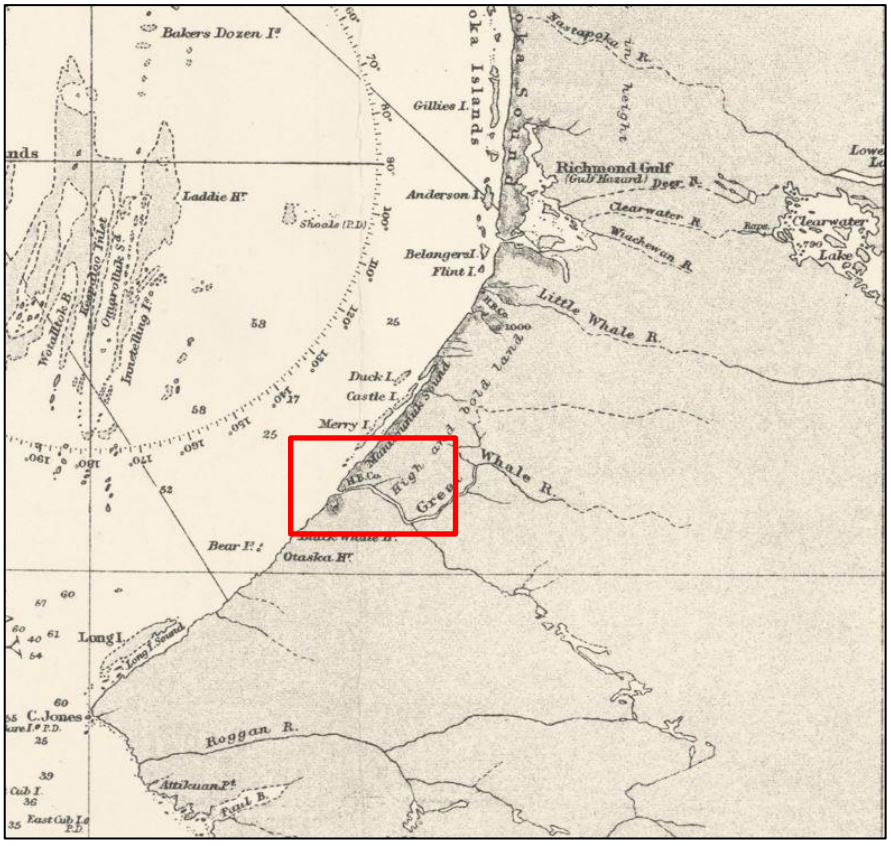


Figure 4 : Extrait de la carte de l'Amirauté britannique de 1884; *Hudson Bay and Strait,* (BANQ numérique). La zone expertisée se situe approximativement dans l'encadré rouge.

Le poste de traite établi à la Grande rivière de la Baleine était également une station baleinière en plus d'avoir été une station de pêche lors de la période estivale vers 1860 (Archives de la Compagnie de la Baie D'hudson : Archives of Manitoba | Keystone Archives Descriptive Database (minisisinc.com)). Toutefois, la rentabilité du poste était variable, ce qui entraîna plusieurs modifications au niveau administratif ainsi que des modifications au niveau des installations en place (Archives de la Compagnie de la Baie D'hudson : Archives of Manitoba | Keystone Archives Descriptive Database (minisisinc.com)). Certains bâtiments furent déplacés vers un autre poste alors que d'autres venues du poste de la Petite rivière à la Baleine furent déménagées à la Grande rivière de la Baleine. Néanmoins, un plan de 1895 illustre les installations

du poste présentes à cette époque.

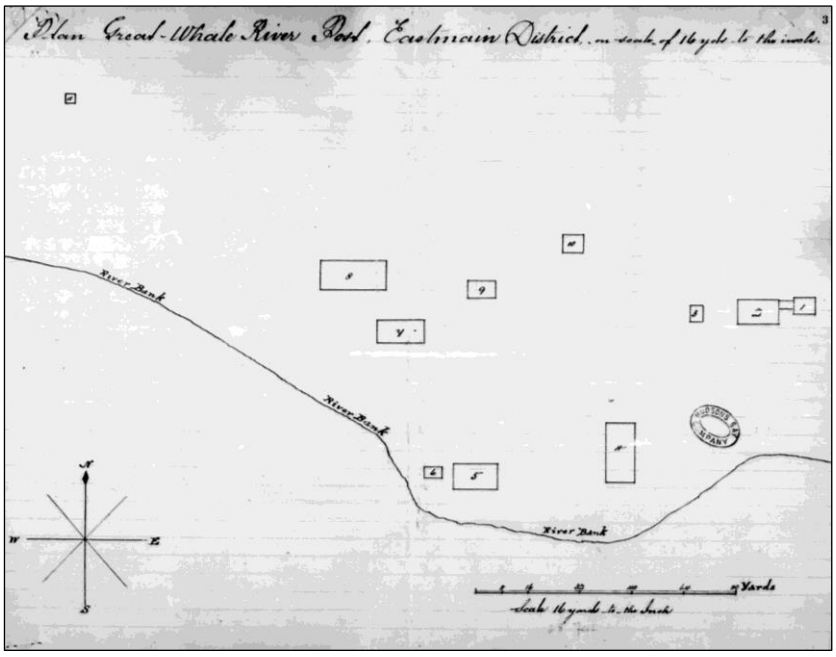


Figure 5 : Extrait du plan de Donald Gillies de 1895; *Plan Great Whale River Post. Eastmain District on scale of 16 yards to the inch.* (Archives de la CBH)

Un total de 11 bâtiments auraient été présents sur le site dont : une cuisine et maison des officiers (#1 et #2), une bécosse (#3), un magasin et entrepôt (#4), une «oil house» (#5), un petit bâtiment d'entreposage nommé «dog house» (#6), une maison pour les ouvriers (#7), un hangar (#8), l'ancienne maison des ouvriers (#9), une forge (#10) et un magasin (#11).

Une photographie expose le poste vers 1910. On y aperçoit au premier plan le «oil house» près de la rive, la résidence pour les employés ainsi que l'entrepôt à tonneaux. En arrière-plan, le magasin et l'entrepôt ainsi que l'ancienne résidence des employés sont visibles.



Figure 6 : Similigravure vers 1910; *Poste de la Compagnie de la Baie d'Hudson sur la Grande rivière de la Baleine, QC* (MNCS collection en ligne).

Très peu d'informations subsistent concernant le poste de traite opéré par la Compagnie du Nord-Ouest. D'après les données présentées sur la carte de 1974 intitulée *Posts of the Canadian Fur Trade* produite par Ressources natuelles Canada (disponible en ligne : Fur Trade Stories), il aurait été établi vers 1804 à l'embouchure de la Grande rivière de la Baleine. Ce poste aurait été en opération moins de 3 ans et aurait été situé sur la rive sud de la Grande Rivière de la Baleine.

Un troisième poste de traite, celui de la Compagnie Revillon Frères, ouvra ses portes vers 1920 à l'embouchure de la Grande rivière de la Baleine (Laforte & Denton 1990 : 56). Les installations du poste étaient situées légèrement à l'ouest des bâtiments de la Compagnie de la Baie d'Hudson. Un camp temporaire aurait été établi avant de construire des bâtiments. Ce poste aurait été racheté par la Compagnie de la Baie d'Hudson vers les années 1930 lors de l'acquisition de la Compagnie Revillon Frère par cette dernière (Laforte & Denton 1990 : 56).

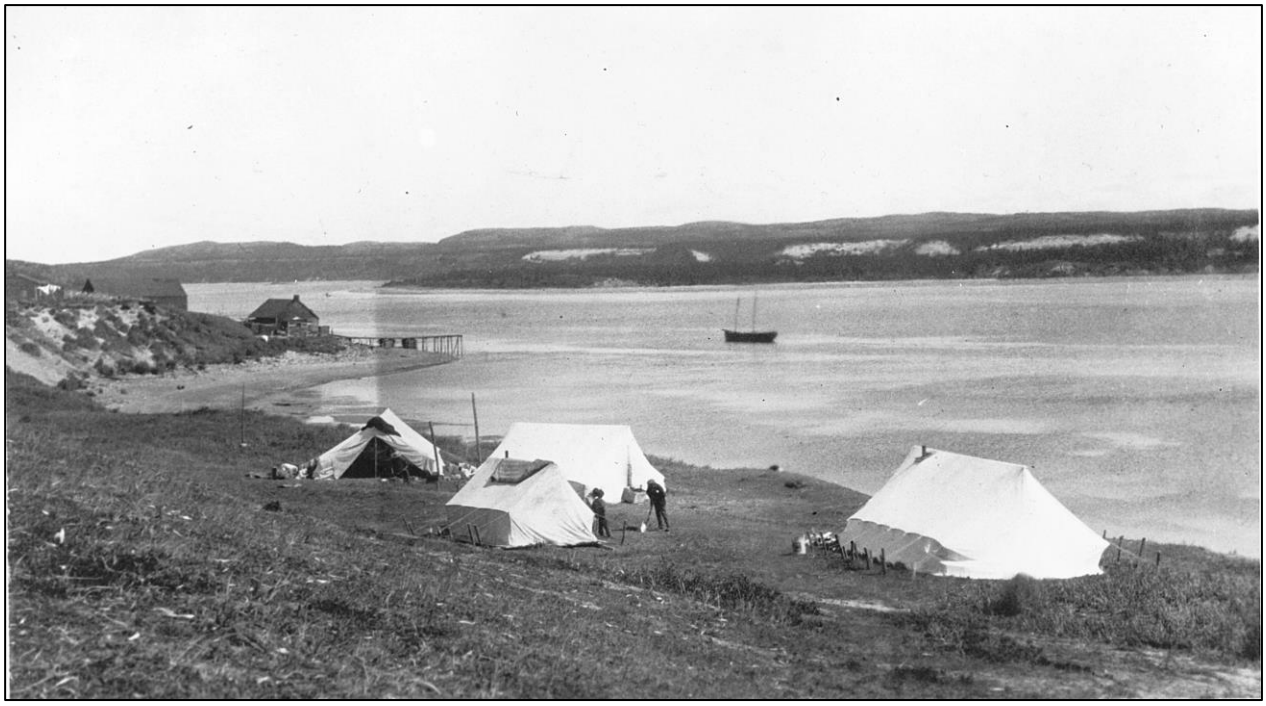


Figure 7 : Photographie de 1922 ; *Establishing preliminary camp at Great Whale River, Revillon Frères, QC, 1922* (MNCS collection en ligne).

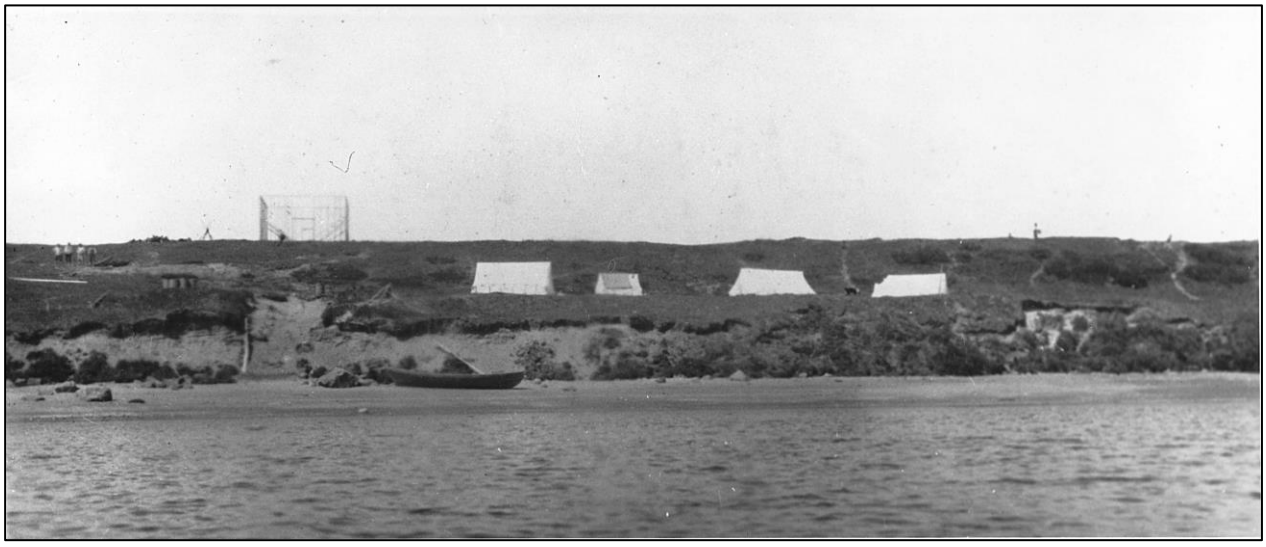


Figure 8 : Photographie de 1921; *Temporary camp, Revillon Frères, Great Whale River, QC, 1921* (MNCS collection en ligne).

Par la suite, vers les années 1960, le poste de la Compagnie de la Baie d'Hudson fut totalement dédié à la vente de produits dans la communauté (Archives de la Compagnie de la Baie D'hudson : Archives of Manitoba | Keystone Archives Descriptive Database (minisisinc.com)).

Une mission fut également établie dans les environs du poste de traite à la fin du XIXe siècle. Le Revérand William G. Walton, connu sous le nom de «Reindeer Walton» fut probablement un des premiers missionnaires à s'établir de manière permanente au poste de la Grande rivière de la Baleine (Robinson 2016). Ce dernier représentait l'Église Anglicane et se serait établi au poste vers 1893 (Robinson 2016 : 26).

Une chapelle, l'église Saint-Edmond, aurait été construite vers 1891 d'après les informations mentionnées sur sa plaque commémorative. Elle était située à proximité des bâtiments du poste de traite. Cette dernière est d'ailleurs toujours présente dans la communauté.



Figure 9 : Photographie de 1920; *Hudson's Bay Company post at Great Whale River, Quebec, 1920* (MNCS collection en ligne).

Une photographie aérienne illustre le poste en 1949. On remarque que très peu de bâtiments sont présents et que quelques familles ont installé leur tente à proximité du poste.



Figure 10 : Photographie aérienne de 1949; *Aerial view of Kuujjuarapik (formerly Great Whale River), Quebec* (BAC)

Plusieurs sources consultées mentionnent l'établissement d'une base militaire au poste de la Baleine dans les années 1940, mais aucune source primaire n'a permis de confirmer l'existence de cette base. L'extrait de la photographie aérienne *A14176_085* de 1954 laisse présumer qu'il n'y avait pas de base à proximité de l'emplacement actuel de la communauté. On remarque également le futur site de la carrière situé au nord-est.



Figure 11 : Extrait de la photographie aérienne de 1954; *A14176_085* (PNA). La zone expertisée se situe approximativement dans l'encadré rouge.

En 1955, dans le contexte de la guerre froide, une base militaire incluant un radar et une piste d'atterrissage fut érigée dans la communauté. La construction de cet établissement fut complétée dans la cadre de la mise en place de la ligne de radar qui ceinturait le pays au 55e parallèle appelé la «Mid-Canada Line» ou la «McGill Fence» par l'Aviation royale canadienne (Lajeunesse 2007). Cette ligne de radar avait pour but de complémenter l'efficacité des deux lines de radars, la *DEW Line* et la *Pinetree Line*, qui étaient déjà en place à cette époque (Lajeunesse 2007 : 56). La *Mid-Canada line* était constituée de 90 stations de radar mineures et sans personnel permanent en plus de 8 stations de surveillance avec personnel en place. La station de surveillance basée dans la communauté de Kuujjuarapik-Whapmagoostui était connue sous le nom de *«Sector Control Station (SCS) – 400 Great Whale River»* (Castonguay 2009 : 19-20*)*. La station aurait été opérationnelle dès 1957 et ferma en 1965 (Castonguay 2009 : 64-65). La construction et la maintenance de cet établissement forcèrent bien des familles à se sédentariser dans les environs. Toutefois, il semblerait que, bien que la construction de la station de radar fût terminée dès 1957, la construction de résidences pour les membres de la communauté débuta bien après l'établissement de la base aérienne comme le démontrent plusieurs clichés de 1957.



Figure 12 : Extrait de la photographie de 1957; *Inuit housing near RCAF Station Great Whale River at Nunavik, Quebec* (R4399-12-3-E) (BAC).

Les membres de la communauté vivaient toujours dans des tentes et même en plein hiver alors que des bâtiments de style baraque militaire étaient localisés à proximité de la base militaire.



Figure 13 : Extrait de la photographie de 1956; *Inuit women and child at RCAF Station Great Whale River, Nunavik, Quebec* (R4399-12-3-E,) (BAC).

L'extrait de la photographie aérienne *R1231_078* de 1959 saisit la communauté à cette époque. On remarque que la base aérienne semble être le centre de la communauté et qu'à l'extérieur du périmètre de la base, très peu de bâtiments ont été érigés. On remarque que le site de la future carrière n'est pas encore exploité.



Figure 14 : Extrait de la photographie aérienne de 1959; *R1231_078* (MTMD BDPA). La zone expertisée se situe approximativement dans l'encadré rouge.

En 1965, les installations aériennes furent transférées au gouvernement du Québec lors de la fermeture de la station radar *«Sector Control Station (SCS) – 400» Great Whale River*.

Une photographie aérienne (*Q75123_50*) datée de 1977 illustre le noyau du village en marge de la piste d'atterrissage. Le site de la carrière ne semble pas encore exploité.



Figure 15 : Extrait de la photographie aérienne de 1977; *Q75123_50* (MTMD BDPA). La zone expertisée se situe approximativement dans l'encadré rouge.

Le site de la carrière ne semble pas exploité. Un cliché aérien de 1992 (*A31631_104)* ainsi qu'un deuxième de 2003 (*Q03200_166*) laissent présumer que la carrière n'était toujours pas exploitée lors de la décennie des années 1990 ni au début des années 2000.



Figure 16 : Extrait de la photographie aérienne de 1993; *A31631_104* (PNA). La zone expertisée se situe approximativement dans l'encadré rouge.



Figure 17 : Extrait de la photographie aérienne de 2003; *Q03200_166* (MTMD BDPA). La zone expertisée se situe approximativement dans l'encadré rouge.

L'aire de carrière 7410-10-01-8505 aurait été cédée au MTMD en 2019.

5 Résultats

5.1 Description de la zone d'inventaire

Comme mentionné précédemment, le projet consiste en des travaux d'agrandissement des limites de la carrière 7410-10-01-8505 afin de pouvoir l'exploiter de nouveau dans le cadre de projet de rechargement de la piste d'atterrissage et autres opérations de maintenance des routes dans la communauté. La zone sujette à l'agrandissement se situe de part et d'autre des limites de la carrière actuelle (Figure 18).

La zone d'inventaire archéologique couvre la totalité de la zone sujette à l'agrandissement, mais ne comprend pas la superficie de la carrière existante ni du terrain assujetti au bail en cours (bail BEX-1667). En tout, un secteur d'environ 26 770 m^2 fut expertisé.

La zone d'intervention se limitant aux abords de la carrière actuelle, celle-ci était donc constituée de terrain abrupt où la roche mère affleurait à plusieurs endroits en plus de quelques zones de terrasse assez plates situées dans la portion sud de la zone d'inventaire en plus d'un secteur assez bas en altitude constitué de terrain sablonneux localisé à proximité d'une sablière active.

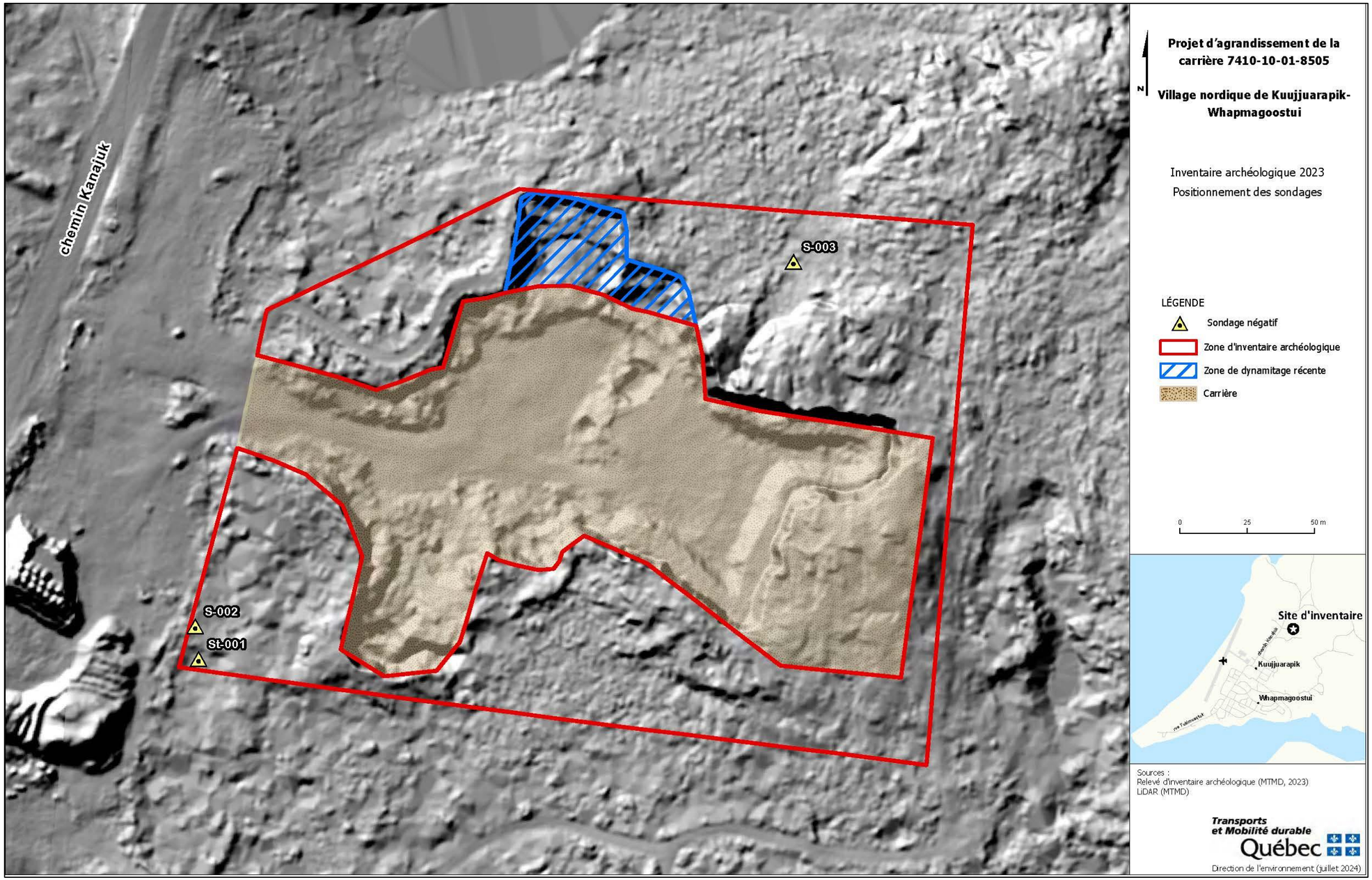


Figure 18 : Vue générale de la zone d'inventaire archéologique avec de la localisation de chaque sondage (Le sondage S-004 se situe au même emplacement que le sondage S-003).

5.2 Résultats

L'intervention sur le terrain fut réalisée entre le 28 août et le 2 septembre 2023. L'équipe était composée d'une responsable d'intervention ainsi que d'une technicienne de fouille. Les conditions météorologiques lors de l'inventaire étaient bonnes, composées de périodes d'ensoleillement et d'ennuagement avec faible pluie, et donc favorables à la réalisation d'une expertise archéologique.

En tout premier temps, toute la zone d'intervention fut sujette à une inspection visuelle afin de vérifier la présence d'artéfact ou de vestige au sol et de zones qui ne recèleraient pas de potentiel archéologique.

Plusieurs secteurs incluant des zones en pente très abrupte et des aires où le terrain était très accidenté et parsemé de blocs angulaires de grande dimension furent observés et considérés comme des zones d'exclusions (photo 154-60-1115_173). La majorité de ses secteurs se trouvaient dans les quadrants sud-ouest et nord-ouest de la zone d'inventaire.



Figure 19 : Vue générale du terrain accidenté avec présence de blocs angulaires dans les limites de la ZIA. (cliché 154-60-1115_173)

De plus, l'inspection visuelle a permis de localiser des zones où des perturbations récentes des sols avaient eu lieu. Dans le quadrant sud-est, plusieurs zones d'arasement des sols, probablement dans le but de créer des chemins d'accès temporaires (photo 154-60-1115_035) et pour éclaircir la végétation (photo 154-60-1115_038), furent observées. Une inspection sommaire des dépôts de sols arasés n'a pas permis d'observer aucun artefact hors contexte dans la pile de sédiments.



Figure 21 : Secteur d'arasement des sols pour création de chemin d'accès (cliché 154-60-1115_035)



Figure 20 : Secteur d'arasement des sols (cliché 154-60-1115_038)

L'inspection a également permis de constater qu'une partie de la zone limitrophe de la carrière actuelle située dans le quadrant nord-ouest de la zone d'intervention avait déjà été dynamitée avant notre arrivée (photo 154-60-1115_080).



Figure 22 : Zone de dynamitage récent dans les limites de la ZIA (cliché 154-60-1115_080)

Un chemin d'accès qui longeait la limite nord de la carrière était également présent (photo154-60-1115_218).



Figure 23 : Chemin d'accès en bordure de la carrière (cliché 154-60-1115_218).

Ces zones d'exclusions furent documentées par le biais d'un registre photographique.

Aucun témoin archéologique ou vestige ne fut observé lors de l'inspection visuelle.

Certaines zones considérées comme à fort potentiel en se basant sur la topographie du terrain, mais qui n'étaient pas propices à la réalisation de sondages, furent inspectées à nouveau, mais avec plus de minutie. Celles-ci incluaient un champ de blocs situé dans le quadrant nord-est (photo 154-60-1115_059) et plusieurs zones où la roche-mère affleurait, mais qui présentait une terrasse plate dans les quadrants sud-est et sud-ouest (photo 154-60-1115_029).



Figure 24 : Champ de blocs situé dans le quadrant nord-est (cliché 154-60-1115_059).



Figure 25 : Zone de terrasse (cliché 154-60-1115_029).

À l'exception d'une dépression circulaire située dans le champ de blocs, aucun indice potentiel d'occupation des lieux ou vestiges ne fut observé.

À la suite de l'inspection visuelle, toutes les aires propices à la réalisation de sondages manuels furent expertisées par le biais de cette méthode. Considérant l'étendue des zones d'exclusions en plus des secteurs à potentiel, mais où la roche affleurait, seule une très petite zone qui se limitait à l'extrémité sud-ouest de la zone d'inventaire fut sujette à la réalisation de sondage. Le sous-sol de cette zone était constitué de reliquats d'un ancien littoral associé à la mer de Tyrell.

Un seul sondage test fut excavé (St-001). La stratigraphie observée comprenait une séquence d'horizons podzoliques en place (photo 154-60-1115_198).



Figure 26 : Vue du profil sud du sondage test ST-001 (cliché 154-60-1115_198).

Plus précisément, la stratigraphie était composée d'une première couche (lot 1) assez homogène composée d'un dépôt sablonneux fin brun-jaunâtre meuble avec quelques inclusions telles que des racines et reliquat de racines décomposées en plus d'une lentille (1a) de limon organique noirâtre très meuble. S'en suivit une couche (lot 2) homogène constituée de sédiment sablonneux blanchâtre «lessivés» assez meuble correspondant à un horizon éluvial (Ae) avec quelques racines comme inclusion. Plusieurs lentilles successives (2a à 2d) constituées de limon organique noirâtre semi-compact furent observées à la base du lot 2. Sous-jacent à cette dernière, le lot trois correspondait à un horizon (B) composé de sédiment sablonneux fin brun-rougeâtre semi-compact avec concentration de sable fin jaunâtre clair. La quatrième couche observée (lot 4) était constituée de sable brun-rougeâtre et compact. Finalement, une mince couche (lot 5) constituée de sable brun foncé compact assez humide couvrait le roc.

La roche mère fut atteinte à une profondeur d'environ 75 cm.

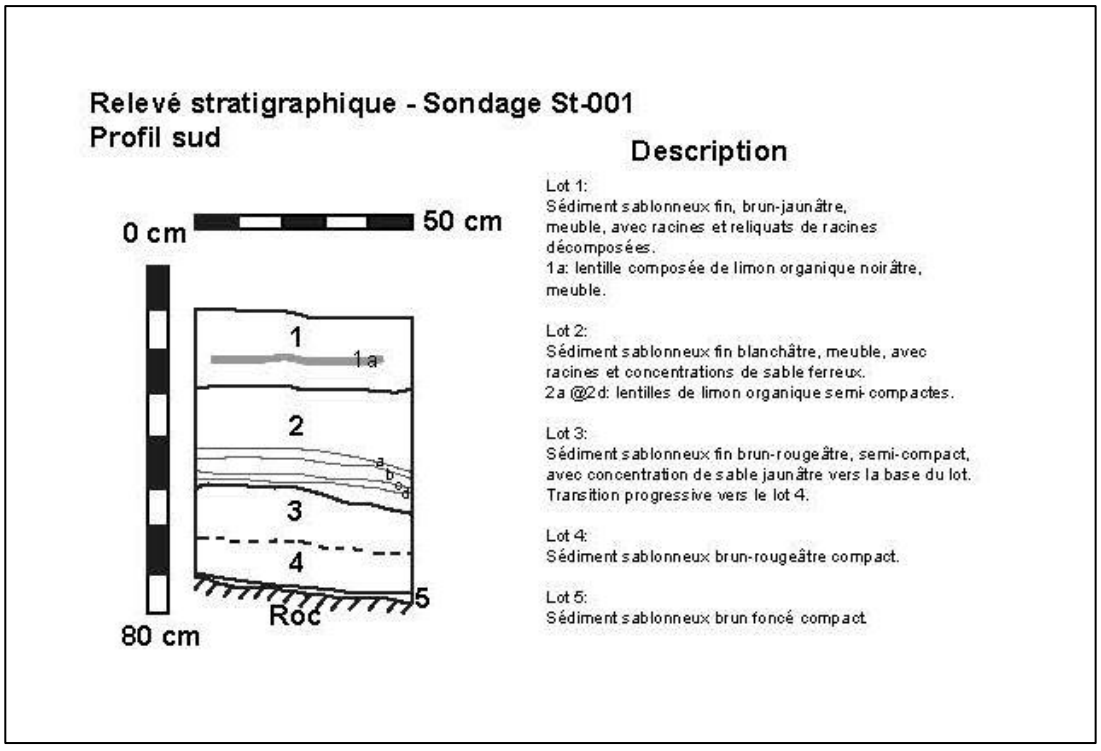


Figure 27 : Relevé stratigraphique du sondage test St-001, profil sud.

Un deuxième sondage (S-002) fut réalisé au nord du sondage test. Le roc fut atteint à une profondeur d'environ 10 cm et seul un horizon de litière fut observé (photo 154-60-1115_171).



Figure 28 : Vue en plan du sondage test S-002 (cliché 154-60-1115_171).

Finalement, deux autres sondages (S-003 et S-004) furent effectués dans la zone du champ de blocs qui se situait dans le quadrant nord-est. Les sondages furent creusés dans une dépression circulaire couverte de mousse, mais qui ne présentait pas d'élément typique de vestige de cercle de tente tel que des pierres en bordure afin de s'assurer qu'il ne s'agissait pas d'une structure anthropique (cliché 154-60-1115_209).



Figure 29 : Vue générale de la dépression circulaire située dans le champ de blocs (cliché 154-60-1115_209).

L'excavation des sondages a permis de confirmer que la dépression circulaire n'était pas de nature anthropique. Du lichen et de la mousse recouvraient un horizon de pierres circulaires.

Aucun artefact ni vestige ne fut observé lors de la réalisation des sondages.

5.3 Interprétation

L'inventaire archéologique n'a pas permis la mise à jour de témoins archéologiques.

L'inspection visuelle préliminaire a permis de circonscrire plusieurs zones à fort potentiel, mais qui n'étaient pas propices à la réalisation de sondage. Une seconde inspection visuelle sur ces aires de terrasse sur la roche affleurante en plus du champ de bloc fut réalisée, mais aucun signe d'occupation ni de témoins archéologiques ne fut observé.

Pour ce qui est des sondages, l'intervention sur le terrain a permis de confirmer que très peu de secteurs étaient en fait propices à la réalisation de sondages. Seule une petite zone située à l'extrémité sud-ouest de la zone d'inventaire a pu être expertisée par le biais de cette méthode. La stratigraphie observée présentait une séquence d'horizons podzoliques. Aucun signe d'occupation antérieur des lieux ne fut observé.

Une brève visite effectuée le 30 août 2023 sur les lieux du site «Poste-de-la-Baleine» (GhGk-63) témoignant d'une occupation dorsétienne a permis de constater que, bien que la topographie soit assez comparable avec le site de l'agrandissement de la carrière, les zones de terrasses représentant une topographie plate et donc favorable à l'occupation humaine étaient beaucoup plus vastes que les secteurs observés dans les limites de la zone d'inventaire. On peut donc présumer que le site de la carrière aurait été moins favorisé comme lieux d'établissement.

L'intervention sur le terrain a également permis de constater à quel point le secteur visé par l'agrandissement de la carrière avait été affecté par des interventions humaines assez récentes. Des chemins d'accès en plus de larges secteurs arasés furent observés principalement dans le quadrant sud-est. L'arasement des sols semblait récent et assez important pour présumer qu'il aurait engendré la destruction de site archéologique potentiel. Toutefois, aucun témoin archéologique n'a été observé dans les dépôts de sol arasé, réduisant donc la possibilité qu'un site ait pu être situé dans les limites des sols perturbés.

De plus, il a été possible de constater à quel point les aires limitrophes à la carrière existante étaient jonchées de blocs de granite angulaire de grande dimension (> 0,5 m). Il est possible de présumer que les épisodes de dynamitage effectués dans la carrière ont pu générer la présence de ces blocs au sol en raison des explosions qui auraient projetées ces blocs. La présence de ces blocs aurait également pu avoir des impacts sur des sites potentiels. Toutefois, la topographie naturelle relativement accidentée en plus du couvert forestier très dense constitué d'aulnes, réduit de manière significative les risques de découverte archéologique dans les limites de ces aires, car, somme toute, ce genre d'environnement n'est pas favorable à l'occupation humaine.

6 Conclusion et recommandations

L'inventaire archéologique réalisé entre le 28 août et le 2 septembre 2023 dans le cadre du projet d'agrandissement de la carrière 7410-10-01-8505 exploitée par le MTMD située dans le village nordique de Kuujjuarapik-Whapmagoostui dans la région administrative du Nord-du-Québec sur des terres conventionnées selon les accords de la CBJNQ de catégorie I fut complété par le biais d'une inspection visuelle sur toute la zone à inventorier en plus de l'excavation manuelle de sondages.

L'intervention a permis n'a pas permis la mise à jour d'artefacts et aucun indice de présence de témoin archéologique ne fut observé.

Plusieurs secteurs dans les limites de la zone d'inventaire furent considérés comme perturbés ou à faible potentiel. Les aires propices à l'occupation humaine étaient donc réduites au champ de blocs ainsi que les secteurs en terrasse plats où la roche mère affleurait. Ces aires furent minutieusement inspectées et un sondage fut réalisé dans le champ de blocs, toutefois, les résultats de l'intervention s'avérèrent négatifs.

Seule une zone très limitée située à l'extrémité sud-ouest de la ZIA fut jugée propice à la réalisation de sondages. Deux sondages y furent réalisés. La stratigraphie relevée présentait une séquence d'horizon podzolique. Aucun témoin archéologique ni signe d'occupation ne fut observé. Deux autres sondages furent réalisés dans le champ de blocs dans les limites d'une dépression circulaire. Ils furent également considérés comme négatifs.

En conclusion, les résultats de l'inventaire archéologique n'ont pas permis la découverte de témoins archéologiques significatifs et ont démontré que les risques de découverte fortuite lors de l'exploitation future du site sont faibles. Par conséquent, la poursuite des travaux est recommandée sans contrainte du point de vue de l'archéologie.

7 Bibliographie

Allard, M. et Seguin, K., M.

1985 La déglaciation d'une partie du versant hudsonien québécois: bassins des rivières Nastapoca, Sheldrake et à l'Eau Claire. *Géographie physique et Quaternaire, 39*(1), 13-24.

Aménatech

1984 *Étude de potentiel archéologique. Aire d'étude du village de Povungnituk. Réfection des infrastructures aéroportuaires*. Étude de potentiel archéologique, Sherbrooke, MTQ.

1984b *Analyse des données des sites archéologiques de la région de la Grande rivière de la Baleine*. Rapport archéologique, Sherbrooke, MAC.

1984k *Prehistoric Inuit archaeology in Québec and adjacent regions, a review and assessment of research perspectives.* Rapport archéologique, Sherbrooke, MAC.

Appelt, M., Damkjar, E. et Friesen, M., T.

2016 Late Dorset. Dans T. M. Friesen et O. W. Mason (dir.), *The Oxford Handbook of the Prehistoric Arctic* (p. 783-806). New York, Oxford University Press.

Archéotec

1977 *Complexe de la Grande Rivière de la Baleine: Étude de l'utilisation préhistorique, historique et contemporaine du territoire par les autochtones de Poste-de-la-Baleine*. Rapport préliminaire, Montréal, Hydro-Québec, Environnement.

1978b *Étude de l'utilisation préhistorique, historique et contemporaine du territoire par les autochtones de Poste-de-la-Baleine.* Rapport archéologique. Montréal, Hydro-Québec, Environnement.

1980d *Complexe de la Grande rivière de la Baleine, route LG-2/GB-1, tronçon GB-1 à Poste-de-la-Baleine, inventaire archéologique.* Rapport archéologique, Montréal, Hydro-Québec, Environnement.

1981b *Complexe de la Grande rivière de la Baleine, inventaire archéologique, 1981*. Hydro-Québec, Environnement, rapport inédit, 199 p.

1982 *Complexe de la Grande rivière de la Baleine, fouilles archéologiques des sites GhGk-20, GfGe-1, GfFo-1*. Hydro-Québec, Environnement, rapport inédit, 338 p.

Arkéos

1991b *Complexe Grande-Baleine, avant-projet phase II, segment Grande-Baleine-I/Poste-de-la-Baleine, interventions ethnohistoriques et archéologiques, 1989.* Rapport archéologique. Montréal, Hydro-Québec, Environnement.

1992c *Inventaire, fouilles et relevés archéologiques, segment Grande-Baleine-1/Kuujjuarapik-Whapmagoostui, modifications de tracé*. Hydro-Québec, Environnement, rapport inédit, 86 p.

Avataq

1987 *Archaeological Survey of the Proposed Solid Waste Disposal Sites in the Municipalities of Kuujjuarapik and Quaqtaq, Northern Québec*. Administration régionale Kativik, rapport inédit, 27 p.

1988e *Archaeological survey of residential construction lots in the municipality of Kuujjuarapik, Nunavik.* Société d'habitation du Québec, rapport inédit, 11 p.

1990 *Complexe Grande-Baleine, interventions archéologiques.* Rapport archéologique. Hydro-Québec, Environnement.

Avataq
1991a *Archaeological salvage excavation of the GhGk-63 site, 1990, Kuujjuarapik, Nunavik.* Rapport archéologique. Municipalité de Kuujjuarapik.
1992c *Archaeological salvage excavation of the GhGk-63 site, 1991, Kuujjuarapik, Nunavik*. Rapport archéologique. Municipalité de Kuujjuarapik.
2004 *Interventions archéologiques dans la région de Kangirsujuaq, Nunavik, à l'été 2003.* Rapport archéologique. MCCQ.
2005 *Inventaire archéologique dans la région du Lac Guillaume-Delisle*. Administration Régionale Kativik, rapport inédit, 39 p.
2007 *État des connaissances. Région du Lac Guillaume-Delisle*. Administration Régionale Kativik, 153 p.

Brouard, E., Roy, M., Dubé-Loubert, H., Hébert, S, Lamarche, O.
2023 *Carte glaciaire de la province de Québec et synthèses régionales.* Ministère de l'Énergie et des Ressources naturelles du Québec, 1-70.

Castonguay, J.
2009 *Un trou de mémoire : la guerre froide au Québec et dans le Grand Nord canadien*. Carte Blanche, Outremont, 118 p.

Cérane
1984 *Occupations préhistoriques, historiques et contemporaines de la région de Washadimi, réservoir de LG2, Baie James: deux millénaires d'archives archéologiques*, Rapport synthèse, Québec, MAC.

Dufous, J.
1996 Le projet Grande-Baleine et l'avenir des peuples autochtones au Québe. *Cahiers de géographie du Québec, 40*(110), 133-252.

Dyke, S., A., Savelle, M., J. et Johnson, S., D.
2011 Paleoeskimo Demography and Holocene Sea-level History, Gulf of Boothia, Arctic Canada. *Arctic Institute of North America, 64*(2), 151-168.

Desrosiers, M., P. et Gendron, D.
2004 The GhGk-63 site: A Dorset Occupation in Southeastern Hudson Bay, Nunavik. *Journal canadien d'archéologie/Canadian Journal of Archaeology, 28*(1), 75-99.
2006 Étude de la production d'outils en schiste dorsétiens et thuléens au Nunavik, Hypothèses préliminaires sur les schémas techniques. Dans Archeopress (dir.), *Préhistoire de l'Amérique. Actes du XIV^{e} congrès de l'UISPP* (p. 79-89). Oxford, British Archaeological Reports.

Desrosiers, M., P. et Rahmani, M.
2003 Analyse spatiale et architecturale du site dorsétien GhGk-63 (Kuujjuarapik, Nunavik). *Études/Inuit/Studies,27*(1-2), 131-153.

Fitzhugh, W.
1972 *Environmental archeology and cultural systems in Hamilton Inlet, Labrador, a survey of the central Labrador coast from 3000 B.C. to the present.* Washington, Smithsonian Institution Press.

Francis, D. et Morantz, T.
1983 *Partners in Furs. A history of the Fur Trade in Eastern James Bay.* Kingston and Montréal, McGill-Queen's University Press.

Friesen, M., T.
2015 On the Naming of Arctic Archaeological Traditions: The Case for the Paleo-Inuit. *Arctic,* 68(3), iii-iv.
2016 Pan- Arctic Population Movements: The Early Paleo- Inuit and Thule Inuit Migrations. Dans T. M. Friesen et O. W. Mason (dir.), *The Oxford Handbook of the Prehistoric Arctic* (p. 673-691). New York, Oxford University Press.

Friesen, M., T. et Arnold,
2008 The Timing of the Thule Migration: New Dates from the Western Canadian Arctic. *American Antiquity, 73*(3), 527-538.

Friesen, M., T. et Mason, K., O.
2016 Introduction: Archaeology of the North American Arctic. Dans T. M. Friesen et O. W. Mason (dir.), *The Oxford Handbook of the Prehistoric Arctic* (p. 1-24). New York, Oxford University Press.

Gosselin, A., Plumet, P., Richard, P. et Salaün, J. P.
1974 *Recherches archéologiques et paléo-écologiques au Nouveau-Québec*. UQAM, Paléo-Québec 1, 79 p.

Harp, E., Jr.
1967 *Progress report on NSF GS-1216, entitled: The application of advanced technology and interpretation to a problem in Artic archaeology (rapport d'activités, été 1967).* Rapport archéologique, Hanover (N.H.), Darmouth College.
1972 *Progress report on NSF GS-2915 and general continuation of operations under GS-1216, entitled : Archaeological investigations on the east of Hudson Bay.* Darmouth College, Hanover (New Hampshire), Département d'anthropologie, rapport inédit, 21 p.

Hillaire-Marcel, C.
1976 La déglaciation et le relèvement isostatique sur la côte est de la baie d'Hudson. *Cahiers de géographie de Québec*, 20(50), 185-220.

Hydro-Québec
1982 *Complexe Grande Baleine. Analyse des répercussions. Document d'appui no 5. L'utilisation préhistorique, historique et contemporaine du territoire par les autochtones de Poste-de-la-Baleine*. Montréal, Hydro-Québec, Environnement.

Laforte,E., Morneau, F., Roy, D. et Dumont, J.
1993 *Infrastructure aéroportuaire des villages de Kuujjuarapik et Whapmagoostui, inventaire archéologique*. MTQ, Environnement, rapport inédit, 50 p.

Laforte, E. et Denton, D.
1990 *Infrastructures aéroportuaires des villazes de Kuujjuarapik et Whapmagoostui. Synthèse des données archéologiques et de l'utilisation du territoire.* Rapport synthèse, Québec, MTQ, rapport inédit, 89 p.

Laframboise,C.
2001 Paleoenvironnements holocènes dans la région de Whapmagoostui-Kuujjuarapik sur la *côte est de la baie d'Hudson*. Mémoire de maîtrise, Québec, Université Laval, 107 pages.

Lajeunesse,A.
2007 The Distant Early Warning Line and the Canadian Battle for Public Perception. *Canadian Military Journal, 8*(2), 51-59.

Lavoie, C.
2006 *Géomorphologie et quaternaire du lac Guillaume-Delisle (Nunavik), Canada.* Thèse de doctorat, Québec, Université Laval.

McKenzie, P.
1971a *Apaque 70 ou archéologie par photo aérienne au Nouveau-Québec*. MAC, rapport inédit, 109 p.

Milne, S.B. et Park, W., R.
2016 Pre-Dorset Culture. Dans T. M. Friesen et O. W. Mason (dir.), *The Oxford Handbook of the Prehistoric Arctic* (p. 807-826). New York, Oxford University Press.

Park, W., R.
2016 The Dorset- Thule Transition. Dans T. M. Friesen et O. W. Mason (dir.), *The Oxford Handbook of the Prehistoric Arctic* (p. 807-826). New York, Oxford University Press.

Patrimoine Experts
2000f *Inventaires archéologiques, Direction de l'Abitibi-Témiscamingue - Nord-du-Québec*. MTQ, rapport inédit, 39 p.

Payette, S., Fortin, M-J. et Gamache, I.
2001 The Subarctic Forest-Tundra : The Structure of a Biome in a Changing Climate. *BioScienc*e, 51 (9), 709-718.

Plumet, P.
1976 Archéologie du Nouveau-Québec: habitats paléoesquimaux à Poste-de-la-Baleine, *Recherches autochtones au Québec, coll. Paléo-Québec* (7), Québec, Centre d'études nordiques de l'Université Laval.
1980 Essai d'analyse descriptive: Les témoins façonnés pré-dorsétiens de Poste-de-la- Baleine, (1975), *Recherches autochtones au Québec, coll. Paléo-Québec* (12), Montréal, UQAM.
1985 Archéologie de l'Ungava: Le site de la Pointe aux Bélugas (Qilalugarsiuvik) et les maisons longues dorsétiennes, *Recherches autochtones au Québec, coll. Paléo-Québec* (18), Montréal, UQAM.

Robinson, L.
2016 *William G. «Reindeer» Walton and the Face of Adversity in Canada's North, 1892-1920*. Mémoire de maîtrise, Sudbury, Laurentian University, 69 pages.

Ryan, K.
2016 The "Dorset Problem" Revisited: The Transitional and Early and Middle Dorset Periods in the Eastern Arctic. Dans T. M. Friesen et O. W. Mason (dir.), *The Oxford Handbook of the Prehistoric Arctic* (p. 761-781). New York, Oxford University Press.

Savelle, M., J. et Dyke, S., A.
2002 Variability in Palaeoeskimo Occupation on South- Western Victoria Island, Arctic Canada: Causes and Consequences. *World Archaeology,33*(3), 508– 522.

Seguin, J.
1985 *La synthèse archéologique et ethnohistorique du complexe La Grande,* Rapport synthèse, Administration régionale crie, SÉBJ.

Trudel, F.
1989 Les Inuit de l'est de la baie d'Hudson et la traite à Fort-George (1837- 1851), *Études/Inuit/Studies,13*(2), 3-32.

Voorhis, E.
1930 *Historic forts and trading posts of the French régime and of the English fur trading companies*. Département de l'Intérieur, Ottawa, 188 p.

Whitridge, P.
2016 Classic Thule [Classic Precontact Inuit]. Dans T. M. Friesen et O. W. Mason (dir.), *The Oxford Handbook of the Prehistoric Arctic* (p. 827-849). New York, Oxford University Press.

Références électroniques

Archives de la Compagnie de la Baie d'Hudson, Archives de la Compagnie de la Baie d'Hudson | Archives du Manitoba (gov.mb.ca), consulté en novembre 2022 et en juillet 2024.

Bibliothèque et Archives nationales du Québec (BAnQ numérique), Accueil | BAnQ numérique, consulté en novembre 2022 et en juillet 2024.

Bibliothèque et Archives Canada (BAC), Bibliothèque et Archives Canada, consulté en novembre 2022 et en juillet 2024.

Commission de toponymie, Commission de toponymie (gouv.qc.ca), consulté en novembre 2022

Inventaire des sites archéologiques du Québec (ISAQ), Ministère de la culture et des communications, Ministère de la Culture et des Communications (gouv.qc.ca) , consulté en novembre 2022 et en juillet 2024.

Ministère des Transport et de la Mobilité durable, *Portail Géotechnique,* consulté en novembre 2022 et en juillet 2024.

Ministère des Transport et de la Mobilité durable, *Banque de données sur les photographies aériennes (*BDPA), novembre 2022 et en juillet 2024

Musée McCord Stewart Montréal **(**MNCS collection en ligne)**,** Collections en ligne | Musée McCord - Musée d'histoire sociale de Montréal (musee-mccord-stewart.ca), consulté en novembre 2022 et en juillet 2024

Photothèque national de l'air, Ressources naturelles Canada**,** Photothèque nationale de l'air (canada.ca)**,** consulté en novembre 2022 et en juillet 2024

Répertoire du patrimoine culturel du Québec (RPCQ), Ministère de la culture et des communications, Répertoire du patrimoine culturel du Québec (gouv.qc.ca), consulté en novembre 2022 et en juillet 2024.

Ressources naturelles Canada, carte *Posts of the Canadian Fur Trade*, disponible en ligne *:* Fur Trade Stories, consulté en juillet 2024.

ANNEXE 1 – Catalogue photographique

Catalogue photo : Inventaire archéologique 2023 / Projet d'agrandissement de la carrière 7410-10-01-8505 dans le village nordique de Kuujjuarapik-Whapmagoostui

Camera: FUJIFILM, Finepix XP140 (Denv)			
Numéro de cliché	**Description**	**Orientation (vers)**	**Date**
154-60-1115_001	Vue générale de l'accès à la carrière.	S-E	29-août-23
154-60-1115_002	Vue générale de l'accès à la carrière.	S-E	29-août-23
154-60-1115_003	Vue détaillée du couvert forestier dans le quadrant S-O.	N-E	29-août-23
154-60-1115_004	Vue détaillée d'une zone d'exclusion en pente et de son couvert forestier dense dans le quadrant S-O.	Sud	29-août-23
154-60-1115_005	Vue détaillée du couvert forestier dense dans le quadrant S-O.	Ouest	29-août-23
154-60-1115_006	Vue détaillée du couvert forestier dense et de l'affleurement rocheux dans le quadrant S-O.	Nord-ouest	29-août-23
154-60-1115_007	Vue générale du couvert forestier dans le quadrant S-O.	Est ?	29-août-23
154-60-1115_008	Vue générale du couvert forestier et du secteur en pente dans le quadrant S-O.	Est ?	29-août-23
154-60-1115_009	Vue détaillée du couvert forestier et du secteur en pente dans le quadrant S-O.	Est ?	29-août-23
154-60-1115_010	Vue détaillée de l'affleurement rocheux et du secteur en pente dans le quadrant S-O.	Nord-ouest ?	29-août-23
154-60-1115_011	Vue détaillée des amas de blocs et du secteur en pente dans le quadrant S-O.	Nord-ouest ?	29-août-23
154-60-1115_012	Vue générale des amas de blocs et du secteur en pente dans le quadrant S-O.	E	29-août-23
154-60-1115_013	Chemin d'accès à la carrière (perturbations anthropiques) dans le quadrant S-E.	Nord	29-août-23
154-60-1115_014	Chemin d'accès à la carrière (perturbations anthropiques) dans le quadrant S-E.	Nord-est	29-août-23
154-60-1115_015	Perturbations anthropiques (déboisement) et affleurement rocheux sur la limite sud dans le quadrant S-E.	O	29-août-23
154-60-1115_016	Perturbations anthropiques (déboisement) et affleurement rocheux sur la limite sud dans le quadrant S-E.	N-O	29-août-23
154-60-1115_017	Vue générale de la carrière existante (limite sud) et du couvert forestier.	N	29-août-23
154-60-1115_018	Vue générale de la carrière existante et du couvert forestier.	N-O	29-août-23
154-60-1115_019	Vue générale de la carrière existante et du couvert forestier avec la baie d'Hudson en arrière-plan.	N-O	29-août-23
154-60-1115_020	Vue générale de la carrière existante et du couvert forestier dans le quadrant S-E.	N-O	29-août-23
154-60-1115_021	Vue générale de la topographie dans le quadrant S-E, zone en pente et de l'affleurement rocheux	N-E	29-août-23
154-60-1115_022	Vue générale de la topographie dans le quadrant S-E, zone en pente et de l'affleurement rocheux.	N-E	29-août-23
154-60-1115_023	Vue générale du quadrant S-E, de l'affleurement rocheux, du secteur en pente et du couvert forestier dense.	N	29-août-23

154-60-1115_024	Vue générale du quadrant S-E, de l'affleurement rocheux, du secteur en pente et du couvert forestier dense.	N-O	29-août-23
154-60-1115_025	Vue générale du quadrant S-E et de l'affleurement rocheux.	N-E	29-août-23
154-60-1115_026	Vue générale du quadrant S-E, de l'affleurement rocheux et de l'accumulation d'eau dans les dépressions.	N	29-août-23
154-60-1115_027	Vue générale du quadrant S-E à partir du coin sud-est.	N-O	29-août-23
154-60-1115_028	Limite S-E de la ZIA.	S-O	29-août-23
154-60-1115_029	Vue générale de l'affleurement rocheux et zones de terrasse dans le quadrant S-E.	O	29-août-23
154-60-1115_030	Vue générale du quadrant S-E et de l'affleurement rocheux.	N	29-août-23
154-60-1115_031	Marquage de la limite est de la ZIA	N-E	29-août-23
154-60-1115_032	Vue générale du quadrant S-E et du couvert forestier.	O	29-août-23
154-60-1115_033	Vue générale montrant le chemin d'accès.	E	29-août-23
154-60-1115_034	Vue générale montrant le chemin d'accès (perturbation anthropique) dans les limites du quadrant S-E.	N-O	29-août-23
154-60-1115_035	Vue générale du quadrant S-E montrant des perturbations anthropiques (arasement des sols par la machinerie lourde).	S-O	29-août-23
154-60-1115_036	Vue détaillée des perturbations anthropiques (arasement des sols par la machinerie lourde et chemin d'accès).	S-O	29-août-23
154-60-1115_037	Vue générale de la zone d'arasement des sols à la limite Est de la ZIA.	N	29-août-23
154-60-1115_038	Vue générale de la zone d'arasement des sols à la limite Est de la ZIA.	S-E	29-août-23
154-60-1115_039	Vue générale du quadrant S-E, de l'affleurement rocheux, de l'accumulation d'eau dans les dépressions et des perturbations anthropiques.	O-S-O	29-août-23
154-60-1115_040	Vue générale du quadrant S-E, de l'affleurement rocheux, de l'accumulation d'eau dans les dépressions et des perturbations anthropiques.	O-S-O	29-août-23
154-60-1115_041	Vue générale du quadrant S-E, de l'affleurement rocheux, de l'accumulation d'eau dans les dépressions et des perturbations anthropiques.	O-S-O	29-août-23
154-60-1115_042	Vue détaillée des dépressions et de l'accumulation d'eau ainsi que des perturbations anthropiques.	O-S-O	29-août-23
154-60-1115_043	Vue détaillée de l'accumulation d'eau et des traces de machinerie lourde dans le quadrant S-E avec la baie d'Hudson en arrière-plan.	O-S-O	29-août-23
154-60-1115_044	Vue générale de la limite de la carrière existante (ruban sur la pierre) dans le quadrant N-E.	N-E	29-août-23
154-60-1115_045	Vue générale du secteur N-E de l'agrandissement, de la limite E de la carrière existante (ruban sur la pierre) et de la limite E de la ZIA (ruban sur l'arbuste).	S-E	29-août-23

154-60-1115_046	Vue générale de la carrière existante et de sa limite E (ruban sur la pierre) ainsi que de la limite E de la ZIA (ruban sur les arbustes) dans le quadrant N-E.	S-E	29-août-23
154-60-1115_047	Vue générale de la limite est de la carrière existante (ruban sur arbuste en premier plan) et de la limite E de la ZIA (rubans sur les arbustes en arrière plan).	S-E	29-août-23
154-60-1115_048	Vue générale de la limite est de la carrière existante (ruban sur arbuste en premier plan) et de la limite E de la ZIA (rubans sur les arbustes en arrière plan).	S-E	29-août-23
154-60-1115_049	Vue générale du quadrant N-E, de l'affleurement rocheux et de la zone en pente.	S	29-août-23
154-60-1115_050	Vue générale du quadrant N-E, de l'affleurement rocheux et de la zone en pente.	S	29-août-23
154-60-1115_051	Vue générale de la carrière, des blocs angulaires et de l'affleurement rocheux dans le quadrant N-E.	S-E	29-août-23
154-60-1115_052	Vue générale de la carrière dans le quadrant N-E de la ZIA, de l'affleurement rocheux et des blocs angulaires.	S-E	29-août-23
154-60-1115_053	Vue générale du quadrant N-E et de l'affleurement rocheux.	N	29-août-23
154-60-1115_054	Vue générale du quadrant N-E et de l'affleurement rocheux.	N	29-août-23
154-60-1115_055	Vue générale du quadrant N-E, de la limite N de la ZIA (ruban vert), de la topographie accidentée et de l'affleurement rocheux.	S-O	29-août-23
154-60-1115_056	Vue générale du quadrant N-E, de l'affleurement rocheux et du terrain accidenté.	S-O	29-août-23
154-60-1115_057	Vue générale du quadrant N-E, de l'affleurement rocheux et du terrain accidenté.	S-O	29-août-23
154-60-1115_058	Vue générale du quadrant N-E et de la limite N de la ZIA.	N	29-août-23
154-60-1115_059	Vue générale du champ de blocs dans le quadrant N-E.	E-S-E	29-août-23
154-60-1115_060	Vue détaillée de la dépression circulaire dans le champ de blocs situé dans le quadrant N-E.	-	29-août-23
154-60-1115_061	Vue générale du quadrant N-E, du terrain accidenté et du champ de blocs en arrière-plan.	E	29-août-23
154-60-1115_062	Vue générale de la limite N de la ZIA et du quadrant N-E.	S-E	29-août-23
154-60-1115_063	Vue générale de la ZIA dans le quadrant N-E et de la limite de la carrière indiquée par des blocs angulaires en arrière-plan.	S	29-août-23
154-60-1115_064	Vue générale de la carrière.	S-E	29-août-23
154-60-1115_065	Vue générale de la carrière, zone de dynamitage récent.	S-O	29-août-23
154-60-1115_066	Vue générale de la carrière, zone de dynamitage récent.	S-E	29-août-23
154-60-1115_067	Vue générale du couvert forestier et de la topographie en pente dans le quadrant N-O.	S-E	29-août-23
154-60-1115_068	Vue générale du couvert forestier et de la topographie en pente dans le quadrant N-O.	S-E	29-août-23
154-60-1115_069	Vue générale de la limite ouest de la zone dynamitée récemment incluant l'extrémité du chemin d'accès.	E	29-août-23
154-60-1115_070	Vue générale du chemin d'accès dans le quadrant N-O de la ZIA.	S-O	29-août-23

154-60-1115_071	Vue générale de la zone dynamitée recemment.	S-E	29-août-23
154-60-1115_072	Vue générale du quadrant N-O, du terrain en pente et de la végétation dense.	N-O	29-août-23
154-60-1115_073	Vue détaillée de la végétation dense dans le quadrant N-O.	N-O	29-août-23
154-60-1115_074	Vue détaillée de la végétation dense dans le quadrant N-O.	N-O	29-août-23
154-60-1115_075	Vue générale de la limite N-O de l'agrandissement de la carrière et chemin d'accès.	S-O	29-août-23
154-60-1115_076	Vue générale du chemin.	N-E	29-août-23
154-60-1115_077	Vue détaillée de la topographie et de la zone de pente vers le chemin d'accès dans le quadrant N-O.	E-S-E	29-août-23
154-60-1115_078	Vue générale de la topographie, des zones de pente et de l'affleurement rocheux dans le quadrant N-O.	N-O	29-août-23
154-60-1115_079	Vue générale du quadrant N-O de la ZIA, des affleurements rocheux et de la végétation dense.	O	29-août-23
154-60-1115_080	Vue générale de la zone de dynamitage récent au nord de la carrière. Le « X » sur la pierre indique la limite nord de la ZIA.	E	29-août-23
154-60-1115_081	Vue détaillée des affleurements rocheux dans le quadrant N-O de la ZIA.	N	29-août-23
154-60-1115_082	Vue générale de la carrière existante.	E	29-août-23
154-60-1115_083	Vue générale de la paroi nord de la carrière, zone de dynamitage récent.	N-E	29-août-23
154-60-1115_084	Vue générale de la paroi nord de la carrière, zone de dynamitage récent.	N-O	29-août-23
154-60-1115_085	Vue générale de la paroi nord de la carrière, zone de dynamitage récent.	N-E	29-août-23
154-60-1115_086	Vue générale de la paroi sud de la carrière.	S	29-août-23
154-60-1115_087	Vue générale de la paroi sud de la carrière.	S	29-août-23
154-60-1115_088	Vue générale de la paroi nord de la carrière avec l'agrandissement entamé en arrière-plan.	N	29-août-23
154-60-1115_089	Vue générale de la paroi nord de la carrière avec l'agrandissement entamé en arrière-plan.	N	29-août-23
154-60-1115_090	Vue générale du site GhGk-63.	O	30-août-23
154-60-1115_091	Vue générale du site GhGk-63.	O	30-août-23
154-60-1115_092	Vue du site GhGk-63.	O	30-août-23
154-60-1115_093	Vue du site GhGk-63.	O	30-août-23
154-60-1115_094	Vue du site GhGk-63.	O	30-août-23
154-60-1115_095	Vue du site GhGk-63.	S-O	30-août-23
154-60-1115_096	Vue du site GhGk-63.	E	30-août-23
154-60-1115_097	Vue du site GhGk-63.	E	30-août-23
154-60-1115_098	Vue du site GhGk-63.	E-S-E	30-août-23
154-60-1115_099	Vue du site GhGk-63.	-	30-août-23

154-60-1115_100	Vue du site GhGk-63.	S	30-août-23
154-60-1115_101	Vue générale limite ouest de la ZIA et couvert forestier.	E	30-août-23
154-60-1115_102	Vue générale de la limite sud de la ZIA qui rejoint la limite sud de la carrière en son centre.	N-O	30-août-23
154-60-1115_103	Zone d'exclusion en raison d'une forte pente dans le quadrant S-E.	N-E	30-août-23
154-60-1115_104	Vue détaillée d'un bloc angulaire au sol et dont la présence est potentiellement liée à l'exploitation de la carrière.	-	30-août-23
154-60-1115_105	Vue détaillée d'un bloc angulaire au sol et dont la présence est potentiellement liée à l'exploitation de la carrière.	-	30-août-23
154-60-1115_106	Vue générale d'une zone d'exclusion à la limite sud de la ZIA en raison de la présence de concentration de blocs au sol.	S-E	30-août-23
154-60-1115_107	Vue détaillée d'une zone d'exclusion en raison de la présence de blocs angulaires au sol.	SE	30-août-23
154-60-1115_108	Vue générale de la carrière dans le quadrant S-O de la ZIA.	O	30-août-23
154-60-1115_109	Zone d'exclusion en raison de blocs angulaires au sol. La technicienne fait office d'échelle pour la taille des blocs.	S-E	30-août-23
154-60-1115_110	Vue détaillée d'un bloc angulaire au sol. Zone d'exclusion.	-	30-août-23
154-60-1115_111	Vue générale d'une zone d'exclusion, topographie accidentée et blocs au sol.	N-E	30-août-23
154-60-1115_112	Vue détaillée d'un bloc angulaire au sol.	-	30-août-23
154-60-1115_113	Vue générale d'une zone d'exclusion en raison d'une forte pente et de l'affleurement rocheux.	N-E	30-août-23
154-60-1115_114	Vue générale d'une zone d'exclusion en raison d'une forte pente et de l'affleurement rocheux.	N-E	30-août-23
154-60-1115_115	Vue générale d'une zone d'exclusion en raison de l'affleurement rocheux. La limite sud de la ZIA est indiquée par un ruban vert dans l'arbre.	N-E?	30-août-23
154-60-1115_116	Vue générale d'une zone d'exclusion en raison de l'affleurement rocheux. La limite sud de la ZIA est indiquée par un ruban vert dans l'arbre.	N-E?	30-août-23
154-60-1115_117	Vue générale d'une zone d'exclusion en raison du relief accidenté et de la présence de blocs au sol. La limite S de la ZIA est indiquée par le ruban vert dans l'épinette à droite de la photo.	S-O	30-août-23
154-60-1115_118	Vue générale des perturbations anthropiques (arasement des sols et chemin d'accès) dans le quadrant S-E de la ZIA.	N-E	30-août-23
154-60-1115_119	Vue générale des perturbations anthropiques (arasement des sols et chemin d'accès) dans le quadrant S-E de la ZIA. Les rubans verts indiquent la limite sud de la ZIA.	N-E	30-août-23
154-60-1115_120	Vue générale d'une zone d'exclusion dans le quadrant S-E de la ZIA en raison de la topographie accidentée et des zones de pente.	S-O	30-août-23

154-60-1115_121	Vue générale d’une zone d’exclusion en raison du terrain accidenté et de l’affleurement rocheux dans le quadrant S-E de la ZIA. La baie d’Hudson est visible en arrière-plan.	O	30-août-23
154-60-1115_122	Vue générale de la zone d’exclusion dans l'extrémité s-e de la ZIA. Topographie accidentée et accumulation d’eau.	E-N-E	30-août-23
154-60-1115_123	Vue générale d’une zone d’arasement des sols et d'un chemin d’accès dans les limites du quadrant S-E.	N-E	30-août-23
154-60-1115_124	Vue générale de l’affleurement rocheux dans le quadrant S-E de la ZIA.	S-O	30-août-23
154-60-1115_125	Vue générale de l'extrémité S-E de la ZIA. Les limites de la carrière existante sont indiquées par les rubans verts sur les pierres.	N-O	30-août-23
154-60-1115_126	Vue détaillée d’une zone d'exclusion en raison de zone humide dans les limites du quadrant S-E de la ZIA.	-	30-août-23
154-60-1115_127	Vue du chemin d’accès qui mène à l'agrandissement de la carrière à l'angle S-E de la ZIA.	N-O	30-août-23
154-60-1115_128	Vue générale de la ZIA à sa limite est indiquée par les rubans verts. L’avant-plan illustre l’arasement des sols.	N-O	30-août-23
154-60-1115_129	Vue générale de la limite est de la ZIA illustrant l’arasement des sols.	N-O	30-août-23
154-60-1115_130	Vue générale du paysage et limite Est actuelle de la carrière.	S-O	30-août-23
154-60-1115_131	Vue générale du paysage et limite Est actuelle de la carrière.	N-O	30-août-23
154-60-1115_132	Vue générale du paysage avec la baie d’Hudson en arrière-plan.	N-O	30-août-23
154-60-1115_133	Vue générale du paysage et limite Est actuelle de la carrière.	S-O	30-août-23
154-60-1115_134	Vue générale du terrain relativement accidenté.	S-S-E	30-août-23
154-60-1115_135	Vue de la limite est de la ZIA, du terrain accidenté et des sols arasés en avant-plan.	N-O	30-août-23
154-60-1115_136	Vue générale du quadrant N-E de la ZIA et du terrain accidenté.	S-S-O	30-août-23
154-60-1115_137	Vue générale du quadrant N-E de la ZIA, de la zone de pente abrupte vers le centre et du champ de blocs.	N-N-O	30-août-23
154-60-1115_138	Vue générale du terrain accidenté dans le quadrant N-E de la ZIA.	N-E	30-août-23
154-60-1115_139	Vue générale du terrain accidenté et amas de blocs dans le quadrant N-E.	E?	30-août-23
154-60-1115_140	Vue générale du champ de blocs dans le quadrant N-E.	S-O	30-août-23
154-60-1115_141	Vue générale du champ de blocs dans le quadrant N-E.	S-O	30-août-23
154-60-1115_142	Inspection visuelle dans le champ de blocs.	N-E	30-août-23
154-60-1115_143	Inspection visuelle dans le champ de blocs.	N-E	30-août-23
154-60-1115_144	Vue d’une zone en pente au S-E du champ de blocs dans le quadrant N-E.	S-E	30-août-23
154-60-1115_145	Vue générale de la limite est de la zone de dynamitage récente.	Ouest	30-août-23
154-60-1115_146	Vue générale d’une zone en pente abrupte dans le quadrant N-E de la ZIA.	E	30-août-23

154-60-1115_147	Vue générale du terrain abrupte près de la limite N de la ZIA.	N-E	30-août-23
154-60-1115_148	Vue générale du terrain accidenté et de la limite de la zone de dynamitage.	S-O	30-août-23
154-60-1115_149	Vue générale du terrain accidenté et des blocs angulaires près de la limite nord de la ZIA.	O	30-août-23
154-60-1115_150	Vue générale du terrain accidenté et des blocs angulaires près de la limite nord de la ZIA.	S-E	30-août-23
154-60-1115_151	Vue générale de la limite nord de la ZIA et de la limite actuelle de la zone dynamitée récemment.	S-O	30-août-23
154-60-1115_152	Vue générale de la limite nord de la ZIA et de la limite actuelle de la zone dynamitée récemment.	S-O	30-août-23
154-60-1115_153	Vue générale de la limite nord de la ZIA et de la limite actuelle de la zone dynamitée récemment.	O	30-août-23
154-60-1115_154	Vue du chemin d'accès dans le quadrant N-O.	S-O	30-août-23
154-60-1115_155	Zone d'exclusion en raison du terrain accidenté et de l'affleurement rocheux dans le quadrant N-O.	N-O	30-août-23
154-60-1115_156	Zone d'exclusion en raison du terrain accidenté et de l'affleurement rocheux dans le quadrant N-O.	N-O	30-août-23
154-60-1115_157	Vue de la limite S-O de la ZIA.	E-S-E	31-août-23
154-60-1115_158	Vue en plan du sondage ST-001 (profil sud) avec l'échelle. Le nord est indiqué par la truelle.	S	31-août-23
154-60-1115_159	Vue du profil sud du sondage ST-001 avec l'échelle.	S	31-août-23
154-60-1115_160	Vue en plan du sondage ST-001 avec l'échelle.	S	31-août-23
154-60-1115_161	Vue du profil sud du sondage ST-001 avec l'échelle.	S	31-août-23
154-60-1115_162	Vue du profil sud du sondage ST-001 avec l'échelle.	S	31-août-23
154-60-1115_163	Vue du profil sud du sondage ST-001 avec l'échelle.	S	31-août-23
154-60-1115_164	Vue du profil sud du sondage ST-001 avec l'échelle.	S	31-août-23
154-60-1115_165	Vue du profil sud du sondage ST-001 avec l'échelle. Le nord est indiqué par la truelle.	S	31-août-23
154-60-1115_166	Déroulement des activités d'inventaire.		31-août-23
154-60-1115_167	Déroulement des activités d'inventaire.		31-août-23
154-60-1115_168	Vue générale du couvert forestier dans le quadrant S-O.	E	31-août-23
154-60-1115_169	Vue en plan du sondage S-002. Le nord est indiqué par la truelle.	-	31-août-23
154-60-1115_170	Vue en plan du sondage S-002. Le nord est indiqué par la truelle.	-	31-août-23
154-60-1115_171	Vue en plan du sondage S-002 avec l'échelle. Le nord est indiqué par la truelle.	-	31-août-23
154-60-1115_172	Vue en plan du sondage S-002 avec l'échelle. Le nord est indiqué par la truelle.	-	31-août-23
154-60-1115_173	Vue générale du terrain accidenté et des blocs au sol dans le quadrant S-O.	N-E	31-août-23
154-60-1115_174	Vue générale du terrain accidenté et des blocs au sol dans le quadrant S-O.	N-E	31-août-23
154-60-1115_175	Vue générale du terrain accidenté et zone de pente dans le quadrant S-O.	E	31-août-23

154-60-1115_176	Vue générale du terrain accidenté et zone de pente dans le quadrant S-O.	N-E	31-août-23
154-60-1115_177	Vue générale des blocs au sol directement au nord du chemin d'accès dans le quadrant N-O.	S-E	31-août-23
154-60-1115_178	Vue générale de l'irrégularité du niveau du sol dans le quadrant N-O.	-	31-août-23
154-60-1115_179	Vue générale des blocs au sol et du chemin d'accès dans le quadrant N-O.	S-E?	31-août-23
154-60-1115_180	Vue générale du terrain accidenté dans le quadrant N-O.	S-O	31-août-23
154-60-1115_181	Vue générale du terrain accidenté dans le quadrant N-O.	S-O	31-août-23
154-60-1115_182	Vue générale du terrain accidenté dans le quadrant N-O.	S-O	31-août-23
154-60-1115_183	Vue générale d'un zone de pente à proximité du chemin d'accès dans le quadrant N-O de la ZIA.	O	31-août-23
154-60-1115_184	Vue détaillée d'un bloc au sol, avec une échelle indiquant la taille, dans le quadrant N-O de la ZIA.	-	31-août-23
154-60-1115_185	Vue détaillée de la dépression circulaire dans le champ de blocs, quadrant N-E.	-	31-août-23
154-60-1115_186	Vue détaillée en plan du sondage S-003 dans le champ de blocs.	N-O	31-août-23
154-60-1115_187	Vue détaillée en plan du sondage S-003 dans le champ de blocs.	S	31-août-23
154-60-1115_188	Vue générale de la limite de l'affleurement rocheux dans le quadrant S-O.	N-O	31-août-23
154-60-1115_189	Vue générale de la limite de l'affleurement rocheux dans le quadrant S-O.	N-O	31-août-23
154-60-1115_190	Vue générale du niveau du sol à l'ouest de l'affleurement rocheux dans le quadrant S-O.	O-N-O	31-août-23
154-60-1115_191	Vue détaillée de la limite de l'affleurement rocheux et du niveau du sol dans le quadrant S-O de la ZIA.	O	31-août-23
154-60-1115_192	Vue en plan du sondage test ST-001 avec l'échelle et le nord indiqué par la truelle.	-	31-août-23
154-60-1115_193	Vue en plan du sondage test ST-001 avec l'échelle et le nord indiqué par la truelle.	-	01-sept-23
154-60-1115_194	Vue en plan du sondage test ST-001 avec l'échelle et le nord indiqué par la truelle.	-	01-sept-23
154-60-1115_195	Vue en plan du sondage test ST-001 avec l'échelle et le nord indiqué par la truelle.	-	01-sept-23
154-60-1115_196	Vue en plan du sondage test ST-001 avec l'échelle et le nord indiqué par la truelle.	-	01-sept-23
154-60-1115_197	Vue du profil sud du sondage test ST-001 avec l'échelle et le nord indiqué par la truelle.	S	01-sept-23
154-60-1115_198	Vue du profil sud du sondage test ST-001 avec l'échelle et le nord indiqué par la truelle.	S	01-sept-23
154-60-1115_199	Vue du profil sud du sondage test ST-001 avec l'échelle et le nord indiqué par la truelle.	S	01-sept-23
154-60-1115_200	Vue du profil sud du sondage test ST-001 avec l'échelle et le nord indiqué par la truelle.	S	01-sept-23
154-60-1115_201	Vue du profil sud du sondage test ST-001 avec l'échelle.	S	01-sept-23
154-60-1115_202	Vue du profil sud du sondage test ST-001 avec l'échelle.	S	01-sept-23
154-60-1115_203	Vue du profil sud du sondage test ST-001 avec l'échelle.	S	01-sept-23
154-60-1115_204	Vue générale de l'affleurement rocheux dans le quadrant S-O.	O	01-sept-23
154-60-1115_205	Vue générale de l'affleurement rocheux dans le quadrant S-O.	O	01-sept-23

154-60-1115_206	Vue générale d'une zone de terrase dans le quadrant S-O.	S-E ?	01-sept-23
154-60-1115_207	Vue générale de la limite de la carrière et de la limite de l'affleurement rocheux.	N-O	01-sept-23
154-60-1115_208	Vue générale du secteur à l'ouest de l'affleurement rocheux. Zone de pente jusqu'à la route.	N-O	01-sept-23
154-60-1115_209	Vue générale de la dépression circulaire dans le champ de blocs, quadrant N-E.	S-E	01-sept-23
154-60-1115_210	Vue générale de la dépression circulaire dans le champ de blocs, quadrant N-E.	E	01-sept-23
154-60-1115_211	Vue générale de la dépression circulaire dans le champ de blocs, quadrant N-E.	N	01-sept-23
154-60-1115_212	Vue générale de la dépression circulaire dans le champ de blocs, quadrant N-E.	N-O	01-sept-23
154-60-1115_213	Vue générale amas de blocs dans le champ de blocs, quadrant N-E.	S-E	01-sept-23
154-60-1115_214	Vue générale amas de blocs dans le champ de blocs, quadrant N-E.	N-O	01-sept-23
154-60-1115_215	Vue générale amas de blocs dans le champ de blocs, quadrant N-E.	N-O	01-sept-23
154-60-1115_216	Vue générale amas de blocs dans le champ de blocs, quadrant N-E.	N-O	01-sept-23
154-60-1115_217	Vue générale de la limite est du chemin d'accès, quadrant N-O.	S-O	01-sept-23
154-60-1115_218	Vue générale prise au ¾ est du chemin d'accès, quadrant N-O.	S-S-O	01-sept-23
154-60-1115_219	Vue générale prise à la moitié est du chemin d'accès.	O	01-sept-23
154-60-1115_220	Vue générale prise au ¼ est du chemin d'accès.	S-O	01-sept-23
154-60-1115_221	Vue générale de la sablière au S-O de la ZIA.	E	01-sept-23
154-60-1115_222	Vue générale de la sablière et de la limite ouest de la ZIA.	S-E	01-sept-23
154-60-1115_223	Vue générale de la sablière et de la limite ouest de la ZIA.	S-E	01-sept-23


154-60-1115_001


154-60-1115_002


154-60-1115_003


154-60-1115_004


154-60-1115_005


154-60-1115_006


154-60-1115_007JPG


154-60-1115_008


154-60-1115_009


154-60-1115_010


154-60-1115_011


154-60-1115_012


154-60-1115_013


154-60-1115_014


154-60-1115_015


154-60-1115_016


154-60-1115_017


154-60-1115_018


154-60-1115_019


154-60-1115_020


154-60-1115_021


154-60-1115_022


154-60-1115_023


154-60-1115_024


154-60-1115_025


154-60-1115_026


154-60-1115_027


154-60-1115_028


154-60-1115_029


154-60-1115_030


154-60-1115_031


154-60-1115_032


154-60-1115_033


154-60-1115_034


154-60-1115_035


154-60-1115_036


154-60-1115_037


154-60-1115_038


154-60-1115_039


154-60-1115_040


154-60-1115_041


154-60-1115_042


154-60-1115_043


154-60-1115_044


154-60-1115_045


154-60-1115_046


154-60-1115_047


154-60-1115_048


154-60-1115_049


154-60-1115_050


154-60-1115_051


154-60-1115_052


154-60-1115_053


154-60-1115_054


154-60-1115_055


154-60-1115_056


154-60-1115_057


154-60-1115_058


154-60-1115_059


154-60-1115_060


154-60-1115_061


154-60-1115_062


154-60-1115_063


154-60-1115_064


154-60-1115_065


154-60-1115_066


154-60-1115_067


154-60-1115_068


154-60-1115_069


154-60-1115_070


154-60-1115_071


154-60-1115_072


154-60-1115_073


154-60-1115_074


154-60-1115_075


154-60-1115_076


154-60-1115_077


154-60-1115_078


154-60-1115_079


154-60-1115_080


154-60-1115_081


154-60-1115_082


154-60-1115_083


154-60-1115_084


154-60-1115_085


154-60-1115_086


154-60-1115_087


154-60-1115_088


154-60-1115_089


154-60-1115_090


154-60-1115_091


154-60-1115_092


154-60-1115_093


154-60-1115_094


154-60-1115_095


154-60-1115_096


154-60-1115_097


154-60-1115_098


154-60-1115_099


154-60-1115_100


154-60-1115_101


154-60-1115_102


154-60-1115_103


154-60-1115_104


154-60-1115_105



154-60-1115_106 154-60-1115_107 154-60-1115_108 154-60-1115_109 154-60-1115_110



154-60-1115_111 154-60-1115_112 154-60-1115_113 154-60-1115_114 154-60-1115_115



154-60-1115_116 154-60-1115_117 154-60-1115_118 154-60-1115_119 154-60-1115_120



154-60-1115_121 154-60-1115_122 154-60-1115_123 154-60-1115_124 154-60-1115_125



154-60-1115_126 154-60-1115_127 154-60-1115_128 154-60-1115_129 154-60-1115_130



154-60-1115_131 154-60-1115_132 154-60-1115_133 154-60-1115_134 154-60-1115_135



154-60-1115_136 154-60-1115_137 154-60-1115_138 154-60-1115_139 154-60-1115_140


154-60-1115_141


154-60-1115_142


154-60-1115_143


154-60-1115_144


154-60-1115_145


154-60-1115_146


154-60-1115_147


154-60-1115_148


154-60-1115_149


154-60-1115_150


154-60-1115_151


154-60-1115_152


154-60-1115_153


154-60-1115_154


154-60-1115_155


154-60-1115_156


154-60-1115_157


154-60-1115_158


154-60-1115_159


154-60-1115_160


154-60-1115_161


154-60-1115_162


154-60-1115_163


154-60-1115_164


154-60-1115_165


154-60-1115_166


154-60-1115_167


154-60-1115_168


154-60-1115_169


154-60-1115_170


154-60-1115_171


154-60-1115_172


154-60-1115_173


154-60-1115_174


154-60-1115_175



154-60-1115_176 154-60-1115_177 154-60-1115_178 154-60-1115_179 154-60-1115_180



154-60-1115_181 154-60-1115_182 154-60-1115_183 154-60-1115_184 154-60-1115_185



154-60-1115_186 154-60-1115_187 154-60-1115_188 154-60-1115_189 154-60-1115_190



154-60-1115_191 154-60-1115_192 154-60-1115_193 154-60-1115_194 154-60-1115_195



154-60-1115_196 154-60-1115_197 154-60-1115_198 154-60-1115_199 154-60-1115_200



154-60-1115_201 154-60-1115_202 154-60-1115_203 154-60-1115_204 154-60-1115_205



154-60-1115_206 154-60-1115_207 154-60-1115_208 154-60-1115_209 154-60-1115_210



154-60-1115_211



154-60-1115_212



154-60-1115_213



154-60-1115_214



154-60-1115_215



154-60-1115_216



154-60-1115_217



154-60-1115_218



154-60-1115_219



154-60-1115_220



154-60-1115_221



154-60-1115_222



154-60-1115_223

ANNEXE 2 – Notes de terrain

1/3

projet @ graudisserrant
carrière @ Kuujuaraapik

→ 29 août 2023

- Départ centre nordique 8h30, arrivée site carrière 9h15 am. ◦ carrière est à ≈ 2km du centre du village
- carrière déserte, en face de dump

- Catherine + Anne-Julie

- météo, nuageux, légères averses passagères, léger vent ≈ 5 km N-W. Bonne condition pour faire travaux inventaire. légère pluie vers 1h00 pm ≈ 12° - 15° celsius
- arrivée carrière, personne.
- Nord subhorizontale suit la route et baie est ouest alti ≈ 20m

1° → faire inspection visuelle + condition des lieux, marquer les limites avec GPS + flags.

→ lunch 12h05 @ 12h45

→ partie sud-ouest "basse" consiste en un couvert forestier très dense d'arbuste et d'épinettes. Le niveau du sol est très inégale, petit épinette + arbuste sol assez détrempé et mousse. Plusieurs blocks erratiques (à sec) recouvre le sol assez fréquent ≈ 20m d'alt. tude

→ après plus à l'est on arrive sur une zone de plateau après une montée douce ≈ 10m d'alt. tude ± 35-40m alt. tude sans épinette, block erratiques couvre le sol avec mousse, légère inclinaison, terrain monte vers l'est mais ± monte abruptement Hiéron

2/7

→ ensuite limite sud-est atteint vers 10h30 am. "plateau" dans la partie est de ZIA. Roche affleurante partout et zone de "piscine" plusieur indice de perturbation récente donc chemin d'acces et zone arrasé là où il y avait des sédiments sur la roche, végétation arraché. Inspection visuelle rapide des empilements de sédiments arasés. Aucun témoin anthropique. marquage des limites de la carrière existante et de la ZIA. ± 40 m d'altitude

→ Inspection visuelle + marquage de zia dans la zone de "corridor" qui suit limite est de la zia marquage de la limite de la carrière existante et de la zia. Indice de perturbation moderne sous forme d'arasement des sols à l'est. Arasement "dépasse" la limite de la zia à plusieurs endroit.

→ atteint la limite nord-est de la carrière existante. pause de 10 minutes. Zone de roche affleurante en pente.

→ Inspection visuelle + marquage dans la zone/coin Nord est de la zia. relief assez accidenté et zone d'affleurement rocheux. Aucun indice de perturbation ansol. peu de couvert forestier, arbuste et mousse. présente de plusieurs blocs erratique (± 1-2 m). marquage de la limite Est et Nord de la zia. zone de pente douce, légère descente vers l'ouest

3/3

→ Inspection rapide d'un champs de blocs.

→ Un peu à l'ouest du champs de blocs. la limite de la carrière existante vient rejoindre la limite de la ZIA. Perturbation majeure. La carrière aurait été agrandie "illégalement"

→ inspection visuelle du quadrant nord-est. Chemin d'accès construit "peut-être récemment" à l'extérieur de la limite de la carrière existante et dans les limites de la zia. Dans ce quadrant. N-E zone à altitude plus basse. Couvert forestier dense composé d'eucalyptus et d'épinettes. plusieurs blocs erratique et terrain assez accidenté, presence de petite zone de "plateau" / terrasse de petite taille

→ terminé inspection visuelle. Très peu de zone "sondable" par le biais de sondages de 30 cm x 30 cm. Inspection visuelle plus détaillée à faire avec pts gps pour photo-localisation

→ Inspection rapide du chemin d'accès au sud de la carrière.

→ Quitte le site à 2h30.

2h30pm quitte carrière.
3h00 → retour CEN 3h00 @ 4h00 → papiers + photolog.

Hilroy

1/2

projet agrandissement carrière Kuujuaraapik

30 août 2023

Départ centre nordique = 8h30
arrivé carrière ≈ 9h00 a.m.
• Catherine + Anne-Julie

• Météo ; nuageux et faible pluie (brouillasse), faible vent ≈ 5-8 km vers l'est.
Conditions adéquate pour photo-inspection.
Moins bonne pour réalisation de sondages
≈ 10°C
→ arrivé carrière, déposer tamis + pelle.
→ visite rapide du site GH GK-20 (poursuivent pour comparatif. la topographie est moins abrupte et présence de grandes aires de terrasse.

→ retour à la carrière vers 9h45 ish.
Étant donné condition météo, début de inpection + photo inventaire dans quadrant sud-est et nord-est.
Tte les zones d'exclusions photographiés + points gps.

→ vers midi, batterie d'appareil photo meurt (de froid?) retours au CEN pour lunch et recharger batterie.
→ départ carrière vers 12h30. arrivée au CEN @ 13h00.

→ départ CEN @ 14h30

→ en après-midi, continuer avec inventaire photo du quadrant N-E de la zone, Tte les zones d'exclusions noté + photo-[illegible] points GPS

2/2

⇒ Inspection visuelle d'un champ de blocs, faune spécifique mais pas de trace de "Reine toute" afin de s'assurer quel ne s'agit pas d'une structure anthropique sondage demain

⇒ points gps de limite actuelle de la carrière + chemin d'accès au nord qui empiète sur la ZIA

départ carrière 5h15
arrivé CEN 5h45

1/2

31 août — projet d'agrandissement carrière à Kuujuaraapik

→ Catherine et Anne-Julie

→ Mité, nuageux avec faible pluie et parfois averse. Vent ≈ 5-10 km condition acceptable pour inventaire, pluie arrête vers 10h00 am. Ensoleillement, nuageux vers 11h00 am. Bonne condition pour sondage.

→ réalisation de sondage dans quadrant sud-ouest. (coin S-W)

→ sondage test effectué près de l'angle du quadrant. matériel stable w stratigraphie style podzolique.

→ deuxième sondage effectué au nord-est atteinte rapide du roc ≈ 10 cm.

→ grosse majorité du quadrant présente un terrain très accidenté avec blocs angulaire de grosse taille (plus de 75 cm) ≈ 1 m. couvert forestier excessivement dense. Très difficile de marcher et de se repérer dans le quadrant.
↳ plusieurs plates de terrain accidenté et blocs. très peu de zone propice à la réalisation de sondage. Terrain de plus en plus accidenté à mesure qu'on approche de la carrière actuelle.
les aires propices au sondage se trouve à la limite sud du quadrant seulement

→ 13h00 lunch.

Hilrov

2/2

13h30 → commencer à réaliser sondages dans quadrant N-W.

→ manquage gps du chemin d'accès présent dans le quadrant N-W sedernier se trouve dans la ZIA. → Perturbation zone d'exclusion

→ Dans la partie non perturbée par le chemin d'acces, le quadrant N-W présente une topographie très accidenté avec présence de blocs anguleux en sol. Aucune zone propice à la réalisation de test pit n'a été observé

→ milieu d'après-midi, réalisation de 2 sondages dans le champ de bloc, dans le quadrant N-E. Deux sondages effectués (S-003 et S-004) dans les limites de la dépression ± sphérique. Aucun indice de témoin anthropique. Il s'agit sans doute d'une dépression remplie de mousse.

→ inspection visuelle du quadrant S-E. Nous avons suivi l'affleurement rocheux de la carrière qui s'étent sur une bonne partie du quadrant S-E.

→ études et recherche sur couvert forestier = Esther Lévesque (→ UQATV) et Stéphane Boudreau → ULaval

Quitter site vers 3h45.

retour CEN = 16h15

1/1

1er septembre 2023 — projet agrandissement carrière @ Kuujuaraapik

→ Catherine et Anne-Julie
→ Départ CEN @ 8h30
arrivée carrière @ 8h45

→ Météo: Nuageux, vent moyen 10km vers le N-E
≠ pluie excellente condition pour inventaire archéologique

→ Revisiter S1-001 et S-002 car points gps n'a pas été correctement enregistré dans gps.

→ point gps + photos de S1-001 puis remblaiement.

→ point Gps de S-002. Inspection visuelle vers l'est de S1-002 près de limite sud de zix. Atteinte rapide de l'affleurement rocheux (pt gps éperon). Zone propice au sondage. Se limite donc à coin du quadrant S-W près de la sablière. Le roche affleurant ou terrain accidenté avec niveau de sol très irrégulier compose le quadrant S-W.

→ photo de vue plus général de S-003 + S-004 dans champ du bloc

→ Ramassage de remplacement de zix (flags)
→ photo sablière avec limite zia.
→ Revisiter chemin d'accès dans quadrant N-W car point gps n'a pas été correctement enregistré hier. 6 points gps + photos enregistrés pour documenter l'emplacement du chemin d'accès qui se trouve dans les limites de la zia. Le chemin fait en moyenne 5-6m de large
Quitter carrière vers 11h00. Direction le hangar.
Prise de photos du hangar et garage retour CEN @ 12h00
Passage à 13h30 @ ISHIK

74

FICHE DE SONDAGE ARCHÉOLOGIQUE

Inventaire archéologique carrière à Kuujuarapik

Code temporaire du site : MTQ-K12- 1 **Numéro de sondage :** ST-001

Date de la découverte : **Loc. GPS :** voir photo log ST-001 **Système de référence :** **X :** **Y :**

Présence d'écofacts aucun ☐ Os ☐ Bois ☐ Coquillage ☐ Autres :

Présence d'artéfacts aucun ☐ Éclats/débitage : ☐ Objets en métal : ☐ Outils : ☐ Autres : ☐ structure :

Description des artéfacts et écofacts mis au jour :

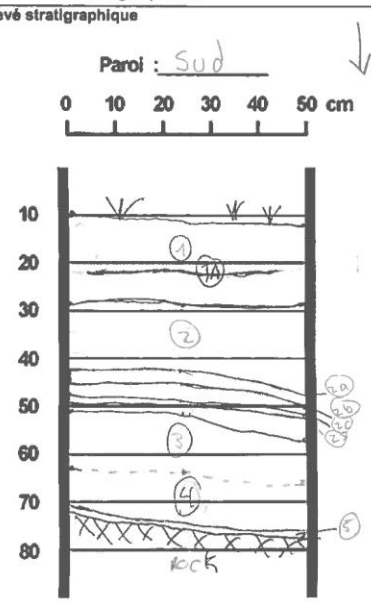
aucun ; Sondage Test

Description des moyens de protection temporaires mis en place :

Autres commentaires :

Référence au catalogue photo :

Relevé stratigraphique



Commentaire/description des niveaux stratigraphiques:

① Sable fin jaunâtre-brun clair, meuble, homogène w racine, reliquat de racine décomposé (noirâtre), lentilles (1A) de limon organique noirâtre meuble

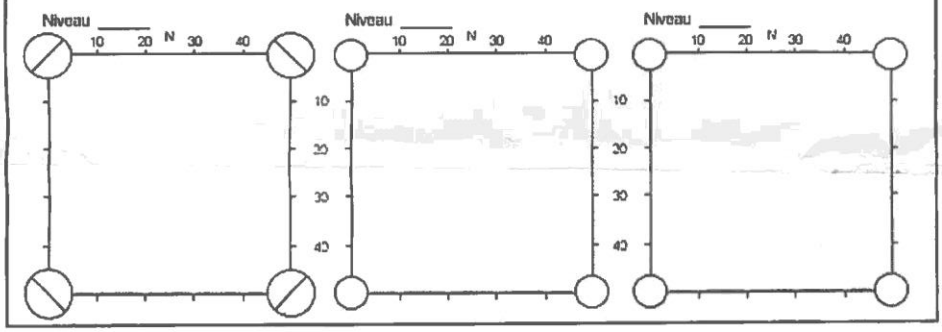
② Sable fin blanchâtre (lessivé), meuble, homogène, inclusions de racines et concentration de sable ferreux (~2 cm), plusieurs lentilles de limon organique semi-compact (reliquats buried topsoil) (zone 2B)

③ Transitionnel : sable fin hétérogène brun-rougeâtre avec sable fin jaunâtre blanchâtre clair. Vers la base, grosse concentration de sable jaunâtre blanchâtre (~3-4 cm ϕ), semi-compacte.

④ Sable rougeâtre brun moyen, compacte

⑤ Sable brun foncé humide (mouillé) compacte, homogène

Plan du sondage/structure



DÉMÉNAGEMENT DE LA MAISON BIARD, PERCÉ



Inventaire archéologique, août 2023

ethnoscop

Juillet 2024

8118

Déménagement de la maison Biard, Percé

Inventaire archéologique, août 2023

Ethnoscop, 2024

Page couverture
Inventaire devant la maison Biard, vue vers le sud-est (LAR2333-NUM2-3)

RÉSUMÉ

À l'été 2023, Ethnoscop a reçu le mandat d'effectuer un inventaire archéologique sur le terrain de la maison Biard, à Percé. Cet inventaire a été réalisé préalablement au déménagement de la maison et l'aménagement d'une nouvelle entrée véhiculaire. L'intervention, qui s'est déroulée dans la journée du 17 août 2023, a mené à la fouille manuelle de 32 sondages.

Deux études avaient déjà démontré le potentiel archéologique autochtone du mont Joli. Le terrain a pu avoir diverses fonctions durant les XVII^{e}, XVIII^{e} et XIX^{e} siècles, alors que ce n'est qu'au tournant du XX^{e} siècle que la maison Biard a été construite. Celle-ci correspond à la résidence du Biard's Beach Hotel. À partir du début du XXI^{e} siècle, l'Université Laval prend possession de la maison pour y héberger les étudiants de l'école internationale d'été de Percé. À la préhistoire, le secteur du mont Joli a également pu être occupé compte tenu de son relief plutôt doux, l'accès facile à la mer et son sol plutôt sableux.

Les séquences stratigraphiques relevées confirment que le terrain de la maison Biard a essentiellement été utilisé durant le XX^{e} siècle. Des artefacts antérieurs au XX^{e} siècle ont été récoltés, mais dans des sols remaniés ou peut-être aussi rapportés. Les sols témoignent d'activités liées à l'agriculture et à la villégiature. Un réservoir d'eau en béton a été localisé près du coin sud-ouest de l'aire d'intervention. Il a vraisemblablement été construit durant le premier quart du XX^{e} siècle et a été utilisé jusqu'à une époque indéterminée. Le sommet du sol naturel semble avoir été décapé ou remanié en grande partie. Aucun vestige témoignant d'une occupation autochtone ancienne n'a été localisé. Aucune autre expertise n'est par conséquent recommandée sur le terrain de la maison Biard.

TABLE DES MATIÈRES

LISTE DES FIGURES VII

LISTE DES PHOTOGRAPHIES IX

LISTE DES PLANS IX

LISTE DES PARTICIPANTS XI

1. INTRODUCTION 1

2. CADRE ENVIRONNEMENTAL 5

2.1 Cadre paléoenvironnemental 5

2.2 Cadre environnemental actuel 6

3. CADRE CULTUREL ET RECHERCHES ARCHÉOLOGIQUES ANTÉRIEURES 9

3.1 Cadre culturel autochtone 9

3.1.1 Paléoindien (12 000 à 8 000 ans AA) 9

3.1.2 Tradition gaspésienne (8 000 à 1 300 ans AA) 10

3.1.3 Sylvicole (1300 à 450 ans AA) 11

3.1.4 Période autochtone historique (XVIe siècle au XXe siècle) 11

3.2 Cadre culturel eurocanadien 12

3.2.1 Côtes gaspésiennes et premiers Européens (XVe et XVIe siècles) 12

3.2.2 Isle Percée au Régime français 12

3.2.3 Pêcheries et installations jersiaises 15

3.2.4 Village de Percé (XIXe et XXe siècles) 16

3.3 Recherches archéologiques antérieures 22

4. MÉTHODES DE TRAVAIL 27

4.1 Inventaire archéologique 27

4.2 Enregistrement des données 27

5. RÉSULTATS 31

5.1 Zone nord-est 31

5.2 Zone centrale 33

5.3 Zone sud-ouest 36

6. CONCLUSION 39

MÉDIAGRAPHIE 41

ANNEXES

Annexe 1 Inventaire des artefacts et des écofacts

Annexe 2 Catalogue des photographies

LISTE DES FIGURES

Figure 1. Chronologie de la déglaciation proposée pour la Gaspésie et les régions limitrophes (Richard *et al*. 1997) 6

Figure 2. Photographie aérienne de Pierre Lahoud, 2004 (https://www.historicplaces.ca/fr/rep-reg/image-image.aspx?id=10526#i1) 7

Figure 3. Samuel de Champlain, « Carte de la Nouvelle France », 1632 (BAnQ G/3400/1632/ C43 CAR) 13

Figure 4. Jean-Baptiste Franquelin, « Rade de l'isle Percée », 1686 (BNF GE SH 18 PF DIV 5 P 1/1 D) ... 13

Figure 5. Jacques L'Hermite et Antoine de Sartine, « Carte de la baie des Chaleurs à la côte Occidentale du golfe de St. Laurent », 1780 (BAnQ G/3452/C354/1724/L44 CAR) 15

Figure 6. William Vondelvenden, « *Plan of the lots behind the fishing bank of Percé* », 1791 (BAnQ Québec E21,S555,SS1,SSS23,PP.6) 17

Figure 7. Joseph Bouchette et John Walker, « *Plan of the District of Gaspé* », 1815 (BAnQ G 3453 G3 1815 B6 CAR pf) 18

Figure 8. Percé (Pye 1866 : 30) 18

Figure 9. Extrait du plan de William Macdonald, « *Survey of the lands and fishing establishmnts of Messrs Charles Robin & Co lying in the town of Percée in the District of Gaspé and Province of L. Canada* », 1831 (BAC NMC 1563) 19

Figure 10. Compagnie aérienne franco-canadienne, Percé, 1928 (BAnQ E21,S110,SS1,SSS1,PH632). 20

Figure 11. Plage Biard, 1930 (Wikimedia Commons) 21

Figure 12. Extrait d'une photographie de G.A. Driscoll, 1954 (BAnQ E6,S7,SS1,D2591,P131-54D) 21

Figure 13. Croquis stratigraphique de la paroi ouest de la sous-opération 1D 35

LISTE DES PHOTOGRAPHIES

Photo 1. Vue d'ensemble vers l'est de l'extrémité nord de l'aire d'intervention (LAR2333-NUM1-02) ..8

Photo 2. Paroi sud de la sous-opération 1L, vue vers le sud (LAR2333-NUM1-19) 32

Photo 3. Jeton de 1837 (lot 1B2) et pièces de monnaie de 1944 (lot 1N2) et de 1949 (lot 2A2) (photographie Isabelle Hade) 32

Photo 4. Paroi est de la sous-opération 1N, vue vers l'est (LAR2333-NUM1-22) 33

Photo 5. Vue d'ensemble vers l'est de l'aire d'intervention (LAR2333-NUM1-4) 33

Photo 6. Paroi ouest de la sous-opération 1D, vue vers l'ouest (LAR2333-NUM1-12) 34

Photo 7. Paroi ouest de la sous-opération 2G, vue vers l'ouest (LAR2333-NUM1-45) 36

Photo 8. Réservoir en béton situé dans la portion sud-ouest du terrain (LAR2333-NUM1-50) 37

LISTE DES PLANS

Plan 1. Localisation générale de l'aire d'intervention et sites archéologiques 2

Plan 2. Limite du terrain de la maison Biard 3

Plan 3. Sites archéologiques et zones d'informations archéologiques à proximité de l'aire d'intervention (1 km) 25

Plan 4. Localisation des sous-opérations 29

LISTE DES PARTICIPANTS

DIRECTION

Ricardo Larrivée	Propriétaire

RÉALISATION

Ethnoscop

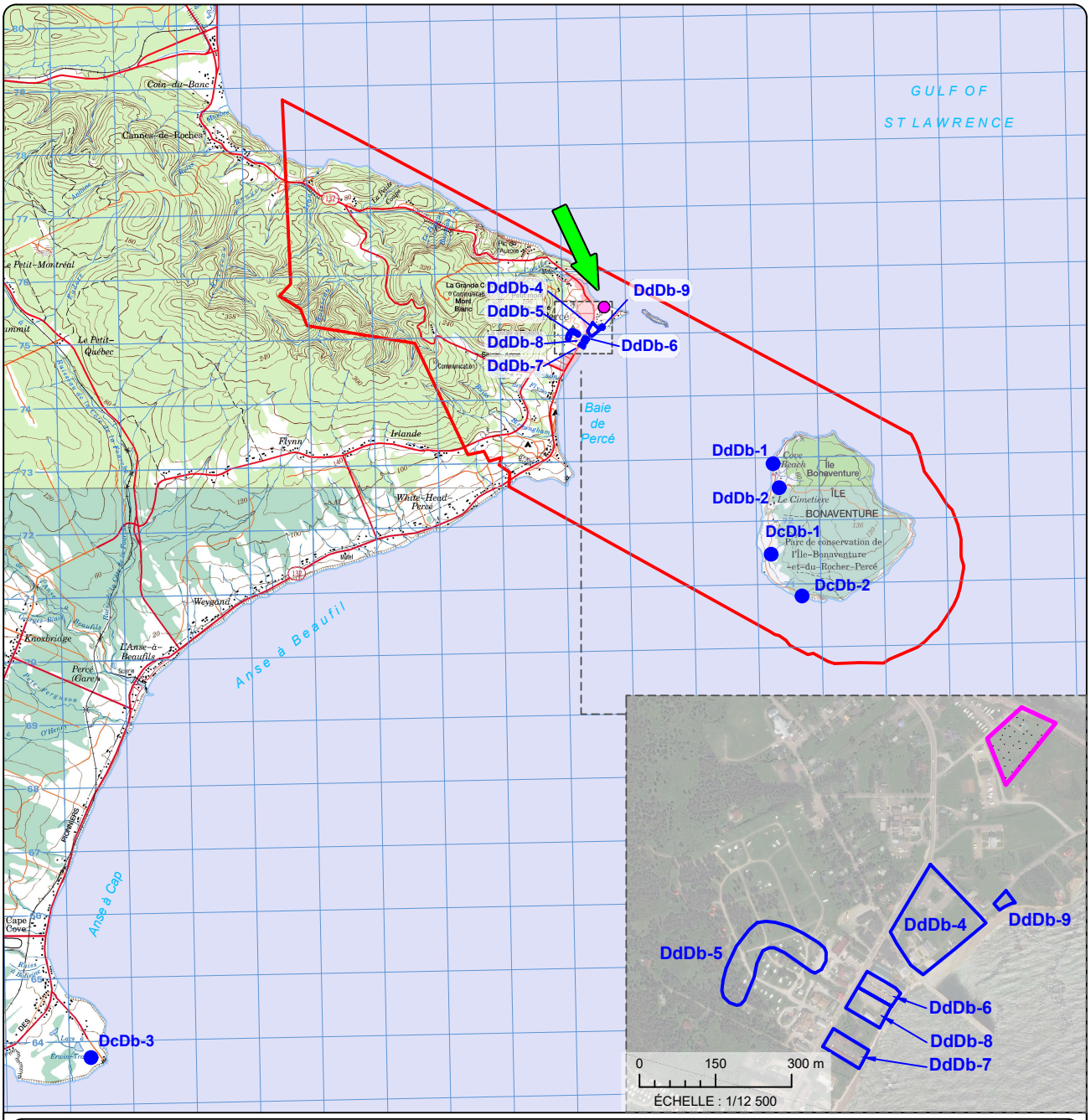
Martin Royer	Coordonnateur
Laurence Johnson	Coordonnatrice
Nicolas Fortier	Chargé de projet, rédacteur du rapport
Geneviève Lévesque	Technicienne-archéologue
Maxime Vaillancourt	Technicien-archéologue
Olivier Pilette	Technicien-archéologue
Hélène Côté	Réviseure du rapport
Isabelle Hade	Spécialiste en culture matérielle
Liliane Carle	Géographe-cartographe
Michelle Dubé	Adjointe administrative
Stéphanie Goyette	Éditrice du rapport

1. INTRODUCTION

À l'été 2023, Ethnoscop s'est vu confier la réalisation d'un inventaire archéologique dans le cadre du déménagement de la maison Biard (15, rue Biard, lot cadastral 5 084 212), à Percé, et de l'aménagement d'une nouvelle entrée véhiculaire (plans 1 et 2). Deux études avaient déjà démontré le potentiel archéologique autochtone du mont Joli (Archéocène 2015 et Ethnoscop 2023). Bien que le terrain ait pu avoir diverses fonctions durant les XVII^{e}, XVIII^{e} et XIX^{e} siècles, ce n'est qu'au tournant du XX^{e} siècle que la maison Biard est construite. Celle-ci correspond à la résidence du Biard's Beach Hotel. À partir du début du XXI^{e} siècle, l'Université Laval prend possession de la maison pour y héberger les étudiants de l'école internationale d'été de Percé. À la préhistoire, le secteur du mont Joli a également pu être occupé étant donné son relief plutôt doux, l'accès facile à la mer et son sol plutôt sableux.

L'inventaire, qui a totalisé 32 sondages fouillés manuellement, a mobilisé un chargé de projet et trois techniciens en archéologie dans la journée du 17 août 2023. Le permis de recherche archéologique 23-ETHN-24 est rattaché à cette intervention.

Ce rapport présente tout d'abord l'état général des connaissances sur l'environnement ancien et actuel, sur les contextes culturels autochtone et eurocanadien ainsi que sur les interventions archéologiques antérieures réalisées à proximité de l'aire d'intervention. Puis, les méthodes de travail suivies lors de l'inventaire archéologique sont exposées. Les résultats et les interprétations qui en découlent figurent dans le chapitre suivant. Le rapport se conclut avec une synthèse des travaux réalisés à l'été 2023.



DÉMÉNAGEMENT DE LA MAISON BIARD, PERCÉ
INVENTAIRE ARCHÉOLOGIQUE

PLAN 1

LOCALISATION GÉNÉRALE DE L'AIRE D'INTERVENTION ET SITES ARCHÉOLOGIQUES

AIRE D'INTERVENTION
SITE ARCHÉOLOGIQUE
DdDb-4 CODE BORDEN
SITE PATRIMONIAL DE PERCÉ

Source : Cartes topographiques 022A08 et 022A09
© Ressources Naturelles Canada (2000 et 2003)
© 2017 Google Maps.
SCOPQ Fuseau 5, NAD83 SCRS et C-GVD28 (NMM)

0 1 2 km
ÉCHELLE : 1/100 000

LAR2333

ethnoscop



DÉMÉNAGEMENT DE LA MAISON BIARD, PERCÉ

INVENTAIRE ARCHÉOLOGIQUE, AOÛT 2023

PLAN 2

LIMITE DU TERRAIN DE LA MAISON BIARD

AIRE D'INTERVENTION

0 10 20 m

ÉCHELLE : 1/750

Source : © 2022 Google Earth
SCOPQ Fuseau 5, NAD83 SCRS et C-GVD28 (NMM)

LAR2333

ethnoscop

2. CADRE ENVIRONNEMENTAL

2.1 Cadre paléoenvironnemental[1]

L'objectif de cette section est de synthétiser les connaissances les plus récentes quant à l'évolution du paysage, ce qui permettra brosser le portrait de l'environnement dans lequel les premières populations humaines sont venues s'établir dans la région. Entre 14 000 et 12 500 ans avant aujourd'hui (AA), les glaciers appalachiens et laurentidiens ont progressivement été séparés par la pénétration, dans l'axe de l'estuaire du Saint-Laurent, de la mer de Goldhwaith (Richard *et al.* 1997). L'âge minimal de la déglaciation et de l'invasion marine dans l'est de la péninsule gaspésienne se situerait entre 13 500 et 13 000 ans AA (figure 1). Selon Houde-Poirier, la mer aurait atteint des altitudes de 40 m à l'embouchure de la rivière Malbaie, à quelques kilomètres au nord de Percé. Étant donné le relief escarpé de la Gaspésie, la transgression marine a affecté les vallées des rivières et, dans la baie des Chaleurs, une bande côtière d'un à deux kilomètres de largeur en moyenne. Le relèvement des terres se serait produit assez rapidement. Pour la baie de Gaspé, un secteur relativement proche de l'aire d'étude, la courbe d'émersion donne une altitude de 15 m vers 10 000 ans AA, de 5 m vers 9 000 ans AA et le niveau aurait atteint l'actuel dès 8 000 ans AA. L'aire d'intervention se situant autour de 10 m d'altitude, elle aurait émergé très tôt. Certains indices laissent penser que la mer aurait même atteint un niveau plus bas que l'actuel entre 8 000 et 4 000 ans AA, puis aurait remonté à 5 m vers 4 000 ans AA, pour reprendre son niveau actuel vers 3 500 ans AA (Houde-Poirier 2014 : 27-29).

Entre 11 000 ans AA et 9 000 ans AA, la péninsule gaspésienne était sous un climat périglaciaire, le front du glacier d'inlandsis étant situé tout près des zones libres de glace pendant plusieurs centaines d'années. Puis un climat froid, sans être à proprement parler périglaciaire, a persisté très longtemps, jusqu'à environ 7 000 ans AA. Les analyses polliniques donnent l'image d'un paysage relativement ouvert avec des températures légèrement plus froides et humides qu'actuellement (Jetté et Richard 1992 : 282). Une étude de 2003 conclut que les conditions climatiques étaient plus difficiles sur les côtes qu'à l'intérieur des terres (Asnong et Richard 2003 : 60). La période qui se situe entre 7 000 et 3 500 ans AA contraste avec la période précédente en présentant un optimum climatique. Les diagrammes polliniques témoignent d'un climat assez chaud où le pin blanc n'est représenté qu'à 35 %, et

[1] Cette section est presque intégralement reprise d'Ethnoscop 2023.

que des espèces décidues thermophiles telles que l'érable à sucre, l'érable rouge, l'orme ou le frêne de Pennsylvanie sont présentes (Jetté et Richard 1992 : 283). Les reconstitutions paléohydrologiques d'Asnong et Richard montrent que les forêts du centre de la Gaspésie, autant que celles de l'est, ont connu un climat plus sec à l'Holocène moyen, entre 6 000 et 3 500 ans AA (Asnong et Richard 2003 : 61). Après 3 500 ans AA, le climat est devenu plus froid et plus humide alors qu'on observe un déclin dans la représentation des espèces décidues thermophiles (Asnong et Richard 2003 : 60). De nos jours, le climat de la Gaspésie est considéré comme un climat de type boréal, influencé de façon différentielle par la mer et conditionné par sa géomorphologie contrastée entre mer et montagne.

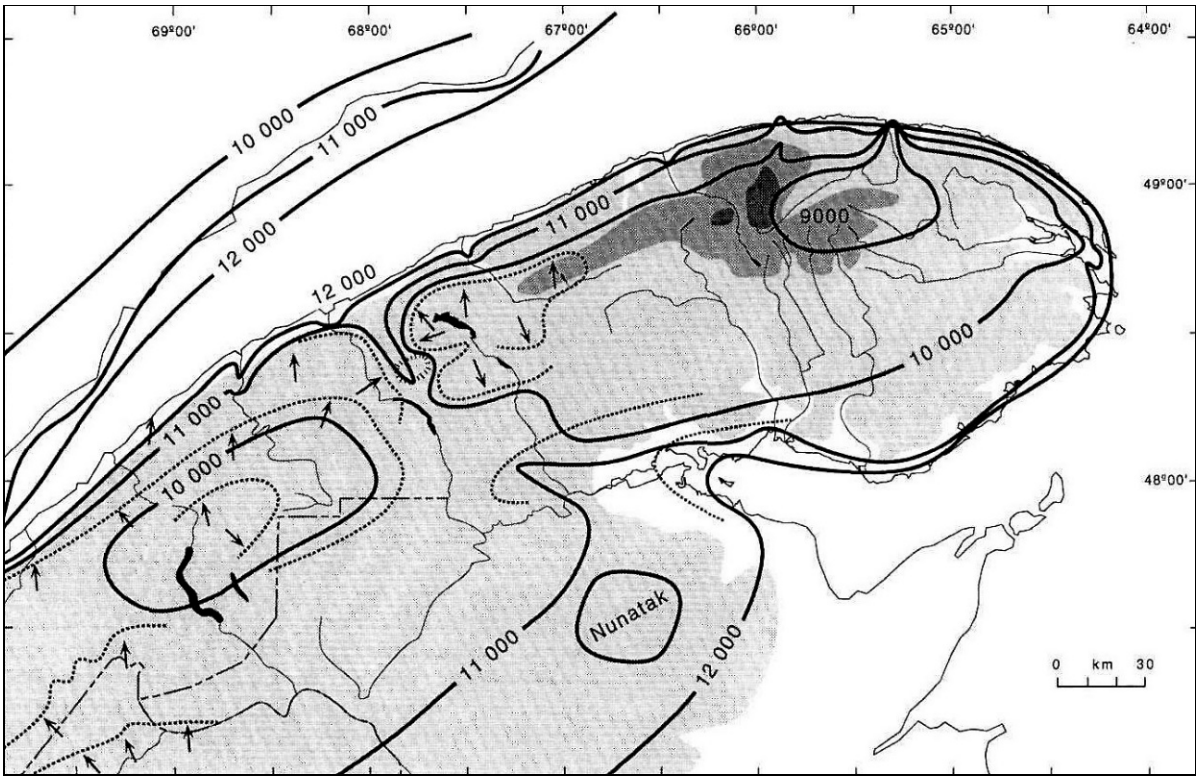


Figure 1. Chronologie de la déglaciation proposée pour la Gaspésie et les régions limitrophes (Richard *et al*. 1997)

2.2 Cadre environnemental actuel

L'aire d'intervention correspond au lot cadastral 5 084 212. Il s'agit d'un terrain relativement plat qui présente une légère pente vers l'ouest et le sud. Dans sa partie sud, il est d'ailleurs bien plus bas en altitude que le terrain limitrophe et la rue, ce qui pourrait expliquer pourquoi l'eau s'y accumule en surface du sol. On retrouve dans la portion nord une maison centenaire et un chemin de gravier qui devait s'étendre vers l'est si on se fie aux archives consultées. Bien que le terrain soit plutôt aménagé autour de la maison, il se présente généralement comme un champ en friche. La maison Biard surplombe une falaise d'environ 10 m de hauteur qui donne dans l'anse du Nord à l'ouest du mont Joli.

Son socle rocheux fait partie du Groupe de Matapédia. Il est par conséquent constitué de calcilutite, de calcaire argileux, de calcaire silteux et de mudshale (Ministère de l'Énergie et des Ressources naturelles). Dans la moitié nord de la baie de Percé jusqu'à l'extrémité ouest de l'anse du Nord, ce sont surtout des sédiments littoraux (sable, gravier et blocs) qui se sont déposés sur le roc (Veillette et Cloutier 1993). De chaque côté du mont Joli circulent de petits cours d'eau, soit la Coulée au nord et le ruisseau des Robin au sud. Le terrain où se trouve la maison Biard était autrefois plus large. En effet, il y avait encore au début du XXIe siècle de l'espace entre la falaise et la maison pour y conserver des cabines (figure 2). La mer a toutefois érodé une partie du terrain au fil des années puisque l'espace y est désormais très étroit (photo 1).



Figure 2. Photographie aérienne de Pierre Lahoud, 2004 (https://www.historicplaces.ca/fr/rep-reg/image-image.aspx?id=10526#i1).



Photo 1. Vue d'ensemble vers l'est de l'extrémité nord de l'aire d'intervention (LAR2333-NUM1-02)

3. CADRE CULTUREL ET RECHERCHES ARCHÉOLOGIQUES ANTÉRIEURES[2]

3.1 Cadre culturel autochtone

La Gaspésie, plus précisément le secteur du littoral nord de la péninsule, a fait l'objet d'un des premiers programmes de recherche en archéologie au Québec, réalisé par José Benmouyal entre 1972 et 1980. Cet effort, qui venait se greffer sur quelques travaux précédents (notamment ceux de la Société d'archéologie préhistorique du Québec (S.A.P.Q.) à la Martre et ceux de Barré à Cap-Chat), avait fait de la préhistoire de cette région l'une des mieux connues du Québec (Barré 1975, Benmouyal 1978 et 1987 et Société d'archéologie préhistorique du Québec 1970). La première synthèse régionale devait toutefois composer avec des éléments qui rendaient difficile la mise sur pied d'une séquence chronologique précise, notamment des comparaisons réduites en raison d'un certain isolement géographique, et la quasi-absence de résultats de datations radiométriques. Benmouyal avait ainsi proposé une séquence où se succèdent trois grands épisodes. Une meilleure compréhension de la préhistoire des régions périphériques et de nouvelles études ont permis de raffiner certains aspects de la séquence de Benmouyal, bien que les jalons mis de l'avant restent essentiellement les mêmes (Ethnoscop 2009).

3.1.1 Paléoindien (12 000 à 8 000 ans AA)

Dans le cadre chronologique régional de l'Est de l'Amérique du Nord, la première grande période de cette séquence est le Paléoindien ancien qui couvre l'intervalle allant de 11 500 à 10 000 ans AA. Il n'est cependant pas représenté en Gaspésie; seule la région du lac Mégantic témoigne de cette période au Québec (Chapdelaine 2007). Le Paléoindien récent suit entre 10 000 et 8 000 ans AA. Les recherches menées au site paléoindien de Rimouski, qui a fourni plusieurs dates, ont permis de confirmer l'ancienneté de l'occupation de la Gaspésie (Chapdelaine 1994). La tradition Plano de l'Est, caractérisée par des pointes lancéolées à retouches parallèles, dites de type Sainte-Anne, (ou Sainte-Anne/Varney), est celle qui caractérise la période du Paléoindien récent. Des études supplémentaires, effectuées en Gaspésie au cours des décennies subséquentes, ont solidifié nos connaissances sur ce volet de

[2] Ce chapitre est en partie repris d'Ethnoscop 2023.

la préhistoire ancienne du Québec (Chalifoux 1999a et 1999b, Chalifoux et Tremblay 1998, Ethnoscop 1996, 1997, 2010 et 2011 et Pintal 2006). Pendant longtemps, le corpus de données demeurait restreint géographiquement au littoral sud de l'estuaire et du golfe du Saint-Laurent. Jusqu'aux années 1990, il a fourni les preuves les plus anciennes du peuplement humain initial du territoire québécois et demeure un élément majeur de l'étude de ce peuplement. La découverte d'une pointe plano de type Sainte-Anne à Percé en 2017 a permis d'étendre l'extension géographique régionale de cette tradition durant le Paléoindien récent (Ethnoscop 2018). Cette tradition est maintenant représentée ailleurs au Québec, dont en Estrie et en Outaouais (Graillon 2011 et 2013 et Wright 1982). Tradition gaspésienne (8 000 à 1 300 ans AA).

3.1.2 Tradition gaspésienne (8 000 à 1 300 ans AA)

Après la période paléoindienne vient ce que Benmouyal a nommé la « tradition Gaspésienne ». Elle correspond, chronologiquement, en partie à la période Archaïque telle qu'on l'identifie ailleurs au Québec. Benmouyal a créé les taxons de tradition Gaspésienne ancienne et récente, en préférant ainsi éviter les termes utilisés dans les régions périphériques, car il percevait, en Gaspésie, une continuation du Paléoindien récent gaspésien dans une trajectoire isolée du reste du Nord-Est. Selon Benmouyal, la tradition paléoindienne aurait donc graduellement évolué vers la tradition gaspésienne ancienne. Puisque si peu d'indices pouvaient être rattachés culturellement aux traditions archaïques dans les régions voisines, et étant donné que plusieurs aspects importants semblent perdurer à travers le temps, il a proposé que la Gaspésie ait été le territoire d'une population locale qui aurait évolué sur place depuis l'épisode paléoindien jusqu'à au moins 1 300 ans AA, sans grands contacts avec l'extérieur (Benmouyal 1987 : 363-380 et Ethnoscop 2009).

La tradition gaspésienne a été découpée grossièrement en deux périodes : l'ancienne, qui va de la fin du Paléoindien récent jusqu'à environ 3 000 ans AA, et la récente, qui va de 3 000 ans AA à environ 1 300 ans AA. La tradition gaspésienne ancienne est donc représentée par des sites localisés aux mêmes emplacements que ceux des Paléoindiens, comportant à peu près les mêmes catégories d'outils que les précédents et montrant une continuité dans l'usage des cherts locaux. La tradition gaspésienne récente poursuit l'évolution des mêmes traits, mais avec l'apparition plus fréquente d'influences extérieures, comme l'usage de matériaux lithiques exogènes, une technique de taille sur nucléus, des formes nouvelles d'outillage, le tout indiquant des contacts plus fréquents avec d'autres groupes. Le polissage de la pierre, qui est un trait caractéristique de l'Archaïque en général, fait très peu d'adeptes en Gaspésie. Les rares exemples connus viennent de l'est de la péninsule. Quelques haches à gorge sont présentes dans la baie des Chaleurs. Un problème essentiel qui se pose ici est l'articulation de la tradition gaspésienne ancienne avec les manifestations contemporaines relativement mieux connues dans les Maritimes, au nord de la Nouvelle-Angleterre et dans la vallée du Saint-Laurent. Le problème se pose moins pour la tradition gaspésienne récente, que Benmouyal étend jusqu'au Sylvicole moyen (Ethnoscop 2009).

3.1.3 Sylvicole (1300 à 450 ans AA)

Benmouyal constate que la péninsule gaspésienne ne semble plus occupée par des groupes humains à partir d'environ le VIe siècle de notre ère, et il parle alors d'un dépeuplement du littoral nord de la Gaspésie. C'est ce qu'il considère comme la troisième grande période de la séquence qu'il appelle « période préhistorique tardive ». Selon lui, les ancêtres des Iroquoiens, qui habitaient la vallée du Saint-Laurent, ont repoussé les populations locales dans d'autres régions ou auraient même pu les éliminer. Un élément majeur de son argumentation résidait dans les tessons de poterie de Sainte-Anne-des-Monts qu'il avait alors interprété comme étant de facture typiquement iroquoienne. En réalité, ces tessons sont beaucoup plus anciens, datant vraisemblablement du Sylvicole moyen ancien (Tremblay 1995 : 272). Quelques présences datant du Sylvicole ont tout de même été relevées, par exemple à Cap-Chat (Barré 1975) et également à l'embouchure de la rivière Mitis, sur le terrain actuel des Jardins de Mitis (Ruralys 2015). Découvert dans les années 1970, le site DdEa-2 (Jardins de Mitis) a fait l'objet de nouvelles recherches récemment. Celles-ci ont permis d'affermir le statut unique du site DdEa-2 pour la préhistoire du Bas-Saint-Laurent et de la Gaspésie, montrant que le lieu a été occupé de façon sporadique depuis le Sylvicole moyen ancien (2 400 à 1 500 ans AA) jusqu'au Sylvicole supérieur récent (650 à 450 ans AA). Il s'agit du site à composante iroquoienne le plus oriental qui ait été mis au jour sur le côté sud du Saint-Laurent. Par ailleurs, la découverte d'artefacts attribués à la période de Contact indique qu'un groupe amérindien possédant des éléments eurocanadiens s'est arrêté sur le site au début du XVIIe siècle (Ruralys 2015). D'autre part, on a également mis au jour un site montrant des occupations de la préhistoire récente reliées aux populations ancestrales des Mi'kmaq sur le versant nord de la péninsule gaspésienne. Une fouille conduite par Ethnoscop en 2009 sur le site de Saint-Joseph-des-Monts, situé à une dizaine de kilomètres à l'intérieur des terres derrière Sainte-Anne-des-Monts, a permis de reconnaître une succession de trois campements de chasse à l'orignal au même endroit, entre le XIIIe siècle et le XVIe siècle de notre ère (Ethnoscop 2010).

3.1.4 Période autochtone historique (XVIe siècle au XXe siècle)

À la période historique, ce sont les Mi'kmaq qui occupent la région. Proulx (1979) relate quelques mentions de la présence autochtone dans la région, notamment par les Jésuites en 1646, en 1666 et en 1686. Durant le dernier quart du XVIIe siècle, le père Le Clercq écrit dans sa nouvelle relation de la Gaspésie (1675-1686) qu'il a fondé une mission. Celle-ci aurait perduré jusqu'en 1690.

Malgré les recherches menées au cours des dernières décennies, toute la région située à l'est du Bic incluant l'ensemble de la péninsule gaspésienne reste encore peu explorée par l'archéologie et il reste beaucoup à faire pour caractériser avec plus de précision les occupations postérieures à l'épisode Paléoindien récent (Chalifoux et Tremblay 1998 et Ethnoscop 2009 et 2010). Quelques sites préhistoriques sont connus à proximité de Percé, mais très peu de ceux-ci ont offert du matériel diagnostique d'une période culturelle précise.

3.2 Cadre culturel eurocanadien

3.2.1 Côtes gaspésiennes et premiers Européens (XVe et XVIe siècles)

Au cours du XVe siècle, les explorateurs européens découvrent les littoraux et les grands bancs de poissons du golfe du Saint-Laurent et des provinces maritimes canadiennes. Avant même les récits des passages de Jacques Cartier à partir de 1534, des pêcheurs bretons, normands et basques profitent déjà, de façon épisodique, du potentiel halieutique des côtes canadiennes, où ils développent par le fait même les premiers échanges avec des groupes autochtones. La pêche intensive en Gaspésie ne débutera cependant qu'à la toute fin du XVIe siècle. La morue est bien entendu la ressource de prédilection, mais les pêcheurs pratiquent également la chasse aux mammifères marins (Archéocène 2015, Martijn 1986 et Mongrain 2006).

Bien que Samuel de Champlain soit le premier à décrire « l'île Percée » dans ses récits en 1603, une appellation qui désigne à la fois le rocher Percé et l'île Bonaventure, Jacques Cartier est le premier grand explorateur à les contempler, sans pourtant en faire mention. Il atteint pour la première fois la baie des Chaleurs en juillet 1534 et arrive à un cap d'importance passé Port-Daniel qu'il nomme cap de Pratto, correspondant aujourd'hui possiblement au cap d'Espoir. Lors de ses voyages, Jacques Cartier rencontrera notamment des Iroquoiens du Saint-Laurent à Gaspé. Néanmoins, au tournant du XVIIe siècle, ce sont les Mi'kmaq qui sont établis dans le secteur de Gaspé et Percé (Archéocène 2015, Martijn 1986 et Passchier 1985).

3.2.2 Isle Percée au Régime français

Lorsque Samuel de Champlain décrit Percé en 1603, le paysage immédiat est déjà caractérisé par la présence de dizaines de postes saisonniers répartis sur un vaste territoire de pêche. L'Isle Percée offre un havre sécuritaire pour les navires de différentes origines qui y mouillent, mais également une ressource morutière abondante. Champlain reprend dans ses récits le toponyme de l'« Isle Percee » déjà employé par les pêcheurs bretons. Il nomme cependant la baie au nord-ouest du Mont-Joli la Male Baie, aussi appelée baie des Morues sur sa carte de 1632 (figure 3), sur laquelle il identifie également le banc des Orphelins, « une grande zone de pêche à une centaine de kilomètres au sud-est de Percé » (Mongrain 2006 : 29-30). La région de l'île Percée devient rapidement un lieu de ravitaillement pour les navires à destination de Québec, à la suite de sa fondation en 1608. Chaque année, des dizaines de bateaux européens profitent des eaux poissonneuses de la rade de Percé. L'établissement saisonnier fonctionne principalement sous l'autorité des commandants de navires.

Dans les années 1650, Nicolas Denys, nouvellement lieutenant général du territoire allant du cap des Rosiers jusqu'au cap Canceaux, obtient de la Compagnie de la Nouvelle-France le monopole du commerce des fourrures et le « pouvoir de faire une Compagnie sedentaire de pêche des molües [...] et autres poissons qui se trouveront dans toute l'estendue dudit pays, coste de la Cadië, jusques aux Virginies Isles adjacentes » (Leclercq 1999 : 29). Un plan de la

rade de l'île Percée réalisé en 1686 (figure 4) montre les défrichements effectués sur le littoral ainsi que sur l'île Bonaventure, tout comme l'emplacement des habitations temporaires dans l'anse du Sud.

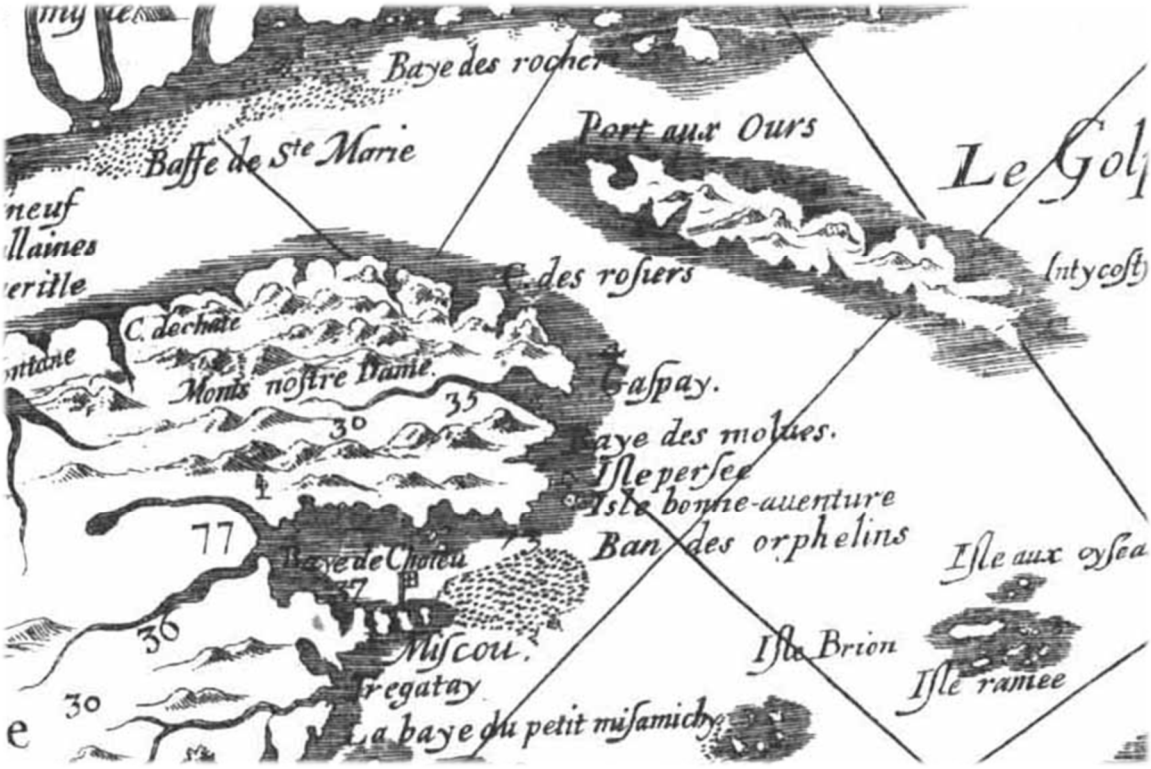


Figure 3. Samuel de Champlain, « Carte de la Nouvelle France », 1632 (BAnQ G/3400/1632/C43 CAR)



Figure 4. Jean-Baptiste Franquelin, « Rade de l'isle Percée », 1686 (BNF GE SH 18 PF DIV 5 P 1/1 D)

En 1672, le territoire de l'île Percée est octroyé par l'intendant Jean Talon à Pierre Denys de La Ronde, neveu de Nicolas Denys, et deux autres associés. La seigneurie devient alors un établissement permanent, assuré principalement par une pêche sédentaire et lucrative. Les Récollets viennent même s'y installer, parmi lesquels le père Chrestien Leclercq dont les écrits sont précieux pour connaître les relations avec les Mi'kmaq. Leclercq aurait implanté la première croix sur le mont Joli en 1670, fondé un cimetière et érigé une chapelle dans le secteur de l'anse du Nord.

Parallèlement aux pêcheries, Percé devient également une plaque tournante dans le commerce des fourrures. L'établissement verra aussi se développer une vocation agricole, principalement à des fins d'autosuffisance. Durant l'été, le secteur de l'Isle Percé est des plus achalandé : les Autochtones y séjournent, des navires sont de passage, une dizaine de navires de pêche bayonnais, rochelais et normands y débarquent de 400 à 500 personnes – dont certains membres d'équipage qui y hivernent – et des gens de la région de Québec s'y rendent aussi chaque année (Francoeur 2008 et Mongrain 2006). Les Autochtones participent activement au commerce des fourrures et aux activités de pêche, représentant des acteurs économiques importants dans le développement de Percé (Archéocène 2015, Hugolin 1912, Leclercq 1999 et Mongrain 2006). Percé devient l'un des ports les plus fréquentés de la colonie et sa localisation en retrait des centres administratifs coloniaux favorise certaines activités interdites, dont la traite illicite des fourrures. L'endroit est un lieu de prédilection pour faire sortir de la colonie les déserteurs, les malfaiteurs et des marchandises prohibées à l'aide des navires de passage. Bref, en Gaspésie et sur le littoral acadien, Percé s'affirme comme le principal poste de pêche jusqu'à la fin du XVIII^{e} siècle.

La région de Percé est malmenée durant l'année 1690, alors que l'établissement et les installations en place sont détruits par les troupes de sir William Phips, et ce, à deux reprises. Les activités de pêche continuent dans la région, mais de façon plus limitée, en raison de la difficulté d'assurer une défense raisonnable et la sûreté de la pêche sédentaire. En plus de la présence de corsaires dans le secteur, le manque de sel dans la colonie freine la relance des pêcheries canadiennes à l'extérieur du fleuve. Ce ralentissement permettra l'essor important d'un autre secteur de la Haute-Gaspésie, le poste de Mont-Louis (Duguay et Pelletier 2011 et Pelletier 2010 et 2012).

Subséquemment, des gens reviennent résider à Percé pour traiter, pêcher ou encore faire de la contrebande des fourrures. Au début du XVIII^{e} siècle, on considère toujours l'endroit comme l'un des meilleurs pour la traite illégale des fourrures (Riverin 1707). La seigneurie de l'Isle Percée est vendue en 1708 à Nicolas Pineau. La pêche par des Européens, des Canadiens et des habitants du secteur se poursuit. Les installations des pêcheurs sont alors réparties entre l'île Bonaventure et les deux anses de Percé (Archéocène 2015 : 23). L'île Percée demeure le toponyme d'usage pour tout le XVIII^{e} siècle. Une carte détaillée de la baie des Chaleurs est tracée en 1724[3] (figure 5) : le rocher Percé est formellement cartographié pour l'une des

[3] Cette carte a été publiée en 1780.

premières fois. La Table à Roland (mont Sainte-Anne), l'île Bonaventure, la Mal Baie et le cap Desespoir (d'Espoir) y figurent aussi.

En 1758, les troupes du général Wolfe en route pour Québec incendient les installations et les bateaux de la Gaspésie; Percé n'y échappe pas. Un recensement effectué deux ans plus tard dénombre dix-sept familles à Percé (Archéocène 2015 : 24).



Figure 5. Jacques L'Hermite et Antoine de Sartine, « Carte de la baie des Chaleurs à la côte Occidentale du golfe de St. Laurent », 1780 (BAnQ G/3452/C354/1724/L44 CAR)

3.2.3 *Pêcheries et installations jersiaises*

Le toponyme Percé ou Percey devient d'usage courant après le changement de régime. Des marchands anglais et d'anciens militaires s'y installent graduellement. Le roi concède entre autres un fief de sept arpents, situé à l'extrémité sud de l'anse du Nord, à John Shoolbred. L'aire d'intervention en fait partie. Le village prend alors de l'expansion et diverses entreprises de pêche voient le jour, dont plusieurs sont canadiennes, et même acadiennes. Parallèlement aux établissements de pêche qui se succèdent côte à côte à l'est du chemin bordant les anses du Sud et du Nord, à l'ouest prennent place de grandes propriétés terriennes. Percé est en outre le principal port d'exportation pour tous les produits de la région, transformés ou non (Archéocène 2015 et 2016b et Mongrain 2006).

Au tournant du XIX[e] siècle, Théophilus Fox, Mortough Moriarty, Andrew Ferguson, Jane Moriarty et Félix O'Hara détiennent tous plus d'une dizaine de chaloupes. L'entreprise qui appartiendra à Charles Robin est alors modeste, dirigée par son frère Philip qui fait face à une forte concurrence (Archéocène 2015 et 2016 et Mongrain 2006). Cette entreprise de pêche de l'île anglo-normande de Jersey, la Robin, Pipon and Company fondée en 1765, commence à s'intéresser au secteur de la baie des Chaleurs. La compagnie installe son siège social à Paspébiac et commence l'exploitation des ressources maritimes de Percé en 1776, sous le nom de Charles Robin and Company (CRC).

Durant la guerre d'indépendance des États-Unis (1776-1783), les raids et incursions incendiaires reprennent. Pasbébiac et Percé sont touchés et les autorités décident de militariser Percé jusqu'à la fin du conflit anglo-américain (Archéocène 2015, Clarke 1913 et Mongrain 2006). On voit naître toute une série d'infrastructures gouvernementales et militaires : la résidence officielle du lieutenant-gouverneur, un baraquement militaire servant aussi de blockhaus, une prison pour les soldats ennemis et une redoute dotée de canons. Un palais de justice et une prison sont aussi aménagés. À la fin de la guerre, les pêcheries reprennent de la vigueur et le village s'agrandit avec l'arrivée de familles loyalistes.

La CRC s'implante dans toute la baie des Chaleurs. En 1787, Nicholas Cox (lieutenant-gouverneur du district de Gaspé), très endetté auprès de Charles Robin, obtient du gouvernement de grandes étendues de terres dans l'anse du Sud et des privilèges de pêche pour la compagnie de Robin. Vers la fin des années 1780, la plupart des concurrents sur cette partie du littoral ont disparu. Une autre compagnie anglo-normande, la Philip and Francis Janvrin and Company, s'installe dans l'anse du Nord sur le territoire qui s'étend de Percé jusqu'à la presqu'île de Forillon. Une relation de bonne entente s'installe entre les deux compagnies, chacune respectant le territoire de l'autre, avec Percé pour frontière – les deux cohabitent à Percé même.

3.2.4 Village de Percé (XIX[e] et XX[e] siècles)

Avec l'arrivée de familles irlandaises fuyant la famine, le village se développe et s'agrandit par l'implantation de nouvelles habitations, de commerces, mais aussi de lieux administratifs. En 1832, Bouchette rapporte que l'établissement comprend « *about 70 houses, principally inhabited by fishermen […] has a court-house and a gaol : the beach in front is very convenient for the curing of fish, and some of the best banks for catching them in Malbay lie off this part of its shore* » (Bouchette 1832). Le village regroupe alors 381 personnes, dont sept commerçants et deux artisans; on y trouve, outre le palais de justice et la prison, une église catholique et un moulin à farine. Avant la fin de la décennie, la population de Percé s'élève à 500 personnes (Archéocène 2015 : 25).

Les plans de Vondelvenden de 1791 (figure 6) et de Bouchette et Walker de 1815 (figure 7) offrent les plus anciens aperçus sur la constitution du village. Celui de 1815 montre la première grille de rues de Percé, probablement mise en place à la fin du XVIII[e] siècle. Comme les plans ultérieurs, il laisse croire à un développement villageois le long de ces rues. Mais ce

ne sont pas toutes les rues qui sont bordées d'habitations (Mongrain 2006 : 45). Les concentrations de bâtiments s'observent plutôt sur les berges des anses du Nord et du Sud, comme le montre la gravure de Thomas Pye de 1866 (figure 8).



Figure 6. William Vondelvenden, « *Plan of the lots behind the fishing bank of Percé* », 1791 (BAnQ Québec E21,S555,SS1,SSS23,PP.6)



Figure 7. Joseph Bouchette et John Walker, « *Plan of the District of Gaspé* », 1815 (BAnQ G 3453 G3 1815 B6 CAR pf)



Figure 8. Percé (Pye 1866 : 30)

Les terres font désormais partie du canton de Percé, mais leur distribution inhabituelle est probablement due à l'appropriation des terres antérieurement à l'arpentage officiel du canton et à la topographie particulière de Percé, un secteur coincé entre la mer et les montagnes. L'illustration de Thomas Pye montre que les installations des compagnies de pêche sont omniprésentes (figure 8). Les principaux commerces appartiennent aux familles Robin, Janvrin, Buteau et LeBouthillier (Ferland 1879). La CRC possède la plus grande part des terrains dans l'anse du Sud, tandis que la compagnie de John LeBouthillier est implantée dans l'anse du Nord (Archéocène 2015 : 24-25). La CRC possède aussi de vastes terres, jusqu'au mont Sainte-Anne (Mongrain 2006 : 45). Dans les années 1860, elle emploie plus de 300 personnes à Percé.

En 1831, un plan du village de Percé est réalisé par William Macdonald pour le compte de la CRC (figure 9), qui exploite « *an extensive fishing post* » (Bouchette 1832). Il s'agit du premier plan détaillé du village. Il montre entre autres les divisions du parcellaire, les bâtiments de la CRC dans l'anse du Sud et la première église anglicane sur le cap Canon. Le secteur de l'aire d'intervention y est toujours indiqué comme faisant partie du brevet foncier de Shoolbred.

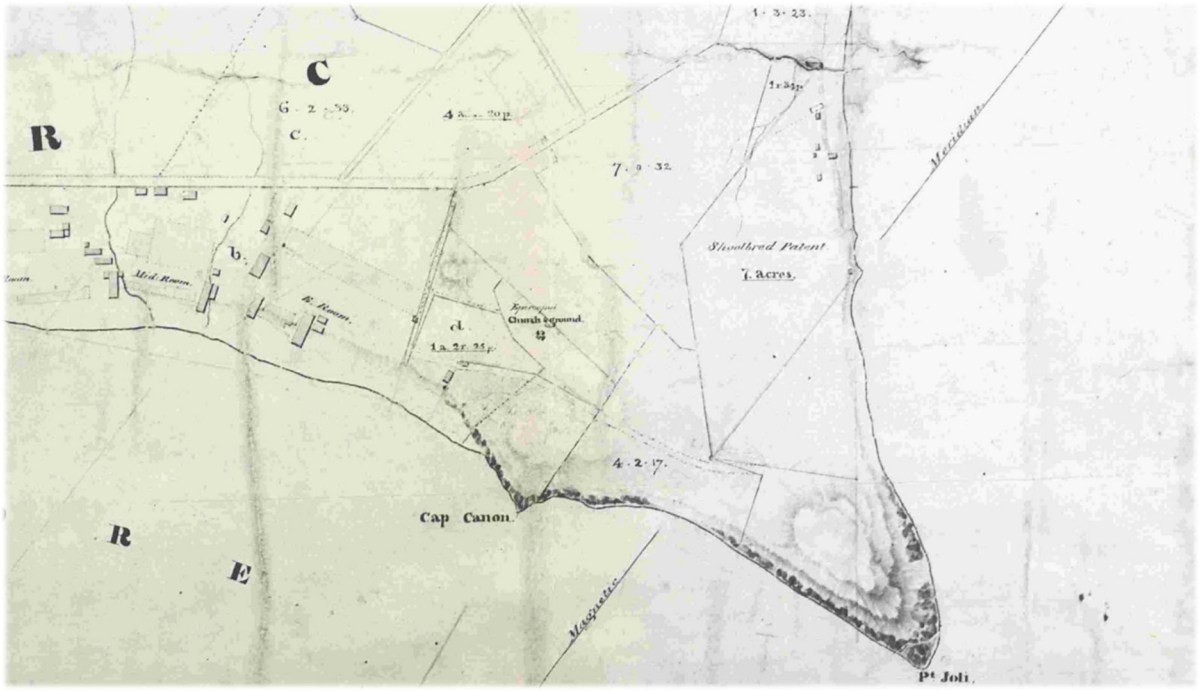


Figure 9. Extrait du plan de William Macdonald, « *Survey of the lands and fishing establishmnts of Messrs Charles Robin & Co lying in the town of Percée in the District of Gaspé and Province of L. Canada* », 1831 (BAC NMC 1563)

À partir des années 1870, le commerce de la pêche à la morue décline progressivement. La transformation des transports, avec l'arrivée des bateaux à vapeur, permet aux pêcheurs de réduire leur dépendance envers les grandes compagnies de pêche. Au XX^{e} siècle, les pêcheries connaissent de grandes difficultés à cause du déclin de la ressource. En 1919, le gouvernement fédéral déclare le rocher Percé et les falaises nord-est de l'île Bonaventure « refuge d'oiseaux

migrateurs »[4]. Par conséquent, les activités de pêche sont stoppées (Archéocène 2015 et Mongrain 2006). L'industrie se transforme avec la diminution des compagnies de pêche au profit d'un réseau de pêcheurs indépendants.

Les liaisons maritimes vont permettre la naissance de circuits touristiques, la beauté du paysage étant vantée par différents écrits et reportages: « L'économie de la région de Percé, jadis l'un des plus importants centres de pêche de l'Est du Canada, repose de plus en plus sur la valorisation de son patrimoine naturel. La cohabitation entre les deux principales activités subsiste encore aujourd'hui, mais l'industrie touristique y assure maintenant l'essentiel de l'économie locale » (Mongrain 2006 : 65). L'arrivée du chemin de fer en 1911 et d'une route nationale en 1928 va désenclaver la région et contribuer à en faire une destination de villégiature. Charles Biard, qui possède des installations de pêcheries dans l'anse du Nord, fait construire le Biard's Beach Hotel en 1901 (TVA Nouvelles CIMT/CHAU 2022). Le complexe comporte, en plus d'une résidence principale, des cabines qui font face à la mer et d'autres bâtiments à vocations agricoles ou d'entreposage au sud de la maison (figures 10 à 12).

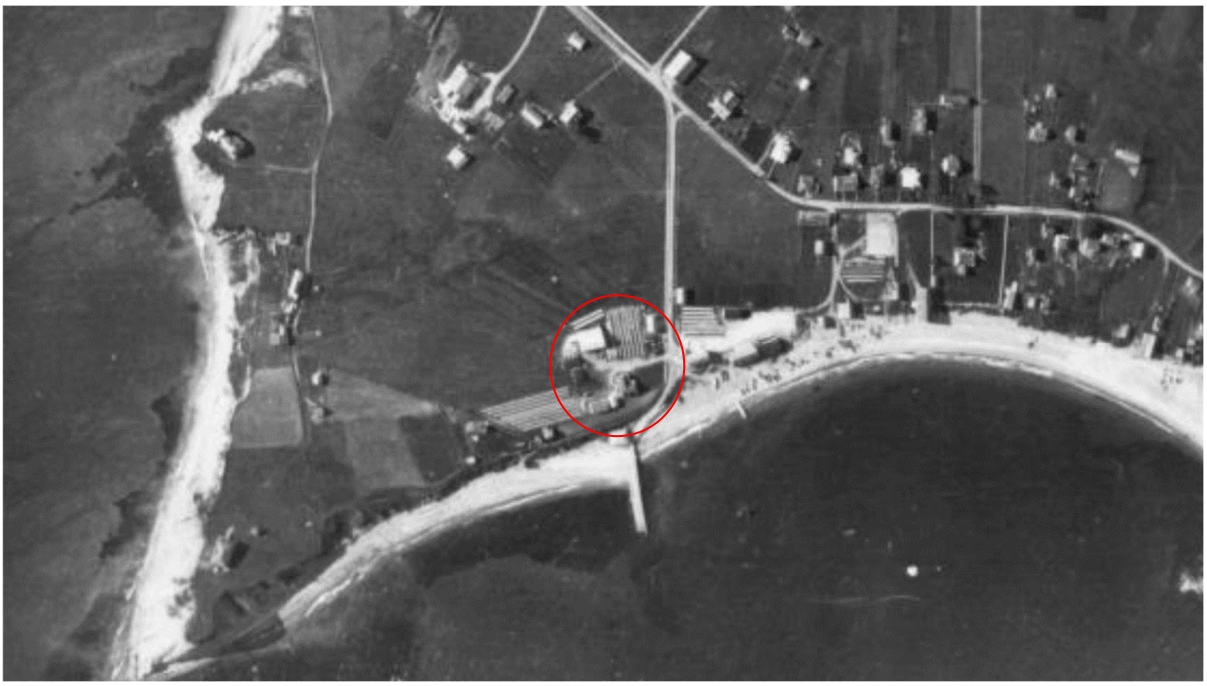


Figure 10. Compagnie aérienne franco-canadienne, Percé, 1928 (BAnQ E21,S110,SS1,SSS1,PH632). Le secteur de la maison Biard est encerclé.

[4] L'île, dont la population est en déclin depuis les années 1870, compte une douzaine de familles lors de la création du refuge, puis une dizaine en 1947 (Bisson 1977 : 81-82). Les derniers résidents sont expropriés au début des années 1970 alors que subsistent une trentaine de bâtiments, concentrés sur le flanc ouest de l'île en face du village de Percé.



Figure 11. Plage Biard, 1930 (Wikimedia Commons)



Figure 12. Extrait d'une photographie de G.A. Driscoll, 1954 (BAnQ E6,S7,SS1,D2591,P131-54D)

Devant la transformation rapide de Percé à partir des années 1950, le gouvernement provincial prend les moyens pour assurer la préservation de ses caractéristiques naturelles. En 1971, il accorde à l'île Bonaventure le statut de « réserve naturelle » et en 1973, il déclare l'arrondissement naturel de Percé en vertu de la Loi sur les biens culturels – il s'agit du premier arrondissement naturel à être déclaré. Avec l'adoption de la Loi sur le patrimoine culturel en 2012, l'arrondissement naturel devient le Site patrimonial de Percé. La maison Biard, qui fait partie du Site patrimonial de Percé, appartenait à l'Université Laval depuis 2003 (TVA Nouvelles CIMT/CHAU 2022). Elle y avait mis en place l'école internationale d'été de Percé qui y hébergeait ses étudiants. Du Biard's Beach Hotel, il ne demeurait que la résidence, les nombreuses cabines ayant été détruites.

3.3 Recherches archéologiques antérieures

Une étude de caractérisation archéologique de la portion continentale du site patrimonial de Percé a été complétée par Archéocène en 2015. L'étude présente le cadre naturel, un cadre historique, le patrimoine cadastral, le patrimoine bâti et les découvertes archéologiques effectuées depuis le milieu du XIX^{e} siècle. Trois zones à fort potentiel archéologique (le village, le cap Blanc et la pointe des Cannes-de-Roches) sont délimitées, chacune divisée en sous-zones. La mise en œuvre d'inventaires dans ces zones à fort potentiel archéologique fait partie des recommandations. La présente aire d'intervention fait partie de la zone IP-1.1. En 2022, le ministère de la Culture et des Communications a octroyé à Ethnoscop la réalisation d'une étude de potentiel archéologique concernant le site patrimonial de Percé. Cette étude visait à préciser et détailler le potentiel archéologique des zones identifiées dans l'étude réalisée par Archéocène en 2015. Le secteur du mont Joli fait partie de la zone A3. Ce potentiel se basait en grande partie sur les écrits de Roy (1947). Selon lui, non seulement des Autochtones auraient fréquenté le mont Joli à la période historique, mais également un cimetière localisé du côté nord du mont aurait accueilli des sépultures autochtones – ce cimetière n'a cependant jamais été localisé précisément.

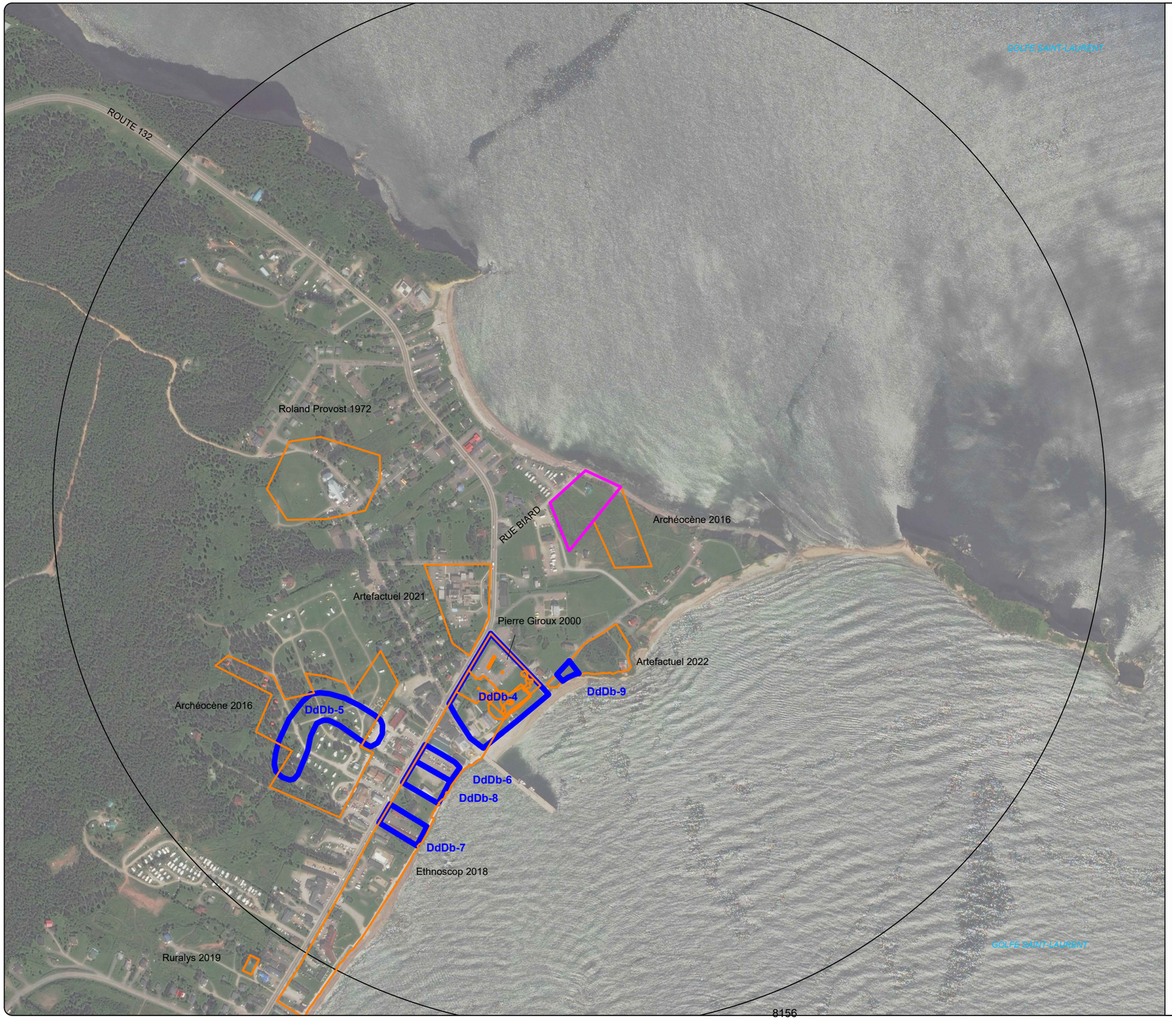
Plusieurs interventions ont été menées dans la région de Percée cependant peu ont été réalisées à proximité de l'aire d'intervention (plan 3). On peut mentionner la découverte du site DdDb-4 (site historique Charles-Robin) lors d'une surveillance archéologique en 2000 (Giroux 2000). L'intervention découlait de travaux d'aménagement paysager et d'agrandissement d'un stationnement. Malgré l'absence de vestiges architecturaux, des assemblages de culture matérielle de la deuxième moitié du XVIII^{e} siècle et de la première moitié du XIX^{e} siècle ont été récoltés à l'ouest et au sud du stationnement. En 2017, un nouvel inventaire réalisé dans le cadre de l'agrandissement du stationnement existant a permis la découverte d'une composante préhistorique de l'époque paléoindienne récente (Ethnoscop 2018). L'intervention a consisté en la réalisation de trois tranchées mécaniques qui ont révélé du matériel préhistorique, avec un inventaire manuel.

En 2015, Archéocène a procédé à un inventaire dans le camping de la Baie de Percé et sur le mont Joli (Archéocène 2016a). Au pied du mont Joli dans la partie sud du *Shoolbred Patent*,

des alignements de pierres et des artefacts des XIX^e^ et XX^e^ siècles ont été trouvés, sans toutefois mener à l'attribution d'un code Borden puisque les aménagements étaient plutôt récents.

Les plus récents inventaires dans le site patrimonial de Percé ont été faits par Artefactuel. Celui de 2020 au palais de justice s'est révélé négatif (Artefactuel 2021)5, mais celui de l'année suivante à la villa Frederick-James a permis la délimitation du site DdDb-9 (*cook house* de la CRC), contenant les traces du *cook room* construit au cours de la première moitié du XIX^e^ siècle pour Charles Robin (Artefactuel 2022).

[5] Ce palais de justice se trouvait sur le même terrain que l'actuel (Artefactuel 2021 : 9).



DÉMÉNAGEMENT DE LA MAISON BIARD, PERCÉ

INVENTAIRE ARCHÉOLOGIQUE, AOÛT 2023

PLAN 3

SITES ARCHÉOLOGIQUES ET ZONES D'INTERVENTIONS ARCHÉOLOGIQUES À PROXIMITÉ DE L'AIRE D'INTERVENTION (1 KM)

AIRE D'INTERVENTION

SITE ARCHÉOLOGIQUE

DdDb-4 CODE BORDEN

ZONE D'INFORMATION ARCHÉOLOGIQUE

Artefactuel 2022 IDENTIFICATION DE ZONE

0 100 200 m

ÉCHELLE : 1/7500

Source : © 2017 Google Maps.
SCOPQ Fuseau 5, NAD83 SCRS et C-GVD28 (NMM)

LAR2333

ethnoscop

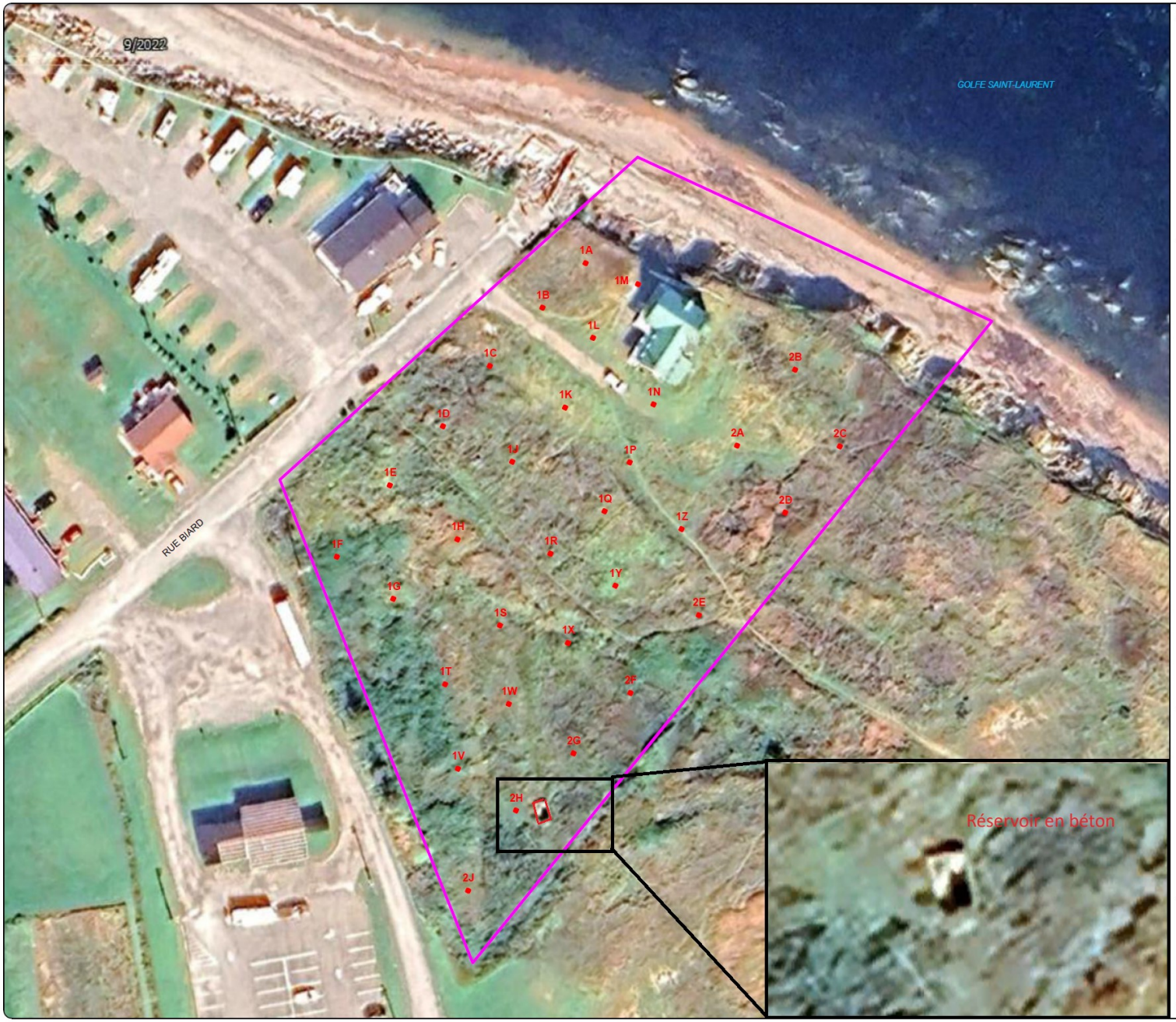
4. MÉTHODES DE TRAVAIL

4.1 Inventaire archéologique

L'inventaire archéologique a été réalisé par un archéologue chargé de projet et trois techniciens-archéologues dans la journée du 17 août 2023, sous le numéro de permis de recherche archéologique 23-ETHN-24. Un inventaire manuel a été conduit afin de valider le potentiel archéologique d'occupation autochtone de l'aire d'intervention. Les sondages fouillés mesuraient entre 0,30 et 0,50 m de côté; ils étaient espacés de 15 m. Ils ont été remblayés avec leurs déblais. Les artefacts ont été récoltés, emballés et identifiés selon la couche d'où ils provenaient. De plus, une inspection visuelle de la surface du sol a été faite afin de localiser d'éventuels vestiges qui auraient pu affleurer. Il était également prévu qu'un inventaire resserré soit réalisé dans deux zones, soit l'emplacement où la maison Biard allait être déplacée et un secteur servant à l'aménagement d'une nouvelle entrée véhiculaire. Étant donné un échéancier très serré et des sols peu propices à la découverte de vestiges archéologiques dans ces secteurs, cette seconde portion de l'inventaire a été abandonnée. L'inventaire manuel a totalisé 32 sondages. Un seul sondage a été abandonné en raison d'un trop haut niveau d'eau.

4.2 Enregistrement des données

Le code temporaire LAR2333 a été utilisé pour identifier le projet. Les sous-opérations ont été numérotées selon le système de Tikal (opération, sous-opération et lot). Chaque sondage a été localisé avec un GPS. Des parois types ont été relevées dans chaque secteur. Celles-ci ont été enregistrées sur une fiche comprenant un croquis stratigraphique représentatif de la séquence des sols dans chacun des sondages types, ainsi que la description des diverses couches incluant les artefacts et écofacts présents. Un journal de bord a également été produit. Des photographies ont été prises afin de rendre compte du déroulement des travaux.



DÉMÉNAGEMENT DE LA MAISON BIARD, PERCÉ

INVENTAIRE ARCHÉOLOGIQUE, AOÛT 2023

PLAN 4

LOCALISATION DES SOUS-OPÉRATIONS

AIRE D'INTERVENTION

SONDAGE

1A IDENTIFICATION DE SONDAGE

0 10 20 m

ÉCHELLE : 1/750

Source : © 2022 Google Earth
SCOPQ Fuseau 5, NAD83 SCRS et C-GVD28 (NMM)

LAR2333

ethnoscop

5. RÉSULTATS

5.1 Zone nord-est

La maison Biard se trouve dans la partie nord-est du terrain. Autour de la maison, le terrain est aménagé si bien qu'on y retrouve surtout une surface gazonnée et une allée en gravier (photo 1). Plus loin derrière la maison, il y a également une surface couverte de foin et de hautes herbes. Bien que plat, le terrain présente une légère pente vers l'ouest. Les numéros de sous-opération 1A, 1B, 1K à 1P et 1Z à 2D sont attribués à cette zone (plan 4).

Devant et sur le côté de la maison Biard, la surface du sol est constituée d'un limon sableux brun foncé meuble (photo 2). Cette couche d'environ 0,15 m d'épaisseur est un aménagement paysager qui a été posé durant la seconde moitié du XX^{e} siècle ou au début du XXI^{e} siècle. Des tessons de bouteille en verre coloré brun ont été récoltés dans cette couche. Cette dernière recouvre un limon sableux brun foncé compact caractérisé par la présence de gravier arrondi et d'anthracite. Cette surface de circulation d'une épaisseur de 0,15 m a livré des coquilles de mollusque, des os de mammifères et d'oiseaux, des tessons de terre cuite fine blanche, de terre cuite fine blanche vitrifiée et de grès grossier à glaçure saline brune, du verre incolore sans plomb, teinté verre, coloré vert et coloré brun, des clous forgés, découpés et tréfilés, et du plastique. Bien qu'un jeton Habitant qui date de 1837 (photo 3), une épingle en laiton étamé et un fourneau de pipe en terre cuite fine argileuse blanche aient également été retrouvés dans cette couche, elle est attribuée à la seconde moitié du XX^{e} siècle en raison de la présence de styromousse. Le sommet du sol naturel est un limon légèrement sableux brun foncé compact qui a livré des os de mammifères, des coquilles de bivalve, de la terre cuite fine blanche, du verre coloré vert à bouteille de gin et un clou forgé. Ces artefacts pourraient dater du XIX^{e} siècle. D'une épaisseur de 0,12 m, il repose sur un limon argileux rouge, compact.

Derrière la maison, la couche d'aménagement paysager recouvre un niveau d'argile ou de limon sableux brun rougeâtre compact dans lequel des morceaux de béton et du gravier arrondi à anguleux ont été observés (photo 4). D'une épaisseur de 0,50 m, cette couche a livré des coquilles de bivalves, des clous découpés et tréfilés, des tessons de terre cuite fine blanche, un bouchon en verre incolore sans plomb, des fragments de bouteille en verre coloré vert et brun, du verre à vitre teinté vert et une perle en plastique. Une pièce d'un cent américain datant de 1944 et une autre de cinq cents canadien de 1949 y ont également été récoltées. Ces artefacts sont attribués au XX^{e} siècle. Dessous, le sol naturel est une argile limoneuse brun rougeâtre, compacte et qui a été sondée sur 0,20 m de profondeur. Le roc a été atteint en fond de terrain.



Photo 2. Paroi sud de la sous-opération 1L, vue vers le sud (LAR2333-NUM1-19)



Photo 3. Jeton de 1837 (lot 1B2) et pièces de monnaie de 1944 (lot 1N2) et de 1949 (lot 2A2) (photographie Isabelle Hade)



Photo 4. Paroi est de la sous-opération 1N, vue vers l'est (LAR2333-NUM1-22)

5.2 Zone centrale

La deuxième section à présenter une séquence stratigraphique similaire est la partie centrale du terrain. Elle comprend les sous-opérations 1C, 1D, 1J, 1Q, 1R, 1Y et 2E (plan 4). Cette partie du terrain est recouverte d'herbes hautes et de foin. La zone est bosselée et de l'eau remonte au fond des sondages (photo 5).



Photo 5. Vue d'ensemble vers l'est de l'aire d'intervention (LAR2333-NUM1-4)

Comme pour la zone nord-est, le sommet de la séquence stratigraphique est occupé par un limon brun foncé meuble (figure 13 et photo 6). Son épaisseur est cependant plus importante, atteignant 0,18 m. Des tessons de terre cuite fine blanche et de grès grossier à glaçure saline et engobe de type Albany, un fragment de verre incolore sans plomb, du verre à vitre et des clous forgés y ont été récoltés. Il pourrait s'agir d'une couche de labour attribué au XX^{e} siècle. Elle repose sur une couche d'argile limoneuse rougeâtre compacte ou un limon sableux brun plutôt compact qui a livré un clou tréfilé, ainsi que des tessons de terre cuite fine blanche et de terre cuite fine blanche vitrifiée. D'une épaisseur de 0,15 m, cette couche est également attribuée au XX^{e} siècle. Il pourrait s'agir d'une plus ancienne couche de labours. Elle recouvre un limon sableux brun foncé compact caractérisé par la présence de gravier arrondi et de fragments de briques. Son épaisseur est de 0,22 m. Il pourrait s'agir d'une ancienne couche de labour puisqu'elle a livré des tessons de terre cuite fine blanche. Cette couche se serait quand même formée durant le XX^{e} siècle étant donné qu'elle renfermait un long clou tréfilé. Le sol naturel stérile est un sable beige jaunâtre trop compact pour être sondé manuellement.

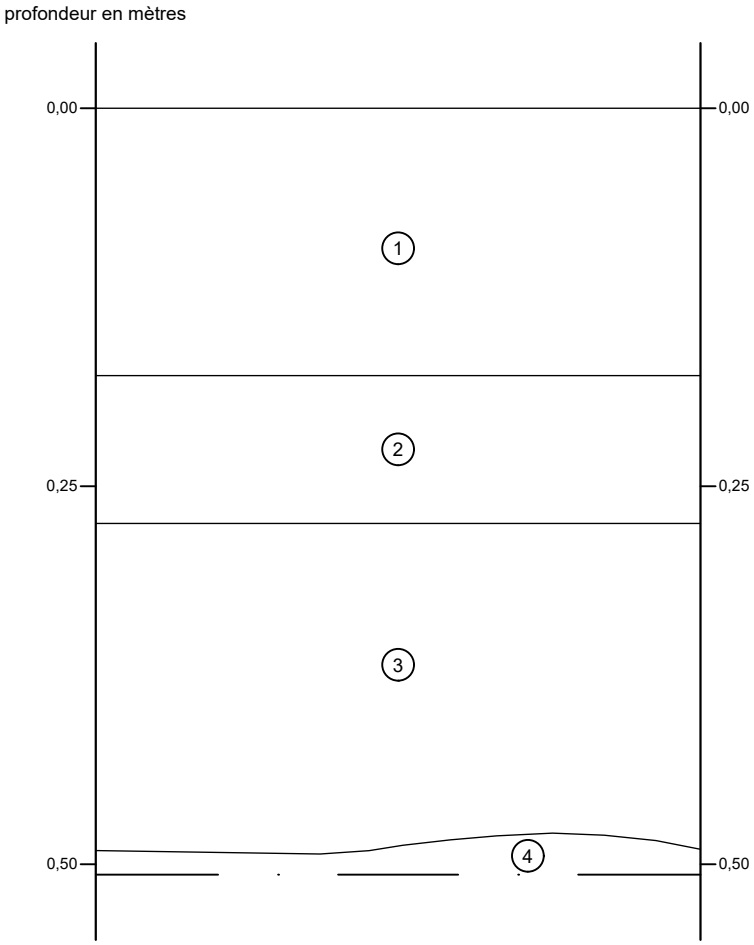


Photo 6. Paroi ouest de la sous-opération 1D, vue vers l'ouest (LAR2333-NUM1-12)

DÉMÉNAGEMENT DE LA MAISON BIARD, PERCÉ

SOUS-OPÉRATION 1D, PAROI OUEST

CROQUIS STRATIGRAPHIQUE



1. Limon brun foncé, meuble; labours
2. Argile limoneuse rougeâtre, compacte, avec un clou et de la terre-cuite fine blanche; remblai de nivellement
3. Limon sableux brun foncé, compact, avec du gravier arrondi et des fragments de briques; labours
4. Sable beige jaunâtre, compact; sol naturel stérile

— · — Limite de fouille

0 0,2 m

ÉCHELLE : 1/5

LAR2333

ethnoscop

FIGURE 13

5.3 Zone sud-ouest

La zone sud-ouest comprend les sous-opérations 1E à 1H, 1S à 1X et 2F à 2J. Son environnement est semblable à celui de la zone centrale, c'est-à-dire un terrain bosselé et recouvert de foin et de hautes herbes. Dans sa partie ouest, le terrain est en partie inondé.

La surface du sol est un limon sableux brun foncé meuble d'une épaisseur de 0,35 m (photo 7). Il a livré des tessons de terre cuite fine à pâte chamois et de terre cuite fine blanche, des fragments de bouteilles en verre incolore sans plomb et en verre coloré vert, des clous découpés et tréfilés, et un os de mammifère. Il pourrait s'agir d'une couche de labours datant du XX^{e} siècle. Un tuyau en plastique placé dans une orientation nord-ouest – sud-est est apparu à la base de cette couche dans la sous-opération 1E. Il desservait peut-être un réservoir d'eau située dans la portion sud-est de cette zone (photo 8). Ce réservoir en béton mesure 3,58 m de longueur sur 2,53 m de largeur et il a été observé sur un mètre de hauteur. Il a été coulé dans une forme constituée de planches de 0,15 m de largeur environ. Il pourrait s'agir de béton armé puisqu'au moins une tige de métal sort d'un coin. Cette structure est déjà présente sur une photographie aérienne de 1928. Il est difficile de déterminer la date d'abandon de cette structure puisque des bâtiments agricoles sont visibles sur le terrain jusqu'au début du XXI^{e} siècle. Dans le bas de la séquence stratigraphique se trouve un dépôt de limon noir, compact et de 0,15 à 0,35 m d'épaisseur, qui pourrait résulter de la forte quantité d'eau stagnante dans le sol. Il surmonte un sol naturel stérile formé d'un sable limoneux à argileux beige jaunâtre, meuble à compact.



Photo 7. Paroi ouest de la sous-opération 2G, vue vers l'ouest (LAR2333-NUM1-45)



Photo 8. Réservoir en béton situé dans la portion sud-ouest du terrain (LAR2333-NUM1-50)

6. CONCLUSION

À l'été 2023, Ethnoscop a reçu le mandat d'effectuer un inventaire archéologique sur le terrain de la maison Biard, à Percé. Ces travaux étaient planifiés dans le cadre du projet de déménagement de la maison Biard et de l'aménagement d'une nouvelle entrée véhiculaire. Le potentiel archéologique du mont Joli avait été démontré par deux études de potentiel archéologique. L'intervention, qui s'est déroulée dans la journée du 17 août 2023, a mené à la fouille manuelle de 32 sondages.

Les séquences de sols observées dans l'emprise du terrain de la maison Biard témoignent essentiellement des activités qui ont pu y être pratiquées durant le XX^{e} siècle, c'est-à-dire l'agriculture et la villégiature. Le mélange d'artefacts fabriqués au XIX^{e} et au XX^{e} siècles indique que les sols ont vraisemblablement été bouleversés, voire rapportés, au XX^{e} siècle. Un réservoir d'eau en béton a également été localisé dans la portion sud-ouest du terrain. Il a probablement été construit durant le premier quart du XX^{e} siècle et a été utilisé jusqu'à une époque indéterminée. Malgré la présence d'un niveau d'eau élevé, le sol naturel a été atteint dans chaque sondage. Son sommet semble toutefois avoir été décapé ou remanié en grande partie. Aucun vestige témoignant d'une occupation autochtone ancienne n'a été localisé. Aucune autre expertise n'est par conséquent recommandée sur le terrain de la maison Biard.

MÉDIAGRAPHIE

ARCHÉOCÈNE

2015 *Étude de caractérisation archéologique du site patrimonial de Percé*. Percé, Ville de Percé.

2016a *Inventaire archéologique de l'ancien camping de la Baie-de-Percé et d'une parcelle du Mont-Joli.* Percé, Ville de Percé.

2016b *Inventaire et supervisions archéologiques au site de la maison Leber-Lemoyne, arrondissement Lachine, Montréal. Site BiFk-06, opérations 10-11 et 12 (2015).* Montréal, Ville de Montréal.

ARTEFACTUEL

2021 *Palais de justice de Percé, Inventaires archéologiques (2020), Projets SQI 518159 et 522061*. Québec, Société québécoise des infrastructures.

2022 *Inventaire archéologique à la villa Frederick-James, Percé (2021).* Québec, Société québécoise des infrastructures.

ASNONG, H. et Pierre J. H. RICHARD

2003 « La végétation et le climat postglaciaires du centre et de l'est de la Gaspésie, au Québec », dans *Géographie physique et Quaternaire*, vol. 57, nº 1, p. 37-63. Montréal, Université de Montréal.

BARRÉ, George

1975 *Cap-Chat (DgDq-1), un site du Sylvicole moyen en Gaspésie*. Québec, Ministère des Affaires culturelles du Québec.

BENMOUYAL, José

1978 *Fouilles et reconnaissances dans l'est Gaspésien*. Volume 1. Ministère des Affaires culturelles du Québec.

1987 *Des Paléoindiens aux Iroquoiens en Gaspésie : six mille ans d'histoire*. Québec, Ministère de la Culture et des Communications.

BISSON, Marguerite

1977 *Histoire de l'île Bonaventure*. Québec, Ministère du Tourisme, de la Chasse et de la Pêche.

BOUCHETTE, Joseph

1832 *A topographical Dictionary of the province of Lower Canada*. Londres, Longman.

CHALIFOUX, Éric

1999a « Late Paleoindian Occupation in a Coastal Environment: A Perspective from La Martre, Gaspé Peninsula, Québec », dans *Northeast Anthropology* nº 57, p. 69-79. Albany, University at Albany.

1999b « Les occupations paléoindiennes récentes en Gaspésie : résultats de la recherche à La Martre », dans *Recherches amérindiennes au Québec*, vol. 29, nº 3, p. 77-93. Montréal.

CHALIFOUX, Éric et Roland TREMBLAY
1998 *Entre les Monts Chic-Chocs et la Mer de Goldthwait: L'adaptation des premiers occupants de la vallée de La Martre. Rapport synthèse des activités archéologiques de 1995 et 1997*. Québec, Ministère de la Culture et des Communications.

CHAPDELAINE, Claude
1994 *Il y a 8000 ans à Rimouski... Paléoécologie et archéologie d'un site de la culture Plano*. Paléo-Québec nº 22. Montréal, Recherches amérindiennes au Québec.

2007 *Entre lacs et montagnes au Méganticois. 12 000 ans d'histoire amérindienne*. Paléo-Québec nº 32. Montréal, Recherches amérindiennes au Québec.

CLARKE, John Masson
1913 *The Heart of Gaspé. Sketches in the Gulf of St. Lawrence*. New York, Macmillan.

DUGUAY, Françoise et Tommy Simon PELLETIER
2011 *Fouille de sauvetage sur le site DhDk-1 à l'été 2010, Saint-Maxime-du-Mont-Louis, Gaspésie*. Québec, Ministère de la Culture, des Communications et de la Condition féminine.

ETHNOSCOP
1996 *Le site préhistorique de La Martre (DhDm-1). Intervention archéologique 1995*. La Martre, Corporation du centre d'interprétation d'archéologie préhistorique de la Gaspésie à La Martre.

1997 *Le site préhistorique de La Martre (DhDm-1). Interventions archéologiques 1996*. La Martre, Corporation du centre d'interprétation d'archéologie préhistorique de la Gaspésie à La Martre.

2009 *Intégration de la production éolienne au réseau de transport. Ligne à 161 kV du parc éolien de la Montagne-Sèche et projet connexe. Étude de potentiel archéologique.* Montréal, Hydro-Québec.

2010 *Intégration de la production éolienne au réseau de transport. Ligne à 230 kV au Goémon – Mont-Louis – Gros-Morne. Fouille archéologique, site Saint-Joseph-des-Monts (DgDo-14), été 2009.* Hydro-Québec Équipement.

2011 *Intégration de la production éolienne au réseau de transport. Ligne à 161kV du parc éolien de Montagne-Sèche. Tronçon Grande-Vallée – Montagne-Sèche. Bretelle d'accès 1. Inventaire archéologique*. Hydro-Québec Équipement.

2018 *Interventions archéologiques à Percé, 2017. DdDb-4, DdDb-6, DdDb-7, DdDb-8, PER1701*. Percé, Ville de Percé.

2023 *Site patrimonial de Percé. Étude de potentiel archéologique*. Québec, Ministère de la Culture et des Communications.

FERLAND, Jean-Baptiste-Antoine
1879 *La Gaspésie*. Québec, Imprimerie A. Côté.

FRANCOEUR, Marie-Claude
2008 *Le développement socio-économique des seigneuries gaspésiennes sous le Régime français : un modèle régional unique*. Québec, Université Laval.

GIROUX, Pierre
2000 *Expertise archéologique sur le site Charles-Robin à Percé lors des travaux d'aménagement paysager et d'agrandissement du stationnement*. Société des établissements de plein air du Québec.

GRAILLON, Éric
2011 *Camp d'archéologie du Musée de la nature et des sciences de Sherbrooke : évaluation du site Gaudreau (BkEu-8) de Weedon, été 2010.* Québec, Ministère de la Culture, des Communications et de la Condition féminine.

2013 *Camp d'archéologie du Musée de la nature et des sciences de Sherbrooke : Intervention sur le site Gaudreau (BkEu-8) de Weedon, été 2012.* Québec, Ministère de la Culture et des Communications.

HOUDE-POIRIER, Myriane
2014 *Écoulements glaciaires au Wisconsinien supérieur, déglaciation et variations du niveau marin relatif dans la région de Gaspé, Québec*. Rimouski, Université du Québec à Rimouski.

HUGOLIN, père
1912 *L'établissement des récollets à l'Isle Percée*. Québec.

JETTÉ, Hélène et Pierre J.H. RICHARD
1992 « Contribution à l'histoire postglaciaire de la végétation en Gaspésie méridionale, Québec », dans *Géographie physique et Quaternaire*, vol. 46, n° 3, p. 273-284. Montréal, Université de Montréal.

LECLERCQ, Chrestien
1999 *Nouvelle relation de la Gaspésie*. Montréal, Presses de l'Université de Montréal.

MARTIJN, Charles A.
1986 *Les Micmacs et la mer. Signe des Amériques*. Montréal, Recherches amérindiennes au Québec.

MINISTÈRE DE L'ÉNERGIE ET DES RESSOURCES NATURELLES
« SIGÉOM. Carte Interactive », consulté le 15 mars 2024. https://sigeom.mines.gouv.qc.ca/signet/classes/I1108_afchCarteIntr.

MONGRAIN, Guy
2006 *Étude de caractérisation de l'arrondissement naturel de Percé*. Québec, Commission des biens culturels du Québec.

PASSCHIER, Françoise
1985 *Le système économique micmac; perspectives ethnohistoriques au XVII^e siècle*. Québec, Commission des biens culturels du Québec.

PELLETIER, Tommy Simon
2010 *Inventaire archéologique dans le village de Mont-Louis et le site DhDk-1*. Québec, Université Laval.

2012 *Le barachois du Mont-Louis, un témoin privilégié des pêcheries sédentaires dans le Canada de la Nouvelle-France*. Québec, Université Laval.

PINTAL, Jean-Yves
2006 « Le site de Price et les modes d'établissement du Paléoindien récent dans la région de la rivière Mitis », dans *Archéologiques* n^o 19, p. 1-20. Québec, Association des archéologues du Québec.

PROULX, André
1979 *Évaluation du potentiel archéologique sur l'île Bonaventure. DdDb-1, DdDb-2, DcDb-1.* Québec, Ministère des Affaires culturelles.

RICHARD, Pierre J.H., Jean J. VEILLETTE, Alayn C. LAROUCHE, Bernard HÉTU et Pierre GANGLOFF
1997 « Chronologie de la déglaciation en Gaspésie: nouvelles données et implications », dans *Géographie physique et Quaternaire*, vol. 51, n^o 2, p. 163-184. Montréal, Université de Montréal.

RIVERIN, Denis
1707 *Mémoire de Denis Riverin, 11 avril 1707*. Paris, Archives nationales d'outre-mer.

ROY, C.E.
1947 *Percé, son histoire, sa nature, son histoire*. Gaspé, Évêché de Gaspé.

RURALYS
2015 *Fouille archéologique sur le site de la pointe de l'embouchure de la rivière Mitis, DdEa-2 (été 2014). Projet de mise en valeur de la pointe de l'embouchure de la rivière Mitis*. Métis, Jardins de Métis.

SOCIÉTÉ D'ARCHÉOLOGIE PRÉHISTORIQUE DU QUÉBEC
1970 *Activités de la S. A. P. Q., 1969, Pointe-aux-Buissons (Pointe-du-Buisson), La Martre, Mandeville*. Société d'archéologie préhistorique du Québec.

TREMBLAY, Roland
1995 « L'île aux Corneilles: deux occupations du Sylvicole supérieur entre la province de Canada et le Saguenay ». *In* Anne-Marie Balac, Claude Chapdelaine, Norman Clermont et Françoise Duguay (éds), *Archéologies Québécoises*, p. 271-306. Montréal, Recherches amérindiennes au Québec.

TVA NOUVELLES CIMT/CHAU
2022 « La maison patrimoniale Biard de Percé en vente par l'Université Laval », consulté le 20 mars 2024.
https://cimtchau.ca/nouvelles/la-maison-patrimoniale-biard-de-perce-en-vente-par-luniversite-laval/.

VEILLETTE, Jean J. et M. CLOUTIER
1993 *Géologie des formations en surface, Gaspésie, Québec*. Commission géologique du Canada.

WRIGHT, James V.
1982 « La circulation de biens archéologiques dans le bassin du Saint-Laurent au cours de la préhistoire », dans *Recherches amérindiennes au Québec*, vol. 12, n° 3, p. 193-205. Montréal.

Annexes

Annexe 1 Inventaire des artefacts et des écofacts

Annexe 2 Catalogue des photographies

Annexe 1 Inventaire des artefacts et des écofacts

Inventaire des artefacts et écofacts

Site : Maison Biard | **Archéologue : Nicolas Fortier** | **Date : Décembre 2023**
Code : LAR2333 | **Analyste : Isabelle Hade** | **Collection : SO**

Lot	Code mat.	Matériau	Objet	No. frag.	No. obj.	Code fonction	Fonction	Inté-grité	Commentaires	No. Bte	No. Cat.
1A01	2.3.1.10	V col transp brun	bouteille	6	1	4.10	Entreposage ind.	Frag	Fragments de col (1) et de paroi de bouteille cylindrique. Cicatrices de fabrication à la machine post 1900. Probablement le même objet. Élagués.	NC	
1A02	1.1.2.61	TCF blanche	contenant	4	0	4.99	Consommation ind.	Frag	Petits fragments de paroi. Décor à motif indéterminé imprimé en bleu. Peut-être le même objet. Élagués.	NC	
1A02	1.1.2.61	TCF blanche	contenant	1	0	4.99	Consommation ind.	Frag	Petit fragment de paroi. Décor à motif indéterminé imprimé en brun. Élagué.	NC	
1A02	1.1.2.61	TCF blanche	contenant	1	0	4.99	Consommation ind.	Frag	Petit fragment de paroi. Décor à motif de feuillage imprimé en brun. Élagué.	NC	
1A02	1.1.2.61	TCF blanche	contenant	14	1	4.99	Consommation ind.	Frag	Petits fragments de base à pied annulaire (1) et de paroi. Sans décor apparent. Appartenant peut-être à des objets décrits précédemment. Élagués.	NC	
1A02	2.3.1.10	V col transp brun	bouteille	1	0	4.10	Entreposage ind.	Frag	Très petit fragment de paroi de bouteille cylindrique. Élagué.	NC	
1A02	3.1.1.1	Fer ind	anneau	1	1	7.1	Indéterminé	Ent	Anneau dont la surface intérieure est plutôt plate. 1,6 cm de diam. ext. 1,4 cm de diam. int. Élagué.	NC	
1A02	3.1.1.11	Fer forgé	clou forgé	4	1	4.7.2.3	Fixations-clous	Frag	Fragments de tête (3) et de pointe. Corrodés. Élagués.	NC	
1A02	5.1.1	Os	ossements	1	0	6.1.1.1	Mammifères	Frag	Fragment. Élagué.	NC	
1A02	5.1.4	Coquille	bivalve	1	0	6.1.2	Mollusques	Frag	Coquille de type huître. Élaguée.	NC	
1A02	5.1.6	Charbon	résidu	1	0	4.8.1	Chauffage	Frag	Fragment de charbon minéral (anthracite). Élagué.	NC	
1A02	5.3	Solides semi-plastiques	résidu	1	0	7.1	Indéterminé	Frag	Fragment informe de styromousse blanc. Élagué.	NC	
1A03	5.1.1	Os	ossements	3	0	6.1.1.1	Mammifères	Frag	Fragments. Élagués.	NC	
1B02	1.1.2.61	TCF blanche	contenant	1	0	4.99	Consommation ind.	Frag	Petit fragment de paroi. Sans décor apparent. Élagué.	NC	
1B02	1.1.2.61	TCF blanche	contenant	1	0	4.99	Consommation ind.	Frag	Petit fragment de paroi. Décor à motif indéterminé imprimé en bleu. Élagué.	NC	
1B02	3.1.2	Métaux et alliages cuivreux	jeton	1	1	5.2	Commerce	Ent	Jeton de l'Habitant. Avers: [PROVINCE DU BAS]CANADA / UN SOU /) (représentation d'un personnage masculin debout vêtu d'un costume traditionnel). Revers: BANK / [TOKEN] / [1]8[37] (sur ruban) / (représentation d'une croix de Saint-André flanquée d'une rose, d'un trèfle, d'un chardon et d'un castor, ceinturée d'une jarretière ovale dont les extrémités forment un ruban entrelacé)-armoiries de la ville de Montréal. 2,8 cm de diam. sur 0,22 cm d'épais. http://numicanada.com/jetons-medailles-banques.php?jeton=1-penny-1837-banque-du-peuple&id=16 Élagué.	NC	
1B02	3.2.2.2	Laiton étamé	épingle	2	2	1.5.8.1	Tissus, outils	Ent	Épingles à tête ronde. 3,2 cm de long. Élaguées.	NC	
1B02	5.1.1	Os	ossements	5	0	6.1.1.2	Oiseaux	Frag	Fragments. Élagués.	NC	
1B02	5.1.4	Coquille	bivalve	2	0	6.1.2	Mollusques	Frag	Coquilles de type huître. Élaguées.	NC	
1B03	1.1.2.61	TCF blanche	contenant	1	0	4.99	Consommation ind.	Frag	Petit fragment de paroi. Sans décor apparent. Élagué.	NC	

Lot	Code mat.	Matériau	Objet	No. frag.	No. obj.	Code fonction	Fonction	Inté-grité	Commentaires	No. Bte	No. Cat.
1B03	2.3.1.1	V col transp vert foncé	bouteille à gin	1	0	4.2.1.2	Boissons, conserv./entreposage	Frag	Petit fragment de paroi de bouteille carrée. Élagué.	NC	
1B03	3.1.1.11	Fer forgé	clou forgé	1	1	4.7.2.3	Fixations-clous	Ent	Clou de 3,5 cm de long. Corrodé. Élagué.	NC	
1B03	5.1.4	Coquille	bivalve	1	0	6.1.2	Mollusques	Frag	Coquille de type palourde. Élaguée.	NC	
1C01	1.1.1.3	TCG sans glaçure	brique	1	0	4.7.1.2	Matériaux de base-divers	Frag	Éclat à pâte orange rosé. Élagué.	NC	
1C01	1.1.2.61	TCF blanche	contenant	1	0	4.99	Consommation ind.	Frag	Fragment de paroi carénée. Décor à motif oriental imprimé en bleu. Élagué.	NC	
1C01	1.1.2.61	TCF blanche	contenant	1	0	4.99	Consommation ind.	Frag	Minuscule éclat. Trace d'un décor indéterminé, bleu. Élagué.	NC	
1C01	1.1.2.61	TCF blanche	contenant	2	0	4.99	Consommation ind.	Frag	Petits fragments de paroi. Décor à motif indéterminé imprimé en brun. Objets différents. Élagués.	NC	
1C01	1.1.2.61	TCF blanche	contenant	6	1	4.99	Consommation ind.	Frag	Petits fragments de rebord (1) et de paroi. Sans décor apparent. Appartenant peut-être à des objets décrits précédemment. Élagués.	NC	
1C01	1.2.1.101	GG glaç sal et Albany	contenant	1	0	4.99	Consommation ind.	Frag	Fragment de paroi. Enduit Albany sur la surface intérieure, glaçure saline. Élagué.	NC	
1C01	2.1.1.9	V inc sans plomb non-id.	cheminée de lampe?	1	0	4.8.2	Éclairage	Frag	Petit fragment de paroi mince. Élagué.	NC	
1C01	2.2.1.1	Verre teinté rég. vert	vitre	4	0	4.7.1.1	Matériaux de base-vitre	Frag	Fragments plat de teintes et d'épaisseurs différentes. Entre 0,16 cm et 0,18 cm d'épais. Élagués.	NC	
1C01	3.1.1.11	Fer forgé	clou forgé	3	3	4.7.2.3	Fixations-clous	Ent	Clous de 5 cm, de 6 cm et de 7 cm de long. Très corrodés. Élagués.	NC	
1D02	3.1.1.13	Fer tréfilé	clou tréfilé	1	1	4.7.2.3	Fixations-clous	Ent	Clou de 11 cm de long. Très corrodé. Élagué.	NC	
1D03	1.1.2.61	TCF blanche	contenant	1	0	4.99	Consommation ind.	Frag	Fragment plat de fond. Décor à motif d'arbre imprimé en bleu. Élagué.	NC	
1D03	1.1.2.61	TCF blanche	contenant	1	0	4.99	Consommation ind.	Frag	Fragment de paroi près d'une base à pied annulaire. Sans décor apparent. Élagué.	NC	
1D03	3.1.1.1	Fer ind	clou indéterminé	1	0	4.7.2.3	Fixations-clous	Frag	Clou dont la corrosion empêche une meilleure identification. Élagué.	NC	
1D03	3.1.1.1	Fer ind	résidu	1	0	7.1	Indéterminé	Frag	Fragment informe de plaque mince et corrodé (tôle). Élagué.	NC	
1D03	3.1.1.1	Fer ind	anneau	1	0	7.1	Indéterminé	Frag	Anneau avec une queue. 1,7 cm de diam. Corrodé. Bouton? Oeillet? Élagué.	NC	
1D03	3.1.1.13	Fer tréfilé	clou tréfilé-spike	1	1	4.7.2.3	Fixations-clous	Ent	Gros clou de type spike. 30 cm de long. Très corrodé. Élagué.	NC	
1E01	1.1.2.114	TCF chamois glaçure brune	contenant	2	0	4.99	Consommation ind.	Frag	Fragments de paroi. Sans décor apparent. Glaçure de type Rockingham. Probablement le même objet. Élagués.	NC	
1E01	1.1.2.61	TCF blanche	assiette	1	1	4.1.3.3	Alimentation, vaisselle de table	Frag	Fragment de rebord ondulé. Trace d'un motif indéterminé moulé en relief sous la lèvre.	NC	
1E01	1.1.2.61	TCF blanche	tasse?	5	1	4.1.3.3	Alimentation, vaisselle de table	Frag	Fragments de base à pied annulaire (2) et de paroi. Sans décor apparent. Probablement le même objet. Élagués.	NC	
1E01	2.1.1.9	V inc sans plomb non-id.	bouteille	1	1	4.10	Entreposage ind.	Frag	Fragment de base ovale à fond légèrement en retrait. Inscription moulée en relief sous le fond: RIGO. Inscription moulée en relief au-dessus de la base: PRICE [...] ¢. 4,5 cm de long. sur 4 cm de larg. Fabrication par procédé Owens. Élagué.	NC	
1E01	2.3.1.1	V col transp vert foncé	bouteille à alcool	2	0	4.2.1.2	Boissons, conserv./entreposage	Frag	Fragments de paroi de bouteille cylindrique. Cicatrice de moulage sur un fragment. Pâle. Probablement le même objet. Élagués.	NC	

Lot	Code mat.	Matériau	Objet	No. frag.	No. obj.	Code fonction	Fonction	Inté-grité	Commentaires	No. Bte	No. Cat.
1E01	3.1.1.12	Fer laminé	clou découpé	1	1	4.7.2.3	Fixations-clous	Ent	Clou de 6 cm de long. Très corrodé. Élagué.	NC	
1E01	3.1.1.13	Fer tréfilé	clou tréfilé	3	3	4.7.2.3	Fixations-clous	Ent	Clous entiers (2-7,5 cm et 16 cm de long.) et incomplets (1-absence de la tête). Corrodés. Élagués.	NC	
1E01	3.1.1.13	Fer tréfilé	tige	1	0	7.1	Indéterminé	Frag	Tige circulaire fracturée aux extrémités. 0,9 cm de diam. Clou? Corrodée. Élaguée.	NC	
1E01	5.1.1	Os	ossements	1	0	6.1.1.1	Mammifères	Frag	Fragment. Élagué.	NC	
1J02	1.1.2.61	TCF blanche	contenant	1	0	4.99	Consommation ind.	Frag	Petit fragment de paroi. Décor à motif d'une ligne imprimé en rouge et d'une bande peinte en vert sur la paroi extérieure. Élagué.	NC	
1J02	1.1.2.61	TCF blanche	contenant	1	1	4.99	Consommation ind.	Frag	Petit fragment de rebord. Décor à motif indéterminé, bleu. Élagué.	NC	
1J02	1.1.2.61	TCF blanche	contenant	1	0	4.99	Consommation ind.	Frag	Petit fragment de paroi. Décor à motif Willow imprimé en bleu. Élagué.	NC	
1J02	1.1.2.71	TCF blanche vitrifiée	contenant	5	1	4.99	Consommation ind.	Frag	Fragments de base circulaire (3), de fond (1) et de paroi. Sans décor apparent. Élagués.	NC	
1K02	1.1.2.61	TCF blanche	contenant	1	0	4.99	Consommation ind.	Frag	Petit fragment de paroi. Décor à motif indéterminé imprimé en bleu. Élagué.	NC	
1K02	1.1.2.61	TCF blanche	contenant	1	1	4.99	Consommation ind.	Frag	Minuscule fragment de rebord. Décor à motif indéterminé, bleu. Élagué.	NC	
1K02	1.1.2.71	TCF blanche vitrifiée	pot de chambre	23	1	4.5.1	Excrétion	Frag	Fragments de rebord (2), de base à pied annulaire (2), de fond (2) et de paroi. Sans décor apparent. Élagués.	NC	
1K02	1.2.1.79	GG glaç saline brune	contenant	1	0	4.99	Consommation ind.	Frag	Fragment de paroi. Corps circulaire. Pâte brune. Glaçure d'aspect métallique sur la paroi extérieure uniquement. Élagué.	NC	
1K02	2.1.1.9	V inc sans plomb non-id.	résidu	1	0	7.1	Indéterminé	Frag	Petit fragment de paroi mince. Cheminée de lampe? Élagué.	NC	
1K02	2.2.1.1	Verre teinté rég. vert	vitre	10	0	4.7.1.1	Matériaux de base-vitre	Frag	Fragments plats. Entre 0,17 cm et 0,24 cm d'épais. Élagués.	NC	
1K02	2.3.1.1	V col transp vert foncé	bouteille à gin	3	0	4.2.1.2	Boissons, conserv./entreposage	Frag	Fragments de paroi de bouteille carrée. Probablement le même objet. Élagués.	NC	
1K02	3.1.1.12	Fer laminé	clou découpé	1	1	4.7.2.3	Fixations-clous	Ent	Clou de 6,5 cm de long. Corrodé. Élagué.	NC	
1K02	5.1.1	Os	ossements	3	0	6.1.1.1	Mammifères	Frag	Fragments. Élagués.	NC	
1K02	5.1.4	Coquille	bivalve	3	0	6.1.2	Mollusques	Frag	Petits fragments de coquille de type indéterminé. Élagués.	NC	
1K02	6	Matériau indéterminé	résidu	3	0	7.1	Indéterminé	Frag	Petits fragments informes de couleur rouge et beige. Peinture? Élagués.	NC	
1L02	1.1.2.61	TCF blanche	contenant	1	0	4.99	Consommation ind.	Frag	Fragment de paroi. Sans décor apparent. Usé. Élagué.	NC	
1L02	3.1.1.12	Fer laminé	clou découpé	1	1	4.7.2.3	Fixations-clous	Frag	Fragment de tête. Corrodé. Élagué.	NC	
1L02	3.1.1.13	Fer tréfilé	clou tréfilé	1	1	4.7.2.3	Fixations-clous	Ent	Clou de 6,5 cm de long. Corrodé. Élagué.	NC	
1L02	5.1.4	Coquille	bivalve	1	0	6.1.2	Mollusques	Frag	Petit fragment de coquille de type indéterminé. Élagué.	NC	
1M02	1.1.2.41	TCF argileuse blanche	pipe-fourneau	2	0	4.2.2	Tabac	Frag	Fragments sans marque ni décor apparent. Probablement le même objet. Altérés. Élagués.	NC	
1M02	1.1.2.61	TCF blanche	contenant	2	0	4.99	Consommation ind.	Frag	Fragments de paroi. Sans décor apparent. Un fragment usé. Élagués.	NC	
1M02	3.1.1.12	Fer laminé	clou découpé	1	1	4.7.2.3	Fixations-clous	Inc	Clou dont la pointe est absente. Corrodé. Élagué.	NC	
1M02	3.1.1.13	Fer tréfilé	clou tréfilé	1	1	4.7.2.3	Fixations-clous	Ent	Petit clou de 3,2 cm de long. Corrodé. Élagué.	NC	
1M02	5.1.1	Os	ossements	2	0	6.1.1	Animaux sauf mollusques	Frag	Minuscules fragments. Élagués.	NC	
1M02	5.3.1	Plastique	résidu	1	0	7.1	Indéterminé	Frag	Fragment informe de plastique opaque vert. Élagué.	NC	

Lot	Code mat.	Matériau	Objet	No. frag.	No. obj.	Code fonction	Fonction	Inté-grité	Commentaires	No. Bte	No. Cat.
1N02	1.1.2.61	TCF blanche	contenant	1	0	4.99	Consommation ind.	Frag	Petit fragment de paroi. Sans décor apparent. Élagué.	NC	
1N02	2.1.1.9	V inc sans plomb non-id.	bouchon-contenant	1	1	4.99	Consommation ind.	Frag	Fragment de bouchon circulaire à assise droite. Rebord arrondi et centre légèrement concave. Légèrement altéré par la chaleur. 6,5 cm de diam. de dessus. 5 cm de diam. d'assise. 2 cm de haut. Élagué.	NC	
1N02	2.2.1.1	Verre teinté rég. vert	vitre	4	0	4.7.1.1	Matériaux de base-vitre	Frag	Fragments plats de teintes et d'épaisseurs différentes. Entre 0,22 cm et 0,26 cm d'épais. Élagués.	NC	
1N02	3.1.1.1	Fer ind	clou indéterminé	1	0	4.7.2.3	Fixations-clous	Frag	Clou dont la corrosion empêche une meilleure identification. Élagué.	NC	
1N02	3.1.1.12	Fer laminé	clou découpé	1	1	4.7.2.3	Fixations-clous	Ent	Clou entier de 7 cm de long. Corrodé. Élagué.	NC	
1N02	3.1.1.13	Fer tréfilé	clou tréfilé	5	5	4.7.2.3	Fixations-clous	Ent	Clous entiers (4-entre 6 cm de 8 cm de long.) et incomplets (1-absence de la tête). Corrodés. Élagués.	NC	
1N02	3.1.2	Métaux et alliages cuivreux	monnaie	1	1	5.2	Commerce	Ent	1 sou américain de 1944. Élagué.	NC	
1N02	4.1.18	Quartzite	résidu	1	0	6.3	Minéraux	Frag	Petit fragment. Élagué.	NC	
1P02	1.1.2.61	TCF blanche	assiette ou assiette creuse	1	1	4.1.3.3	Alimentation, vaisselle de table	Frag	Fragment de rebord ondulé. Décor moulé à motif shell edge peint en bleu. Élagué.	NC	
1Q02	1.1.2.61	TCF blanche	contenant	2	1	4.99	Consommation ind.	Frag	Fragments de rebord (1) et de paroi. Décor à motif indéterminé imprimé de type flown blue. Élagués.	NC	
1Q02	4.1.13	Pierre	résidu	2	0	6.3	Minéraux	Frag	Pierres de couleur rougeâtre (schisteuse?) et beige rosé. Élaguées.	NC	
1Y01	3.1.1.1	Fer ind	bande	1	1	7.1	Indéterminé	Frag	Bande rectangulaire dont une extrémité s'amincit et devient circulaire alors que l'autre est recourbée à 90 degré. Transpercée de deux clous forgé dans la partie large. Présence d'un écrou carré dans l'extrémité amincie. Env. 23 cm de long. 3 cm de larg. max. Extrémité circulaire d'env. 1 cm de diam. Partie recourbée sur 2 cm de long. Écrou de 2,5 cm2. Corrodée. Élaguée.	NC	
1Z02	2.2.1.1	Verre teinté rég. vert	vitre	6	0	4.7.1.1	Matériaux de base-vitre	Frag	Fragments plats de teintes et d'épaisseurs différentes. Entre 0,20 cm et 0,25 cm d'épais. Élagués.	NC	
1Z02	2.3.1.10	V col transp brun	bouteille	1	0	4.10	Entreposage ind.	Frag	Petit fragment de paroi. Cicatrices de fabrication à la machine post 1900. Élagué.	NC	
1Z02	3.1.1.13	Fer tréfilé	clou tréfilé	3	3	4.7.2.3	Fixations-clous	Ent	Clous entiers (1-10,5 cm de long.) et incomplets (1-absence de la tête; 1-absence de pointe). Corrodés. Élagués.	NC	
1Z02	5.1.4	Coquille	bivalve	2	0	6.1.2	Mollusques	Frag	Coquilles de type huître. Élaguées.	NC	
2A02	1.1.2.61	TCF blanche	contenant	1	1	4.99	Consommation ind.	Frag	Fragment de rebord. Sans décor apparent. Assiette? Élagué.	NC	
2A02	2.1.1.9	V inc sans plomb non-id.	résidu	2	0	7.1	Indéterminé	Frag	Petits fragments. Objets différents. Élagués.	NC	
2A02	2.2.1.1	Verre teinté rég. vert	bouteille	2	0	4.10	Entreposage ind.	Frag	Fragments de paroi de bouteille cylindrique. Inscription indéterminée moulée en relief. Probablement le même objet.	NC	
2A02	3.1.1.13	Fer tréfilé	clou tréfilé	8	5	4.7.2.3	Fixations-clous	Ent	Clous entiers (2-de 4 cm et 5 cm de long.), incomplets (3-absence de la tête; 2-absence de pointe) et fragmentaires (1). Corrodés. Élagués.	NC	
2A02	3.1.1.13	Fer tréfilé	tige	1	0	7.1	Indéterminé	Frag	Fragments de deux brins circulaires entrelacés. Corrodés. Élagués.	NC	
2A02	3.1.2	Métaux et alliages cuivreux	monnaie	1	1	5.2	Commerce	Ent	5 sous canadien de 1949. Élagué.	NC	
2A02	5.1.1	Os	ossements	1	0	6.1.1.1	Mammifères	Frag	Fragment blanchi. Élagué.	NC	

Lot	Code mat.	Matériau	Objet	No. frag.	No. obj.	Code fonction	Fonction	Inté-grité	Commentaires	No. Bte	No. Cat.
2A02	5.3.1	Plastique	perle	1	1	4.4.6	Parures et bijoux	Frag	Fragment de perle tubulaire de plastique opaque bleu. 0,5 cm de diam. Élagué.	NC	
2B02	2.3.1.4	V col transp vert foncé autre	bouteille	1	0	4.2.1.2	Boissons, conserv./entreposage	Frag	Fragment de paroi de bouteille cylindrique. Vert plutôt vif. Élagué.	NC	
2C02	3.1.1.13	Fer tréfilé	clou tréfilé	2	2	4.7.2.3	Fixations-clous	Ent	Clous entiers de 5 cm et 13 cm de long. Corrodés. Élagués.	NC	
2C02	3.1.8.1	Aluminium	languette-contenant	1	0	7.1	Indéterminé	Frag	Languette pour canette en forme de goutte d'eau arrondie. Absence de l'anneau. Élaguée.	NC	
2C02	3.1.8.1	Aluminium	rondelle-bouchon	1	0	7.1	Indéterminé	Frag	Rondelle d'intérieur de bouchon. 2,5 cm de diam. Élaguée.	NC	

Annexe 2 Catalogue des photographies

Projet : LAR2333 - Maison Biard
Film n° : LAR2333-NUM1

Archéologue : Nicolas Fortier

Date	Cliché	Photo	Identification	Description	Orientation
2023-08-17	1	551	-	Vue d'ensemble, coin nord	NO
2023-08-17	2	552	-	Vue d'ensemble, coin nord	SE
2023-08-17	3	553	-	Vue d'ensemble, coin nord	E
2023-08-17	4	554	-	Vue d'ensemble, coin nord	E
2023-08-17	5	555	-	Vue d'ensemble, coin nord	NE
2023-08-17	6	556	-	Vue d'ensemble, coin nord	NO
2023-08-17	7	557	-	Vue d'ensemble, coin nord	O
2023-08-17	8	558	-	Vue d'ensemble, coin nord	SE
2023-08-17	9	559	1A	Paroi sud	S
2023-08-17	10	560	1B	Paroi sud	S
2023-08-17	11	561	1C	Paroi nord	N
2023-08-17	12	562	1D	Paroi ouest	O
2023-08-17	13	563	1E	Paroi est	E
2023-08-17	14	564	1F	Paroi nord	N
2023-08-17	15	565	1G	Paroi sud	S
2023-08-17	16	566	1H	Paroi nord	N
2023-08-17	17	567	1J	Paroi sud	S
2023-08-17	18	568	1K	Paroi nord	N
2023-08-17	19	569	1L	Paroi sud	S
2023-08-17	20	570	1M	Paroi sud	S
2023-08-17	21	571	-	Ambiance	E
2023-08-17	22	572	1N	Paroi est	E
2023-08-17	23	573	1P	Paroi est	E
2023-08-17	24	574	1Q	Paroi ouest	O
2023-08-17	25	575	1R	Paroi nord	O
2023-08-17	26	578	1S	Paroi est	N
2023-08-17	27	579	1T	Paroi ouest	NE
2023-08-17	28	580	1U	Paroi nord	E
2023-08-17	29	581	-	Ambiance	NO
2023-08-17	30	582	1W	Paroi est	SO
2023-08-17	31	583	-	Milieu marécageux	S
2023-08-17	32	584	-	Milieu marécageux, ruisseau	SE
2023-08-17	33	585	1X	Paroi sud	O
2023-08-17	34	586	-	Plantes aquatiques	E
2023-08-17	35	587	1Y	Paroi ouest	S
2023-08-17	36	588	1Z	Paroi est	SO
2023-08-17	37	589	2A	Vue d'ensemble	SE

Date	Cliché	Photo	Identification	Description	Orientation
2023-08-17	38	590	2A	En plan	SE
2023-08-17	39	591	2A	Paroi sud-est	SO
2023-08-17	40	592	2B	Paroi sud-est	O
2023-08-17	41	593	2C	Paroi sud-ouest	S
2023-08-17	42	594	2D	Paroi ouest	NE
2023-08-17	43	595	2E	Paroi sud	N
2023-08-17	44	596	2F	Paroi nord-est	NE
2023-08-17	45	597	2G	Paroi nord	N
2023-08-17	46	598	2H	Paroi nord-est	SO
2023-08-17	47	599	2J	Paroi nord	S
2023-08-17	48	600	-	Réservoir en béton, vue d'ensemble	S
2023-08-17	49	601	-	Réservoir en béton, vue d'ensemble	O
2023-08-17	50	602	-	Réservoir en béton, vue d'ensemble	O
2023-08-17	51	603	-	Réservoir en béton, vue d'ensemble	NO
2023-08-17	52	604	-	Fin d'intervention	E
2023-08-17	53	605	-	Réservoir en béton, vue d'ensemble	NO
2023-08-17	54	606	-	Fin d'intervention	E

Projet : LAR2333 - Maison Biard
Film n° : LAR2333-NUM2

Archéologue : Nicolas Fortier

Date	Cliché	Photo	Identification	Description	Orientation
2023-08-17	1	8800	-	Vue d'ensemble, coin nord	E
2023-08-17	2	8801	-	Vue d'ensemble, coin nord	SE
2023-08-17	3	8802	-	Vue d'ensemble, coin nord	SE
2023-08-17	4	8803	-	Vue d'ensemble, coin nord	NO
2023-08-17	5	8804	-	Vue d'ensemble, coin nord	NO
2023-08-17	6	8805	-	Vue d'ensemble, coin nord	NO
2023-08-17	7	8806	-	Vue d'ensemble, coin nord	NE

Réfection du stationnement du siège social d'Hydro-Québec et aménagement de la Place Hydro-Québec — Site BjFj-225

Fouilles archéologiques été-automne 2023

VOLUME I : Rapport



Arkéos inc.
Société d'expertise en recherches anthropologiques

PRÉLIMINAIRE

Août 2024

Réfection du stationnement du siège social d'Hydro-Québec et aménagement de la Place Hydro-Québec — Site BjFj-225

Fouilles archéologiques été-automne 2023

VOLUME I : Rapport

Rapport réalisé pour le compte d'Hydro-Québec

Arkéos inc.
Société d'expertise en recherches anthropologiques
433, rue Chabanel O., bur. 516, Montréal (Qc) H2N 2J4

PRÉLIMINAIRE

850-1089

RÉSUMÉ

Les fouilles archéologiques du site BjFj-225, situées dans le stationnement arrière du siège social d'Hydro-Québec à Montréal, ont révélé une diversité de contextes stratigraphiques illustrant plusieurs phases d'occupation humaine. Ces fouilles, menées entre mai et novembre 2023, ont été réalisées dans le cadre de travaux de réaménagement et de verdissement, couvrant une surface d'environ 1600 m^2. Elles ont été effectuées suite à l'obtention du permis archéologique 23-ARKE-04 émit par le ministère de la Culture et des Communications le 23 mai 2023.

Les fouilles ont permis de documenter l'évolution du site depuis ses premières exploitations agricoles au XVII^e siècle jusqu'à sa transformation en stationnement en 1958. Les découvertes incluent des fondations de maçonnerie de trois bâtiments distincts, notamment celles de la manufacture Mallard-Beaudry, ainsi que des structures associées au bloc locatif Beaudry, telles que des poteaux de clôture, une latrine et un réseau d'évacuation des eaux usées en bois et en grès. Les contextes stratigraphiques documentent les transformations successives du site, marquées par des événements significatifs comme l'incendie de 1843 qui a détruit la manufacture Mallard-Beaudry et la démolition du bloc Beaudry à la fin du XIX^e siècle. Les fouilles ont également révélé des dépôts archéologiques contenant une grande quantité d'artéfacts et d'écofacts, témoignant des activités quotidiennes et des pratiques culturelles des occupants successifs. Ces découvertes permettent de retracer toute l'évolution du faubourg Saint-Laurent, de sa création à sa transformation majeure durant la deuxième moitié du XX^e siècle.

Mots clefs : Faubourg Saint-Laurent, Manufacture, Potasse, Savon, Chandelle, Ruisseau de la côte à Baron, Urbanisation, Fouille archéologique, XVIII^e siècle, XIX^e siècle, XX^e siècle

Référence : 2024 Arkéos — Réfection du stationnement du siège social d'Hydro-Québec et aménagement de la Place Hydro-Québec. Fouilles archéologiques du site BjFj-225, été-automne 2023, Montréal. Hydro-Québec.

TABLE DES MATIÈRES

(1/3)

Page

VOLUME 1

RÉSUMÉ i
TABLE DES MATIÈRES ii
LISTE DES CARTES v
LISTE DES FIGURES vi
LISTE DES PHOTOS viii
LISTE DES TABLEAUX xii
LISTE DES PARTICIPANTS xiii

1 INTRODUCTION 1

2 MÉTHODOLOGIE 5
2.1 Type d'intervention 5
2.1.1 Décapage mécanique 5
2.1.2 Fouille manuelle 6
2.2 Procédure d'enregistrement 6
2.2.1 Unités d'enregistrement 6
2.2.2 Fiches d'enregistrement 11
2.3 Analyses spécialisées 12
2.4 Traitement de la culture matérielle 12
2.4.1 Traitement préliminaire 21
2.4.2 Inventaire, catalogue et analyse de la culture matérielle 21
2.4.3 Conditionnement et dépôt de la collection 23

3 CADRE GÉOGRAPHIQUE ACTUEL ET ANCIEN 25
3.1 Localisation et relief 25
3.2 Géologie 25
3.3 Dépôts meubles 26
3.4 Hydrographie 26
3.5 Climat et végétation 30
3.6 Paléoenvironnement : de la déglaciation à aujourd'hui 30
3.6.1 Déglaciation et mer de Champlain 31
3.6.2 Lac à *Lampsilis* : émersion de l'aire d'étude 32

4 PORTRAIT DE L'OCCUPATION AUTOCHTONE 39
4.1 Paléoindien (12 500-9 500 ans AA) 39
4.2 Archaïque (10 000-3 000 ans AA) 44
4.3 Sylvicole (3 000-450 ans AA) 46
4.4 Occupation autochtone récente 48

5 OCCUPATION EUROCANADIENNE 53
5.1 1651-1757 : De Jacques Archambault aux héritiers Gervais, des débuts agricoles à la consolidation 53
5.2 1753-1757 : Ferdinand Feltz et l'émergence d'un urbanisme spéculatif 57

TABLE DES MATIÈRES

(2/3)

Page

5.3 1757-1775 : Nicolas Moran et l'établissement durable du secteur 57
5.4 1775-1800 : André Guy et l'essor du potentiel locatif 61
5.5 1800-1844 : Antoine Mallard et Pierre Beaudry, de l'artisanat à la bourgeoisie 61
5.6 1844-1885 : François-Xavier Beaudry et l'amorce de l'urbanisation 67
5.7 1885–1946 : La succession Beaudry et les transformations immobilières 75
5.8 1946-1956 - McLennan Lumber & Co et l'industrialisation du site 76
5.9 1956 à aujourd'hui : Hydro-Québec et le développement contemporain 79

6 ÉLÉMENTS PATRIMONIAUX CONNUS 87
6.1 Statut patrimonial et bien à statut 87
6.2 Sites et zones d'information archéologiques répertoriés 87
6.2.1 Marché Saint-Laurent (BjFj-67) 89
6.2.2 L'îlot Clark (BjFj-156) 90
6.2.3 Carré Saint-Laurent (BjFj-170) 91
6.2.4 Rue Saint-Urbain (MTL08-25-05 et MTL09-25-24) 91
6.2.5 TNM (MTL21-25-03) 92
6.2.6 Parc Hydro-Québec 92
6.2.7 Découvertes fortuites ayant mené à la désignation du site BjFj-225 93

7 RÉSULTATS 95
7.1 Présentation de la séquence stratigraphique 95
7.2 Sols naturels 96
7.3 Activités agricoles et débuts d'un établissement durable (1651-1800) 107
7.4 Activités manufacturières et domestiques (1800-1843) 111
7.4.1 Occupation et labour du début du XIX^{e} siècle 112
7.4.2 Manufacture Mallard-Beaudry (bâtiment B2) 112
7.4.3 Déblais de fabrication de potasse 117
7.4.4 Incendie de la manufacture Mallard Beaudry 118
7.4.5 Écurie (bâtiment B1) 119
7.4.6 Maison McGill (bâtiment B3) 120
7.5 Urbanisation et occupation intensive (1844-1889) 121
7.5.1 Occupation du verger 121
7.5.2 Aménagement et occupation du bloc Beaudry 122
7.5.3 Aménagement et occupation des cours arrière et du passage privé 133
7.5.4 Aménagement d'un système de gestion des eaux usées 137
7.5.5 Aménagement et occupation du secteur des hangars 143
7.6 Transformation immobilière et industrialisation (1889-1958) 152
7.6.1 Terrain vague post-démolition 157
7.6.2 Aménagement et occupation de la cour à bois McLennan Lumber Company 159
7.7 Implantation d'Hydro-Québec (1958-aujourd'hui) 165

8 BILAN ET RECOMMANDATIONS 171
8.1 Connaissances acquises 171
8.2 Appréciation par valeurs du site BjFj-225 172
8.3 Recommandations 174

TABLE DES MATIÈRES

(2/3)

Page

OUVRAGES CONSULTÉS 178
PLANS ANCIENS 188
PHOTOGRAPHIES ANCIENNES 190
PRINCIPAUX FONDS D'ARCHIVES 190
PRINCIPAUX SITES INTERNET 192

VOLUME II

ANNEXE 1 - Coupes stratigraphiques
ANNEXE 2 - Analyse des macrorestes végétaux
ANNEXE 3 - Analyse dendrochronologique
ANNEXE 4 - Analyse zooarchéologique
ANNEXE 5 - Analyse archéobotanique
ANNEXE 6 - Tableaux synthèses de la culture matérielle
ANNEXE 7 - Culture matérielle

LISTE DES CARTES

		Page
Carte 1 –	Localisation du secteur d'intervention	3
Carte 2 –	Plan général des sous-opérations effectuées	9
Carte 3 -	Dépôts meubles de surface du secteur d'intervention et ses environs	27
Carte 4 -	Topographie et hydrologie naturelle du secteur d'intervention et ses environs	28
Carte 5 -	Sites archéologiques à composantes autochtones répertoriés dans un rayon de 3 km du secteur d'intervention	43
Carte 6 –	Éléments patrimoniaux pertinents répertoriés près du secteur d'intervention	88
Carte 7 -	Plan général des sous-opérations effectuées et localisation des éléments structuraux existants	101
	Feuillet 1 -	103
Carte 8 -	Superposition des éléments archéologiques témoignant des premiers établissements durables et des activités agricoles du site durant la deuxième moitié du XVIII^{e} siècle sur le plan de Charland de 1801	109
Carte 9 -	Superposition des éléments archéologiques témoignant des activités manufacturières et domestiques du site durant la première moitié du XIX^{e} siècle sur le plan d'Adams de 1825	113
Carte 10 –	Superposition des éléments archéologiques témoignant de l'occupation du secteur au milieu du XIX^{e} siècle sur le plan de Cane de 1846	123
Carte 11 -	Superposition des éléments archéologiques témoignant de l'occupation du secteur au troisième quart du XIX^{e} siècle sur le plan de Plunkett & Brady de 1872	125
Carte 12 -	Superposition des éléments archéologiques témoignant de l'occupation du secteur dans les dernières années de son utilisation domestique sur le plan de Goad de 1881	127
Carte 13 -	Superposition des éléments archéologiques témoignant de la démolition de la portion nord du bloc Beaudry et de l'occupation du lot vacant au début du XX^{e} siècle sur le plan de Goad de 1890	153
Carte 14 -	Superposition des éléments archéologiques témoignant de l'occupation industrielle du lot durant la première moitié du XX^{e} siècle sur le plan de Goad de 1909	161
Carte 15 -	Superposition des éléments archéologiques témoignant de l'aspect du secteur avant le début des travaux de construction du siège social sur le plan de la Ville de Montréal de 1958	163
Carte 16 -	Éléments archéologiques et perturbations récentes liés aux aménagements d'Hydro-Québec entre 1958 et aujourd'hui	167
Carte 17 -	Portion résiduelle du site BjFj-225 après les travaux de réaménagement du stationnement	175

LISTE DES FIGURES

(1/2)

Page

Figure 1 - Reconstitution du paysage naturel de l'aire d'étude réalisée à l'aide de Deepai, à partir des données récoltées lors de l'intervention archéologique 29

Figure 2 - Localisation de l'aire d'étude à différentes étapes de la mer de Champlain..... 33

Figure 3 - Émersion de l'aire d'étude durant l'épisode du lac à *Lampsilis* entre 9 600 et 8 400 ans AA..... 35

Figure 4 - Courbe d'émersion applicable à la grande région de Montréal 38

Figure 5 - Fragment de pointe Clovis (avec contour et emmanchement extrapolé) découvert dans la région du lac Mégantic, au Québec 40

Figure 6 - Contour de la concession d'origine 946D obtenu par Jacques Archambault le 18 septembre 1651..... 54

Figure 7 - Extrait du plan de Chaussegros de Léry dressé en 1717 illustrant la concession initiale sillonnée par le ruisseau de la côte à Baron ainsi que son utilisation agricole 55

Figure 8 - Extrait du plan de Couagne de 1749 illustrant l'établissement vraisemblablement construit par Charles Gervais à l'ouest du ruisseau de la côte à Baron 56

Figure 9 - Contour de la terre acquise par Ferdinand Feltz en 1753 58

Figure 10 - Plan du Faubourg Saint-Laurent en 1757 tracé par La Brosse. 59

Figure 11 - Plan de la ville et faux bourgs de Montréal dessiné par Jourdain dit Labrosse en 1767 .. 60

Figure 12 - Copie du plan d'homologation de la rue de la Gauchetière dessiné initialement en 1786 62

Figure 13 - Plan dressé par Charland en 1801 sur lequel sont illustrés les contours du lot 94 à l'ouest de la rue Saint-Charles correspondant au terrain acquis par le couple Hurteau-Mallard en 1800..... 63

Figure 14 - Plan d'Adams tracé en 1825 illustrant les bâtiments principaux en foncé, secondaire en pâle ainsi que les clôtures de séparations..... 66

Figure 15 - Croquis du terrain loué à Pierre Lippé en 1844 sur lequel est illustré le bâtiment brûlé, le tracé de la petite rivière (côte à Baron), ainsi que les plans sommaires de la reconstruction envisagée 68

Figure 16 - Croquis de la devanture des six logements à construire à partir des décombres de la manufacture de savon et de chandelle incendiée en 1843 70

LISTE DES FIGURES

(2/2)

Page

Figure 17 - Croquis du rez-de-chaussée, des cours et des latrines des six logements à aménager à partir des décombres de la manufacture de savon et de chandelle incendiée en 1843... 70

Figure 18 - Extrait du plan de la ville de Montréal produit par Cane en 1846 sur lequel on aperçoit les nouveaux logements ainsi que l'organisation de leurs cours arrière..... 71

Figure 19 - Extrait du plan de Plunkett et Brady dessiné en 1872 illustrant la densification du bâti sur le lot qui englobe le terrain à l'étude 73

Figure 20 - Extrait du plan de Goad dressé en 1881 74

Figure 21 - Plan de la subdivision projetée du terrain des enfants de feu Théodose Beaudry tracé en juin 1887 77

Figure 22 - Extrait du plan de Goad dressé en 1890 sur lequel s'aperçoivent le nouveau complexe d'habitation au nord du lot 361 et l'avenue de Verchère 78

Figure 23 - Extrait du plan de Goad de 1909 montrant le secteur occupé par la cour à bois 80

Figure 24 - Extrait du plan d'assurance incendie d'Underwriters' dressé en 1940 81

Figure 25 - Extrait du plan détaillé d'occupation des sols effectué en 1946 82

Figure 26 - Photo de la maison Moran et du bâtiment occupé par la Montreal Cabinet & Pattern works prise en 1946 par Gérard Morisset 83

Figure 27 - Photographie aérienne du secteur prise en 1958 lors de la préparation du terrain en vue de la construction du siège social d'Hydro-Québec ainsi que du poste Dorchester... 84

Figure 28 - Photographie prise en 1958 des excavations effectuées en vue de la construction du siège social et du poste sous-terrain 85

Figure 29 - Ligne du temps présentant l'évolution historique du secteur à l'étude..... 97

Figure 30 - Schéma du site indiquant la nomenclature utilisée dans le présent rapport 99

LISTE DES PHOTOS

(1/4)

Page

Photo 1 - Sous-opération 1A — Niveau de till observé à la base de la séquence stratigraphique — Vue vers l'ouest (BjFj-225-23-N3-825) 100

Photo 2 - Sous-opération 1A — Séquence des sols naturels observés sous la fondation ST-1 — Vue vers le nord-ouest (BjFj-225-23-N3-823) 100

Photo 3 - Sous-opération 2C — Lot 2C10 associé à la présence d'un ancien marais — Vue vers le sud-ouest (BjFj-225-23-N3-598)..... 100

Photo 4 - Sous opération 2H — Succession de sables fins et de dépôts horizontaux de matière organique observée sous la fosse de latrines ST-16 — Vue vers l'ouest (BjFj-225-23-N3-567) 107

Photo 5 - Faïence blanche à décor peint sous la glaçure retrouvée dans le lot 2A8 108

Photo 6 - Photographie aérienne des vestiges de la manufacture Mallard-Beaudry en cours de dégagement 115

Photo 7 - Sous-opération 2K — Ouverture créée dans la fondation de la manufacture pour y faire passer le drain de bois ST-47 — Vue vers l'ouest (BjFj-225-23-N3-648)..... 116

Photo 8 - Sous opération 2E — Fosse ST-14 creusée alors que la manufacture était encore en fonction — Vue vers l'est (BjFj-225-23-N3-153) 116

Photo 9 - Sous-opération 2E — Couche cendreuse associée aux résidus de fabrication de potasse — Vue vers l'ouest (BjFj-225-23-N3-168) 117

Photo 10 - Sous-opération 1B — Observation de la couche associée aux résidus de fabrication de potasse lors de l'excavation mécanique des cours arrière — Vue vers le nord-est (BjFj-225-23-N3-278) 117

Photo 11- Sous opération 1A — Artéfact en métal cuivreux récolté dans le lot 1A7 (BjFj-225-23-N3-287) 119

Photo 12 - Sous-opération 1C — Fondation maçonnée ST-56 associée à l'ancienne écurie — Vue vers l'est (BjFj-225-23-N3-937) 119

Photo 13 - Sous-opération 1C — Ouverture pratiquée dans le mur ST-56, vraisemblablement pour y passer un drain — Vue vers l'est (BjFj-225-23-N3-942)..... 120

Photo 14 - Sous-opération 2Q — Surface du lot 2Q5 associé à un événement de rejet sauvage isolé au milieu du XIX^{e} siècle (BjFj-225-23-N1-330)..... 121

Photo 15 - Sous-opération 2A — Trous de poteaux dans le fond de la fosse ST-3 probablement associés à l'installation d'échafauds pour l'aménagement du bloc Beaudry (BjFj-225-23-N1-45)..... 129

LISTE DES PHOTOS

(2/4)

Page

Photo 16 - Assiette creuse de type Mason retrouvée dans le creusement ST-3 (cat. 10)..... 129

Photo 17 - Objet en os taillé probablement associé à la couture la broderie ou le crochet retrouvé dans le lot 2K6 (cat. 18)..... 130

Photo 18 - Fragment de petite statuette vraisemblablement zoomorphe retrouvé dans le vide sanitaire de B2-C 131

Photo 19 - À gauche, pièce de monnaie anglaise d'un penny produite entre 1860 et 1894 provenant du lot 1A5 (cat. 4). À droite, son équivalent non oxydé 131

Photo 20 - Sous-opération 2T — Base des planches verticales de la clôture ouest du passage privé, aménagée vers 1846 — Vue vers l'est (BjFj-225-23-N3-743)..... 133

Photo 21 - Sous-opération 2F — Dallage grossier associé au passage privé, lot 2F4 — Vue vers le sud (BjFj-225-23-N3-58)..... 135

Photo 22 - Pipe en terre cuite fine argileuse blanche de type fantaisie, dont le fourneau représente Silène retrouvé dans le lot 1B6 (cat. 8) 136

Photo 23 - Pièce de monnaie contenant le buste de la reine Victoria datant d'entre 1876 et 1901 (cat. 19) 138

Photo 24 - Assemblage d'artéfacts récoltés dans les niveaux d'occupation de la fosse de latrines ST-16 (2H9 et 2H10)..... 140

Photo 25 - Assiette produite pour le jubilé de la reine Victoria en 1887 trouvée dans le lot 2H10 (cat. 19) 140

Photo 26 - Fragment d'un journal récolté dans le lot 2H10 sur lequel peut être discerné une partie d'un article paru dans le Philadelphia Record le 29 mars 1886..... 140

Photo 27 - Pichet portant un décor moulé à motif de blé à trois rangées de grains fabriqué par W. and E. Corn entre 1864 et 1891, récolté dans le lot 2H9 (cat. 13)..... 141

Photo 29 - Bouton en quartzite à deux trous récoltés dans le lot 2H10 (cat. 16) 141

Photo 28 - Pichet récolté dans le lot 2H10 portant un décor moulé à motif «Boy with Bird's Nest» produit vers 1850 (cat. 14)..... 141

Photo 30 - Biberon de type «turtle», aussi appelé nursing bottle ou murder bottle récolté dans le lot 2H10 (cat. 15) 142

Photo 31 - Oeuf en pierre découvert dans le lot 2H10 (cat. 17) 142

LISTE DES PHOTOS

(3/4)

Page

Photo 32 - Sous-opération 2F — Parois ouest de la sous-opération 2F avant son agrandissement montrant les compositions, textures et couleurs variées des différentes couches de rejets sauvages — Vue vers l'ouest (BjFj-225-23-N3-241) 144

Photo 33 - Verre à tige à coupe de forme conique portant un décor à chaud type moulé récolté dans le lot 2F25 (cat. 23) 145

Photo 34 - Broc octogonal avec un décor imprimé bleu à motif « University » fabriqué par John Ridgway & Co entre 1830 et 1855, trouvé dans le lot 2T5 (cat. 25) 145

Photo 35 - Assiette Meakin (1854-1890) avec la marque de l'importateur Thomson & Minchin de Montréal retrouvé dans le lot 2F10 (cat. 21) 146

Photo 36 - Possible goblet en verre polychrome superposé avec un décor doré et vert, dont les morceaux proviennent des lots 2F9, 2F10 et 2F13 147

Photo 37 - Assemblage de divers boutons provenant du lot 2F10 147

Photo 38 - Couvercle d'un pot de pâte dentifrice portant l'inscription « Glenn's aromatic rose toothpaste » récolté dans le lot 2F10 147

Photo 39 - Sous-opération 2F — Premier niveau du plancher du hangar nord (ST-39) — Vue vers l'ouest (BjFj-225-23-N3-414) 150

Photo 40 - Sous-opération 2F — Ajout de planches dans la moitié est du plancher du hangar nord (ST-39) — Vue vers l'est (BjFj-225-23-N3-408) 150

Photo 41 - Bénitier d'applique en terre cuite fine blanche récolté dans le lot 2Q2 (cat. 20) 152

Photo 42 - À gauche, une piièce d'un demi-penny présentant, d'un côté, Saint-Georges à cheval terrassant le dragon, et de l'autre, les armoiries du Haut-Canada, produite entre 1850 et 1857 et récoltée dans le lot 1B4. À droite, son équivalent non oxydé 155

Photo 43 - Fourneau de pipe en terre suite fine argileuse blanche représentant un vieillard portant un bonnet au bord ondulé, récolté dans le lot 1B5 (cat. 7) 155

Photo 44 - Sifflet de porcelaine représentant le personnage « Mr. Punch » produit entre 1880 et 1910, trouvé dans le lot 2F1 (cat. 22) 157

Photo 45 - Bouteille à Cognac en verre teinté régulier turquoise portant l'inscription « J. MARTIN & Co » trouvée dans le lot 2M2 158

Photo 46 - Bouteille de parfum pour chien en verre incolore au plomb récoltée dans le lot 2M2 ... 158

Photo 47 - Tuyau de pipe en terre cuite fine argileuse blanche portant les inscriptions « FILLE A LA MODE // GIRL OF THE PERIOD », trouvé dans le lot 2M2 158

LISTE DES PHOTOS

(4/4)

Page

Photo 48 - Bouteilles d'encre en grès grossier récolté dans le lot 2H1 159

Photo 49 - Artéfacts récoltés dans le lot 2H1 : a) Bouteille en verre incolore au plomb portant les inscriptions moulées « DR. C. S. STROUD / DISPENSING CHEMIST / MONTREAL » (1885-1910) ; b) d'une bouteille de soda gingembre de C. Gurd & Co. en verre teinté turquoise (post 1880) et c) Isolateur électrique en verre..... 159

Photo 50 - Sous-opération 1A — Coupe sud réalisée à la hauteur du poteau ST-38 démontrant les nombreux réaménagements qu'aurait subi la clôture nord de la cour à bois — Vue vers le sud (BjFj-225-23-N3-355)..... 160

Photo 51 - Photographie aérienne de l'aire de circulation ST-15 associée à la cour à bois McLennan Lumber Company..... 160

Photo 52 - Pièce de monnaie datant de 1912 retrouvée au-dessus de l'aire de circulation ST-15, dans le lot 2G1 (cat. 12) 165

Photo 53 - Cruche en grès grossier à glaçure saline portant l'inscription « ROBINSON & SON / BEVERLEY / 1. Gall » trouvé dans le lot 1B3 165

Photo 54 - Perle de forme hexagonale en verre superposé bleu foncé sur un cœur bleu clair récoltée dans le lot 1A1..... 166

Photo 55 - Piège à mâchoire en métal récolté dans le lot 1A1 166

Photo 56 - Pièces de monnaie d'un penny de la banque du Haut-Canada (1850-1857) (cat. 1)..... 169

Photo 57 - Version anglaise de la Médaille Miraculeuse, créée en 1832 et encore produite, récoltée dans le lot 1A1 (cat. 9)..... 169

Photo 58 - Brosse à dent en ivoire produite entre 1870 et 1920, récoltée dans le lot 1A1 (cat. 2).. 169

Photo 59 - Camée gravé dans une coquille, récolté dans le lot 1A2 (cat. 3)..... 170

LISTE DES TABLEAUX

Page

Tableau 1 - Synthèse des activités archéologiques du site BjFj-225 7

Tableau 2 - Synthèse des structures mises au jour sur le site BjFj-225 13

Tableau 3 - Sites archéologiques à composante autochtone répertoriés dans un rayon de 3 km du secteur d'intervention 41

Tableau 4 - Corrélation lots-couches 105

Tableau 21 - Appréciation par valeurs du site BjFj-225 173

ANNEXE 6

Tableau 5 - Distribution des objets-témoins provenant des labours (1651-1800)

Tableau 6 - Distribution des objets-témoins provenant des déblais liés à l'aménagement initial du terrain

Tableau 7 - Distribution des objets-témoins provenant des labours (1800-1843)

Tableau 8 - Distribution des objets-témoins liés à la construction de la manufacture Mallard-Beaudry (B2)

Tableau 9 - Distribution des objets-témoins liés au dépôt de fabrication de potasse

Tableau 10 - Distribution des objets-témoins liés à l'occupation du verger

Tableau 11 - Distribution des objets-témoins liés aux déblais de nettoyage, démolition et reconstruction post-incendie

Tableau 12 - Distribution des objets-témoins liés à l'occupation domestique des logements B2-B et B2-C au cours de la deuxième moitié du XIX^{e} siècle

Tableau 13 - Distribution des objets-témoins liés aux arrière-cours et au passage privé

Tableau 14 - Distribution des objets-témoins liés à l'aménagement et à l'utilisation des drains

Tableau 15 - Distribution des objets-témoins liés à la fosse de latrines ST-16 et au tuyau de grès ST-20

Tableau 16 - Distribution des objets-témoins liés au secteur des hangars

Tableau 17 - Distribution des objets-témoins liés aux débris de démolition du bloc Beaudry et des hangars

Tableau 18 - Distribution des objets-témoins liés aux rejets sauvages post-démolition

Tableau 19 - Distribution des objets-témoins liés à l'aménagement de la clôture nord de la cour à bois

Tableau 20 - Distribution des objets-témoins liés à la démolition de la cour à bois et à la préparation du terrain pour la construction du siège social

LISTE DES PARTICIPANTS

HYDRO-QUÉBEC

Martin Perron	Archéologue — Conseiller Expertise Environnementale. Équipe Aménagement du territoire et archéologie. Unité Expertise — Environnement humain
Matthieu Lettre	Ingénieur de projets. Gestion des espaces et projets

ARKÉOS INC.

Marie-Claude Brien	Archéologue coordonnatrice
Stéphanie Lavallée	Archéologue chargée de projet, rédaction du rapport
Martin Fields	Archéologue assistant et analyse zooarchéologique
Justine Rioux	Archéologue assistante et spécialiste en culture matérielle
Samuel Dupras	Archéologue de terrain
Manek Kolhatkar	Archéologue de terrain
Andréanne Larocque	Archéologue de terrain
Jonas Leclerc	Archéologue de terrain
Marie-Ève Thibodeau	Archéologue de terrain
Agnès Gelé	Archéologue spécialiste en culture matérielle
François Grondin	Archéologue historien
Marie Fournier	Technicienne en géomatique — Archéo-CAD
Mauricio Palacios	Technicien en géomatique
Louise Beaudoin	Adjointe administrative
Marie-Michelle Beauregard	Chargée d'édition

1 INTRODUCTION

La Direction immobilière du siège social d'Hydro-Québec entreprend le réaménagement de son stationnement arrière afin de le verdir, d'installer de nouvelles bornes de recharge pour voitures électriques et d'aménager une placette à vocation pédagogique et culturelle intégrant l'essence du Quartier des spectacles. Les travaux visent également à offrir de meilleurs accès pour la mobilité universelle et à pallier certains problèmes d'accumulation d'eau observés à plusieurs endroits du stationnement. Pour ce faire, un drain pluvial traversant le stationnement d'est en ouest a été ajouté, des excavations plus profondes ont permis d'installer les nouvelles bornes de recharge et de planter des arbres. De plus, la surface entière du stationnement a été nivelée puis asphaltée. Des sentiers dallés, des panneaux d'interprétation et des jeux de lumière y seront également ajoutés.

En novembre 2021, les tranchées de caractérisation environnementale réalisées en amont des travaux ont mis au jour des vestiges et des sols d'intérêt archéologique, menant à la désignation du site archéologique BjFj-225 (Perron, 2021). Conscient que les travaux de réaménagement du stationnement pourraient avoir un impact sur le patrimoine enfoui, Hydro-Québec a mandaté Arkéos pour effectuer une fouille archéologique sur l'ensemble du secteur présentant un potentiel archéologique.

L'intervention archéologique s'est déroulée dans la moitié est du stationnement bas, délimité par les rues Saint-Urbain et Clark (lots rénovés 3 931 767 et 2 339 949) du 24 mai au 20 juillet 2023, suivie de quelques présences ponctuelles en surveillance des travaux jusqu'au 16 novembre 2023 (carte 1). Ces travaux ont été réalisés suite à l'obtention du permis archéologique 23-ARKE-04 émis par le ministère de la Culture et des Communications le 23 mai 2023. Étant donné que le secteur d'intervention se situe à l'intérieur de l'aire de protection patrimoniale du Monument-National, il a également été soumis aux exigences légales associées à ce statut. L'équipe sur le terrain était constituée d'une archéologue chargée de projet, d'un archéologue assistant et de quatre archéologues de terrain.

Le présent rapport, composé de huit chapitres, fait état du déroulement de l'intervention et des résultats qui en émanent. La méthodologie appliquée sur le terrain et au traitement des données issues de l'intervention archéologique est présentée au chapitre suivant. Les trois chapitres subséquents offrent une mise en contexte globale portant sur la géographie, la présence autochtone et le peuplement eurocanadien du secteur à l'étude, dont les modalités ont conditionné le paysage naturel et culturel dans lequel le site s'inscrit. Y est présenté un portrait du paléoenvironnement et de l'évolution du paysage au quaternaire, suivi d'un survol de l'histoire du peuplement humain de l'île de Montréal, centré principalement autour du terrain occupé par le siège social d'Hydro-Québec. Le chapitre 6 propose une synthèse des données connues concernant les composantes

patrimoniales en périphérie du secteur d'intervention. Le chapitre 7 constitue le corps du rapport et présente les résultats de la fouille menée sur le terrain du printemps à l'automne 2023. Il traite du déroulement de l'intervention et de la caractérisation des dépôts et vestiges observés, ainsi que de l'interprétation de ces données et de leur intégration aux données documentaires issues de la recherche historique en archives telle que présentée au chapitre 5. Le dernier chapitre offre un bilan des connaissances générées par l'intervention archéologique de 2023 et une discussion portant sur certains aspects de ces connaissances. Il inclut finalement une évaluation des valeurs patrimoniales telle que préconisée par le ministère de la Culture et des Communications, ainsi que des recommandations quant aux précautions et interventions supplémentaires à privilégier pour permettre une protection et une documentation optimales du patrimoine enfoui.



Inventaire archéologique
Réfection du siège social d'Hydro-Québec

Localisation du secteur d'intervention

Sources :
© 2024 Google Maps.
Cadastre du Québec: © Gouvernement du Québe
Zone d'intervention : Aire_d'intervention.shp

Cartographie : Arkéos
Fichier : 0-1089-1-300-Carto-Carte 1.mxd

0 50 100 m

MTM, fuseau 8, NAD83 (SCRS)

Carte 1

Mars 2024

Hydro Québec

Document d'information destiné aux publics concernés par le projet. Pour tout autre usage, communiquer avec l'unité Géomatique, à Hydro-Québec.

2 MÉTHODOLOGIE

2.1 Type d'intervention

L'intervention archéologique menée dans le stationnement de la maison mère d'Hydro-Québec en 2023 a consisté en une fouille en aire ouverte couvrant l'ensemble du secteur à potentiel archéologique. Cette opération visait à localiser et à documenter les ressources archéologiques susceptibles d'être perturbées par les travaux de réaménagement du stationnement.

L'objectif principal de cette fouille archéologique était de prévenir la destruction de ressources archéologiques significatives en raison du projet de réaménagement. En réalisant une fouille à grande échelle, les archéologues ont pu observer, enregistrer et interpréter les différentes ressources présentes, tout en prélevant des artéfacts, des écofacts et divers échantillons pour des analyses ultérieures. L'intervention a impliqué l'ouverture de grandes aires de fouille (excavation mécanique) et la fouille manuelle de vastes pans de sols archéologiques. Ce chapitre détaille la méthodologie employée sur le terrain et lors des analyses subséquentes.

L'intervention a été planifiée selon des objectifs spécifiques pour chaque secteur du site, guidant ainsi la disposition des sous-opérations. Ces objectifs sont présentés dans le tableau 1. Une distinction a été faite entre les opérations ayant fait l'objet d'un décapage mécanique (1A, 1B et 1C) et celles ayant fait l'objet de fouilles manuelles (2A, 2B, 2C, 2D, 2E, 2F, 2G, 2H, 2J, 2K, 2L, 2M, 2N, 2P, 2Q, 2R, 2T, 2Y et 2Z). La carte 2 illustre l'ensemble des sous-opérations effectuées durant la fouille archéologique réalisée en 2023.

2.1.1 Décapage mécanique

Les aménagements de surfaces et les remblais associés ont été excavés mécaniquement sur toute la surface du secteur considéré comme ayant un potentiel archéologique, soit environ 1600 m^2 (opération 1). Le décapage mécanique des sous-opérations s'est déroulé en plusieurs étapes, de concert avec les besoins de l'entrepreneur et ceux des recherches archéologiques, sous la supervision de l'archéologue chargée de projet ou de l'archéologue assistant. Sur tout le site, la base des excavations correspond au niveau à atteindre afin de mener à bien le réaménagement du terrain. Ainsi, certains niveaux d'intérêt archéologique et certaines structures ont été laissés en place.

Durant le décapage mécanique, les archéologues ont effectué un nettoyage manuel ponctuel pour s'assurer de ne pas entamer des niveaux de sol susceptibles de receler des traces d'occupation d'intérêt. Parfois, une tranchée exploratoire plus profonde a été excavée sur une largeur réduite pour permettre l'observation de la séquence stratigraphique complète, de la surface au sol naturel stérile, guidant l'excavation subséquente dans les secteurs limitrophes et offrant une meilleure

compréhension des niveaux en place et des seuils à atteindre lors des opérations manuelles. Vu la très grande superficie visée par le décapage mécanique, l'opération 1 a été découpée en trois bandes d'environ 10,5 m x 50 m afin de classifier plus précisément les observations faites lors de la supervision archéologique.

Une fois le décapage mécanique complété, chaque secteur a été nettoyé manuellement pour faciliter l'observation de la surface mise au jour, des vestiges et des parois stratigraphiques. Cette étape de nettoyage manuel fait également partie de l'opération 1. Des sous-opérations manuelles ont ensuite été implantées aux endroits jugés pertinents par les archéologues, et les relevés en plans et en coupes des opérations décapées ont été effectués selon leur représentativité de la séquence générale observée.

2.1.2 Fouille manuelle

Suite au nettoyage manuel, des unités de fouille (sous-opérations) ont été implantées dans les secteurs présentant un potentiel archéologique important. Ces sous-opérations avaient pour but de documenter, via une fouille plus minutieuse, les sols d'occupation en place, d'atteindre la base de certains vestiges, d'en documenter la construction et de permettre l'observation et le relevé des parois stratigraphiques. Les 19 sous-opérations ainsi effectuées totalisent 172 m^2, ce qui représente 11 % de la superficie du site. Certains niveaux d'intérêt archéologique et structures situés en dehors de ces sous-opérations, dans l'opération 1, ont également été fouillés manuellement et enregistrés. La fouille manuelle a été effectuée principalement à l'aide de truelles, mais également avec des piolets, binettes et pelles.

2.2 Procédure d'enregistrement

2.2.1 Unités d'enregistrement

Les enregistrements sur le terrain ont été faits selon le mode de désignation Tikal, un système d'enregistrement alphanumérique couramment utilisé en archéologie. Ce système comporte une séquence constituée d'un chiffre, suivi d'une lettre et d'un second chiffre. Le premier chiffre correspond au numéro d'opération et est attribué en commençant par le 1 et selon l'ordre chronologique de réalisation. Ces opérations regroupent un ensemble d'unités planimétriques, les sous-opérations, qui sont identifiées sur une base alphabétique commençant par la lettre A. Leur attribution correspond également à l'ordre dans lequel elles ont été réalisées. Les lots constituent enfin l'unité minimale d'enregistrement et sont identifiés de façon séquentielle au moyen d'un chiffre en commençant par le 1. Dans le cas des opérations mécaniques, le lot englobe l'ensemble des sols excavés, mais peut également être attribué de façon arbitraire à un assemblage d'objets spécifiques recueillis hors contexte ou associé à un dépôt stratigraphique particulier.

Tableau 1 - Synthèse des activités archéologiques du site BjFj-225

Sous-opération	Date d'ouverture	Lot fouillé (sans artéfacts)	Superficie (m^2)	Structures	Coupes	Plans	Objectif
1A	24-mai	1A99, 1A1, 1A2, 1A3,1A4, 1A5, 1A6, 1A7, 1A8	511,5		C13, C14	P1, P39	Mécanique et fouille manuelle de certaines couches hors sous-opérations
1B	07-juin	1B1, 1B2, 1B3, 1B4, 1B5, 1B6, 1B7, 1B8, 1B9, 1B10, 1B11	527,75		C2, C10, C11	P1	Mécanique et fouille manuelle de certaines couches hors sous-opérations
1C	31-août	1C1, 1C2, 1C3, 1C4, 1C5, 1C6, 1C7, 1C8, 1C9	566,25		C12, C19, C21		Mécanique et fouille manuelle de certaines couches hors sous-opérations
2A	24-mai	2A1, 2A2, 2A3, 2A4, 2A5, 2A6, 2A7, 2A8	10	ST-1, ST-2, ST-3, ST-10	C1, C2, C10, C11	P2, P3	Documenter l'occupation de la cour arrière de B2 et B3 et les creusements visibles
2B	26-mai	2B1, 2B2, 2B3, 2B4, 2B5, 2B6	0,27	ST-1	C3	P1	Documenter ST-1
2C	30-mai	2C1, 2C2, 2C3, 2C4, 2C5, 2C6, 2C7, 2C8, 2C9, 2C10, 2C11	2	ST-1, ST-7, ST-8, ST-9	C4, C5	P4, P5, P6, P7, P8, P38	Documenter ST-7 et comprendre l'occupation intérieure de la maison
2D	30-mai	2D1, 2D2, 2D3, 2D4, 2D5, 2D6	2,8	ST-4, ST-6	C6	P9, P35, P36	Investiguer les planches de bois visibles
2E	01-juin	2E1, 2E2, 2E3, 2E4, 2E5, 2E6, 2E7, 2E8, 2E9, 2E10, 2E11, 2E12, 2E13, 2E14, 2E15, 2E16, 2E17, 2E18, 2E19	3,1	ST-11, ST-12, ST-14, ST-22	C6, C20	P10, P11, P12, P13, P14, P15, P16	Documenter l'occupation de la cour arrière de B2 et B3 et ouvrir une longue fenêtre stratigraphique pour comprendre les dépôts
2F	05-juin	2F1, 2F2, 2F3, 2F4, 2F5, 2F6, 2F7, 2F8, 2F9, 2F10, 2F11, 2F12, 2F13, 2F14, 2F15, 2F16, 2F17, 2F18, 2F19, 2F20, 2F21, 2F22, 2F23, 2F24, 2F25, 2F26, 2F27, 2F28, 2F29, 2F30	11,86	ST-13, ST-17, ST-18, ST-39, ST-54	C16, C17	P17, P18, P20, P29, P37	Documenter la présence de poteaux de bois et de pierres disposées à plat
2G	09-juin	2G1	80,82	ST-15	C19	P26, P42	Documenter une aire de circulation en bois
2H	12-juin	2H1, 2H2, 2H3, 2H4, 2H5, 2H6, 2H7, 2H8, 2H9, 2H10, 2H11, 2H12, 2H13, 2H14, 2H15, 2H16, 2H17, 2H18, 2H19, 2H20, 2H21, 2H22	10	ST-16, ST-20, ST-33, ST-42, ST-44, ST-45	C7, C8, C20	P21, P22, P25, P28, P31	Documenter une latrine et des canalisations de bois
2J	14-juin	2J1, 2J2, 2J3, 2J4, 2J5	2,24	ST-19		P23,	Documenter un creusement et un poteau de bois
2K	16-juin	2K1, 2K2, 2K3, 2K4, 2K5, 2K6, 2K7, 2K8, 2K9, 2K10, 2K11	3,6	ST-1, ST-20		P19, P43	Comprendre l'occupation intérieure de B2 et le tuyau de grès
2L	16-juin	2L1, 2L2, 2L3	5	ST-1, ST-21		P30, P40	Documenter le puits à l'intérieur de B2
2M	22-juin	2M1, 2M2, 2M3, 2M4, 2M5, 2M6	10,75	ST-23, ST-24		P24	Investiguer les creusements visibles
2N	01-juil	2N1, 2N2, 2N3, 2N4, 2N5	14,35	ST-40, ST-41, ST-43		P28, P32	Documenter des canalisations de bois
2P	05-juil	2P1, 2P2, 2P3, 2P5, 2P6, 2P7, 2P8	1,5	ST-34	C9	P27	Investiguer un creusement
2Q	12-juil	2Q1, 2Q2, 2Q3, 2Q4, 2Q5, 2Q6, 2Q7, 2Q8, 2Q9	1		C15	P34	Documenter l'occupation du terrain contenant les hangars
2R	13-juil	2R1, 2R2, 2R3	4,15	ST-46, ST-47	C18	P41	Documenter des canalisations de bois
2T	18-juil	2T1, 2T2, 2T3, 2T4, 2T5, 2T6, 2T7, 2T8, 2T9, 2T10, 2T11	7,13	ST-48, ST-49, ST-50, ST-51		P33	Documenter des poteaux et une aire de circulation en bois
2Y	14-nov	2Y1, 2Y2, 2Y3, 2Y4, 2Y5	0,31	ST-55, ST-56			Documenter la cour, les murs de B1
2Z	14-nov	2Z1, 2Z2, 23, 2Z4	1,13	ST-56			Comprendre l'occupation intérieure de B1



Composantes du projet

- Sous-opération
- 1B Identification de sous-opération

Environnement spatial

- Cadastre du Québec
- Toit des bâtiments
- Tuile de la ville
- ABC Odonyme

Inventaire archéologique
Réfection du siège social d'Hydro-Québec

Plan général des sous-opérations effectuées

Sources :

Tuile urbaine: ville de Montréal, 31H12-010-0235, -0236.dxf;
Cadastre du Québec: © Gouvernement du Québec MRNF;
Arpentages: 15 novembre.txt, AK2023B.txt, AK2023BB.txt, novembre 2023.txt
Zone d'intervention : Aire_d'intervention.shp

Cartographie : Arkéos
Fichier : Ark24_02-HQ-Et-Pot-20240710.dwg

0 1,75 3,5 m
MTM, fuseau 8, NAD83 (SCRS)

Carte 2

Juillet 2024

Hydro Québec

Document d'information destiné aux publics concernés par le projet. Pour tout autre usage, communiquer avec l'unité Géomatique, à Hydro-Québec.

Lors des fouilles manuelles, les lots correspondent généralement à l'unité de fouille que constitue chacune des couches, ou encore à d'autres éléments distincts, définis de façon arbitraire ou non et isolés en fouille. Ainsi, l'information concernant le geste archéologique (opération), sa localisation horizontale (sous-opération) et sa localisation verticale (lot) est consignée dans une séquence alphanumérique simple.

2.2.2 Fiches d'enregistrement

Les enregistrements sur le terrain ont été réalisés au moyen de fiches de saisie normalisées, de prises de notes, de croquis en plan, de dessins à l'échelle des parois stratigraphiques représentatives avec description des sols (matrice, couleur, compacité, inclusions), de relevés planimétriques et altimétriques effectués à l'aide d'instruments d'arpentage, d'un relevé photographique et de fiches descriptives des vestiges architecturaux et d'utilités publiques. L'ensemble de ces documents constitue le dossier technique contenant les données utilisées dans l'élaboration du présent rapport.

Une procédure d'enregistrement alphanumérique et séquentielle (lettre suivie d'un chiffre) a été utilisée pour l'identification des différents supports d'enregistrement sur le terrain, le tout précédé de l'identifiant du site et de l'année d'intervention : BjFj-225-23-C(n) pour les relevés stratigraphiques ; BjFj-225-23-P(n) pour les relevés planimétriques ; BjFj-225-23-N(n)-(n) pour les photos. Les vestiges architecturaux ou « structures » ont été numérotés de façon similaire, en excluant toutefois l'année d'intervention, puisque la numérotation des vestiges se fait à la suite des interventions antérieures (BjFj-225-ST-[n]). L'ensemble des coupes stratigraphiques relevées durant l'intervention se retrouve dans le dossier technique, tandis que les coupes pertinentes à la compréhension du présent rapport ont été mises au propre et rassemblées en annexe 1.

Les numéros d'identification utilisés en 2023 pour le site BjFj-225 sont :
- Plans : BjFj-225-23-P1 à P43
- Coupes stratigraphiques : BjFj-225-23-C1 à C21
- Photos : BjFj-225-23-N1-001 à 348 ; N2-001 à 153 ; N3-001 à 1028
- Vestiges structurels : BjFj-225-ST-1 à ST-62

Les tableaux synthèses des activités archéologiques présentent les différentes unités d'intervention et les supports d'enregistrement associés pour l'ensemble du site (voir tableau 1). Le tableau 2 présente les caractéristiques de l'ensemble des structures mises au jour lors de la fouille archéologique sur le site BjFj-225.

Lors de l'inventaire, les relevés planimétriques et altimétriques ont été réalisés au moyen d'instruments d'arpentage et de points de référence reliés au Système de coordonnées planes du

Québec (SCOOP-NAD 83). Mentionnons enfin que tous les enregistrements sur le terrain ont été réalisés en utilisant le nord montréalais, correspondant à l'axe du boulevard Saint-Laurent, qui sera également employé dans le texte.

2.3 Analyses spécialisées

Certaines analyses spécialisées ont été réalisées à l'issue de l'intervention sur le terrain. Les rapports de ces diverses analyses sont inclus en annexes du présent rapport. Ces rapports comprennent : une analyse des macrorestes végétaux faite par le Centre d'étude nordique (CEN) (annexe 2), une analyse dendrochronologique de diverses pièces de bois récoltées sur le site effectuée par le GRDH et une identification des essences d'autres pièces non datées réalisée à l'interne par Clarence Laliberté et Marie-Claude Brien (annexe 3), une analyse zooarchéologique réalisée à l'interne par Martin Fields (annexe 4), une analyse archéobotanique effectuée par GAIA, coopérative de travail en archéologie (annexe 5). Les résultats généraux de ces analyses ont été intégrés au texte du présent rapport.

2.4 Traitement de la culture matérielle

Les objets-témoins (artéfacts et écofacts) ont été recueillis sur le terrain et ensachés temporairement selon leur lot de provenance. Les sacs d'objets-témoins ont ensuite été acheminés au laboratoire à la fin de l'intervention. Les artéfacts et écofacts font l'objet d'un traitement préliminaire (nettoyage, lavage et classement), puis d'une analyse avant d'être conditionnés pour permettre le dépôt de la collection à la réserve archéologique dont elle relève.

L'inventaire des objets-témoins a été réalisé selon le cadre de classification adopté en archéologie (matériau/fonction) et élaboré par Parcs-Canada. Canada (Parcs Canada, 2008). Au total, 52 965 fragments ont fait l'objet d'une identification sommaire à l'inventaire, toutes catégories de matériaux confondues.

Les objets les plus pertinents pour la caractérisation du site, en fonction de la rareté du ou des matériau(x) et/ou décor(s), de l'intégrité et de la lisibilité de l'objet, et d'une période chronologique ou d'une thématique précise, font l'objet d'un numérotage (Ville de Montréal, 2018 : 5-6) et d'un catalogage menant à des recherches plus poussées. Les données obtenues dans le cadre de ces recherches sont colligées au moyen de fiches de catalogage, les fiches utilisées étant celles proposées par la Ville de Montréal (Ville de Montréal, 2018). Pour le site BjFj-225, ces objets ont été identifiés par les numéros BjFj-225-001 à BjFj-225-025.

Enfin, les données issues de l'inventaire et du catalogage permettent une analyse de la collection, intégrée au présent rapport d'intervention archéologique. Cette analyse éclaire et souligne les principaux phénomènes d'occupation et d'utilisation du site à l'étude.

Tableau 2 - Synthèse des structures mises au jour sur le site BjFj-225

Numéro	Sous-opération	Ensemble structurel	Identification	Type de vestige	Date début	Date fin	Sommet	Base	Largeur	Longueur	Hauteur (max)	Description	Désordres structurels
ST-01	1A, 1B, 1C, 2A, 2K, 2L, 2R	B2 (Manufacture Mallard-Beaudry et Bloc Beaudry)	Fondation ouest	Fondation maçonnée	Entre 1800 et 1805	1889 c.	21,782	20,23	0,88	> 18,96	1,55	Parement double +/- dressé de pierres calcaires brutes et ébauchées couchées à plat en panneresse, appareil et assises (9) +/- régulier, mortier de chaux beige désagrégé, les cinq premières assises forme un empattement très inégal (de 0 à 18 cm de large) parfois en face intérieur et d'autres fois en face extérieure. Trace de planches de bois couchées à plat à la base du mur.	Sommet dérasé, perturbation ancienne liée à l'installation du drain ST-47, perturbation récente au centre de la face est, tronqué à l'extrémité sud.
ST-01	1A, 2B, 2C, 2L	B2 (Manufacture Mallard-Beaudry et Bloc Beaudry)	Fondation nord	Fondation maçonnée	Entre 1800 et 1805	1889 c.	21,782	20,04	0,86	9	1,74	Parement double +/- dressé de pierres calcaires brutes et ébauchées couchées à plat en panneresse, appareil et assises (9) +/- régulier, mortier de chaux beige désagrégé, les cinq premières assises forme un empattement très inégal (de 0 à 18 cm de large) parfois en face intérieure et d'autres fois en face extérieure. Trace de planches de bois couchées à plat à la base du mur.	Sommet dérasé sur l'entièreté du vestige, mais de façon plus importante dans sa moitié est.
ST-01	1A, 1B	B2 (Manufacture Mallard-Beaudry et Bloc Beaudry)	Fondation est	Fondation maçonnée	Entre 1800 et 1805	1889 c.	21,57	< 21,09	0,88	>10,90	0,48	Parement double +/- dressé de pierres calcaires brutes et ébauchées couchées à plat en panneresse. Une assise observée, mortier de chaux beige désagrégé.	Sommet dérasé jusqu'à l'empattement
ST-02	2A	Cour arrière B3	Fosse à déchets	Creusement	1850 c.	1889 c.	21,78	21,32	1	1,12	0,46	Fosse sub rectangulaire, côtés légèrement convexes, légère cuvette à la base. Lot associé 2A6	
ST-03	2A	Cour arrière B2-C	Aménagement du bloc Beaudry	Creusement	1845 c.	1846 c.	22,11	20,52	1	1,32	1,59	Fosse irrégulière, côtés légèrement concaves et irréguliers, se rétrécie vers la base. Trace de poteaux rectangulaire près de l'empattement du mur ST-1, à environ 50 cm du coin NO de B2. Lot associé 2A3	Surface possiblement arasée lors de l'excavation mécanique
ST-04	2D	Dépendance nord de B2-C	Plancher	Surface de circulation (bois)	Entre 1846-1873	1889 c.	21,73	21,6	1	1,75	0,13	Planches de pin blanc orientées E-O, très dégradées. Planche de chant d'orientation N-S à l'extrémité est du vestige. Abondance d'ossements. Lot associé 2D3	Tronqué ou lié au trou de poteau ST-6
ST-05	ANNULÉE												
ST-06	2D	Dépendance/ clôture entre B2-C et B3	Structure à la jonction entre les cours de B2 et B3	Trou de poteau	1845 c.	1889 c.	21,74	< 20,92	0,25	0,25	0,82	Trou de poteau d'environ 25 cm de diamètre recouvert de concrétions métalliques. Trace de bois en paroi. Lot associé 2D6	
ST-07	1A, 2C	B2 (Manufacture Mallard-Beaudry et Bloc Beaudry)	Base de foyer	Fondation maçonnée	Entre 1800 et 1805	1889 c.	21,3	20,79	0,28	1,25	0,51	Parement +/- dressé de pierres calcaires brutes et ébauchées couchées à plat en panneresse, appareil et assises (3) +/- régulier, mortier de chaux beige désagrégé. Imbriqué à ST-1 (fondation nord)	Sommet dérasé
ST-08	2C	B2 (Manufacture Mallard-Beaudry et Bloc Beaudry)	Aménagement B2	Trou de poteau (échafauds ?)	Entre 1800 et 1805	Entre 1800 et 1805	21,01	20,64	0,2	0,2	0,37	Trou de poteau d'environ 20 cm de diamètre, sans trace de bois	
ST-09	2C	B2 (Manufacture Mallard-Beaudry et Bloc Beaudry)	Aménagement B2	Trou de poteau (échafauds ?)	Entre 1800 et 1805	Entre 1800 et 1805	20,86	20,64	0,2	0,2	0,22	Trou semi-circulaire sans trace de bois.	
ST-10	1A, 2A	B3 (Maison McGill et Bloc Beaudry)	Fondation est	Fondation maçonnée	Entre 1825 - 1828	1889 c.	21,38	21,3	0,66	0,7	0,08	Parement double de pierres calcaires brutes et ébauchées couchées à plat. Une seule assise observée. Appuyé contre ST-1.	Sommet dérasé plus profondément que ST-1, environ au niveau de l'empattement de ce dernier
ST-11	2E	Cour à bois McLennan Lumber & Co	Clôture nord	Trou de poteau	Post 1892	Deuxième moitié du XX^{e}	21,77	21,33	0,12	0,2	0,44	Trou de poteau sans trace de bois d'environ 35 cm de diamètre dont le quart a été fouillé. Côtés et fond plutôt plats. Lot associé 2E4.	
ST-12	2E	Dépendance nord de B2-C	Charpente	Trou de poteau	1845 c.	1889 c.	21,69	21,29	0,4	0,4	0,4	Trou de poteau d'environ 40 cm de diamètre à sa surface, se rétrécit pour atteindre 15 cm de diamètre à la base. Base en cuvette. Lot associé 2E17.	
ST-13E	2F	Cour à bois McLennan Lumber & Co	Clôture Nord	Poteau de bois	Post 1917	Deuxième moitié du XX^{e}	22,02	21,42	0,25	0,25	0,6	Poteau de bois équarri en thuya occidental. Lot associé 2F3	

Numéro	Sous-opération	Ensemble structurel	Identification	Type de vestige	Date début	Date fin	Sommet	Base	Largeur	Longueur	Hauteur (max)	Description	Désordres structurels
ST-13W	2F	Cour à bois McLennan Lumber & Co	Clôture Nord	Poteau de bois	Post 1917	Deuxième moitié du XX^{e}	22,12	21,42	0,25	0,25	0,7	Poteau de bois équarri en thuya occidental. Lot associé 2F2	
ST-14	2E	Aménagement dans la cour arrière de la manufacture Mallard-Beaudry (B2)	Creusement indéterminé	Creusement	Deuxième quart du XIX^{e}	Deuxième quart du XIX^{e}	21,52	20,79	0,4	1,8	0,73	Fosse sub rectangulaire, côtés droits et fond plat comblé de pierres calcaires angulaires	
ST-15	2G	Cour à bois McLennan Lumber & Co	Aire de circulation	Surface de circulation (madrier, planches et mâche fer)	1905 c.	1958 c.	22,7	22,45	> 7,89	16,55	0,25	Surface de circulation composée de solives de chêne de 0,25 x 0,10 x plus de 4 m de long sur lesquelles sont déposée des planches de pin blanc d'une grandeur moyenne de 0,28 x 0,08 x 3,66 m. Une couche d'environ 0,05 m de mâchefer très compact le recouvre. Lot associé 2G1.	Tronqué au sud par les travaux récents liés à l'installation du réservoir d'essence
ST-16	2H	Latrines	Coffre de bois	Fosse de latrine en bois avec irrigation	1859 c.	1889 c.	22	20,36	1,7	1,15	1,64	Planche de pruche du Canada, dont l'une a été sciée vers 1859. Les planches qui la compose sont de 0,25 m de large x 0,07 cm d'épaisseur. Lots associés 2H9 et 2H10. Journaux datant de 1886.	Les planches du sommet sont très dégradées, mais le fond est parfaitement préservé.
ST-17	2F	Passage privé	Clôture ouest	Poteau de bois et planches	1845 c. (1783)	1889 c.	21,72	20,37	0,35	0,35	1,35	Poteau de thuya occidental dont la base a été coupée à la hache en 1783. Les planches en pin blanc d'environ 29 cm de large sont disposées à la verticale. Leur base se trouve à 21,27 m NMM. Lot associé 2F12.	Sommet dérasé
ST-18	2F	Passage privé	Creusement indéterminé	Creusement	1845 c.	1889 c.	21,54	20,94	0,55	0,88	0,6	Fosse sub rectangulaire, côtés légèrement concaves, fond irrégulier, plus profond au nord. Lot associé 2F4	
ST-19	2J	Cour arrière B2-B et B2-C	Clôture de division	Poteau de bois	1845 c.	1889 c.	21,69	20,98	0,11	0,11	0,71	Poteau de bois possiblement équarri, très dégradé, fond plat.	Sommet dérasé
ST-20	1A, 2K, 2H	B2-C et cour arrière de B2-C	Drain de grès pour évacuation des eaux usées B2	Drain en grès vernissé	Post 1872	1889 c.	20,75	20,15	0,23	> 13,00	0,6	Tuyau d'égout en grès grossier vernissé de type « bell and spigot » de marque Gartcraig Glasgow (début de fabrication 1872), 9 à 11 pouces de diamètre intérieur. Son extrémité ouest est connectée à la latrine ST-16, il possède une autre entrée 3m à l'est (drainage cour ?), puis une dernière à l'intérieur de B2, accolé à ST-1	Sommets des sorties dérasés, tronqués par perturbation récente à l'est.
ST-21	1A, 2L	B2 (Manufacture Mallard-Beaudry et Bloc Beaudry)	Puits	Maçonnerie sèche	Entre 1800 et 1805	1843 c.	21,11	20,04	1,55	1,55	1,07	Puits de pierres calcaires ébauchées sans mortier, de construction plutôt irrégulière. Assises (8) +/- régulières. Se rend jusqu'au roc. Lots associés 2L2 et 2L3.	
ST-22	2E	B2 (Manufacture Mallard-Beaudry et Bloc Beaudry)	Creusement indéterminé	Creusement	Post 1820	1843 c.	21,33	21,11	0,4	> 0,40	0,22	Creusement peu profond, bords concaves et fond en cuvette. Lot associé 2E18	
ST-23	2M	Cour arrière B2-C	Fosse à déchets	Creusement	Post 1891	Début XX^{e}	21,73	21,42	1,2	1,35	0,31	Creusement subcirculaire peu profond, bords concaves et fond en cuvette. Lots associés 2M1 et 2M2.	
ST-24	2M	Cour arrière B3	Fosse à déchets	Creusement	Post 1888	Début XX^{e}	21,74	21,3	0,5	> 0,65	0,44	Creusement plutôt rectangulaire. Côtés droits et angles carrés. Fond plat. Lot associé 2M3.	Tronqué au nord par l'excavation mécanique
ST-25	1B (1A)	Cour à bois McLennan Lumber & Co	Clôture Nord	Poteau de bois	1905 c.	Deuxième moitié du XX^{e}	21,81	21,4	0,22	0,22	0,41	Trou de poteau contenant un reste de poteau (pâte de bois) au fond. Côtés droits et fond en cuvette. Lot associé 1B7	
ST-26	1B (1A)	Cour à bois McLennan Lumber & Co	Charpente bâtiment cours à bois ?	Trou de poteau	1905 c.	1958 c.	21,88	< 21,37	0,25	0,25	0,51	Trou de poteau sans trace de bois. Côtés droits et fond non atteint. Lot associé 1B8	
ST-27	1B	Cour arrière B2-B	Charpente ?	Trou de poteau	Deuxième moitié du XIX^{e}	1889 c.	21,68	21,45	0,6	0,6	0,23	Trou de poteau sans trace de bois. Côtés légèrement concaves et fond en cuvette. Lot associé 1B9	Dérasé légèrement par l'excavation mécanique
ST-28	1B	Cour arrière B2-B	Charpente dépendance ?	Poteau de bois	1845 c.	1889 c.	21,68	21,15	0,55	0,55	0,53	Trou de poteau et poteau de bois en demi-rond. Lot associé 1B10	Dérasé légèrement par l'excavation mécanique
ST-29	1B	Cour arrière B2-B	Charpente dépendance ?	Poteau de bois	1845 c.	1889 c.	21,65	< 21,60	0,2	0,2	0,05	Poteau de bois à l'état de pâte. Fond non atteint.	Dérasée légèrement par l'excavation mécanique

Numéro	Sous-opération	Ensemble structurel	Identification	Type de vestige	Date début	Date fin	Sommet	Base	Largeur	Longueur	Hauteur (max)	Description	Désordres structurels
ST-30	1B	Cour arrière B2-A et B2-B	Clôture de division	Poteau de bois	1845 c.	1889 c.	22	< 21,80	0,2	0,2	0,2	Poteau de bois entouré d'éclats de pierre. Non fouillé	Sommet dérasé
ST-31	1B	Cour arrière B2-A et B2-B	Clôture de division	Poteau de bois	1845 c.	1889 c.	22,05	21,14	0,24	0,18	0,91	Poteau de bois de thuya occidental légèrement équarri. Fond plat.	Sommet dérasé
ST-32	1B	Cour arrière B2-A	Clôture arrière	Poteau de bois	1845 c.	1889 c.	21,8	20,84	0,19	0,19	0,96	Poteau de bois de thuya occidental. Fond plat.	Sommet dérasé
ST-33	2H	Cour arrière B2-C	Drain secondaire	Drain de bois	1852 c.	1875 c.	21,11	21,09	0,28	3,6	0,17	Drain de bois en pin blanc retenu à l'aide de clous, recouvert d'un couvercle de planches perpendiculaires. Aménagement de pierres calcaires à son extrémité est. S'écoule vers l'ouest dans le drain principal ST-43.	
ST-34	2P	Cour arrière B2-C	Fosse à déchets	Creusement	1845 c.	1889 c.	21,61	21,06	0,8	1,4	0,55	Fosse subrectangulaire. Côtés irréguliers. Fond plat dans la moitié sud et plus profond et arrondi au nord.	
ST-35	1B	Cour arrière B2-B	Clôture arrière	Poteau de bois	1845 c.	1889 c.	21,66	< 21,55	0,18	0,18	0,11	Poteau de bois désagrégé. Non fouillé.	Sommet dérasé
ST-36	1A	Cour à bois McLennan Lumber & Co	Clôture Nord	Poteau de bois	1905 c.	XX^{e}	22,15	21, 48	0,19	0,19	0,67	Poteau équarri en thuya occidental, base plane.	Sommet dérasé
ST-37	1A	Cour à bois McLennan Lumber & Co	Clôture Nord	Poteau de bois	Post 1889	Post 1889	22,15	21,28	0,36	0,2	0,87	Poteau équarri en thuya occidental, base plane.	Sommet dérasé
ST-38	1A	Cour à bois McLennan Lumber & Co	Clôture Nord	Poteau de bois	Post 1889	Post 1889	21,98	21,48	0,19	0,19	0,5	Poteau équarri en thuya occidental, base plane.	Sommet dérasé
ST-39	2F	Hangar nord	Plancher hangar nord	Aire de circulation (bois)	Post 1847	1889 c.	21,76	21, 55	3,53	> 1,15	0,21	Plancher de construction plutôt aléatoire avec des planches en pin blanc d'environ 36 cm de large sur 172 cm de long et 9 cm d'épaisseur. Sa moitié est contient un niveau supplémentaire de planches pour compenser un enfoncement. Des pierres calcaires ébauchées ont été utilisées comme lit de pose au coin SO et à l'extrémité sud.	Tronqué au nord par des travaux récents d'installation de clôture pour le parc Hydro-Québec
ST-40	2N	Secteur des hangars	Gouttière	Drain de bois	1852 c. (selon autre drain)	1875 c.	21,44	21,15	0,15	3,6	0,1	Petit drain de bois composé de planches de bois déposées sans clous visibles. Se déverse vers l'est dans le drain principale ST-43. Lot associé 2N5	Extrémité ouest possiblement tronquée
ST-41	2N	Passage privé	Clôture ouest	Poteau de bois	1845 c. (1824)	1889 c.	21,66	20,26	0,41	0,41	1,4	Poteau de bois de thuya occidental, base biseautée coupée à la hache en 1824.	Sommet dérasé
ST-42	2H	Cour arrière B2-C	Drain secondaire provenant des latrines	Drain de bois	1852 c. (selon autre drain)	1875 c.	20,94	20,93	0,3	> 0,80	0,08	Drain de bois retenu à l'aide de clous, recouvert d'un couvercle de planches perpendiculaires. Probablement relié à la latrine ST-16 avant l'aménagement du drain de grès. S'écoule vers l'ouest dans le drain principal ST-43.	Extrémité est tronquée lors du réaménagement de ST-16
ST-43	2N	Passage privé	Drain principal	Drain de bois	1852 c.	1875 c.	20,98	20,79	0,38 à 0,42	> 10	0,2	Drain de bois de pin blanc, dont l'une des planches de fond a été coupée vers 1852. Retenu à l'aide de clous et recouvert d'un couvercle de planches perpendiculaires. S'écoule vers le nord et s'élargis au niveau de ST-33 et ST-40. Lot associé 2N4	Tronqué au nord par des travaux récents d'installation de clôture pour le parc Hydro-Québec, se poursuit probablement vers le sud
ST-44	2H	Cour arrière B2-C	Clôture arrière	Poteau de bois	1845 c. (1844 c.)	1889 c.	21,39	20,56	0,25	0,25	0,83	Poteau de bois de thuya occidental, base biseautée coupée à la hache en 1844. Lot associé 2H17	Sommet dérasé
ST-45	2H	Cour arrière B2 (manufacture Mallard-Beaudry)	Aménagements indéterminés	Poteau de bois	1827 c.	1845 c.	21,25	19,95	0,38	0,38	1,3	Poteau de bois de thuya occidental, base biseautée coupée à la hache en 1827.	Sommet dérasé
ST-46	2R	Cour arrière B2 (manufacture Mallard-Beaudry)	Drain de bois évacuation des eaux usées B2	Drain de bois	Deuxième quart du XIX^{e}	1875 c.	20,71	20,59	0,35	> 3,75	0,22	Drain de bois mal préservé (pâte de bois), reçoit le contenu du drain ST-47 provenant de B2 et s'écoule vers le nord. Son extrémité sud a été délimitée, mais pas l'extrémité nord. Lot associé 2R3	Le drain de grès ST-20 passe en dessous et a créé un affaissement du drain.

Numéro	Sous-opération	Ensemble structurel	Identification	Type de vestige	Date début	Date fin	Sommet	Base	Largeur	Longueur	Hauteur (max)	Description	Désordres structurels
ST-47	2R	Cour arrière B2 (manufacture Mallard-Beaudry)	Drain de bois évacuation des eaux usées B2	Drain de bois	Deuxième quart du XIXe	1875 c.	20,86	20,76	0,22	2	0,2	Drain de bois mal préservé (pâte de bois), traverse la fondation ouest de B2 (ST-1) et s'écoule vers l'ouest dans ST-46. Lot associé 2R3	
ST-48	2T	Passage privé	Clôture ouest	Poteau de bois	1845 c.	1889 c.	21,98	< 21,28	0,3	0,3	0,7	Poteau de bois de conifères équarri en surface, jusqu'à la base des planches de clôture ST-51.	Sommet dérasé
ST-49	2T	Passage privé	Clôture ouest	Poteau de bois	1845 c.	1889 c.	21,87	< 21,62	0,3	0,3	0,25	Poteau de bois de conifères équarri en surface.	Sommet dérasé
ST-50	2T	Hangar sud	Plancher hangar sud	Surface de circulation (bois)	Post 1866	1889 c.	21,67	21,63	0,8	2,4	0,04	Plancher de construction plutôt aléatoire avec des planches en pin blanc d'environ 36 cm de large sur 172 cm de long et 9 cm d'épaisseur. Sa moitié est contient un niveau supplémentaire de planches pour compenser un enfoncement. Des pierres calcaires ébauchées ont été utilisées comme lit de pose au coin SO et à l'extrémité sud.	Semble avoir été partiellement perturbé / mal préservé
ST-51	2T	Passage privé	Clôture ouest	Planches de bois	Post 1851	1889 c.	21,91	20,41	0,03	3,6	0,5	Clôture de planches entre 10 et 18 cm de large, posées à la verticale entre les poteaux ST-48 et ST-49. Mauvaise préservation.	Sommet dérasé
ST-52	1A	Secteur des hangars	Clôture Ouest	Poteau de bois	Deuxième quart du XIXe	Post 1889	21,57	<21,20	0,2	0,2	0,37	Poteau de bois équarri en surface	Sommet dérasé
ST-53	1B	Secteur des hangars	Clôture Ouest	Poteau de bois	Deuxième quart du XIXe	Post 1889	21,59	<21,20	0,15	0,2	0,39	Poteau de bois équarri en surface	Sommet dérasé
ST-54	2F	Secteur des hangars	Fosse à déchets ?	Creusement	Post 1863	Deuxième moitié du XIXe	21,73	20,56	0,8	1	0,17	Creusement subcirculaire profond, bords irréguliers plutôt concaves et fond en cuvette. Lots associés 2F20	
ST-55	1C, 2Y	Annexe arrière de B1	Fondation sud	Fondation maçonnée	Entre 1872 et 1881	1908 c.	21,87	20,81	0,6	2,72	1,06	Plancher de construction plutôt aléatoire avec des planches en pin blanc d'environ 36 cm de large sur 172 cm de long et 9 cm d'épaisseur. Sa moitié est contient un niveau supplémentaire de planches pour compenser un enfoncement. Des pierres calcaires ébauchées ont été utilisées comme lit de pose au coin SO et à l'extrémité sud.	Sommet dérasé, tronqué par excavations pour l'installation d'un drain (ST60, ST-62)
ST-56	1C, 2Z	B1 (Écurie et Bloc Beaudry)	Fondation ouest	Fondation maçonnée	Premier quart du XIXe	1908 c.	21,99	21,02	0,82	3,06	0,97	Parement double dressé de pierres calcaires équarries couchées à plat en panneresse, appareil +/- régulier et assises (7) régulières, mortier de chaux beige désagrégé, les quatre premières assises forme un empattement de 82 cm de large qui dépasse d'environ 10 cm sur les deux faces. Présence d'un aménagement d'environ 30 cm de large afin de laisser passer possiblement un ancien drain.	Sommet dérasé, tronqué au nord par excavations pour l'installation d'un drain (ST60, ST-62) et au sud par construction du poste sous-terrain.
ST-57	1B, 1C	Ruelle Bronsdon	Égout	Égout en brique	Post 1875	1958 c.	20,45	19,38	1	20	1,07	« Brick Barrel » d'environ 1 m de diamètre	Tronqué au sud lors de la construction du poste sous terrain
ST-58	1A, 1B, 1C	Ruelle Bronsdon	Aqueduc	Tuyau de fonte	Post 1875	1958 c.	20,75	20,5	0,25	> 23	0,25	Tuyaux d'aqueduc en fonte d'environ 0,25 m de diamètre extérieur passant anciennement sous la rue Bronsdon. De type « bell et spigott »	
ST-59	1A, 1B	Ruelle Bronsdon	Égout	Drain en grès	Post 1875	1958 c.	20,5	20,1	0,4	> 3,15	0,4		
ST-60	1C	Stationnement HQ	Égout	Drain en grès	1960 c.	Avant 2024	19,39	18,99	0,4	> 1	0,4	Tuyau de grès d'environ 40 cm de diamètre, seulement visible à partir de ST-61. Se rendait probablement jusqu'à ST-62. Possiblement tronqué lors des travaux récents d'installation du réservoir d'essence.	
ST-61	1C	Stationnement HQ	Regard	Regard	1960 c.	Avant 2024	22,08	19,08	0,71	0,71	3	Parement double dressé de pierres calcaires équarries couchées à plat en panneresse, appareil +/- régulier et assises (7) régulières, mortier de chaux beige désagrégée, les quatre premières assises forme un empattement de 82 cm de large qui dépasse d'environ 10 cm sur les deux faces. Présence d'un aménagement d'environ 30 cm de large afin de laisser passer possiblement un ancien drain.	
ST-62	1C	Stationnement HQ	Regard	Regard	1960 c.	Avant 2024	22,95	< 22,90	0,71	0,71	0,05	Regard de béton probablement lié au tuyau ST-60 ajouté lors de l'aménagement du poste sous-terrain vers 1960.	

Des tableaux synthèses ont été compilés pour rendre compte des divers assemblages du site ; l'ensemble de ces tableaux se trouvent en annexe 6 et a servi à la présentation et à l'interprétation des résultats. Tous les enregistrements relatifs à l'inventaire de la culture matérielle se trouvent en annexe 7 du présent rapport.

2.4.1 Traitement préliminaire

Les artéfacts et écofacts prélevés lors de l'intervention sont traités en laboratoire, suivant les normes archéologiques en vigueur (Ville de Montréal, 2018 : 4). Tous les objets sont nettoyés, les objets en céramique, en verre, en pierre et en plastique étant lavés à l'eau et classés préliminairement selon des catégories générales (essentiellement basées sur les matériaux) et selon leur unité de provenance (lot).

2.4.2 Inventaire, catalogue et analyse de la culture matérielle

Le détenteur d'un permis de recherche archéologique est tenu par la loi sur le patrimoine culturel[1] d'inclure l'inventaire des artéfacts aux annexes de son rapport annuel de recherche. L'inventaire de la collection consiste à enregistrer chacun des éléments de l'assemblage archéologique dans un tableau ou un système de gestion de bases de données relationnelles conçu pour contenir toutes les données pertinentes à la description et à l'identification des artéfacts et écofacts, mais aussi à leur analyse. La base de données Excel utilisée pour réaliser l'inventaire est propre à Arkéos. Elle est largement inspirée de celle de la Ville de Montréal, qui nécessite le logiciel FileMaker Pro 10. La base de données utilisée a été conçue pour permettre la comparaison de certaines entrées significatives (telles que typologie, décors, altérations), qui se retrouvaient pêle-mêle au sein de la rubrique « commentaires » dans la base de données de la Ville de Montréal, facilitant ainsi l'analyse de la collection. Elle permet également de basculer les données dans une base de données FileMaker Pro 10 lorsque nécessaire.

L'inventaire comprend notamment l'identification de la provenance (code temporaire ou code Borden, nom du site, numéros d'opération et de lot), de l'objet, du matériau, de la fonction, l'intégrité de l'objet, le nombre de fragments, le nombre d'objets, la transcription des inscriptions et marques observables, la description typologique ainsi que celle des décors et des altérations, la datation lorsque possible et enfin, le numéro de la boîte dans laquelle se trouve l'objet et le numéro de catalogue, le cas échéant.

La quantification des artéfacts se fait au moyen du nombre de restes (NR) et du nombre minimum d'individus (NMI). Ces deux méthodes de quantification des artéfacts et écofacts sont couramment

1 Loi sur le patrimoine culturel, chapitre P-9.002, r. 2.1 ; Règlement sur la recherche archéologique, A.M. 2013-01, article 11

utilisées en archéologie. Le NR est calculé avant le remontage des objets, tandis que le NMI reflète une interprétation du matériel. Le NR permet d'obtenir certains types de renseignements, tels que la détermination des matériaux dans l'assemblage et l'ordre de grandeur des types de production, ce qui aide notamment à proposer une datation pour l'assemblage ou à évaluer la fragmentation du mobilier, indiquant un usage particulier de l'espace. Le NMI, quant à lui, sert principalement à l'interprétation archéologique, consolidant également l'argumentaire chronologique (Hussi, 2001). Dans le cas de cette étude, la méthodologie retenue est celle du NMI basique (ou maximal) (Demierre *et al.*, 2013).

Concernant les matériaux et les fonctions des objets, la classification est basée sur des listes élaborées par Parcs Canada (Parcs Canada, 2008), modifiées et complétées par la Ville de Montréal (Ville de Montréal, 2018).

La description des différents objets (typologie et décor) est réalisée suivant la terminologie précisée dans des ouvrages et des articles de référence. Pour la céramique, le *Guide des céramiques selon la nomenclature en vigueur à Parcs Canada-Région du Québec* (Gauvin, 1995) fait référence pour ce qui est de la détermination du matériau, parfois complété par *Identifier la céramique au Québec* (Métreau, 2016), alors que pour ce qui est de la description des critères morphologiques, les travaux de Fabienne Ravoire ont été utilisés (Ravoire, 2006). Ces ouvrages sont complétés par des études monographiques, notamment les livres portant sur les collections de Place-Royale (voir par exemple Campbell, 1996 ; Moussette, 1996 ; Plourde et Lapointe, 1996). Pour le verre, le *Glossaire du verre de Parcs Canada : décrivant les contenants, la verrerie de table, les dispositifs de fermeture et le verre plat* (Jones et Sullivan, 1985), *Les bouteilles à vin et à bière cylindriques anglaises, 1735-1850* (Jones, 1986) et la *Verrerie de table au Canada. 1770-1850* (McNally, 1982) ont largement été mis à contribution. Pour les menus objets, un certain nombre de publications associées aux interventions archéologiques réalisées à Place-Royale à Québec ainsi que des publications de Parcs Canada servent de référence. C'est le cas pour les jeux (K. Tremblay et Renaud, 1999), les ustensiles (Dunning, 2001; Y. Tremblay, 1996), les objets de couture (Y. Tremblay, 1996), les appareils d'éclairage (Y. Tremblay, 1996 ; Woodhead *et al.*, 1984) et pour divers menus objets de la vie quotidienne (Marier, 1996). Pour les pipes à fumer, les références sont nombreuses (voir par exemple Arkéos, 2015 ; Bradley, 2001; Daviau, 2009 ; Drouin et Savard, 1990 ; Ethnoscop, 2008).

L'état de conservation des artéfacts est également documenté, d'après les constats d'intégrité et d'altération de l'objet. Le constat d'intégrité permet de renseigner si l'objet est entier (objet conservé dans son intégralité), complet (objet dont il est possible de déterminer le profil complet bien qu'il ne soit pas conservé dans son intégralité), reconstituable (objet qu'il est possible de rattacher à une forme spécifique même si son profil n'est pas conservé dans son intégralité), incomplet (objet qu'il n'est pas possible de rattacher à une forme précise, mais dont la fonction

reste malgré tout déterminable) ou fragmentaire (objet qu'il n'est pas possible de rattacher ni à une fonction ni à une forme précise). L'altération se divise entre altération faible (+) (l'altération est quasiment imperceptible à l'œil nu), moyenne (++) (l'altération est partielle, mais permet une lecture complète de l'objet), forte (+++) (l'objet est identifiable, mais l'altération a nettement modifié la surface de l'objet) ou complète (++++) (le processus d'altération est à un stade très avancé et l'objet n'est plus identifiable).

2.4.3 Conditionnement et dépôt de la collection

À la suite de l'inventaire complet des fragments de la collection, celle-ci est conditionnée afin de permettre son dépôt et sa conservation dans des conditions optimales. La collection sera déposée au Laboratoire et réserve d'archéologie du Québec. Aussi, elle a été conditionnée en conséquence, suivant les exigences du lieu de dépôt de la collection. Il est également possible que certains objets soient mis en valeur dans une exposition préparée par Hydro-Québec.

3 CADRE GÉOGRAPHIQUE ACTUEL ET ANCIEN

3.1 Localisation et relief

L'aire d'étude fait partie de la région physiographique des basses-terres du Saint-Laurent, vaste plaine fertile en grande partie inondée par les eaux de la mer de Champlain durant les millénaires suivant la déglaciation et disséquée, en son centre, par le fleuve Saint-Laurent. Parmi plus de 300 îles composant l'archipel montréalais, l'île de Montréal, dominée par le mont Royal et sur laquelle s'étend l'aire d'étude, est la plus vaste. En raison de cette situation géographique, l'aire d'étude s'inscrit dans une position de convergence de grandes voies fluviales qui structurent le Nord-Est américain. La plus importante est évidemment le Saint-Laurent qui établit un lien entre région des Grands Lacs, la partie fluviale, l'estuaire maritime et le golfe du Saint-Laurent. La seconde correspond à l'Outaouais qui s'enfonce profondément vers le nord-ouest et le nord, en direction des lignes de partage des eaux avec les bassins hydrographiques de la baie James. La troisième, le Richelieu, permet d'accéder au grand bassin de l'Hudson ; même si l'embouchure du Richelieu se situe à une cinquantaine de kilomètres en aval de Montréal, son parcours ne passe qu'à une quinzaine de kilomètres à l'est de l'archipel, par voie terrestre.

L'aire d'étude, située au nord du boulevard René-Lévesque, entre les rues Saint-Urbain et Clark repose sur le premier niveau de terrasses qui encerclent le mont Royal à une altitude d'environ 24 m NMM.

3.2 Géologie

Le secteur fait partie de la province géologique de la Plate-forme du Saint-Laurent, cernée par les Appalaches au sud/sud-est et le Bouclier canadien au nord/nord-ouest. Ce bassin sédimentaire s'est comblé en marge de l'océan Iapétus[1] durant la fin du Cambrien et l'Ordovicien (environ 500 millions d'années avant aujourd'hui). Il est constitué de roches sédimentaires superposées subhorizontalement. Le soubassement rocheux est composé de shale d'Utica, une formation géologique connue pour contenir des volumes significatifs de « gaz de schiste ».

L'originalité géologique de l'aire d'étude réside dans la présence d'une intrusion mafique du Mésozoïque, le mont Royal. Ce relief de 234 mètres d'altitude, composé principalement de gabbro, offre une vue intéressante sur la portion aval des rapides de Lachine. Son auréole métamorphique est en partie constituée de cornéenne, un matériau prisé par les populations autochtones anciennes, dont l'extraction est avérée sur le site de la carrière du mont Royal (BjFj-97), situé à moins de 3 km du secteur d'étude (Bélanger, 2012). L'affleurement de cornéenne le plus important apparaît dans l'Abrupt du Chalet, accessible via le tracé du ruisseau Saint-Martin.

1 Ancien océan né de la séparation de deux continents, Laurentia et Gondwana, et dont la fermeture engendrera la formation de la chaine de montagnes des Appalaches.

3.3 Dépôts meubles

La séquence stratigraphique théorique simplifiée dans la région de Montréal est la suivante (du socle rocheux vers la surface) :

- Dépôts de till[2] : Les sédiments de toutes tailles emprisonnées dans la glace (till d'ablation) de l'inlandsis laurentidien ou à sa base (till de fond) sont déposés sur place à mesure de la fonte du glacier.
- Dépôts marins[3] : Quasi simultanément à la déglaciation, les basses terres sont submergées par les eaux de la mer de Champlain. Des sables et graviers, apportés par les cours d'eau de fonte (fluvioglaciaires), se déposent sur les côtes et près des embouchures. Des argiles décantent en eau profonde et régularisent les fonds.
- À mesure de la baisse des eaux de la mer de Champlain, du lac à *Lampsilis* puis finalement du fleuve Saint-Laurent, des terrasses se façonnent et des bras d'eau en récession s'encaissent dans les sédiments précédemment déposés. L'érosion expose le till, alors qu'à d'autres endroits, des limons et des sables sédimentent (dépôts fluviatiles).
- Pendant l'émersion, dans certaines vallées et dépressions mal drainées, des petits lacs et dépression se comblent de végétation et évoluent en marais ou en tourbières.

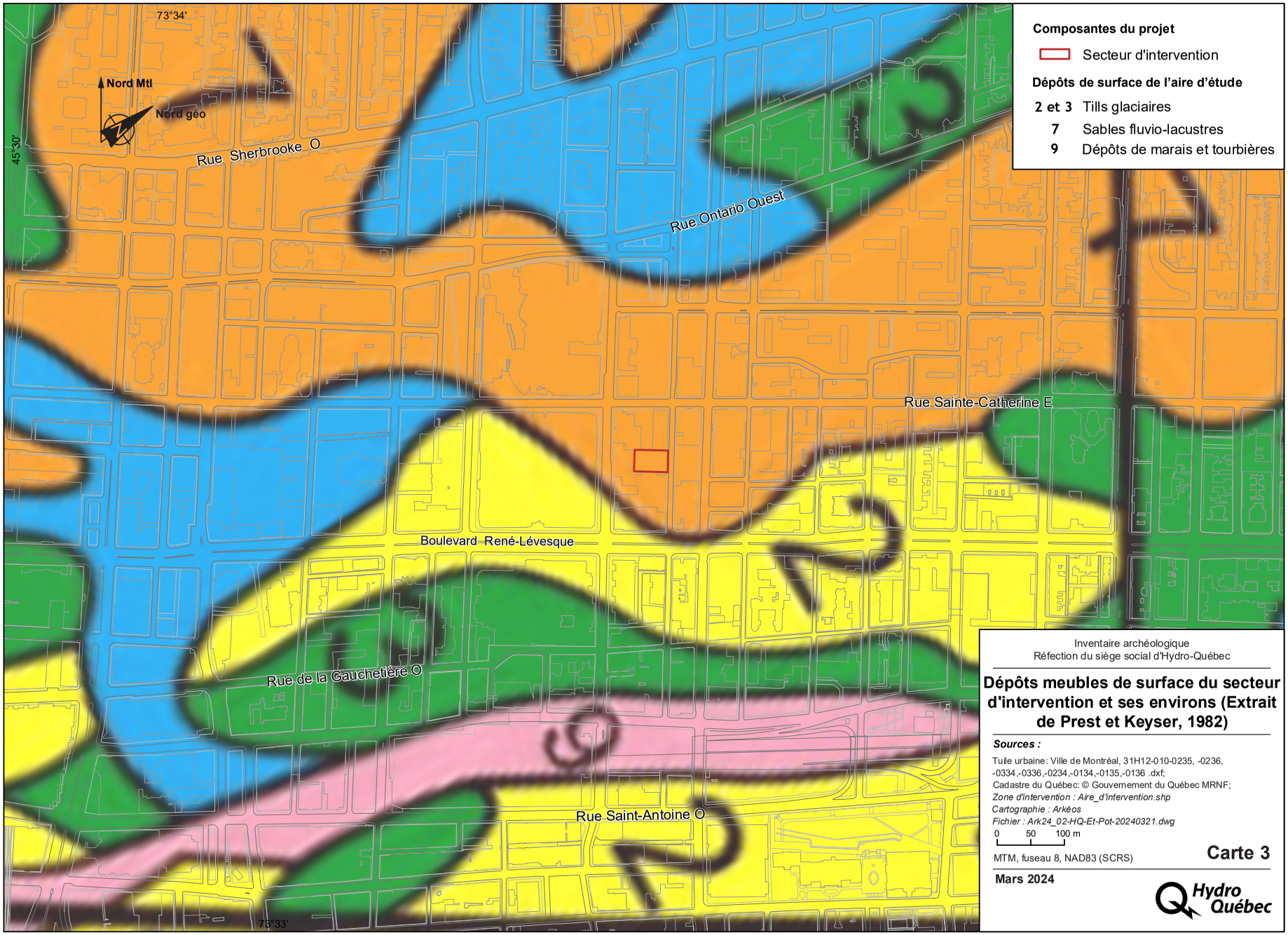
D'après la carte des dépôts de surface de l'île de Montréal (Prest et Keyser, 1982b) (carte 3), les sols naturels du secteur d'intervention sont principalement composés de sable fluviolacustre. Ce type de dépôt sédimentaire résulte de l'interaction complexe entre les processus fluviaux, associés aux cours d'eau, et lacustres, liés aux zones lacustres. Les sables fluviolacustres se forment lorsque les rivières transportent des particules érodées en amont et les déposent dans des environnements de faible énergie, tels que les embouchures des rivières ou les deltas. Les caractéristiques physiques de ces sables comprennent une stratification marquée par des couches de sédiments déposées en fonction des variations saisonnières du débit d'eau et des épisodes de crue.

3.4 Hydrographie

L'aire d'étude est située au nord de la vallée d'un ancien petit cours d'eau, le ruisseau Saint-Martin. Le ruisseau de la côte à Baron, aujourd'hui disparu, s'écoulait jadis dans le secteur d'intervention (carte 4). Ce ruisseau, qui coulait toute l'année (la Gazette de Québec, 8 août 1796), prenait sa source à l'ouest, dans le ruisseau Burnside, en plus de puiser l'eau des marais de la côte à Baron. Il traversait ensuite le Faubourg Saint-Laurent avant de se déverser dans le ruisseau Saint-Martin. Le cours du ruisseau traversait plusieurs dénivelés, notamment ceux de la rue Sherbrooke et du

2 Le till est un sédiment d'origine glaciaire, constitué d'une matrice sableuse associée à des sédiments de toute taille (graviers, galets, blocs) et non triés.

3 Un épisode lacustre, le lac à *Candona*, volontairement omis dans cette séquence, a précédé l'invasion de la mer de Champlain. Certains dépôts lacustres sont présents localement à l'échelle régionale, mais sont absents (ou présents de manière très anecdotique) sur l'île de Montréal.



Inventaire archéologique
Réfection du siège social d'Hydro-Québec

Dépôts meubles de surface du secteur d'intervention et ses environs (Extrait de Prest et Keyser, 1982)

Sources :

Tuile urbaine: Ville de Montréal, 31H12-010-0235, -0236, -0334,-0336,-0234,-0134,-0135,-0136 .dxf;
Cadastre du Québec: © Gouvernement du Québec MRNF;
Zone d'intervention : Aire_d'intervention.shp
Cartographie : Arkéos
Fichier : Ark24_02-HQ-Et-Pot-20240321.dwg

0 50 100 m

MTM, fuseau 8, NAD83 (SCRS)

Carte 3

Mars 2024

Hydro Québec

8235

Document d'information destiné aux publics concernés par le projet. Pour tout autre usage, communiquer avec l'unité Géomatique, à Hydro-Québec.



Document d'information destiné aux publics concernés par le projet. Pour tout autre usage, communiquer avec l'unité Géomatique, à Hydro-Québec.

boulevard René-Lévesque. Dans ces zones, son débit augmentait en raison de la pente, mais il ralentissait significativement sur le plateau compris entre ces deux dénivelés. Les précipitations et la fonte des neiges influençaient également son débit et, par conséquent, son tracé, qui fluctuait de manière notable dans les secteurs plats. Lors des périodes de faible débit, de petits marais pouvaient également se former dans ces zones.

L'intervention de 2023 a d'ailleurs permis de confirmer la présence d'un marais à partir de l'analyse de macrorestes végétaux présents dans les échantillons provenant de sédiments organiques contenant une grande quantité de morceaux de bois et d'écorce (lot 2C10) (annexe 2). L'analyse qui a isolé les moitiés supérieure (E35) et inférieure (E36) de la couche organique indique un milieu humide marécageux qui tend à s'assécher légèrement à travers le temps. Le niveau inférieur (E36), dominé par la matière ligneuse (37 %) avec une présence notable de restes herbacés (22 %) et de mousses (16 %) diffère légèrement du niveau supérieur (E35) qui présente une grande proportion de matière ligneuse (62 %) et moins de restes de plantes vasculaires et herbacées (<25 %). La base de la couche suggère un milieu humide marécageux avec des espèces comme *Typha latifolia* (Quenouille) et *Carex scabrata* (carex scabre) alors que le sommet de la couche contient moins de graines de *Typha latifolia*, et dénote de l'apparition de *Rubus canadensis* (ronce du Canada) indiquant des conditions moins humides. Une datation ^{14}C au somment de la couche a révélé un âge médian de 390 ans AA (1562 de notre ère) indiquant donc que le secteur était principalement marécageux alors que les Autochtones occupaient le territoire et à l'arrivée des Européens. La figure 1 se veut une illustration du paysage naturel ancien de l'aire d'étude avant son anthropisation, basée sur les données et observations récoltées lors de l'intervention.



Figure 1 - Reconstitution du paysage naturel de l'aire d'étude réalisée à l'aide de Deepai, à partir des données récoltées lors de l'intervention archéologique

Bien qu'impropres à l'installation de campement permanent ou temporaire, les marécages et zones humides regorgent tout de même de ressources alimentaires et de matériaux de base pour la fabrication d'objets usuels pour les populations autochtones. Le secteur a donc très bien pu être fréquenté par les populations humaines avant sa transformation subséquente.

3.5 Climat et végétation

Le secteur d'intervention, à l'instar de l'ensemble de l'archipel montréalais, est caractérisé par un climat continental tempéré humide avec une longue saison de croissance (Service des grands parcs, du verdissement et du Mont-Royal, 2017). Ce climat fait de cette région la plus chaude du Québec, avec une température moyenne annuelle de 6,4 °C.

Le secteur se situe dans la zone tempérée nordique, plus précisément dans la sous-zone de la forêt décidue, où dominent les peuplements feuillus et mélangés. Depuis environ 6 000 ans (AA), cette région fait partie du domaine bioclimatique de l'érablière à caryer cordiforme. Ce type de couvert forestier a progressivement été retiré par les premiers colons pour permettre les activités agricoles et l'établissement de colonies.

En plus du caryer cordiforme, le couvert forestier historique comprenait d'autres espèces telles que le caryer ovale, le micocoulier, l'érable noir, le chêne bicolore, l'orme de Thomas, et le pin rigide, ainsi qu'une variété d'arbustes et de plantes herbacées. Certaines espèces plus nordiques, comme l'érable à sucre, le sapin et les épinettes, étaient également présentes. L'évolution du couvert forestier de l'érablière à caryer cordiforme a été principalement influencée par les chablis, c'est-à-dire les chutes d'arbres causées par des événements naturels tels que les tempêtes et les vents violents.

3.6 Paléoenvironnement : de la déglaciation à aujourd'hui

Cette section résume chronologiquement les principaux changements environnementaux qui ont influencé le secteur d'étude depuis la déglaciation. Comprendre cet enchainement, c'est comprendre l'histoire des paysages du passé et du présent et découvrir les raisons qui ont poussé les hommes à investir ce territoire il y a des milliers d'années pour y rester jusqu'à aujourd'hui.

La chronologie de l'émersion du secteur d'intervention à l'holocène repose principalement sur la courbe d'émersion de Lamarche (Lamarche, 2005 ; Lamarche, 2006), reprise et corrigée par Richard (2017, comm. pers.). Les données d'altitude proviennent de différentes sources selon l'échelle considérée : données stratigraphiques de travaux antérieurs, imagerie LiDAR (site foretouverte.gouv.qc.ca) et modèle numérique d'élévation régional (site de la NASA). La marge d'erreur associée à la courbe d'émersion ainsi qu'à l'altération de la topographie et des altitudes naturelles d'origine, bien qu'inconnue, peut être raisonnablement limitée à ± 200 ans.

3.6.1 Déglaciation et mer de Champlain

Il y a 21 000 ans, une grande partie du nord de l'Amérique du Nord est recouverte d'une calotte de glace de plusieurs kilomètres d'épaisseur, l'inlandsis laurentidien (Dalton *et al.*, 2020). À la fin du Wisconsinien[4], des changements astronomiques entraînent un réchauffement graduel du climat. L'inlandsis se retire progressivement vers le nord jusqu'à sa disparition complète au centre de la péninsule du Québec-Labrador, il y a environ 5 500 ans (Dyke, 2004).

Entre-temps, le sud du Québec est libéré des glaces il y a environ 13 500 ans (Dalton *et al.*, 2020). Les sédiments de toute taille jusqu'alors emprisonnés dans la matrice de glace sont déposés sur place et recouvrent le territoire sous plusieurs mètres de till. Simultanément, le lac à *Candona* submerge les terres déglacées, dont les basses terres montréalaises (Dionne, 1977; Parent et Occhietti, 1999). Le vaste plan d'eau est contenu par l'inlandsis laurentidien au nord, la calotte appalachienne au sud/sud-est et un lobe glaciaire au nord-est qui barre la vallée laurentienne.

Vers 13 100 ans AA, la dislocation progressive de l'inlandsis laurentidien dans l'axe du Saint-Laurent entraîne la vidange du lac à *Candona* vers l'estuaire laurentien. Pendant ce temps, les eaux salées de la mer de Goldthwait, qui recouvrent les côtes basses de l'estuaire du Saint-Laurent jusqu'à Québec, font le chemin inverse, envahissant les basses-terres du Saint-Laurent au relief déprimé par le récent passage de l'inlandsis : la mer de Champlain est née.

La mer de Champlain est un vaste étendu d'eau salée qui s'insère dans la vallée laurentienne, de Québec jusqu'au lac Ontario. Son altitude maximale varie dans l'espace : de 200 voire 250 m[5] sur les rivages des Laurentides à 160 à 190 m en bordure des Appalaches (Parent et Occhietti, 1988). À cette époque, les Montérégiennes, dont le mont Royal, sont les uniques reliefs émergents. Les rives continentales les plus proches du secteur d'intervention sont distantes d'une bonne cinquantaine de kilomètres. Sur la rive laurentienne, elles s'étendent au nord de Saint-Jérôme, tandis qu'au sud, elles gisent sur les versants du massif des Adirondacks. Dans la région de Montréal, le niveau maximal atteint 172-174 m (V.K. Prest et Keyser, 1982 ; Richard, 2014) (figure 2).

Rapidement, libérées du poids du glacier, les terres s'élèvent en altitude[6] engendrant, par extension, une baisse du niveau des eaux. Un peu plus d'un millénaire plus tard, il y a environ 11 800 ans, les eaux champlainiennes se sont déjà retirées d'une centaine de mètres (Richard et Poirier, 2016). Des îlots puis des îles, prémices de l'archipel d'Hochelaga, émergent et sont progressivement colonisés par une faune et une flore spécialisée de type arctique. Parallèlement, un peu plus au sud, des groupes humains découvrent la future région de l'Estrie, ce sont les premiers habitants du Québec (Chapdelaine, 2004).

4 Le Wisconsinien est le nom donné à la dernière période glaciaire, de 80 000 à 6 000 ans AA.

5 Les données d'altitude énoncées dans cette chronologie le sont par rapport au niveau moyen de la mer actuel.

6 Il s'agit du phénomène de relèvement isostatique, ou la recherche d'un équilibre des masses lithosphériques solides « flottant » sur l'asthénosphère visqueuse.

Il y a environ 11 000 ans, l'eau est de plus en plus douce dans la région montréalaise. Alors que l'inlandsis laurentidien s'est éloigné à plusieurs centaines de kilomètres au nord, la mer de Champlain se retire vers l'aval de la vallée laurentienne. Vers 10 600 ans AA, les eaux saumâtres sont définitivement chassées au-delà de l'île d'Orléans, mettant un terme à l'épisode de la mer de Champlain qui est progressivement remplacée par le lac à *Lampsilis* dont le niveau se trouve aux environs de 80 m NMM. Aujourd'hui encore, la nature des sols et les formes paysagères de l'île de Montréal témoignent de ses deux millénaires d'existence (terrasses marines, dépôts d'argile, de sable, de gravier) (Richard et Poirier, 2016 ; Richard, 2018).

3.6.2 Lac à *Lampsilis* : émersion de l'aire d'étude

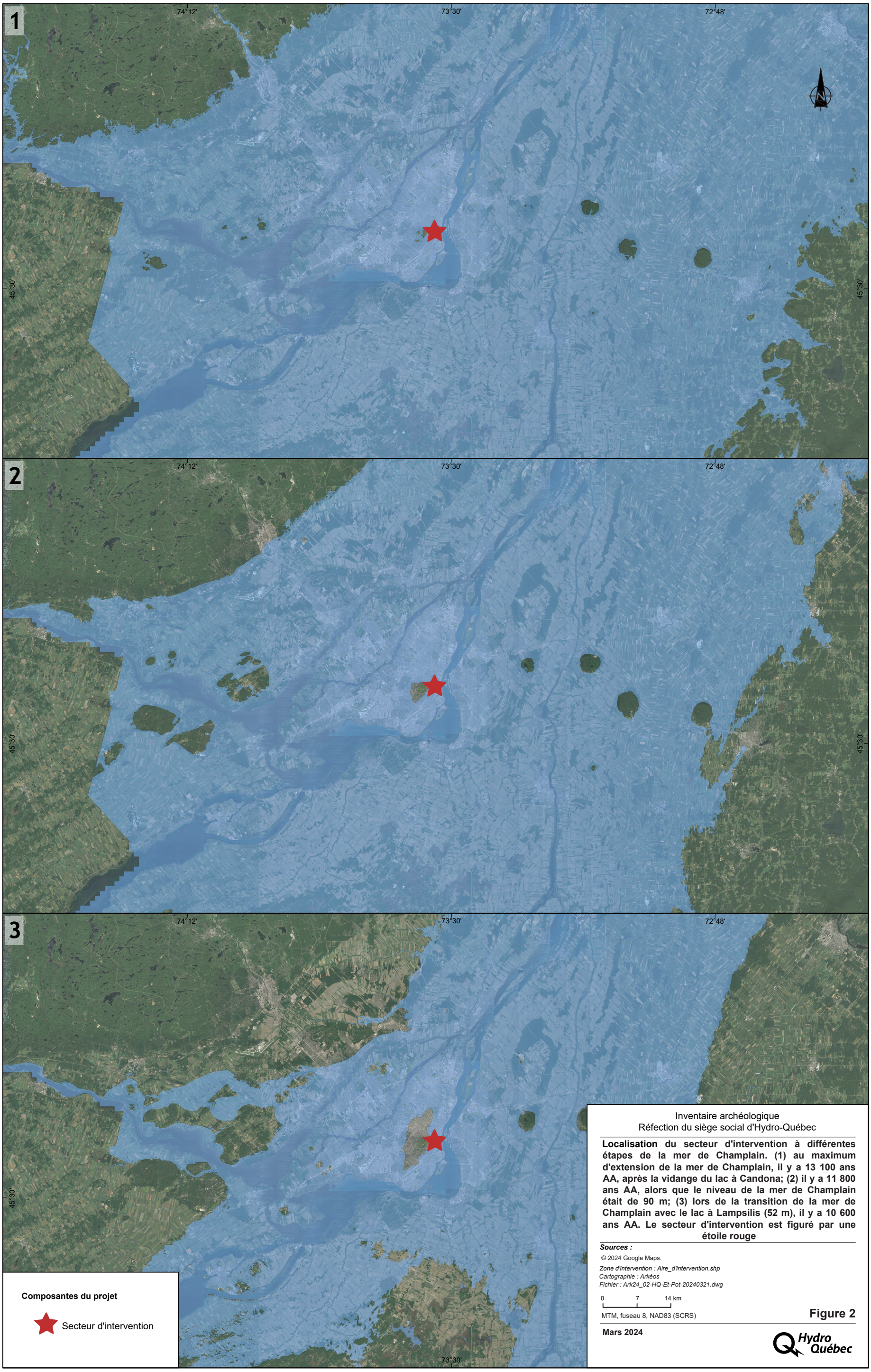
Il y a environ 10 600 ans donc, la région montréalaise est baignée par les eaux douces du lac à *Lampsilis* dont le niveau se trouve aux environs de 80 m ANMM. La surface de ce plan d'eau est bien moindre que celle de la mer de Champlain à son maximum d'extension, mais le volume d'eau qui y transite reste cinq fois supérieur à celui du fleuve Saint-Laurent actuel (Richard, 2018). L'île du mont Royal s'étend sur un peu plus de 45 km^2 (contre 473 km^2 aujourd'hui) et déjà, sur les rives du lac aux Castors, le castor profite des ressources ligneuses d'une végétation boréale de forêt mixte (Richard, 2014).

Vers 9 600 ans AA, les vagues du lac à *Lampsilis* viennent s'échouer à une altitude variant de 30 à 35 m, initiant la formation du rivage de Montréal[7] qui correspond au tracé de la rue Sherbrooke (figure 3). La surface de l'île de Montréal s'étend désormais sur plus de 260 km^2. À l'ouest, un bras d'eau s'insère entre l'île de Lasalle et l'île du mont Royal dans une vallée aujourd'hui parcourue par le canal de Lachine.

Il y a environ 9 000 ans, le niveau des eaux atteint 25 m (voir figure 3). L'émersion de ce niveau accroît fortement la surface de l'île de Montréal qui s'étend désormais sur près de 350 km^2 avec le raccordement définitif de l'île principale du mont Royal aux reliefs de Pointe-Claire, au sud-ouest. L'embouchure du futur ruisseau de la côte à Baron forme une petite baie peu profonde qui s'insère à l'intérieur des terres sur une distance d'environ 400 m. Le secteur d'intervention se trouve alors à l'intérieure de celle-ci.

À partir de ± 8 500 ans AA, le secteur d'intervention émerge et devient potentiellement fréquentable (voir figure 3). À nouveau, à proximité d'un petit ruisseau qui assure une source d'eau potable et une voie d'accès vers l'intérieur de l'île, le site est protégé des vents et des vagues par l'île du Vieux-Montréal.

7 Terme utilisé par les géographes pour désigner un niveau de terrasse fixé à une altitude de 30 à 35 m, présent sur une grande partie de la plaine montréalaise jusqu'au lac Saint-Pierre et associé à un ancien rivage du lac à *Lampsilis*, il y a 9 600 ans AA (Lamarche *et al.*, 2006).



Document d'information destiné aux publics concernés par le projet. Pour tout autre usage, communiquer avec l'unité Géomatique, à Hydro-Québec.



Document d'information destiné aux publics concernés par le projet. Pour tout autre usage, communiquer avec l'unité Géomatique, à Hydro-Québec.

L'émersion se poursuit jusqu'à environ 7 500 ans AA, période à laquelle le niveau des eaux se fixe à un minimum de 12 m. En considérant que le fond de la vallée du ruisseau Saint-Martin sis à une altitude d'environ 14 m (Ethnoscop, 2005 ; Arkéos, 2006), la plaine alluviale est exondée depuis quelques siècles déjà et la baie longiligne a laissé place à une vallée parsemée de milieux humides, sillonnée par un cours d'eau méandreux qui allait devenir le ruisseau Saint-Martin.

Pendant cette période, une transition majeure s'opère : les eaux de fonte de l'inlandsis ne s'écoulent plus par la vallée des Outaouais, mais via le bassin de la baie d'Hudson. Le lac à *Lampsilis*, au régime glaciaire, laisse place au proto-Saint-Laurent au régime nival. Le premier connaissait des crues annuelles estivales lorsque la fusion du glacier était maximale et lorsque des barrages de glace cédaient en amont en engendrant des crues catastrophiques, malmenant les populations riveraines (Richard et Poirier, 2016). Le proto-Saint-Laurent est désormais influencé par la fonte des neiges : les inondations sont printanières et de moindre ampleur.

Le tarissement de l'afflux d'eau glaciaire favorise également la mise en place d'un anticyclone apportant un climat plus doux et humide dans le sud du Québec (Muller *et al.*, 2003). La sapinière qui avait remplacé la toundra (13 000 à 11 000 ans AA) se diversifie et laisse place à des peuplements mixtes, dominés, à partir de ± 7 000 ans AA par les feuillus (Muller et Richard, 2001 ; Richard et Grondin, 2009). La forêt, arpentée par une faune riche déjà comparable à l'actuel, est composée majoritairement d'érables, de mélèzes, d'épinettes, de peupliers faux-trembles et de bouleaux blancs (Richard et Grondin, 2009 ; Richard, 2018). Durant cette période, l'apparition des premiers arbres à glands favorise l'établissement du cerf de virginie (Burke et Richard, 2010).

À partir de 6 500 ans AA, le niveau des eaux remonte pour atteindre 20 m vers 5 000 ans AA (figure 4). La vallée du ruisseau Saint-Martin est à nouveau submergée, le Vieux-Montréal redevient une île. Les eaux érodent à nouveau le talus de la terrasse de 20 m, le submergeant même lors des inondations printanières, rendant une occupation durable des rives plus difficiles à envisager.

Parallèlement, le climat poursuit son réchauffement et devient plus sec à partir de 6 000 ans AA (Lavoie et Richard, 2000). Par la suite, le niveau de base du Saint-Laurent s'abaisse en enregistrant deux fluctuations positives majeures : 15 m il y a ± 4 000 ans AA et 12 m il y a ± 1 700 ans AA qui n'auront toutefois pas d'impact direct sur le secteur à l'étude (voir figure 4).

À compter d'environ 3 500 ans AA, le climat, influencé par une baisse du taux d'insolation à l'échelle de l'hémisphère nord, se refroidit (Renssen *et al.*, 2005). La végétation est peu affectée et l'érablière caractérise toujours le paysage végétal de l'aire d'étude (Muller et Richard, 2001). Vers 2 800 ans AA, le climat se réchauffe à nouveau. La tendance se poursuit jusqu'à aujourd'hui non sans être marquée par deux courtes périodes climatiques : chaude entre 1 500 et 1 000 ans AA et froide

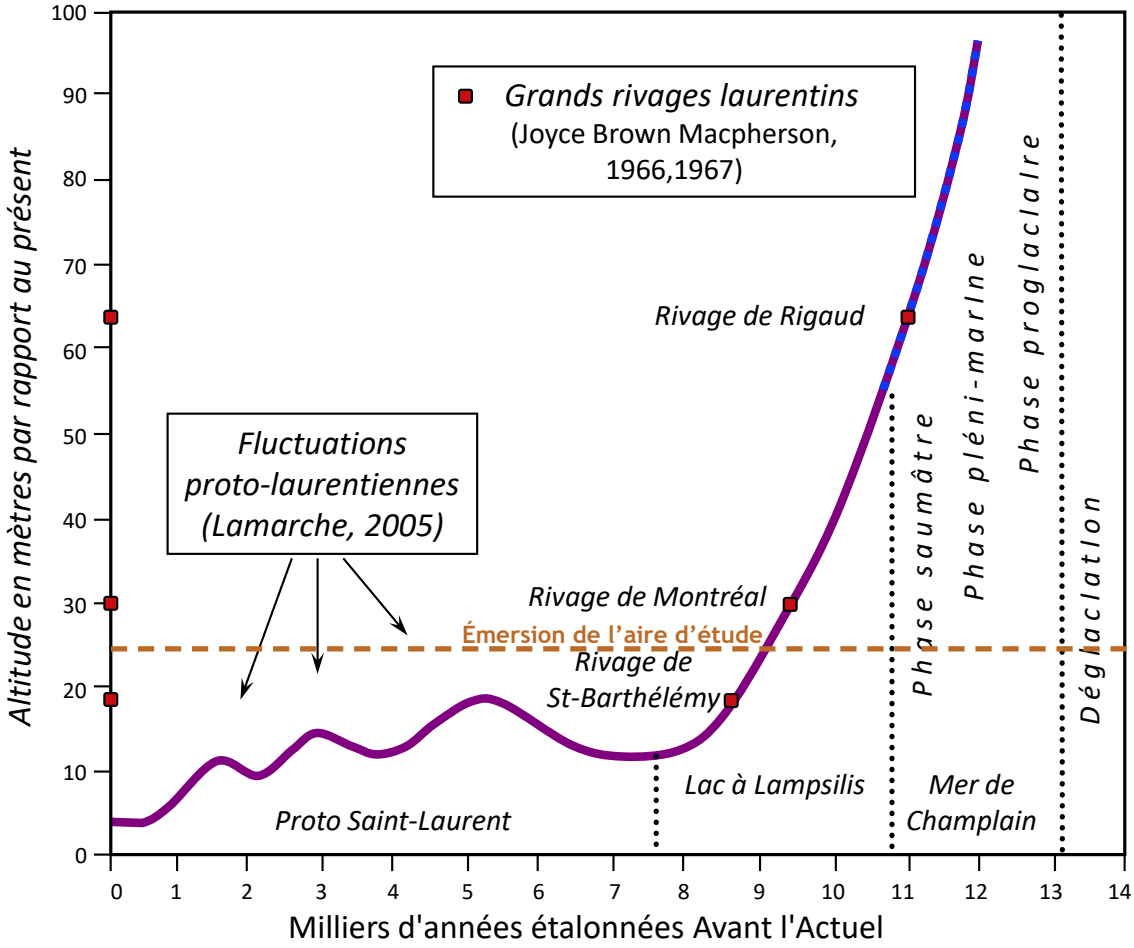


Figure 4 - Courbe d'émersion applicable à la grande région de Montréal (Richard, comm. pers. 2017)

entre 800 et 250 ans AA (le Petit Âge Glaciaire), cette dernière ayant enregistré une recrudescence éphémère des résineux (Richard et Grondin, 2009).

La flore et la faune n'ont que très peu changé dans la région de Montréal depuis la fin de l'épisode du lac à *Lampsilis* et le réchauffement progressif du climat, il y a 8 000 à 7 500 ans AA. Seuls les derniers siècles, caractérisés par l'établissement des colons, l'exploitation agricole puis l'urbanisation ont entraîné des modifications importantes. Malgré tout, on peut affirmer que les ressources fauniques et floristiques disponibles ont sensiblement été les mêmes pendant une période de près de 8 000 ans. La densité a certainement changé au fil du temps selon les fluctuations climatiques, mais la présence d'une faune bien adaptée est demeurée stable, voire prédictible.

4 PORTRAIT DE L'OCCUPATION AUTOCHTONE

Traditionnellement, les archéologues découpent l'histoire humaine du Nord-Est américain en une séquence culturelle comportant plusieurs périodes selon les aires géographiques. Cette séquence est généralement divisée en grandes périodes qui se distinguent par des traditions techniques et des structures socioéconomiques visibles propres à chaque période. On observe ces différences à travers la culture matérielle trouvée sur les sites archéologiques ou encore par les schèmes d'établissement et les stratégies de subsistance pratiquées par les individus du passé. Dans le sud du Québec, l'occupation autochtone est divisée en quatre périodes archéologiques : le Paléoindien, l'Archaïque, le Sylvicole et l'occupation autochtone récente.

À ce jour, plus d'une trentaine de sites archéologiques à composante autochtone ont été répertoriés dans un rayon de 3 km du secteur d'intervention couvert par le présent rapport. Ces sites sont décrits brièvement dans le tableau 3 et illustrés sur la carte 5. Un portrait détaillé de ceux situés à proximité de l'aire d'intervention (BjFj-133, BjFj-140 et MTL15-25-2, sous-opération 3Y) est également présenté dans le texte.

4.1 Paléoindien (12 500-9 500 ans AA[1])

Dans la région du Nord-Est américain, les vestiges archéologiques associés aux occupations relatives à la sous-période du Paléoindien ancien (12 500-11 000 ans AA) illustrent l'adaptation des populations très mobiles à un territoire progressivement libéré de la calotte glaciaire. Cette région était alors caractérisée par une végétation de type toundra/forêt clairsemée, offrant une bonne visibilité. La portion orientale du territoire québécois, en particulier dans le pays appalachien, était favorable à la présence du caribou migrateur, une ressource clé fournissant nourriture et matériaux aux populations humaines.

Ces chasseurs utilisaient des lances dont les pointes en pierre, taillées de manière distinctive, sont identifiées par les archéologues comme des pointes à cannelures[2]. Ces cannelures, taillées sur les deux faces à la base de la pointe, facilitaient l'emmanchement de la pointe à la hampe de la lance (figure 5). L'outillage lithique des groupes de cette sous-période montre également une préférence marquée pour des matières premières de haute qualité (Goodyear, 1979). Leur mode de vie impliquait des déplacements annuels sur plusieurs centaines de kilomètres (Burke, 2006).

Actuellement, seul le site Cliche-Rancourt (BiEr-14), situé près du lac Mégantic en Estrie, a livré un assemblage comprenant des fragments de pointes à cannelures. Ce site, situé à plus de 200 km

1 AA : Avant aujourd'hui

2 Pour avoir un aperçu des différents types de pointes de projectile, consultez : https://www.archeolab.quebec/recherche/resultats?carq=4

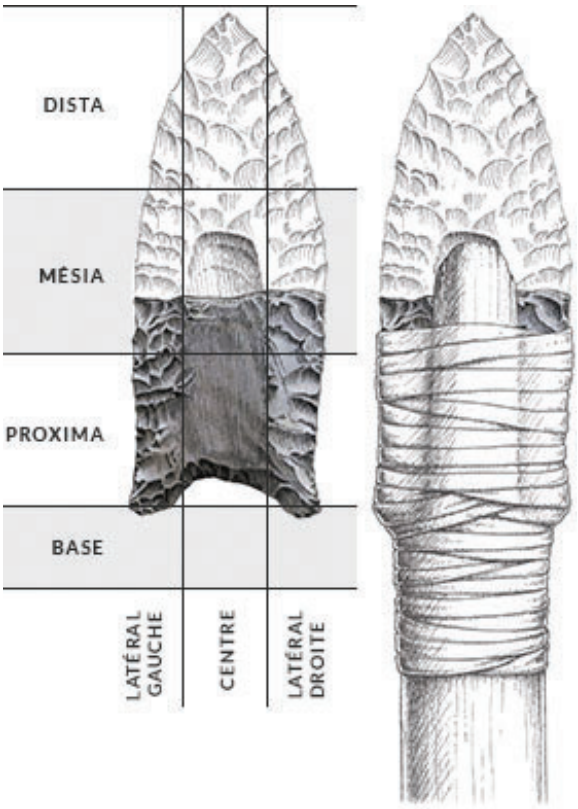


Figure 5 - Fragment de pointe Clovis (avec contour et emmanchement extrapolé) découvert dans la région du lac Mégantic, au Québec (Pointe-à-Callière, dessins Catherine Trottier, 2015)

de l'aire d'intervention, demeure le seul site du Paléoindien ancien reconnu au Québec. Les chercheurs estiment que l'archipel montréalais ne possédait pas, à cette époque, les conditions géoenvironnementales propices à l'établissement humain (Arkéos, 2021 : 7). Vers la fin de cette sous-période, l'archipel montréalais n'était constitué que d'un seul îlot formé par le mont Royal (sommet à 234 m NMM), alors invisible depuis les côtes situées à environ 30-40 km plus en retrait qu'actuellement. La probabilité de visites ponctuelles de ces populations apparaît donc très faible, en raison de la longue navigation sur la mer de Champlain qu'exigeaient ces excursions[3].

La sous-période du Paléoindien récent (11 000–9 500 ans AA) est marquée au Québec par l'arrivée de nouveaux groupes en provenance de l'ouest. Il s'agit d'une seconde vague de migration distincte, caractérisée par l'utilisation d'armatures différentes de pointes de projectiles de type Plano, qui auraient pénétré dans l'extrême nord-est de l'Amérique du Nord tout en s'adaptant à l'évolution des bois environnants, et préférant se déplacer le long des latitudes nord devenues plus hospitalières pour l'occupation humaine (Chapdelaine et Richard, 2017).

Les vestiges de ces groupes sont identifiés grâce à des caractéristiques spécifiques observées sur certaines pièces lithiques, résultant de l'application d'une technologie lithique différente. Les pointes de projectiles de cette sous-période ne présentent pas de cannelures, mais des retouches parallèles. Les tailleurs du Paléoindien récent apprécient toujours les matières lithiques de haute qualité, tout en intégrant des matières aux propriétés de taille plus modeste dans leur outillage (Burke, 2020).

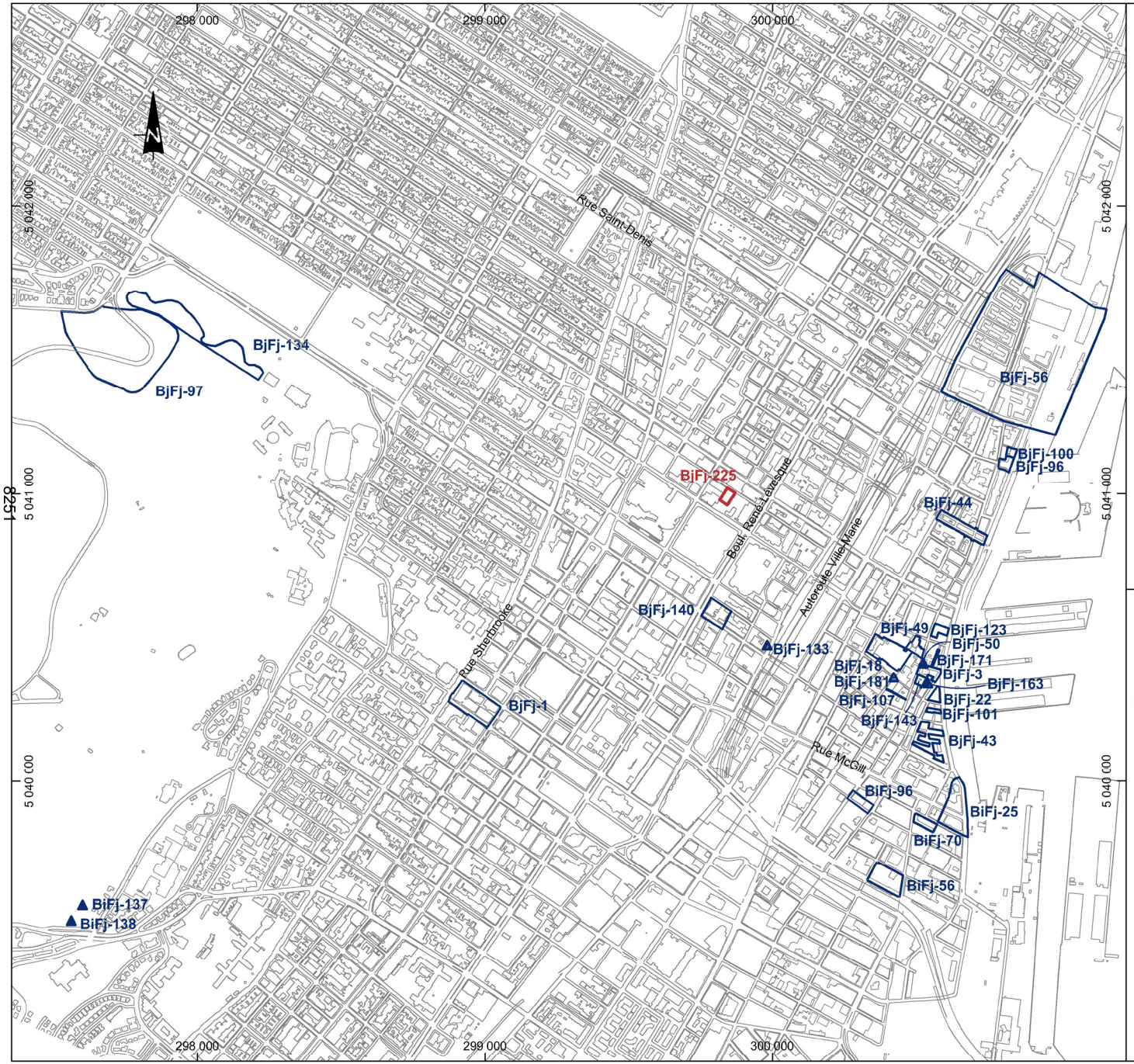
Les sites du Paléoindien récent montrent des preuves d'une subsistance plus diversifiée, incluant les mammifères, petits et gros, les oiseaux et les poissons, dont les restes fauniques ont été trouvés sur les sites (St-Germain *et al.*, 2020). Les schémas d'établissement indiquent une mobilité réduite : les groupes demeurent très mobiles, mais la superficie de leur territoire d'exploitation semble

3 Il demeure encore incertain si ces populations de la sous-période du Paléoindien ancien maîtrisaient le savoir-faire de la navigation, particulièrement celle en haute mer.

Tableau 3 - Sites archéologiques à composante autochtone répertoriés dans un rayon de 3 km du secteur d'intervention

Code Borden	Nom du site	Latitude	Longitude	Identité chronoculturelle*	Distance en ligne droite par rapport à l'aire d'étude (en m) - approximative	Altitude (en m NMM)
BjFj-140	Canvar	45.505	-73.563889	Autochtone ancien (Archaïque supérieur et Sylvicole supérieur)	404,00	22,85 à 23,00
MTL15-25-2	n/a	45.304242	-73.333309	Sylvicole supérieur	480,00	22
BjFj-133	Tecumseth Terrace	45.504167	-73.561667	Autochtone ancien (Sylvicole supérieur tardif)	511,00	13,50 à 14,35
BjFj-18	Vieux séminaire de Saint-Sulpice	45.503917	-73.556347	Autochtone ancien (Archaïque supérieur, Sylvicole moyen et Sylvicole supérieur) et récent	754,00	18
BjFj-196	Site de la terrasse de la rue Saint-Paul	45.507846	-73.553035	Autochtone ancien (Archaïque supérieur, Sylvicole moyen et Sylvicole supérieur) et récent	807,00	15
BjFj-44	Château du gouverneur de Vaudreuil	45.507846	-73.553035	Autochtone ancien (Sylvicole moyen et Sylvicole supérieur)	807,00	16
BjFj-49	Site LeMoyne-LeBer	45.504167	-73.555	Autochtone ancien (Sylvicole inférieur, moyen et supérieur)	816,00	17
BjFj-181	Rue Saint-François-Xavier	45.503161	-73.556039	Autochtone ancien (Sylvicole moyen)	831,00	15
BjFj-123	Cité du Nouveau Monde	45.504613	-73.553986	Autochtone ancien (indéterminé)	853,00	12
BjFj-107	Rue Saint-Eloi	45.502724	-73.556224	Autochtone ancien (Archaïque supérieur et Sylvicole supérieur)	858,00	14
BjFj-50	Services publics	45.503611	-73.554722	Autochtone ancien (indéterminé)	871,00	Indéterminée
BjFj-171	De la Capitale Est	45.503779	-73.554183	Autochtone ancien (Sylvicole supérieur tardif)	893,00	14
BjFj-143	Le site de la Foire aux Fourrures	45.50309	-73.554845	Autochtone ancien (Sylvicole moyen et Sylvicole supérieur)	902,00	12,00 à 14,00
BjFj-3	Place-Royale : Lieu de fondation de Montréal	45.503306	-73.5545	Autochtone ancien (Archaïque supérieur, Sylvicole moyen et Sylvicole supérieur) et récent	907,00	15
BjFj-163	Maison-des-Marins	45.502974	-73.554519	Autochtone ancien (indéterminé)	930,00	Indéterminée
BjFj-96	Chapelle Notre-Dame-de-Bonsecours	45.509831	-73.551119	Autochtone ancien (Sylvicole moyen et Sylvicole supérieur)	961,00	13
BjFj-22	La pointe à Callière : Lieu de fondation de Montréal	45.502611	-73.554139	Autochtone récent	979,00	14,00 à 15,00
BjFj-100	Accueil Bonneau	45.510183	-73.550825	Autochtone ancien (indéterminé)	990,00	Indéterminée
BjFj-101	Domaine de Callière : Lieu de fondation de Montréal	45.502111	-73.554278	Autochtone ancien (indéterminé et Sylvicole supérieur) et récent	1010,00	14
BjFj-43	Jardins d'Youville : Lieu de fondation de Montréal	45.501167	-73.554444	Autochtone ancien (Sylvicole moyen et Sylvicole supérieur)	1079,00	14
BjFj-56	Faubourg Québec	45.513056	-73.550556	Autochtone ancien (Sylvicole supérieur)	1112,00	18
BjFj-1	Site Dawson	45.502491	-73.57473	Autochtone ancien (indéterminé et Sylvicole supérieur)	1119,00	37,00 à 44,00
BiFj-96	Moulin des Sulpiciens	45.499317	-73.557311	Autochtone ancien (indéterminé)	1135,00	14
BiFj-70	Jardins de Pierre You de la Découverte	45.498611	-73.554722	Autochtone ancien (indéterminé)	1299,00	Indéterminée
BiFj-25	Site Logan	45.499167	-73.553333	Autochtone ancien (Sylvicole moyen tardif et supérieur tardif)	1308,00	Indéterminée
BiFj-56	Grange des Pauvres	45.496778	-73.556389	Autochtone ancien (indéterminé) et récent	1423,00	14
BjFj-134	Benjamin Hall	45.513889	-73.586944	Autochtone ancien (Sylvicole supérieur)	1931,00	80,00 à 90,00
BjFj-97	Carrière préhistorique du Parc du Mont-Royal	45.513383	-73.590056	Autochtone ancien (Archaïque et Sylvicole supérieur)	2149,00	110,00 à 140,00
BiFj-137	Cedar I	45.496004	-73.592107	Autochtone ancien (Sylvicole supérieur tardif)	2645,00	138
BiFj-138	Cedar II	45.495508	-73.592608	Autochtone ancien (Sylvicole supérieur tardif)	2707,00	125

***** La nomenclature «Autochtone ancien» fait référence à la période précédant le contact entre les Autochtones et les Européens. Le terme «Autochtone récent» est utilisé pour désigner les occupations autochtones post-contact.



Composantes du projet

- Limite de site à composante autochtone
- Localisation de site à composante autochtone
- BjFj-225 Code Borden
- Site archéologique à l'étude (BjFj-225)

Inventaire archéologique
Réfection du siège social d'Hydro-Québec

Sites archéologiques à composantes autochtones répertoriés dans un rayon de 3 km du secteur d'intervention

Sources :

Tuile de la Ville de Montréal: 31H05-010-4033, 4034, 4035, 4036, 4037 et 31H12-0133, 0134, 0135, 0136, 0137, 0233,0234, 0235, 0236, 0237, 0333, 0334, 0335, 0336, 0337, 0433, 0434, 0435, 0436, 0437

Cartographie : Arkéos
Fichier : Ark24_02-HQ-Et-Pot-20240703.dwg

0 200 400 m
MTM, fuseau 8, NAD83 (SCRS)

Carte 5

Mai 2024

Hydro Québec

Document d'information destiné aux publics concernés par le projet. Pour tout autre usage, communiquer avec l'unité Géomatique, à Hydro-Québec.

diminuer. À l'échelle de la province, on observe des concentrations de sites témoignant d'une occupation paléoindienne en Gaspésie (Benmouyal, 1987; Chalifoux, 1999), au Bas-Saint-Laurent (Dumais, 2000; Dumais et Rousseau, 2002), en Estrie (Chapdelaine, 2020; Graillon *et al.*, 2012), dans la région de Québec (Pintal, 2002, 2012), sur l'île Thompson en amont du lac Saint-François (Wright, 1995 : 107; Gogo, 1961) et possiblement sur le site BjFq-2 sur la terrasse bordant la rivière Rouge en Outaouais (Ouellet, 2017 : 142; Laliberté, 2011a; 2011b). Ces sites démontrent qu'il est probable que les groupes du Paléoindien récent aient fréquenté l'archipel montréalais et ses nombreuses îles émergentes.

4.2 Archaïque (10 000-3 000 ans AA)

L'Archaïque est une période prolongée couvrant plus de 7 000 ans (10 000-3 000 ans AA). Au Québec, cette période est marquée par l'arrivée de nouvelles populations venant du territoire actuel des États-Unis et par une diversification des pratiques technologiques et socioéconomiques (Burke, 2017). C'est durant l'Archaïque que le travail de la pierre par bouchardage et polissage commence à se développer, tout comme la circulation du cuivre natif. L'utilisation du propulseur apparaît, suivie plus tard par celle de l'arc à flèches. Cette période voit également une diversification des schémas d'établissement, avec certains groupes pratiquant une sédentarité saisonnière, leur permettant d'exploiter intensivement diverses ressources alimentaires.

La gamme des ressources exploitées s'élargit considérablement. Les poissons, les noix et certains végétaux comme les cucurbitacées et le chénopode deviennent des éléments importants de la diète. L'exploitation intensive de ces végétaux marque le début de l'horticulture fortuite due à des récoltes récurrentes et prolongées. On observe aussi une complexification des rites mortuaires, avec des offrandes et des ornementations plus fréquentes, ainsi que l'apparition des premiers cimetières.

Compte tenu de la très longue durée de l'Archaïque, il est déraisonnable de considérer cette période comme étant homogène. Ainsi, cette période est subdivisée en trois sous-périodes (ancien, moyen et supérieur), chacune englobant plusieurs cultures archéologiques variant selon le temps et l'espace. L'Archaïque est une période de régionalisation des pratiques (Chevrier, 2017), surtout dans les derniers millénaires, car les périodes de l'Archaïque ancien et moyen restent encore mal comprises.

L'Archaïque ancien (10 000-8 000 ans AA) est peu documenté au Québec. Bien qu'on le reconnaisse timidement dans l'archéologie de l'Estrie, de la région de Québec et de la Côte-Nord à travers la tradition de l'Archaïque du golfe du Maine (Burke *et al.*, 2017; Chapdelaine *et al.*, 2015; Plourde, 2006), aucune manifestation de cette tradition n'a été trouvée dans la région montréalaise. Cette tradition se distingue principalement par une surutilisation du quartz et un quasi-abandon de la

taille bifaciale au profit de l'outillage unifacial (Robinson, 1992). Or, cette tradition n'est pas la seule culture archéologique associée à l'Archaïque ancien. On retrouve également des pointes de projectile à pédoncule contractant ou à base pédonculée, marqueurs de l'Archaïque ancien en Ontario et en Nouvelle-Angleterre (Ellis *et al.*, 1990 ; Ritchie, 1971). Aucun de ces marqueurs n'a été découvert à ce jour sur l'île de Montréal, malgré des conditions géoenvironnementales favorables à la présence humaine à partir de cette période.

Comme pour la sous-période précédente, aucun site ne témoigne de la présence de populations autochtones dans la région de Montréal durant l'Archaïque moyen (8 000-6 800 ans AA). À l'échelle du Québec, seulement quelques sites de cette période ont été identifiés, dont celui de Coteau-du-Lac, situé le plus près du secteur d'intervention (43 km en ligne droite), à la jonction de la rivière Delisle et du fleuve Saint-Laurent. Les traits caractéristiques observés sur les sites de la Nouvelle-Angleterre (Dincauze, 1976) et du sud de l'Ontario (Ellis *et al.*, 1990) permettent néanmoins de décrire les assemblages de l'Archaïque moyen, comprenant généralement des pointes à pédoncule contractant, comme les pointes Neville[4] ou Stark[5].

L'Archaïque supérieur (ou récent ; 6 800-3 000 ans AA) est bien mieux représenté dans le registre archéologique du Québec et sur l'île de Montréal. La plus ancienne manifestation matérielle de la présence autochtone à Montréal date de cette période, et plusieurs sites ont livré des témoins de cette époque. Les tendances géographiques émergent, traduisant un découpage temporel spécifique à chaque région. Dans le sud de la vallée laurentienne, l'Archaïque supérieur se divise en deux phases : l'Archaïque laurentien (6 800-4 500 ans AA) et l'Archaïque post-laurentien (4 500-3 000 ans AA).

L'Archaïque laurentien se distingue par une culture matérielle incluant un large éventail de formes et de matières premières. Plusieurs types de pointes de projectile, comme les types Otter Creek[6] et Brewerton[7], sont produits. Plus tard, à l'Archaïque post-laurentien, des pointes à pédoncule et à corps étroit, comme les types Lamoka[8] et Normanskill[9], apparaissent. Un vaste réseau de distribution du cuivre natif émerge également, centré autour du lac Supérieur, où plusieurs sources de cuivre natif se trouvent. Le cuivre était façonné à froid pour créer des outils et des parures. Les outils polis et bouchardés deviennent courants, avec des haches, herminettes, gouges, couteaux semi-circulaires et pointes polies sur la majorité des sites de l'Archaïque supérieur.

4 https://www.archeolab.quebec/recherche/objet/232504
5 https://www.archeolab.quebec/recherche/objet/232505
6 https://www.archeolab.quebec/recherche/objet/204717
7 https://www.archeolab.quebec/recherche/objet/216166
8 https://www.archeolab.quebec/recherche/objet/216266
9 https://www.archeolab.quebec/recherche/objet/216272

La technologie lithique à Montréal pendant l'Archaïque supérieur est notable pour l'utilisation marquée de la cornéenne extraite de la carrière du mont Royal (BjFj-97), située à 1,9 km au nord du secteur d'intervention. De nombreux objets diagnostiques de la fin de l'Archaïque, fabriqués en cornéenne du mont Royal, ont été trouvés sur des sites de Montréal, en Montérégie et en Outaouais (Gates Saint-Pierre *et al.*, 2012). On en déduit que le site de la carrière (BjFj-97) était exploité durant l'Archaïque (Burke et Gauthier, 2011). Certaines sépultures sur le mont Royal pourraient également dater de cette période (Larocque, 2016), bien que cela reste à confirmer.

Les sites associés à l'Archaïque supérieur à Montréal correspondent pour la plupart à des lieux de halte sur des portages et/ou de campements saisonniers (printemps ou automne) de chasse et/ou de pêche situés en bordure du fleuve, de la rivière des Prairies ou de la rivière des Mille-Îles. Trois sites de cette période (BjFj-18, BjFj-107 et BjFj-196) ont été découverts sur le versant sud de la colline du Vieux-Montréal, prenant place sur des replats situés entre 14-19,00 m NMM, en bordure du fleuve Saint-Laurent, témoignant d'occupations post-laurentiennes (Ethnoscop, 2020).

Plus à l'intérieur de l'île de Montréal, la haute terrasse de 22-25,00 m NMM, bordant le ruisseau de la côte à Baron et la vallée marécageuse de la rivière Saint-Martin, sur laquelle se situe le secteur d'intervention, a livré un fragment de gouge en pierre polie, suggérant une présence autochtone durant l'Archaïque supérieur (site Canvar; BjFj-140, sous-opérations 2 h, 4C ou 4G; Ethnoscop, 2008). Le mont Royal, fréquenté pour l'extraction de la cornéenne (BjFj-97) et pour des activités rituelles au cours de l'Archaïque supérieur, se trouve à quelques kilomètres au nord-ouest du site concerné par ce rapport.

4.3 Sylvicole (3 000-450 ans AA)

Le Sylvicole se distingue des périodes précédentes par les innovations techniques observées, notamment l'apparition de la poterie, et par les changements socioéconomiques significatifs. C'est durant cette période que certains groupes adoptent un mode de subsistance productif en pratiquant l'agriculture de plantes indigènes. Cette adoption de l'agriculture est également corrélée avec une sédentarité accrue, aboutissant à l'établissement de villages semi-permanents. Sur la base des évolutions technologiques et socioéconomiques, le Sylvicole est divisé en trois sous-périodes : le Sylvicole inférieur (3 000-2 400 ans AA), le Sylvicole moyen (2 400-1 000 ans AA) et le Sylvicole supérieur (1 000-450 ans AA).

Le Sylvicole inférieur (3 000-2 400 ans AA) est marqué par l'émergence d'une vaste sphère d'interaction que les archéologues nomment la tradition Meadowood, caractérisée par une prédominance du chert Onondaga provenant de l'Ontario. C'est également pendant cette période

que les premières poteries dites Vinette I[10] apparaissent. Quelques sites archéologiques sur l'île de Montréal ont livré des artéfacts diagnostiques de cette sous-période. Le site de la maison Nivard-De-Saint-Dizier (BiFj-85) au pied des rapides de Lachine est particulièrement notable. D'autres sites, comme ceux du Vieux séminaire de Saint-Sulpice (BjFj-18) et LeMoyne-LeBer (BjFj-49), situés sur le versant sud de la colline du Vieux-Montréal, témoignent également d'une présence humaine, bien que plus éphémère (Taché, 2010).

Le démantèlement de la sphère d'interaction Meadowood marque la fin du Sylvicole inférieur, laissant place au Sylvicole moyen (2 400-1 000 ans AA), divisé en deux phases : ancienne et récente. Ces phases sont principalement distinguées par les attributs morphostylistiques de la poterie domestique (Gates St-Pierre, 2010). Le Sylvicole moyen voit une affirmation plus nette de la présence autochtone dans la région de Montréal, coïncidant avec une augmentation démographique perceptible à travers l'accroissement du nombre de lieux occupés. Plusieurs sites archéologiques autour des îles de l'archipel montréalais et le long des berges du fleuve témoignent de cette période. Près du secteur d'étude, une dizaine de sites présentent des composants du Sylvicole moyen, incluant des témoins céramiques retrouvés aux sites de la Place-Royale (BjFj-3), du Vieux séminaire de Saint-Sulpice (BjFj-18), LeMoyne-LeBer (BjFj-49) et de la chapelle Notre-Dame-de-Bonsecours (BjFj-96).

Le Sylvicole supérieur est caractérisé par des changements dans les schémas d'établissement avec l'émergence des premiers villages semi-permanents et de l'agriculture chez certains groupes, notamment les Iroquoiens du Saint-Laurent. Cette entité culturelle, présente avant la période de contact dans la vallée du Saint-Laurent, est principalement reconnue grâce à son style céramique. À ce jour, plusieurs villages iroquoiens ont été identifiés dans le sud du Québec (Chapdelaine, 1989, 2013 ; Clermont *et al.*, 1983), mais un seul site villageois est connu sur l'île de Montréal : le site Dawson (BjFj-1), situé à 1,1 km au nord-est du secteur d'intervention sur la terrasse de Sherbrooke (37-45,00 m NMM) (Ethnoscop, 2019 ; Gaumond, 1963 ; Pendergast et Trigger, 1972).

Les schémas d'établissement au Sylvicole supérieur incluent également des sites à fonction spécifique tels que des hameaux horticoles, des haltes et des campements saisonniers de chasse ou de pêche. Plusieurs sites satellites ont été identifiés près du terrain d'Hydro-Québec, notamment dans le secteur de la colline du Vieux-Montréal et autour du mont Royal. Les interventions archéologiques sur le mont Royal ont révélé les vestiges d'un lieu d'occupations récurrentes (BjFj-138) et plusieurs lieux de halte (BjFj-134, BiFj-137, BiFj-81 et BiFj-93) (Arkéos, 2017, 2019, 2020).

Dans le Vieux-Montréal, plus d'une dizaine de sites datés du Sylvicole supérieur montrent une occupation soutenue depuis le Sylvicole moyen (2 400-1 000 ans AA). La plupart de ces sites se trouvent sur les basses terrasses (12-16,00 m NMM) du versant sud de la colline du Vieux-Montréal,

10 https://www.archeolab.quebec/recherche/objet/215571

dans un secteur stratégique à la jonction du fleuve et de la rivière Saint-Pierre, accessible par voie navigable. Cet axe permet d'accéder à l'intérieur de l'île et au lac Saint-Louis, en évitant les rapides de Lachine. Les sites du Vieux-Sentier (BjFj-196), de la place Jacques-Cartier (BjFj-44), de la chapelle Notre-Dame-de-Bon-Secours (BjFj-96) et de l'accueil Bonneau (BjFj-100) seraient principalement des campements temporaires utilisés pour les déplacements et/ou la traite des fourrures, ou des campements saisonniers (printemps ou automne) de chasse et/ou de pêche, avec un usage intensif de la cornéenne extraite de la carrière préhistorique du mont Royal (BiFj-97) (Arkéos, 1995 ; Ethnoscop, 2020 ; Groupe de recherche en histoire du Québec, 1999).

Des recherches indiquent que la colline du Vieux-Montréal aurait servi de champs de maïs, tournesol et tabac au cours du Sylvicole supérieur, peut-être à une époque où les villages semi-sédentaires étaient encore petits et situés au bord des cours d'eau (800-650 ans AA ; 1150-1400 de notre ère [Landry, 2012]). À cette production s'ajoutait une activité de jardinage forestier favorisant les arbres à noix tels que le chêne, le hêtre à grandes feuilles, le noyer cendré et surtout le caryer ovale.

À moins de 500 m du terrain d'Hydro-Québec, deux sites ont livré des tessons de poterie dont les caractéristiques morphostylistiques correspondent au Sylvicole supérieur récent (650-450 ans AA). Le site Tecumseh Terrace qui occupe la portion asséchée du glacis (13,53-14,36 m NMM) composant le fond de la vallée marécageuse du ruisseau Saint-Martin a livré deux tessons (BjFj-133, sous-opérations 6A et 6B ; Arkéos, 2006) et le site Canvar qui occupe la haute terrasse de 22-25,00 m NMM en a livré six (BjFj-140, sous-opérations 2 h, 4C et 4G ; Ethnoscop, 2008). Un autre site, localisé sur la haute terrasse de 22-25,00 m NMM au coin nord-ouest du boulevard René-Lévesque et de la rue Sanguinet (MTL15-25-2, sous-opération 3Y ; Ethnoscop, 2017), a livré 19 tessons de poterie probablement issus d'un même contenant datant du Sylvicole supérieur. Le peu d'indices retrouvés sur ces sites suggère une occupation peu intense et/ou de courte durée, mais indique également l'attrait de la vallée du ruisseau Saint-Martin pour les populations autochtones.

4.4 Occupation autochtone récente

Les informations contenues dans les archives coloniales et dans celles des missionnaires permettent d'observer les évènements du passé selon une perspective particulière. On y relate l'histoire des conquérants, celle qui vante les exploits des explorateurs, des militaires, des commerçants et des missionnaires, mais qui laisse souvent en arrière-plan le rôle pourtant fondamental de ceux qui les guidaient à travers leurs sentiers. En ce sens, ces écrits doivent être compris dans le contexte général auquel ils appartiennent et appréhendés en tenant compte des biais culturels de l'époque. Ces témoignages demeurent toutefois un corpus de données fondamental pour l'étude de la présence autochtone au cours des cinq derniers siècles.

Le 3 octobre 1535, Jacques Cartier, accompagné de guides autochtones, accoste pour la première fois sur l'île de Montréal et visite le village d'Hochelaga pour ensuite en décrire ses impressions : une grande bourgade palissadée (palissade à trois rangées) abritant une population évaluée à environ 1 500 Iroquois, entourée de champs de maïs et se trouvant au pied du mont Royal (Biggar, 1924). Lorsque Cartier repasse par Montréal en 1541, son récit ne fait aucune mention d'Hochelaga, mais fait plutôt état de deux villages, un situé près du courant Sainte-Marie et appelé Tutonaguy et un autre situé en marge des rapides de Lachine qui n'est pas nommé (Biggar, 1924).

Entre la dernière visite de Jacques Cartier et l'année 1580, il semble que les populations iroquoiennes du Saint-Laurent se sont dispersées. En effet, à compter de cette date, l'île de Montréal et le territoire environnant ne semblent plus être un lieu quotidien d'habitation pour les populations autochtones. Leur présence, dans les écrits comme dans le registre archéologique, prend l'allure de passages transitoires vers d'autres lieux de vie. Bien que les causes réelles de cette disparition demeurent inconnues, plusieurs avancent que la guerre entre les Iroquoiens et les Algonquiens pour le contrôle du fleuve et le commerce direct avec les Européens et/ou l'introduction de maladies infectieuses d'origine européenne auraient entraîné la mort de plusieurs, puis la dispersion des survivants dans les nations voisines (Trigger, 1969; Viau, 2012). Les Iroquois Annierronnons, les Agniers et les Algonquins de l'Outaouais cherchèrent en effet à profiter de la dispersion des Iroquoiens du Saint-Laurent et de l'intégration de certains d'entre eux au sein de leurs groupes pour agrandir leur territoire et s'en approprier un nouveau (Chapdelaine, 1991).

L'archipel montréalais devint alors une zone tampon, un lieu stratégique lié à des activités guerrières (raids, embuscades pour s'approprier les peaux, etc.), commerciales (traite des fourrures) et diplomatiques, convoité par plusieurs groupes sans qu'aucun d'entre eux toutefois n'ose se l'approprier, ce qui aurait été considéré comme un signe d'agression (Renault, 2012 ; R. Tremblay et Pothier, 2004 ; Viau, 2012). Il est ainsi fort probable qu'au cours de cette période les terres intérieures de la région aient été peu fréquentées et que les activités se concentrèrent le long des berges pour ne pas rompre le statut de *no man's land* (Renault, 2012). Les données archéologiques démontrent d'ailleurs une forte diminution, voire une absence, de l'utilisation de la cornéenne du mont Royal dès cette époque charnière.

L'été 1642 marque l'établissement historique des Européens sur l'île de Montréal, plus précisément sur la pointe à Callière. La fondation de Ville-Marie se fait en période d'hostilités avec les Iroquois et les habitants ne peuvent sortir de l'enceinte du fort sans leur fusil, car l'ennemi est présent partout. Des terres sont malgré tout concédées en dehors du fort à compter de 1648. Les espaces réservés au futur bourg de Ville-Marie sont ainsi graduellement octroyés et, en 1675, on établit une place du marché aux abords du fleuve. La foire aux fourrures, regroupant commerçants, coureurs des bois et groupes autochtones, aura lieu pendant un quart de siècle sur ou à proximité de la pointe à Callière.

Avec l'installation permanente de colons français, l'archipel de Montréal redevient peu à peu une zone d'établissement pour plusieurs groupes autochtones (Renault, 2012). Les sources coloniales font référence à la présence d'Autochtones domiciliés sur l'île de Montréal. Il s'agit d'Autochtones qui viennent s'installer aux côtés des colons et des missionnaires ; ce qui les distingue des Autochtones non sédentaires. Quelques familles algonquiennes et huronnes, tant chrétiennes que non converties, s'établissent de leur gré parmi les habitations françaises, d'abord dans le fort puis dans l'espace réservé au bourg de Ville-Marie (Dépatie *et al.*, 1998).

C'est en 1675 que la mission de la Montagne est aménagée par les Sulpiciens sur le mont Royal à la demande de familles huronnes anciennement établies à la mission de Saint-François-Xavier-des-Prés (Boily, 2006 : 140). En septembre 1694, un incendie rase l'ensemble du village, un incident qui aura pour effet de faire entériner le projet de déplacement de la mission au Sault-au-Récollet par les autorités du Séminaire de Paris et par celles de la colonie. Le déplacement s'opère à compter de 1696 (L. Tremblay, 1981).

Bien qu'il existât également des Autochtones vivant à l'extérieur des missions, les données les concernant semblent quasi inexistantes dans les sources coloniales en raison de la position marginale qu'ils occupaient au sein de la colonie. Ces « errants » fréquentent les zones libres de toute concession sur le territoire de l'archipel montréalais (Loewen, 2009 ; Renault, 2012). Ces zones excentrées tardent en effet à se peupler jusqu'à la Grande Paix en 1701.

La présence autochtone dans les décennies qui suivent relève dans les sources coloniales de rencontres fortuites faites lors d'expéditions, de récits de conflits ou de mentions légales. Au cours des batailles marquant les hostilités franco-anglaises de la guerre de Sept Ans, nombreux sont les Autochtones ayant combattu aux côtés des Français. Odawas, Ménominis, Pataouatomis, Chaouanons, Sauks, Illinois, Ouinibagos, Wyandots et autres nations des Grands Lacs accompagnés de plusieurs Métis et Canadiens-Français suivent notamment les meneurs que sont Pontiac, Obwandiyag de son vrai nom, et le Métis Odawa Langlade aux batailles de Monongahéla (1755), du lac George (1755), de Québec (1759) et de Sainte-Foy (1760), pour ne nommer que celles-là (Bouchard et Lévesque, 2022).

Sous le régime anglais, il est de plus en plus difficile de trouver des documents faisant référence à la présence de groupes autochtones dans l'archipel montréalais. Le développement du bourg de Ville-Marie laisse toutefois croire que le front sur le fleuve est en grande partie occupé par les Eurocanadiens, laissant peu de probabilité pour une fréquentation ponctuelle par les groupes autochtones.

Les données historiques sont corroborées par les découvertes archéologiques, qui révèlent quatre sites témoignant d'une présence autochtone dans le Vieux-Montréal durant cette période. Les sites

situés à Pointe-à-Callière (BjFj-22 et BjFj-101), à Place-Royale (BjFj-3) et au Vieux-Séminaire du Saint-Sulpice (BjFj-18) ont tous livré des indices d'occupation autochtone durant cette période. À cela s'ajoutent les sites des missions de la Montagne (BiFj-06) et du Fort-Lorette (BjFj-184). Toutefois, aucun site de cette nature n'a été identifié à proximité immédiate de l'aire d'intervention.

5 OCCUPATION EUROCANADIENNE

5.1 1651-1757 : De Jacques Archambault aux héritiers Gervais, des débuts agricoles à la consolidation

L'époque coloniale montréalaise débute réellement avec l'implantation du fort Ville-Marie en 1642. Les débuts de Ville-Marie sont marqués par la menace incessante des attaques iroquoises ainsi que par les inondations. Les autorités françaises craignent non seulement les incursions iroquoises, mais également la montée d'une force d'invasion militaire depuis les colonies anglaises plus au sud. Elles décident donc de l'installation d'un périmètre défensif, d'abord sous forme de palissade de cèdre à partir de 1687, puis d'une enceinte maçonnée à partir de 1717, suivant les plans de Chaussegros de Léry.

La première transformation marquante du territoire de l'aire d'étude survient dès la seconde moitié du XVII^{e} siècle avec la concession et la mise en culture des terres situées au nord du noyau de la ville. Selon les entrées au terrier de l'île, le premier concessionnaire de la devanture de la terre englobant l'aire d'étude, identifiée au numéro 946D, est Jacques Archambault[1], qui obtient la concession des Sulpiciens le 18 septembre, moins de dix ans après la fondation de Ville-Marie[2]. Comme ses voisines, la parcelle de deux arpents de largeur par quinze de longueur (environ 117 sur 877 mètres) s'étend alors depuis les fortifications jusqu'à l'actuelle rue de Maisonneuve Ouest (figure 6). Témoignant de l'insécurité qui règne à cette époque, la concession comprend une parcelle d'un arpent incluse à l'intérieur de l'espace réservé pour la ville afin de s'y bâtir. Il est donc convenu que le locataire exploite la terre sans y résider.

À la mort de Jacques Archambault en 1688, la terre passe à sa fille Anne, épouse de Jean Gervais, un officier de justice. Ceux-ci ont géré la terre principalement en restant dans la sécurité de l'enclos fortifié de Ville-Marie, en raison des conflits persistants avec les Iroquois. Leur fils, Charles Gervais, hérite de la terre en 1699. Un plan réalisé par l'ingénieur Gaspard Chaussegros de Léry en 1717 illustre de façon éloquente la transformation du secteur au nord des fortifications, marquée par la disparition massive du couvert végétal naturel et la mise en culture du territoire (figure 7). On y distingue également une utilisation différenciée des espaces, sans doute influencée par la topographie naturelle des lieux. Il est donc raisonnable de penser que la portion la plus basse de la terrasse (en vert sur le plan), probablement plus sujette aux inondations, était surtout réservée au pâturage, alors que la portion nord, plus élevée, englobant l'aire d'étude, était destinée à la culture.

L'aveu et dénombrement de 1731 brosse un portrait précis de la terre à cette époque : « *qu'au-dessus [à l'ouest du fief Closse] est Charles Gervais qui possède deux arpents de front sur quinze arpents de profondeur, chargés de sept sols six deniers de cens et rentes, lequel a maison, grange,*

1 Jacques Archambault, né vers 1604 à La Rochelle en France, est surtout connu pour s'être vu confier la tâche de creuser le premier puits à Montréal, ce dernier situé sur la Place-d'Armes et face à la première église Notre-Dame (https://www.patrimoine-culturel.gouv.qc.ca/rpcq/detail.do?methode=consulter&id=117247&type=bien)

2 Terrier de l'île n^{o} 2 : Cadastres 504 à 983, GDAVM, P073, D15-12

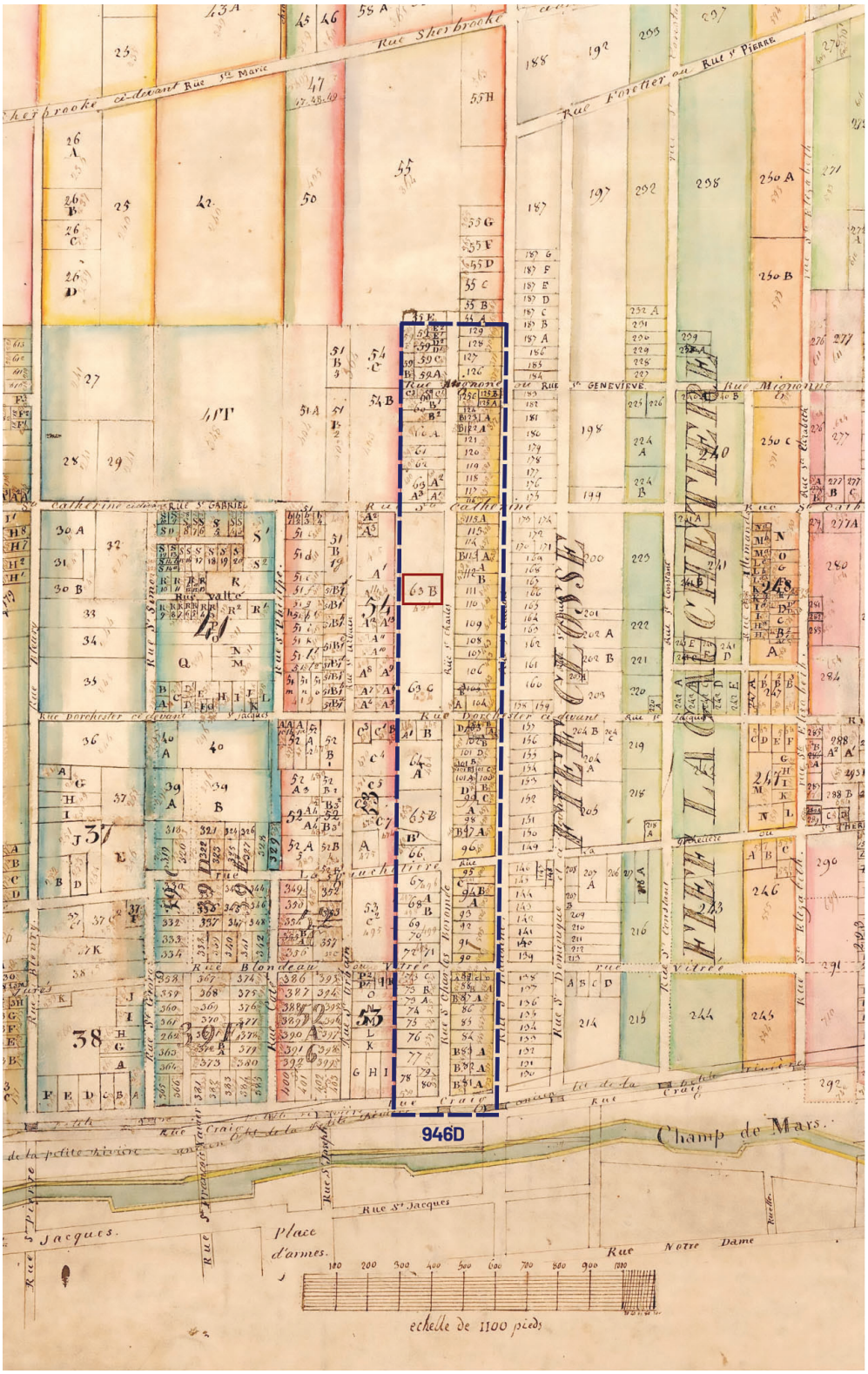


Figure 6 - Contour de la concession d'origine 946D obtenu par Jacques Archambault le 18 septembre 1651. L'emplacement approximatif de l'aire d'étude est indiqué par un polygone rouge

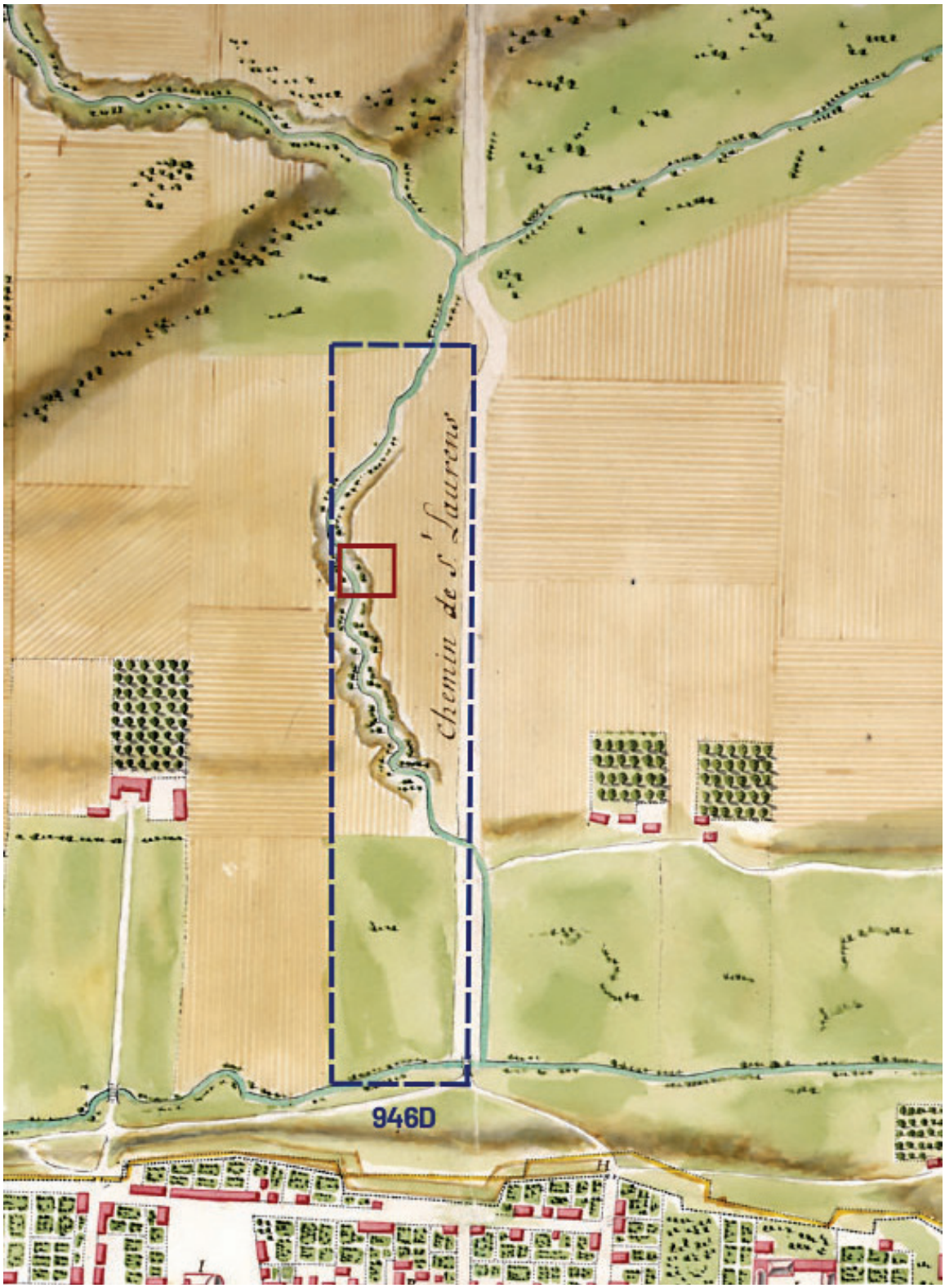


Figure 7 - Extrait du plan de Chaussegros de Léry dressé en 1717 illustrant la concession initiale sillonnée par le ruisseau de la côte à Baron ainsi que son utilisation agricole. L'emplacement approximatif de l'aire d'étude est indiqué par un polygone rouge



Figure 8 - Extrait du plan de Couagne de 1749 illustrant l'établissement vraisemblablement construit par Charles Gervais à l'ouest du ruisseau de la côte à Baron. L'aire d'étude se trouve plus au nord, en dehors du champ dessiné

étable, vingt arpents de terre labourable et dix arpents de prairie » (Roy, 1943 : 73). Ainsi, la terre dont il hérite n'a pas encore été morcelée. Elle est entièrement exploitée à des fins agricoles et est désormais occupée.

L'établissement absent du plan de Léry semble avoir été bâti par Charles Gervais après qu'un accord de paix avec les Cinq Nations Haudenosaunee ait été conclu. Le plan de Couagne de 1749 permet raisonnablement de le situer à peu de distance au nord de la réserve des fortifications et près du côté ouest du ruisseau de la côte à Baron et du chemin de Saint-Laurent (figure 8).

Jean-Baptiste Barsalou, un tanneur important à l'époque, aurait acquis la moitié est de la terre de Charles Gervais en 1733 (Stewart, 1988 : 212-213). Cette portion correspondait au secteur situé entre l'actuelle rue Clark et le boulevard Saint-Laurent. Barsalou est le premier à reconnaître que ce secteur pourrait être particulièrement profitable pour l'installation d'habitations. Dans la foulée de ses efforts pour tirer le meilleur parti de sa terre, François Barsalou, le fils de Jean-Baptiste, s'assure notamment de la collaboration de Charles Gervais pour l'ouverture d'une voie transversale ainsi que le contrôle de l'accès au ruisseau[3], une ressource vitale pour le tanneur, qu'il souhaitait apparemment limiter aux compétiteurs (Archéotec, 2010 : 27).

3 Accord entre F. Barsalou et Charles Gervais fils, greffe du notaire Gervais Hodiesne, 28 septembre 1749

5.2 1753-1757 : Ferdinand Feltz et l'émergence d'un urbanisme spéculatif

En 1753, à la mort de Charles Gervais, la terre est vendue aux enchères par ses héritiers et est acquise par Ferdinand Feltz, un chirurgien major d'origine autrichienne arrivé en Nouvelle-France en 1738[4] (figure 9). Feltz, spéculateur opportuniste, amorce le morcellement du terrain, le divisant en parcelles pour la construction de nouvelles habitations, l'année même où il en fait l'acquisition. Cette époque marque une transition significative dans l'histoire du faubourg Saint-Laurent, passant d'une exploitation agricole à un développement urbain précoce.

Feltz, considéré comme l'un des principaux promoteurs du développement initial du faubourg Saint-Laurent, contribue avec son voisin Barsalou à l'aménagement de la rue Saint-Charles-Borromée (Saint-Charles à l'époque) dans le but de permettre la subdivision et la vente de parcelles à des tiers (Stewart, 1988).

Le plan de 1757 dessiné par Jean-Baptiste de La Brosse illustre bien les balbutiements de ce morcellement au sud de la terre de Feltz, en plus d'y indiquer la parcelle qu'il s'est réservée. La maison qui s'y trouve correspond probablement à l'établissement aménagé par Charles Gervais (figure 10).

5.3 1757-1775 : Nicolas Moran et l'établissement durable du secteur

En décembre 1754, quelques mois à peine après avoir acquis la terre des héritiers Gervais, Ferdinand Feltz vend à Nicolas Moran, maître charpentier du roi résidant à Montréal, une première part de cette terre qui englobe le terrain à l'étude[5]. Le 11 mai 1757, suite à un échange et à l'acquisition d'une autre parcelle voisine, Moran complète l'assemblage d'un lot relativement vaste correspondant au lot 63B du premier terrier du faubourg Saint-Laurent[6]. Le plan de Jourdain dit Labrosse de 1767 est le premier à représenter le lot assemblé par Moran. Il est alors indiqué au numéro 58 (figure 11).

En 1772, soit deux ans après le décès de Moran, l'inventaire de ses titres et papiers mentionne l'acte de vente de 1754 par Feltz précisant qu'il concerne un terrain « *sur lequel se trouve construit une maison de pierres et autres bâtiments, avec un verger clos* »[7]. Étant donné son expertise, il est raisonnable de penser que Moran a lui-même supervisé la construction de ces bâtiments et les a réservés à son propre usage. En effet, dans l'acte de vente datant de 1768 pour une parcelle située sur la rue Saint-Paul, Moran est désigné comme résident du faubourg Saint-Laurent[8].

4 Inventaire des biens de la communauté entre Marie Ursule Aubert Lachenaye et Ferdinand Feltz, greffe du notaire Louis-Claude Danré de Blanzy, 9 octobre 1756

5 Vente, de Ferdinand Feltz à Nicolas Moran, greffe du notaire Louis-Claude Danré De Blanzy, 19 décembre 1754

6 Échange, entre Ferdinand Feltz et Nicolas Moran, greffe du notaire Louis-Claude Danré De Blanzy, 11 mai 1757, min. 7202 ; Vente, de Ferdinand Feltz à Nicolas Moran, greffe du notaire Louis-Claude Danré De Blanzy, 11 mai 1757, min. 7203

7 Inventaire des biens de feu Nicolas Moran, greffe du notaire Antoine Foucher, 24 mars 1772, min. 2757

8 Vente, de Nicolas Moran à David Chabrand dit Delisle, greffe du notaire Pierre Panet de Méru, 12 octobre 1768

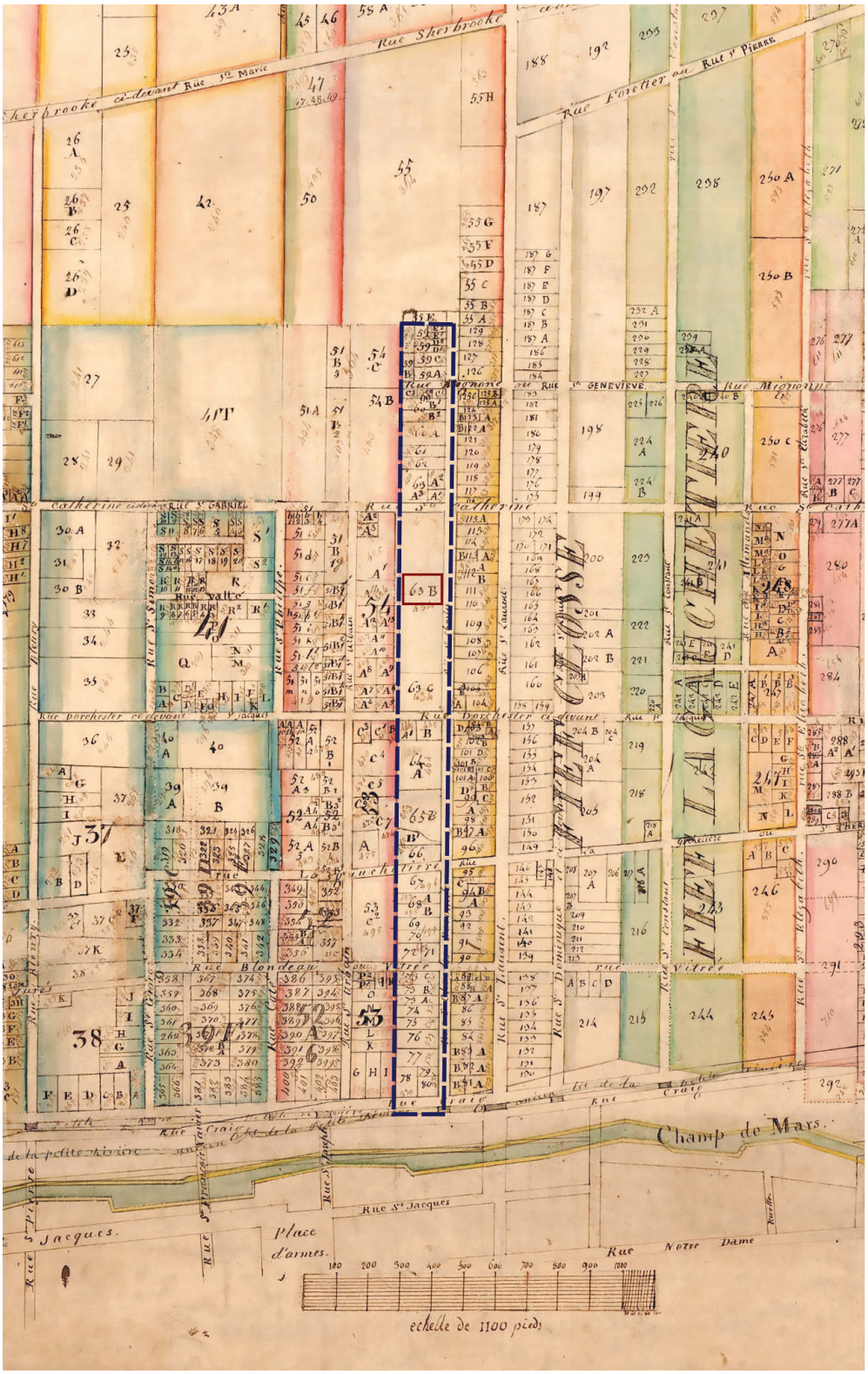


Figure 9 - Contour de la terre acquise par Ferdinand Feltz en 1753. Il s'agit de la moitié ouest de la concession d'origine 946D après son morcellement

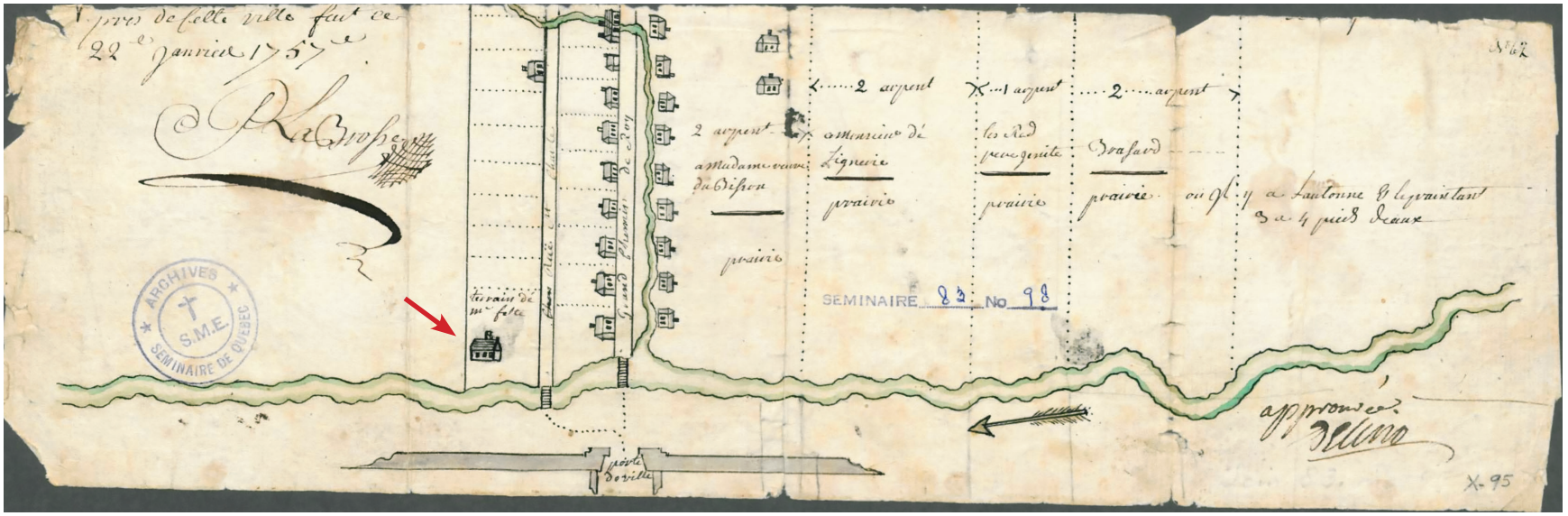


Figure 10 - Plan du Faubourg Saint-Laurent en 1757 tracé par La Brosse. On y voit une première subdivision de la terre de Feltz, ainsi que la parcelle qui lui est réservée

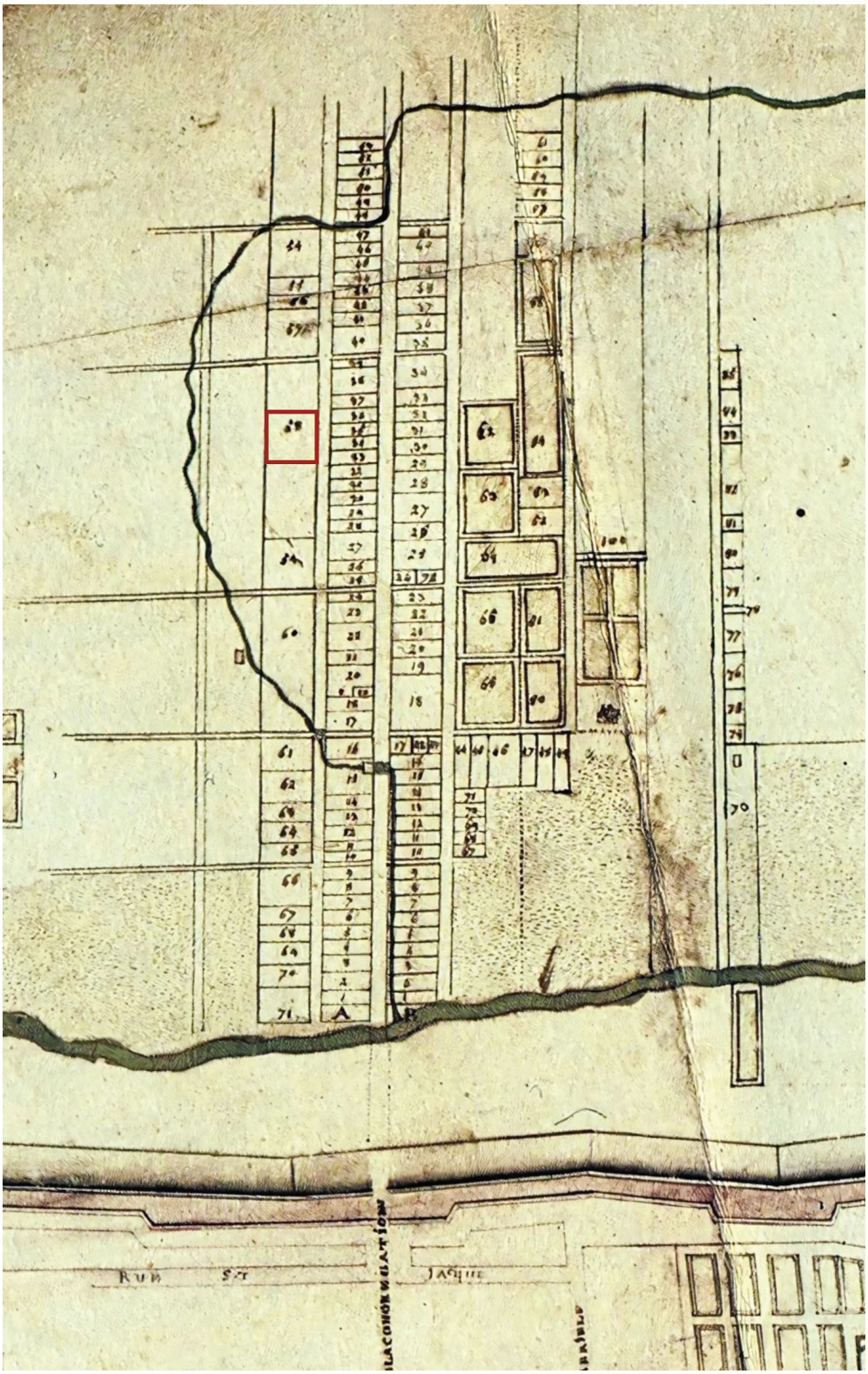


Figure 11 - Plan de la ville et faux bourgs de Montréal dessiné par Jourdain dit Labrosse en 1767. On y voit le lot 58 alors propriété de Nicola Moran. L'emplacement approximatif de l'aire d'étude est indiqué par un polygone rouge

Le troisième quart du XIX[e] siècle marque donc le début d'une occupation plus permanente et organisée du secteur à l'étude.

5.4 1775-1800 : André Guy et l'essor du potentiel locatif

La propriété est acquise par André Guy, marchand et aubergiste, en 1775, lors d'une vente aux enchères[9]. Un croquis de 1786, produit dans le cadre de l'homologation de la rue de La Gauchetière, indique la présence d'une maison de relative importance tout juste au sud du terrain à l'étude, qui pourrait correspondre à la première représentation de la maison Moran (figure 12).

Guy ne semble pas occuper le terrain, mais le loue probablement à des tiers. Il semble tirer des profits de ses différents investissements immobiliers puisqu'à compter de la fin des années 1780, il est le plus souvent désigné comme bourgeois, terme désignant un individu suffisamment bien établi pour vivre de ses rentes.

Le 24 décembre 1795, il publie une annonce dans la *Gazette de Québec* pour vendre le terrain, décrivant précisément l'organisation des lieux : « *À vendre de Gré-à-gré. 1[e] Un terrain sis au faubourg St. Laurent près cette ville de cinq cent cinquante-trois pieds de front sur le niveau de la Rue St. Charles sur cent quarante pieds de profondeur avec deux jolies maisons de pierres dessus construites et deux hangars le dit terrain clos et complanté d'arbres fruitiers.* […] ». Ainsi, le terrain compte maintenant, en plus de l'établissement bâti par Moran, un deuxième établissement, construit par André Guy en 1788, situé en front sur la rue Sainte-Geneviève (maintenant Sainte-Catherine)[10]. Celui-ci ne sera finalement vendu que cinq ans plus tard.

5.5 1800-1844 : Antoine Mallard et Pierre Beaudry, de l'artisanat à la bourgeoisie

Antoine Mallard dit Deslauriers, maître boucher, et sa femme Catherine Hurteau acquièrent le terrain en 1800. Cette acquisition survient quelques semaines à peine après le mariage de leur fille Angélique à Pierre Beaudry[11]. Il semble raisonnable de penser que cette propriété est acquise pour y établir le jeune couple. Antoine Mallard réside à l'époque sur un terrain occupé par sa famille depuis au moins 1767, situé à l'intersection des rues de la Gauchetière et Saint-Laurent près du ruisseau de la côte à Baron, où son père, également maître boucher, exploitait une tannerie[12].

Le choix de faire l'achat du terrain nommé 94 sur le plan de Charland de 1801 (figure 13), à proximité de son domicile et traversé par le ruisseau de la côte à Baron, indique l'intention probable d'y poursuivre les activités artisanales dans lesquelles il se spécialise.

9 Vente, de André Guy à Antoine Mallard, greffe du notaire Thomas Barron, 11 février 1800, min. 13

10 Entente entre André Guy et Pierre Raza, greffe du notaire Joseph Papineau, 28 août 1788, min. 1118

11 Contrat de mariage entre Angélique Mallard et Pierre Beaudry, greffe du notaire Jean-Baptiste Desève, 8 avril 1799, min. 1592

12 Vente d'un emplacement dans le faubourg Saint-Laurent par Ignace Robreau dit Duplessis à Antoine Mallard [père], greffe Antoine Foucher, 9 octobre 1776

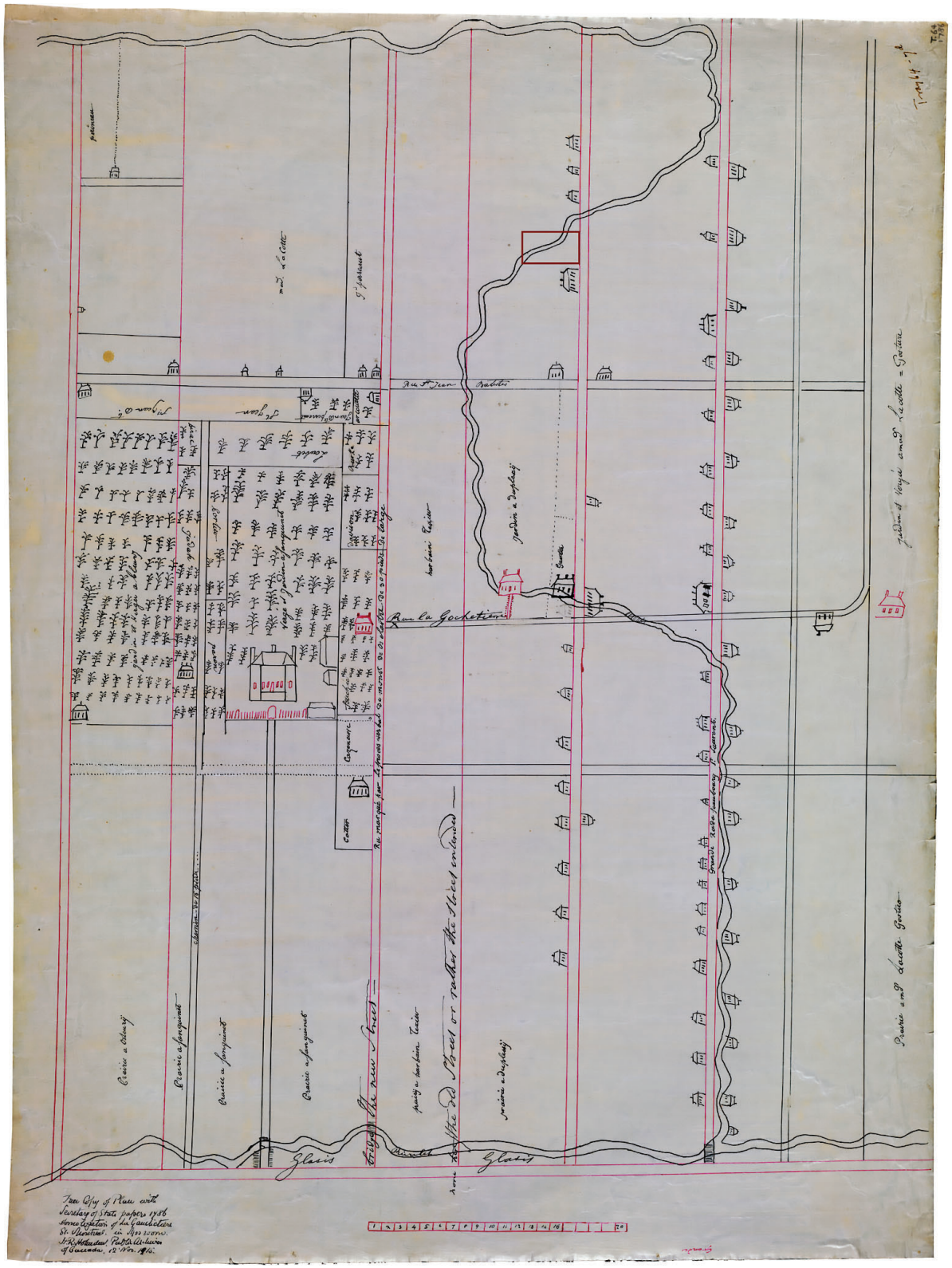


Figure 12 - Copie du plan d'homologation de la rue de la Gauchetière dessiné initialement en 1786. L'emplacement approximatif de l'aire d'étude est indiqué par un polygone rouge. La maison située juste au sud est probablement celle construite par Moran

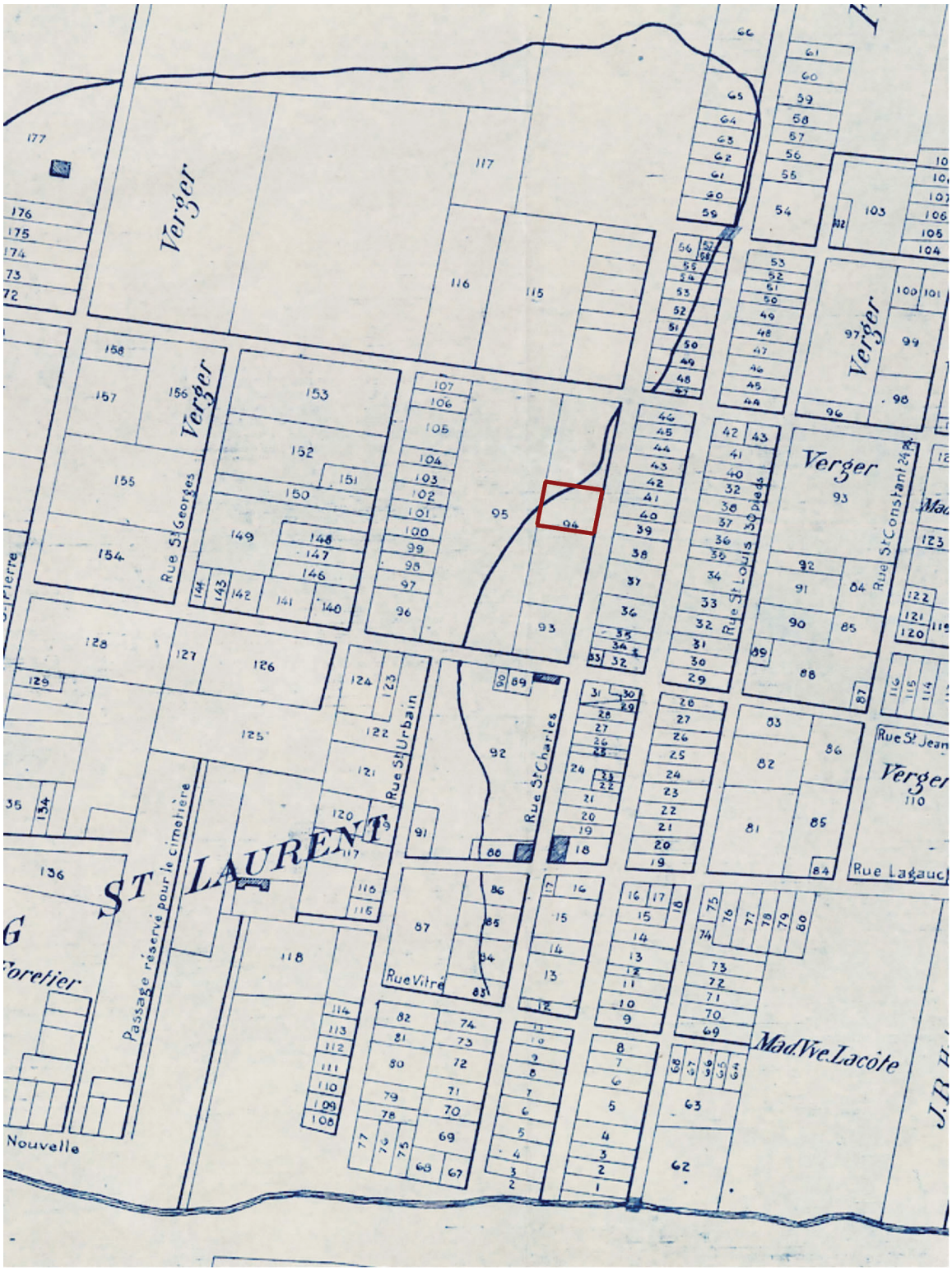


Figure 13 - Plan dressé par Charland en 1801 sur lequel sont illustrés les contours du lot 94 à l'ouest de la rue Saint-Charles correspondant au terrain acquis par le couple Hurteau-Mallard en 1800. L'emplacement approximatif de l'aire d'étude est indiqué par un polygone rouge

Le 21 mars 1805, Antoine Mallard dit Deslauriers, alors étroitement associé avec son gendre Pierre Beaudry, s'engage à livrer dans l'année courante à un dénommé Nicol Graham, une grande quantité de savon et de chandelles « […] *laquelle livraison se fera dans la boutique ou manufacture dudit Sieur Mallard, qu'après ladite livraison faites et payée, sera obligé à transporter ou faire transporter lesdites caisses de savon & chandelles au magasin dudit Graham en cette ville ou à bord d'aucuns vaisseaux au port de cette ville*. […] »[13]. Ce marché indique que Mallard produit dorénavant du savon et des chandelles et possède une boutique et manufacture sur son terrain.

Apparemment, en 1808, Antoine Mallard choisit de remettre la gestion des activités de production de savon et de chandelles à son gendre Pierre Beaudry, bien que son implication reste importante[14]. Un engagement signé en novembre 1810 pour livraison de cendre servant à la production de potasse entre François Oule, journalier, et Mallard maintenant décrit comme bourgeois indique que cette ressource est également produite sur le terrain à l'étude[15].

Signe que les affaires vont bien, Antoine Mallard acquiert, en 1813, la seigneurie des îles Bouchard[16]. Le couple Hurteau-Mallard semble d'ailleurs s'y installer de façon permanente quelques années plus tard. En 1818, Mallard et Beaudry achètent conjointement la parcelle située au sud de leur terrain (voir lot 93, figure 13)[17]. Le terrain contient une maison en bois ainsi que ses dépendances, en plus d'un grand jardin et verger. Cette acquisition leur donne la jouissance d'une terre qui s'étend de la rue Sainte-Catherine jusqu'à la rue Saint-Jean-Baptiste (actuel boulevard René-Lévesque). Ainsi réunis, ces deux lots formeront à compter de 1832 le lot 434 du second terrier du faubourg Saint-Laurent, puis le 361 du cadastre originaire à compter de 1872.

Les bottins des marchands de Montréal publiés par Doige en 1819 et 1820 nomment Pierre Beaudry comme « *soap boiler and tallow chandler*[18] » et le situent au 47, rue St-Charles Borromée. Antoine Mallard n'y est toutefois pas mentionné, ce qui semble confirmer qu'il n'est plus impliqué dans l'activité manufacturière (Doige, 1819 : 100, 1820 : 41).

Antoine Mallard décède à Montréal le 4 août 1823. Lors du partage de ses biens en 1824 entre Catherine Hurteau et Pierre Beaudry et son épouse, ces derniers héritent du lopin de terre sur lequel se situe le terrain à l'étude. Il y est alors décrit comme contenant trois maisons de pierres. Il semble donc que Mallard et Beaudry ont, depuis leur achat, ajouté un bâtiment de pierre au lot

13 Marché entre Antoine Mallard dit Deslauriers et Nicol Graham, greffe du notaire Louis Chaboillez, 21 mars 1805, min. 6827

14 Partage entre Marie Catherine Hurteau, veuve d'Antoine Mallard dit Beaudry, et Pierre Beaudry (Angélique Mallard dit Beaudry), greffe du notaire André Jobin, 13 janvier 1824, min. 3283

15 Engagement de François Oule à Antoine Mallard, greffe du notaire Jean-Marie Mondelet fils, 28 novembre 1810, min. 3461

16 Vente, par Jean-Baptiste Hérigaut, à Antoine Mallard, greffe du notaire Jean-Marie Mondelet, 8 janvier 1813

17 Licitation par les héritiers Serre dit Saint-Jean aux Sieurs Antoine Malard et Pierre Beaudry, greffe du notaire Jean-Marie Cadieux, 6 avril 1818a, min. 188 ; Licitation par les héritiers Serre dit Saint-Jean aux Sieurs Antoine Mallard et Pierre Beaudry, greffe du notaire Jean-Marie Cadieux, 6 avril 1818b, min. 191

18 Fabriquant de savon et de chandelles produites avec du suif

qu'ils occupent. Les sources consultées tendent à identifier ce troisième bâtiment comme étant la manufacture de potasse, savon et chandelles des Mallard-Beaudry.

À la suite du décès de son beau-père, Pierre Beaudry souhaite délaisser ses activités artisanales afin de se concentrer sur l'immobilier, comme l'avait fait Mallard dans les dernières années de sa vie. Au début de l'automne 1823, Pierre Beaudry annonce dans le journal *Le spectateur canadien* la mise en location d'une « brasserie » pour la fabrication de savon et de chandelles. La manufacture est louée pour la première fois à Rodger McGill en 1825[19]. L'immeuble loué est alors décrit ainsi :

> *« […] un bâtiment servant de savonnerie avec la chaudière qui s'y trouve placée, située sur le terrain où réside actuellement le bailleur audit faubourg Saint-Laurent, et en outre cette partie du verger joignant ladite savonnerie tel que ledit bailleur l'a montré audit preneur et qui sera close avec clôture de planches aux frais dudit bailleur dans le cours de l'été prochain, sur laquelle partie de terrain présentement loué ledit bailleur promet faire faire dans le cours du mois prochain, un hangar en bois de vingt-cinq pieds sur vingt pieds pour mettre de la cendre. Le bailleur réserve la moitié du grenier de ladite savonnerie et promet de faire faire un escalier au pignon de ladite savonnerie pour aller à l'autre moitié dudit grenier […] ».*

Le plan d'Adams publié en 1825 rend compte de l'état du terrain à cette époque. On y distingue au centre du lot, la maison Moran, domicile de Pierre Beaudry et sa famille avec quatre bâtiments secondaires, dont l'un fait front sur la rue St-Charles Borromée et est plus tard identifié comme une écurie. Une clôture sépare l'espace d'un imposant bâtiment rectangulaire, vraisemblablement celui servant de manufacture et de domicile à Rodger McGill (figure 14). En 1828, le bail est reconduit pour une durée de 6 ans, précisant que l'immeuble loué est une maison de pierres à un étage avec un autre bâtiment de pierre adjacent servant pour la manufacture de chandelles et de savon. Pierre Beaudry s'engage également à ajouter deux chambres au grenier de la maison[20]. Ce nouveau bail porte à croire qu'un nouveau bâtiment, annexé au côté nord de la manufacture, ait pu être construit afin de loger la famille McGill.

Le bail est reconduit à plusieurs reprises jusqu'en 1843, moment où la manufacture est victime d'un incendie. Celui-ci, survenu le 17 mai, aurait complètement démoli la manufacture de savon et de chandelles ainsi qu'un nombre de petites maisons attenantes (Le Canadien, 19 mai 1843 ; L'Aurore des Canadas, 19 mai 1843 ; L'Aurore des Canadas, 22 mai 1843 ; La Minerve, 1er juin 1843).

Le testament de Pierre Beaudry, rédigé en 1843 peu de temps après l'incendie, indique que le terrain comporte deux maisons en pierre et une en bois, dont l'une est en partie occupée par un ami,

19 Bail, par Pierre Beaudry à Roger McGill, greffe du notaire André Jobin, 7 avril 1825, min. 3670

20 Bail, par Pierre Beaudry à Roger McGill, greffe du notaire André Jobin, 27 novembre 1828, min. 4675

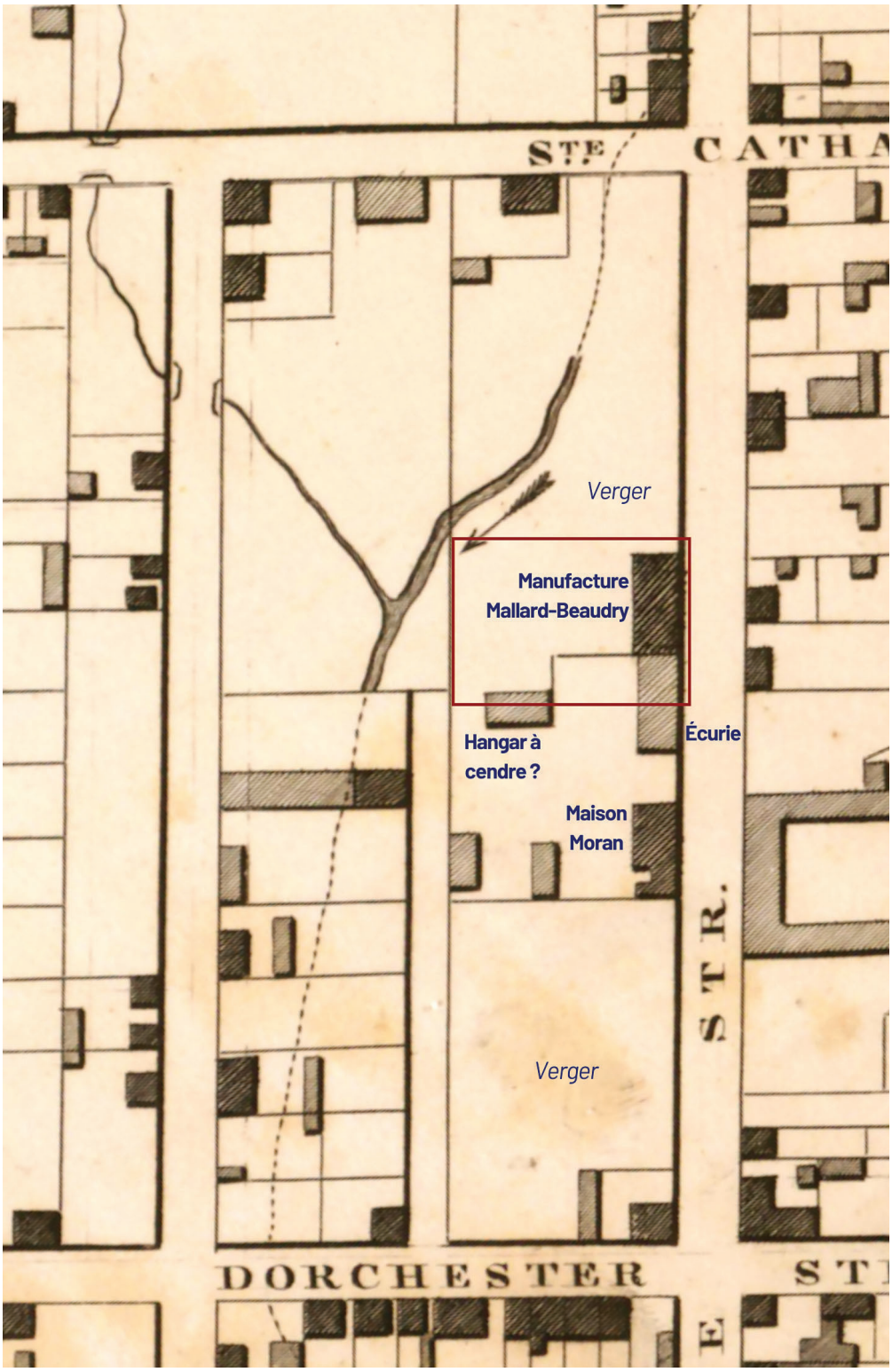


Figure 14 - Plan d'Adams tracé en 1825 illustrant les bâtiments principaux en foncé, secondaire en pâle ainsi que les clôtures de séparations. L'emplacement approximatif de l'aire d'étude est indiqué par un polygone rouge

Monsieur Duchaîne, ecclésiastique[21]. Dans l'un des articles décrivant l'incendie, l'on mentionne d'ailleurs que la savonnerie est attenante à l'ermitage de Mr. L'abbé Duchaîne[22]. Il semble donc que cet « ermitage » se situait dans un bâtiment entre la maison Moran et la manufacture. La troisième maison de pierres mentionnée lors du partage de la succession Mallard en 1824 et omise ici pourrait fort bien être la manufacture détruite par le feu.

5.6 1844-1885 : François-Xavier Beaudry et l'amorce de l'urbanisation

Au décès de Pierre Beaudry, son fils François-Xavier hérite de l'essentiel des biens immeubles à Montréal, tandis que sa sœur Zoé obtient la propriété de la seigneurie des îles Bouchard. Ces legs sont faits en jouissance leur vie durant, à condition de les transmettre en nature à leurs propres héritiers.

La destruction de la manufacture en 1843 et le décès de Pierre Beaudry l'année suivante marquent un tournant dans l'occupation du terrain à l'étude. François-Xavier, profitant des revenus générés par les biens légués par son père, choisit de procéder à la conversion des restes de l'ancienne manufacture de savon et de chandelles. Le 25 avril 1844, quelques mois après le décès de son père, François-Xavier, bourgeois, loue à un dénommé Pierre Lippé, qui occupe déjà la maison en front de Sainte-Catherine, un terrain planté d'arbres fruitiers dans la portion nord du lot désigné à cette époque sous le numéro 434 du second terrier du faubourg Saint-Laurent[23].

Ce bail s'accompagne d'un plan fort éloquent quant à l'aspect du secteur à cette époque (figure 15). On y voit la présence du ruisseau de la côte à Baron dont le cours semble avoir été canalisé le long de la rue Saint-Charles-Borromée et qui bifurque vers le sud-ouest afin de rejoindre la ruelle Bronsdon. Le plan semble également illustrer une partie des projets de rénovation de la maison brûlée imaginés par F. X. Beaudry, notamment en réservant une bande d'environ huit mètres au nord du bâtiment pour éventuellement y aménager un passage ainsi que par la subdivision de la cour arrière du bâtiment.

Le 16 juillet 1844, devant le notaire Louis-Séraphin Martin dit Ladouceur, François-Xavier Beaudry confie à François Labrèque, maître menuisier, le mandat de procéder aux travaux de reconstruction des bâtiments lourdement endommagés par l'incendie survenu au printemps 1843[24]. Le document

21 Testament et codicille de Pierre Beaudry, greffe du notaire Joseph Belle, 26 novembre 1843 [testament] et 6 décembre 1843 [codicille], min. 6101 ; BPD, Montréal, enrg. 483

22 Amable-Daniel Duchaîne était un éducateur, homme de sciences, inventeur et auteur, connu pour son apport dans le domaine de l'éducation et des sciences au Bas-Canada. Il est décédé le 14 novembre 1853 à Montréal http://www.biographi.ca/fr/bio/duchaine_amable_daniel_8E.html

23 Bail à loyer d'un verger, de François-Xavier Beaudry à Pierre Lippé, greffe du notaire Louis-Séraphin Martin dit Ladouceur, 25 avril 1844, min. 2479

24 Marché et devis entre François Labrèque et François-Xavier Beaudry, greffe du notaire Louis-Séraphin Martin dit Ladouceur, 16 juillet 1844, min. 2543

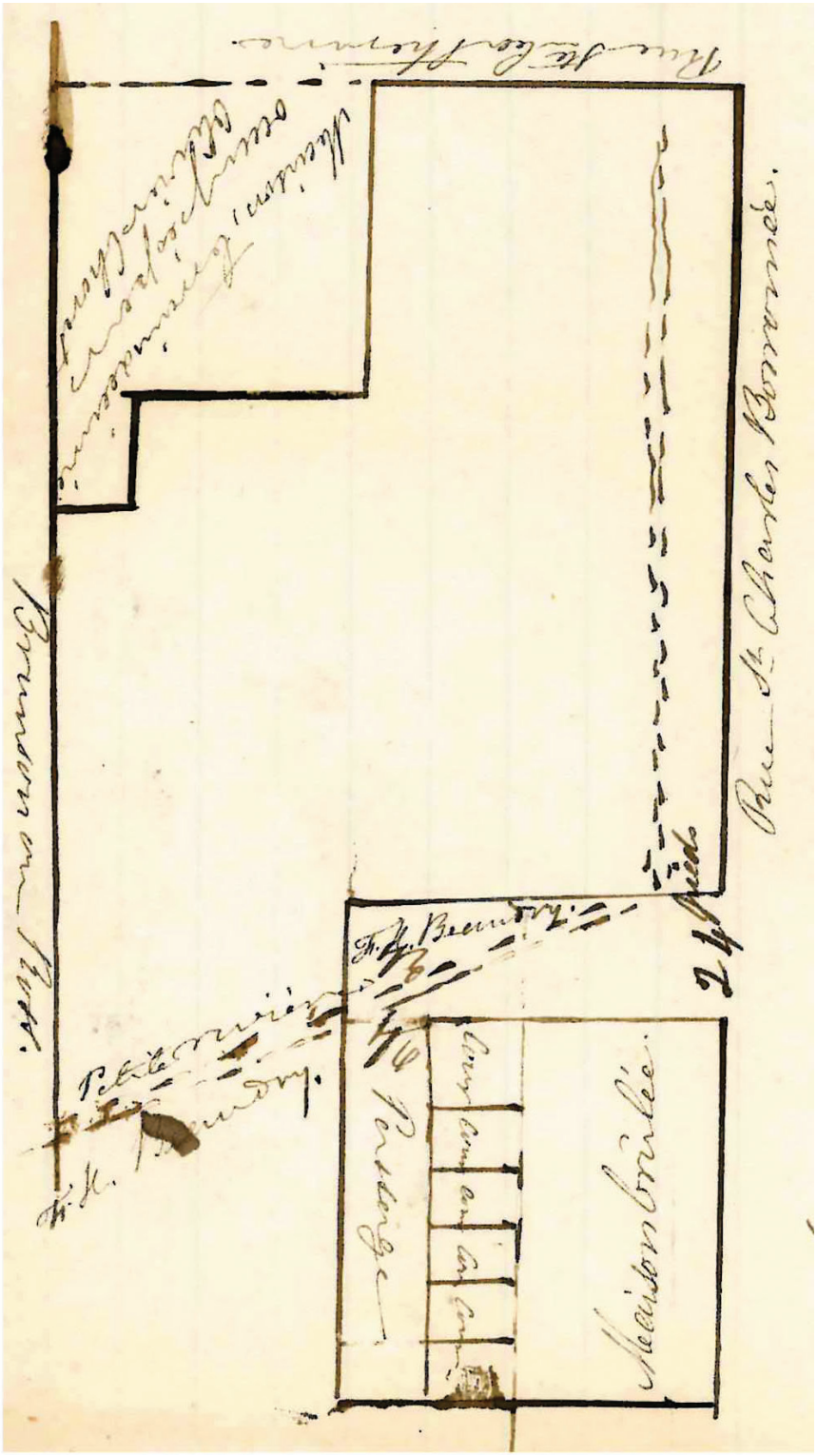


Figure 15 - Croquis du terrain loué à Pierre Lippé en 1844 sur lequel est illustré le bâtiment brûlé, le tracé de la petite rivière (côte à Baron), ainsi que les plans sommaires de la reconstruction envisagée

stipule que l'entrepreneur doit refaire la devanture du bâtiment en brique et rehausser le bâtiment de deux pieds de hauteur afin d'y aménager six logements, chacun comportant un rez-de-chaussée et un étage de hauteur suffisante pour permettre d'ajouter une chambre (figure 16). On peut présumer que le bâtiment d'origine n'était doté que d'un comble de faible hauteur. François-Xavier Beaudry se réserve les deux logements au nord, probablement à l'emplacement de l'ancienne demeure de McGill, mais compte louer les quatre autres logements une fois les travaux terminés.

Chaque logement doit être accompagné d'une cour clôturée dont l'arrière communique avec le passage privé également clôturé qui rejoint la rue Saint-Charles-Borromée par un passage au nord du bloc. L'entrepreneur doit également construire trois latrines doubles en fond de cour desservant chacune deux logements (figure 17). Beaudry spécifie l'importance dans le contrat de réutiliser tout le bois et autres matériaux récupérables pour les travaux et indique qu'il fournira également du bois, des portes et des châssis provenant d'une vieille maison qu'il a « démanchée ».

Tout au long des travaux, l'entrepreneur et les employés logent dans une des maisons à réparer, indiquant donc qu'une part de l'ensemble demeure habitable malgré les dégâts causés par l'incendie. Il peut également utiliser une place dans l'écurie qui se trouve juste au sud du bloc afin d'y loger une vache.

Le 8 mars 1845, alors que les travaux de réhabilitation des six unités de logement en rangée attenants au nord sont sur le point d'être complétés, François-Xavier Beaudry confie à un nouvel entrepreneur le mandat de convertir en trois logements locatifs le corps de bâtiment en pierre situé au sud du bâtiment en brique[25]. L'entrepreneur doit livrer le logement nord deux mois après la date de signature du marché, indiquant que cette portion du bâtiment nécessitait moins de travaux. Il est donc possible que cette portion du bâtiment servait déjà de logement. Le rassemblement de diverses sources semble indiquer que ce logement était possiblement occupé par l'abbé Duchaîne. Le reste du bâtiment semblait, pour sa part, servir d'écurie.

Le plan de Cane de 1846 montre l'organisation du terrain à cette époque avec, au nord, un établissement et un grand verger loué par Pierre Lippé, et au centre, le bloc de logements récemment rénové. Le logement au nord du bâtiment plus étroit, associé à l'ancienne écurie, semble également être en location à cette époque, alors que le reste du bâtiment semble encore en construction. Au sud, le lot demeure majoritairement libre de bâtis, et occupé par des jardins et vergers (figure 18).

L'étude des baux et des rôles d'évaluation du Bloc Beaudry à partir de 1845 confirme que les plans de construction ont été généralement suivis et confirme que le bâtiment est doté d'un soubassement (vide sanitaire). Les divers locataires des lieux occupent des métiers variés tels que policier, maçon, charpentier, chapelier, messager, journalier et même professeur de musique. La forte présence

25 Marché, entre François-Xavier Beaudry et Jean-Baptiste Rivet, 8 mars 1845, min. 964

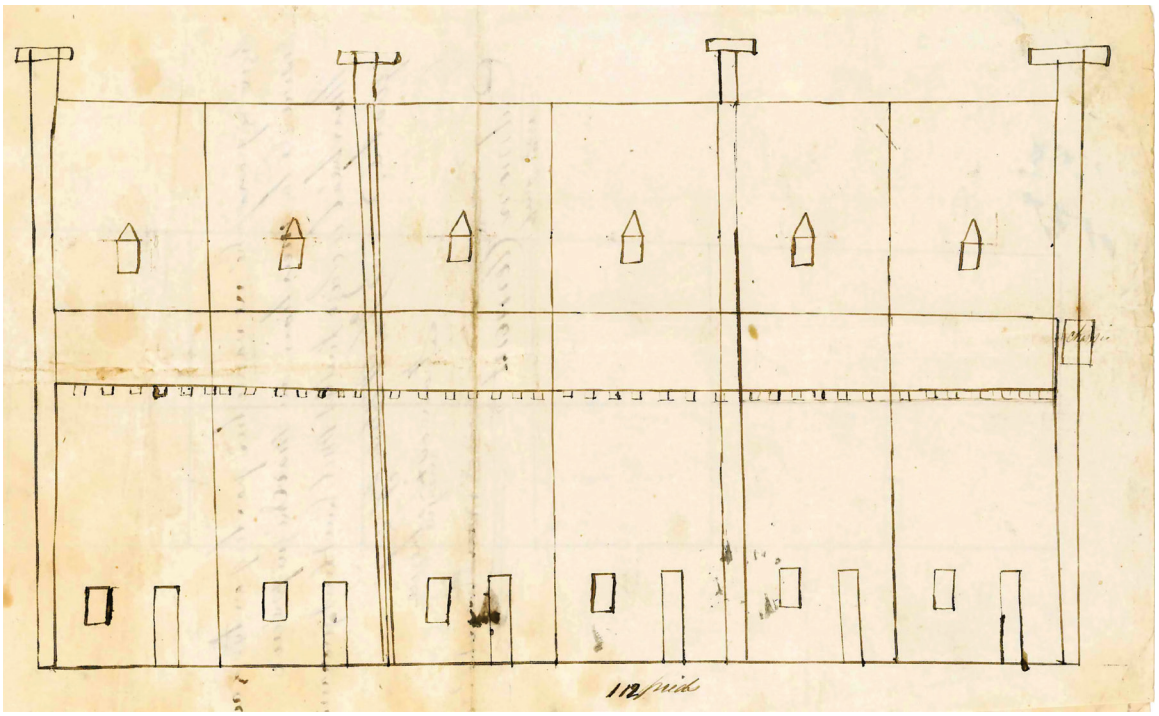


Figure 16 - Croquis de la devanture des six logements à construire à partir des décombres de la manufacture de savon et de chandelle incendiée en 1843

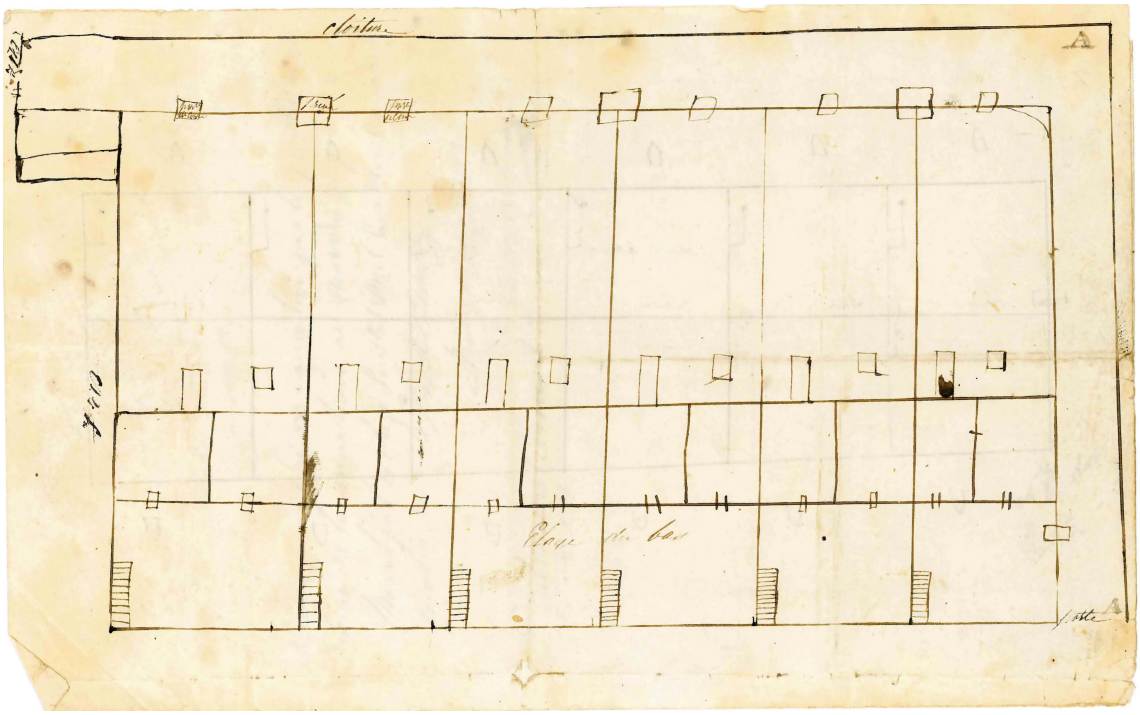


Figure 17 - Croquis du rez-de-chaussée, des cours et des latrines des six logements à aménager à partir des décombres de la manufacture de savon et de chandelle incendiée en 1843

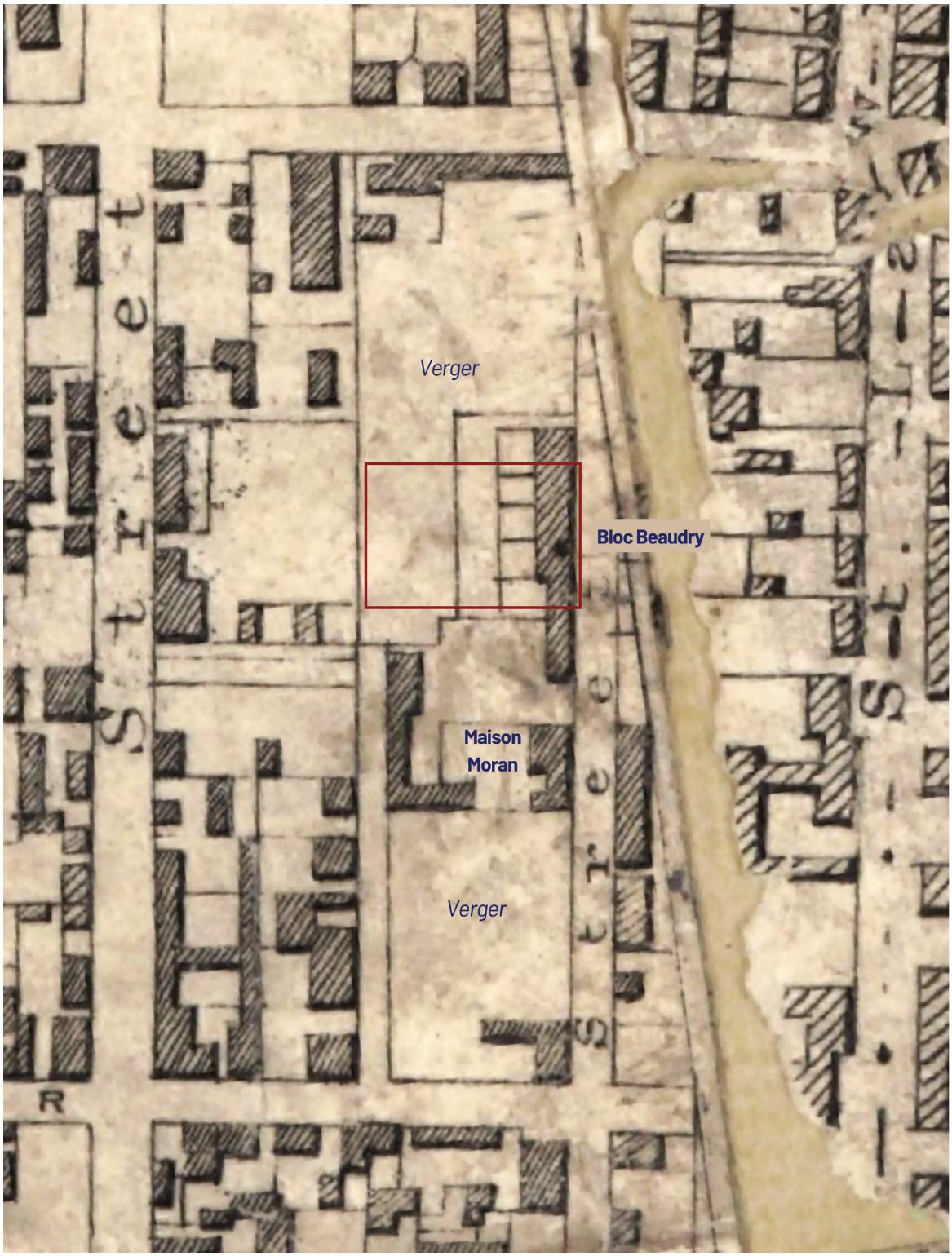


Figure 18 - Extrait du plan de la ville de Montréal produit par Cane en 1846 sur lequel on aperçoit les nouveaux logements ainsi que l'organisation de leurs cours arrière. La portion sud de l'ancienne écurie ne semble pas encore avoir été converti. L'emplacement approximatif de l'aire d'étude est indiqué par un polygone rouge

des métiers manuels et artisanaux est typique des contextes urbains du XIX^{e} siècle et dénote des logements destinés principalement à la classe ouvrière. Un seul logement fait exception : l'un des deux que s'était réservés François-Xavier Beaudry dans le marché de 1844. Ce logement, visiblement de qualité supérieure, est occupé par un écuyer, puis un notaire jusqu'en 1866.

L'examen des baux retracés pour les années 1858 à 1863 montre qu'autour de 1860, la municipalité a implanté l'aqueduc dans l'emprise de la rue Clark et fort probablement imposé le raccordement des logements du Bloc Beaudry[26]. Les latrines semblent toutefois être demeurées en fonction au moins jusqu'à la fin des années 1860, date des derniers baux retracés.

Dans tous les baux consultés, Beaudry se décharge entièrement de toute obligation en matière d'entretien des logements loués. Les locataires assument entièrement les charges de l'entretien commun des lieux, dont le nettoyage des latrines, des cheminées et des aires communes. Compte tenu du fait que les locataires changent régulièrement, on peut facilement concevoir que l'une des conséquences de ce mode de gestion est que l'entretien de ces équipements de base soit souvent négligé.

À la suite de l'établissement du cadastre originaire en 1872, le lot qui englobe le terrain à l'étude est désigné sous le numéro 361. Le plan de Plunkett & Brady, de la même année, évoque la réorganisation de la portion nord du terrain suite à l'expropriation permettant l'élargissement de la rue Sainte-Catherine[27] ainsi que la densification de la portion centrale et spécifie que le tiers sud du lot est occupé par la cour à bois de H. Bulmer Junior (figure 19). Le terrain à l'arrière du Bloc Beaudry contient maintenant des bâtiments étroits qui longent les pans est et nord de l'espace clos. Le plan de 1881 montre que le terrain a subi très peu d'ajouts dans les dix dernières années, mais illustre plus en détail son cadre bâti et ses subdivisions (figure 20).

Dans les journaux de l'époque, François-Xavier Beaudry est très souvent présenté comme un propriétaire négligent dont le parc immobilier est aussi imposant que délabré. Les articles retracés à ce sujet sont particulièrement nombreux à partir de la fin des années 1870 et au début des années 1880. Dans son édition du 22 septembre 1874, le journal *The Montreal Witness* rapporte être l'objet de poursuite en diffamation de la part de François-Xavier Beaudry à la suite d'un article publié le 31 juillet précédent et qui rapportait le fait que Beaudry faisait l'objet de plusieurs recours légaux pour proxénétisme et négligence dans la gestion des eaux usées : « *François Xavier Beaudry was brought before the Recorder to-day, charged with keeping a nuisance in the rear of is houses in St. Charles Borromee street, The Sanitary Police testified that he had for several days kept open some wooden drains leading from water closets that these drains were in an exceedingly filthy condition. The Recorder fined him $5 and cost and 15 days' imprisonment.* »

26 Bail, de François-Xavier Beaudry à Daniel Ward, greffe du notaire Charles-C. Spénard, 7 mars 1857, min. 881 ; Bail, de François-Xavier Beaudry à François-Xavier Raymond, greffe du notaire Charles-C. Spénard, 30 mars 1858, min. 1153

27 Acte de dépôt (protonotaire) / avec plan, déposé devant le notaire C.F. Papineau le 7 mai 1864, min. 4174

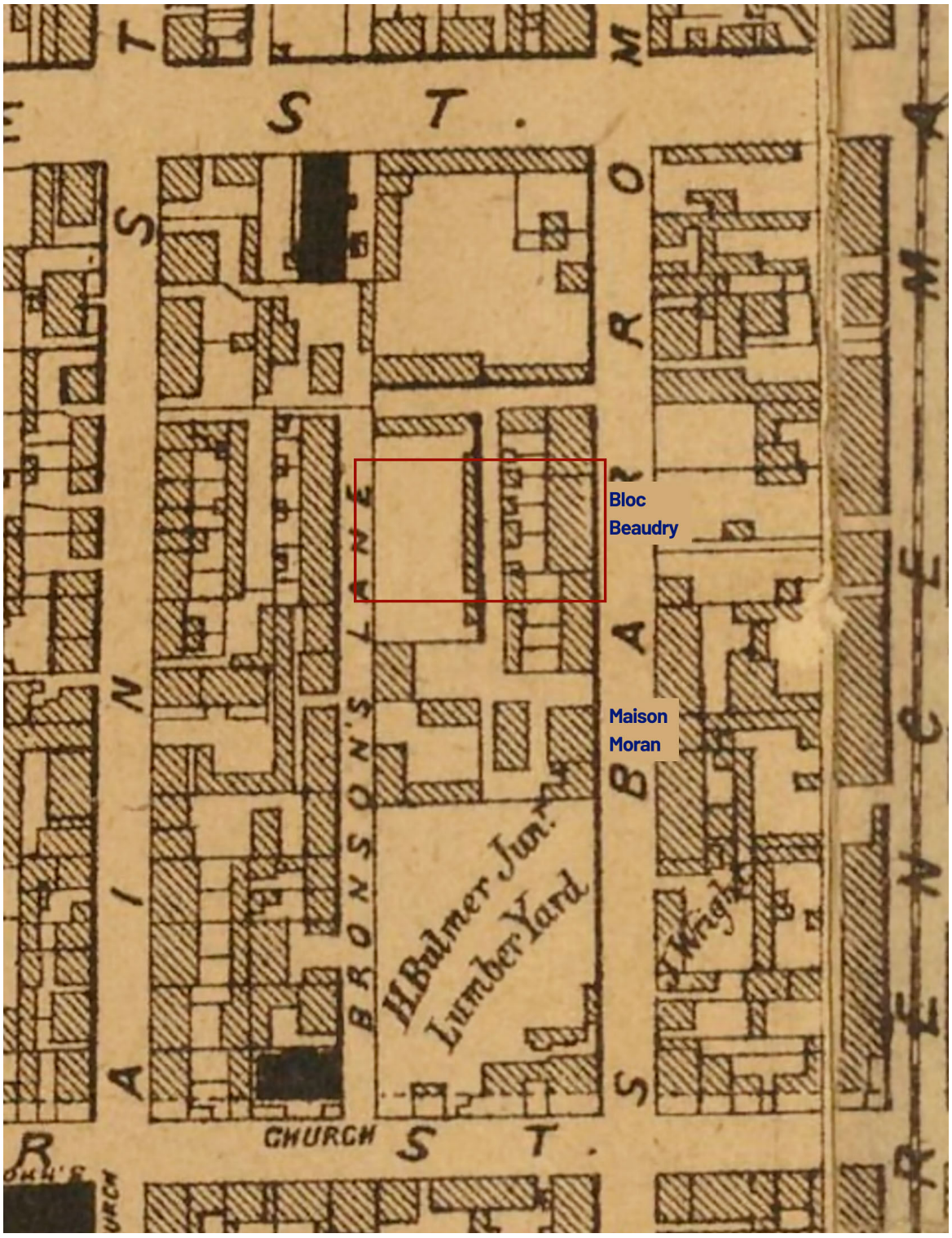


Figure 19 - Extrait du plan de Plunkett et Brady dessiné en 1872 illustrant la densification du bâti sur le lot qui englobe le terrain à l'étude. L'emplacement approximatif de l'aire d'étude est indiqué par un polygone rouge

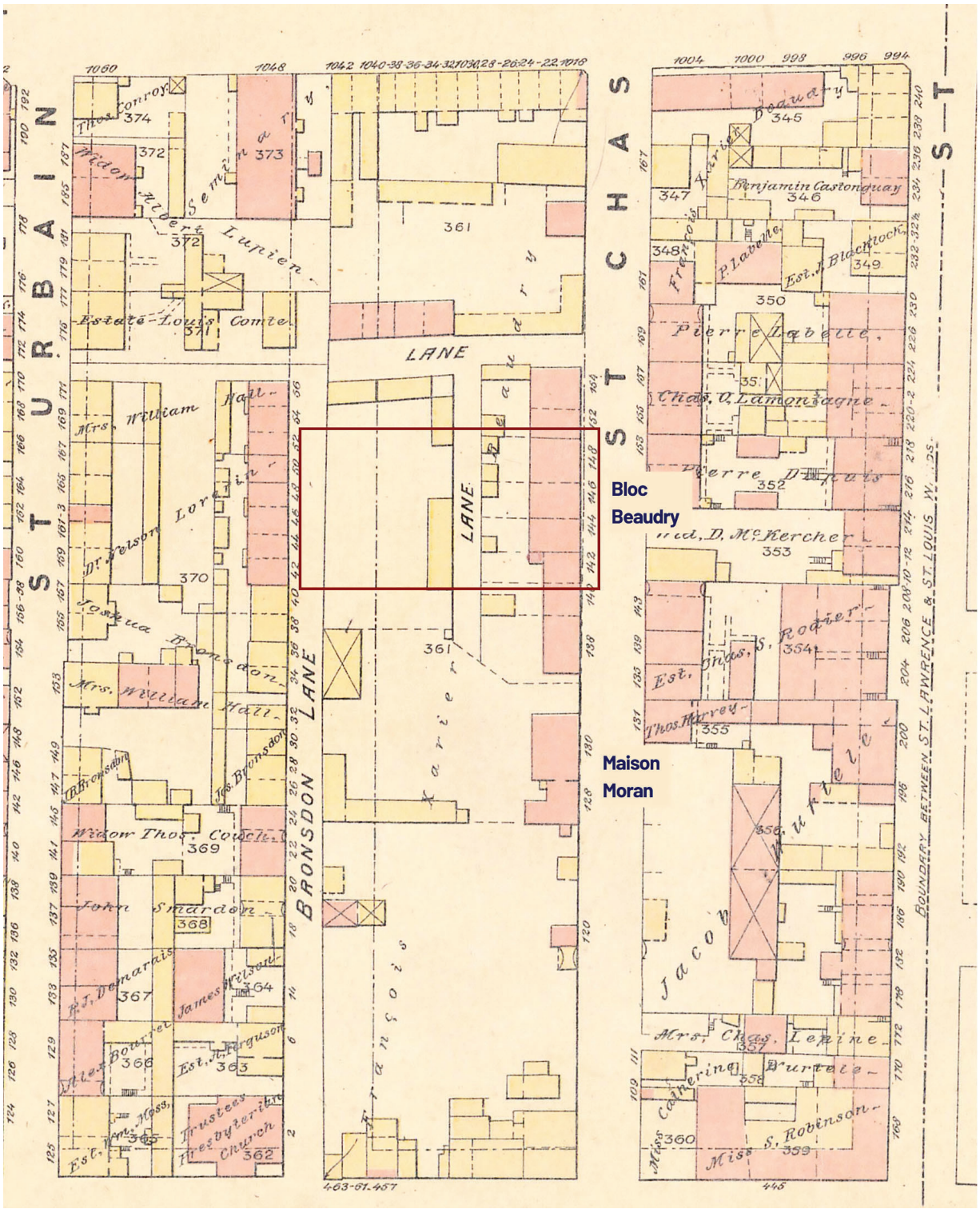


Figure 20 - Extrait du plan de Goad dressé en 1881. L'emplacement approximatif de l'aire d'étude est indiqué par un polygone rouge

En parallèle, plusieurs articles publiés au tournant des années 1870-1880 montrent que l'environnement social, sur et autour du site à l'étude, s'est à cette époque considérablement dégradé. Il s'agit d'un milieu pauvre marqué par des problèmes de criminalité récurrents, particulièrement associés aux ensembles bâtis et aux établissements de Beaudry.

Le 21 septembre 1871, *Le Pays* rapporte une agression perpétrée par une dénommée Marie Lapointe à l'encontre de John Weir, scieur de bois, les deux résidents apparemment « […] *dans l'immense bloc de maisons de la rue St. Charles Borromée, loué par M. F.X. Beaudry à un si grand nombre de ménages* […] ». Le 7 février 1884, dans un long article, un journaliste du *Montreal Herald* rapporte un conflit entre voisins auquel il a assisté fortuitement et qui impliquait plusieurs résidents de la série des résidences de la rue Saint-Charles-Borromée. « […] *Arrived on the scene, he [the reporter] took his stand on a eminence of snow, and discovered that he was in front of that collection of filthy hovels knows as "Beaudry's" St. Charles Borromee street block. This block is situated between Dorchester and St. Catherine streets, and gives shelter to some forty or fifty prostitutes. Beaudry, the landlord, has his office at one end of the rookery and his dwelling house at the other.* […] ». L'incident rapporté, une bataille entre deux locataires, précise que ceux-ci résident aux numéros civiques 146 et 148 de la rue Saint-Charles-Borromée, située à l'intérieur du secteur ayant fait l'objet de fouilles archéologiques. La même année, divers articles font part d'arrestations de différents résidents du bloc Beaudry pour vol, agression armée, prostitution et vagabondage (La Minerve, 12 septembre 1884; La Minerve, 13 octobre 1884; *Montreal Herald and daily commercial gazette*, 22 décembre 1884).

François-Xavier Beaudry décède le 24 mars 1885. Malgré sa mauvaise réputation, il fait l'objet de funérailles somptueuses tenues à l'église Notre-Dame de Montréal. Les journaux rapportent que son cortège s'étendait de son domicile de la rue Saint-Charles-Borromée jusqu'à l'église, un cortège comparable à celui des funérailles de George-Étienne Cartier en 1873 (La Presse, 27 mars 1885).

5.7 1885–1946 : La succession Beaudry et les transformations immobilières

Le décès de François-Xavier Beaudry amorce le transfert de la propriété, qui, selon les clauses du testament de 1843 de Pierre Beaudry, doit passer aux enfants nés de son union avec Tharsile Voyer. En 1885, sa première épouse ainsi que tous leurs enfants sont toutefois décédés. En conséquence, la succession passe aux enfants de feu Théodose Beaudry (Catherine Vallée) : Hermine Beaudry (Pierre Évariste Leblanc), Gustave Beaudry, Rodolphe Baudry et René Beaudry.

À l'époque, le site est occupé par des constructions vétustes, habitées par une clientèle particulièrement pauvre, et offrant une très faible densité d'occupation par rapport à l'environnement dans lequel il s'insère. Ainsi, en 1887, les héritiers entament un vaste projet immobilier qui doit s'étendre à l'ensemble du lot 361. Le projet prévoit notamment l'aménagement d'une petite voie

transversale au sud, la rue de Verchères, destinée à permettre l'érection de nombreuses unités de logement (figure 21).

Dans la foulée de la mise en œuvre du projet immobilier, le marchand de bois Bulmer (MM. H. Bulmer, fils et frère), qui occupe la portion sud du lot, est informé par les héritiers Beaudry qu'il doit quitter les lieux. Le 9 novembre 1887, le marchand annonce en conséquence la tenue d'un encan de liquidation de sa marchandise avant le déplacement de son entreprise au canal de Lachine (La Presse : 4). En 1888, le même marchand annonce toutefois à sa clientèle le renouvellement de son bail pour plusieurs années sur le même site (Le Prix Courant, 30 mars 1888 : 13);

En mars 1888, l'entente convenue avec la municipalité pour l'ouverture éventuelle des rues de Verchères et de Varenne, condition préalable à la mise en œuvre du projet, entraîne la démolition progressive de l'ensemble des bâtiments de la portion nord du lot, dont celui en brique qui composait l'ensemble de six logements reconstruits en 1844-1845. Les logements construits dans l'ancienne écurie sont toutefois épargnés et démolis une dizaine d'années plus tard. Pour des raisons inconnues, le projet ne sera jamais réalisé dans son intégralité, mais seulement dans la portion nord du lot 361 (figure 22).

À son décès en 1908, Catherine Vallée était propriétaire d'une part indivise de 87/192e du lot 361 du cadastre du quartier Saint-Laurent, léguée de plein droit à sa fille aînée Hermine Beaudry, unique héritière directe et légataire universelle de ses biens immeubles[28]. Au décès d'Hermine Beaudry, ses biens personnels, dont le lot 361, sont placés en fiducie et gérés au profit de ses enfants pour les revenus générés de leur vivant, et à terme, de leurs descendants pour les biens eux-mêmes[29].

5.8 1946-1956 - McLennan Lumber & Co et l'industrialisation du site

Le 30 décembre 1946, les gestionnaires de la succession d'Hermine Beaudry, avec l'autorisation de Rodolphe-Beaudry Leblanc, son fils et exécuteur testamentaire, choisissent de vendre la plus grande part du lot 361 du cadastre du quartier Saint-Laurent, incluant le terrain à l'étude, à Joseph Amédée Bonneau et Leonard William Halliday, marchands de bois. Les acheteurs exploitent déjà sur les lieux une entreprise de bois de construction, la *McLennan Lumber & Co.*, qui occupe l'essentiel du terrain acquis depuis plusieurs années.

Les rôles d'évaluation indiquent que la cour à bois d'Henry Bulmer occupe la portion du lot au sud de la maison Moran depuis au moins 1882. Suite à une faillite en 1899, la *John A. Bulmer & Cie* semble

28 Testament de Joseph Catherine Vallée, greffe du notaire Eusèbe Laliberté, 3 octobre 1907, min. 5515; BPD, Montréal, enrg. 84052

29 Testament de Joseph Hermine Beaudry, greffe du notaire Eusèbe Laliberté, 10 mars 1908, min. 5620; BPD, Montréal, enrg. 286442

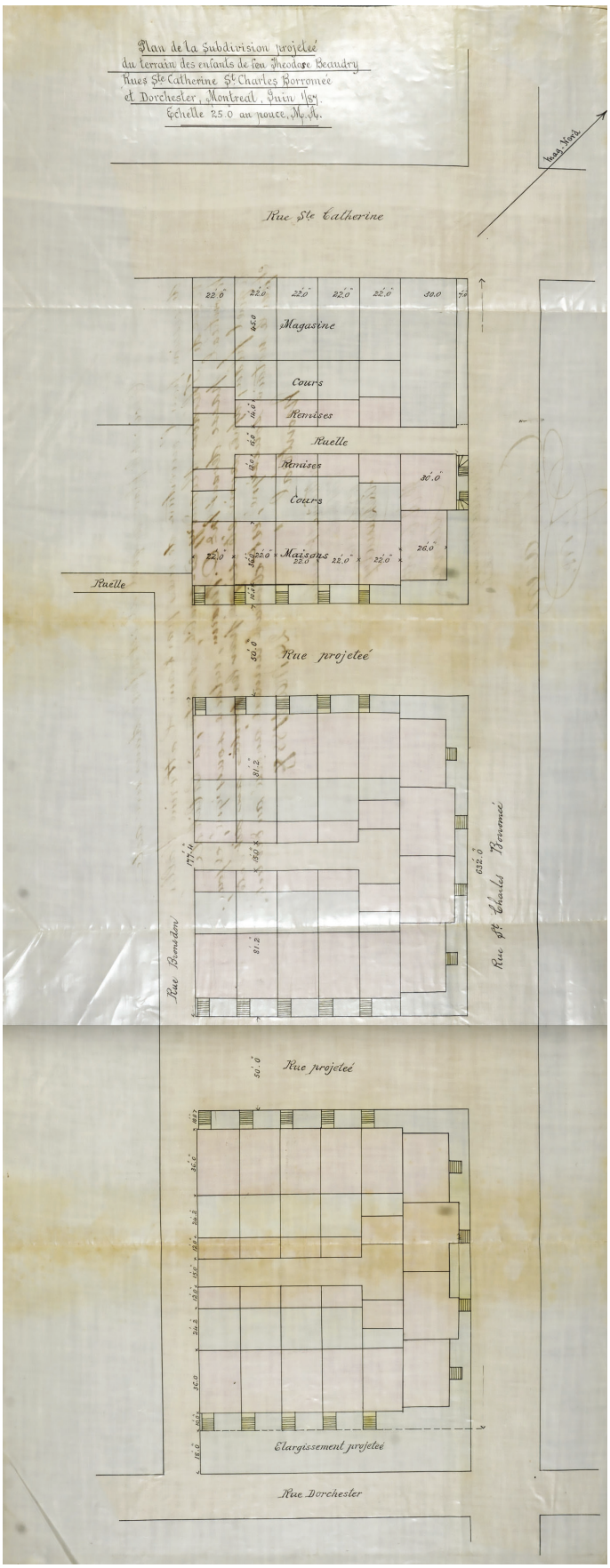


Figure 21 - Plan de la subdivision projetée du terrain des enfants de feu Théodose Beaudry tracé en juin 1887

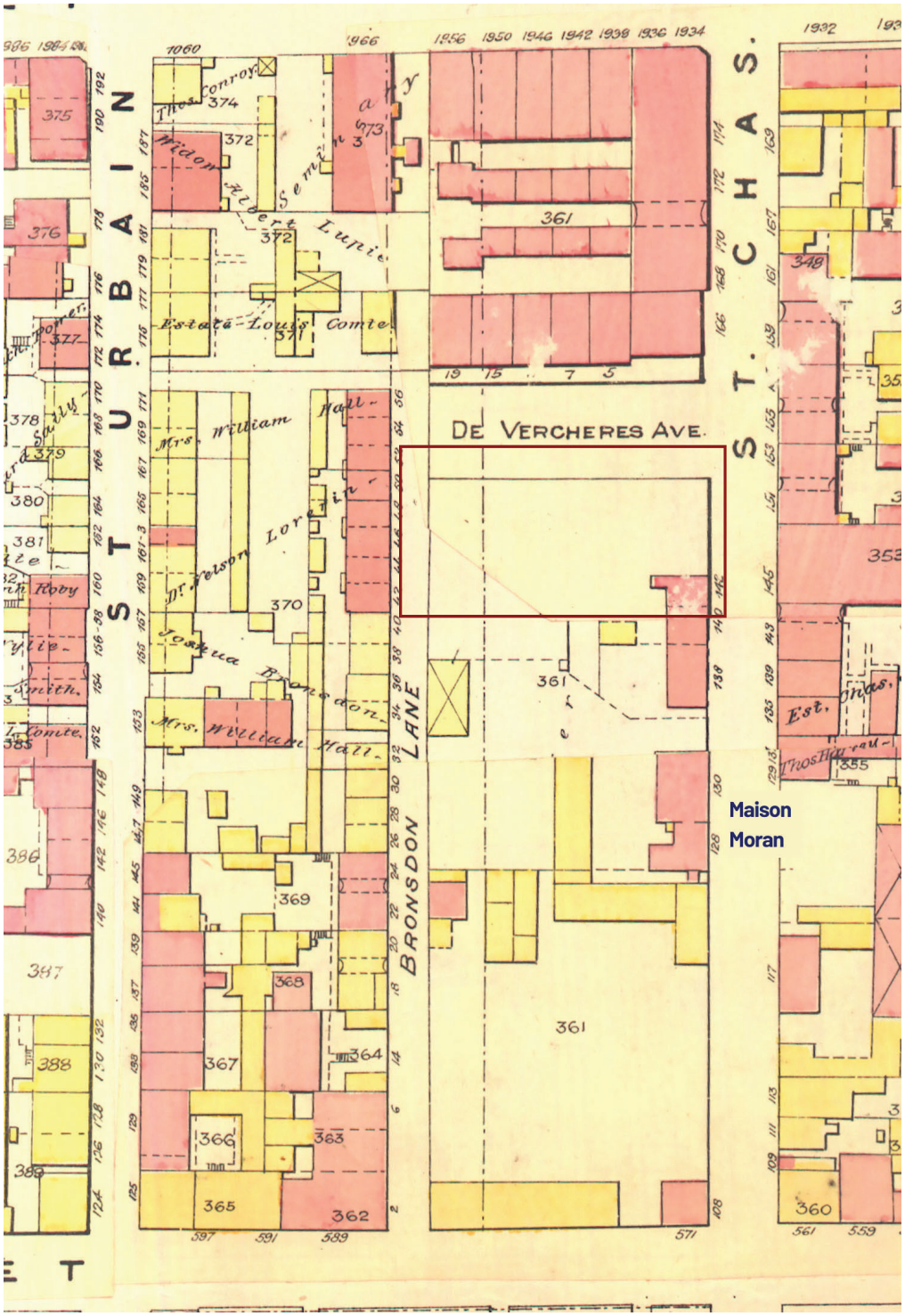


Figure 22 - Extrait du plan de Goad dressé en 1890 sur lequel s'aperçoivent le nouveau complexe d'habitation au nord du lot 361 et l'avenue de Verchère. La portion nord du Bloc Beaudry, les dépendances et les hangars entre celle-ci et la ruelle Bronsdon ont disparu. L'emplacement approximatif de l'aire d'étude est indiqué par un polygone rouge

s'associer à Ald. D. H. McLennan, qui opère sa propre compagnie de bois depuis 1896, afin de former la *Bulmer, McLennan & Co*. En 1905, la compagnie devient une société par actions, La *McLennan Lumber Company, Limited* (*Canadian forest industries 1911*, 1911 : 27).

Le plan d'assurance de 1909 montre que la compagnie occupe désormais tout l'espace au sud de la rue de Verchères. La maison Moran est encore présente, mais tout le reste du secteur est occupé par des hangars à bois et autres bâtiments manufacturiers. Une grande part de l'espace est occupée par des empilements de bois autour desquels un passage est aménagé (figure 23). L'aspect du terrain se modifie quelque peu dans les années qui suivent, entre autres avec l'ajout d'un hangar à bois au coin nord-est du lot (figure 24).

Le lot n'est toutefois pas occupé exclusivement par la *McLennan & Co*. Le plan d'occupation du sol de 1949 indique entre autres que la maison Moran est alors occupée par une fonderie et qu'un bâtiment de brique, un peu au nord, est utilisé par la *Montreal Cabinet & Pattern works* (figure 25). Une photographie datant de 1946 montre l'aspect de la maison Moran, construite alors il y a plus de 175 ans (figure 26).

5.9 1956 à aujourd'hui : Hydro-Québec et le développement contemporain

Le 19 octobre 1956, dans le cadre des acquisitions préalables à la construction de son siège social en front sur la rue Dorchester nouvellement réaménagée, Hydro-Québec acquiert la plus grande part du lot 361 du cadastre du quartier Saint-Laurent, soit toute la portion comprise entre la rue Dorchester au sud, la voie privée désignée de Verchères au nord, la rue Clark à l'est et la ruelle Bronsdon à l'ouest.

Le chantier du nouveau siège social et du poste souterrain Dorchester débute officiellement en 1958 avec la démolition des bâtiments du secteur, dont la maison Moran (figure 27). Sa construction nécessite ensuite l'excavation de la moitié sud du lot anciennement connu sous le numéro 361 (figure 28). Le 8 juin 1962, le siège social est inauguré en présence du premier ministre Jean Lesage et du ministre des Richesses naturelles, René Lévesque.

Dans les mêmes années, les logements construits au nord du lot par la succession Beaudry sont démolis. La moitié nord de l'ancien lot 361 sert de stationnement pendant de nombreuses années jusqu'à la construction de la maison du développement durable et le parc Hydro-Québec dans les années 2010. L'aire d'étude subit quant à elle des travaux ponctuels tels que l'installation de réservoirs d'essence et de clôtures. Sa fonction reste toutefois inchangée.

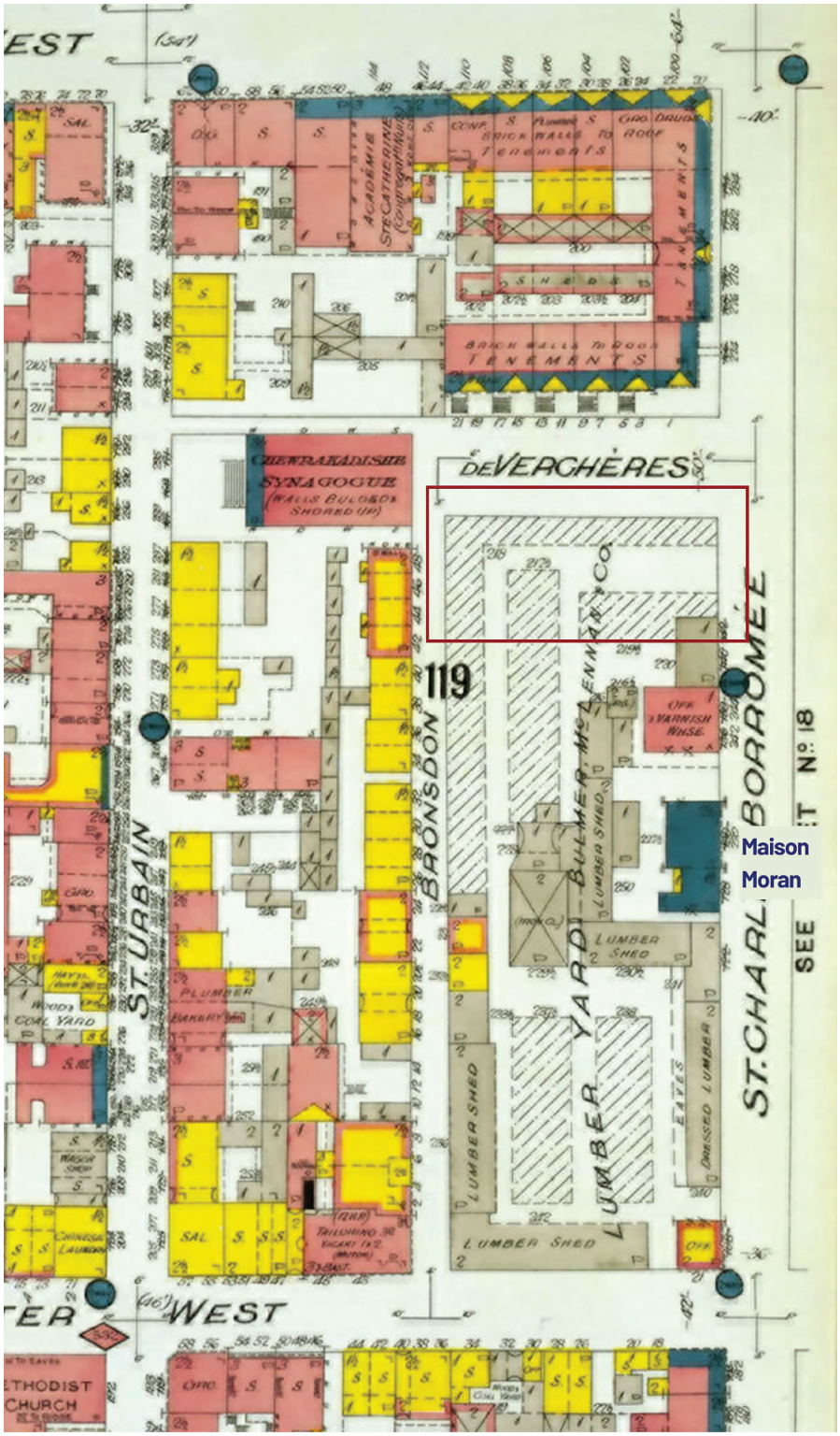


Figure 23 - Extrait du plan de Goad de 1909 montrant le secteur occupé par la cour à bois. L'emplacement approximatif de l'aire d'étude est indiqué par un polygone rouge

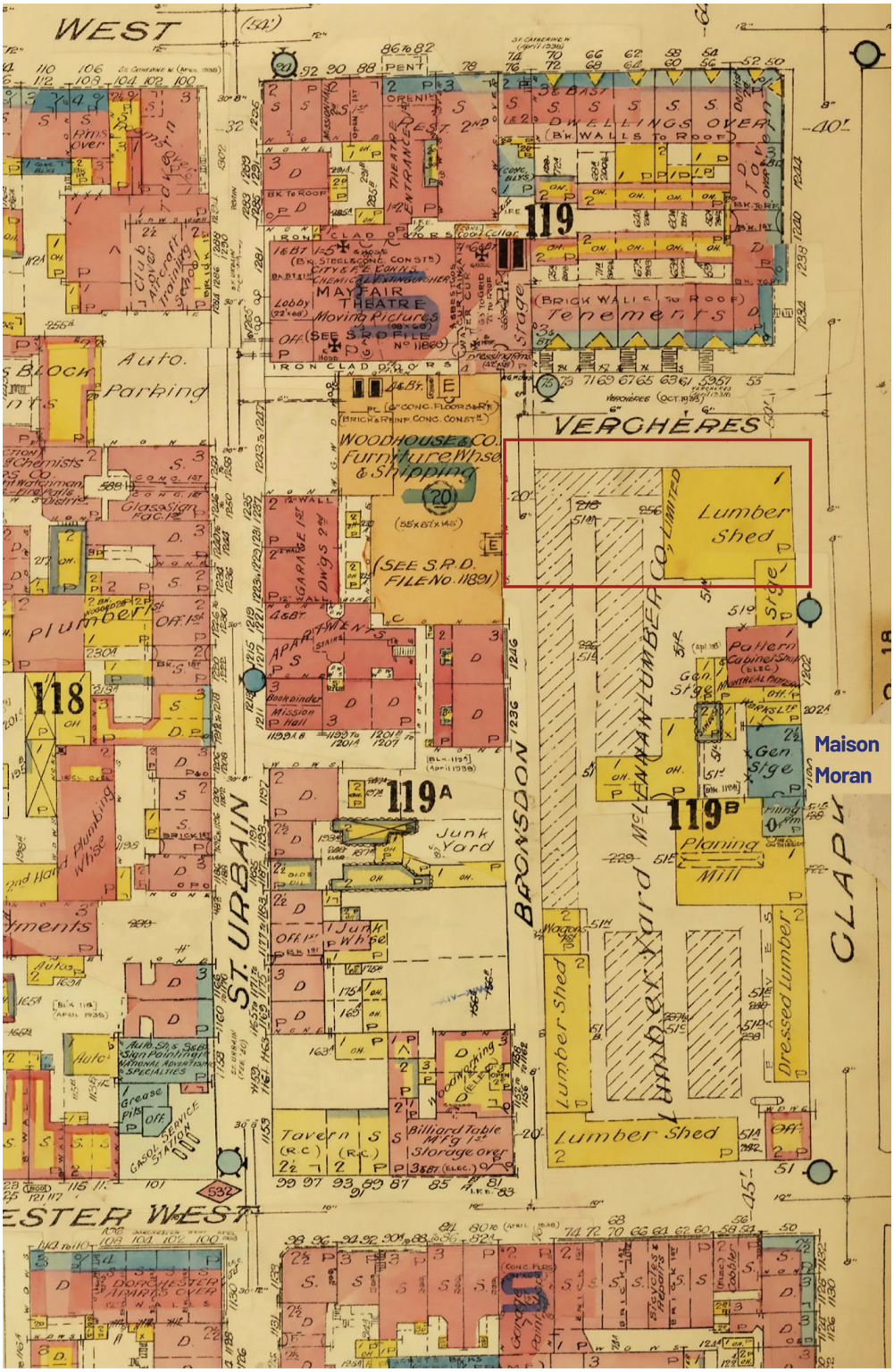


Figure 24 - Extrait du plan d'assurance incendie d'Underwriters' dressé en 1940. L'emplacement approximatif de l'aire d'étude est indiqué par un polygone rouge

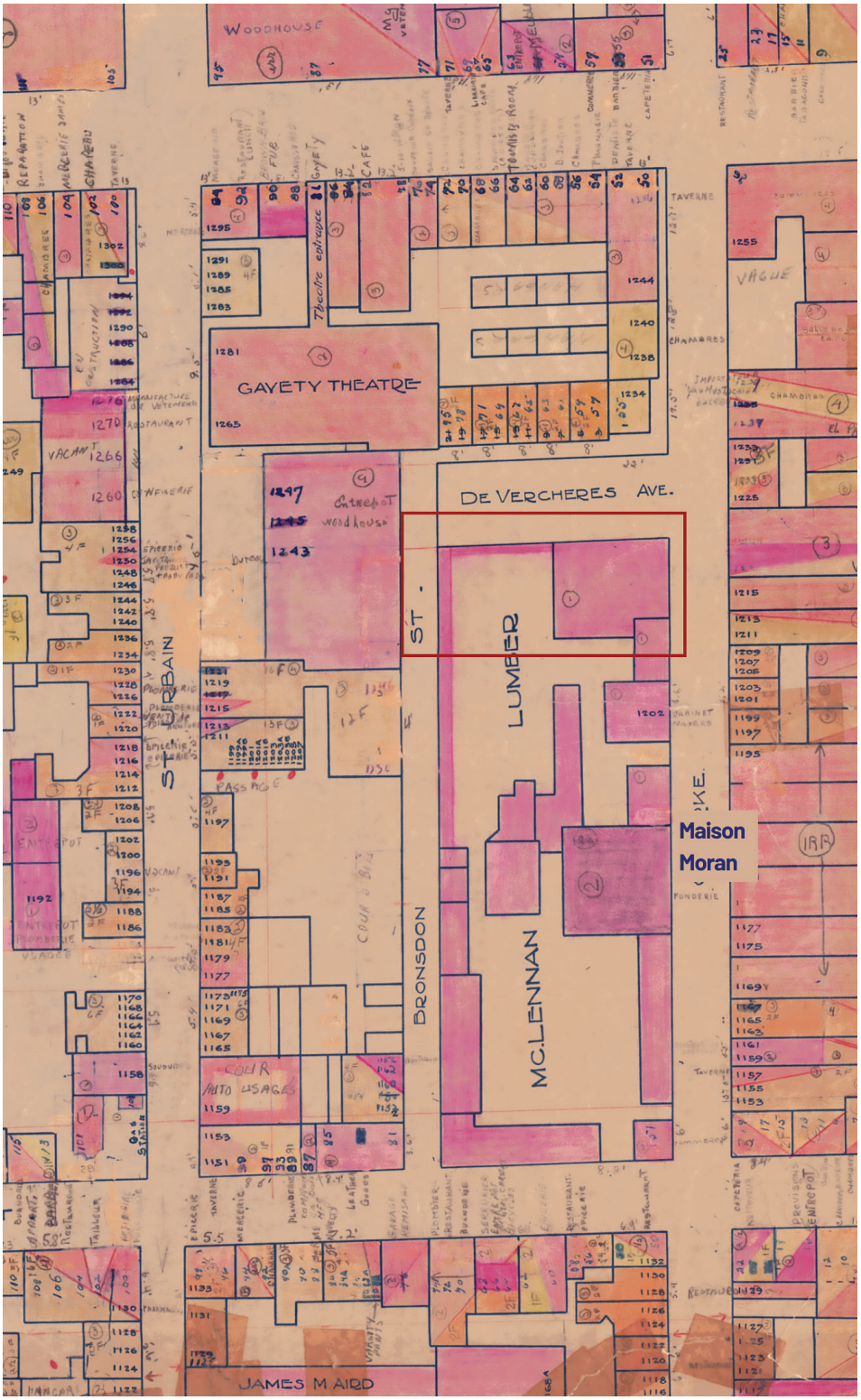


Figure 25 - Extrait du plan détaillé d'occupation des sols effectué en 1946. On y voit que la maison Moran est alors occupée par une fonderie et qu'un bâtiment de brique, un peu au nord, est utilisé par des fabricants d'armoires. L'emplacement approximatif de l'aire d'étude est indiqué par un polygone rouge



Figure 26 - Photo de la maison Moran et du bâtiment occupé par la Montreal Cabinet & Pattern works prise en 1946 par Gérard Morisset



Figure 27 - Photographie aérienne du secteur prise en 1958 lors de la préparation du terrain en vue de la construction du siège social d'Hydro-Québec ainsi que du poste Dorchester. L'emplacement approximatif de l'aire d'étude est indiqué par un polygone rouge



Figure 28 - Photographie prise en 1958 des excavations effectuées en vue de la construction du siège social et du poste sous-terrain (Archives d'Hydro-Québec, H02/701773/75005-28)

6 ÉLÉMENTS PATRIMONIAUX CONNUS

Les éléments patrimoniaux répertoriés dans ce chapitre ont été sélectionnés en fonction de leur pertinence par rapport au secteur étudié. Leur emplacement est illustré à la carte 6.

6.1 Statut patrimonial et bien à statut

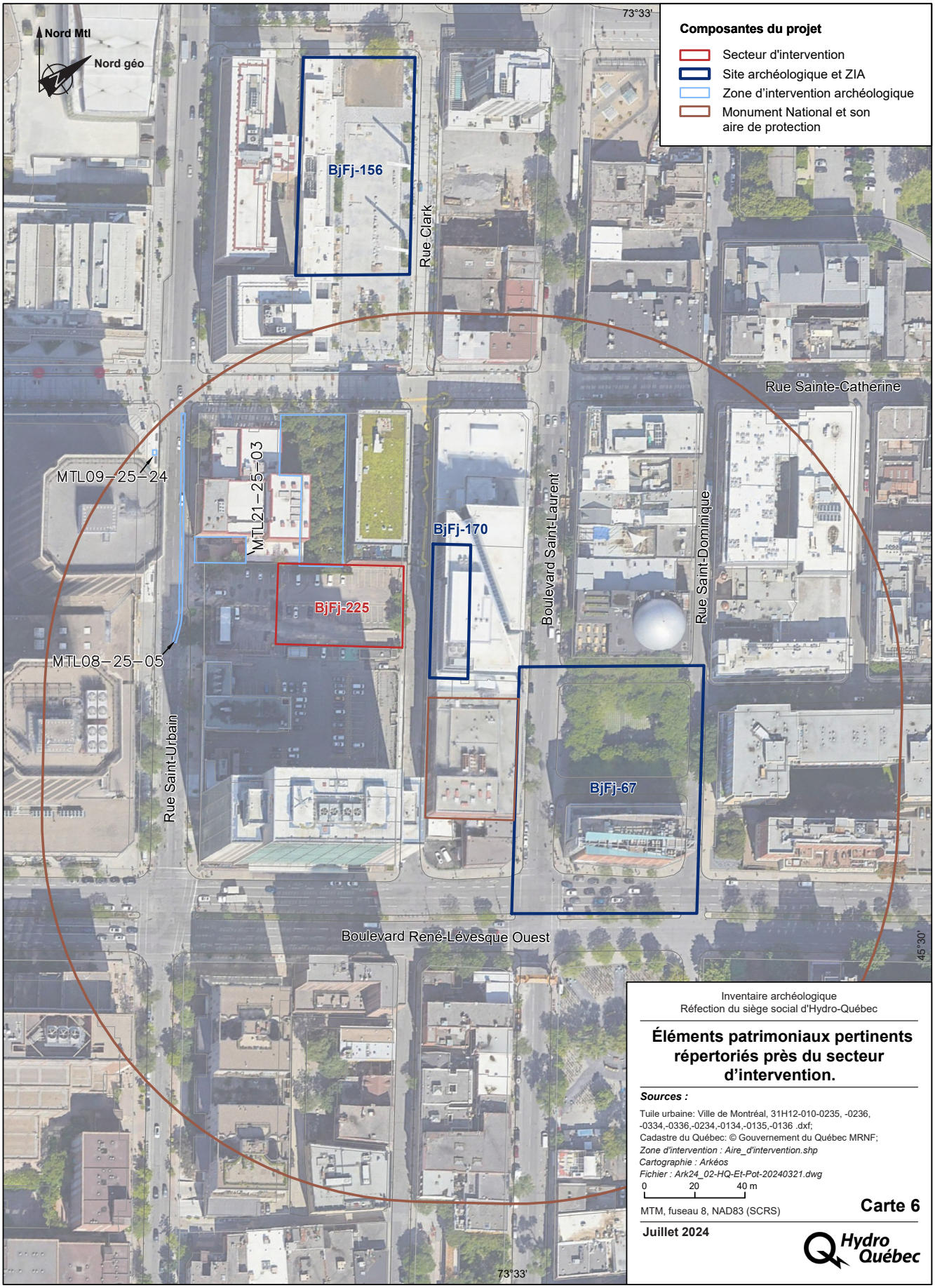
Le Monument-National, situé aux 1170 et 1182 boulevard Saint-Laurent, a été officiellement classé comme immeuble patrimonial en 1976, suivi de l'ajout d'une aire de protection deux ans plus tard. En 1985, il a été désigné lieu historique national du Canada. L'aire de protection patrimoniale vise à réguler les interventions à proximité de l'immeuble classé, telles que les constructions, afin de préserver sa valeur patrimoniale en assurant un environnement compatible[1]. Étant donné que le secteur d'intervention se situe à l'intérieur de l'aire de protection patrimoniale, il est soumis aux exigences légales associées à ce statut.

Érigé entre 1891 et 1894 à l'initiative de Laurent-Olivier David pour marquer le cinquantième anniversaire de l'Association Saint-Jean-Baptiste, le Monument-National occupe un emplacement auparavant détenu par Wurtele. Conçu par les architectes renommés Maurice Perrault, Albert Mesnard et Joseph Venne, cet édifice multifonctionnel se distingue par sa structure en acier novatrice et sa façade néo-Renaissance. Il est rapidement devenu un symbole de la résilience des Canadiens français dans la métropole. Pendant des décennies, il a abrité non seulement les activités administratives de l'Association Saint-Jean-Baptiste, mais aussi un théâtre, des commerces et des espaces culturels, contribuant à l'essor de nombreux artistes éminents. Acquis par l'École nationale de théâtre du Canada en 1971, le Monument-National continue de jouer un rôle crucial dans le paysage culturel et éducatif de Montréal (Répertoire du patrimoine culturel du Québec).

6.2 Sites et zones d'information archéologiques répertoriés

Comme abordé dans le chapitre 4, deux sites et une zone d'intervention archéologique situés à proximité du secteur d'intervention sont formellement associés à une occupation autochtone. Il s'agit des sites BjFj-133 et BjFj-140, où quelques tessons de poterie datant du Sylvicole supérieur récent (650-450 ans AA) ont été découverts. Le site BjFj-140 comprend également un fragment de gouge en pierre polie associée à l'Archaïque supérieur (6 800-3 000 ans AA). De plus, l'espace localisé au coin nord-ouest du boulevard René-Lévesque et de la rue Sanguinet (MTL-15-25-2, sous-opération 3Y) a également révélé des tessons de poterie semblant être associés au Sylvicole supérieur (1 000-450 ans AA). Ces découvertes témoignent de l'attrait que la rive droite (nord) du ruisseau Saint-Martin devait présenter pour les populations autochtones.

1 https://www.mcc.gouv.qc.ca/index-i=5082.html



Inventaire archéologique
Réfection du siège social d'Hydro-Québec

Éléments patrimoniaux pertinents répertoriés près du secteur d'intervention.

Sources :

Tuile urbaine: Ville de Montréal, 31H12-010-0235, -0236, -0334,-0336,-0234,-0134,-0135,-0136 .dxf;
Cadastre du Québec: © Gouvernement du Québec MRNF;
Zone d'intervention : Aire_d'intervention.shp
Cartographie : Arkéos
Fichier : Ark24_02-HQ-Et-Pot-20240321.dwg

0 20 40 m

MTM, fuseau 8, NAD83 (SCRS)

Carte 6

Juillet 2024

Hydro Québec

Document d'information destiné aux publics concernés par le projet. Pour tout autre usage, communiquer avec l'unité Géomatique, à Hydro-Québec.

Par ailleurs, l'ensemble des sites et zones d'information archéologique répertoriés ci-dessous recèle des ressources associées à des occupations eurocanadiennes, principalement liées au développement du faubourg Saint-Laurent au XIX^{e} siècle (1800-1899). Certaines données recueillies sur ces sites témoignent néanmoins de la période précédente, lorsque le secteur était principalement rural, ainsi que de la période moderne (post-1900), caractérisée par une densification et une industrialisation croissante du secteur.

6.2.1 Marché Saint-Laurent (BjFj-67)

Le site du marché Saint-Laurent est situé entre la rue Place du Marché, le boulevard René-Lévesque et la rue Sainte-Dominique, du côté est du boulevard Saint-Laurent. Sa portion sud englobe également la section nord du boulevard Saint-Laurent.

Le premier marché Saint-Laurent voit le jour en 1829. Construit en bois, il est resté un pôle d'attraction pour les commerces locaux malgré l'incendie de 1852. Le deuxième marché en forme de croix est construit en brique sur fondation de pierres en 1861. En 1890, des transformations ont été apportées pour répondre aux normes sanitaires, y compris un agrandissement du côté de la rue Saint-Laurent. Au cours des années 1960, le marché a été démoli pour faire place à un stationnement. Les matériaux structuraux en bois ont d'abord été démontés et enlevés du site en vue de leur revente, puis les murs ont été détruits, et leurs débris utilisés pour remplir la cave.

La place de la Paix a été aménagée dans la partie nord du site tandis qu'une construction a été érigée dans la partie sud. L'étude de potentiel archéologique relative à ce site remonte à 1990 (Hallé, 1990), conduisant à des fouilles en 1992 qui ont révélé des vestiges associés à différentes phases d'occupation. Outre un complexe résidentiel datant de la fin du XVIII^{e} siècle, des artéfacts liés au marché Saint-Laurent, à la pharmacie Goulden et à d'autres bâtiments commerciaux, ainsi que des éléments d'infrastructures urbaines, ont été découverts. Des forages ont également révélé la présence de caves profondes dans la quasi-totalité du secteur nord.

Les occupations résidentielles documentées sur le site sont principalement associées à la période 1780-1830, avec certains éléments préservés sous le niveau de rue datant de la construction du premier marché en 1830. Les phases ultérieures, notamment liées au deuxième marché, ont également révélé des vestiges significatifs, dont des structures en pierre et en béton et des fondations du XX^{e} siècle. Cependant, la construction des caves plus profondes a entraîné la disparition des niveaux antérieurs à 1860 dans certaines parties du site.

Concernant les occupations commerciales, un bâtiment avec cave a été identifié au coin sud-ouest des rues Saint-Dominique et Place du Marché Sud. Les artéfacts associés à la pharmacie Goulden, en activité de 1865 à 1886-1887, comprennent des éléments tels que des conduites d'eau en plomb et des flacons en verre pharmaceutique de la seconde moitié du XIX^{e} siècle.

Des infrastructures urbaines, telles que des égouts, des conduites d'aqueduc et des bordures de trottoir, datant de la deuxième moitié du XIX^{e} siècle et du XX^{e} siècle, ont été observées dans des tranchées réalisées dans les rues avoisinantes, bien que certains niveaux inférieurs aient été affectés par des travaux d'installation de services publics antérieurs (Arkéos, 1993, 1995 ; Arkéos et Archéocène, 1994 ; Ethnoscop, 2010).

Enfin, des fouilles archéologiques réalisées lors de la reconstruction du poste De Lorimier en 2015-2016 ont permis de découvrir huit autres vestiges entre le boulevard Saint-Laurent et la rue Saint-Dominique, notamment des maçonneries de bâtiments datant du XIX^{e} siècle et des restes d'une cendrière intégrée ayant abrité la pharmacie Goulden et un théâtre avant leur démolition (Ethnoscop, 2017).

6.2.2 L'îlot Clark (BjFj-156)

Le site BjFj-156 se trouve dans le quadrilatère délimité par les rues Sainte-Catherine au sud, Saint-Urbain à l'ouest, De Montigny au nord et Clark à l'est. En 2010, des inventaires et des fouilles archéologiques ont été entrepris en prévision de l'aménagement d'une esplanade sur la partie est de l'îlot Clark, dans le cadre du développement du Quartier des Spectacles. Préalablement, une étude de potentiel avait été réalisée, suivie de sondages de caractérisation des sols (Archéotec, 2012a, 2012b).

Les fouilles estivales de 2010 ont révélé une abondance de vestiges liés à l'évolution de la trame urbaine de Montréal, du milieu du XVIII^{e} siècle au milieu du XX^{e} siècle. Des traces d'activités agricoles remontant au XVIII^{e} siècle ont été découvertes en surface du sol naturel stérile. Les fouilles ont également mis au jour des éléments du début du développement résidentiel de l'îlot, incluant les fondations d'une maison érigée par Joseph Bertrand entre 1795 et 1842, ainsi que celles de quatre autres maisons construites au cours de la première moitié du XIX^{e} siècle. Dans deux de ces maisons, des élargissements circonscrits à l'intérieur du mur de fondation ont été identifiés, probablement pour accueillir des foyers et des cheminées. Les vestiges d'un immeuble locatif érigé à la fin du XIX^{e} siècle ont également permis d'illustrer la densification du Faubourg Saint-Laurent. Les preuves de son industrialisation ont été apportées par les fondations d'un bâtiment ayant servi d'entrepôt puis de manufacture, d'une usine de tôlerie et d'un garage.

Les améliorations des infrastructures urbaines, telles que l'approvisionnement en eau et l'évacuation des eaux usées, ont également été bien documentées. Les fouilles ont notamment révélé un puits de surface, des latrines, des drains en bois, des canalisations en grès et en fonte, ainsi que des tuyaux en plomb (Archéotec, 2012a).

6.2.3 Carré Saint-Laurent (BjFj-170)

Le site BjFj-170 est situé le long de la rue Clark, à l'ouest du Monument-National, dans le quadrilatère formé par les rues Clark, Sainte-Catherine, ainsi que les boulevards Saint-Laurent et René-Lévesque. Situé dans l'aire de protection du Monument-National, il a été soumis à une étude de potentiel archéologique en 2009 en prévision d'un vaste projet immobilier dans le secteur (Arkéos, 2009).

Les travaux de développement ont commencé quelques années plus tard, accompagnés de forages techniques supervisés et d'un inventaire archéologique en 2014 (Artefactuel, 2014, 2015), suivis d'une supervision archéologique en 2016 (Artefactuel, 2017).

Ces interventions ont permis d'identifier, sur le sol naturel, un niveau organique (3E2) contenant des fibres végétales, interprété comme étant l'ancienne berge du ruisseau de la côte à Baron, qui se trouvait autrefois à proximité du terrain. Ce niveau, situé à une altitude de 22,10 m NMM, semble correspondre à celui observé lors des fouilles du stationnement d'Hydro-Québec (site BjFj-225) dont traite ce rapport. Les sols d'occupation et les vestiges découverts témoignent de l'occupation domestique du site, allant de la fin du XVIII^{e} au XX^{e} siècle.

Parmi les découvertes archéologiques, on note entre autres certains murs de fondation et l'âtre d'une résidence construite en 1872 et démolie entre 2009 et 2012, ainsi que les fondations d'un bâtiment érigé avant 1872 et démoli entre 1872 et 1890. Les pilotis d'un entrepôt construit en appentis, ainsi que les vestiges d'une glacière, d'une laiterie ou d'un caveau en pierres datant de la fin du XVIII^{e} siècle et réutilisé au début du XX^{e} siècle, ont également été découverts. Un bâtiment secondaire, dont le sol d'occupation se superpose stratigraphiquement à ces vestiges, a été documenté. Celui-ci aurait probablement été érigé hors sol avant 1872 et démoli avant 1940.

6.2.4 Rue Saint-Urbain (MTL08-25-05 et MTL09-25-24)

La première intervention archéologique sur la rue Saint-Urbain a été menée par Ethnoscop en 2007 (MTL08-25-05), avant l'enfouissement d'une ligne électrique. Lors de cette intervention, les vestiges de cinq bâtiments, datant des XIX^{e} et XX^{e} siècles et utilisés à des fins commerciales, ont été découverts. Un mur déstructuré par la mise en place d'un pieu de bois a également été observé, ainsi qu'une structure de bois dont la vocation n'a pas pu être déterminée. Une structure maçonnée, interprétée comme un ponceau permettant de traverser le petit affluent du ruisseau de la côte à Baron, a également été identifiée entre deux bâtiments sur l'ancien lot cadastral 372. Ces éléments ont été observés sur le sol naturel remanié, à une altitude d'environ 21,60 mètres NMM. De plus, un niveau d'occupation a été repéré à 1,00 mètre sous le niveau du sol actuel (Ethnoscop, 2009).

L'intervention MTL09-25-24, également menée par Ethnoscop sur la rue Saint-Urbain en face du TNM, a révélé un tissu archéologique grandement perturbé par l'enfouissement de services d'utilités publiques. Malgré cela, des dépôts naturels stratifiés, témoignant de la proximité du ruisseau de la côte à Baron, ont été observés, tandis que les sols naturels d'origine apparaissent à environ 0,75 mètre sous le niveau du sol actuel (Ethnoscop, 2015).

6.2.5 TNM (MTL21-25-03)

L'inventaire archéologique effectué en 2021 sur le site du Théâtre du Nouveau Monde (TNM), dans le cadre de l'extension des quais de chargement du théâtre situé au sud-ouest de l'édifice, a révélé des contextes stratigraphiques associés à la construction de l'ancien bâtiment de la *Woodhouse & Co* entre 1912 et 1920, ainsi qu'à sa démolition entre 1991 et 1997. Les données de cet inventaire confirment que la tranchée de fondation du bâtiment avait une largeur de plus de 1,20 mètre et une profondeur minimale de deux à trois mètres. Aucun dépôt archéologique significatif, y compris les couches superficielles du sol naturel, n'a été préservé à l'intérieur du bâtiment ni dans son emprise. Par conséquent, la construction du bâtiment a entraîné la suppression des contextes stratigraphiques plus anciens sur une largeur de plus de 1,20 mètre et une profondeur de plus de deux à trois mètres, à la fois à l'intérieur de ses limites et autour de celles-ci (Arkéos, 2022). Ces observations ont permis de délimiter avec précision les zones présentant un potentiel archéologique lors de la planification des travaux de réaménagement du stationnement à l'arrière du siège social d'Hydro-Québec.

6.2.6 Parc Hydro-Québec

L'aménagement du parc Hydro-Québec, entre le TNM et la Maison du Développement Durable, en 2011, a été suivi d'une supervision archéologique des travaux. De nombreux vestiges ont été découverts lors de ces travaux, notamment les fondations de trois à quatre bâtiments associés au projet immobilier de la succession Beaudry, lancé vers 1889, ainsi que quelques zones de circulation et ce qui a été interprété comme étant des latrines. La superficie du parc Hydro-Québec fait partie du même lot du cadastre original que celui du secteur d'intervention concerné par le présent rapport, et son occupation y est étroitement liée. Cependant, les données recueillies lors de la supervision de 2011 sont très succinctes, ce qui rend difficile leur utilisation pour compléter les données collectées lors des travaux de 2023.

Il semble néanmoins raisonnable de reconsidérer les latrines 1K et 1L comme étant plutôt associées à un secteur d'entreposage et de « dépotoir » situé entre la ruelle Bronsdon et le passage privé. De même, le puits géotechnique 1G, creusé un peu plus au sud à l'emplacement prévu pour une clôture, semble également appartenir à ce secteur (Archéotec, 2012c).

6.2.7 Découvertes fortuites ayant mené à la désignation du site BjFj-225

En novembre 2021, lors des travaux de caractérisation géotechnique réalisés dans le stationnement du siège social d'Hydro-Québec à Montréal, des vestiges archéologiques ont été mis au jour dans deux des quatre tranchées exploratoires. Les tranchées géotechniques 1 et 2, situées à proximité de la rue Clark, ont révélé des alignements de pierres orientés nord-sud et est-ouest très proches de la surface, ainsi que divers fragments de céramique (Willow Ware, Iron Stone Ware, grès), de verre, d'ossements, de valves d'huîtres, de charbon, et des éléments de construction (briques, clous, mortier). En revanche, les tranchées 3 et 4, situées près de la rue Saint-Urbain, n'ont montré que des remblais modernes. Les sols naturels ont été identifiés à des niveaux variant entre 1,20 et 2,20 mètres de profondeur (Perron, 2021).

7 RÉSULTATS

Ce chapitre présente les résultats de la fouille archéologique du site BjFj-225 et décrit les contextes constitutifs de la séquence stratigraphique, regroupés selon la nature des occupations qu'ils illustrent. La caractérisation descriptive des contextes inclut les types de dépôts (remblai, aménagement de surface, dépotoir, etc.), leur composition sédimentaire, leur insertion stratigraphique, les vestiges structurels associés et leur contenu matériel. L'analyse de l'organisation et du contenu des contextes permet également leur interprétation en lien avec les données historiques connues. Un résumé de l'évolution historique du secteur décrite au chapitre 5 a été illustré dans une ligne du temps (figure 29).

Pour pallier la complexité du site, il est essentiel d'utiliser des termes uniformisés et précis pour nommer les différents espaces d'occupation. La figure 30 présente un schéma du site ainsi que la correspondance des termes utilisés lors de la description des diverses observations archéologiques et historiques mentionnées dans le présent rapport.

La carte 7 présente l'ensemble des sous-opérations effectuées ainsi que les structures mises au jour et la localisation des coupes stratigraphiques relevées. Le lecteur est également invité à consulter le tableau 2 présenté au chapitre 2, qui regroupe les caractéristiques des structures mises au jour, ainsi que le tableau 4, identifiant l'ensemble des sols fouillés (lots et couches) et les associe aux divers événements interprétés sur le site BjFj-225. Rappelons enfin que les annexes regroupent divers éléments ayant permis la mise en forme de ce chapitre et venant appuyer la discussion, qu'il s'agisse des coupes stratigraphiques (annexe 1), des analyses spécialisées (annexes 2 à 5) ou des données relatives à la culture matérielle (les tableaux de distribution présentés dans ce chapitre se trouvent à l'annexe 6, inventaire et fiches des objets catalogués à l'annexe 7).

7.1 Présentation de la séquence stratigraphique

Malgré la complexité de l'occupation du site BjFj-225 qui s'échelonne sur plus de trois siècles, une tendance stratigraphique claire a été observée. Cinq grands événements ont marqué le profil sédimentaire du terrain depuis l'émersion des terres (figure 31).

Le premier événement significatif est l'établissement agricole, qui a commencé dans la seconde moitié du XVII^{e} siècle et s'est poursuivi jusqu'au début du XIX^{e} siècle. Des activités telles que le défrichage, le labourage et la construction de bâtiments ont laissé des traces au-dessus des sols naturels.

Le second événement concerne l'apport d'un remblai composé de résidus de fabrication de potasse, déposé en plusieurs étapes durant la première moitié du XIX^{e} siècle. Bien qu'il soit directement lié à la production de potasse de la manufacture Mallard-Beaudry, ce remblai uniforme sur toute la moitié est du site semble aussi avoir été utilisé pour rehausser le niveau du terrain, vraisemblablement sujet aux inondations.

Le troisième événement correspond à l'urbanisation du secteur, précipitée par l'incendie de la manufacture Mallard-Beaudry en 1843 et à son occupation intensive à des fins domestiques jusqu'à la fin du XIX^{e} siècle. Cet événement a laissé les transformations les plus marquantes du site, tant par la quantité d'artéfacts retrouvés que par les nombreuses transformations du territoire.

Le quatrième événement concerne la démolition des bâtiments résidentiels et la transformation du secteur en site industriel. Cet événement a scellé les niveaux associés à l'occupation domestique du site. Les témoins de cette période sont peu nombreux, car l'excavation plus profonde liée aux travaux de réaménagement du stationnement s'est principalement réalisée au nord de l'ancien lot industriel.

Enfin, le cinquième événement réfère à la construction du siège social et du poste souterrain d'Hydro-Québec en 1958, ainsi qu'à l'aménagement du stationnement. Cet événement a eu des impacts destructifs sur une grande partie du lot, mais a également permis de préserver les traces des occupations passées sous le stationnement. Cet événement est visible par les perturbations récentes du site, le nivellement des sols déposés lors des événements précédents, ainsi que les aménagements de surface. Avant les travaux de réaménagement, la surface du stationnement à l'intérieur du site archéologique présentait une légère pente descendante vers l'ouest. L'élévation moyenne de l'extrémité est était d'environ 22,90 m NMM, tandis que celle de l'extrémité ouest se situait à 20,60 m NMM.

À l'intérieur de ces cinq grands événements ayant marqué le profil sédimentaire du site se trouvent plusieurs événements, récurrents ou ponctuels, avec des impacts à plus ou moins long terme qui ont contribué à enrichir la séquence stratigraphique.

7.2 Sols naturels

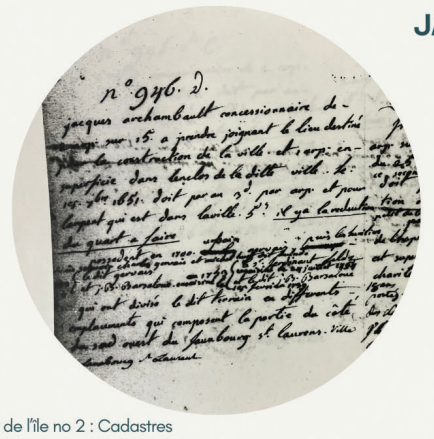
Le sol naturel constituant l'assise sédimentaire du site BjFj-225 est une séquence de sols hydromorphes, dont les couches inférieures renferment des éléments grossiers caractéristiques du till (photo 1). Ces dépôts sont recouverts d'une épaisse couche litée alternant sable fin gris, brun pâle et rouille, évoluant vers une matrice plus limoneuse et argileuse en surface (photo 2).

ÉVOLUTION HISTORIQUE DU SECTEUR

LE SECTEUR EST EN PARTIE MARÉCAGEUX ET TRAVERSÉ PAR UN RUISSEAU AU COURS CHANGEANT.

JACQUES ARCHAMBAULT | 1651

Concession d'origine de 2 arpents de largeur par 15 arpents de profondeur de la terre 946D.



Terrier de l'île no 2 : Cadastres
504 à 983, GDAVM, P073, D15-12

PETIT À PETIT, LA TERRE EST AMÉNAGÉE POUR LA RENDRE EXPLOITABLE À DES FINS AGRICOLES. UNE MAISON, UNE GRANGE ET UNE ÉTABLE SONT CONSTRUITES AU SUD DE LA TERRE, PRÈS DE LA VILLE FORTIFIÉE.

IL EST POSSIBLE QUE L'EXPLOITATION AGRICOLE DU SECTEUR À L'ÉTUDE AIT COMMENCÉ DÈS LE DÉBUT DU XVIIIE SIÈCLE.

1688 C. | ANNE ARCHAMBAULT

1699 C. | CHARLES GERVAIS



Vachon de Belmont
1702

1753 | Héritiers de Charles Gervais

FERDINAND FELTZ | 1754

Acquisition de la moitié ouest de la concession d'origine identifiée au no 946D du terrier de l'île et morcellement spéculatif.

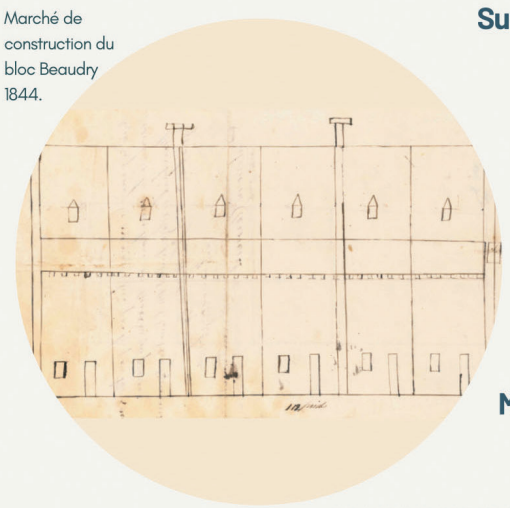
1754/57 | NICOLAS MORAN

Achat et échange de plusieurs parcelles de la terre acquise par Feltz

CONSTRUCTION DE LA MAISON MORAN ET AUTRES BÂTIMENTS.
LE TERRAIN COMPREND ÉGALEMENT UN VERGER CLÔT.

Succession Nicolas Moran | 1770

Marché de construction du bloc Beaudry 1844.



1775 | ANDRÉ GUY

Acquisition du lot 63B

CONSTRUCTION D'UNE MAISON EN FRONT SUR LA RUE SAINTE-CATHERINE.
MISE EN LOCATION DE TOUS LES BÂTIMENTS DU TERRAIN.

1800 | ANTOINE MALLARD DIT DESLAURIERS

Acquisition du lot 63B

1800/04 | CONSTRUCTION DE LA MANUFACTURE MALLARD-BEAUDRY

Marie Catherine Hurteau | 1823

1824 | PIERRE BEAUDRY

1826 C. | CONSTRUCTION DE LA MAISON DE RODGER MCGILL AU NORD DE LA MANUFACTURE

INCENDIE DE LA MANUFACTURE MALLARD-BEAUDRY | 1843

1844 | FRANÇOIS-XAVIER BEAUDRY

En jouissance, sa vie durant

1845 - DÉBUT DE LA CONSTRUCTION DU BLOC BEAUDRY À PARTIR DES RUINES DE LA MANUFACTURE ET DE LA MAISON MCGILL.
RÉAMÉNAGEMENT DE L'ÉCURIE ET AMÉNAGEMENT DES COURS ARRIÈRE.

RACCORD DES LOGEMENTS À L'AQUEDUC | 1860 C.

CATHERINE VALLÉE ET SES ENFANTS. | 1885

DÉMOLITION DE LA MOITIÉ NORD DU BLOC BEAUDRY | 1888/89

Consrtuction du siège social.
Archives d'Hydro-Québec



DÉMOLITION DE LA MOITIÉ SUD DU BLOC BEAUDRY | 1908

1908 | HERMINE BEAUDRY

En fiducie après son décès en 1931

OCCUPATION PROGRESSIVE DES SECTEURS VACANTS PAR LA COUR À BOIS ET D'AUTRES INDUSTRIES

JOSEPH AMÉDÉE BONNEAU ET LÉONARD WILLIAM HALLIDAY | 1946

Héritiers Bonneau et Léonard William Halliday | 1953

1956 | HYDRO-QUÉBEC

1958/62 | CONSTRUCTION DU SIÈGE SOCIAL ET DU POSTE SOUS-TERRAIN

Figure 29 - Ligne du temps présentant l'évolution historique du secteur à l'étude

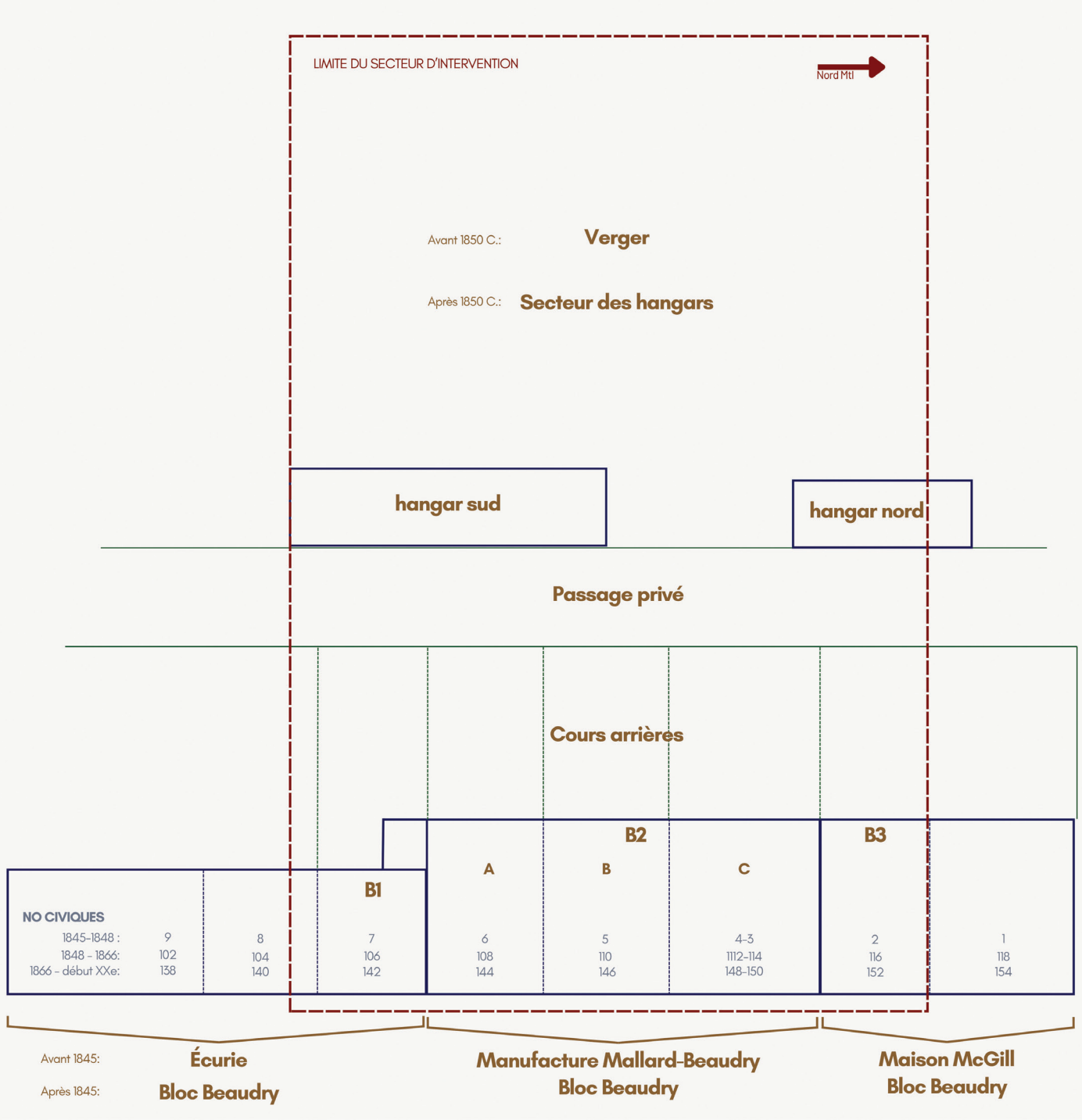


Figure 30 - Schéma du site indiquant la nomenclature utilisée dans le présent rapport



Photo 1 - Sous-opération 1A — Niveau de till observé à la base de la séquence stratigraphique — Vue vers l'ouest (BjFj-225-23-N3-825)

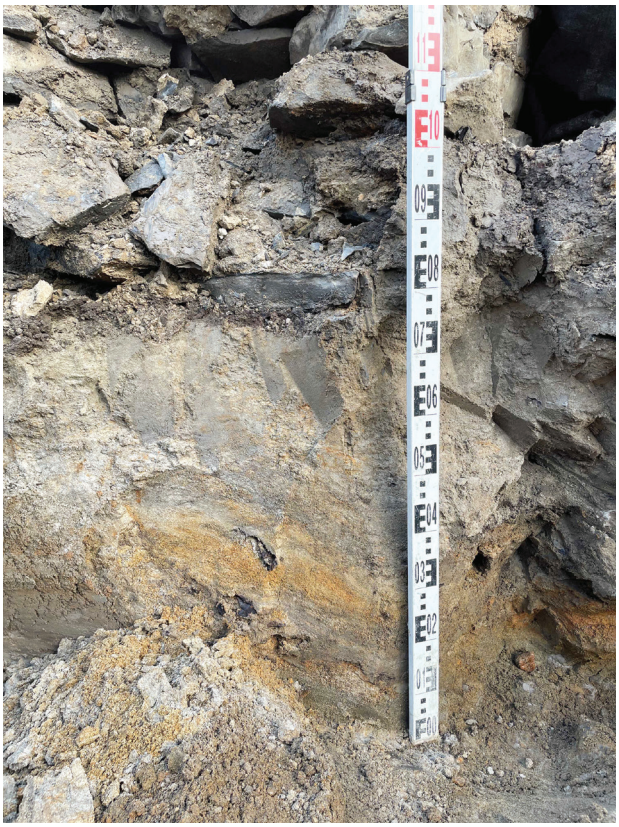


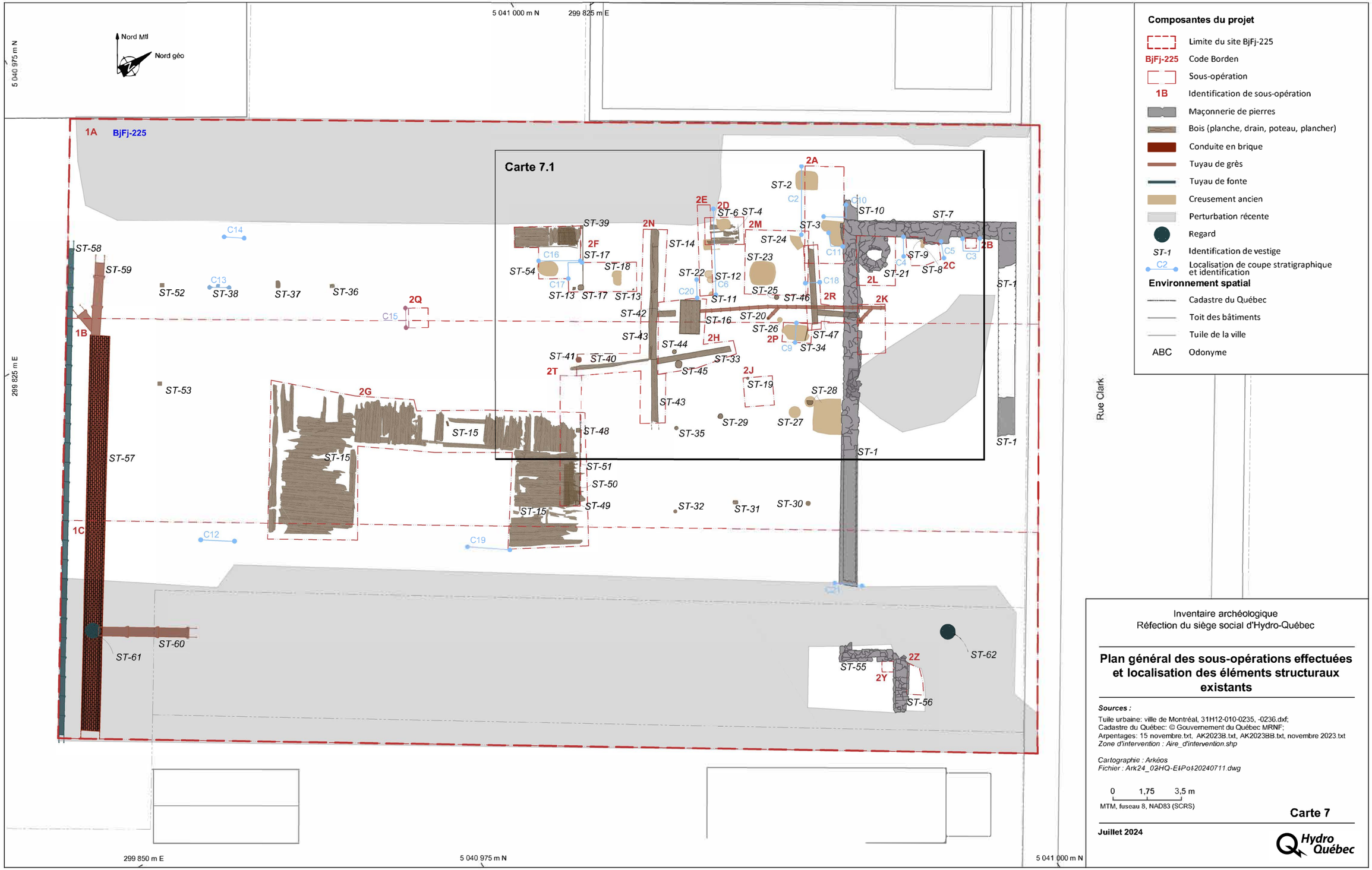
Photo 2 - Sous-opération 1A — Séquence des sols naturels observés sous la fondation ST-1 — Vue vers le nord-ouest (BjFj-225-23-N3-823)

Les différentes élévations de surface du sol naturel observées lors des activités archéologiques indiquent deux légers renfoncements. Le premier, situé dans la moitié ouest de la sous-opération 1A (le point le plus bas étant à 20,55 m NMM à l'emplacement de la coupe C14), et le second dans le quart est du site, à l'emplacement des bâtiments (le point le plus bas étant à 20,45 m NMM à l'emplacement de la coupe C21). À l'opposé, le sol naturel atteint son point le plus haut dans la portion ouest de 2C, à l'emplacement de C12, à une hauteur de 20,93 m NMM.



Photo 3 - Sous-opération 2C — Lot 2C10 associé à la présence d'un ancien marais — Vue vers le sud-ouest (BjFj-225-23-N3-598)

Un niveau de matière organique brun noirâtre très foncée, contenant beaucoup de morceaux de bois et d'écorce, a été observé dans les portions du site où le sol naturel a été rencontré plus profondément, notamment au nord-ouest (observé lors de l'excavation du drain pluvial) et dans tout le quart est du site (photo 3). Ce niveau est associé à la présence d'anciens secteurs marécageux avant l'anthropisation du terrain.



Composantes du projet

- Limite du site BjFj-225
- BjFj-225 — Code Borden
- Sous-opération
- 1B — Identification de sous-opération
- Maçonnerie de pierres
- Bois (planche, drain, poteau, plancher)
- Conduite en brique
- Tuyau de grès
- Tuyau de fonte
- Creusement ancien
- Perturbation récente
- Regard
- *ST-1* — Identification de vestige
- C2 — Localisation de coupe stratigraphique et identification

Environnement spatial

- Cadastre du Québec
- Toit des bâtiments
- Tuile de la ville
- ABC — Odonyme

Inventaire archéologique
Réfection du siège social d'Hydro-Québec

Plan général des sous-opérations effectuées et localisation des éléments structuraux existants

Sources :

Tuile urbaine: ville de Montréal, 31H12-010-0235, -0236.dxf;
Cadastre du Québec: © Gouvernement du Québec MRNF;
Arpentages: 15 novembre.txt, AK2023B.txt, AK2023BB.txt, novembre 2023.txt
Zone d'intervention : Aire_d'intervention.shp

Cartographie : Arkéos
Fichier : Ark24_02HQ-EtPot20240711.dwg

0 1,75 3,5 m
MTM, fuseau 8, NAD83 (SCRS)

Carte 7

Juillet 2024

Hydro Québec

Document d'information destiné aux publics concernés par le projet. Pour tout autre usage, communiquer avec l'unité Géomatique, à Hydro-Québec.



Inventaire archéologique
Réfection du siège social d'Hydro-Québec

Plan général des sous-opérations effectuées et localisation des éléments structuraux existants (Feuillet 1)

Sources :

Tuile urbaine: ville de Montréal, 31H12-010-0235, -0236.dxf;
Cadastre du Québec: © Gouvernement du Québec MRNF;
Arpentages: 15 novembre.txt, AK2023B.txt, AK2023BB.txt, novembre 2023.txt
Zone d'intervention : Aire_d'intervention.shp

Cartographie : Arkéos
Fichier : Ark24_02-HQ-Et-Pot-20240711.dwg

0 0,75 1,5 m
MTM, fuseau 8, NAD83 (SCRS)

Carte 7.1

Juillet 2024

Hydro Québec

Document d'information destiné aux publics concernés par le projet. Pour tout autre usage, communiquer avec l'unité Géomatique, à Hydro-Québec.

Tableau 4 - Corrélation lots-couches

ÉVÈNEMENTS	DATATION	IDENTIFICATION			LOTS ET COUCHES	VESTIGES
Sol naturel	-	Sol naturel stérile			2B6 (C3-8), 2C11 (C4-9; C5-11), 2E19 (C6-17), 2H22, 2K11, 2Q8 (C15-8), 2Q9 (C15-9), 2T10, C10-13, C12-12, C13-8, C14-8, C16-15, C18-5, C21-13	-
	XVI[e] s.	Marais			2B5 (C3-6 et 7), 2C10 (C4-8; C5-10), 2K10, 2Y5, C10-12, C11-12, C18-4, C21-12	-
Activités agricoles (1651-1800)	Fin XVIII[e] s.	Occupation sommaire			2E16 (C6-16)	-
	Fin XVIII[e] s.- Début XIX[e] s.	Canalisation agricole			2F30 (C16-13)	-
		Labour			1C9 (C12-11), 2A8 (C10-11), 2B3 (C3-4), 2C8 (C4-5 et 7; C5-7 et 9), 2E15 (C6-15), 2F29 (C16-13), 2K7, 2P8 (C9-8), 2Q7 (C15-7), 2Y4, 2Z4, C11-11, C13-7, C14-7, C18-3, C21-11	-
		Déblais liés à l'aménagement initial du terrain			1A8, 1C8 (C12-10), 2B2 (C3-3), 2C7 (C4-4; C5-5), 2Y3, 2Z3, C10-10, C11-10, C12-10, C13-6, C14-6, C18-2, C21-10	-
Activités manufacturières et domestiques (1800-1843)	Début XIX[e] s.	Occupation et labour du début du XIX[e]			2E14 (C6-14; C20-6), 2M5, 2P7 (C9-7), 2T9	-
		Manufacture Mallard-Beaudry (B2)	Construction de B2 et du puits	Comblement de tranchée	2B4 (C3-5), 2C9 (C4-6; C5-8), C10-8	ST-1, ST-8, ST-9
				Déblais d'excavation du SNS	2C4, 2C5 (C4-2; C5-4), 2K5, 2K9, 2L3, C21-6	ST-1, ST-7 et ST-21
				Piétinement lors de la construction	C2-6, 2C6 (C4-3; C5-5), C10-7 et 9, C11-7 et 9, C21-9	ST-1, ST-7 et ST-21
				Remblais de résidus de construction	C21-7 et 8	ST-1, ST-7 et ST-21
	Deuxième quart du XIX[e] s.		Aménagement des drains de bois ST-46 et ST-47		2R2 (C18-1)	ST-46, ST 47
			Creusement indéterminé à l'arrière de la manufacture		C6-11	ST-14
	1827 *c.*		Aménagement d'une structure à l'arrière de la manufacture		2H14, 2H21	ST-45
	Première moitié du XIX[e] s.		Déblais de fabrication de potasse		2A2, 2A7 (C2-1, 2, 3, 4 et 5), 2E13 (C6-12; C20-5), 2E18 (C6-13),2F31, 2H13, 2H15, 2J3, 2J4, 2J5, 2M4, 2P6 (C9-6), 2Y1, C10-5 et 6, C11-5 et 6	ST-22
	1843		Utilisation / Incendie de la manufacture Mallard-Beaudry		1A7, 2L1, 2L2	ST-21
	Premier quart du XIX[e] s.	Écurie (B1)	Construction de B1	Piétinement lors de la construction	2Y2, 2Z2	ST-56
				Comblement de tranchée	2Z1	ST-56
	Entre 1825-1828	Maison McGill (B3)	Fondations maçonnées		C10	ST-10
Urbanisation (1843-1889)	Milieu du XIX[e] s.	Verger	Occupation verger		2Q4 (C15-4), 2Q5 (C15-5), 2Q6 (C15-6)	-
		Bloc Beaudry (B1, B2 et B3)	Déblais de nettoyage, démolition et reconstruction		2E3/2E6 (C6-3; C20-2), 2E5 (C20-1), 2E7 (C6-7; C20-3), 2E8 (C6-5), 2E9 / 2E10 (C6-8), 2E11 (C6-9), 2E12 (C6-10; C20-4), 2F11, 2F20	ST-54
	1845 *c.*		Aménagement du bloc Beaudry (B2)	Travaux de réaménagement	2A3	ST-3
	Deuxième moitié du XIX[e] s.			Vide sanitaire et déblais de construction	1A5, 2B1 (C3-1 et 2), 2C1 (C4-1b; C5-1), 2C2 (C4-1b; C5-1), 2C3 (C4-1a; C5-2), 2K3	-
	1845 *c.*		Aménagement du bloc Beaudry (B3)		C10-2, 3 et 4.	ST-10
	Deuxième moitié du XIX[e] s.		Vide sanitaire B2-A		C21-2 et 3	ST-1
			Vide sanitaire B2-B		1B11, 2K1, 2K4, 2K6, 2K8	ST-1
			Vide sanitaire B2-C		1A4, 1A5, 1A6, 2C1 (C4-1b)	ST-1
	1845 *c.*	Cours arrière et passage privé	Aménagement des clôtures		2F12, 2H17, 2T11	ST-17, ST-19, ST-30, ST-31, ST-32, ST-35, ST-41, ST-44, ST-48, ST-49, ST-51
	Deuxième moitié du XIX[e] s.		Aménagement des dépendances		2D4, 2D5, 2D6, 2E17 (C6-6), 1B9, 1B10	ST-6, ST-12 , ST-27, ST-28, ST-29
			Occupation du passage privé		2F3, 2F4, 2F14	ST-18
			Occupation cours arrière B2-B		1B6	ST-29
			Fosse à déchets dans cour arrière B2-C		2P1 (C9-2), 2P2 (C9-1), 2P3 (C9-3), 2P4 (C9-4), 2P5 (C9-5)	ST-34
			Occupation cour arrière B2-C		2D1, 2E1 (C6-1), 2E2 (C6-2), 2R1	-
			Occupation dépendances cours arrière B2-C		2D2, 2D3	ST-4
			Fosse à déchets dans cour arrière B3		2A6 (C1-3 et 4)	ST-2
			Occupation cours arrière B3		2A4 (C1-1), 2A5 (C1-2), 2A6, C10-1, C11-1, C21-4 et 5	-
	Milieu du XIX[e] s.	Système de gestion des eaux usées	Déblais d'excavations des drains de bois et latrines		2N1	ST-16, ST-33, ST-40, ST-42, ST-43
	1852 *c.*		Aménagement du drain de bois ST-33		2H16	ST-33
			Aménagement de la gouttière de bois ST-40		2N3	ST-40
			Aménagement du drain de bois ST-42		2H20	ST-42
			Aménagement du drain de bois ST-43		2N2	ST-43
	1859 *c.*		Construction des latrines St-16		2H8	ST-16
	Milieu du XIX[e] s.		Utilisation des drains de bois ST-46 et ST-47		2R3	ST-46, ST-47
	Deuxième moitié du XIX[e] s.		Utilisation des drains de bois du passage privé		2H11, 2H18, 2H19, 2N4, 2N5	ST-33, ST-42, ST-43, ST-40
	Dernier quart du XIX[e] s.		Aménagement du tuyau de grès ST-20		2K2, 2M6	ST-20
			Utilisation tuyau de grès ST-20		2H12	ST-20
			Dernière utilisation des latrines		2H9, 2H10	ST-16
	Milieu du XIX[e] s.	Secteur des hangars	Aménagement du secteur des hangars		2F26 (C16-10), 2F27 (C16-11), 2F28 (C16-12)	ST-52, ST-53
	Troisième quart du XIX[e] s.		Rejets sauvages dans le secteur des hangars		2F9 (C16-2 et C17-6), 2F10 (C16-3 et C17-7), 2F13 (C16-4 et C17-8), 2F15/2F16 (C16-5 et C17-9), 2F17 (C16-8 et C17-10), 2F18 (C16-6 et C17-11), 2F19 (C16-7), 2F25 (C16-9), 2T4, 2T5, 2T6, 2T7, 2T8	-
	Deuxième moitié du XIX[e] s.		Occupation du secteur des hangars		1C6 (C12-7), 1C7 (C12-9), 2F5 (C17-2), 2F6 (C17-3), 2F7 (C17-4), 2F8 (C16-1 et C17-5), 2Q1 (C15-1), 2Q3 (C15-3), 2T1, 2T2, C13-3, 4 et 5, C14-3, 4 et 5, C19-10	-
			Aménagement du hangar nord (ST-39)		2F23, 2F24	ST-39
			Occupation du hangar nord (ST-39)		2F21, 2F22,	ST-39
			Occupation du hangar sud (ST-50)		2T3	ST-50
			Assainissement de secteur des hangars		1C99, 2Q2 (C15-2), C12-8, C19-11	-
Transformation immobilière et industrialisation (1889-1958)	Fin du XIX[e] s.	Déblais de démolition B2, de ses dépendances et des autres bâtiments du secteur des hangars			1B4, 1B5, 1C5 (C12-6), 2F1, 2H2, 2H3, 2H4, 2H5, 2H6, 2H7, C19-9, C21-1	-
	Fin XIX[e]-début XX[e] s.	Rejets sauvages après démolition			2H1, 2J1, 2J2, 2M1, 2M2, 2M3	ST-23, ST-24
	Premier quart du XIX[e] s.	Aménagement de la clôture nord de la cour à bois			1B7, 2E4 (C6-4), 2F2 (C17-1), C13-2	ST-11, ST-13, ST-25, ST-28, ST-36, ST-37 ST-38
		Aménagement de la cour à bois			1B8, C12-5	ST-26
	Première moitié du XIX[e]-s.	Occupation de la cour à bois			2G1, 1C4 (C12-4), C19-4, 5, 6, 7 et 8	ST-15
Hydro-Québec (1958-aujourd'hui)	1959 c.	Démolition et préparation du terrain			1A1, 1A2, 1A3, 1B1, 1B2, 1B3, 1C1, 1C2, 1C3	-
	Deuxième moitié du XX[e]-s. - aujourd'hui	Aménagements récents du stationnement			C13-1	ST-57, ST-58, ST-59, ST-60, ST-61, ST-62
		Lit de pose			C12-1,2 et 3, C14-1 et 2, C19-1, 2 et 3	-
		Asphalte				-

Il avait également été mis au jour lors de l'intervention d'Artéfactuel dans le site BjFj-170 situé de l'autre côté de la rue Clark (Artefactuel, 2015 : 40). À l'endroit où est construit B2, le niveau fait environ 0,20 m d'épaisseur et sa surface se situe à une altitude moyenne de 20,60 m NMM. Il se réduit ensuite graduellement pour disparaître dans les secteurs où l'élévation du sol naturel est plus élevée. Vu l'épaisseur considérable du niveau associé à la présence marécageuse, il semble que ce type d'environnement ait perduré sur une relativement longue période.

Il est probable que le ruisseau de la côte à Baron ait traversé le secteur d'intervention à ces deux endroits. Certains plans anciens montrent que le ruisseau devait traverser le coin nord-est du site (voir figure 14), mais il semble qu'un de ses bras ait pu également le traverser le long du côté est du terrain, au niveau de la rue Clark.



Photo 4 - Sous opération 2H — Succession de sables fins et de dépôts horizontaux de matière organique observée sous la fosse de latrines ST-16 — Vue vers l'ouest (BjFj-225-23-N3-567)

Des indices de la variation du niveau hydrique, dû notamment à des crues, ont pu être notés sous la fosse de latrines ST-16 par la présence d'un niveau de sable fin à moyen grossier gris intercalé par une succession plus ou moins régulière de dépôts horizontaux de matière organique (lot 2H22, photo 4). Ce même type de niveau avait également été observé par Archéotec dans la sous-opération 1M lors de la supervision archéologique au parc Hydro-Québec (Archéotec, 2012 : 37).

7.3 Activités agricoles et débuts d'un établissement durable (1651-1800)

Bien que la terre ait pu être utilisée à des fins agricoles dès la fin du XVII^{e} siècle, le premier établissement durable du site s'est fait sous Nicolas Moran, qui construisit une première maison au sud de l'aire des travaux. Les traces archéologiques de ces premières occupations sont plutôt éparses et rares, probablement en raison de l'éloignement relatif du secteur d'intervention aux établissements initiaux du lot (carte 8).

Directement en surface du sol naturel, une mince surface d'occupation a été notée dans la sous-opération 2E, sous le niveau de labour (couche C6-16). Les quelques artéfacts y étant associés (lot 2E16, n=109) indiquent un niveau datant vraisemblablement de la deuxième moitié du XVIII^{e} siècle. Il s'agit notamment de tessons de terre cuite grossière (TCG) locale à glaçure incolore et tachetée verte, de faïence blanche, de *creamware*, de grès grossier (GG) rhénan gris, de grès fin (GF) homogène blanc à glaçure saline et de porcelaine fine dure européenne. À cela s'ajoutent des fragments de verre incolore au plomb, teinté régulier vert, teinté régulier turquoise et coloré vert

foncé associé à des contenants et bouteilles. L'assemblage est complété par quelques fragments de vitre en verre teinté régulier vert, des clous forgés et altérés, un coin en fonte, quelques fragments en fer indéterminé et quelques écofacts (ossements et coquille). Le fait que ce niveau n'ait été observé qu'à cet endroit rend son interprétation plus difficile, mais il pourrait correspondre au début de l'établissement durable du secteur par Nicolas Moran.

La présence d'un creusement directement dans le sol naturel dans la sous-opération 2F semble également être indicative des premiers aménagements du secteur (couche C16-13). Ce creusement pourrait refléter l'aménagement d'un canal d'irrigation prenant sa source dans le ruisseau de la côte à Baron, qui coulait au nord, afin d'arroser les champs et vergers situés dans cette zone. Fouillé en 2F30, seul un fragment de pipe en terre cuite fine (TCF) argileuse blanche, sans marque ni décor, y était associé.

Sur la quasi-totalité du site, à une élévation oscillant entre 20,75 m et 21,00 m NMM, un labour d'environ 0,15 m d'épaisseur a été observé au-dessus des sols naturels et des sols associés au marais. Plutôt éloigné des premières habitations construites sur le terrain par Moran et Guy, le secteur contient un niveau de labour homogène, contenant des artéfacts fragmentés et dispersés uniformément dans le dépôt. Ces artéfacts sont principalement liés à des activités de consommation dans un contexte domestique, mais comprennent également des éléments architecturaux.

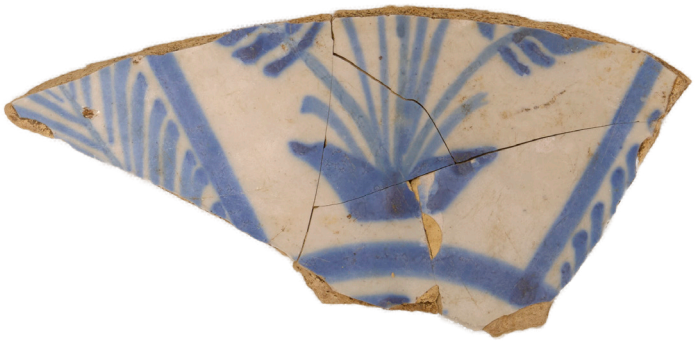
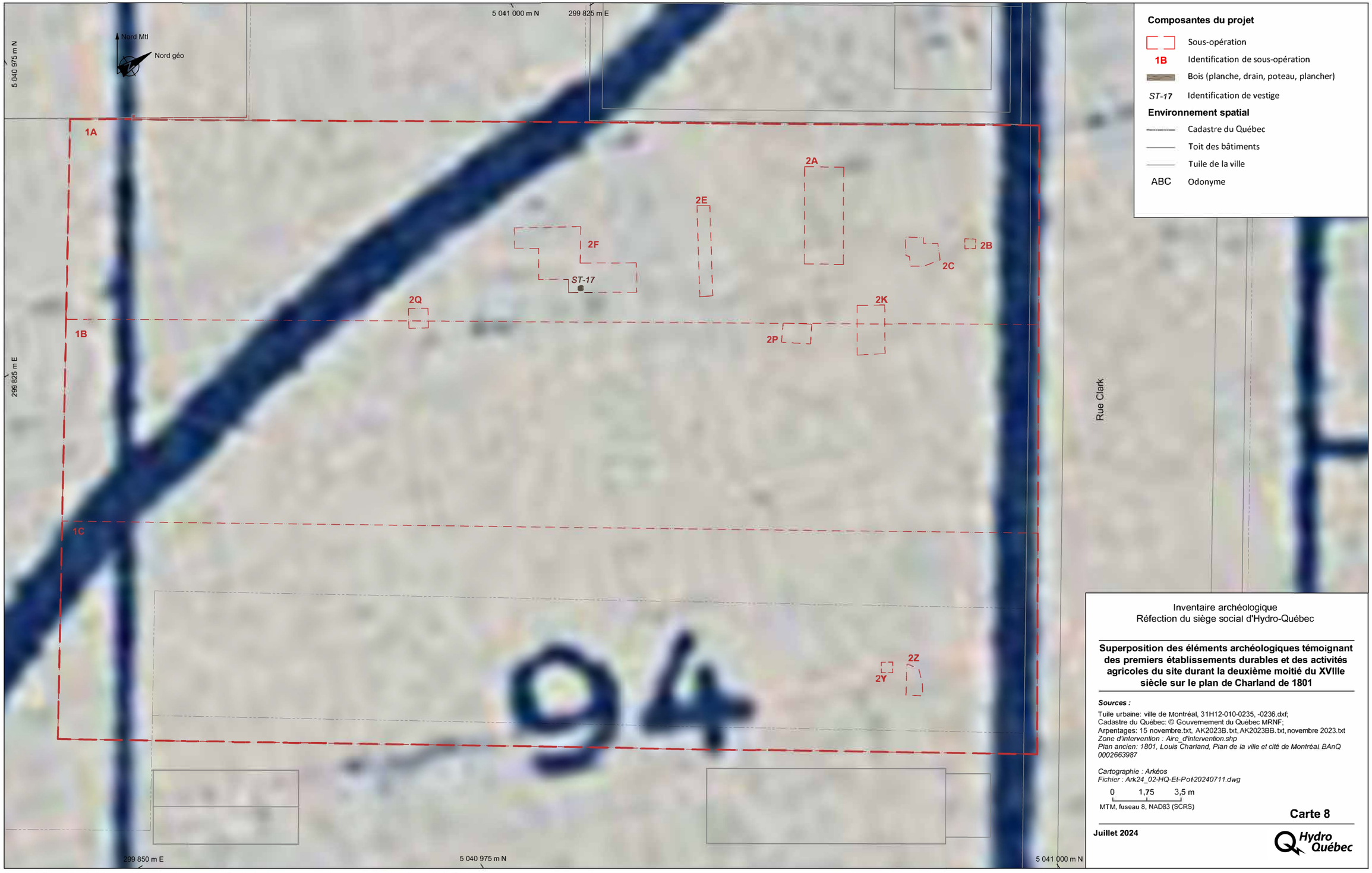


Photo 5 - Faïence blanche à décor peint sous la glaçure retrouvée dans le lot 2A8

L'assemblage regroupe 817 objets-témoins, dont plusieurs sont liés à l'occupation eurocanadienne initiale du site (tableau 5). Il s'agit notamment de tessons de TCG chamois à la glaçure verte, de TCG Biot, de TCG locale à la glaçure verte, incolore et à coloration multiple, de TCG Staff slip sans engobe, de faïence blanche et brune, de grès fin salin blanc, de grès grossier (GG) rhénan gris, de GG Nottingham ainsi que de porcelaine fine dure orientale et européenne (photo 5). À cela s'ajoutent quelques tessons de production légèrement plus tardive tel le *creamware*, la terre cuite fine (TCF) blanche, la TCF jaune à la glaçure claire et le grès fin *Black basalt* sans glaçure.

L'assemblage de verre comporte des contenants en verre incolore au plomb, en verre teinté régulier vert, en verre régulier turquoise et en verre vert foncé. On note également la présence de plusieurs fragments de vitre, des clous forgés, des fragments de fer indéterminé et des fragments d'ardoise. Parmi les menus objets, mentionnons la présence de plusieurs fragments de pipes à fumer sans



Inventaire archéologique
Réfection du siège social d'Hydro-Québec

Superposition des éléments archéologiques témoignant des premiers établissements durables et des activités agricoles du site durant la deuxième moitié du XVIIIe siècle sur le plan de Charland de 1801

Sources :

Tuile urbaine: ville de Montréal, 31H12-010-0235, -0236.dxf;
Cadastre du Québec: © Gouvernement du Québec MRNF;
Arpentages: 15 novembre.txt, AK2023B.txt, AK2023BB.txt, novembre 2023.txt
Zone d'intervention : Aire_d'intervention.shp
Plan ancien: 1801, Louis Charland, Plan de la ville et cité de Montréal. BAnQ 0002663987

Cartographie : Arkéos
Fichier : Ark24_02-HQ-Et-Pot-20240711.dwg

0 1,75 3,5 m
MTM, fuseau 8, NAD83 (SCRS)

Carte 8

Juillet 2024

Hydro Québec

Document d'information destiné aux publics concernés par le projet. Pour tout autre usage, communiquer avec l'unité Géomatique, à Hydro-Québec.

marque ni décor, d'une balle de plomb et d'une pierre à fusil en silex blond, une bille en pierre, un peigne en os ainsi que trois boutons en os, en fer et métal cuivreux et en fer et bois.

Les restes osseux recueillis dans ce niveau, au nombre de 248, étaient très fragmentés, un état typique des sols labourés où l'on peut s'attendre à ce que les déchets alimentaires aient été éparpillés. En raison de leur grande fragmentation, seuls quelques restes ont pu être identifiés à l'espèce. Il s'agit de bœuf, de porc, de mouton/chèvre et de poulet.

Dans certaines sous-opérations, un niveau de remblai a été observé au-dessus du niveau de labour (lots 1A8, 1C8, 2B2, 2C7, 2Y3, 2Z3). Ce niveau correspond à un mélange hétérogène de sables naturels et du niveau de labour. Les artéfacts contenus dans ce niveau sont présents sur toute son épaisseur, qui varie entre 0,05 et 0,15 m. Ceux-ci, indicatifs d'une occupation de la fin du XVIII^{e} et du début XIX^{e} siècle, sont similaires à ceux présents dans le niveau de labour (tableau 6). Ce niveau a été interprété comme provenant des déblais liés aux excavations nécessaires à l'aménagement initial du terrain, par exemple pour la construction de la maison Moran, de bâtiments secondaires ou l'excavation de canalisations afin de contrôler le cours du ruisseau de la côte à Baron.

Au nombre de 85 objets-témoins, la culture matérielle comporte des tessons de TCG avec glaçure, de TCG locale avec glaçure incolore et à coloration multiple, de TCG de l'Angleterre et du nord-est de l'Angleterre 2, de faïence blanche, de *creamware*, de TCF blanche, de grès grossier à glaçure saline et Albany, de grès fin salin blanc et de porcelaine fine dure européenne. À cela s'ajoutent quelques fragments de pipes à fumer, des fragments de bouteilles en verre teinté régulier vert et en verre vert foncé, du verre à vitre, des clous vraisemblablement forgés, ainsi que près d'une quarantaine de restes osseux.

Parmi les vestiges documentés, l'analyse dendrochronologique du poteau de bois ST-17 (lot 2F12) révèle que l'arbre utilisé aurait été abattu à la hache en 1783, période où André Guy était propriétaire du lot. Cependant, son emplacement dans une clôture vraisemblablement installée vers 1846 est indicatif d'une réutilisation du bois. Rappelons que le marché de construction entre François-Xavier Beaudry et François Labrèque, signé en 1844, stipule clairement l'importance de réutiliser tout le bois et autres matériaux récupérables sur le site.

7.4 Activités manufacturières et domestiques (1800-1843)

Les activités manufacturières sur le site débutent avec l'achat du lot par Antoine Mallard en 1800. Sa fille et son gendre y élisent également domicile de façon permanente. Les éléments archéologiques associés à cette période sont plus nombreux, bien que plusieurs témoins aient été effacés par les occupations subséquentes (carte 9).

7.4.1 Occupation et labour du début du XIX^{e} siècle

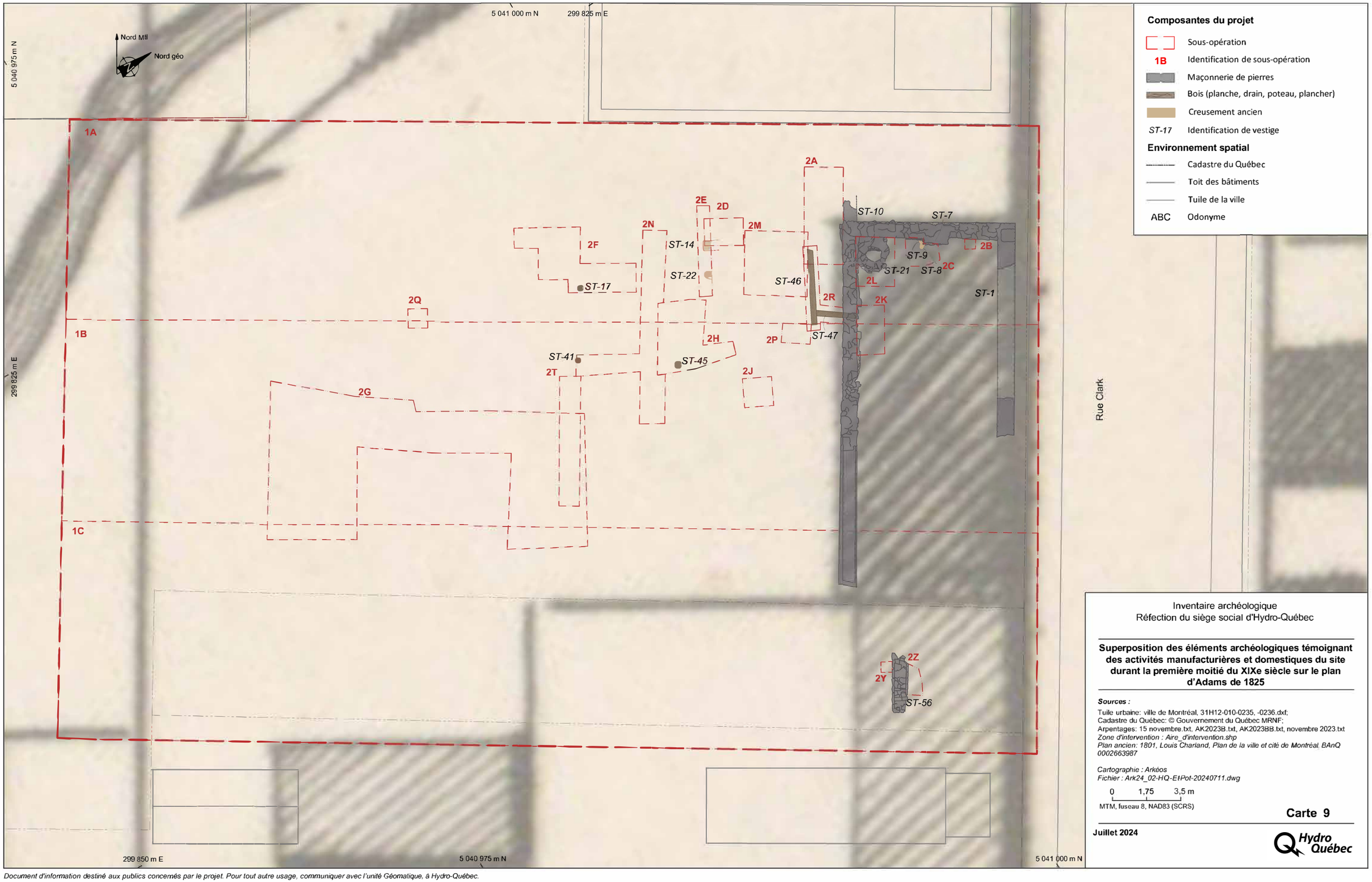
Un niveau de labour dont la surface a été occupée (piétinée) plus intensivement par endroits, situé au-dessus du labour initial, a été noté dans certaines sous-opérations (lots 2E14, 2M5, 2P7 et 2T9) (couche C6-14). Les artéfacts qui y ont été récupérés (lots 2E14 et 2T9 seulement) correspondent à une occupation du début/premier quart du XIX^{e} siècle, ce qui confirme que l'activité agricole s'est poursuivie sur le terrain avec l'arrivée des Mallard-Beaudry. Les sources historiques mentionnent principalement la présence d'un verger à proximité, mais il est également probable que l'espace à l'arrière des bâtiments ait été cultivé.

La culture matérielle associée à ce niveau comporte 439 objets-témoins (tableau 7). La céramique est représentée par des tessons de TCG sans glaçure, de TCG chamois-rose à la glaçure verte, de TCG locale à la glaçure incolore, de TCG Staff slip sans engobe, de *creamware*, de *pearlware*, de TCF blanche, de TCF jaune à la glaçure claire, de GG Derbyshire 1 et 3, de GG Albany, de grès fin salin blanc et de porcelaine fine dure européenne et *bone china*. Du côté du verre, l'assemblage comporte un verre à tige en verre incolore au plomb, des contenants en verre incolore au plomb et en verre teinté régulier vert, des bouteilles en verre teinté régulier turquoise et en verre vert foncé. La collection présente par ailleurs plusieurs fragments de vitre, des bandes et fils en fer ainsi que des clous forgés et laminés. Concernant les menus objets, mentionnons la présence de fragments de pipes à fumer sans marque ni décor, un bouton en cuivre et un fragment de chaussure.

L'analyse zooarchéologique du lot 2E14 a révélé la présence d'ossements très fragmentaires (n=47) et a permis d'identifier la présence de bœuf, de mouton/chèvre, de porc, de dindon et de mammifères et oiseaux indéterminés. Quatre ossements de rats, normalement reliés à une occupation urbaine, ont également été récupérés dans ce dépôt. Ce niveau semble être un indicateur de la transition du secteur d'une occupation principalement agricole vers une occupation domestique plus intensive.

7.4.2 Manufacture Mallard-Beaudry (bâtiment B2)

Les fouilles archéologiques ont permis de mettre au jour de petites portions de la face ouest, l'entièreté de la face nord et la quasi-totalité de la face est (ST-1) d'un édifice vraisemblablement associé à la manufacture Mallard-Beaudry. Bien qu'aucun devis de construction n'ait pu être retracé concernant cette manufacture, les sources semblent indiquer qu'elle était présente en 1805. La culture matérielle récupérée dans les niveaux associés à la construction de la manufacture est peu bavarde et est davantage associée à l'occupation précédente (tableau 8). Parmi les 144 objets témoins récupérés, 39 correspondent à des tessons de céramique variée telle la TCG chamois à glaçure verte, la TCG avec glaçure, la TCG locale à la glaçure incolore ou tachetée verte, la TCG du nord-est de l'Angleterre 1, la faïence blanche, le *creamware*, la TCF blanche, le grès fin salin blanc et la porcelaine fine dure. Le reste de la collection est constitué d'un fragment de bouteille en



Composantes du projet

- Sous-opération
- 1B — Identification de sous-opération
- Maçonnerie de pierres
- Bois (planche, drain, poteau, plancher)
- Creusement ancien
- *ST-17* — Identification de vestige

Environnement spatial

- Cadastre du Québec
- Toit des bâtiments
- Tuile de la ville
- ABC — Odonyme

Inventaire archéologique
Réfection du siège social d'Hydro-Québec

Superposition des éléments archéologiques témoignant des activités manufacturières et domestiques du site durant la première moitié du XIXe siècle sur le plan d'Adams de 1825

Sources :

Tuile urbaine: ville de Montréal, 31H12-010-0235, -0236.dxf;
Cadastre du Québec: © Gouvernement du Québec MRNF;
Arpentages: 15 novembre.txt, AK2023B.txt, AK2023BB.txt, novembre 2023.txt
Zone d'intervention : Aire_d'intervention.shp
Plan ancien: 1801, Louis Charland, Plan de la ville et cité de Montréal. BAnQ 0002663987

Cartographie : Arkéos
Fichier : Ark24_02-HQ-EtPot-20240711.dwg

0 1,75 3,5 m
MTM, fuseau 8, NAD83 (SCRS)

Carte 9

Juillet 2024

Hydro Québec

Document d'information destiné aux publics concernés par le projet. Pour tout autre usage, communiquer avec l'unité Géomatique, à Hydro-Québec.

verre teinté régulier vert, de quelques fragments de vitre dans le même matériel, de quelques clous altérés, d'une bille en pierre et d'une soixantaine de restes osseux. Parmi cette dernière catégorie, l'analyse zooarchéologique des lots 2C4, 2C5 et 2C6 a permis d'identifier la présence d'ossements de bœuf, de mouton/chèvre, de porc ainsi que de mammifères, d'oiseaux et de poissons indéterminés.



Photo 6 - Photographie aérienne des vestiges de la manufacture Mallard-Beaudry en cours de dégagement (crédit photo : Hydro-Québec)

La manufacture Mallard-Beaudry mesurait 9 m de large sur un peu plus de 19 m de long et possédait au moins une cheminée (ST-7) au centre de sa face nord. Les fondations maçonnées de l'édifice s'enfoncent profondément, mais leur construction est peu soignée. Un puits (ST-21) situé dans son coin nord-ouest complète l'édifice (photo 6). Sachant que la production de potasse, de savon et de chandelles nécessite une quantité d'eau importante, la présence d'un puits à l'intérieur du bâtiment semble tout à fait logique. Ainsi, l'eau est facilement accessible en plus d'être protégée du gel en hiver.

Le fait que le bâtiment ait été construit à l'emplacement même où se situait l'ancien marécage porte à croire qu'il n'était pas initialement destiné à abriter des logements. En effet, lors de la construction du bâtiment, ce secteur devait encore être propice aux inondations passagères et saisonnières. Ce type d'environnement est difficilement réconciliable avec une occupation domestique du rez-de-chaussée, mais pourrait convenir aux activités manufacturières.

Un drain en bois (ST-47) traverse la fondation ouest de la manufacture pour se jeter dans une section qui s'écoule vers le nord (ST-46), laissant croire que le contenu du drain devait se déverser dans le ruisseau de la côte à Baron. Le bois des drains était à l'état de pâte, ce qui n'a pas permis d'en faire l'analyse dendrochronologique ou même d'identifier l'essence forestière utilisée. Son contexte archéologique permet tout de même d'affirmer que le drain a été ajouté à la manufacture au cours du deuxième quart du XIX^{e} siècle. En effet, l'ouverture dans la fondation ouest de la manufacture, peu soignée, semble avoir été créée en retirant certaines pierres de la fondation (photo 7). Ainsi, il apparaît que la pose du drain ne s'est pas faite au moment de la construction initiale de la manufacture. Le drain était par ailleurs recouvert de sols associés aux rejets de la production de potasse (voir section 7.4.3), ce qui indique qu'il était en utilisation lorsque la manufacture était en fonction.



Photo 7 - Sous-opération 2K — Ouverture créée dans la fondation de la manufacture pour y faire passer le drain de bois ST-47 — Vue vers l'ouest (BjFj-225-23-N3-648)

L'assemblage associé à la tranchée d'implantation du drain (lot 2R2, n= 38) a été récupéré à la suite de puissants orages qui ont laissé une coulée de boue considérable dans le secteur et ont fragilisé les parois des drains. Il se peut donc que certains des artéfacts associés au lot 2R2 proviennent d'autres dépôts limitrophes. C'est notamment le cas de deux tessons de TCF blanche vitrifiée. Le dépôt comporte par ailleurs des tessons de grès fin salin blanc, de *creamware* et de TCF blanche, des fragments de pipe à fumer en TCF argileuse blanche, des fragments d'un contenant en verre incolore au plomb et d'une bouteille en verre vert foncé, quelques fragments de vitre en verre teinté régulier vert, quelques clous et quelques ossements.

Deux poteaux de bois, ST-41 et ST-45, ont été datés par dendrochronologie comme ayant été coupés en 1824 et vers 1827. Le premier fait partie de la clôture ouest du passage privé aménagée *circa* 1845. En ce sens, il s'agit d'un poteau réutilisé lors des aménagements réalisés sous François-Xavier Beaudry.

Le poteau ST-45 semble, pour sa part, être situé à son emplacement initial. Sa tranchée de plus de 0,70 m de diamètre a pu être partiellement fouillée (lots 2H14 et 2H21). Elle coupait le niveau de sol naturel stérile, le mince niveau de marais, le labour ainsi que le niveau de déblais lié à l'aménagement du terrain et était comblée d'un mélange hétérogène de chacun de ces niveaux. La tranchée contenait uniquement 8 artéfacts, dont un fragment de TCG locale à glaçure incolore, deux fragments de TCF blanche, deux fragments de pipe en TCF argileuse blanche, un clou et deux fragments d'os. Puisqu'aucune autre structure observée ne semble y être rattachée, il est impossible d'en déterminer l'utilisation.



Photo 8 - Sous opération 2E — Fosse ST-14 creusée alors que la manufacture était encore en fonction — Vue vers l'est (BjFj-225-23-N3-153)

Enfin, une fosse étroite et profonde comblée d'éclats de pierre calcaire (ST-14) a été enregistrée dans la sous-opération 2E (couche C6-8). Elle a été creusée alors que la manufacture était encore en fonction, puis recouverte des déblais de nettoyages post-incendie (2E9), mais les contextes archéologiques observés n'ont pas permis d'offrir une hypothèse quant à son utilité (photo 8).



Photo 9 - Sous-opération 2E — Couche cendreuse associée aux résidus de fabrication de potasse — Vue vers l'ouest (BjFj-225-23-N3-168)



Photo 10 - Sous-opération 1B — Observation de la couche associée aux résidus de fabrication de potasse lors de l'excavation mécanique des cours arrière — Vue vers le nord-est (BjFj-225-23-N3-278)

7.4.3 Déblais de fabrication de potasse

Le principal marqueur archéologique des activités manufacturières ayant eu lieu sur le terrain au cours de la première moitié du XIX^{e} siècle est un dépôt cendreux contenant du charbon de bois associé aux résidus de fabrication de la potasse (photo 9). Celui-ci se trouvait sur toute la surface du site archéologique situé entre le passage privé et les fondations ouest des bâtiments B1, B2 et B3, à une élévation moyenne de 21,50 m NMM (photo 10). Ses couleurs et textures variables indiquent que ces résidus y ont été déposés au cours de plusieurs événements tout au long de l'activité manufacturière.

Puisque la fouille du site s'est faite sans étude de potentiel préalable et donc avant de connaître la présence d'une ancienne manufacture de potasse, le dépôt n'a pas initialement été interprété comme étant associé à des résidus de la fabrication de cette industrie, mais plutôt comme un remblai de nivellement ou d'assainissement pour les cours arrière d'habitations. Ainsi, il a été majoritairement retiré à la pelle mécanique, mais a tout de même pu être échantillonné dans diverses sous-opérations (2A2, 2A7, 2E13, 2E18, 2F31, 2H13, 2H15, 2J3, 2J4, 2J5, 2M4, 2P6 et 2Y1).

L'engagement pour la livraison de cendres signé en novembre 1810 entre François Oule et Antoine Mallard stipule que ce dernier doit fournir deux poches afin qu'Oule puisse y mettre les cendres récoltées, puis les ramener à Mallard. Ainsi, la quantité de cendres récupérée entre chaque livraison est modeste et fort probablement d'origine très locale. On devine qu'Oule devait avoir un réseau de cueillette « de porte à porte » afin de recueillir les cendres produites quotidiennement par les maisonnées et/ou établissements qui lui étaient fidèles, essentiellement des résidus de poêle, de foyer ou de four.

L'analyse de la culture matérielle récupérée dans ce niveau semble tout à fait concorder avec ce modus operandi puisque des 1360 artéfacts et écofacts récupérés, la grande majorité est fragmentaire et très peu ont pu être reconstitués (tableau 9). Soixante-dix pour cent de ceux-ci présentent également une altération par la chaleur importante et plusieurs des ossements récupérés sont blanchis.

Une grande proportion de la collection est liée à des matériaux de construction, qu'il s'agisse de clous, de verre à vitre et autre quincaillerie d'architecture (boulon et écrou, crampon, tige, plaque, poignée). Les objets-témoins liés à la consommation sont toutefois plus nombreux. On dénombre une grande quantité de vaisselle de service et de table, de gobelet, de verre à tige et à jambe, de bouteille et de fiole. À cela peuvent également s'ajouter les écofacts, au nombre de 238, également liés à la consommation. Les céramiques sont essentiellement représentées par la terre cuite fine (faïence, *creamware*, *pearlware*, TCF blanche et blanche vitrifiée, TCF chamois glaçure brune), suivi par la terre cuite grossière (TCG avec glaçure, TCG locale glaçure verte et incolore, TCG nord-est de l'Angleterre 1 et 2, TCG Staff slip à engobe rouge), le grès grossier (Derbyshire 2, 3, 4 et 5) et la porcelaine fine (orientale et *bone china*). Le verre de l'assemblage est également varié : verre incolore au plomb, teinté régulier vert, teinté régulier turquoise, teinté régulier bleu et vert foncé.

Parmi les menus objets, mentionnons la présence de plus d'une centaine de fragments de pipe en TCF argileuse blanche (n=103) sans marque, mais dont certains arborant des motifs moulés. À cela s'ajoutent des boutons en cuivre, en os et de type Prosser, une pierre à fusil, une pierre à aiguiser, une clé en cuivre, des semences à tapissier, une épingle ainsi qu'une pièce de monnaie malheureusement illisible.

Puisque ces artéfacts proviennent vraisemblablement de diverses sources, ils ne peuvent être directement liés aux occupants du site durant la première moitié du XIX^{e} siècle, mais permettent tout de même de confirmer que les cendres récoltées et utilisées pour la production de potasse n'étaient certainement pas de qualité supérieure et provenaient de foyers ou poêles domestiques. Bien que cela ne puisse être affirmé avec certitude, certains de ces artéfacts, en particulier ceux qui ne présentent pas d'altération par la chaleur, pourraient provenir de l'occupation du terrain. C'est le cas entre autres de la majorité des fragments de pipe et de certains fragments de céramique.

7.4.4 Incendie de la manufacture Mallard Beaudry

Des traces de l'incendie de la manufacture, survenu en 1843, ont été notées à l'intérieur du puits (lots 2L1 et 2L2) ainsi que dans le vide sanitaire du bâtiment (lot 1A7). Ces trois lots contiennent beaucoup de cendre et de fragments de charbon de bois. Dans le puits, l'épais dépôt charbonneux contenant des fragments de métal et des planches de bois brûlées plongeait vers le fond.



Photo 11- Sous opération 1A — Artéfact en métal cuivreux récolté dans le lot 1A7 (BjFj-225-23-N3-287)

Les artéfacts récupérés dans ces trois lots sont relativement peu nombreux (n=240), mais certains présentent une altération par la chaleur. On y trouve principalement de la ferraille, dont plusieurs clous forgés, quelques fragments de céramique (GG rhénan gris, PF dure européenne, TCF blanche, porcelaine fine dure européenne), des fragments de bouteilles et du verre à vitre. Parmi les menus objets, mentionnons la présence de fragments de pipe à fumer, un bouton en os, un talon de chaussure et un fragment de textile. Un artéfact en métal cuivreux à motif floral a également été récupéré (photo 11). Sa fonction est incertaine, mais il pourrait s'agir d'une partie d'une applique murale ou d'un autre élément décoratif.

Ces niveaux, marqueurs de l'incendie de 1843, sont également les seuls qui pourraient receler des indices de l'occupation de la manufacture. Malheureusement, les artéfacts qui s'y trouvent sont peu parlants. Le puits semble avoir été abandonné après l'incendie puisqu'il était recouvert d'une grande quantité de pierres calcaires, probablement résultat de la démolition partielle de la manufacture avant sa transformation en édifice multilogements.

7.4.5 Écurie (bâtiment B1)

Un autre bâtiment, dont les fondations sont moins profondes que celles de la manufacture, mais semblent de construction plus soignée, a été mis au jour lors de l'intervention archéologique (photo 12). Il s'agit vraisemblablement des fondations d'une écurie en pierre construite au sud de la manufacture (ST-56). La date de sa construction n'a pas pu être confirmée par les recherches en archives, mais elle semble apparaître sur le plan d'Adams de 1825, bien que la largeur ne concorde



Photo 12 - Sous-opération 1C — Fondation maçonnée ST-56 associée à l'ancienne écurie — Vue vers l'est (BjFj-225-23-N3-937)



Photo 13 - Sous-opération 1C — Ouverture pratiquée dans le mur ST-56, vraisemblablement pour y passer un drain — Vue vers l'est (BjFj-225-23-N3-942

pas à la réalité. Les artéfacts associés à ses niveaux de construction (lots 2Y2, 2Z1, 2Z2), au nombre de 68, sont assez variés. On y retrouve des tessons de TCG locale à glaçure incolore et tachetée verte, de TCG Staff slip à engobe rouge, de faïence blanche, de *creamware*, de TCF blanche et de porcelaine fine orientale. À cela s'ajoutent des fragments de pipe à fumer, un fragment de gobelet, des fragments de vitre, des clous et des restes osseux.

Une ouverture a été pratiquée dans la fondation, vraisemblablement pour y faire passer un drain, bien qu'aucune trace de ce drain ne subsiste (photo 13). Le niveau de résidus de production de potasse semble à la fois coupé par la fondation et recouvrir une partie de celle-ci, ce qui pourrait indiquer que la construction de l'écurie s'est fait un peu après le début de l'activité manufacturière du site. Très peu d'éléments de ce bâtiment ou de l'occupation y étant liée étaient encore en place. Il a d'abord été tronqué au sud par la construction du poste Dorchester dans les années 1950, puis au nord par une conduite de grès installée dans les années qui ont suivi. L'installation d'un regard (ST-62) dans les mêmes années a également perturbé en grande partie les sols d'occupation intérieure de l'écurie. La fouille du petit lambeau de sol encore en place à l'intérieur du bâtiment (sous-opération 2Z) n'a révélé aucun sol d'occupation postérieur à la construction du bâtiment ; ceux-ci ayant vraisemblablement été arasés lors de travaux réalisés à partir de la deuxième moitié du XX^{e} siècle.

7.4.6 Maison McGill (bâtiment B3)

Lors des fouilles archéologiques, une très petite portion de la fondation ouest de la maison McGill a été mise au jour (ST-10). En raison de sa proximité avec la maison du développement durable et de la nécessité de maintenir une pente de sécurité, la fondation n'a pas pu être entièrement dégagée. Aucun élément observé n'a permis de dater précisément la construction, sauf le fait qu'elle est accolée à la manufacture, ce qui indique qu'elle aurait été construite après cette dernière. En revanche, les sources historiques permettent raisonnablement d'affirmer que la maison McGill aurait été construite entre 1825 et 1828. Aucun témoin de l'occupation des McGill n'a été récupéré lors de la fouille de 2023.

7.5 Urbanisation et occupation intensive (1844-1889)

Comme mentionné précédemment, l'occupation du site au cours de la deuxième moitié du XIX^{e} siècle est la mieux représentée, tant par l'assemblage artéfactuel, le nombre de lots fouillés que par la quantité de structures observées (cartes 10, 11 et 12).

7.5.1 Occupation du verger

Le secteur du verger, demeuré agricole tout au long de l'occupation Mallard-Beaudry, semble avoir gardé sa fonction pendant les années de transition, du moins jusqu'au milieu du XIX^{e} siècle. Situés au-dessus du labour initial (2Q7), les lots 2Q4, 2Q5 et 2Q6 témoignent de cette occupation (couches C15-4, 5 et 6). Le lot 2Q6, situé à une altitude de 21,13 m NMM, semble être le résultat d'un apport de terre organique labouré. Les artéfacts qui la constituaient (n=286) indiquent une occupation domestique de la première moitié du XIX^{e} siècle, caractérisée par une prédominance de TCF blanche et de *creamware*, ainsi que de quelques fragments de TCG locale à glaçure verte et de faïence blanche (tableau 10). La découverte de plusieurs fragments de pipes en TCF argileuse blanche, dont deux portent des marques liées à un début de production en 1847 (Duncan McDougall & Co) et en 1849 (Henderson's), confirme que ce niveau était occupé alors que l'urbanisation du terrain était en cours. Les ossements retrouvés dans ce dépôt (n=40) montrent une fragmentation importante, typique d'un sol labouré. Ils proviennent majoritairement de mammifères (bœuf, mouton/chèvre et porc), mais l'assemblage comprend également un fragment d'os de canard ainsi que trois os de poissons.

Le lot 2Q6 était recouvert d'une fine couche irrégulière composée principalement de pâte, de fibres et d'écorce de bois, en plus de contenir quelques scories et petits nodules de mortier (2Q5) (photo 14). La richesse artéfactuelle de ce lot, soit 634 artéfacts et écofacts dans moins d'un mètre carré pour une épaisseur de 0,01 à 0,03 m, porte à croire qu'il s'agit d'un événement isolé de rejet sauvage. Ce niveau contient une grande quantité de cuir (fragments de souliers, petites retailles) et de tissu, ainsi que plusieurs fragments de verre à vitre. L'assemblage céramique est principalement composé de TCF blanche et de *pearlware*, avec quelques fragments de TCG du nord-est de l'Angleterre 2, de grès grossier à glaçure saline et Albany, de TCG jaune à glaçure claire, de TCF rouge à



Photo 14 - Sous-opération 2Q — Surface du lot 2Q5 associé à un événement de rejet sauvage isolé au milieu du XIX^{e} siècle (BjFj-225-23-N1-330)

glaçure noire et de TCF chamois à glaçure brune. Comme pour le dépôt précédent, des fragments de pipe à fumer portant les marques McDougall et Henderson permettent d'avancer que ce dépôt a été mis en place après 1847.

Les ossements contenus dans ce niveau (n=137), moins fragmentés que dans le niveau précédent, proviennent majoritairement de mammifères avec une dominance de mouton/chèvre, suivis par le porc et le bœuf. L'assemblage comprend également six ossements d'oie domestique et trois de canard, ainsi que 26 ossements d'oiseaux indéterminés. Deux os de poisson, dont un provenant d'un achigan, complètent l'assemblage.

La présence de ce rejet sauvage semble indiquer la fin de l'utilisation du secteur à des fins horticoles. Le remblai sableux de 0,20 m d'épaisseur le recouvrant (2Q4) semble d'ailleurs y avoir été déposé à la même période, avec un assemblage moins important (n=262), mais similaire aux dépôts précédents. Ce niveau a possiblement été ajouté en vue du réaménagement du secteur en un lieu d'entreposage.

7.5.2 Aménagement et occupation du bloc Beaudry

Entre l'incendie de 1843 et le début des travaux de réaménagement en 1845, le secteur a connu une période de transition significative. Plusieurs lots des sous-opérations 2E et 2F ont pu être associés aux activités de nettoyage, de démolition partielle et de reconstruction des bâtiments incendiés (2E3/2E6, 2E5, 2E7, 2E8, 2E9, 2E10, 2E11, 2E12, 2F11, 2F20). Ces dépôts irréguliers contiennent du charbon de bois ainsi que de nombreuses inclusions d'éclats de pierres calcaires, de briques et de fragments de bois.

Bien que relativement pauvres en artéfacts (n=385), ces niveaux contiennent quelques objets dont la production a cessé autour de 1840 ou avant (TCG locale à glaçure verte, incolore, tachetée verte et multicolore, TCF *cream coloured* et *creamware*, grès grossier à glaçure saline et TCF blanche produite par Joseph Heath & Co.) (tableau 11). Une part importante de l'assemblage est toutefois composée de TCF blanche (post 1805 c.) et de TCF blanche vitrifiée (post 1840 c.), suggérant une datation de la mi XIX^{e} siècle, correspondant à la période de l'aménagement du bloc Beaudry. La présence d'une quantité significative de quincaillerie (clous, charnières, vis, etc.) témoigne également des activités de démolition et de reconstruction associées à ces niveaux.

Les travaux de réaménagement de la maison McGill, de la manufacture et de l'écurie débutent en 1845 (voir carte 10). Le site recèle de nombreux témoins de cette transformation, à commencer par le creusement ST-3, dans lequel deux trous de poteaux probablement liés à l'installation d'un échafaudage ont été observés (photo 15). Ce creusement était comblé par un sable limoneux compact incluant des éclats de pierres calcaires, des charbons de bois, du mortier désagrégé, des fibres de bois et des coquilles d'œufs (2A3). La grande quantité d'artéfacts trouvée dans ce creusement semble indiquer qu'il a probablement été utilisé comme fosse à déchets au cours des travaux.



Inventaire archéologique
Réfection du siège social d'Hydro-Québec

Superposition des éléments archéologiques témoignant de l'occupation du secteur au milieu du XIXe siècle sur le plan de Cane de 1846

Sources :

Tuile urbaine: ville de Montréal, 31H12-010-0235, -0236.dxf;
Cadastre du Québec: © Gouvernement du Québec MRNF;
Arpentages: 15 novembre.txt, AK2023B.txt, AK2023BB.txt, novembre 2023.txt
Zone d'intervention : Aire_d'intervention.shp
Plan ancien: 1846 Cane, J. Topographical and pictorial map of the city of Montreal,
BAnQ : 0000337871

Cartographie : Arkéos
Fichier : Ark24_02HQ-Et-Pot-20240711.dwg

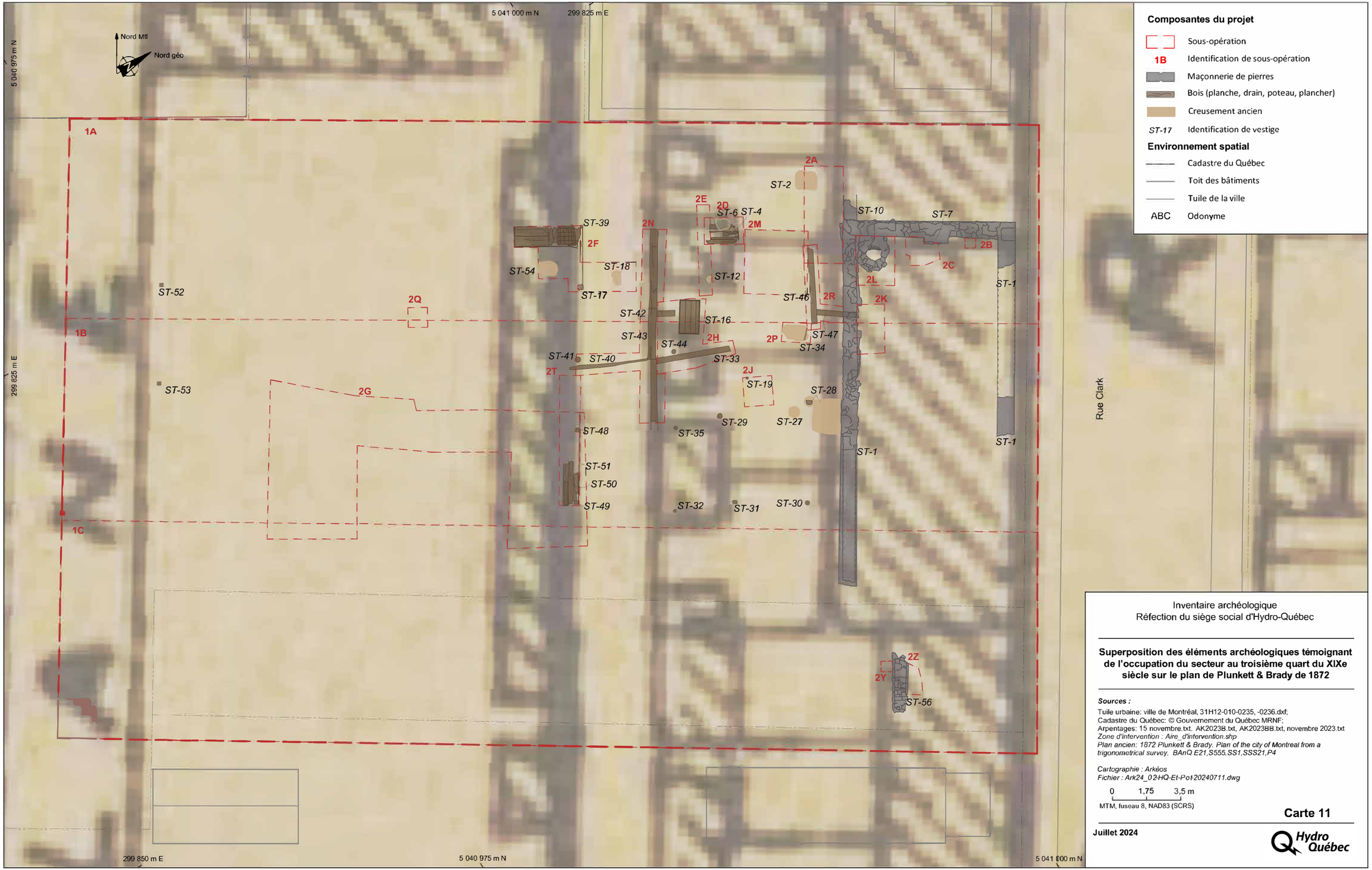
0 1,75 3,5 m
MTM, fuseau 8, NAD83 (SCRS)

Carte 10

Juillet 2024

Hydro Québec

Document d'information destiné aux publics concernés par le projet. Pour tout autre usage, communiquer avec l'unité Géomatique, à Hydro-Québec.



Inventaire archéologique
Réfection du siège social d'Hydro-Québec

Superposition des éléments archéologiques témoignant de l'occupation du secteur au troisième quart du XIXe siècle sur le plan de Plunkett & Brady de 1872

Sources :

Tuile urbaine: ville de Montréal, 31H12-010-0235, -0236.dxf;
Cadastre du Québec: © Gouvernement du Québec MRNF;
Arpentages: 15 novembre.txt, AK2023B.txt, AK2023BB.txt, novembre 2023.txt
Zone d'intervention : Aire_d'intervention.shp
Plan ancien: 1872 Plunkett & Brady. Plan of the city of Montreal from a trigonometrical survey, BAnQ E21,S555,SS1,SSS21,P4

Cartographie : Arkéos
Fichier : Ark24_02-HQ-Et-Pot20240711.dwg

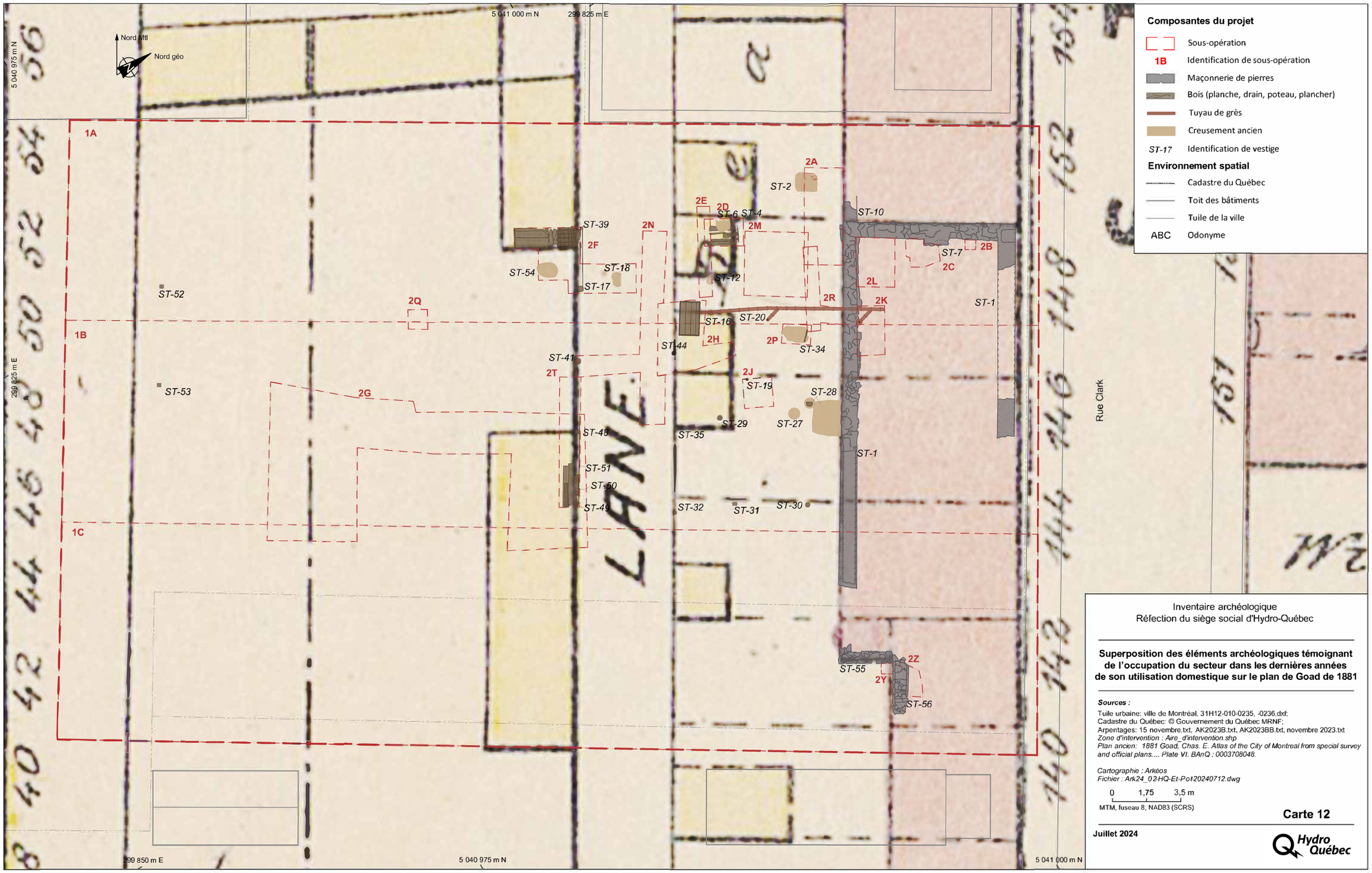
0 1,75 3,5 m
MTM, fuseau 8, NAD83 (SCRS)

Carte 11

Juillet 2024

Hydro Québec

Document d'information destiné aux publics concernés par le projet. Pour tout autre usage, communiquer avec l'unité Géomatique, à Hydro-Québec.



Composantes du projet

- Sous-opération
- 1B Identification de sous-opération
- Maçonnerie de pierres
- Bois (planche, drain, poteau, plancher)
- Tuyau de grès
- Creusement ancien
- *ST-17* Identification de vestige

Environnement spatial

- Cadastre du Québec
- Toit des bâtiments
- Tuile de la ville
- ABC Odonyme

Inventaire archéologique
Réfection du siège social d'Hydro-Québec

Superposition des éléments archéologiques témoignant de l'occupation du secteur dans les dernières années de son utilisation domestique sur le plan de Goad de 1881

Sources :

Tuile urbaine: ville de Montréal, 31H12-010-0235, -0236.dxf;
Cadastre du Québec: © Gouvernement du Québec MRNF;
Arpentages: 15 novembre.txt, AK2023B.txt, AK2023BB.txt, novembre 2023.txt
Zone d'intervention : Aire_d'intervention.shp
Plan ancien: 1881 Goad, Chas. E. Atlas of the City of Montreal from special survey and official plans.... Plate VI. BAnQ : 0003708048.

Cartographie : Arkéos
Fichier : Ark24_02-HQ-Et-Pot20240712.dwg

0 1,75 3,5 m
MTM, fuseau 8, NAD83 (SCRS)

Carte 12

Juillet 2024

Hydro Québec

Document d'information destiné aux publics concernés par le projet. Pour tout autre usage, communiquer avec l'unité Géomatique, à Hydro-Québec.



Photo 15 - Sous-opération 2A — Trous de poteaux dans le fond de la fosse ST-3 probablement associés à l'installation d'échafauds pour l'aménagement du bloc Beaudry (BjFj-225-23-N1-45)

L'assemblage reflète l'épisode de reconstruction par la présence significative de quincaillerie (n=286) et de verre à vitre (n=43). Il est également représentatif d'une occupation domestique, avec une grande proportion d'objets et d'ossements animaux liés à la consommation, ainsi que plusieurs fragments de pipes. Parmi les artéfacts récupérés dans ce lot, notons la présence d'une assiette creuse en TCF blanche Mason richement décorée (photo 16). La marque partiellement conservée est celle du fabricant Davenport et correspond vraisemblablement à celle utilisée vers 1805-1820 sur des pièces en « *Stone China* ». Ces productions vitrifiées étaient destinées à imiter la porcelaine japonaise de type Imari et les porcelaines chinoises qui s'en inspiraient.

La présence d'autres artéfacts associés à une production antérieure à 1830 (TCG locale glaçurée, *pearlware*, grès fin rosso antico sans glaçure et clous forgés) en plus de TCF blanche (post 1805) et de grès grossier Derbyshire (1800 *c.*–1875 *c.*) semble confirmer l'hypothèse d'un dépôt du milieu du XIX^{e} siècle. Certaines pipes en TCF argileuse blanche peuvent également être rattachées à des productions débutant en 1847.



Photo 16 - Assiette creuse de type Mason retrouvée dans le creusement ST-3 (cat. 10)

La maison McGill n'a pas été fouillée en entier ; seules les couches C10-2, 3 et 4 semblent témoigner du réaménagement du bâtiment B3. Aucun niveau archéologique n'a pu être lié aux réaménagements de l'ancienne écurie (B1) ou même à l'ajout d'une annexe arrière durant le troisième quart du XIX^{e} siècle (voir carte 12).

La fouille réalisée à l'intérieur du bâtiment B2 a permis de récupérer quelques témoins de l'occupation domestique des logements B2-B (1B11, 2K1, 2K3, 2K4, 2K6 et 2K8) et B2-C (1A4, 1A5, 1A6, 2B1, 2C1, 2C2 et 2C3) au cours de la deuxième moitié du XIX^{e} siècle (tableau 12).

Sous le logement B2-B, un petit assemblage a été récupéré (n=172), composé principalement de fragments de verre de vitre et de restes osseux. L'assemblage céramique est composé à 50 % de TCF blanche et de TCF blanche vitrifiée, mais comprend également quelques fragments de *creamware*, TCF chamois à glaçure tachetée brune, TCG locale à glaçure incolore, TCF jaune à glaçure claire et grès grossier à glaçure saline. Certains artéfacts de datation plus précise permettent de confirmer que ces niveaux sont bien associés à l'occupation du bloc Beaudry au cours de la deuxième moitié du XIX^{e} siècle. C'est le cas par exemple d'un tuyau de pipe trouvé dans le lot 2K1 et portant la marque du pipier William C. Wood aurait été produit entre 1865 et 1873 et d'un contenant de verre incolore au plomb, du lot 2K6, portant l'inscription « W T & Co / Z » associée à la *Whitall Tatum & Co*, active entre 1878 et 1895. Ce même lot a également révélé la présence d'un fragment de plat en TCF vitrifiée produite en 1852.



Photo 17 - Objet en os taillé probablement associé à la couture la broderie ou le crochet retrouvé dans le lot 2K6 (cat. 18)

Parmi les menus objets, l'assemblage comporte un fragment d'une pièce de vaisselle miniature en porcelaine fine dure européenne destinée au jeu des enfants, un bouton de type Prosser ainsi qu'un délicat objet en os taillé finement à la main (photo 17). Il s'agit vraisemblablement d'un objet associé à la couture et possiblement à la broderie ou au crochet. Il pourrait s'agir du manche d'un crochet, d'un poinçon ou d'une aiguille à broder. Normalement, un élément métallique s'installe sur la courte tige filetée alors que la cavité à l'autre extrémité, dont le couvercle est manquant, permet de ranger les pointes lorsqu'elles ne sont pas utilisées. Au milieu du XIX^{e} siècle, il était commun que les ensembles de couture contiennent des outils délicatement taillés et décorés.

Sous le logement B2-C, l'assemblage était particulièrement abondant avec un total de 3114 fragments (voir tableau 12). Parmi ceux-ci, on retrouve des matériaux de construction tels que le verre à vitre et les clous, ainsi que de nombreux fragments de vaisselle et de verre dédiés au service et à la consommation. L'assemblage est principalement dominé par la TCF blanche et blanche vitrifiée, mais contient également une quantité significative de *creamware* et de TCG de divers types. Certains fragments de pipe à fumer retrouvés dans ce niveau sont liés à une production entre 1830 et 1861 (*William Murray & Co.*) et 1847-1876 (*Henderson*), concordant avec la période d'occupation du bloc Beaudry.

Considérant la grande quantité de locataires ayant occupé les lieux et les limites des recherches réalisées en archives, il est impossible de relier ces objets à des occupants spécifiques. Toutefois, la présence de deux bâtons de graphite dans le vide sanitaire suggère qu'un des occupants pouvait



Photo 18 - Fragment de petite statuette vraisemblablement zoomorphe retrouvé dans le vide sanitaire de B2-C (photo : S. Lavallée, 2023)

écrire ou dessiner des plans, peut-être pour la production de meubles ou de souliers. La présence d'une petite bille en pierre et d'un fragment de statuette zoomorphe en argile crue (photo 18) indique également la présence d'enfants sur les lieux.

Quinze boutons en nacre, en verre, en os, en fer et en cuivre ont été récupérés lors de la fouille du vide sanitaire. L'un d'entre eux, provenant apparemment d'un habit militaire d'un régiment de l'armée britannique, mérite une attention particulière. Aucune mention dans les archives n'indique qu'un militaire aurait habité le bloc Beaudry, ce bouton pourrait donc provenir d'un visiteur.

L'assemblage comprend également une pièce de monnaie anglaise d'un penny produite entre 1860 et 1894 (catalogue # 4; photo 19). Un autre objet notable est un coin en fer trouvé dans 1A6, utilisé entre autres pour la taille de la pierre, qui pourrait être lié à l'aménagement du bloc Beaudry. Enfin, une pièce de médaillon illustrant le portrait d'une femme semble véritablement offrir une fenêtre sur les occupants du bloc Beaudry (objet catalogué #5).



Photo 19 - À gauche, pièce de monnaie anglaise d'un penny produite entre 1860 et 1894 provenant du lot 1A5 (cat. 4). À droite, son équivalent non oxydé (source : https://fr.numista.com/catalogue/pieces3377.html)

BiFj-225-1A6

LE PORTRAIT MINIATURE



Lors de la fouille du lot 1A06, un portrait miniature peint sur un support de porcelaine de forme ovoïde a été mis au jour. L'objet, à face convexe et à dos plat, mesure 2,1 cm de hauteur, 1,7 cm de largeur et 0,3 cm d'épaisseur. Il représente une femme de demi-profil, vêtue d'une robe rose et d'un bonnet blanc. Bien qu'il n'ait pas été possible d'identifier le modèle du portrait découvert sur le site d'Hydro-Québec, cet objet demeure un témoignage de la pratique courante au XIXe siècle d'utiliser des portraits miniatures dans un cadre familial, amical et sentimental.

De nombreux historiens affirment que le XIXe siècle a été celui du portrait. Galienne et Pierre Francastel écrivent notamment que « le début du XIXe siècle a connu un extraordinaire essor du portrait ». Comme les bourgeois voulaient posséder tout ce qui auparavant était le privilège des classes dominantes, ils voulaient également se voir eux-mêmes de leur vivant et léguer leurs traits à leurs enfants. Jamais, à aucune époque, ce besoin de personnalisation ne fut aussi grand (Francastel et Francastel, 1969 : 166).

Les trente dernières années du XIXe siècle semblent particulièrement prolifiques, avec un nombre important de portraitistes en activité en Angleterre, en France et dans le Nouveau Monde.
L'art de la peinture miniature apparaît en Europe à la fin du XVe siècle et se développe d'abord en Angleterre, à la cour des Tudors, notamment grâce à Hans Holbein le Jeune. Le support varie à travers les siècles : vélin au XVe siècle, cuivre et émail au XVIIe siècle ou encore ivoire à partir de la seconde moitié du XVIIIe siècle.

La convergence de ces deux pratiques artistiques, celle du portrait et celle de la miniature, mène à l'émergence d'une pratique particulière, celle du physionotrace, ou portrait miniature. Ainsi, entre la fin du XVIIIe siècle et le début du XIXe siècle, le physionotrace connaît son âge d'or. La miniature sur porcelaine se développe et se perfectionne dès le début du XIXe siècle.

Les portraits miniatures ont joué un rôle majeur jusqu'à l'apparition et la vulgarisation de la photographie. Alors qu'à l'époque victorienne, les petits objets à valeur sentimentale se multiplient, les portraits miniatures peints sur porcelaine gagnent en popularité. Montés en bijoux, en épingles de cravate, en médaillons, disposés sur ou à l'intérieur d'un écrin ou d'une boîte, ces portraits peuvent être accompagnés d'autres éléments appartenant également à l'être aimé, qu'il s'agisse d'une boucle de cheveux ou d'objets-souvenirs. Ces portraits peuvent être cachés ou exposés à la vue de tous, échangés entre amants, amis ou membres de la famille. Ils peuvent aussi être produits en plusieurs exemplaires à la mort d'un être cher et distribués aux membres de la famille et amis en souvenir de l'être aimé.

Les niveaux de vide sanitaire, en particulier près du foyer (ST-7), contenaient une quantité significative d'ossements d'animaux, principalement issus d'animaux domestiques tels que le bœuf, le porc, le mouton et les volailles, dont une grande partie des os avait été rongée par les rats. D'ailleurs les ossements d'au moins neuf rats et une souris ont également été trouvés dans le vide sanitaire. Les marques de boucherie observées sur les os indiquent que ces dépôts datent de la mi XIX^{e} siècle.

L'analyse zooarchéologique des ossements trouvés dans le vide sanitaire révèle les habitudes alimentaires des premiers occupants du bloc Beaudry, qui consommaient principalement des coupes de viande de bonne ou moyenne qualité. Les morceaux comme le gigot de mouton ou d'agneau, les rôtis de côte de bœuf et les steaks ou rôtis d'aloyau étaient couramment consommés. Les nombreux restes de poulet indiquent une consommation fréquente de cette volaille, tandis que le porc était moins présent. Les rares restes de dindon, d'oie, de tourte, de pigeon, et de lapin ou de lièvre suggèrent qu'ils étaient réservés pour des occasions spéciales. Les quelques restes de poisson trouvés dans le vide sanitaire pourraient avoir été consommés les vendredis ou pendant le carême.

7.5.3 Aménagement et occupation des cours arrière et du passage privé

L'aménagement des cours arrière du bloc Beaudry ainsi que du passage privé a également laissé de nombreux marqueurs sur le site, principalement grâce à la présence de nombreux poteaux de thuya occidental, ou par les négatifs laissés par ceux-ci dans les sols d'occupation (ST-17 (lot 2F12), ST-19, ST-30, ST-31, ST-32, ST-35, ST-41, ST-44 (lot 2H17), ST-48 (lot 2T11), ST-49, ST-51). Ceux-ci correspondent à l'installation de la clôture limitant le passage privé et séparant les cours des logements B2-A, B2-B et B2-C, mentionnée dans le marché de construction de 1844 (tableau 13).



Photo 20 - Sous-opération 2T — Base des planches verticales de la clôture ouest du passage privé, aménagée vers 1846 — Vue vers l'est (BjFj-225-23-N3-743)

Trois de ces poteaux ont pu être datés grâce à une analyse dendrochronologique. Les poteaux ST-17 (lot 2F12) et ST-41, coupés respectivement en 1783 et en 1824, semblent provenir d'une réutilisation alors que le poteau ST-44 aurait été découpé à la hache en 1844, dans le but probable de construire la clôture. La base de planches verticales en pin blanc a été observée entre les poteaux ST-48 et ST-49, et au nord du poteau ST-17, constituant la clôture située à l'ouest du passage privé (photo 20). Ceci indique un mode de construction de clôture classique, composée de poteaux principaux espacés d'environ 3 à 4 mètres, joints par des tasseaux

posés à l'horizontale sur lesquels sont fixées les planches verticales. Celles-ci ont été fixées du côté du passage privé, offrant un fini plus esthétique de ce côté.

D'autres poteaux ou trous de poteaux identifiés lors de la fouille de 2023 pourraient également être liés à l'aménagement de dépendances en arrière-cours (ST-6 (lot 2D4, 2D5 et 2D6), ST-12 (lot 2E17), ST-27 (lot 1B9), ST-28 (lot 1B10) et ST-29). Les quelques artéfacts provenant du comblement des trous de poteaux sont peu parlants, mais indiquent tout de même un dépôt post 1840 (présence de TCF blanche Flow et de TCF blanche vitrifiée). Il est également possible que les poteaux ST-52 et ST-53, observés uniquement lors de la supervision archéologique finale, aient été installés à cette époque afin de délimiter le terrain de la ruelle Bronsdon.

PASSAGE PRIVÉ

Le passage privé semble avoir été initialement aménagé directement sur un niveau constitué de déblais de nettoyage et de démolition des bâtiments incendiés (lot 2F11). Un dépôt organique très riche en artéfacts la recouvrait (lot 2F14) (voir tableau 13). Cette couche, plus épaisse en s'approchant de la clôture ouest du passage, contenait des témoins d'une occupation domestique. Les artéfacts, bien que très fragmentés, ont pu être partiellement reconstitués, indiquant qu'il s'agit probablement d'un dépôt primaire qui a été piétiné, causant ainsi leur fragmentation.

L'abondant assemblage (n=1590) est constitué d'une quantité significative de clous, d'os et de verre à vitre. Il contient également un grand nombre de fragments de bouteilles en verre. L'assemblage céramique est principalement composé de TCF blanche et de TCG, mais inclut aussi du *pearlware*, de la TCF blanche vitrifiée, de la TCF jaune à glaçure claire, de la TCF rouge à glaçure noire, de la TCF chamois à glaçure brune, ainsi que quelques exemplaires de grès grossier Derbyshire 1 et 3, Bristol et à glaçure saline et Albany. Dix-huit fragments de porcelaine fine *bone china* font également partie de l'assemblage.

Quelques artéfacts permettent une datation plus précise de l'assemblage. D'abord, plusieurs fragments d'un contenant en TCF blanche à décor bleu ont pu être reliés au fabricant Thomas Godwin, dont la production s'échelonne de 1834 à 1854. Une soucoupe portant un décor imprimé de type flow à motif «Warwick» aurait été produite dans les mêmes années, soit entre 1834 et 1859. Une possible assiette en TCF blanche vitrifiée à motif «Auckland» proviendrait d'une production entre 1828 et 1859, tandis qu'une autre à motif «Vermacelli» correspond à une production entre 1838 et 1848. La présence d'une possible assiette au décor moulé associée au producteur J. W. Pankhurst & Co. propose une datation légèrement plus récente, sa production allant de 1850 à 1882. Le lot 2F14 semble donc avoir été déposé au milieu du XIX^{e} siècle. Les premiers locataires, voire les ouvriers qui logeaient sur le chantier de construction, auraient utilisé la ruelle comme aire de rejet pendant quelque temps.



Photo 21 - Sous-opération 2F — Dallage grossier associé au passage privé, lot 2F4 — Vue vers le sud (BjFj-225-23-N3-58)

Celui-ci est recouvert d'un épais dépôt de limon sableux contenant de nombreuses inclusions de briques, de pierres calcaires de toutes tailles, de charbon minéral et de nodules de mortier (2F4). Ce niveau, d'environ vingt centimètres d'épaisseur, situé à une surface de 21,80 m NMM, comblait un creusement ovale de nature indéterminée (ST-18). Sa fouille a révélé ce qui semble être un dallage grossier (photo 21). Il est probable que ce niveau ait été ajouté dans le but d'assainir le passage privé, possiblement lors de l'aménagement du drain de bois (ST-43) le longeant vers 1852. L'assemblage riche et similaire à celui du lot 2F14 pourrait indiquer un remaniement des sols du secteur associé à ce type d'aménagement.

Le lot 2F3, situé au-dessus de 2F4 et de composition similaire, correspondrait donc à une utilisation continue du passage privé du milieu du XIX^{e} siècle jusqu'en 1889. La présence d'un fragment de tuyau de pipe du fabricant *W&D Bell*, actif entre 1862 et 1881, d'une bouteille en verre produite par *Kilner Brothers* entre 1857 et 1900, et d'un contenant de TCF blanche de marque Boch Frères produit après 1847, conforte cette hypothèse. L'excavation mécanique s'est arrêtée à ce niveau à environ 21,90 m NMM, arrachant partiellement la surface.

COURS ARRIÈRE

L'élément le plus frappant de la fouille de 2023 est certainement la quantité d'artéfacts présents dans la plupart des dépôts fouillés, en particulier dans les niveaux associés à l'occupation des cours arrière (1B6, 2A4, 2A5, 2D1, 2E1, 2E2, 2R1) (voir tableau 13). Les artéfacts, généralement en gros fragments, étaient répandus de manière plus ou moins uniforme. On y retrouve des objets typiques d'une occupation domestique de la deuxième moitié du XIX^{e} siècle : TCF blanche vitrifiée, TCF chamois à glaçure brune, grès grossier à glaçure saline et TCF blanche au décor de type Flow, fer laminé. Un contenant de verre fabriqué par la *Kilner Brothers Glass Co*. entre 1857 et 1900, provenant du lot 1B6, fait également partie de l'assemblage. Ce lot a également révélé la présence d'une pipe en TCF argileuse blanche de type fantaisie, dont le fourneau mythologique représente Silène, éducateur et compagnon fidèle de Dionysos, dieu du vin et de la vigne (photo 22).

Cette grande quantité d'artéfacts semble indiquer que la cour était, à une certaine époque, négligée. Comme le montrent les sources historiques, le secteur était peu entretenu, et les déchets n'étaient visiblement pas transportés en dehors de l'aire d'habitation. Vu la taille des fragments de céramique et de verre, il semble que la cour était peu fréquentée, servant principalement



Photo 22 - Pipe en terre cuite fine argileuse blanche de type fantaisie, dont le fourneau représente Silène retrouvé dans le lot 1B6 (cat. 8)

de passage pour accéder aux latrines ou pour rejoindre le passage privé. Comme décrit plus haut, le passage privé contenait lui aussi une grande quantité de déchets dans son niveau supérieur (2F3), indiquant qu'il n'était pas exempt des rejets sauvages des locataires.

La fouille des cours arrière a également mené à la découverte de deux fosses à déchets creusées de manière ponctuelle (ST-2 (2A6) et ST-34 (2P1, 2P2, 2P3, 2P4, 2P5)), ce qui démontre néanmoins un certain souci de propreté. Vu leur contexte stratigraphique, il est probable que ces fosses aient été excavées avant les années 1860, moment où l'environnement social du secteur commence à se dégrader. La première contenait plus de 900 artéfacts dans une fosse d'environ 1 m de diamètre, dont une centaine de fragments de verre à vitre, plus de 300 objets de quincaillerie et 200 ossements. La fosse contenait également trois dés à coudre, un peigne en ébonite, quatre bouteilles en verre, sept boutons en verre opaque blanc de type Prosser, en cuivre et en nacre, un couteau au manche en os et au moins quatre pipes, dont certaines proviennent du fabricant Henderson (1847-1876). L'assemblage céramique, composé de 155 fragments, est dominé par la TCF blanche (n=71), suivie par la TCF blanche vitrifiée (n=40). L'assemblage comprend également quelques fragments de TCG locale à glaçure incolore et du nord-est de l'Angleterre, de TCF jaune à glaçure claire et chamois à glaçure brune, de grès grossier à glaçure saline et Albany ainsi que de porcelaine fine dure européenne et *bone china* standard. Cet assemblage indique un dépôt survenu au cours de la deuxième moitié du XIX^{e} siècle.

La stratigraphie des dépôts de la fosse ST-34, légèrement plus grande que la précédente, semble indiquer une occupation plus complexe, avec un creusement (2P2) dans les niveaux de dépôt initiaux (2P1, 2P3, 2P4, 2P5). La composition des assemblages est similaire et indicative d'un dépôt au cours de la deuxième moitié du XIX^{e} siècle (voir tableau 13). Les os dominent l'assemblage (n=241). Le verre représente 27 % de l'assemblage (n=209), tandis que le métal est un peu moins présent (n=172). L'assemblage céramique, composé principalement de TCF blanche et TCF blanche vitrifiée, n'occupe qu'un peu plus de 13 % (n=104) de l'assemblage total de la fosse. Deux fioles de médication du Dr Pierre-Étienne Picault, pharmacien à Montréal, produites entre 1838 et 1894, y ont été trouvées et permettent d'offrir une fenêtre de datation légèrement plus précise.

DÉPENDANCES

Le plancher de l'une des dépendances associées à B2-C (ST-4), en mauvais état de préservation, a également été relevé lors des fouilles (voir carte 11). Celui-ci était recouvert des lots 2D2, 2D3 contenant une grande quantité d'os de boucherie associés à des restes de table (voir tableau 13).

Puisque l'excavation mécanique s'est arrêtée sur ce plancher, il est difficile d'interpréter la raison de la présence de ces os. Le verre à vitre et la quincaillerie, dont 39 clous en fer forgé, représentent encore une part importante de l'assemblage. Concernant la céramique, 288 tessons ont été associés à ces lots, dont plus de la moitié proviennent de vaisselle en TCF blanche (n=150), suivis par 48 fragments de TCF blanche vitrifiée. L'assemblage comprend également quelques fragments de TCG à glaçure incolore, de TCF jaune à glaçure claire et chamois à glaçure brune, de grès grossier Bristol et à glaçure saline et Albany. L'assemblage contient également 11 fragments de porcelaine fine *bone china*. La présence d'un bouton en Bakélite (post 1909) et de fil tréfilé (post 1890) indique une possible contamination du lot, possiblement causée par l'excavation mécanique qui l'a révélé.

Les dépendances ont probablement été modifiées au cours de l'occupation du lot durant la deuxième moitié du XIX^{e} siècle, mais les marqueurs archéologiques observés ne permettent pas d'en faire une analyse plus précise.

7.5.4 Aménagement d'un système de gestion des eaux usées

Le marché de construction de 1844 stipule que des latrines doubles doivent être construites dans les cours arrière des nouveaux logements. Puisque le marché a été conclu le 5 juin 1845, il semble donc que les latrines aient été construites à ce moment-là. Bien que le document ne mentionne pas la connexion de celles-ci à des drains de bois, les fouilles de 2023 ont révélé la présence d'un système complet de drains de bois, dont le principal (ST-43) draine les eaux usées vers le nord sous le passage privé, probablement pour les déverser dans le ruisseau de la côte à Baron. La planche de fond de ce drain, constituée de pin blanc, aurait été coupée en 1852 ou peu après.

Trois autres drains de bois se déversent dans le drain principal. D'abord, le petit drain ST-40, provenant du secteur des hangars, semble destiné à évacuer une petite quantité d'eau. Ensuite, le drain ST-33, fait de pin blanc et dont l'extrémité était aménagée de pierres calcaires, jouait certainement un rôle plus important dans la cour arrière de B2-C. Comme aucune structure associée à son extrémité n'a été observée, il est logique de croire que ce drain avait comme rôle principal d'irriguer la cour arrière lors d'épisodes de montée des eaux. Il a également pu servir de point de déversement pour le contenu de pots de chambre ou comme urinoir. Enfin, le drain ST-42, dont l'extrémité a été tronquée à l'est, près de la paroi de la fosse de latrines ST-16, aurait probablement été rattaché à cette fosse avant son réaménagement afin d'évacuer les éléments liquides et en réduire la fréquence des vidanges. Aucun autre drain n'a pu être daté, mais il est raisonnable de croire qu'ils ont tous été construits dans les mêmes années que le drain principal, soit autour de 1852.

Les lots associés à leur aménagement (2H16, 2N3 et 2N2) reflètent l'occupation du secteur durant la deuxième moitié du XIX^{e} siècle, mais semblent également compter quelques intrusions (tableau 14).



Photo 23 – Pièce de monnaie contenant le buste de la reine Victoria datant d'entre 1876 et 1901 (cat. 19)

Les drains ont été fouillés durant des épisodes de forte pluie et leur emplacement faisait en sorte qu'une grande quantité de sols y était déposée. Les niveaux associés à l'aménagement des drains semblent avoir été particulièrement perturbés par ces événements. La présence d'une pièce de monnaie dans le lot 2N2, contenant le buste de la reine Victoria datant d'entre 1876 et 1901 semble confirmer ce point (catalogue # 19) (photo 23).

La fosse de latrines rectangulaire ST-16, composée de planches de pruche du Canada, aurait été construite vers 1856 selon les datations dendrochronologiques effectuées sur les planches du fond. Cette datation ne correspond pas à ce qui est décrit dans le marché de 1844, et il semble surprenant qu'une fosse de latrines ait pu être reconstruite après moins de 12 ans d'utilisation. Toutefois, la datation de la fosse de latrines étant similaire à celle du drain principal, il se peut qu'elle ait fait l'objet d'un réaménagement au moment de l'implantation du système d'évacuation des eaux usées en bois. On l'aurait alors connecté au drain principal ST-43 par l'entremise du drain ST-42.

Les artéfacts récupérés dans les drains de bois mis au jour lors des fouilles de 2023 sont représentatifs d'une utilisation durant la deuxième moitié du XIX^{e} siècle (lots 2H11, 2H18, 2H19, 2N4, 2N5 et 2R3) (voir tableau 14). La collection céramique se compose principalement de terre cuite fine (blanche, blanche vitrifiée, jaune à glaçure claire, rouge à glaçure brune et chamois à glaçure brune), suivie de grès grossier (Derbyshire 2 et 3, Bristol, feldspath foncé, à glaçure saline et Albany) et de porcelaine fine (dure européenne, tendre indéterminée et *bone china*). On y trouve également quelques fragments de faïence et de *creamware*, ainsi que des pots horticoles en terre cuite grossière non glaçurée. Le verre présent dans l'assemblage est tout aussi varié : verre incolore avec et sans plomb, teinté régulier vert, turquoise, bleu, transparent vert foncé et opaque blanc.

Une grande partie de la collection comprend des matériaux de construction tels que des clous, du verre à vitre et diverses quincailleries architecturales (boulons et écrous, bandes, tiges, vis), ainsi que 607 écofacts, principalement liés à la consommation.

Le drain ST-33 (lot 2H11), le plus riche en culture matérielle (n=1537), contenait notamment un fragment d'assiette en TCF blanche vitrifiée produite par *Elsmore & Forester* entre 1853 et 1871, un fragment de pot de marmelade produit par *James Keiller & Son's* après 1828, ainsi qu'un fragment de tuyau de pipe Henderson dont la production s'est terminée en 1876. Une présence significative

de tissu distingue également ce drain des autres drains du site. La présence d'enfants est attestée par un fragment de vaisselle miniature, quelques fragments de poupées en porcelaine et trois billes en pierre. Enfin, au moins 11 boutons de fabrication variée (verre opaque blanc, métal cuivreux et verre, nacre et cuivre) ont été retrouvés dans ce drain.

Le drain ST-43 contenait des artéfacts permettant une datation plus précise de son utilisation, dont un fragment de rebord en TCF blanche vitrifiée provenant d'un contenant fabriqué par John Thomson entre 1826 et 1883, une bouteille à médicament en verre teinté turquoise portant les inscriptions moulées «DAVIS // VEGETABLE // PAIN KILLER» produite entre 1867 et 1945, ainsi que diverses pipes en TCF blanche argileuse portant les marques de *Henderson* (1847-1876), *Bannerman* (1888-1902) et *William Murray & Co* (1830-1861). Les drains ST-46 et ST-47 (lot 2R3) contenaient, pour leur part, peu d'artéfacts (n=107), dont deux fragments de *creamware* et un fragment de pipe produit par *William Murray & Co* entre 1830 et 1861.

La culture matérielle présente dans les drains de bois du site semble indiquer leur abandon au cours du dernier quart du XIX^{e} siècle, période correspondant à l'installation du drain en grès vernissé (ST-20). Ce dernier a été ajouté à la fosse de latrines, puis connecté aux égouts de la rue Clark. À ce moment, le drain de bois ST-42, tout comme les autres drains du terrain, aurait été condamné. Il est à noter que la compagnie *Gartcraig Glasgow*, basée en Écosse, n'a débuté la production de ce type de tuyau en grès vernissé qu'en 1872, ce qui indique que ce drain a nécessairement été installé après cette date.

Deux autres entrées d'eau, l'une au centre de la cour de B2-C et l'autre à l'intérieur du logement, étaient reliées à ce nouveau drain en grès. Celle de la cour arrière aurait pu être ajoutée pour drainer cette zone, remplaçant ainsi le drain ST-33. L'entrée à l'intérieur de la maison semble, pour sa part, avoir remplacé les drains ST-46 et ST-47, qui permettaient d'évacuer les eaux usées directement de l'intérieur du logement.

LATRINES ST-16

La fouille des latrines a révélé la présence de deux lots d'utilisation sous un épais remblai de démolition (2H9 et 2H10). Ces lots comportaient une grande quantité d'artéfacts, dont plusieurs ont pu être remontés en partie (photo 24). L'assemblage est principalement composé de TCF blanche vitrifiée, mais aussi de TCF jaune et chamois, toutes issues d'une production de masse (tableau 15). Ce type de vaisselle était abondant à l'époque en raison de sa facilité d'accès et de son faible coût. La présence d'une assiette vraisemblablement produite pour le jubilé de la reine Victoria en 1887 (catalogue #24) (photo 25) ainsi que d'une épaisse couche de journaux, dont l'un a pu être associé à un article publié dans le Philadelphia Record le 29 mars 1886 (photo 26), indique que ces niveaux d'occupation sont associés à la fin de l'occupation du bloc Beaudry, détruit vers 1889.



Photo 24 - Assemblage d'artéfacts récoltés dans les niveaux d'occupation de la fosse de latrines ST-16 (2H9 et 2H10)



Photo 25 - Assiette produite pour le jubilé de la reine Victoria en 1887 trouvée dans le lot 2H10 (cat. 19)



Photo 26 - Fragment d'un journal récolté dans le lot 2H10 sur lequel peut être discerné une partie d'un article paru dans le Philadelphia Record le 29 mars 1886 (photo : S. Lavallée, 2023)



Photo 27 - Pichet portant un décor moulé à motif de blé à trois rangées de grains fabriqué par W. and E. Corn entre 1864 et 1891, récolté dans le lot 2H9 (cat. 13)



Photo 28 - Pichet récolté dans le lot 2H10 portant un décor moulé à motif «Boy with Bird's Nest» produit vers 1850 (cat. 14)

Plusieurs objets récupérés dans ces niveaux sont complets ou reconstituables, suggérant un rejet intentionnel. Parmi ceux-ci, un pichet portant un décor moulé à motif de blé à trois rangées de grains fabriqué par W. and E. Corn entre 1864 et 1891 (photo 27) et un pichet à fond plat et retrait portant un décor moulé à motif «*Boy with Bird's Nest*» produit vers 1850 (photo 28). Comme il s'agissait de biens de peu de valeur, facilement remplaçables et assez encombrants lors d'un déménagement, il est possible que les derniers locataires aient décidé de s'en débarrasser. La présence de plusieurs cheminées de lampe, éléments normalement rares dans ce contexte, évoque également un certain «ménage» fait par les derniers habitants du bloc Beaudry avant de quitter les lieux.



Photo 29 - Bouton en quartzite à deux trous récoltés dans le lot 2H10 (cat. 16)

D'autres objets inusités ont également été récupérés dans la fosse de latrines ST-16. Parmi ceux-ci, un bouton en quartzite à deux trous (catalogue #16), matériau peu commun pour la fabrication de boutons (photo 29). S'y trouvait également un biberon de type «*turtle*», aussi appelé *nursing bottle* ou *murder bottle*. Ce contenant en verre était complété par un système de tétine reliée à un tube inséré dans l'ouverture de la bouteille.



Photo 30 - Biberon de type «turtle», aussi appelé *nursing bottle* ou *murder bottle* récolté dans le lot 2H10 (cat. 15)



Photo 31 - Oeuf en pierre découvert dans le lot 2H10 (cat. 17)

Leur utilisation, couplée à l'idée répandue qu'il ne fallait les laver que toutes les deux ou trois semaines, présentait de nombreux risques potentiellement mortels pour les jeunes enfants nourris au moyen de ces biberons (photo 30). Enfin, un œuf en pierre découvert dans le lot 2H10 pourrait avoir deux utilisations possibles : un œuf à repriser ou un œuf factice destiné à stimuler la ponte des poules. L'œuf à repriser permet de bien repérer le trou dans le textile et de tendre correctement la partie à réparer lors des travaux de couture. Les œufs factices permettent de faire perdre l'habitude aux oiseaux de manger leurs œufs, d'inciter les poules à pondre au bon endroit, et de servir de leurre lorsque l'on retire des œufs d'un nid (photo 31).

Les sols d'occupation échantillonnés au fond de la fosse de latrines ST-16 ont fait l'objet d'une analyse archéobotanique et archéoentomologique (voir annexe 5). Dans le lot 2H9, les plantes comestibles comprennent 97,42 % des spécimens identifiés, avec des bleuets, des tomates, des cerises à grappes, des fraises, des ronces, des concombres et des raisins parmi les plus abondants. Si la majorité de ces fruits devait être achetée au marché, d'autres pouvaient être cultivés sur place ou récoltés en périphérie de la ville. La présence de tomates et de concombres témoigne également de l'approvisionnement au marché, situé très près du terrain. Les insectes identifiés dans le lot 2H9 incluent des charognards, des décomposeurs de matière organique et des consommateurs de moisissures et de champignons, confirmant la fonction sanitaire du vestige.

Dans le lot 2H10, les plantes comestibles représentent 88,44 % des spécimens, avec des bleuets, des fraises, des tomates, et d'autres comme le lin et les concombres étant bien représentés. La présence de cenelles et cerises, avec leurs fruits à gros noyaux, pourrait indiquer leur utilisation pour la fabrication de liqueurs, médicaments, sirops ou gelées. Les insectes identifiés incluent des décomposeurs de matière organique et des consommateurs de bois, suggérant également un environnement riche en matière organique en décomposition, typique des latrines. La signature botanique de ce lot suggère également que les utilisateurs basaient une partie de leur alimentation sur les petits fruits sauvages et locaux ainsi que sur des plantes potagères.

L'analyse des restes osseux trouvés dans les drains permet de mieux comprendre l'alimentation des habitants du bloc Beaudry durant les périodes de dégradation de l'environnement social (2H11, 2N4, 2N5, 2H9, 2H10). Alors que l'assemblage du vide sanitaire, représentatif des habitudes alimentaires des premiers habitants du bloc, comprend surtout des coupes de viande de bonne et moyenne qualité, celui des drains et de la fosse de latrines comprend davantage de portions individuelles et moins de coupes dispendieuses. Le bœuf est présent sous forme de tranches minces sciées en coupes de moyenne et basse gamme. Les nombreux jarrets et gigots raccourcis de mouton/chèvre qui s'y trouve sont également des coupes moins raffinées. De plus, le fait qu'il se trouve plusieurs sections sciées des mêmes os peut témoigner d'une certaine standardisation des plats, comme on pourrait, par exemple, en trouver dans une auberge ou un restaurant.

7.5.5 Aménagement et occupation du secteur des hangars

En parallèle avec l'aménagement du Bloc Beaudry, le verger a été transformé en une aire d'entreposage. Les lots 2F26, 2F27 et 2F28 contiennent une grande quantité de planches, de fibres et de pâte de bois, indiquant l'installation de structures de stockage ou la construction de la clôture ouest du passage privé au milieu du XIX^{e} siècle. La culture matérielle récupérée comprend principalement des fragments de verre à vitre, quelques ossements et des retailles de cuir. L'assemblage céramique est composé de TCG locale à glaçure verte (1780-1835), à glaçure incolore et du nord-est de l'Angleterre 2 (1750-1899), de TCF blanche (1805+), de chamois à glaçure brune (1850-1895), de grès grossier Derbyshire 3 (1800-1875) et Bristol (1835-1900), ainsi que de porcelaine fine *bone china* standard (tableau 16). Cet assemblage reflète une occupation du milieu du XIX^{e} siècle.

REJETS SAUVAGES DANS LE SECTEUR DES HANGARS

Une succession de dépôts très riches a été fouillée dans les sous-opérations 2F et 2T (lots 2F9, 2F10, 2F13, 2F15/2F16, 2F17, 2F18, 2F19, 2F25, 2T4, 2T5, 2T6, 2T7 et 2T8). Vraisemblablement liés à divers épisodes de rejets sauvages, ces dépôts, adossés à la clôture ouest du passage privé, s'étendaient sur quelques mètres vers l'ouest. Ils étaient généralement plus épais près de la clôture, puis s'amincissaient en s'éloignant (couches C16-2, 4, 6, 7, 8, 9). Il est possible que ces rejets aient été déposés initialement pour combler le renfoncement créé par l'ancien canal agricole. Il reste toutefois impossible de relier ces dépôts à une occupation spécifique. Ont-ils été déposés par les habitants du Bloc Beaudry, responsables de l'entretien et de la vidange de leurs latrines, ou par d'autres habitants du quartier, voire par François-Xavier lui-même ?

De composition, texture et couleur variées, toutes les couches pointent vers des événements s'étant produits dans le troisième quart du XIX^{e} siècle (photo 32). Un total de 8868 artéfacts dans la sous-opération 2F et 3438 dans la sous-opération 2T ont été associés à des contextes de rejets sauvages



Photo 32 - Sous-opération 2F — Parois ouest de la sous-opération 2F avant son agrandissement montrant les compositions, textures et couleurs variées des différentes couches de rejets sauvages — Vue vers l'ouest (BjFj-225-23-N3-241)

(voir tableau 16). Les nombreux recollements d'objets entre les lots peuvent indiquer une certaine perturbation post-déposition, mais également une succession de dépôt dans un court laps de temps.

Une grande proportion de la collection est constituée de matériaux de construction (verre à vitre, clous, bande, etc.). Cependant, les objets-témoins liés à la consommation sont plus nombreux. On dénombre une grande quantité de vaisselle de service et de table, de gobelets, de verres à tige et à jambe, de bouteilles, de fioles et de pots. À cela s'ajoute une grande quantité d'écofacts (ossements d'animaux et coquilles d'huîtres) qui constituent environ 20 % de l'assemblage. L'assemblage céramique est largement dominé par TCF blanche (n=1462) et la TCF blanche vitrifiée (n=834), mais contient également un nombre considérable de fragments de TCF jaune à glaçure claire (n=179). En plus des quelques fragments de *creamware* et de *pearlware*, d'autres types de terre cuite fine ont également été recueillis, soit de la TCF colorée dans la masse, de la TCF rouge et de la TCF chamois à glaçures variées. Une grande variété de terre cuite grossière (TCG sans glaçure, TCG avec glaçure, TCG locale à glaçure verte, incolore, tachetée et colorée, TCG du nord-est de l'Angleterre 1 et 2, TCG avec engobe et glaçure), de grès grossier (GG rhénan brun, Derbyshire 1, 2, 3 et 4, GG à glaçure saline brune, GG Bristol, GG à glaçure saline et Albany, GG Albany, GG sans glaçure et GG à glaçure saline et feldspath) et de porcelaine (PC avec et sans glaçure, PF dure européenne et *bone china*) a également été trouvée. Le verre de l'assemblage est également varié et très présent (n=1476), comprenant du verre incolore avec et sans plomb, teinté régulier vert, turquoise, bleu et rose, du verre transparent vert foncé, brun, vert foncé britannique et brun, du verre opaque blanc, noir, bleu et vert ainsi que du verre polychrome superposé 3. L'assemblage présente également une diversité de matériaux tels que le liège, l'ébonite, le tissu, le feutre, le cuir et divers métaux.

Les lots 2F19, 2F25, 2T8 et 2T7 correspondent vraisemblablement aux premiers épisodes de rejets sauvages à l'ouest de la clôture et contiennent des fragments de briques, de pierre calcaire et de mortier normalement, indicatifs d'une activité de démolition ou construction à proximité. Ces lots contiennent certains artéfacts permettant d'offrir une datation plus précise, dont des fragments de pipe en TCF blanche argileuse de marque Henderson (1847-1876) et Duncan McDougall & Co (1847-1967), une soucoupe en TCF blanche vitrifiée produite par Samuel Alcock and Co. à Burslem entre 1828 et 1859, un pot d'onguent « Holloway's Ointment » produit à partir de 1837 et un fragment



Photo 33 - Verre à tige à coupe de forme conique portant un décor à chaud type moulé récolté dans le lot 2F25 (cat. 23)



Photo 34 - Broc octogonal avec un décor imprimé bleu à motif « University » fabriqué par John Ridgway & Co entre 1830 et 1855, trouvé dans le lot 2T5 (cat. 25)

d'assiette en TCF blanche vitrifiée du fabricant *Livesley, Powell & Co*. produite entre 1851 et 1866. Les fragments de cette dernière ont d'ailleurs été associés aux lots 2T8 et 2T7. Le lot 2T8 comprend également un fragment de lame de scie à dents inclinées en fer. Plusieurs fragments d'une assiette en TCF blanche vitrifiée au décor imprimé bleu produite par *William Adams & Sons* entre 1819 et 1864 ont été retrouvés dans le lot 2F19, mais également dans les lots 2F17 et 2F18. Le lot 2F25 a pour sa part révélé la présence d'un verre à tige à coupe de forme conique portant un décor à chaud type moulé. La forme du verre et son décor le rapprocheraient plutôt des productions de la fin du XVIII^{e} ou du début du XIX^{e} siècle (catalogue # 23) (photo 33).

Les lots 2T5 et 2T6 contiennent une grande quantité de débris métalliques dont l'origine reste indéterminée. L'assemblage du lot 2T5 présente également des éléments similaires à ceux des autres dépôts sauvages. Parmi ceux-ci, on trouve de la vaisselle de table en TCF blanche produite par *William Adams & Sons* entre 1800 et 1864, ainsi que de la TCF blanche vitrifiée à motif « Florentine » produite entre 1842 et 1871. Un autre fragment porte l'inscription *Mayer & Elliot*, actif entre 1858 et 1861, et un broc octogonal avec un décor imprimé bleu à motif « University » a été fabriqué par *John Ridgway & Co* entre 1830 et 1855 (catalogue #25) (photo 34).

Les lots 2F15, 2F16 et 2F18 semblent, pour leur part, associés à une activité de production de chaussures et de travail du bois. En effet, on y trouvait une quantité considérable de fragments de bois travaillé, de retailles de cuir et de fragments de chaussures. En plus de la présence de fragments de l'assiette *William Adams & Sons* décrite précédemment, on note la présence d'un fragment de rebord arborant un motif « lasso »

fabriqué par John Goodwin entre 1852 et 1864, d'un fragment de fond de contenant produit par John Wedgwood entre 1841 et 1860 ainsi que de tuyaux de pipe produits par Henderson entre 1847 et 1876. Notons également la présence, dans le lot 2F16, d'une tête de brosse à dents en os.

Les lots 2F13 et 2F17, bien que moins riches que les précédents, sont plutôt associés à des rejets de combustion de charbon minéral. Le lot 2F13 ne contient pas d'objets permettant une datation précise de son dépôt. En revanche, le lot 2F17 comprend des fragments de l'assiette *William Adams & Sons* (1819-1864), également présents dans les lots 2F18 et 2F19, ainsi qu'un fragment de fond d'un contenant en TCF blanche vitrifiée produit par *Holland & Green* entre 1853 et 1882. Ce lot contient également une fourchette à trois dents à sole en queue-de-rat dont le manche n'est pas conservé. Les artéfacts de ces lots ne montrent pas de signes d'altération par la chaleur, indiquant qu'ils ne proviennent pas des résidus de combustion du charbon minéral qui composent ces lots.

Le lot 2F10, très organique et contenant des coquilles d'œuf, semble provenir de la vidange d'une fosse de latrines. C'est l'assemblage le plus important parmi les lots associés aux rejets sauvages et contiens plusieurs objets permettant une datation précise de son contenu. De nombreux fragments de vaisselle de table en TCF blanche et blanche vitrifiée, présentant des décors variés, ont pu être associés à des fabricants spécifiques : motif « Cintra », Joseph Heath (1841-1853) ; motif « Indian Chiefs », *John Thomson & Sons* (1826-1883) ; motif « Garden scenery », *Thomas, John & Jos Mayer* (1842-1855) ; motif « Aladdin », John Ridgway (1830-1841) ; motif « Rousillon », John Goodwin (1851-1871) ; motif « Claremont », Joseph Clementson (1856-1865) ; motif « The temple », *P W & Co* (1835-1861) ; motif « Hong Kong », Charles Meigh (1835-1861). Le fragment d'une assiette Meakin (1854-1890) avec la marque de l'importateur *Thomson & Minchin* de Montréal a également été découvert lors de la fouille de ce lot (catalogue #21). Le décor de l'assiette et les détails de la marque d'importateur indiquent qu'elle aurait été produite entre 1854 et 1864 (photo 35).



Photo 35 - Assiette Meakin (1854-1890) avec la marque de l'importateur Thomson & Minchin de Montréal retrouvé dans le lot 2F10 (cat. 21)



Photo 36 - Possible goblet en verre polychrome superposé avec un décor doré et vert, dont les morceaux proviennent des lots 2F9, 2F10 et 2F13



Photo 37 - Assemblage de divers boutons provenant du lot 2F10



Photo 38 - Couvercle d'un pot de pâte dentifrice portant l'inscription « Glenn's aromatic rose toothpaste » récolté dans le lot 2F10

Le lot 2F10 contient des fragments d'un possible gobelet en verre polychrome superposé avec un décor doré et vert, dont certains morceaux proviennent aussi des lots voisins 2F13 et 2F9 (photo 36). L'assemblage inclut de nombreux boutons de type Prosser aux motifs variés, en verre opaque bleu en forme de fleur, en os et en nacre (photo 37), ainsi que le couvercle d'un pot de pâte dentifrice portant l'inscription « *Glenn's aromatic rose toothpaste* » (photo 38). Plusieurs fragments de pipe en TCF argileuse blanche, dont les « Henderson » (1847-1876), retrouvés dans de nombreux lots du site, sont aussi présents. Il contient également certains fragments de pipes produites en France par Gambier (1780-1926) et Higgins (S.D.). Un fragment de tuyau de pipe probablement produit lors de la visite du Prince Albert au Canada en 1860 a également été trouvé dans ce lot.

Le lot 2F9, situé entre les dépôts sauvages et l'occupation du secteur des hangars (lot 2F8), présente les caractéristiques du sol organique du dépôt 2F10 ainsi que des éléments liés à des activités de construction. Les nombreux artéfacts constituant cet assemblage semblent provenir du même événement de dépôt que le lot 2F10 et offrent une datation similaire. Parmi les fragments trouvés, on note des pipes en TCF argileuse blanche de marque Henderson (1847-1876), dont une portant l'inscription *Grand Trunk*, compagnie en activité dès 1852. La collection inclut également des fragments de vaisselle en TCF blanche au motif « Garden Scenery » produite par *Thomas, John & Jos Mayer* entre 1842 et 1855, au motif « Italian Lakes » du producteur *J & M P Bell & Co.* (1851-1928), au motif « Bear on Rock » de Thomas, John & Jos Mayer (1842-1855), et au motif « California Diggings » de *John Thomson & Sons* (1826-1883). Des fragments de vaisselle de table en TCF blanche vitrifiée ont également été associés aux fabricants *Thomas & John Mayer* (1838-1842) et Joseph Clementson (1839-1864). L'assemblage céramique comprend aussi les fragments d'une assiette « Malay », très rarement retrouvée dans les contextes archéologiques québécois (catalogue #11).

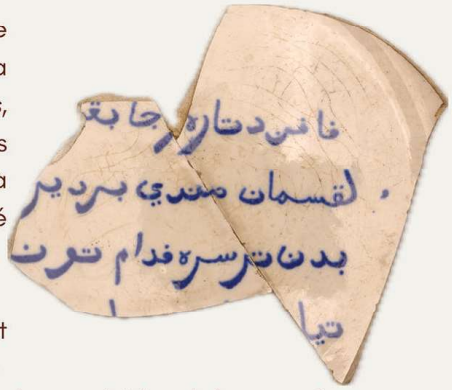
Parmi les petits objets, le lot 2F9 contient un fragment de pierre à fusil en silex, une tête de fourchette à trois dents à tige en balustre, une lime en fer, une soucoupe miniature, une bille en terre cuite grossière et trois boutons. Les objets contenus dans les lots 2F9 et 2F10 suggèrent un dépôt au cours du troisième quart du XIX^{e} siècle. Étant donné que la fosse de latrines ST-16 est construite vers 1859, il est plausible que ces dépôts proviennent de la vidange de la fosse de latrines initiale lors de son remplacement.

Plus au sud, le lot 2T4 est particulièrement riche en artéfacts et, comme pour les lots 2F10 et 2F9, il se trouvait directement sous les niveaux d'aménagement des hangars. Il présente également une culture matérielle similaire, bien que le sol soit beaucoup moins organique. Sa collection céramique inclut une grande variété de décors et de fabricants, tels que *Clementson & Young* (1845-1847), *Thomas & John Mayer* (1838-1842), *Mayer & Elliot* (1858-1861), *William Adams V* (1865-1880) et Joseph Clementson (1838-1864). Un fragment d'assiette en TCF blanche vitrifiée porte également une marque en losange des fabricants *Thomas, John & Jos Mayer*, indiquant que le motif a été enregistré le 2 septembre 1851. Ces derniers ont participé à l'Exposition universelle de 1851 à Londres, où ils ont remporté une médaille pour ce motif.

Quatre bouteilles à médicaments en verre, dont deux portant l'inscription Henry R. Gray (1859-1913), une *Mrs Winslow's Soothing Syrup* (1846-1906) et une autre *Dr. Hostetter's Stomach Bitters* (1853-1965), font également partie de l'assemblage. Celui-ci comprend aussi plusieurs fragments de pipes en TCF argileuse blanche de marque *William Murray & Co* (1830-1861), Henderson (1847-1876) et L. Fiolet (1746-1920).

BiFj-225-2F9

L'ASSIETTE À MOTIF MALAY



La collection a révélé deux fragments d'une assiette intrigante, ornée d'un décor imprimé à motif *Malay*. La marque ainsi que le nom du fabricant, *W. Adams & Sons*, inscrits à l'endos de l'objet, ont permis d'identifier sans difficulté le modèle de l'assiette. Ce dernier correspond à une production britannique destinée non pas au marché montréalais, mais plutôt au marché indonésien.

À partir des années 1850, on observe une globalisation et une mondialisation de la circulation des biens, qu'il s'agisse de matières premières ou de biens manufacturés. Alors que le marché local des grandes puissances européennes atteint la saturation, celles-ci continuent de produire des objets manufacturés en grande quantité et inondent leurs marchés coloniaux respectifs. Elles cherchent également à développer de nouveaux marchés d'exportation en dehors de leurs colonies et de leurs zones d'influence. Des compagnies spécialisées en import-export se développent alors partout dans le monde occidental ainsi que dans les métropoles des différents ensembles coloniaux. En ce qui concerne le commerce entre l'Europe et l'Asie, l'ouverture du canal de Suez accélère les flux de distribution vers l'Asie. Outre la réduction considérable de la distance à parcourir, l'usage de bateaux à vapeur, capables de transporter plus rapidement de plus grandes quantités d'objets sur de longues distances, permet d'approvisionner plus facilement le marché asiatique.

Dans les colonies néerlandaises d'Asie (*Dutch East India*), les poteries britanniques entrent ainsi en compétition avec les centres potiers asiatiques, principalement chinois et japonais, qui dominent le marché asiatique jusque-là. Dès les années 1850, un type particulier de production céramique britannique, destiné spécifiquement au marché indonésien, apparaît. Il s'agit d'assiettes portant un texte en *jawi*, un système d'écriture utilisant l'alphabet arabe pour transcrire la langue malaise et plusieurs autres langues malaïques.

En 1853, Copeland est le premier Britannique à produire ce type d'assiette, avec le motif *Four Caliphs*. *William Adams & Sons* et *Hawley & Co* (de la manufacture *Foley Pottery*) produisent ensuite des céramiques similaires à la demande de la firme d'import-export *Anderson Tolson & Co*, située à Batavia (aujourd'hui Jakarta) et possédant des branches à Londres, Liverpool et Le Cap. Les assiettes portent des textes promouvant la firme sur le pourtour, avec le texte suivant en jawi: "The owner is named Anderson Hunt / In England he has a prosperous trade / His partner is Anderson Tolson / Who is famous in Batavia". Ce texte entoure des poèmes / écrits dans la partie centrale.

En Indonésie, les écritures *jawi* sont intimement liées au religieux et ont un caractère sacré. Ainsi, certaines assiettes sont insérées dans les murs des tombeaux de trois personnages saints de l'islam. Il est donc particulièrement étrange de trouver une assiette de ce type à Montréal, d'autant plus que la présence de deux autres assiettes à motif Malay a été répertoriée sur la rue Wellington à Montréal. Cependant, ces dernières présentent un médaillon central différent, pour lequel un comparable a été mis au jour au Sri Lanka.

OCCUPATION DU SECTEUR DES HANGARS

La texture, la composition et la compacité de certains lots fouillés dans le secteur des hangars reflètent une occupation plus marquée de la zone (1C6, 1C7, 2F5, 2F6, 2F7, 2F8, 2Q1, 2Q3, 2T1 et 2T2). Bien que ces lots contiennent encore une grande quantité d'artéfacts, ils ne sont pas comparables à ceux associés aux rejets sauvages (voir tableau 16). Ces niveaux d'occupation semblent aussi correspondre à l'aménagement des hangars nord (ST-39) et sud (ST-50) qui a eu lieu dans la deuxième moitié du XIX^{e} siècle (voir carte 12). Ce secteur, autrefois inoccupé, semble avoir trouvé une certaine utilité. Aucune donnée historique ne mentionne le secteur des hangars ni ses occupants. Les données archéologiques ne permettent pas de formuler une hypothèse précise quant aux activités réalisées dans cette zone.

La fouille du plancher ST-39 a révélé l'aspect négligé de la construction du hangar nord, malgré les efforts considérables investis. Le plancher reposait en partie sur des pierres calcaires ébauchées et était composé d'au moins deux niveaux de planches de pin blanc. L'analyse dendrochronologique n'a pas permis de fournir une datation précise, mis à part que l'une des planches provient d'un arbre abattu après 1817. Le plancher semble avoir été initialement construit de manière symétrique et nivelée (photo 39), mais des planches ont été ajoutées ultérieurement dans la moitié est (photo 40) pour compenser un enfoncement du plancher. Étant donné que le hangar est construit directement sur les niveaux de dépôts sauvages, ces sols ont probablement fini par se comprimer, déstabilisant la structure initiale.



Photo 39 - Sous-opération 2F — Premier niveau du plancher du hangar nord (ST-39) — Vue vers l'ouest (BjFj-225-23-N3-414)



Photo 40 - Sous-opération 2F — Ajout de planches dans la moitié est du plancher du hangar nord (ST-39) — Vue vers l'est (BjFj-225-23-N3-408)

Les artéfacts récoltés lors du démantèlement de ce plancher (lots 2F23 et 2F24) sont principalement liés à une occupation domestique (ossements, vaisselle de table et de service), mais incluent également des éléments de construction (verre à vitre, clous et tiges). L'assemblage céramique est dominé par la TCF blanche (n=57), suivie par la TCF blanche vitrifiée (n=17), la TCF jaune à glaçure claire et la TCF chamois à glaçure brune. On retrouve également des fragments de terre cuite grossière (TCG avec glaçure, TCG locale à glaçure incolore, TCG du nord-est de l'Angleterre 2), de grès grossier (GG Derbyshire 3, GG à glaçure saline et Albany et GG à glaçure saline) ainsi qu'un fragment de porcelaine fine *bone china*. L'assemblage comprend aussi quelques fragments de bouteilles en verre transparent vert foncé et verre teinté turquoise, en plus des fragments de contenant indéterminés en verre incolore au plomb et teinté vert. Deux petits boutons en verre opaque blanc et huit fragments de pipe en TCF argileuse blanche complètent l'assemblage.

Les ossements récoltés dans le lot 2F24 comprennent principalement des oiseaux et des moutons/chèvres, mais aussi une grande quantité de bœuf et, en moindre quantité, de porc. Les découpes de bœuf sont réalisées à la scie, tandis que les sous-divisions et la découpe du porc et du mouton/chèvre sont faites à l'aide d'outils tranchants. Ce type de boucherie est typique du milieu du XIX^{e} siècle à Montréal.

Les lots 2F21 et 2F22, situés à la surface du plancher ST-39, n'ont fourni qu'une centaine d'artéfacts, dont la majorité est constituée des clous et des ossements d'animaux (voir tableau 16). Il convient de mentionner la présence d'un éperon à roulette dans le lot 2F22, utilisé en équitation pour donner des indications précises au cheval. L'analyse zooarchéologique des ossements de ces lots indique une occupation domestique du milieu du XIX^{e} siècle comprenant du bœuf, du mouton/chèvre, du porc, un oiseau et du poisson local. Ces restes, ainsi que les artéfacts associés, semblent indiquer une continuité des dépôts sauvages plutôt qu'une occupation directe du hangar.

Une partie du plancher du hangar sud (ST-50) a également été mise au jour. Sa construction aléatoire est négligée, principalement composée de planches, dont l'une semble avoir été réutilisée après un incendie, posées sur le sol pour offrir une surface de circulation. Le lot lié à l'occupation de ce hangar (2T3) ne compte que 73 artéfacts, dont la moitié sont des os de boucherie. On y trouve aussi du verre à vitre, des bouteilles et des lampes (incolore sans plomb, teinté régulier vert et turquoise, transparent vert foncé, brun et bleu) ainsi que quelques clous, certains étant laminés. Les quelques fragments de céramiques incluent des tessons de TCF blanche, de TCF blanche vitrifiée, de TCF jaune à glaçure claire et du grès grossier à glaçure saline brune. Un seul fragment de pipe en TCF argileuse blanche a été trouvé.

Un niveau d'une dizaine de centimètres d'épaisseur, composé principalement de scories pulvérisées, de cendres de charbon minéral et de fragments de charbon, a été étendu sur toute la surface du secteur des hangars pendant son utilisation (1C99 et 2Q2). Ce niveau, dont la surface se situe à

environ 21,60 m NMM, contenait également une grande quantité d'artéfacts datant de la deuxième moitié du XIXe siècle, associés à une occupation domestique (voir tableau 16). Plus de la moitié de l'assemblage est constitué d'ossements d'animaux et de coquilles (1285/1798). Le verre y est relativement abondant : verre teinté régulier vert, turquoise, bleu, verre polychrome superposé 3, incolore au plomb, transparent vert foncé et vert foncé britannique, principalement issu de vitres et de bouteilles. L'assemblage céramique est majoritairement composé de terre cuite fine (blanche, vitrifiée, jaune à glaçure claire), de porcelaine fine (*bone china* et dure européenne), et de quelques fragments de grès grossier à glaçure saline brune et de terre cuite grossière (Angleterre, avec glaçure, locale à glaçure incolore et sans glaçure). Un fragment d'assiette en TCF blanche attribuée à *William Adams IV & Sons* (1829-1861) et des tuyaux de pipe en TCF argileuse blanche de marque Henderson (1847-1867) et *William Murray & Co* (1830-1861) suggèrent une déposition dans la deuxième moitié du XIXe siècle, peut-être même au cours du troisième quart de celui-ci. Un bénitier d'applique en TCF blanche se trouvait dans le lot 2Q2 (catalogue #20, photo 41). Il s'agit d'un objet liturgique adapté à l'usage domestique, accroché au mur, contenant une petite quantité d'eau bénite pour permettre aux occupants de se signer.



Photo 41 - Bénitier d'applique en terre cuite fine blanche récolté dans le lot 2Q2 (cat. 20)

Rien dans le contenu de ces lots n'indique une quelconque activité industrielle dans ce secteur. Ce niveau a probablement été étalé pour assainir la surface du secteur des hangars et en faciliter la circulation, provenant des restes de combustion et de rejets domestiques du secteur.

7.6 Transformation immobilière et industrialisation (1889-1958)

La démolition de la moitié nord du bloc Beaudry vers 1889 a laissé des traces bien marquées dans les niveaux d'occupation du site (carte 13), principalement à l'intérieur des bâtiments (1B4 et 1B5), mais également dans la fosse de latrines (2H2, 2H3, 2H4, 2H5, 2H6 et 2H7) ainsi que dans quelques dépôts plus fins du secteur (1C5 et 2F1). Ces lots, riches en artéfacts, sont représentatifs de l'occupation domestique du secteur au cours de la deuxième moitié du XIXe siècle, mais aussi des périodes suivantes. Ils présentent un assemblage similaire à ceux décrits précédemment, avec une forte présence d'ossements, de clous, de verre à vitre, une grande variété de verre et une collection céramique diversifiée (terre cuite grossière, *creamware*, *pearlware*, terre cuite fine colorée, grès grossier et porcelaine fine), bien que dominée par la TCF blanche et blanche vitrifiée (tableau 17).

Parmi les artéfacts retrouvés à l'intérieur de la maison, dans les lots 1B4 et 1B5, il est important de mentionner un fragment de pichet au motif « Garden scenery » produit par *Thomas, John & Jos Mayer* (1842-1855). Ce même motif a été retrouvé sur des fragments collectés dans le lot 2F10, attribué à

5 041 000 m N
299 825 m E
5 040 975 m N
299 825 m E
Nord Mtl
Nord géo
DE VERCHERES AVE.
Rue Clark
1A
1B
1C
2A
2B
2C
2D
2E
2F
2G
2H
2J
2K
2L
2M
2N
2P
2Q
2R
2T
2Y
2Z
ST-52
ST-53
ST-23
ST-24
ST-55
ST-56
299 850 m E
5 040 975 m N
5 041 000 m N

Composantes du projet

- Sous-opération
- 1B Identification de sous-opération
- Maçonnerie de pierres
- Bois (planche, drain, poteau, plancher)
- Creusement ancien
- *ST-52* Identification de vestige

Environnement spatial

- Cadastre du Québec
- Toit des bâtiments
- Tuile de la ville
- ABC Odonyme

Inventaire archéologique
Réfection du siège social d'Hydro-Québec

Superposition des éléments archéologiques témoignant de la démolition de la portion nord du bloc Beaudry et de l'occupation du lot vacant au début du XXe siècle sur le plan de Goad de 1890

Sources :

Tuile urbaine: ville de Montréal, 31H12-010-0235, -0236.dxf;
Cadastre du Québec: © Gouvernement du Québec MRNF;
Arpentages: 15 novembre.txt, AK2023B.txt, AK2023BB.txt, novembre 2023.txt
Zone d'intervention : Aire_d'intervention.shp
Plan ancien: 1890 Goad, Chas. E. Atlas of the City of Montreal from special survey and official plans... Plate VI. BAnQ : 0000174398.

Cartographie : Arkéos
Fichier : Ark24_02HQ-Et-Pot-20240711.dwg

0 1,75 3,5 m
MTM, fuseau 8, NAD83 (SCRS)

Carte 13

Juillet 2024

Hydro Québec

Document d'information destiné aux publics concernés par le projet. Pour tout autre usage, communiquer avec l'unité Géomatique, à Hydro-Québec.

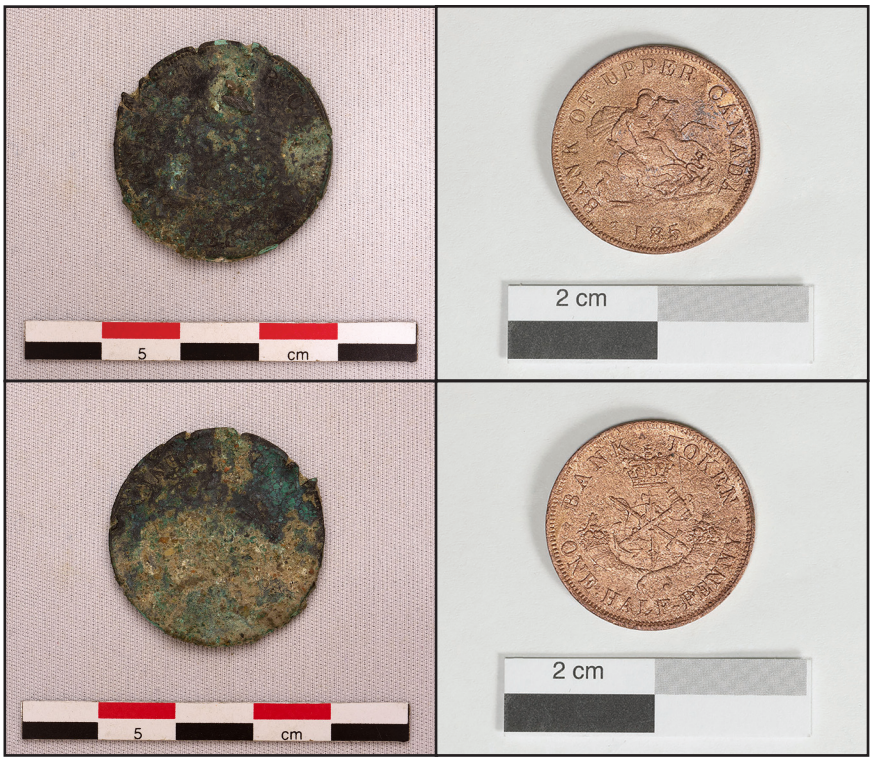


Photo 42 - À gauche, une piièce d'un demi-penny présentant, d'un côté, Saint-Georges à cheval terrassant le dragon, et de l'autre, les armoiries du Haut-Canada, produite entre 1850 et 1857 et récoltée dans le lot 1B4. À droite, son équivalent non oxydé



Photo 43 - Fourneau de pipe en terre suite fine argileuse blanche représentant un vieillard portant un bonnet au bord ondulé, récolté dans le lot 1B5 (cat. 7)

un rejet sauvage de vidange de fosse de latrines. La fouille a également mis au jour une pièce d'un demi-penny présentant, d'un côté, Saint-Georges à cheval terrassant le dragon, et de l'autre, les armoiries du Haut-Canada. Cette pièce aurait été produite entre 1850 et 1857 (catalogue #6, photo 42). Le lot 1B5 contenait un fourneau de pipe représentant un vieillard portant un bonnet au bord ondulé, représentant un concierge. Elle semble provenir de France, mais sa datation n'a pas pu être précisée (catalogue #7, photo 43). Signe du caractère remanié de ces lots, des fragments de pipe en TCF argileuse blanche de marque Bannerman (1888-1902) et *William Murray & Co* (1830-1861) y étaient également présents.

Plusieurs niveaux de déblais de démolition ont été ajoutés dans la fosse de latrines ST-16 pour bien la remblayer après son abandon. Ces lots ont permis de recueillir 1705 artéfacts et écofacts. Le lot 2H3 contenait, entre autres, un fragment

d'un contenant en grès grossier Derbyshire 2 produit par *Isaac & Co* le 12 mars 1850, un fragment de tuyau de pipe Henderson's (1849-1876), une fiole de médicament en verre incolore au plomb fabriquée pour R.H. Bryson (*Bryson's Medical Dispensary*) entre 1881 et 1915 et un fragment de TCF blanche vitrifiée portant les marques de l'importateur G. Peck, actif au milieu du XIX[e] siècle.

BiFj-225-2H3

LES MARQUES D'IMPORTATEUR

Un certain nombre de poteries anglaises produites au cours du XIXe siècle pour le marché nord-américain portent non pas une marque de producteur mais une marque d'importateur. Ce phénomène a notamment été observé dans le cas des productions du Staffordshire au cours de la période 1820-1860.



Un seul importateur étatsunien est connu pour avoir apposé sa marque sur de la céramique avant la guerre civile américaine. Les importateurs montréalais et, plus largement, canadiens semblent quant à eux imposer leur nom uniquement à partir des années 1830. Toutefois, cela ne se fait pas systématiquement sur les objets céramiques importés. De nombreux objets portent en effet uniquement la marque du producteur, voire ne portent aucune marque.

Au cours des années 1840, ce phénomène prend de l'importance, alors que la terre cuite fine blanche vitrifiée devient populaire. Un certain nombre de manufacturiers britanniques adoptent cette pratique, à l'image de Joseph Clementson, des Alcocks, de James Edwards, de C. J. Mason, de T.J. & J. Mayer, et de Wm. Ridgway*. Parmi les objets portant des marques d'importateur, certains composent des ensembles de vaisselles produits pour des hôtels américains, comportant un décor imprimé permettant d'identifier l'hôtel en question sur la face visible de la vaisselle et, à l'endos, le nom de l'importateur. Le décor imprimé est le plus souvent discret. Ces objets de vaisselle d'hôtel (*hotelware*) sont principalement produits au cours des années 1840 et 1850. La pratique d'apposer des marques d'importateur va quant à elle proliférer au XXe siècle et se retrouve sur des céramiques de tous types et de valeurs variables.

Un des fragments de terre cuite fine blanche vitrifiée mis au jour porte la marque de l'importateur G. Peck, basé à Rochester dans l'État de New York. Cet importateur est en activité entre 1845 et 1854 et est connu pour avoir importé des productions de C. J. Mason. Il a notamment importé de la vaisselle en terre cuite fine blanche vitrifiée pour l'Eagle Hotel situé à Buffalo. Ce détail est intéressant car il suggère que cette vaisselle a voyagé depuis les États-Unis jusqu'à Montréal. Peut-être s'agit-il d'un souvenir.

*T.J. & J. Mayer et Wm. Ridgway vont également produire de la céramique type *hotelware* pour le Canadian Pacific à la fin du XIXe siècle et au début du siècle suivant. Ces modèles porteront la marque du client et non de l'importateur.

Les autres dépôts au-dessus de la fosse de latrines ST-16 contenaient, en plus des artéfacts représentatifs d'une occupation domestique de la deuxième moitié du XIX^{e} siècle, un clou tréfilé (post 1890) et un fragment de peigne en bakélite (post 1909).



Photo 44 - Sifflet de porcelaine représentant le personnage « Mr. Punch » produit entre 1880 et 1910, trouvé dans le lot 2F1 (cat. 22)

Le lot 2F1, résultant du nettoyage en surface après l'excavation mécanique, présente un assemblage particulièrement riche (n=1044). Comme les autres lots associés à la démolition du bloc Beaudry, il contient principalement des artéfacts liés à l'occupation domestique du site. On y trouve certains éléments plus anciens, comme un fragment de contenant en TCF blanche vitrifiée à motif « Lacaonia » produit par *Baker & Till* entre 1848 et 1850, un fragment de grès grossier Derbyshire 1 (1745 *c.* – 1825 *c.*), un fragment de grès grossier Albany, particulièrement populaire entre 1755 *c.* et 1820 *c.*, et au moins trois clous en fer forgé. La fouille a aussi mis au jour des artéfacts plus récents, tels qu'un fragment de tuyau de pipe produit par *W.H. Dixon & Co* entre 1876 et 1892, des clous en fer tréfilé, ainsi qu'un sifflet en biscuit de porcelaine représentant un homme au dos bossu et au ventre proéminent (catalogue #22, photo 44). Ce sifflet, produit en Europe centrale principalement durant la période 1880-1910, représente le personnage « Mr. Punch », une figure principale du spectacle de marionnettes « Punch et Judy », dérivé de la *commedia dell'arte*, dont l'équivalent français est Polichinelle.

7.6.1 Terrain vague post-démolition

Après la démolition, le site semble être demeuré vacant pendant quelques années, jusqu'aux environs de 1908, moment où il est occupé par la cour à bois McLennan Lumber Company (voir figure 23). Une fosse à déchets subcirculaire, d'environ 1,30 m de diamètre et 0,30 m de profondeur, creusée à même le sol, contient des déchets alimentaires et domestiques liés à cette période, parmi certains objets plus anciens (ST-23, lots 2M1 et 2M2) (tableau 18). On y retrouve quelques fragments de *creamware* et de TCG locale à glaçure verte, plus couramment trouvés dans des contextes de la première moitié du XIX^{e} siècle, mais l'assemblage est dominé, une fois de plus, par la TCF blanche et blanche vitrifiée. Parmi ceux-ci se trouvent un fragment d'assiette à motif végétal du fabricant *J & G. Meakin*, produit après 1891, ainsi qu'un autre à motif « Ceres » produit par *W. & E. Corn* entre 1854 et 1890. L'assemblage comprend également une grande quantité de verre à bouteilles,



Photo 45 - Bouteille à Cognac en verre teinté régulier turquoise portant l'inscription « J. MARTIN & Co » trouvée dans le lot 2M2



Photo 46 - Bouteille de parfum pour chien en verre incolore au plomb récoltée dans le lot 2M2



Photo 47 - Tuyau de pipe en terre cuite fine argileuse blanche portant les inscriptions « FILLE A LA MODE // GIRL OF THE PERIOD », trouvé dans le lot 2M2

dont une bouteille de Cognac entière (photo 45) et ce qui semble être une bouteille de parfum pour chien (photo 46).

Parmi les petits objets, on retrouve quelques boutons, dont certains de type Prosser, une pièce de monnaie illisible, une médaille de Notre-Dame des Grâces créée à la suite des apparitions mariales en 1830 dans une chapelle de Paris, une bille en pierre, un couteau en fer et en os, ainsi que plusieurs fragments de pipe en TCF argileuse blanche, dont certaines portent les marques Bannerman (1858-1902) et *W. H. Dixon & Co.* (1876-1892). L'une porte également les inscriptions moulées dans un cartouche floral « FILLE A LA MODE // GIRL OF THE PERIOD » (photo 47).

Une autre fosse (ST-24, lot 2M3), de forme irrégulière, située juste au nord-est de la précédente, est comblée d'un sol et d'un assemblage très similaires (voir tableau 18). Parmi les objets diagnostiques, on trouve des fragments de vaisselle de table en TCF blanche vitrifiée, produits par *Robert Cochran & Co* (1846-1918) et William Taylor (1860-1881). Cette fosse est particulièrement riche en petits objets, notamment en fragments de pipe en TCF argileuse blanche. Plusieurs de ces pipes ont été produites par Bannerman (1888-1902), l'une porte la marque de William et David Bell (1862-1881), une autre celle d'Henderson (1847-1876) et une autre encore celle de L. Fiolet (1746-1920). Compte tenu de sa forme inhabituelle, il est possible que la fosse ST-24 soit le résultat d'une activité différente, et qu'elle ait été remplie de façon opportuniste par les occupants du secteur.



Photo 48 - Bouteilles d'encre en grès grossier récolté dans le lot 2H1



Photo 49 - Artéfacts récoltés dans le lot 2H1 : a) Bouteille en verre incolore au plomb portant les inscriptions moulées « DR. C. S. STROUD / DISPENSING CHEMIST / MONTREAL » (1885-1910) ; b) d'une bouteille de soda gingembre de C. Gurd & Co. en verre teinté turquoise (post 1880) et c) Isolateur électrique en verre

Elle contient également plusieurs boutons, majoritairement en verre opaque blanc, mais aussi en verre opaque noir, en nacre, en cuivre, ainsi qu'un peigne en plastique noir.

Le niveau supérieur de la fosse de latrines ST-16 (2H1) contenait également des déchets de l'époque, dont une grande concentration de bouteilles de tout genre, notamment plusieurs bouteilles d'encre en grès grossier Derbyshire 3 et 4 (photo 48). La présence de bouteilles en verre incolore au plomb portant les inscriptions moulées « DR. C. S. STROUD / DISPENSING CHEMIST / MONTREAL » datant de 1885-1910, d'une bouteille de soda gingembre de C. Gurd & Co. en verre teinté turquoise vendue après 1880, ainsi que d'un isolateur électrique en verre, confirme un dépôt effectué au début du XIX^{e} siècle (photo 49).

Il semble que la pratique de rejet sauvage se soit poursuivie après la démolition de la portion nord du Bloc Beaudry. Ces rejets pourraient provenir des locataires de la portion sud (B1) qui profitaient du terrain vague pour se débarrasser de leurs rebuts, mais ils pourraient également provenir des autres habitants du secteur.

7.6.2 Aménagement et occupation de la cour à bois McLennan Lumber Company

Après la démolition de la portion sud du bloc Beaudry, la cour à bois s'agrandit et prend possession de tout le terrain au sud de la nouvelle avenue Verchère (carte 14). Une clôture orientée est-ouest est installée au nord du lot, et plusieurs poteaux de thuya occidental ou leurs traces ont été observés sur le terrain (ST-11 (2E4), ST-13 (2F2), ST-25 (1B7), ST-36, ST-37 et ST-38). La tranchée



Photo 50 - Sous-opération 1A — Coupe sud réalisée à la hauteur du poteau ST-38 démontrant les nombreux réaménagements qu'aurait subi la clôture nord de la cour à bois — Vue vers le sud (BjFj-225-23-N3-355)

d'implantation des poteaux ST-13, composée de sols remaniés provenant de l'excavation nécessaire à leur installation, contenait plusieurs artéfacts liés à l'occupation précédente du passage privé (tableau 19). La présence de fragments de contenants en verre transparent vert foncé, produits par le fabricant *Consumers Glass Co.*, confirme que cet événement s'est produit après 1917. Cette clôture a probablement été réaménagée à différentes reprises, comme le montre clairement la coupe réalisée au poteau ST-38 (photo 50). La date de son implantation initiale est inconnue, mais elle correspond probablement à l'expansion de la cour à bois survenue entre 1907 et 1909.

L'aménagement de la cour à bois semble avoir été réalisé principalement en nivelant les déblais de démolition des bâtiments présents sur le site. Aucun signe d'excavation lié à l'aménagement de bâtiments industriels n'a été noté lors de la fouille de 2023. Un seul trou de poteau, comblé de sol associé à l'occupation industrielle du secteur, a été identifié (ST-26 [1B8]). Il pourrait s'agir d'un poteau de soutien pour la charpente d'un bâtiment en bois situé au coin du lot (carte 15).

Le principal marqueur de l'activité industrielle du site est l'imposante surface de circulation, composée de solives de chêne de 0,25 x 0,10 x plus de 4 m de long, sur lesquelles sont déposées des planches de pin blanc mesurant en moyenne 0,28 x 0,08 x 3,66 m (photo 51). Un dépôt d'environ 0,05 m de mâchefer très compact recouvrait cette aire (2G1). Cette surface de circulation permettait le transport du bois à travers les différentes étapes de séchage et était également utilisée par les clients venant chercher leur bois en charrette, puis en voiture. Le lot 2G1 contenait très peu d'artéfacts (n=38), dont 13 clous tréfilés et laminés, quelques petits fragments de céramique (terre cuite fine chamois à glaçure brune, blanche, blanche vitrifiée, grès grossier Albany et porcelaine fine dure européenne) et un isolateur électrique en porcelaine commune.



Photo 51 - Photographie aérienne de l'aire de circulation ST-15 associée à la cour à bois McLennan Lumber Company (photo Hydro-Québec)

5 041 000 m N

299 825 m E

Nord Mtl

Nord géo

5 040 975 m N

299 825 m E

DEVERCHÈRES

1A

1B

1C

2A

2B

2C

2D

2E

2F

2G

2H

2J

2K

2L

2M

2N

2P

2Q

2R

2T

2Y

2Z

ST-52

ST-38

ST-37

ST-36

ST-53

ST-13

ST-13

ST-11

ST-25

ST-26

ST-15

ST-15

ST-15

Rue Clark

119

299 850 m E

5 040 975 m N

5 041 000 m N

Composantes du projet

- Sous-opération
- 1B — Identification de sous-opération
- Bois (planche, drain, poteau, plancher)
- Creusement ancien
- *ST-25* — Identification de vestige

Environnement spatial

- Cadastre du Québec
- Toit des bâtiments
- Tuile de la ville
- ABC — Odonyme

Inventaire archéologique
Réfection du siège social d'Hydro-Québec

Superposition des éléments archéologiques témoignant de l'occupation industrielle du lot durant la première moitié du XXe siècle sur le plan de Goad de 1909

Sources :

Tuile urbaine: ville de Montréal, 31H12-010-0235, -0236.dxf;
Cadastre du Québec: © Gouvernement du Québec MRNF;
Arpentages: 15 novembre.txt, AK2023B.txt, AK2023BB.txt, novembre 2023.txt
Zone d'intervention : Aire_d'intervention.shp
Plan ancien: 1909 Goad, Chas. E. Insurance plan of City of Montreal, Quebec, Canada, volume I, planche 17. BAnQ 0003028509

Cartographie : Arkéos
Fichier : Ark24_02HQ-Et-Pot20240712.dwg

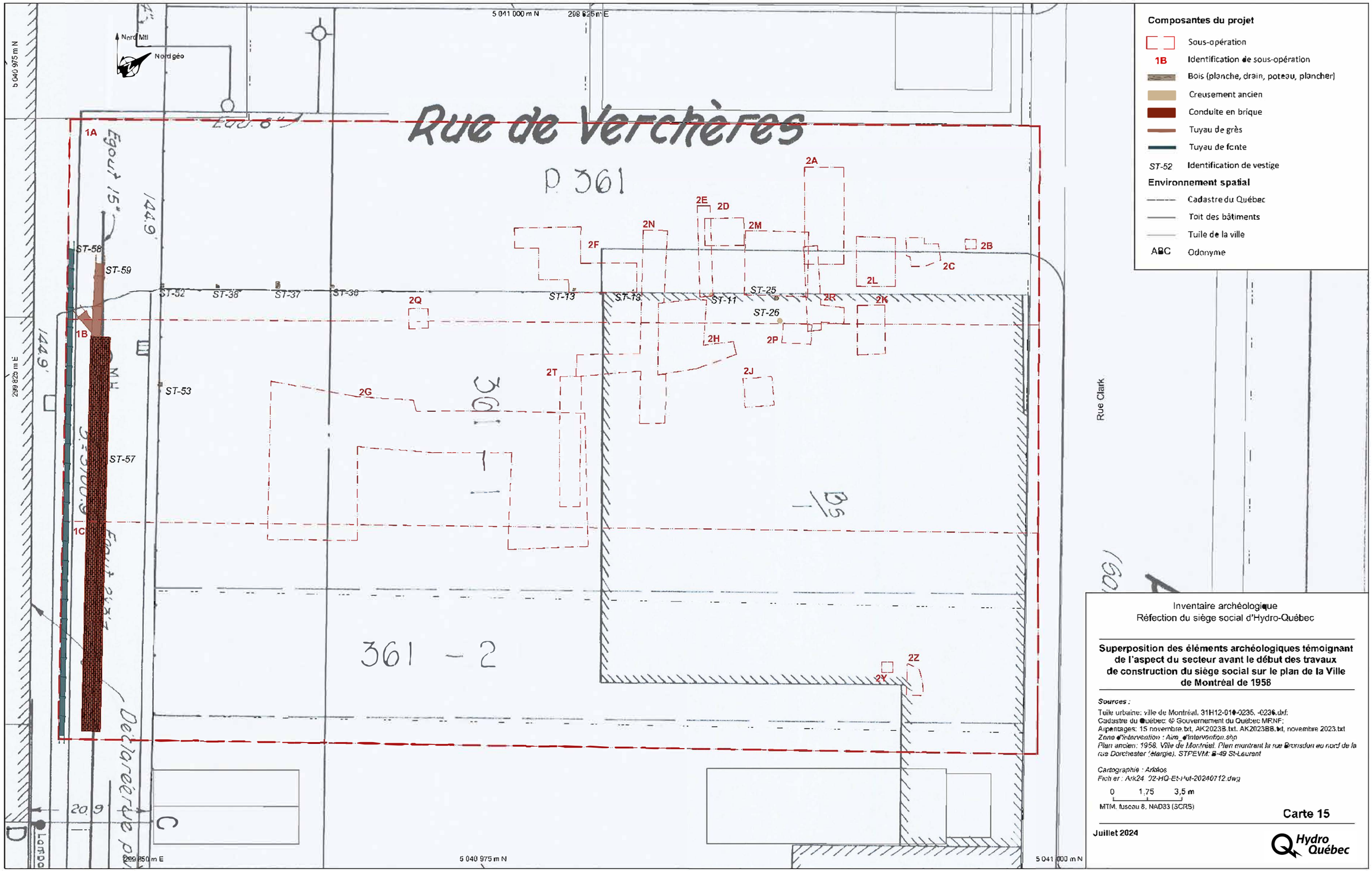
0 1,75 3,5 m
MTM, fuseau 8, NAD83 (SCRS)

Carte 14

Juillet 2024

Hydro Québec

Document d'information destiné aux publics concernés par le projet. Pour tout autre usage, communiquer avec l'unité Géomatique, à Hydro-Québec.



Inventaire archéologique
Réfection du siège social d'Hydro-Québec

Superposition des éléments archéologiques témoignant de l'aspect du secteur avant le début des travaux de construction du siège social sur le plan de la Ville de Montréal de 1958

Sources :

Tuile urbaine: ville de Montréal, 31H12-010-0235, -0236.dxf;
Cadastre du Québec: © Gouvernement du Québec MRNF;
Arpentages: 15 novembre.txt, AK2023B.txt, AK2023BB.txt, novembre 2023.txt
Zone d'intervention : Aire_d'intervention.shp
Plan ancien: 1958, Ville de Montréal. Plan montrant la rue Bronsdon au nord de la rue Dorchester (élargie). STPEVM: B-49 St-Laurent

Cartographie : Arkéos
Fichier : Ark24_02-HQ-Et-Plot-20240712.dwg

0 1,75 3,5 m
MTM, fuseau 8, NAD83 (SCRS)

Carte 15

Juillet 2024

Hydro Québec

Document d'information destiné aux publics concernés par le projet. Pour tout autre usage, communiquer avec l'unité Géomatique, à Hydro-Québec.



Photo 52 - Pièce de monnaie datant de 1912 retrouvée au-dessus de l'aire de circulation ST-15, dans le lot 2G1 (cat. 12)

L'assemblage comprend également quelques fragments de verre de bouteille teinté régulier vert, transparent vert foncé et transparent brun, quelques ossements et un talon de chaussure en cuir. Deux boutons, un en os et un en plastique, ont également été trouvés, ainsi qu'une pièce de monnaie de 1912 (catalogue # 12, photo 52). Cette activité industrielle s'est poursuivie jusqu'en 1958, année de l'achat du lot par Hydro-Québec.

7.7 Implantation d'Hydro-Québec (1958-aujourd'hui)

La construction du siège social d'Hydro-Québec a eu un impact majeur sur les ressources archéologiques du terrain (carte 16). Le site BjFj-225 a été bien préservé puisqu'il est demeuré scellé sous un stationnement de 1958 à aujourd'hui. Les dépôts excavés mécaniquement, principalement liés à la démolition et au nivellement du secteur, contenaient une quantité considérable d'artéfacts provenant des occupations antérieures (1A1, 1A2, 1A3, 1B1, 1B2, 1B3, 1C1, 1C2, 1C3). Ceci est peu surprenant vu la quantité impressionnante d'artéfacts présents sur le site.



Photo 53 - Cruche en grès grossier à glaçure saline portant l'inscription « ROBINSON & SON / BEVERLEY / 1. Gall » trouvé dans le lot 1B3

Parmi les 2050 objets-témoins récupérés, 790 correspondent à des productions céramiques, 586 à des restes osseux, 363 au verre et 228 à des objets en métal (tableau 20). Le reste correspond notamment à des artéfacts en pierre, en os, en ivoire, en liège, en tissu, en cuir ou en matériau composite. Du côté de la céramique, plusieurs types sont représentés, mais avec une prédominance de la TCF blanche (n=233) et de la TCF blanche vitrifiée (259). On retrouve néanmoins quelques tessons de terre cuite grossière, telle la TCG Angleterre 2, la TCG locale à glaçure incolore, tachetée verte et à coloration multiple et la TCG du nord-est de l'Angleterre 2. Les productions en terre cuite fine regroupent également des tessons de TCF rouge, de TCF chamois à glaçure brune, de *creamware* et de TCF jaune à glaçure claire. Les grès sont également variés et correspondent à des bouteilles à cirage, à des encriers, à une cruche et à des contenants à formes variées (photo 53). Parmi les types de grès en présence, on note le GG à glaçure saline et Albany, GG Albany, GG Nottingham, le GG à glaçure saline brune, le GG Derbyshire 3, GG Bristol et le GG à glaçure saline générale. Quelques rares tessons de grès fin (GF coloré dans la

masse à glaçure smear et/ou liquide) ont également été récupérés dans ces contextes. L'assemblage céramique est complété par des tessons de porcelaine fine dure orientale, européenne et *bone china* représentant entre autres une théière miniature, une soucoupe et une tasse.

L'assemblage comporte par ailleurs plusieurs contenants (bouteille, fiole, gobelet, flasque, etc.) en verre incolore sans plomb, en verre incolore au plomb, en verre teinté régulier vert, turquoise ou bleu ainsi qu'en verre coloré vert foncé, brun, pourpre, et bleu. À cela s'ajoute une centaine de fragments de verre à vitre teinté régulier vert. Du côté des éléments fabriqués en métal, on note une prédominance des clous (n=152), qu'ils soient altérés, forgés ou découpés.

Parmi les menus objets, mentionnons la présence de fragments de pipe à fumer en TCF argileuse blanche (n=87) et noire (n=1) des marques Bannerman, Henderson, Dixon et Murray, d'une figurine incomplète en TCF blanche et d'une bille en TCF sans glaçure. À cela s'ajoutent deux perles en verre, dont une de forme hexagonale en verre superposé bleu foncé sur un cœur bleu clair (photo 54) ainsi que plusieurs boutons de type Prosser, mais également en verre coloré opaque noir, en os et en fer. Ces lots ont également révélé divers objets particuliers en métal, notamment un ciseau à poignées rondes, une clé et un piège, tous les trois en fer (photo 55). Parmi les éléments en cuivre, mentionnons la présence d'une boucle, d'une clé, d'un dé à coudre, d'un grelot, de deux pièces de monnaie, dont un penny de la banque du Haut-Canada (1850-1857) (catalogue # 1, photo 56), et d'une médaille présentant la vierge Marie (catalogue # 9, photo 57). L'assemblage comporte par ailleurs différents éléments de chaussure, un couteau en fer et en os, des manches d'ustensiles en os, trois brosses à dents, dont une de type Florida (1870-1920) et une en ivoire (catalogue # 2, photo 58), ainsi qu'un camée gravé dans une coquille (catalogue # 3, photo 59).

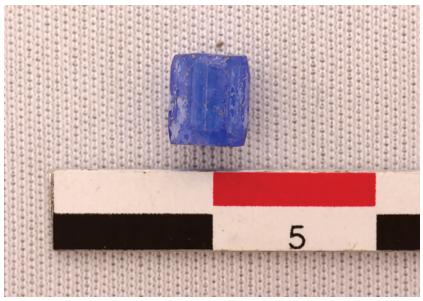


Photo 54 - Perle de forme hexagonale en verre superposé bleu foncé sur un cœur bleu clair récoltée dans le lot 1A1



Photo 55 - Piège à mâchoire en métal récolté dans le lot 1A1



Composantes du projet

- Sous-opération
- 1B — Identification de sous-opération
- Conduite en brique
- Tuyau de grès
- Tuyau de fonte
- Perturbation récente
- Regard
- *ST-62* — Identification de vestige

Environnement spatial

- Cadastre du Québec
- Toit des bâtiments
- Tuile de la ville
- ABC — Odonyme

Inventaire archéologique
Réfection du siège social d'Hydro-Québec

Éléments archéologiques et perturbations récentes liés aux aménagements d'Hydro-Québec entre 1958 et aujourd'hui

Sources :

Tuile urbaine: ville de Montréal, 31H12-010-0235, -0236.dxf;
Cadastre du Québec: © Gouvernement du Québec MRNF;
Arpentages: 15 novembre.txt, AK2023B.txt, AK2023BB.txt, novembre 2023.txt
Zone d'intervention : Aire_d'intervention.shp
Photo satellite: Google Earth (22 juillet 2021)

Cartographie : Arkéos
Fichier : Ark24_02-HQ-Et-Pot20240711.dwg

0 1,75 3,5 m
MTM, fuseau 8, NAD83 (SCRS)

Carte 16

Juillet 2024

Hydro Québec

Document d'information destiné aux publics concernés par le projet. Pour tout autre usage, communiquer avec l'unité Géomatique, à Hydro-Québec.

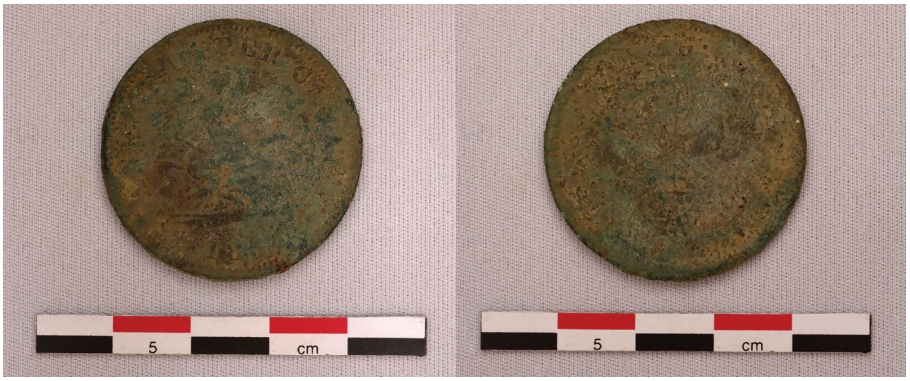


Photo 56 - Pièces de monnaie d'un penny de la banque du Haut-Canada (1850-1857) (cat. 1)

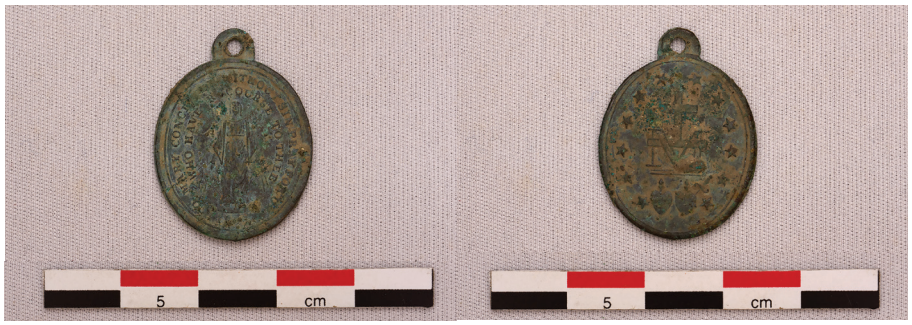


Photo 57 - Version anglaise de la Médaille Miraculeuse, créée en 1832 et encore produite, récoltée dans le lot 1A1 (cat. 9)



Photo 58 - Brosse à dent en ivoire produite entre 1870 et 1920, récoltée dans le lot 1A1 (cat. 2)



Photo 59 – Camée gravé dans une coquille, récolté dans le lot 1A2 (cat. 3)

L'impact des travaux d'Hydro-Québec a été observé par la présence de certains secteurs de perturbations récentes, dont la plus importante se trouve dans la sous-opération 1C. Une première perturbation semble avoir eu lieu lors de l'installation des puisards ST-61 et ST-62, ainsi que d'un tuyau de grès ST-60 traversant le site d'ouest en est. Ces installations ont pu être ajoutées au moment de la construction du siège social, tandis que l'égout de brique ST-57 a dû être condamné à son extrémité sud. L'excavation du poste souterrain a également perturbé toute la limite sud du site sur un peu plus de 2 m de large. Enfin, l'installation plus récente d'un réservoir d'essence semble également avoir perturbé le site dans ce secteur, bien qu'il ait été installé dans une zone déjà affectée par les deux événements précédemment décrits.

Une perturbation plus petite a également été observée au centre-est du site, à l'intérieur de B2. Cette perturbation était comblée de sable fin et de gros fragments de béton, mais sa cause demeure inconnue. Enfin, le site présente une perturbation importante liée à l'aménagement du parc Hydro-Québec au nord du site. L'installation d'une imposante clôture à cet endroit a détruit tous les sols archéologiques du secteur.

Les travaux d'aménagement actuels du site ont nécessité l'excavation de tous les sols archéologiques dans la trajectoire du nouveau drain pluvial. Celui-ci, situé environ sur la ligne séparant les sous-opérations 1A et 1B, a nécessité l'excavation complète des sols archéologiques sur environ 4 m de large. Plusieurs structures et sols archéologiques situés de part et d'autre de cette tranchée ont été laissés en place, puisque l'excavation nécessaire aux travaux de réaménagement ne devait pas dépasser 21,50 m NMM.

8 BILAN ET RECOMMANDATIONS

8.1 Connaissances acquises

La fouille archéologique menée sur le site BjFj-225 en 2023, dans le cadre du projet de réaménagement du stationnement arrière du siège social d'Hydro-Québec, a permis de mettre en lumière des éléments patrimoniaux significatifs. Cette intervention s'est déroulée sans qu'une étude de potentiel archéologique soit préalablement réalisée. Les objectifs de l'intervention archéologique étaient donc principalement de récolter le plus d'informations possible sur le terrain, avant et pendant les travaux de réaménagement du stationnement. Bien que le site ait été préalablement nommé après qu'un avis de découverte fortuite fut soumis suite aux travaux de caractérisation du sol, la présente intervention a permis de mieux en circonscrire les limites.

Rapidement, les excavations ont révélé un site archéologique d'une grande richesse, encore extrêmement bien préservé sous le stationnement d'Hydro-Québec. Le client, conscient de cette richesse exceptionnelle, a décidé de procéder à une fouille de plus grande ampleur afin de couvrir toute la surface du site affectée par les travaux. Cette fouille archéologique, qui a couvert environ 1600 m^2, a conduit à l'enregistrement de 62 structures, à la fouille de plus de 200 lots archéologiques et à la mise au jour d'environ 53 000 artéfacts et écofacts.

Bien qu'aucun témoin de la présence autochtone n'ait été découvert lors de la fouille de 2023, l'analyse du sol associé à un ancien marais a permis d'offrir une vision de l'environnement ancien du secteur alors occupé par ces populations. Les fouilles et recherches historiques ont également permis de documenter le ruisseau de la côte à Baron, encore relativement peu connu, et qui pourtant semble avoir joué un rôle important dans le développement du faubourg Saint-Laurent.

Le site BjFj-225 présente une véritable chronologie de l'histoire de ce faubourg et de manière plus large, de celle de Montréal. Il contient des témoins de l'occupation agricole du XVIII^{e} siècle, ainsi que des premiers établissements dans le secteur. Il témoigne également de l'activité manufacturière d'un quartier en développement au début du XIX^{e} siècle. Bien que peu de témoins directs de l'ancienne manufacture de potasse, de savon et de chandelles située sur le site aient été observés, le niveau lié au rejet de fabrication de la potasse est particulièrement intéressant et témoigne d'une pratique très peu documentée en archéologie québécoise. Les témoins manufacturiers ou industriels documentés datent bien souvent de la deuxième moitié du XIX^{e} siècle.

L'urbanisation du secteur après l'incendie de 1843 reflète également bien la tendance du faubourg Saint-Laurent. Les témoins archéologiques de cette époque sont nombreux et permettent de mieux comprendre l'organisation des logements dans le Montréal de la deuxième moitié du XIX^{e} siècle. Le site contient entre autres un système élaboré de drains de bois, une fosse de latrines et un drain de

grès qui permettent d'en apprendre davantage sur la gestion des eaux usées à l'époque. Il semble que ces structures aient été utilisées au moins jusqu'aux années 1870, et que le raccordement aux égouts de la ville se soit produit relativement tard.

Le site offre également une fenêtre sur l'hygiène et la gestion des déchets dans un secteur à l'environnement social difficile. Les recherches historiques ont également mis en lumière l'importance de François-Xavier Beaudry dans le Montréal de l'époque. Une certaine négligence de sa part à l'égard de ses logements et locataires semble être à l'origine de la grande quantité de données récoltées sur le site. L'histoire de ce personnage mériterait d'être approfondie.

Enfin, le site recèle les témoins d'une activité industrielle par la présence d'une imposante aire de circulation de la cour à bois de la *McLennan Lumber Company*. Cette structure offre un portrait intéressant des techniques de construction d'anciens chemins destinés au transport de matières lourdes, avant l'arrivée de l'asphalte. Elle porte également les marques de la grande transformation qu'a subie le quartier Saint-Laurent dans la deuxième moitié du XX^{e} siècle, alors que le boulevard René-Lévesque a été agrandi et plusieurs bâtiments ont été rasés pour laisser place aux gratte-ciels modernes.

8.2 Appréciation par valeurs du site BjFj-225

Dans le cadre de la révision du Règlement sur la recherche archéologique, qui découle de la nouvelle Loi sur le patrimoine culturel, le MCC a introduit une nouvelle approche dans l'évaluation des sites archéologiques qui vise à fournir aux différents intervenants d'un projet une appréciation par valeurs du bien patrimonial. Le MCC explique l'apport de cette approche comme suit :

> *« Pendant quarante ans, le rapport archéologique avait pour principal but de consigner les données et les interprétations provenant de l'intervention archéologique. Cette information était destinée surtout aux professionnels de l'archéologie. Les enjeux de société entourant la protection du patrimoine archéologique nous incitent aujourd'hui à expliquer pourquoi il faut protéger cette ressource et à quelles fins. L'appréciation par valeurs permet ainsi de répondre concrètement aux attentes des divers intervenants sur le territoire. Ces derniers doivent conjuguer avec cette ressource culturelle, en plus des autres défis qu'ils ont à relever au sein d'un même projet*[1]*. »*

Ainsi, l'attribution de valeurs tient compte en premier lieu des connaissances acquises sur le site archéologique, mais aussi du potentiel de recherches additionnelles qu'il conserve et de la vulnérabilité du site dans un contexte d'urbanisation. Sept valeurs ont été retenues par le MCC pour détailler l'appréciation d'un site archéologique. Le tableau 21 présente ces valeurs, les caractéristiques générales qui les définissent et leur applicabilité au site BjFj-225.

1 https://cdn-contenu.quebec.ca/cdn-contenu/adm/min/culture-communications/documents/patrimoine/archeologie/Cadre-reference-appreciation-valeurs-MCC.pdf

Tableau 21 - Appréciation par valeurs du site BjFj-225

Type de valeur	Définition	Site BjFj-225	
Valeur de recherche sur le terrain	Le site offre des possibilités pour la poursuite des recherches	**Oui**	Le site revêt une importance ou une signification particulière pour la communauté au sein de laquelle il se trouve
Valeur de connaissance post-terrain	Le site peut livrer davantage de connaissances à partir des données et des collections recueillies	**Oui**	La collection d'artéfacts issue du site présente de nombreuses avenues de recherche sur les habitudes de vie et la consommation des habitants du faubourg Saint-Laurent depuis l'établissement des premiers habitants. Les artéfacts récoltés dans le niveau associé aux résidus de fabrication de potasse peuvent également informer sur la pratique de récolte des cendres de fer au début du XIX^{e} siècle.
	Le site présente toujours une valeur de recherche sur le terrain		
Valeur scientifique	Site se prêtant à des champs d'études et analyses spécialisés	**Oui**	Le site recèle des objets rares et/ou uniques qui pourraient présenter un intérêt de recherche en culture matérielle historique. Le site se prête également aux études comparatives avec d'autres sites similaires dans une optique de caractérisation interrégionale, par exemple.
Valeur d'exception	Site associé à un phénomène rare	**Oui**	Le site présente un phénomène rare dans la continuité de son occupation depuis la période d'implantation agricole jusqu'au XXI^{e} siècle. Il contient également les traces du ruisseau de la côte à Baron et de l'environnement ancien de Montréal, alors que le territoire est habité par les peuples autochtones. Malgré sa situation géographique, le site avait subi très peu de perturbations modernes et est un exemple frappant de l'évolution du faubourg Saint-Laurent.
	Site présentant des caractéristiques (à l'échelle locale, régionale ou provinciale) qui le démarquent d'autres sites		
Valeur de représentativité	Site particulièrement représentatif d'un territoire, d'une culture, d'une fonction, d'un mode de vie, d'un événement ou tout autre aspect du patrimoine archéologique du Québec	**Oui**	Le site est représentatif du développement du faubourg Saint-Laurent, à partir des premières occupations agricoles jusqu'à la modernisation de la deuxième moitié du XX^{e} siècle.
Valeur d'appropriation collective	Le site revêt une importance ou une signification particulière pour la communauté au sein de laquelle il se trouve	**Oui**	Situé au sein du quartier des spectacles et dans le cœur du centre-ville de Montréal, le site possède un bon potentiel pour promouvoir un lien identitaire positif au lieu. Les fouilles ont fait l'objet de nombreux reportages et ont attiré nombre de visiteurs.
Valeur d'association	Le site fait partie d'un groupe de sites partageant un ensemble cohérent d'affinités culturelles et chronologiques	**Oui**	Plusieurs sites avoisinants (BjFj-148, BjFj-156, BjFj-170, BjFj-146, etc.) témoignent de l'occupation ancienne du faubourg Saint-Laurent

8.3 Recommandations

Les travaux de réaménagement du stationnement à l'arrière du siège social d'Hydro-Québec ont nécessité l'enlèvement des vestiges et sols anthropiques sur une épaisseur d'environ 1,50 m à l'intérieur de l'aire des travaux. La pose du drain pluvial et des regards a, pour sa part, nécessité le retrait de tous les sols et vestiges situés dans son cours, sur une largeur d'environ 4 m. Des vestiges et sols archéologiques sont donc toujours en place de part et d'autre de ce drain. Ainsi, il est recommandé que toutes interventions nécessitant une excavation de plus de 1,50 m de profondeur à l'intérieur du périmètre du site BjFj-225, à l'exception de l'emprise du drain pluvial et de sa tranchée, fassent l'objet d'un suivi archéologique (carte 17).

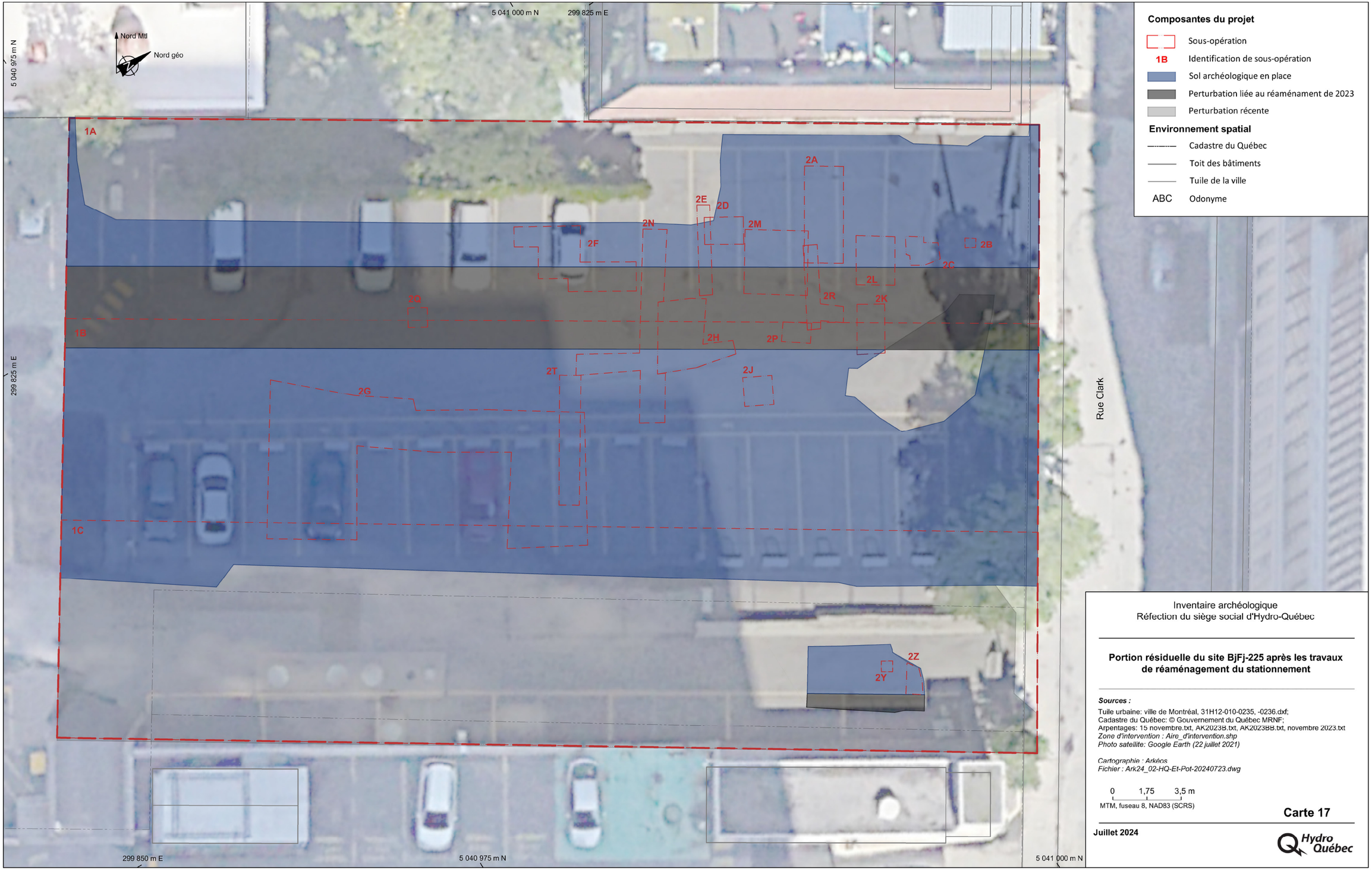
Hydro-Québec a déjà prévu des activités de diffusion des connaissances acquises sur le site BjFj-225 via des conférences à venir, la production d'affiches interprétatives qui seront installées dans la future place aménagée sur le site, et par la création d'une exposition au rez-de-chaussée du siège social. Nous recommandons vivement la poursuite de ces activités de diffusion afin d'assurer une sensibilisation continue et approfondie du public à l'importance patrimoniale du site.

Plusieurs éléments découverts sur le site mériteraient d'être étudiés de manière plus approfondie. Une comparaison avec des sites fouillés au Québec présentant des éléments similaires pourrait permettre de raffiner notre connaissance du passé et de mieux identifier les témoins archéologiques liés à différentes activités. En particulier, le niveau associé aux rejets de fabrication de la potasse semble relativement rare dans les sites archéologiques québécois. Il est possible que ce type de dépôt soit souvent interprété comme un simple niveau de remblai, passant ainsi sous le radar des archéologues.

QUELQUES PISTES DE RECHERCHE À EXPLORER

Présence du ruisseau de la côte à Baron : Réunir et analyser les données des témoins de la présence du ruisseau de la côte à Baron sur les sites archéologiques environnants permettrait de brosser un portrait précis de ce cours d'eau et de son rôle dans le développement du faubourg Saint-Laurent.

Intervention de 2011 dans le parc Hydro-Québec : Réétudier les données archéologiques récoltées par Archéotec en 2011 et les intégrer aux résultats de la présente intervention afin d'obtenir une vision plus complète de l'occupation du lot 361. Bien que cette intervention ait mené à de nombreuses découvertes, elle n'a pas conduit à la création d'un site archéologique officiel et n'est pas signalée comme Zone d'Intervention Archéologique (ZIA), ce qui suggère qu'elle pourrait avoir été sous-estimée.



Inventaire archéologique
Réfection du siège social d'Hydro-Québec

Portion résiduelle du site BjFj-225 après les travaux de réaménagement du stationnement

Sources :

Tuile urbaine: ville de Montréal, 31H12-010-0235, -0236.dxf;
Cadastre du Québec: © Gouvernement du Québec MRNF;
Arpentages: 15 novembre.txt, AK20238.txt, AK20238B.txt, novembre 2023.txt
Zone d'intervention : Aire_d'intervention.shp
Photo satellite: Google Earth (22 juillet 2021)

Cartographie : Arkéos
Fichier : Ark24_02-HQ-Et-Pot-20240723.dwg

0 1,75 3,5 m
MTM, fuseau 8, NAD83 (SCRS)

Carte 17

Juillet 2024

Hydro Québec

Document d'information destiné aux publics concernés par le projet. Pour tout autre usage, communiquer avec l'unité Géomatique, à Hydro-Québec.

Analyse des artéfacts et ossements : Effectuer une analyse détaillée des artéfacts et ossements recueillis dans les lots associés aux rejets de production de potasse. Cela offrirait une compréhension plus précise de l'occupation du site à cette époque et de la pratique de la récolte des cendres de foyer au début du XIX^{e} siècle.

Gestion des eaux usées : Étudier la gestion des eaux usées dans le faubourg Saint-Laurent au XIX^{e} siècle en se basant sur les témoins archéologiques recueillis dans différents sites du secteur, y compris le site BjFj-225. L'utilisation prolongée des drains de bois sur ce site indique que certaines habitations dans les quartiers moins favorisés de Montréal ont pu conserver des pratiques vétustes malgré la modernisation des systèmes d'aqueduc et d'égouts. Ceci devrait être pris en considération lors de l'interprétation et de la datation des latrines ou drains anciens sur les sites archéologiques de Montréal et du quartier Saint-Laurent.

François-Xavier Beaudry : Mener une recherche approfondie sur François-Xavier Beaudry à travers les archives pour mieux comprendre son rôle dans le développement du faubourg Saint-Laurent. Bien que cette recherche soit davantage historique qu'archéologique, elle pourrait apporter de nouvelles données sur ce propriétaire foncier important du quartier Saint-Laurent, dont certains bâtiments pourraient être sujets à des interventions archéologiques futures.

OUVRAGES CONSULTÉS

ARCHÉOTEC (2010) *Îlot Clark, Mt109-25-20. Étude de potentiel archéologique*. Ville de Montréal.

ARCHÉOTEC (2012a) *Inventaire et fouille archéologiques à l'îlot Clark, Montréal. Site BjFj-156, rapport de recherche*. Quartier international de Montréal et Quartier international de Montréal, Ville de Montréal.

ARCHÉOTEC (2012b) *Quartier des Spectacles. BjFj-148, BjFj-146, MTL09-25-12, MTL11-25-05 (Inventaires archéologiques 2009-2011). Quartier des Spectacles. MTL08-25-03 et MTL09-25-12 (Supervisions archéologiques 2008-2010)*. Quartier international de Montréal et Quartier international de Montréal Ville de Montréal.

ARCHÉOTEC (2012c) *Supervision archéologique au parc Hydro-Québec. Interventions archéologiques 2011*. Hydro-Québec.

ARKÉOS (1993) *Activités archéologiques, phase I et II, 1992, faubourg Saint-Laurent, secteur place de la Paix, Montréal, BjFj-67 et BjFj-68*. Ville de Montréal/Ministère de la culture.

ARKÉOS (1995) *Interventions archéologiques au Faubourg Saint-Laurent, Montréal, BjFj-67, BjFj-76 et BjFj-77, 1994*. Ville de Montréal.

ARKÉOS (2006a) *Projet immobilier Bleury-Viger. Inventaire et fouilles archéologiques du site Tecumseth Terrace (BjFj-133), Montréal*. Groupe Canvar.

ARKÉOS (2006b) *Projet immobilier Bleury-Viger. Inventaire et fouilles archéologiques du site Tecumseth Terrace (BjFj-133), Montréal*. Groupe Canvar.

ARKÉOS (2009) *Projet de construction du quadrilatère Saint-Laurent. Évaluation du potentiel archéologique*. Société de développement Angus.

ARKÉOS (2015) *Intervention archéologique à l'emplacement de l'ancienne Fabrique de pipes Bannerman, Site BjFj-26, Montréal*. Gaz Métro.

ARKÉOS (2017) *Aménagement des Escales Découvertes du mont Royal, 2016. Inventaire et supervision archéologiques*. Ville de Montréal.

ARKÉOS (2019) *Site patrimonial du Mont-Royal. Aménagement d'un nouveau seuil dans le secteur Cedar/Côte-des-Neiges. Inventaire archéologique*. Ville de Montréal.

ARKÉOS (2020) *Site patrimonial du Mont-Royal. Aménagement d'un nouveau seuil dans le secteur Cedar/Côte-des-Neiges. Site BiFj-138. Interventions archéologiques 2019. Rapport préliminaire*. Ville de Montréal.

ARKÉOS (2021) *Projet de revégétalisation de sentiers informels indésirables du parc du Mont-Royal. Évaluation d'impact archéologique*.

ARKÉOS (2022) *Projet d'agrandissement du TNM 84, rue Sainte-Catherine Ouest. Inventaire archéologique*. Théâtre du Nouveau Monde.

ARKÉOS et ARCHÉOCÈNE (1994) *Supervision archéologique. Faubourg Saint-Laurent, site place de la Paix, BjFj-67, opération 4, 1993*. Ville de Montréal.

ARTEFACTUEL (2014) *Quadrilatère Clark, Sainte-Catherine, Saint-Laurent et René-Lévesque. Surveillance archéologique de forages géotechniques et environnementaux*. Société de développement Angus.

ARTEFACTUEL (2015) *Quadrilatère Clark, Sainte-Catherine, Saint-Laurent et René-Lévesque (BjFj-170). Inventaire archéologique (2014)*. Société de développement Angus.

ARTEFACTUEL (2017) *Quadrilatère Clark, Sainte-Catherine, SaintLaurent et René-Lévesque (BjFj-170) Supervision archéologique (2016)*. Développement Angus.

BÉLANGER, J. (2012) *Étude technologique et morphologique de la cornéenne dans le sud du Québec : Le cas de la carrière préhistorique du mont Royal (BjFj-97) à Montréal* [Mémoire de maîtrise]. Université de Montréal.

BENMOUYAL, J. (1987) *Des Paléoindiens aux Iroquoiens en Gaspésie : Six milles ans d'histoire*. Ministère des Affaires culturelles, Direction de l'Est du Québec.

BIGGAR, H. P. (1924) *The voyages of Jacques Cartier*. F. A. Acland.

BOILY, M. (2006) *Les terres amérindiennes dans le régime seigneurial :* Université Laval.

BOUCHARD, C. (1994) « La compagnie de navigation de Longueuil (1865-1886) », dans *Cahiers de la Société d'histoire de Longueuil* nº 24 : 3-20.

BOUCHARD, S. et M.-C. LÉVESQUE (2022) *Ils étaient l'Amérique*. Lux Éditeur.

BRADLEY, C. S. (2001) « La pipe à fumer pour l'archéologue », dans K. Karklins (Éd.), *Études en culture matérielle*. Parcs Canada : 120-154.

BRODEUR CONSULTANTS (2014) *Inventaire et évaluation des charniers du cimetière Notre-Dame-des-Neiges*. Étude présentée au Services administratifs et des opérations de la Fabrique de la paroisse Notre-Dame de Montréal.

BURKE, A. (2017) « Le dynamisme et la diversité de l'Archaïque au Québec », dans A. Burke & C. Chapdelaine, *L'Archaïque au Québec. Six millénaires d'histoire amérindienne*. Recherches amérindiennes au Québec : 1-14.

BURKE, A. L. (2006) « Paleoindian ranges in northeastern North America based on lithic raw materials sourcing », dans C. Bressy, A. Burke, P. Chalard, H. Martin, *Notions de territoire et de mobilité. Exemples de l'Europe et des premières nations en Amérique du Nord rique du Nord avant le contact européen*, 116.

BURKE, A. L. (2020) « La gestion des matières premières lithiques par les paléoindiens récents de Kruger 2 », dans *Kruger 2 : Un site du Paléoindien récent à Brompton* (p. 167-200). Recherches amérindiennes au Québec.

BURKE, A. L., K. DRISCOLL et M. M. DIONNE (2017) « La technologie lithique sur quartz de l'occupation datant de l'Archaïque ancien au site CeEt-482 (Saint-Romuald, Lévis, Québec) », dans *L'Archaïque au Québec: six millénaires d'histoire amérindienne, Paléo-Québec*, 36 : 57-76.

BURKE, A. L. et G. Gauthier (2011) « Using Non-destructive X-Ray Fluorescence Analysis to Investigate the Prehistoric Use and Distribution of Hornfels in Southern Quebec », dans I. Turbanti-Memmi (Éd.), *Proceedings of the 37th International Symposium on Archaeometry, 13th—16th May 2008, Siena, Italy* : 199-204. Springer Berlin Heidelberg.

BURKE, A. L., et RICHARD, P. (2010) « L'occupation du Témiscouata pendant l'Archaïque : La comparaison du registre archéologique et du registre paléoenvironnemental », dans *Paléo-Québec*, 34 : 103-127.

CAMPBELL, A. (1996) *Le creamware de Place-Royale*. Ministère de la culture et des communications.

CANADIAN FOREST INDUSTRIES (1911) *Don Mills, Ont*. Southam Business Publications.

CHALIFOUX, É. (1999) « Late Paleoindian Occupation in a Coastal Environment : A Perspective from La Martre, Gaspé Peninsula, Québec », dans *Northeast Anthropology*, 57, Article 57.

CHAPDELAINE, C. (1989) *Le site Mandeville à Tracy : Variabilité culturelle des Iroquoiens du Saint-Laurent*. Recherches amérindiennes au Québec.

CHAPDELAINE, C. (1991) « Poterie, ethnicité et laurentie iroquoienne », dans *Recherches amérindiennes au Québec*, 20(1), Article 1.

CHAPDELAINE, C. (2004) « Des chasseurs de la fin de l'âge glaciaire dans la région du lac Mégantic : Découverte des premières pointes à cannelure au Québec », dans *Recherches amérindiennes au Québec*, 34(1), Article 1.

CHAPDELAINE, C. (2013) « Quelle est la position chronologique du site iroquoien Droulers-Tsiionhiakwatha? », dans *Archéologiques*, 26, Article 26.

CHAPDELAINE, C. (2020) « Conclusion : La place du site Kruger 2 au Paléoindien récent dans le Nord-Est de l'Amérique du Nord », dans *Kruger 2 : Un site du Paléoindien récent à Brompton*. Recherches amérindiennes au Québec.

CHAPDELAINE, C., É. GRAILLON, F. COURCHESNE, TURMEL, M.-C., L. FORGET BRISSON, F. HARDY, M. LAMOTHE et A. L. BURKE (2015) « Cascades 5, une composante de la tradition de l'Archaïque du Golfe du Maine à East Angus, Estrie, Québec », dans *Recherches amérindiennes au Québec* 45(2-3) : 93-126.

CHAPDELAINE, C. et P. H. J. RICHARD (2017) « Middle and Late Paleoindian Adaptation to the Landscapes of Southeastern Québec », dans *PaleoAmerica*, *3*(4) : 299-312.

CHEVRIER, D. (2017) « Pour une refonte d'un concept archaïque », dans A. L. Burke et C. Chapdelaine (Éds.), *L'Archaïque au Québec : Six millénaires d'histoire amérindienne* : 327-335. Recherches amérindiennes au Québec.

CLERMONT, N., C. CHAPDELAINE et G. BARRÉ (1983) *Le site iroquoien de Lanoraie : Témoignage d'une maison longue*. Recherches amérindiennes au Québec.

DALTON, A. S., M. MARGOLD, C. R. STOKES, L. TARASOV, A. S. DYKE, R. S. ADAMS [...] et H. E.WRIGHT (2020). « An updated radiocarbon-based ice margin chronology for the last deglaciation of the North American Ice Sheet Complex », dans *Quaternary Science Reviews*, 234 : 106-223.

DAVIAU, M. H. (2009) *La pipe de pierre dans la société canadienne des XVII^e^, XVIII^e^, et XIX^e^ siècles* (M. Moussette & J. F. Moreau, Éds.). Presses de l'Université Laval.

DEMIERRE, M., É. DUBREUCQ, B. GIRARD et É. ROUX (2013) « La quantification des mobiliers d'instrumentum », dans *Nouvelles de l'archéologie*, 131 : 10-14.

DÉPATIE, S., C. DESBARATS, D. GAUVREAU, M. LALANCETTE et T. WIEN (1998) *Vingt ans après, Habitants et marchands : Lectures de l'histoire des XVII^e^ et XVIII^e^ siecles canadiens*. McGill-Queen's University Press.

DINCAUZE, D. F. (1976) *The Neville site : 8,000 years at Amoskeag, Manchester, New Hampshire*. Peabody Museum of Archaeology and Ethnology, Harvard University.

DIONNE, J.-C. (1977) « La mer de Goldthwait au Québec », dans *Géographie physique et Quaternaire*, 31(1-2) : 61-81.

DOIGE, T. (1819) *An alphabetical list of the merchants, traders, and housekeepers residing in Montreal : To which is prefixed a descriptive sketch of the town*.

DOIGE, T. (1820) *An Alphabetical list of the merchants, traders and housekeepers residing in Montreal*.

DROUIN, F. (2019) « Il y a 250 ans, l'île Saint-Paul devient l'île des Sœurs », dans *Cap-aux-Diamants*, nº 136 : 57-58.

DROUIN, P. et M. SAVARD (1990) *Les pipes à fumer de Place-Royale*. Les Publications du Québec et ministère de la Culture et des Communications.

DUMAIS, P. (2000) « The La Martre and Mitis Late Paleoindian Sites : A Reflection of the peopling of Southeastern Quebec », dans *Archaeology of Eastern North America*, 28 : 81-122.

DUMAIS, P. et G. ROUSSEAU (2002) « De limon et de sable : Une occupation paléoindienne du début de l'Holocène à Squatec (ClEe-9), au Témiscouata », dans *Recherches amérindiennes au Québec*, 32(3), Article 3.

DUNNING, P. (2001) « Couverts de table composites de 1770 à 1930 », dans K. Karklins (Éd.), *Études en culture matérielle*. Parcs Canada : 38-53.

DYKE, A. S. (2004) « An outline of North American deglaciation with emphasis on central and northern Canada », dans J. Ehlers & P. L. Gibbard (Éds.), *Quaternary Glaciations-Extent and Chronology*, 2 : 373-424. Elsevier.

ELLIS, C. J., I. T. KENYON et M. W. SPENCE (1990) « The Archaic », dans C. J. Ellis & N. Ferris (Éds.), *The Archaeology of Southern Ontario to A.D. 1650*, 65-124. Ontario Archaeological Society Publication Inc.

ETHNOSCOP (2005) *Une culture matérielle riche dans le « Red Light » de Montréal. Inventaire et fouille archéologiques au faubourg Saint-Laurent. MTL03-25-3, MTL03-25-2 et BjFj-121, 2003*. Ville de Montréal.

ETHNOSCOP (2008a) *Moitié nord du quadrilatère René-Lévesque/Anderson/De La Gauchetière/De Bleury, Montréal. BjFj-140. Inventaire et fouilles archéologiques*. Groupe Canvar.

ETHNOSCOP (2008b) *Projet de modernisation de la rue Notre-Dame à Montréal, plan d'intervention archéologique*. MTQ.

ETHNOSCOP (2009) *Ligne à 120 kV reliant les potes Beaumont et Dorchester à Montréal. MTL08-25-05 et BjFj-145. Inventaire et supervision archéologiques*. Hydro-Québec.

ETHNOSCOP (2010) *Interventions archéologiques réalisées de 2005 à 2007*. CSEM, Hydro-Québec et Ville de Montréal.

ETHNOSCOP (2015) *Sujet Interventions archéologiques réalisées en 2009 et 2010. Chemin de la Côte-des-Neiges (MTL07-04-3, MTL10-04-2 et MTL10-04-4), Le Boulevard (MTL10-04-5), rue Saint-Urbain (MTL09-25-24), rue Da La Gauchetière Est (BjFj-139, BjFj-160 et MTL10-25-14), avenue Viger (BjFj-161, BjFj-162 et MTL10-25-13), rue Saint-Dizier (BjFj-168)*. (#ISAQ 5745; p. 275). CSEM et Hydro-Québec.

ETHNOSCOP (2017) *Reconstruction du poste De Lorimier à 315-25 kV et lignes souterraines à 315 kV, circuits 3198 et 3199. Interventions archéologiques (BiFj-73, BiFj-121, BjFj-67, BjFj-76, BjFj-77, BjFj-173, MTL15-23-1 et MTL15-25-2), de l'été 2015 au printemps 2016*. Hydro-Québec.

ETHNOSCOP (2019) *Interventions archéologiques sous la rue Peel. Fouille, inventaire et supervision archéologiques. BjFj-1 et MTL18-25-08*.

ETHNOSCOP (2020) *Projet de réaménagement de la rue Saint-Paul. Résultats des interventions archéologiques de 2018 et de 2019 (BjFj-20, BjFj-44, BjFj-65, BjFj-96, BjFj-137, BjFj-169, BjFj-175, BjFj-196, BjFj-197, BjFj-205 et MTL18-25-04)* (p. 397). Ville de Montréal.

GATES SAINT-PIERRE, C., A. L. BURKE, G. GAUTHIER et G. KENNEDY (2012) « Nouvelles données sur l'utilisation préhistorique de la cornéenne par les Amérindiens du Québec méridional », dans *Journal canadien d'archéologie*, 36(2), Article 2.

GATES ST-PIERRE, C. (2010) *Le patrimoine archéologique amérindien du Sylvicole moyen au Québec*. ministère de la Culture, des Communications et de la Condition féminine.

GAUMOND, M. (1963) *Dossier sur le site Dawson, BjFj-1*. ministère des Affaires culturelles.

GAUVIN, R. (1995) *Guide des céramiques, selon la nomenclature en vigueur à Parcs Canada—Région du Quebec* (Parcs Canada). Parcs Canada.

GIROUX, A. (1980-1981) *Inventaire des marchés de construction des Archives nationales du Québec à Montréal, 1800-1830*. Ottawa : Direction des lieux et des parcs historiques nationaux.

GOODYEAR, A. (1979) *A hypothesis for the use of cryptocrystalline raw materials among Paleo-Indian groups of North America*. Institute of Archaeology and Anthropology, University of South Carolina.

GRAILLON, É., C. CHAPDELAINE et É. CHALIFOUX (2012) « Le site Gaudreau de Weedon : Un premier site Plano dans le bassin de la rivière Saint-François en Estrie », dans *Recherches amérindiennes au Québec*, 42(1), Article 1.

GROUPE DE RECHERCHE EN HISTOIRE DU QUÉBEC (1999) *Accueil Bonneau, 427 rue de la Commune : Inventaire, fouille et surveillance archéologique, site BjFj-100, Vieux-Montréal, 1998*. Les Prêtres Saint-Sulpice de Montréal.

HALLÉ, J. (1990) *Étude du potentiel patrimonial Place de la Paix*. Ville de Montréal/ Ministère des affaires culturelles du Québec.

HUSSI, P. (2001) « Quantification et datation en céramologie (Le nombre minimum d'individus : La technique de quantification la mieux adaptée à la datation des contextes archéologiques à partir de l'exemple de Tours) », dans *Les petits cahiers d'Anatole*, 6.

JONES, O. (1986) *Les bouteilles à vin et à bière cylindriques anglaises, 1735-1850* (Parcs Canada).

JONES, O. et C. SULLIVAN (1985) *Glossaire du verre de Parcs Canada décrivant les contenants, la verrerie de table, les dispositifs de fermeture et le verre plat* (Parcs Canada).

LAMARCHE, L. (2005) *Histoire géologique Holocène du lac Saint-Pierre et de ses ancêtres* [Mémoire de maîtrise]. Université du Québec à Montréal.

LAMARCHE, L. (2006) « Reconstitution géologique du lac Saint-Pierre et de ses ancêtres à l'Holocène », dans L. Lamarche, M. Garneau, M. Lamothe, M. Larocque, J. Loisel, S. Pellerin, P. J. H. Richard, É. Rosa et S. Van Bellen (Éds.), *Réunion annuelle de l'AQQUA, excursion sur l'histoire holocène de la région Lanoraie—Lac St-Pierre*.

LANDRY, D. (2012) *La néolithisation dans la région de Montréal depuis le sylvicole moyen tardif : Apport achéopalynologique* [Mémoire de maîtrise en anthropologie]. Université de Montréal.

LAROCQUE, R. (2016) « Des sépultures amérindiennes », dans A.-M. Balac et F. C. Bélanger (Éds.), *Lumières sous la ville : Quand l'archéologie raconte Montréal*. Recherches amérindiennes au Québec : 43-49.

LAUZON, G. (2020) « Eau courante, toilettes à eau et dernières latrines à Montréal, 1856-1915 », dans Revue d'histoire de l'Amérique française, 73(4) : 7-33.

LAVOIE, M. et P. J. RICHARD (2000) « Postglacial water-level changes of a small lake in southern Quebec, Canada », dans *The Holocene*, 10(5) : 621-634.

LOEWEN, B. (2009) « Le paysage boisé et les modes d'occupation de l'île de Montréal, du Sylvicole supérieur récent au XIX^e^ siècle », dans *Recherches amérindiennes au Québec*, 39(1-2), 5-21.

MARIER, C. (1996) *Les menus objets de Place-Royale*. Ministère de la Culture et des Communications.

MASSICOTTE, E.-Z. (1939) « Celui qui pouvait paver la rue Craig avec des trente sous sur le can », dans *Le bulletin des recherches historiques*, XLV(5) : 143-146.

MASSICOTTE, E.-Z. (1941) « Au hasard des recherches / V – Les seigneurs savonniers Malard et Beaudry », dans *Les Cahiers des dix* (6) : 184-190.

MCNALLY, P. (1982) *Verrerie de table au Canada. 1770-1850*. Parcs Canada.

MÉTREAU, L. (Éd.). (2016). *Identifier la céramique au Québec*.

MOUSSETTE, M. (1996) *Les terres cuites communes des maisons Estèbe et Boisseau* Ministère de la Culture et des Communications.

MULLER, S. D. et P. J. H. RICHARD (2001) « Post-Glacial Vegetation Migration in Conterminous Montréal Lowlands, Southern Québec », dans *Journal of Biogeography*, 28(10) : 1169-1193.

MULLER, S. D., P. H. J. RICHARD, J.-L. DE BEAULIEU et D. FORTIN (2003) « Postglacial climate in the Saint-Laurence lowlands, southern Quebec : Pollen and lake level evidence », dans *Palaeogeography, palaeoclimatology, Palaeoecology*, 193 : 51-72.

PARCS CANADA (2008) *Liste des matériaux et des fonctions selon la nomenclature en vigueur à Parcs Canada—Région de Québec*. Parcs Canada, Gestion du patrimoine culturel.

PARENT, M. et S. OCCHIETTI (1988) « Late Wisconsinan deglaciation and Champlain sea invasion in the St. Laurence Valley, Quebec », dans *Géographie physique et Quaternaire*, 42(2) : 215-246.

PARENT, M. et S. OCCHIETTI (1999) « Late Wisconsinan deglaciation and glacial lake development in the Appalachians of Southeastern Quebec », dans *Géographie physique et Quaternaire*, 53(1), Article 1.

PENDERGAST, J. F. et B. G. TRIGGER (1972) *Cartier's Hochelaga and the Dawson Site*. McGill-Queen's University Press.

PERRON, M. (2021) *Avis de découverte fortuite et observations archéologiques réalisées dans le stationnement du siège social d'Hydro-Québec*.

PINTAL, J.-Y. (2002) « De la nature des occupations paléoindiennes à l'embouchure de la rivière Chaudière », dans *Recherches amérindiennes au Québec*, 32(3) : 41-54.

PINTAL, J.-Y. (2012) « Late Pleistocene to early Holocene adaptation : The case of the Strait of Quebec », dans C. Chapdelaine, *Late Pleistocene Archaeology and Ecology in the far Northeast* : 18-236.

PLOURDE, G. et C. LAPOINTE (1996) *Les objets domestiques en grès fin de Place-Royale*. Ministère de la culture et des communications.

PLOURDE, M. (2006) « The Cap de Bon-Désir Site : A New Regional Variation of the Gulf of Maine Archaic Tradition », dans D. Sanger et M. A. P. Renouf (Éds.), *The Archaic of the Far Northeast* : 139-159. The University of Maine Press.

PREST, V. K. et J. H. KEYSER (1982a) *Carte des dépôts meubles—Île de Montréal*.

PREST, V. K. et J. H. KEYSER (1982b) *Géologie des dépôts meubles, Île de Montréal, Québec*. Geological Survey of Canada.

RAVOIRE, F. (2006) « Typologie raisonnée des céramiques de la fin du Moyen Âge et du début de l'époque moderne provenant du Beauvaisis, de Paris et d'ailleurs, retrouvées sur les sites de consommation parisiens et franciliens », dans *Revue archéologique de Picardie*, 3-4 : 105-202.

RENAULT, L. (2012) *Un aspect méconnu de l'île de Montréal : Les occupations amérindiennes de Sylvicole supérieur à la fin du XVII^e siècle* [Mémoire de maîtrise en anthropologie]. Université de Montréal.

RENSSEN, H., H. GOOSSE, T. FICHEFET, V. BROVKIN, E. DRIESSCHAERT et F. WOLK (2005) « Simulating the Holocene climate evolution at high latitudes using a coupled atmosphere–sea ice–ocean–vegetation model », dans *Climate Dynamics*, 24 : 23-43.

RICHARD, P. (2014) *Travaux paléoécologiques au lac au Castor. Parc du Mont Royal, Montréal, Qc. Rapport des travaux de 2012-2013*. Ville de Montréal.

RICHARD, P. (2018) *Le Grand Témoin ou les paysages montérégiens au fil du temps— Version longue du 19 mai 2018*. Non publié.

RICHARD, P. et P. GRONDIN (2009) « Histoire postglaciaire de la végétation », dans *Extrait du manuel de foresterie* : 1-10. Ordre des ingénieurs forestiers du Québec.

RICHARD, P. et J. POIRIER (2016) *Séquence chronologique des événements tardi- et postglaciaires dans la région de la plaine de Montréal*. Non publié.

RITCHIE, W. A. (1971) *New York Projectile Points. A Typology and Nomenclature: Vol. Bulletin 384*. New York State Museum.

ROBINSON, B. S. (1992) « Early and Middle Archaic Period Occupation in the Gulf of Maine Region : Morturay and Technological Patterning », dans B. S. Robinson (Éd.), *Early Holocene Occupation in Northern New England* : 63-116.

ROY, A. (1943) *L'île de Montréal en 1731 : Aveu et dénombrement des messieurs de Saint-Sulpice*. Archives de la province.

ROY, P.-G. (1927) *Inventaire des concessions en fief et seigneurie, fois et hommages et aveux et dénombrement conservés aux Archives de la province de Québec* / Vol. 2, Beauceville : L'Éclaireur.

SERVICE DES GRANDS PARCS, DU VERDISSEMENT ET DU MONT-ROYAL (2017) *Document complémentaire au plan de conservation du paysage humanisé projeté de L'Ile-Bizard*. Arrondissement de LÎle-Bizard – Sainte-Geneviève.

STEWART, A. M. (1988) *Settling an 18th-Century Faubourg : Property and Family in the Saint-Laurent Suburb. 1735-1810* [Mémoire de maitrise, département d'histoire]. Université McGill.

STEWART, A. M. (2005) *Lieu de fondation de Montréal, pointe à Callière: historique de l'îlot D'Youville - De Callière - de la Commune - du Port*, Rapport inédit présenté à l'Université de Montréal, à Pointe-à-Callière et à Remparts, Musée d'archéologie et d'histoire de Montréal.

ST-GERMAIN, C., M. COURTEMANCHE et C. GATES SAINT-PIERRE (2020) « Il y a 10 000 ans, des histoires de chasse et de pêche au site paléoindien Kruger 2 », dans *Kruger 2 : Un site du Paléoindien récent à Brompton*. Recherches Amérindiennes au Québec : 201-218.

TACHÉ, K. (2010) *Le Sylvicole inférieur et la participation à la sphère d'intéraction Meadowood au Québec*. Direction du patrimoine et de la muséologie, ministère de la Culture et des Communications.

TREMBLAY, K. et L. RENAUD (1999) *Les jeux et les jouets de Place-Royale*. Ministère de la culture et des communications.

TREMBLAY, L. (1981) *La politique missionnaire des Sulpiciens au XVII^e^ et début du XVIII^e^ siècle, 1668-1735*. Université de Montréal.

TREMBLAY, R. et L. POTHIER (2004) « Un havre préhistorique », dans G. Lauzon & M. Foget (Éds.), *L'histoire du Vieux-Montréal à travers son patrimoine*. Publications du Québec : 7-25.

TREMBLAY, Y. (1996) « Les ustensiles, les objets de couture et le luminaire de Place-Royale », dans *Les ustensiles, les objets de couture et le luminaire de Place-Royale*. Ethnoscop inc.

TRIGGER, B. (1969) « Criteria for Identifying the Locations of Historic Indian Sites : A Case Study from Montreal », dans *Ethnohistory*, 16(4), 303-316.

VIAU, R. (2012) « L'esprit des lieux : Montréal avant Cartier », dans D. Fougères (Éd.), *Histoire de Montréal et de sa région,* 1 : 41-69. Les Presses de l'Université Laval.

VILLE DE MONTRÉAL (2018) *Réserve des collections archéologiques de la Ville de Montréal. Guide de traitement des collections archéologiques*.

WOODHEAD, E. I., C. SULLIVAN et G. GUSSET (1984) *Appareils d'éclairage : Collection de référence nationale, Parcs Canada*. Parcs Canada.

PLANS ANCIENS

1702 Vachon de Belmont, François. *Description générale de l'isle de Montréal divisé par coste, original*. Paris, Bibliothèque de la compagnie de Saint-Sulpice, MS 1998.

1717 Chaussegros de Léry, Gaspard-Joseph. *Plan de la ville de Montréal en Canada*. Montréal, Archives nationales d'outre-mer, FR CAOM 3DFC473B.

1749 Couagne. *Plan de la Ville de Montréal en Canada*, Montréal, Archives nationales d'outre-mer, 40504.

1757 La Brosse, J.-B. de. *Plan du faubourg Saint-Laurent*, Montréal, Musée de la civilisation, X-95.

1760 Jourdain dit Labrosse, P. *Plan de la Ville de Montréal*, Montréal, 18 octobre, Famille Molson.

1764 c. Collins, J. *A plan of the city and the fortifications of Montreal in the Province of Quebec shewing the lands reserved for his Majesty's*, Montréal, BAnQ Québec, E21,S555,SS1,SSS21,P20.

1767 Jourdain dit Labrosse, P. *Plan de la ville et des faubourgs de Montréal*, Plume encre et lavis de couleur sur papier, Montréal, Famille Molson.

1786 (1915) Holmden, H.R. *Plan of part of Montreal. True copy of plan with Secretary of State papers. Homologation of La Gauchietiere St. Montreal*, Public Archives of Canada 4137852. Cette reproduction provient de la collection d'Archéotec.

180? Bouchette père, J. *Plan d'une partie de la ville de Montréal*, Montréal, BAnQ Québec, E21,S555,SS1,SSS21,P11.

180? Papineau, J.-B. *Plan du faubourg St-Laurent près de Montréal où sont représentées les concessions primitives*, Montréal, BAnQ, E21,S555,SS1,SSS21,P17.

180? Anonyme. *Plan d'une partie de la ville de Montréal*, Montréal, BAnQ, E21,S555,SS1,SSS21,P21.

1801 (1801-1843) Anonyme. *Faubourg Saint-Laurent, 1801*. Montréal. Archives de Saint-Sulpice, P1 : E.21/13.

1801 Charland, L. *Plan de la ville et cité de Montréal*, Bas Canada, BAnQ, 0002663987.

1805 Charland, L. *Plan of the city of Montreal shewing the new projects of embellishing, drawn by order of the Honourable James McGill, Joseph de Longueil & John Richardson esq. commissioners*, Montréal, BAnQ Québec, E21,S555,SS1,SSS21,P22.

1810 Charland, L. *Plan d'une partie de la ville de Montréal pour servir à montrer les projets d'embellissement sur le terrain adjacent les réserves des anciennes fortifications avec une section de la continuation projetée de la rue St-Gabriel sur la réserve militaire*, Montréal, BAnQ Québec, E21,S555,SS1,SSS21,P15.

1825 Adams, John. *Map of the city and suburbs of Montreal : exhibiting distinctly every property, public & private, the course of the water works, the river line in front of the city and the La Chine Canal from its junction with the Port to the distance of 1½ miles aboved, constructed from a new survey.* Montréal, BAnQ, 0005245760.

1830 Anonyme. *City of Montreal*, Montréal, Archives de la Ville de Montréal, CA M001 VM066-3-P035.

1834 Anonyme. *Plan du faubourg St-Laurent avec le nos du terrier*, Montréal, Archives de la Ville de Montréal, CA M001 VM066-3-P041.

1840 Mc-Nider, J. *Système de l'Aqueduc et principales bâtisses de la Ville*, Montréal, Archives de la Ville de Montréal, CA M001 VM066-4-P001.

1843 Cane, J. *Southern section of the Saint Lawrence Ward Montreal*, Montréal, Archives de la Ville de Montréal, CA M001 VM066-4-P014.

1846 Cane, J. *Topographical and pictorial map of the city of Montreal*, Montréal : Robert W. S. Mackay, BAnQ, 0000337871.

1872 Plunkett & Brady. *Plan of the city of Montreal from a trigonometrical survey made by Plunkett & Brady, engineers, revised and corrected to Dec.*, BAnQ, E21,S555,SS1,SSS21,P4.

1874 c. Blaiklock, F.W., Lionais, E.H.C., et Sicotte, L.-W. *Cadastral plans, city of Montreal*, Montréal, BAnQ, 0000337579.

1879 Hopkins, H.W. *Atlas of the city and island of Montreal, Plate G*, Montréal, BAnQ, 0000174244.

1881 Goad, C.E. *Atlas of the City of Montreal from special survey and official plans, showing all buildings & names of owners*, Montréal, BAnQ, 0003708048.

1887-06-01 Anonyme. *Plan de la subdivision projetée du terrain des enfants de feu Theodose Beaudry. Rues Ste Catherine, St Charles Borromée et Dorchester, Montréal*, Greffe du notaire Onésime Marin, 24 mars 1888, min. 9954.

1890 Goad, C.E. *Atlas of the City of Montreal. Plate VI*, Montréal, BAnQ, 0000174398.

1897 Laforest, A. *Montreal Water Works. Plan of the city showing all the 6 and 4 inch mains and the fire hydrants fed by them*, Montréal, Archives de la Ville de Montréal, CA M001 VM066-5-P056.

1903 Goad, C.E. *Map of the city of Montreal*, Montréal, 1904, BAnQ, 0000066417.

1907 Pinsonneault, A.R. *Atlas of the island and city of Montreal and Ile Bizard a compilation of the most recent cadastral plans from the book of reference*, Montréal, BAnQ, 0000174922.

1909 Goad, C.E. *Insurance plan of City of Montreal, Quebec, Canada, volume I*, Montréal, BAnQ, 0003028509.

1912-1914 Goad, C.E. *Atlas of the City of Montreal and vicinity in four volumes, from official plans - special surveys showing cadastral numbers, buildings & lots*, Montréal, BAnQ, 0000174399.

1940 Underwriters' Survey Bureau. *Insurance plan of the city of Montreal, volume I*, Montréal, BAnQ, 0003216542.

1949 Ville de Montréal. *Plan détaillés d'occupation du sol de la Ville de Montréal*, Montréal, Archives de la Ville de Montréal, VM165-1-2, 53-67.

1950 Underwriters' Survey Bureau. *Insurance plan of the city of Montréal, Qué., volume 1*, Montréal, BAnQ, 0003699649.

1956 Anonyme. *Plan montrant la subdivision d'une partie du lot num 361. Cadastre : Quartier St-Laurent. Division d'enregistrement : Montréal*, Registre foncier du Québec.

1996 Anonyme. *Cadastre du quartier Saint-Laurent*, Montréal, Registre foncier du Québec.

PHOTOGRAPHIES ANCIENNES

1946 c. Morisset, Gérard. *Montréal, île de Montréal - Maisons - Maison du maire Beaudry sise rue Clark*. BAnQ Québec, E6,58,SS1,SSS646,D3476.

1958 Photographie aérienne de la ville de Montréal. Archives de la Ville de Montréal, 1958-4984-16-035-e12000.tif

PRINCIPAUX FONDS D'ARCHIVES

Bibliothèque et Archives nationales du Québec (BAnQ)

Greffes de notaire :

- Fonds Cour supérieure. District judiciaire de Bedford, Greffe de notaire
- Clement, Edmond (1836-1871). CN502,S17

- Fonds Cour supérieure. District judiciaire de Joliette, Greffes de notaire
- Faribault, Joseph-Edouard (1791-1849). CN605,S18

- Fonds Cour supérieure. District judiciaire de Labelle, Greffes de notaire
- Mandeville, Francois (1870-1914). CN703,S1

- Fonds Cour supérieure. District judiciaire de Montréal, Greffes de notaire
- Barron, Thomas (1799-1831). CN601,S16
- Basset dit Deslauriers, Bénigne (1657-1699). CN601,S17
- Bédouin, Thomas (1812-1844). CN601,S28

- Belle, Joseph. (1830-1869). CN601,S32
- Danré de Blanzy, Louis-Claude (1738-1760). CN601,S108
- Brault, Charles-Augustin (1835-1875). CN601,S56
- Brousseau, Antoine-Ovide (1853-1892). CN601,S61
- Cadieux, Jean-Marie (1805-1827). CN601,S68
- Content, Médéric (1849-1893). CN601,S97
- Daveluy, Paul-Édouard (1817-1825). CN601,S110
- Delisle, Jean-Guillaume (1787-1819). CN601,S121
- Desève, Jean-Baptiste (1785-1805). CN601,S128
- Doucet, Nicolas-Benjamin (1804-1855). CN601,S134
- Fortier, Louis-Theodore (1857-1874). CN601,S157
- Foucher, Antoine (1746-1800). CN601,S158
- Gray, Edward-William (1781-1798). CN601,S184
- Jobin, Andre (1813-1853). CN601,S215
- Jobin, Joseph-Hilarion (1833-1881). CN601,S216
- Lacombe, Patrice (1831-1863). CN601,S224
- Lafleur, Édouard (1849-1897). CN601,S227
- Marin, Onésime (1874-1897). CN601,S484
- Martin dit Ladouceur, Louis-Séraphin (1831-1866). CN601,S277
- Mondelet, Jean-Marie fils (1794-1842). CN601,S295
- Panet de Meru, Pierre (1755-1778). CN601,S308
- Papineau, Casimir-Fidèle (1848-1892). CN601,S311
- Papineau, Joseph (1780-1841). CN601,S313
- Peltier, Jean-Baptiste-Généreux (1822-1847). CN601,S320
- Simonnet, François (1737-1778). CN601,S372
- Souste, André (1745-1769). CN601,S376
- Spénard, Charles-C. (1843-1872). CN601,S377
- Truteau, Zéphirin-Joseph (1829-1862). CN601,S385

- Fonds Cour supérieure. District judiciaire de Saint-François, Greffes de notaire
- Labranche, Jacques-Olivier (1851-1893). CN501,S16

Greffe d'arpenteur :

- Fonds Cour supérieure. District judiciaire de Montréal, Greffes d'arpenteur
- Belisle, Jean-Baptiste-Chèvrefils (1749-1759). CA601,S8

Gestion des documents et des archives de la Ville de Montréal (GDAVM)

- Fonds Séminaire de Saint-Sulpice de Montréal (P073) / Terriers (S1)
- Faubourg Saint-Laurent : Cadastre 1 à 427 (D12-9)
- Terrier de l'Île no 2 (D15-12)
- Ancien terrier Faubourg Saint-Laurent : Cadastre 1 à 475 (D57-23)

- Fonds Service des finances et du contrôle budgétaire, 1801-2001 (VM002) / Rôle d'évaluation foncière, 1847-2003 (S02)
- Dossiers Quartier Saint-Laurent, années 1847 à 1963

- Collection des dossiers thématiques, 1556-2000 (VM166) / Index (00) / Collection, 1556-1989 (S1) / Dossiers par rues (SS2)

- Rue Clark (D0991-R3273-1 et R3273-2)
- Rue Clark : toponyme et plans (D0991-R3273-3)
- Rue de Verchères (D1791-R3634-2 et R3634-A)
- Rue Dorchester (René-Lévesque) (D0690-R3165-2 à D0692-R3165-2)
- Rue Dorchester (René-Lévesque) (D0690-R3165-2 à D0692-R3165-2)
- Rue Dorchester (René-Lévesque), Boulevard : Élargissement (Est-Ouest) (D0690-R3165-1-1)
- Rue Dorchester (René-Lévesque), Boulevard : Général - Photos (D0690-R3165-1-2)
- Rue Dorchester (René-Lévesque), Boulevard : Toponymie et plans (D0690-R3165-3)

- Fonds Comité de santé — Bureau de santé, 1832-1949 (VM045) / Travaux du Comité. De santé et du Bureau de santé, 1832-1949 (S1) / Procès-verbaux, 1871-1920 (SS1) / 10 dossiers couvrants la période de 1871 à 1900 (VM45-1-1 : 1871-1876, 1884-1885, 1885-1886, 1886-1889, 1889-1891, 1891-1893, 1893-1895, 1895-1897, 1897-1898, 1898-1900)

Service des travaux publics et de l'environnement de la Ville de Montréal (STPEVM)

- Volumes des propriétés : Vol_1_F_22 et Vol_1_F_23
- Dossiers de coordination :
- Bronsdon_ruelle_vente_1958_Coord_1343 (40.1)
- Clark_expro_1894_Coord_G-1114
- Dorchester_expro_1888_Coord_4311
- Dorchester_expro_1953_Coord_4310
- St_Urbain_expro_1961_Coord_18027
- Ste_Catherine_expro_1864_Coord_18127
- Ste_Catherine_expro_1864_Coord_21418
- Ste_Catherine_expro_1864_Coord_21423

Univers culturel de Saint-Sulpice (UCSS)

- Fonds Compagnie des prêtres de Saint-Sulpice (P1), Série Cartes et plans (E), Sous-série Quartiers et faubourgs de Montréal (21)

Centre d'archives d'Hydro-Québec

- Fonds Commission hydroélectrique de Québec (H02) / Divers relevés photographiques de la construction initiale du siège social d'Hydro-Québec à Montréal

PRINCIPAUX SITES INTERNET

Informations foncières :

Ministère de l'énergie et des ressources naturelles (MERN)

- Registre foncier du Québec en ligne : https://www.registrefoncier.gouv.qc.ca/Sirf/
- Greffe de l'Arpenteur général du Québec (GAGQ) : https://appli.mern.gouv.qc.ca/gagq/

Archives :

Bibliothèque et Archives nationales du Québec (BAnQ)

- Collection numérique : https://numerique.banq.qc.ca/
- ADVITAM : https://advitam.banq.qc.ca/
- Parchemin: minutes notariales du Québec ancien (Archiv-Histo)

Bibliothèque et Archives Canada (BAC)

- Recensements canadiens : https://www.bac-lac.gc.ca/fra/recensements/Pages/recensements.aspx

Généalogie :

- Programme de recherches en démographie historique et Institut généalogique Drouin (PRDH-IGD) : https://www.prdh-igd.com/
- Généalogie Québec : https://www.genealogiequebec.com
- Ancestry : https://www.ancestry.ca

Données patrimoniales :

- Répertoire du patrimoine culturel du Québec : https://www.patrimoine-culturel.gouv.qc.ca
- Maison Antoine Mallard I;
- Maison Antoine Mallard II;

- Ville de Montréal, Vieux-Montréal, Québec — Canada : https://www.vieux.montreal.qc.ca/accueil.htm
- Maison Antoine-Mallard;
- Maison-magasin François-Xavier Beaudry.

COOPÉRATIVE DE TRAVAIL

ARTEFACTUEL

DEPUIS 2003

Supervision archéologique au Morrin Centre (2023)



Artefactuel
2024

8402

ÉQUIPE DE RÉALISATION

Morrin Centre

Coordonnatrice du musée et des expositions	Geraldine Franchomme

STGM Architees

Chef de pratique – ouvrages patrimoniaux	Michel Boudreau

Artefactuel

Archéologue, chargé de projet Rédaction du rapport	Louis Gilbert louis.gilbert@artefactuel.ca

Ce projet a été réalisé dans le cadre d'un contrat pour services professionnels octroyé par le Morrin Centre.

Artefactuel
22 Richard
Cap Santé (Québec) G0A 1L0

Tél. : (418) 999-0138
Courriel : info@artefactuel.ca
Site web : www.artefactuel.ca

Photographie de page couverture : Vue de la zone d'intervention (pièce 1.21), vers le sud (photo P8280002).

RÉSUMÉ

Des madriers devaient être retirés d'une pièce du Morrin Centre afin de permettre la restauration d'un plancher. Les sols sous-jacents devaient également être retirés. Puisque le bâtiment est un immeuble patrimonial classé également désigné comme Lieu historique national du Canada, la présence d'un archéologue a été exigée par le MCC pour superviser ces opérations.

Les travaux se sont déroulés sans interruption de la part de l'archéologue. Aucun vestige n'a été mis au jour. Une petite collection archéologique, composée principalement d'ossements de boucherie, d'un peu de verre et de quelques tessons de céramique, a été collectée dans la couche archéologique sous-jacente déposée sur le dallage de pierre.

Les travaux ont ainsi pu se faire sans impact sur le patrimoine archéologique.

TABLE DES MATIÈRES

Équipe de réalisation i
Résumé. ii

1. INTRODUCTION 1

2. HISTORIQUE 3
2.1. Historique d'occupation 3
2.2. Recherches antérieures 3

3. MÉTHODOLOGIE 5
3.1. Durée des travaux et équipe 5
3.2. Système de référence 5
3.3. Localisation et description de l'aire d'intervention 5
3.4. Méthodes de terrain 6
3.5. Méthodes de laboratoire 6

4. RÉSULTATS 8

5. CONCLUSION 11

6. BIBLIOGRAPHIE 12

Annexe 1 Inventaire des artefacts 13
Annexe 2 Catalogue des photographies 14
Annexe 3 Fiche de site 15
Annexe 4 Notes de terrain 16

LISTE DES FIGURES

Figure 1. Localisation du site CeEt-305 sur carte topographique 2
Figure 2. Localisation du site CeEt-305 sur photographie aérienne 2
Figure 3. La redoute Royale (identifié par la lettre « C ») en 1720 4
Figure 4. Plan de la prison par F. Baillarigé en 1807 4
Figure 5. Plan général des opérations 7
Figure 6. Vue de la zone d'intervention avant le début des travaux, vers le sud-est 9
Figure 7. Vue de la sous-opération 9A après enlèvement du plancher, vers le sud-est 9
Figure 8. Fragment de bougeoir en terre cuite commune anglaise 10
Figure 9. Sous-opération 9A après nettoyage du dallage, vers le sud-est 10

1. INTRODUCTION

Des madriers devaient être retirés d'une pièce du Morrin Centre afin de permettre la restauration d'un plancher. Les sols sous-jacents devaient également être retirés. Puisque le bâtiment est un immeuble patrimonial classé également désigné comme Lieu historique national du Canada, la présence d'un archéologue a été exigée par le MCC pour superviser ces opérations.

Les travaux se sont déroulés sans interruption de la part de l'archéologue. Aucun vestige n'a été mis au jour. Une petite collection archéologique, composée principalement d'ossements de boucherie, d'un peu de verre et de quelques tessons de céramique, a été collectée dans la couche archéologique sous-jacente déposée sur le dallage de pierre, et représente la circulation des gens dans le passage expertisé.

Ce rapport d'intervention fait état des résultats de cette intervention et répond aux exigences du MCC en lien à l'émission d'un permis de recherche archéologique découlant de la Loi sur le patrimoine culturel et de la Réglementation sur la recherche archéologique. Après un bref historique de l'occupation humaine du terrain touché, la méthodologie mise en œuvre sera exposée. Les résultats archéologiques et les interprétations que l'on peut en tirer suivront. Ces résultats permettront de proposer, en conclusion, des recommandations concernant ce secteur du site et son évaluation par valeurs.



Figure 1. Localisation du site CeEt-305 sur carte topographique (fond : Cartes topographiques 1:20 000, MERN).

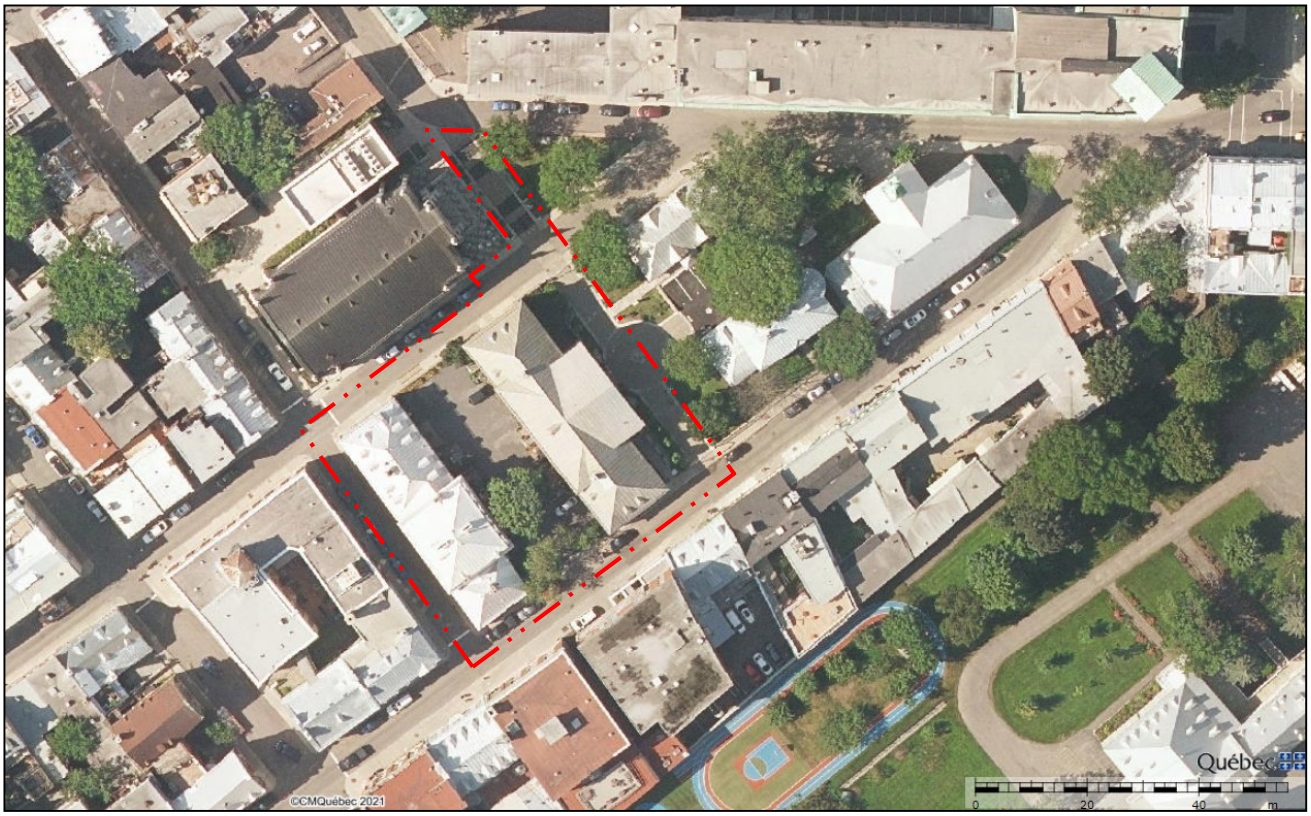


Figure 2. Localisation du site CeEt-305 sur photographie aérienne (fond : Imagerie du gouv. du Québec, MERN).

2. HISTORIQUE

2.1. Historique d'occupation

L'intervention archéologique s'étant déroulée à l'intérieur du bâtiment, au rez-de-chaussée qui surmonte un sous-sol, et sans jamais toucher les sols en place, il n'est pas pertinent de dresser ici un portrait de l'évolution paléoenvironnementale ou de l'occupation paléohistorique de Québec. Ces éléments n'ont pu avoir aucune incidence sur les résultats archéologiques.

L'occupation du site CeEt-305 débute en 1712, lorsqu'est construite la redoute Royale, destinée à loger les troupes (Rouleau 2006 : 8 *sqq.*) (figure 3). Éventuellement, la redoute sera également utilisée comme prison. En 1808, la construction d'une nouvelle prison selon les plans de Baillairgé – le bâtiment actuel – entraîne la démolition de la redoute Royale (figure 4). Le bâtiment servira de prison jusqu'en 1867. Le Morrin College avait pris possession du bâtiment quelques années avant, et procède à des rénovations une fois que les activités carcérales furent déménagées. La transformation de la prison en école, impliquant des travaux majeurs, se fera en suivant les plans de Peachy.

2.2. Recherches antérieures

Cinq interventions archéologiques ont eu lieu sur le site CeEt-305. En 1985, les travaux d'enfouissement du réseau électrique ont été faits sous supervision archéologique (Tremblay et Croteau 1987). En 1991, lors de l'évaluation sur l'intégrité du bâtiment et de la planification des interventions de conservation nécessaires, des sondages archéologiques furent réalisés afin de vérifier le potentiel archéologique du site (Tremblay 1991). L'année suivante, des fouilles importantes se sont déroulées dans la cour du bâtiment (Ville de Québec 1992). Rouleau est finalement intervenu deux fois sur le site : d'abord en 1999 lors de l'aménagement de la place sur la chaussée des Écossais (Rouleau 2000), puis lors des travaux de mise aux normes réalisés à l'intérieur en 2005 et 2006 (Rouleau 2006).



Figure 3. La redoute Royale (identifié par la lettre « C ») en 1720 (source : BAC, NMC 20591).

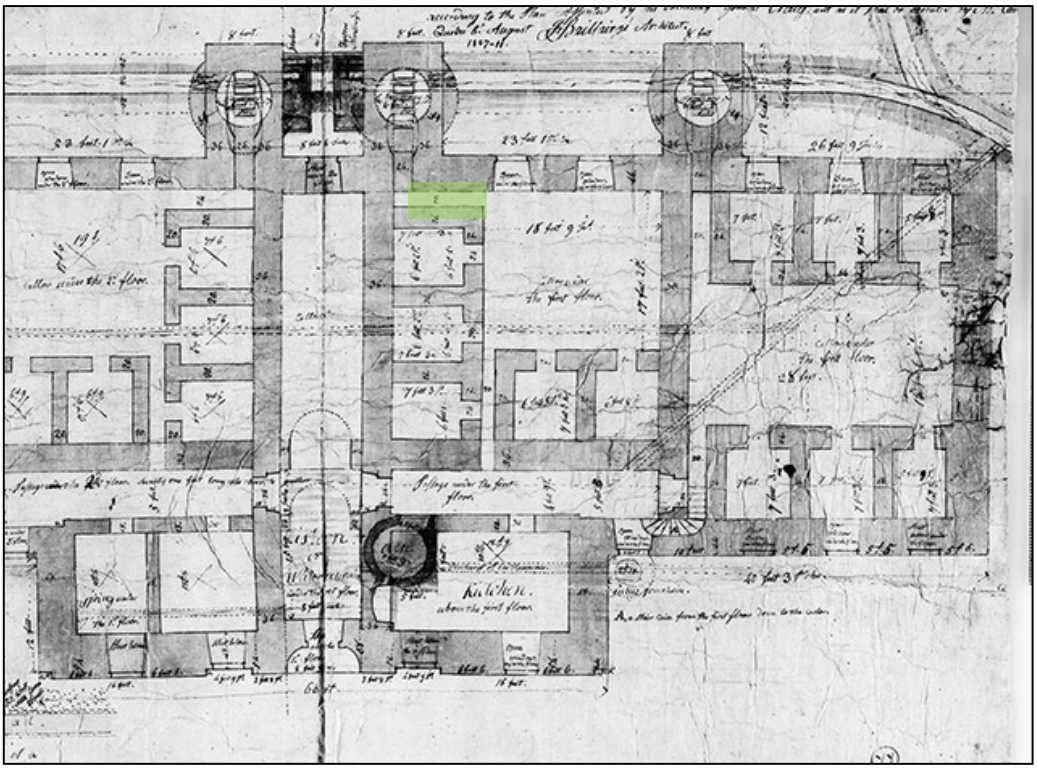


Figure 4. Plan de la prison par F. Baillarigé en 1807; la zone d'intervention est marquée de vert (source : BAC, NMC 21182).

3. MÉTHODOLOGIE

3.1. Durée des travaux et équipe

Un permis de recherche archéologique a été obtenu du MCC en juillet 2023 (permis de recherche 23-ARTE-20, délivré à Artefactuel). Les travaux de démantèlement exécutés sous supervision archéologique ont eu lieu le 28 août 2023, pour une durée totale de deux heures d'intervention, incluant l'attente. La supervision a mobilisé l'archéologue chargé de projet uniquement.

3.2. Système de référence

L'intervention a procédé selon le système d'enregistrement Tikal, communément utilisé en archéologie au Québec. Selon la logique de ce système, l'enregistrement procède par opération, sous-opération et lot. L'opération est, après le site, la plus grande unité d'enregistrement et représente une intervention ou activité sur le terrain. Il prend la forme d'un numéro séquentiel – dans ce cas-ci, il s'agissait de l'opération **9**, suivant l'opération 8 enregistrée par Rouleau (2006). La sous-opération, désignée par une lettre majuscule, représente une subdivision, généralement spatiale, de l'opération. Une seule sous-opération a été ouverte en 2023, soit **9A**. Les lots représentent les couches de sol ou les vestiges, et sont enregistrés par une séquence numérique qui recommence à chaque sous-opération (1 à x pour les sols; 100, 200, xxx pour les vestiges).

3.3. Localisation et description de l'aire d'intervention

L'intervention s'est déroulée au rez-de-chaussée du bâtiment situé au 44, chaussée des Écossais, à Québec, correspondant au lot 1 212 503. Le plancher à réparer se trouvait à l'arrière du bloc cellulaire, dans un passage qui devait mener, à l'origine, aux latrines, situé au sud-ouest de la pièce 1.21 (figure 5). L'aire d'intervention faisait ainsi 2,00 m sur 0,60 m.

3.4. Méthodes de terrain

Le démantèlement du plancher et la collecte des dépôts sous-jacents se sont faits manuellement par deux ouvriers. L'archéologue a assisté à l'ensemble des opérations, qu'il a arrêtées au besoin pour procéder à des enregistrements archéologiques ou des collectes d'objets.

3.5. Méthodes de laboratoire

La collection archéologique, qui avait été emballée dans des sacs en papier identifiés du nom du site et de la provenance, a été acheminée au Laboratoire et réserve d'archéologie du Québec (LRAQ). Tout le matériel non métallique, y compris les ossements, a été lavé à l'eau sans savon, puis séché pendant au moins 24 h dans des séchoirs. Les objets métalliques ont été brossés à sec avec des brosses de différente dureté selon les matériaux. La collection a par la suite fait l'objet d'un l'inventaire au sein d'une même base de données Access. Elle n'a pas été conservée.

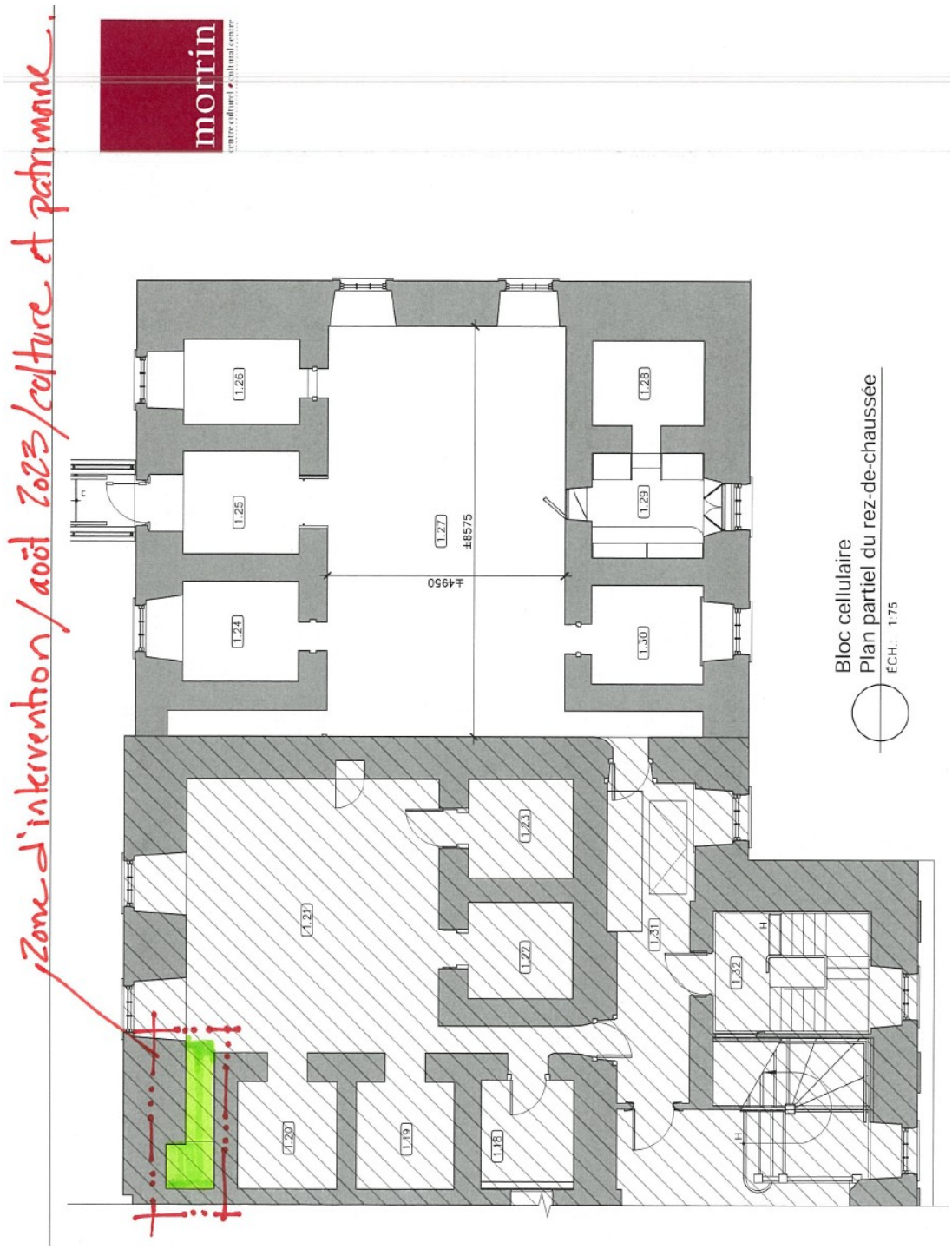


Figure 5. Plan général des opérations (source : STGM).

4. RÉSULTATS

À l'arrivée de l'archéologue sur les lieux, la surface actuelle du plancher avait été enlevée et l'ancien plancher, posé au moment de la construction en 1808, était exposé (figure 6). Une couche de sable gris (**9A1**) contenant du gravier, des cailloux, du mortier, des éclats de pierre, du charbon minéral et des fragments de bois se trouvait sous ce plancher (figure 7), faisant une épaisseur d'une dizaine de centimètres. Une bonne quantité d'ossements animaux (n=55), tous de mammifères, fut récoltée, dont trois crânes incomplets de rongeurs. Parmi les autres, plusieurs montraient des traces de boucherie ou de rognage par des rongeurs. Quelques fragments de verre à bouteille ou à vitre, deux fragments de tuyaux de pipe, un tesson de rebord de terre cuite commune locale à glaçure orangée et un fragment de ce qui pourrait être un bougeoir en terre cuite commune anglaise du XIX^{e} siècle (figure 8) furent également récoltés. Du matériel récent, comme du plastique ou des tickets d'admission, a également été noté. Au vu de son épaisseur et de la faible quantité de matériel qu'elle contenait, cette accumulation représentait assurément le passage rapide des passants qui passaient dans le passé dans ce passage pour la selle. Les restes alimentaires, plus nombreux et généralement trop gros pour passer dans les interstices du plancher, pourraient y avoir été accumulés par la vermine. La présence de crânes de rongeurs suggère que, contrairement aux humains, les rats avaient élu domicile sous ce couloir et ne faisaient pas qu'y passer.

Aucune stratigraphie n'a été enregistrée dans le cadre de cette supervision, puisque seule la couche 9A1 était présente. Elle était déposée sur un dallage de pierre sous-jacent, dont la surface était inégale (figure 9).



Figure 6. Vue de la zone d'intervention avant le début des travaux, vers le sud-est (photo P8280001).



Figure 7. Vue de la sous-opération 9A après enlèvement du plancher, vers le sud-est (photo P8280003).



Figure 8. Fragment de bougeoir en terre cuite commune anglaise.



Figure 9. Sous-opération 9A après nettoyage du dallage, vers le sud-est (photo P8280008).

5. CONCLUSION

Des madriers devaient être retirés d'une pièce du Morrin Centre afin de permettre la restauration d'un plancher. Les sols sous-jacents devaient également être retirés. Puisque le bâtiment est un immeuble patrimonial classé également désigné comme Lieu historique national du Canada, la présence d'un archéologue a été exigée par le MCC pour superviser ces opérations.

Les travaux se sont déroulés sans interruption de la part de l'archéologue. Aucun vestige n'a été mis au jour. Une petite collection archéologique, composée principalement d'ossements de boucherie, d'un peu de verre et de quelques tessons de céramique, a été collectée dans la couche archéologique sous-jacente déposée sur le dallage de pierre, et représente la circulation des gens dans le passage vers les latrines.

Malgré les résultats peu éloquents de cette intervention archéologique, il est recommandé que les travaux de réfection au Morrin Centre soit réalisés sous la supervision d'un archéologue, tant pour les interventions touchant les planchers et les sols que celles qui pourraient permettre de documenter les modes de construction.

L'intervention, d'une très petite envergure, ne permet guère de procéder à l'évaluation par valeurs qu'exige la Loi sur le Patrimoine culturel. On peut tout de même reconnaître que le site présente toujours une valeur de recherche sur le terrain, tant à l'intérieur qu'à l'extérieur, une valeur d'appropriation collective, puisqu'il est fréquenté par le public, et une valeur d'association, puisqu'il pourrait être mis en relation avec d'autres sites de prison de Québec.

6. BIBLIOGRAPHIE

Rouleau, S.
2000 *Rapport d'activités archéologiques; Interventions ponctuelles 1999*. Ville de Québec, rapport inédit.
2006 *Interventions archéologiques 2005; Surveillance des travaux sur l'avenue Wilfrid-Laurier, la rue Seigneuriale, la rue Saint-Laurent, la rue Racine, le site du Réservoir Sacré-Cœur, le Morrin College et la maison des Jésuites*. Ville de Québec, rapport inédit.

Tremblay, K.
1991 *Évaluation du potentiel et rapport des sondages archéologiques effectués au Morrin College, Quebec*. Bouchard, Frigond, Lafond et Associés, rapport inédit.

Tremblay, Y. et J. Croteau
1987 *Surveillance archéologique dans le Vieux-Québec, 1985*. Hydro-Québec, rapport inédit.

Ville de Québec
1992 *Recherches archéologiques sur le site de l'ancienne prison de Québec / Morrin College (CeEt-305)*. Ville de Québec, rapport inédit.

ANNEXE 1

Inventaire des artefacts

Prov	Matériau	Nb	Objet	Fonction	Commentaire
9A1	OS	52	Mammifère	Écofact	Ossements variés; os longs, côtes, articulations. Plusieurs os présentent des marques de boucheries. Présence aussi de marques de dents de rongeurs.
9A1	Os	3	Mammifère	Écofact	Crânes incomplets de rongeurs.
9A1	Verre de couleur vert	3	Bouteille	Boisson	Tessons de corps de bouteille cylindrique.
9A1	Verre teinté vert	2	Vitre	Construction	Verre plat
9A1	Terre cuite fine argileuse blanche	2	Tuyau	Tabac	Fragments de tuyau
9A1	TCC locale	1	Contenant	Alimentation	Tesson de rebord, pâte grossière rouge et glaçure orangée de type locale.
9A1	TCC Angleterre	1	Bougeoir ?	Éclairage	Cylindre possédant une ouverture supérieure de 2,3 cm de diamètre, avec un début d'anse. Bougeoir simple avec coupelle à la base ?
9A1	Fer	2	Indéterminé	Indéterminé	Plaques rectangulaires corrodées

ANNEXE 2

Catalogue des photographies

No	Date	Localisation	Orientation	Description
P8280001	28-08-2023	9A	SE	Vue de la zone d'intervention avant le début des travaux
P8280002	28-08-2023	Pièce 1.21	S	Vue de la localisation de la zone d'intervention par rapport au bâtiment.
P8280003	28-08-2023	9A	SE	Sous-opération 9A après l'enlèvement du plancher
P8280004	28-08-2023	9A	SE	Sous-opération 9A après l'excavation
P8280006	28-08-2023	9A	NO	Sous-opération 9A après l'excavation
P8280008	28-08-2023	9A	SE	Sous-opération 9A après le nettoyage du dallage
P8280009	28-08-2023	9A	SE	Sous-opération 9A après le nettoyage du dallage
P8280010	28-08-2023	9A	S	Penture au-desssus de l'ouverture de la zone d'intervention
P8280011	28-08-2023	9A	NO	Sous-opération 9A après le nettoyage du dallage

Annexe 3

FICHE DE SITE

Identification du site	CeEt-305
Localisation	Dans le quadrilatère des rues St-Stanislas, St-Angèle, Ste-Anne et Dauphine, au 44, chaussée des Écossais
Lot cadastraux	1212503, 1315306, 1865663 à 1865666, 1314668 à 1314674
Périodes culturelles	Euro-québécoise, 1608 à 1950
Travaux réalisés	Supervision archéologique (opération 9)
Analyses réalisées	s/o
Valeurs archéologiques	Voir p. 10.
Recommandations	Si des travaux de réfection devaient avoir lieu, ils devraient être réalisés sous supervision archéologique.
Vestiges	s/o
Artefacts et écofacts	Voir annexe 2

Annexe 4

NOTES DE TERRAIN

Supervision archéologique— Registre quotidien—1/2

ARTEFACTUEL

Projet: Morin Carter Client: Morin Carter Site:

Archéologue: LG Date: 20-9-23

Appel:

Préavis: h

STOP	Heure	Action	Secteur	Découverte
	6h00			
	6h15			
	6h30			
	6h45			
	7h00			
	7h15			
	7h30			
	7h45			
	8h00			
	8h15			
	8h30	Sx	Extrémité plancher	
	8h45	Sx		
	9h00	F		
	9h15	F		
	9h30	A		
	9h45	A		
	10h00	A		
	10h15	Sx	Balayage	
	10h30	Sx		
	10h45			
	11h00			
	11h15			
	11h30			
	11h45			
	12h00			
	12h15			
	12h30			
	12h45			
	13h00			
	13h15			
	13h30			
	13h45			
	14h00			
	14h15			
	14h30			
	14h45			
	15h00			
	15h15			
	15h30			
	15h45			
	16h00			
	16h15			
	16h30			
	16h45			
	17h00			
	17h15			
	17h30			
	17h45			
	18h00			
	18h15			
	18h30			
	18h45			
	19h00			

Notes

Météo

Description des équipements

Notes générales et identifications Tikal des découvertes

Quelques ossements animaux sous le plancher

Sous le prélèvement de bois couche de sable gris avec gravier, calcaire, mortier, petits éclats charbon minéral, bois.

plusieurs os, 79 fragments, de verre,

Environ 0,10 m d'épaisseur

Dispersé sur les drains et prélèvement

Prélèvement aussi de matériel récent (plastique, ticket d'admission, etc)

Cheveux

STOP: X = Arrêt d'excavation due à l'archéologie

Action:
Sx: Surveillance d'excavation mécanique
Sm: Surveillance d'excavation manuelle
R: Réunion
A: Attente
P: Pause
E: Enregistrement
F: Fouille
X: Arrêt non payé (dîner, fin de journée, absence)

Personnes présentes:
Surintendant: Claire L
Surveillant:

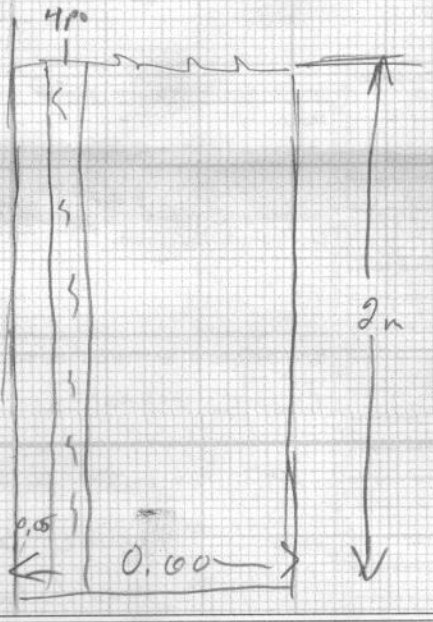
Autres interventants:

Supervision archéologique— Registre quotidien—2/2 ARTEFACTUEL

Projet: Nouvelle Cité Client: Site:

Archéologue: Date: 28-8-21

Croquis de localisation des travaux



Stratigraphie principale

Descriptions et profondeurs

Notes

Suivis à faire